

CONTRIBUȚII LA MODELAREA ȘI IMPLEMENTAREA SISTEMELOR CU EVENIMENTE DISCRETE CU APLICAȚII DIRECTE ASUPRA SISTEMELOR DE TRANSPORT CU ZONE DE ACUMULARE

Teză destinată obținerii
titlului științific de doctor inginer
la
Universitatea "Politehnica" din Timișoara
în domeniul AUTOMATICA
de către

Ing. Dan Ungureanu-Anghel

UNIV. "POLITEHNICA" TIMIȘOARA	
FALA	
No. volum	656.444
Dulap	Lit.

Conducător științific:
Referenți științifici:

prof.univ.dr.ing. Octavian Proștean
prof.univ.dr.ing. Mircea Ivănescu
prof.univ.dr.ing. Octavian Păstrăvanu
prof.univ.dr.ing. Nicolae Robu

Ziua susținerii tezei: 18.07.2007

Seriile Teze de doctorat ale UPT sunt:

- | | |
|------------------------|---|
| 1. Automatică | 7. Inginerie Electronică și Telecomunicații |
| 2. Chimie | 8. Inginerie Industrială |
| 3. Energetică | 9. Inginerie Mecanică |
| 4. Ingineria Chimică | 10. Știința Calculatoarelor |
| 5. Inginerie Civilă | 11. Știința și Ingineria Materialelor |
| 6. Inginerie Electrică | |

Universitatea „Politehnica” din Timișoara a inițiat seriile de mai sus în scopul diseminării expertizei, cunoștințelor și rezultatelor cercetărilor întreprinse în cadrul școlii doctorale a universității. Seriile conțin, potrivit H.B.Ex.S Nr. 14 / 14.07.2006, tezele de doctorat susținute în universitate începând cu 1 octombrie 2006.

Copyright © Editura Politehnica – Timișoara, 2006

Această publicație este supusă prevederilor legii dreptului de autor. Multiplicarea acestei publicații, în mod integral sau în parte, traducerea, tipărirea, reutilizarea ilustrațiilor, expunerea, radiodifuzarea, reproducerea pe microfilme sau în orice altă formă este permisă numai cu respectarea prevederilor Legii române a dreptului de autor în vigoare și permisiunea pentru utilizare obținută în scris din partea Universității „Politehnica” din Timișoara. Toate încălcările acestor drepturi vor fi penalizate potrivit Legii române a drepturilor de autor.

România, 300159 Timișoara, Bd. Republicii 9,
tel. 0256 403823, fax. 0256 403221
e-mail: editura@edipol.upt.ro

Cuvânt înainte

Teza de doctorat a fost elaborata pe parcusul activitatii mele in cadrul Departamentului de Automatica si Informatica Aplicata al Facultatii de Automatica si Calculatoare din Timisoara.

Sistemele sunt o realitate a vietii noastre cotidiene, formele lor de materializare si manifestare fiind diferite.

Din diversitatea de sisteme existente, lucrarea de fata abordeaza domeniul sistemelor cu evenimente discrete (SED), sisteme alcatuite dintr-o multime de secvente de evenimente care descriu comportarea lor.

Dezvoltarea si fundamentarea teoriei moderne a modelarii, precum si impactul creat de progresele spectaculoase ale tehnologiei sistemelor de calcul, au creat baza teoretica si practica fara de care constructia SED este de neconceput.

Utilizarea tehnicilor SED in modelarea si conducerea proceselor tehnologice, fac obiectul a numeroase cercetări științifice fundamentale și aplicative.

În această teză, SED au fost abordate prin prisma stabilirii unor metodologii de modelare si implementare cu aplicatii directe asupra sistemelor de transport cu zone de acumulare.

Pentru realizarea actualei lucrări doresc să aduc alese mulțumiri conducătorului științific, domnului prof. univ. dr. Octavian Prostean pentru sprijinul și competența îndrumare acordată pe întreaga perioadă a elaborării tezei.

Îmi exprim întreaga considerație față membrii comisiei de doctorat, domnul președinte al comisiei prof. univ. dr. ing. Mircea STRATULAT prodecanul Facultății de Automatica si Calculatoare din Timișoara și domnii prof.univ.dr. Mircea IVANESCU de la Universitatea din Craiova, prof. univ. dr. ing. Octavian PASTRAVANU de la Universitatea Tehnica „Gh. Asachi” din Iasi și prof. univ. dr. ing. Nicolae ROBU de la Facultatea de Automatica si Calculatoare din Timișoara, care au răspuns solicitării de a face parte din comisia de analiză a tezei, pentru observațiile făcute și pentru timpul acordat lucrării.

Timișoara, iulie 2007

Dan Ungureanu-Anghel

Familiei mele

Ungureanu-Anghel, Dan

Contribuții la modelarea și implementarea sistemelor cu evenimente discrete cu aplicații directe asupra sistemelor de transport cu zone de acumulare

Teze de doctorat ale UPT, Seria 1, Nr. 4 , Editura Politehnica, 2007, 342 pagini, 236 figuri, 23 tabele.

ISSN: 1842-5208

ISBN: 978-973-625-482-6

Cuvinte cheie:

sisteme cu evenimente discrete, automate, rețele Petri, sisteme de transport cu zone de acumulare, noduri, supervizoare, implementare

Rezumat:

Datorita creșterii complexității proceselor industriale, și dezvoltării explozive a echipamentelor de calcul, s-au căutat noi soluții de conducere care să poată opera astfel încât să fie eliminate dificultățile legate de stabilirea modelului matematic. O alternativă, care se impune din ce în ce mai mult, sunt tehnicile de modelare a sistemelor de conducere industriale ca sisteme cu evenimente discrete (SED). Modul de abordare a conducerii SED, complet diferit de metodele clasice, asigură gestionarea fără probleme a tuturor resurselor unui sistem industrial, elimină complet utilizarea în modelare a ecuațiilor diferențiale sau a ecuațiilor discrete. Elementul timp, esențial în cazul metodelor clasice, nu mai este relevant, elementele de bază în cazul SED sunt evenimentele, controlul acestora nefiind influențat de momentul apariției (timpul) ci numai de starea logică a acestora.

Cercetările efectuate în cadrul tezei au urmărit: stabilirea unor metodologii pentru modelarea și implementarea SED cu aplicații directe asupra sistemelor de transport cu zone de acumulare.

În cadrul lucrării, modelarea și implementarea SED s-a realizat utilizând două tehnici fundamentale: prima bazată pe utilizarea automatelor și a doua bazată pe utilizarea rețelelor Petri.

Cuprins

Capitolul 1. Introducere.....	11
1.1. Oportunitatea si obiectivele tezei	11
1.2. Prezentarea continutului tezei	12
Capitolul 2. Modelarea Sistemelor cu Evenimente Discrete utilizand automate si retele Petri	15
2.1. Preliminarii	15
2.2. Limbaje si automate. Notiuni teoretice.....	16
2.2.1. Limbaje Formale.....	16
2.2.2. Automate	17
2.2.3. Limbajele ca reprezentante a automatelor	18
2.2.4. Blocaje.....	19
2.2.5. Automate nedeterministe.....	20
2.2.6. Operatii cu automate.....	20
2.2.6.1. Operatii unare	20
2.2.6.2. Operatii de compunere	22
2.2.7. Transformarea unui automat nedeterminist in automat determinist.....	25
2.3. Rețele Petri.....	26
2.3.1. Rețele Petri netemporizate	26
2.3.2. Analiza proprietăților comportamentale	29
2.3.3. Tehnici generale de analiză a proprietăților comportamentale	30
2.3.4. Tehnici generale de analiză structurala.....	32
2.3.4.1. Aspecte generale ale analizei structurale	32
2.3.4.2. Analiza structurala pe baza invariantilor	33
2.3.5. Rețele Petri temporizate	34
2.3.5.1. Rețele Petri temporizate cu timpi constanti	36
2.3.5.2. Rețele Petri temporizate cu intervale de timpi.....	37
2.3.6. Rețele Petri etichetate	37
2.3.7. Utilizarea submodelelor in modelarea SED cu ajutorul rețelelor Petri.....	38
2.4. Conexiuni intre modelele de tip automat si modelele de tip retea Petri.....	44
2.5. Modelarea cu ajutorul automatelor respectiv a rețelelor Petri a sistemelor de transport cu zone de acumulare	50
2.5.1. Principile de realizare si functionare ale sistemelor de transport cu zone de acumulare	50
2.5.1.1. Nodul de tip 1 – o intrare o iesire	54
2.5.1.2. Nodul de tip 2 – două intrări o iesire	54
2.5.1.3. Nodul de tip 3 – trei intrări o iesire	55
2.5.1.4. Nodul de tip 4 – o intrare două iesiri	56
2.5.2. Modelarea elementelor componente ale sistemelor de transport cu zone de acumulare considerate ca SED	56
2.5.2.1. Modelarea nodului de tip 1 – o intrare o iesire	56
2.5.2.1.1. Modelarea nodului de tip 1 cu ajutorul automatelor	56
2.5.2.1.2. Modelarea nodului de tip 1 cu ajutorul rețelelor Petri	62
2.5.2.1.2.1. Cazul retea Petri netemporizata	62
2.5.2.1.2.2. Cazul retea Petri temporizata P.....	68
2.5.2.2. Modelarea nodului de tip 2 – doua intrari o iesire.....	69
2.5.2.2.1. Modelarea nodului de tip 2 cu ajutorul automatelor	69
2.5.2.2.2. Modelarea nodului de tip 2 cu ajutorul rețelelor Petri	75
2.5.2.2.2.1. Cazul retea Petri netemporizata	75

Indexul principalelor abrevieri, notații și simboluri

Abrevieri

AS – automat secvențial

PN – rețea Petri

SED – sisteme cu evenimente discrete

STZA – sistem de transport cu zone de acumulare

SFFF – sistem flexibil de fabricație pentru o filatură

IPC – comunicare între procese prin mesaje

SHM – memorie partajată

FIFO – primul intrat, primul iese (first in, first out)

TEF – transelastice conveier

SOTR – sistem de operare în timp real

PLC – automat programabil

Notații

N – mulțimea numerelor naturale

Z – mulțimea numerelor întregi

L – limbaj generat

L_m – limbaj marcat

G – automat determinist

$G = (X, \Sigma, \delta, \Gamma, x_0, X_m)$ - definiția automatului

G_{nd} – automat nedeterminist

X - setul stărilor;

Σ - setul evenimentelor

δ - funcția de tranziție

Γ - funcția eveniment activ

x_0 - starea inițială

X_m - setul stărilor marcate.

p - poziție

t - tranziție

$PN = (P, T, F, w, M_0)$ - graful rețelei Petri

$P = \{p_1, p_2, \dots, p_n\}$ - mulțimea pozițiilor

$T = \{ t_1, t_2, \dots, t_m \}$ – mulțimea tranzițiilor
 F – mulțimea arcelor
 $w : A \rightarrow \{1, 2, \dots\}$ – funcția de pondere
 $x : P \rightarrow N$ – vector marcaj
 M_0 – marcaj inițial
 $K(p)$ – capacitatea poziției p
 $x(p)$ – numărul jetoanelor din poziția p
 \emptyset – mulțimea vidă
 I – mulțimea pozițiilor/tranzițiilor de intrare
 O – mulțimea pozițiilor/tranzițiilor de ieșire
 σ – secvență de executări de tranziții
 $R()$ – mulțimea marcajelor care pot fi atinse
 $L()$ – mulțimea secvențelor de executări posibile
 X – spațiul stărilor
 V – mulțimea nodurilor
 E – mulțimea arcelor din graful de acoperire
 $G(V, E)$ – graf de acoperire
 $d()$ – distanță sincronă între două tranziții
 $\max()$ – valoarea maximă
 $A \in Z^{n \times m}$ – matrice de incidență
 A^- – matrice de incidență de intrare
 A^+ – matrice de incidență de ieșire
 u_k – vector de control
 $*^T$ – transpusa matricii $*$
 $\text{rang } *$ – rangul matricii $*$

Simboluri

$=$ – egalitate
 \cup – reuniune
 \times – produs cartezian
 \cap – intersecție
 \neq – distincție
 \in – apartenență
 $>$ – mai mare strict
 \geq – mai mare sau egal

\subseteq – incluziune cu posibilitate de egalitate

$<$ – mai mic strict

\leq – mai mic sau egal

\Rightarrow – implică

ω – simbol utilizat în construcția arborilor
sau grafurilor de acoperire pentru
rețelele nemărginite

\forall – oricare ar fi

\pm – adunare sau scădere

\neg – negare

Termeni:

Deadlock - blocaj

Nota:

1. Definițiile originale ale autorului sunt marcate cu „*“
2. Bibliografia este notată:
 - a. [XYZAA] - în cazul mai multor autori XYZ reprezentând inițialele autorilor iar AA anul publicării;
 - b. [XyzAA] – în cazul unui autor Xyz reprezentând primele 3 litere ale numelui iar AA anul apariției

Introducere

1.1. Cadrul si obiectivele tezei

Sistemele sunt o realitate a vietii noastre cotidiene, formele lor de materializare si manifestare fiind diferite.

Din diversitatea de sisteme existente, lucrarea de fata abordeaza domeniul sistemelor cu evenimente discrete (SED), sisteme alcatuite dintr-o multime de secvente de evenimente care descriu comportarea lor.

Dezvoltarea si fundamentarea teoriei moderne a modelarii, precum si impactul creat de progresele spectaculoase ale tehnologiei sistemelor de calcul, au creat baza teoretica si practica fara de care constructia SED este de neconceput.

Prin SED se intelege fie un sistem real, fie un model matematic (ce descrie functionarea unui sistem real), a carui evolutie este raportata la aparitia unor evenimente. Astfel, producerea evenimentelor joaca rolul de cauza pentru dinamica sistemului si are drept efect modificarea stărilor sistemului. Mai mult, în cazul unui SED se poate vorbi despre o functie de tranzitie a stărilor, care formalizează faptul că sistemul trece dintr-o stare în alta numai ca urmare a producerii unui eveniment și că sistemul păstrează starea în care se află până la producerea unui nou eveniment; altfel spus, SED reprezintă sisteme dinamice în care mulțimea stărilor este una discretă, iar mecanismul de tranziție al stărilor este pilotat de evenimente cu apariție asincronă.

Existența unei mari varietăți de aplicații tehnice (procese de fabricație, sisteme de comunicație și procesare a datelor, sisteme și rețele de transport, etc.) a impulsionat dezvoltarea acestui domeniu, necesitând noi strategii de conducere ce diferă principial de schemele utilizate în teoria și practica reglării automate. Cu toate că SED au fost abordate prin prisma mai multor procedee de modelare, ce se întind de la teoria automatelor și limbajelor formale, până la procesele Markov și teoria cozilor de așteptare, s-a resimțit absența unui cadru unificator.

Exista multe posibilitati de abordare a SED, si desi le-au fost dedicate in ultimul timp un important numar de lucrari de sinteza, [CL01] [Pastr97] [PMM02] [Whon02] [Rob97] [Aalst96a] [Aalst96b] [AB03] etc, totusi, se poate afirma ca nici pana in prezent nu exista o teorie unitara in acest domeniu, el ramanand in continuare o problema deschisa.

In cadrul SED s-au dezvoltat o gama larga de metode de modelare obtinute prin utilizarea unor mecanisme total diferite de cele „clasice” (ecuatile diferentiale sau ecuatiile cu diferente), cele mai importante implicand utilizarea:

- limbajelor formale,
- automatelor,
- rețelilor Petri,
- lanțurilor Markov.

(lista putand continua cu alte abordari).

Lucrarea de fata isi propune sa asigure un cadru procedural si metodologic unificator, pentru conjunctia dintre modelele de tip SED si implementarea lor, cu aplicatii directe referitoare la sistemele de transport cu zone de acumulare (STZA).

Obiectivele tezei pot fi sintetizate astfel:

- elaborarea unui material unitar privind aspectele teoretice ale modelarii SED pe baza modelelor de tip automat, a modelelor de tip retele Petri netemporizate, respectiv retele Petri temporizate P;
- modelarea STZA „vazute” ca SED pornind de la cateva structuri de baza si incheind cu modele de ordin general;
- definirea teoretica a STZA;
- demonstrarea prin exemple si studii de caz a metodologiei de modelare a STZA vazute ca SED;
- elaborarea unui material unitar legat de aspectele teoretice ale conducerii supervizate ale SED pe baza modelelor de tip automat, respectiv retele Petri;
- demonstrarea prin exemple si studii de caz a metodologiei de sinteza a supervizoarelor cu aplicatii directe in sistemele flexibile de fabricatie, respectiv STZA;
- elaborarea unor metodologi de implementare a modelelor de tip automat, respectiv retele Petri, corespunzatoare STZA, avand ca suport hardware calculatoare de proces respectiv automate programabile;
- elaborarea unui produs program util simularii retelelor Petri.

1.2. Prezentarea continutului tezei

Obiectivele propuse au condus la structurarea lucrarii pe 6 capitole, al caror continut este prezentat in continuare.

Capitolul 2 este dedicat problemelor legate de modelarea SED utilizand automate, respectiv retele Petri, abordandu-se aspecte teoretice si aplicative.

In paragraful 2.1 se prezinta in mod sintetic problemele teoretice legate de utilizarea limbajelor si a automatelor ca metode de modelare a SED, fiind abordate probleme legate de: definirea limbajelor formale si a automatelor, reprezentarea automatelor cu ajutorul limbajelor formale, blocajele, definirea automatelor nedeterministe, operatii cu automate, modul de transformare a unui automat nedeterminist intr-un automat determinist..

In paragraful 2.2 sunt tratate problemele teoretice legate de utilizarea retelelor Petri ca metode de modelare a SED, fiind abordate probleme legate de: retelele Petri netemporizate, analiza proprietatilor comportamentale si structurale, retele Petri temporizate, retele Petri etichetate, utilizarea submodelelor in modelarea SED cu ajutorul retelelor Petri.

Datorita faptului ca intre modelele de tip automat, respectiv modelele de tip retele Petri exista o serie de conexiuni, aceasta problematica a fost detaliata in paragraful 2.3 prezentandu-se o serie de metode de conversie a modelelor de tip automat in modele de tip retele Petri.

In paragraful 2.4, in totalitate original, este abordata problema modelarii cu ajutorul automatelor, respectiv a retelelor Petri a STZA. Astfel, in prima parte a paragrafului se prezinta principiile de realizare si functionare ale STZA, considerandu-se patru structuri de baza (noduri) stabilite pentru modelarea in ansamblu a STZA. Pornind de la structurile de baza stabilite pentru fiecare nod in parte, modelarea s-a realizat prin trei metode distincte: automate, retele Petri

netemporizate respectiv rețele Petri temporizate P. Pornind de la aceste modele, simulate și validate cu ajutorul mediului Matlab, s-au elaborat modele de ordin general pentru noduri cu „n” intrări „o” ieșire, „o” intrare „m” ieșiri și „n” intrări „m” ieșiri.

În paragraful 2.5, pornind de la rezultatele obținute în paragraful precedent s-a urmărit modelarea în ansamblu a STZA. În prima parte se prezintă simbolistica utilizată în reprezentarea nodurilor. În partea a doua a acestui paragraf este prezentată definiția STZA, precum și probleme teoretice legate de modelarea acestora. În partea a treia se prezintă două metodologii legate de modelarea STZA cu ajutorul rețeleor Petri.

În **Capitolul 3** sunt abordate aspecte legate de conducerea supervizată a SED.

În paragraful 3.1 sunt considerate aspecte teoretice legate de structura de bază utilizată în conducerea supervizată a SED, abordată ca și în cazul modelării SED (capitolul 2) pe baza modelelor de tip automat, respectiv modele de tip rețele Petri.

În paragraful 3.2 este abordată problematica legată de conducerea supervizată a SED bazată pe utilizarea modelelor de tip automat. Astfel, sunt considerate o serie de aspecte teoretice legate de: supervizarea sistemelor cu reacție după stare, algoritmi de implementare a supervizoarelor bazate pe modele de tip automat. Metodologia de realizare a unui supervizor bazat pe modele de tip automat este exemplificată printr-un studiu de caz legat de conducerea supervizată a unui sistem flexibil de fabricație pentru o filatură.

În paragraful 3.3 este abordată problematica legată de conducerea supervizată a SED bazată pe utilizarea modelelor de tip rețele Petri. Sunt prezentate o serie de aspecte teoretice legate de: conducerea supervizată prin utilizarea limbajelor rețeleor Petri, conducerea supervizată utilizând modele de tip rețele Petri bazate pe invariante de tip P, conducerea supervizată utilizând modele de tip rețele Petri bazate pe compunerea paralelă a subsistemelor. Metodologia de realizare a unui supervizor bazat pe modele de tip rețele Petri este exemplificată printr-un studiu de caz legat de conducerea supervizată a unui STZA.

În **Capitolul 4** sunt abordate aspecte legate de implementarea modelelor SED în sisteme de conducere în timp real.

În paragraful 4.1 sunt prezentate principiile generale ale proiectării programelor de conducere în timp real.

Problematica legată de implementare este canalizată pe două direcții distincte. În paragraful 4.2 este abordată implementarea modelelor de tip automat având ca suport hardware un calculator de proces pe care este instalat sistemul de operare în timp real QNX. Pentru o implementare eficientă se exploatează capacitățile SOTR QNX legate de: mecanismele de comunicație interprocese, comunicația între procese prin utilizarea memoriei partajate, dispecerizarea proceselor, stările unui proces. În subparagraful 4.2.2 este prezentată o metodă de implementare originală în SOTR QNX a unui STZA pe baza modelelor de tip automat. Sunt prezentate modurile de implementare a nodurilor precum și modul de realizare a comunicației interprocese, atât prin mesaje cât și prin memoria partajată. Limbajul de programare utilizat pentru implementare a fost WATCOM C. În final a rezultat un produs program original care a fost testat și validat în totalitate.

În paragraful 4.3 se consideră implementarea SED bazată pe modele de tip rețele Petri având ca suport hardware un automat programabil de tip Simatic S7-414. Se prezintă modul de implementare a modelului de tip rețea Petri corespunzător nodului cu „o” intrare și „o” ieșire, după care, pe baza funcției

elaborate se prezinta modul de implementare a unui program de conducere pentru un STZA. Limbajul de programare utilizat pentru implementare a fost STEP7. In final a rezultat un produs program original care a fost testat si validat in totalitate.

In **Capitolul 5** , in totalitate original, este prezentata o aplicatie scrisa pentru simularea modelelor de tip retele Petri, denumita **PetriTim**. Aplicatia permite generarea de fisiere care contin explicit operatiile realizate pe baza utilizarii ecuatiei de stare, si care in modul de rulare pas cu pas sa dea posibilitate utilizatorului sa aleaga tranzitiile care se executa. Aplicatia a fost dezvoltata in Windows avand ca suport limbajul VISUAL C++.

In **Capitolul 6** sunt sintetizate concluziile rezultate in urma realizarii tezei, evidentiindu-se contributiile originale ale autorului aduse in modelarea si implementarea SED, cu aplicatii directe asupra STZA, contributi care au fost partajate in doua categorii: teoretice si aplicative.

Capitolul 2

Modelarea Sistemelor cu Evenimente Discrete utilizand automate si retele Petri

2.1. Preliminarii

SED sunt, dupa cum s-a mai precizat, sisteme descrise pe baza evenimentelor si a starilor in care se afla sistemul, timpul in acest caz fiind un element nerelevant. In cadrul SED, schimbarea starii se face complet asincron, functie de evenimentele aparute si nu pe baza unui semnal de tact.

Modelarea SED nu se bazeaza pe utilizarea ecuatiilor diferentiale sau ecuatiilor cu diferente, ci pe utilizarea unor metode complet diferite, cum ar fi: limbajele, automatele, retelele Petri etc.

Problemele teoretice ale modelarii SED cu ajutorul modelelor de tip automat respectiv retele Petri este abordata in ultima perioada in numeroase lucrari [Cass02] [CL01] [CKLY95] [CR04a] [FG98] [GM05b] [HKG97] [JK96] [Letia98] [Pastr97] [RW89] [Schm05] [UP06a] [UP06b] [UP06c] [UP06d]. Astfel, in [Cass02][CL01] sunt prezentate in detaliu metode de modelare a SED utilizand limbajele formale, automatele, retelele Petri, lanturile Markov etc. Daca utilizarea modelelor de tip automat este o tema relativ „veche”, numerosi autori s-au concentrat in dezvoltarea teoriei de modelare avand ca suport retelele Petri [Mur89] [BGM00] [CRL06] [DT06] [HF01] [Kemp04] [Letia98] [Pastr97] [PN2000].

O analiza a posibilitatii de utilizare a modelelor de tip retele Petri in conducerea proceselor industriale poate fi regasita in [Aalst94] [Aalst96b] [Aalst98] [DHPSV93] [TTV05], iar ilustrarea modului de utilizare a acestora in [AB03] [AO95][Ciuf02] [CP04] [CR04b] [Daro05b] [EL02] [Kout01] [KW00] [LKWDS06] [FG98] [Aalst96a] [BD03] [ERRW03] [FL00a][GB05][HL97][Hsieh06][Kind04] [KT05][PWX97][Rob97].

Extinderea domeniului de aplicabilitate a utilizarii modelelor de tip retele Petri a condus la aparitia de noi tipuri de retele Petri derivate din modelul initial. Astfel, au fost dezvoltate teorii legate de retelele Petri temporizate [BC04] [BSV03] [FGMS02] [PMM02] [Pomm03] [JJRS04] [JTMZ01], de retelele Petri colorate [Jens96], de retelele Petri etichetate [CL01][GCS05]HKG97][GS05].

Cu toata abundenta de lucrari de specialitate in domeniu, se poate afirma ca problematica legata de utilizarea modelelor de tip retele Petri ca tehnica de modelare a SED este doar la inceput.

In cadrul acestui capitol se urmareste sintetizarea notiunilor fundamentale legate de modelarea SED cu ajutorul automatelor, respectiv a retelelor Petri. Aspectele teoretice sunt imbinat cu aplicatii directe asupra sistemelor de transport cu zone de acumulare (STZA) pornind de la modele simple pana la modele de ordin general.

2.2. Limbaje si automate

2.2.1. Limbaje Formale [CL01][Schm05][Wonh02][DM05]

In [DM05][CL01][Schm05][Wonh02] limbajele formale sunt tratate in detaliu atat din punct de vedere al formalismului matematic cat si din punct de vedere aplicativ. In cadrul acestui paragraf nu se va insista decat asupra unei prezentari sintetice si unitare a definitiilor si operatiilor legate de limbajele formale. Se defineste alfabetul $\Sigma = \{e_1, e_2, \dots, e_n\}, n \in \mathbb{N}$ ca fiind un set finit de simboluri e_i , denumite *evenimente*.

Definitia 2.1 Limbaj

Un **limbaj** definit relativ la un set de evenimente Σ este un set de siruri de lungimi finite format din evenimentele din Σ .

Sirurile s_i , care formeaza limbajul, sunt definite ca fiind obtinute prin concatenarea arbitrara a elementelor e_i : $s_i = e_{i_1}e_{i_2}\dots e_{i_k}$, $e_{i_k} \in \Sigma$ cu $i_1, i_2, \dots, i_k \in \{1, \dots, n\}$.

Setul tuturor sirurilor definite pe baza elementelor din Σ se noteaza Σ^+ .

Elementul nul - sir nul - se defineste ca fiind ε , unde $\varepsilon \notin \Sigma$.

Se defineste ca fiind *inchizator Kleene* a lui Σ : $\Sigma^* := \Sigma^+ \cup \{\varepsilon\}$

Fie sirul $tuv = s$ cu $t, u, v \in \Sigma^*$, atunci:

- t este denumit prefixul sirului s ;
- u este denumit subsirul lui s ;
- v este denumit sufixul sirului s .

Setul uzual de operatii, cum sunt reuniunea, intersectia, diferenta si complementarea cu referire la Σ^* , sunt aplicabile limbajelor. In plus in cadrul limbajelor se mai folosesc urmatoarele operatii [CL01][SchmC05]:

- *concatenarea*: fie $L_a, L_b \subseteq \Sigma^*$, atunci

$$L_a L_b := \{s \in \Sigma^* : (s = s_a s_b) \text{ si } (s_a \in L_a) \text{ si } (s_b \in L_b)\} \quad (2.1)$$

altfel spus, un sir este in $L_a L_b$ daca poate fi scris ca si rezultatul concadenarii unui sir din L_a cu un sir din L_b .

- *prefix-inchizator*: Fie $L \subseteq \Sigma^*$, atunci

$$\bar{L} := \{s \in \Sigma^* : \text{existat } t \in \Sigma^* \text{ a.i. } (st \in L)\} \quad (2.2)$$

altfel spus, prefixul-inchizator a lui L este limbajul notat \bar{L} si este constituit din toate prefixele tuturor sirurilor din L . In general $L \subseteq \bar{L}$.

Se spune ca L este *prefix-închizator* dacă $L = \bar{L}$. Acest limbaj L este *prefix-closed* dacă orice prefix a oricărui sir din L este de asemenea element din \bar{L} .

- *Inchiderea* (Kleene-closure): fie $L \subseteq \Sigma^*$, atunci
 $L^* := \{\varepsilon\} \cup L \cup LL \cup LLL \cup \dots$ (2.3)

2.2.2. Automate [CL01][Schm05][Wonh02]

Automatele reprezintă o metoda deosebit de uzitata in modelarea SED.

Definitia 2.2 Automatul determinist

Un automat determinist, notat prin G , este un sextuplu

$$G = (X, \Sigma, \delta, \Gamma, x_0, X_m) \quad (2.4)$$

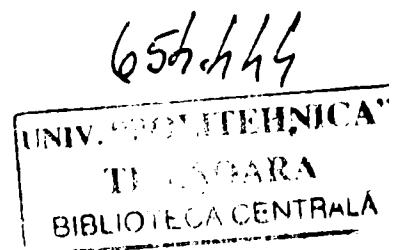
unde:

- X este setul starilor;
- Σ este un set finit de evenimente asociate cu tranzitiile din G ;
- $\delta : X \times \Sigma \rightarrow X$ este functia de tranzitie: $\delta(x, e) = y$, inseamna aparitia unei tranzitii etichetata prin evenimentul e in starea x , ceea ce are ca efect tranzitia in starea y ; in general, δ este o functie partiala pe domeniul sau de definire.
- $\Gamma : X \rightarrow 2^E$ este functia eveniment activ; $\Gamma(x)$ este setul tuturor evenimentelor e pentru care $\delta(x, e)$ este definita si este apelata de evenimentul activ din G corespunzator starii active x .
- x_0 este starea initiala a sistemului;
- $X_m \subseteq X$ este setul starilor marcate.

Modul de operare a unui automat G este: sistemul porneste din starea initiala x_0 si dupa aparitia evenimentului $e \in \Gamma(x_0) \subseteq \Sigma$ va avea ca efect executia unei tranzitii intr-o stare corespunzatoare rezultatului functiei $\delta(x_0, e) \in X$. Acest proces continua avand la baza definirea tranzitiilor prin functia δ .

Functia δ este intotdeauna o extensie din domeniul $X \times \Sigma$ la domeniul $X \times \Sigma^*$ in urmatorul mod recursiv:

$$\begin{aligned} \delta(x, \varepsilon) &:= x; \\ \delta(x, se) &:= \delta(\delta(x, s), e) \text{ pentru } s \in \Sigma^* \text{ si } e \in \Sigma. \end{aligned} \quad (2.5)$$



Exemplul 2.1. Un automat simplu

In figura 2.1 se prezinta un model de tip automat.

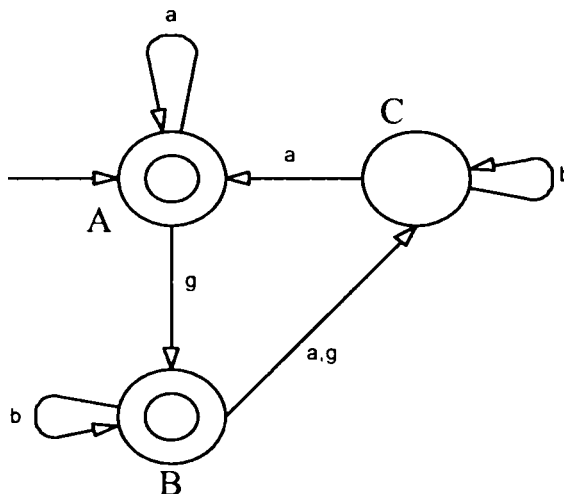


Figura 2.1: Diagrama de tranzitie a starilor pentru modelul de tip automat considerat

Automatul fiind definit prin $G = (X, \Sigma, \delta, \Gamma, x_0, X_m)$, unde

- $X = \{A, B, C\}$
- $\Sigma = \{a, b, g\}$
 - $\delta(A, a) = A$
 - $\delta(A, g) = B$
- $\delta(B, a) = \delta(B, g) = C$
 - $\delta(B, b) = B$
 - $\delta(C, b) = C$
 - $\delta(C, a) = A$
- $x_0 = A$
- $X_m = \{A, B\}$

2.2.3. Limbajele ca reprezentante a automatelor [CL01] [Schm05] [Wohn02]

Conexiunea dintre limbaje si automate este usor de realizat prin inspectarea diagramelor de tranzitie a starilor unui automat. Se considera ca toate caile directe pot fi urmarite in diagrama de tranzitie a starilor pornind din starea initiala; se considera de asemenea ca toate aceste cai au finalitate intr-o stare marcata. Toate aceste considerente conduc la introducerea notiunii de **limbaj generat** si **marcat** de un automat.

Definitia 2.3 (Limbaje generate si marcate)

Limbajul generat de automatul $G = (X, \Sigma, \delta, \Gamma, x_0, X_m)$ este

$$L(G) := \{s \in \Sigma^* : \delta(x_0, s) \text{ este definit pentru un } x_0 \in X_0\} \quad (2.6)$$

Un limbaj marcat de G este

$$L_m(G) := \{s \in \Sigma^* : \delta(x_0, s) \in X_m \text{ pentru un } x_0 \in X_0\} \quad (2.7)$$

unde $\delta : X \times \Sigma^* \rightarrow X$.

Limbajul $L(G)$ reprezintă toate caile directe care pot fi urmate în cadrul diagramei de stări, pornind din starea inițială; șirul corespunzător unei căi va fi constituit prin concadenarea etichetelor evenimentului corespunzătoare căii considerate. Altfel spus, un șir s există în $L(G)$ dacă și numai dacă el corespunde unei căi accesibile în diagrama de tranziție a stărilor, ceea ce este echivalent cu, dacă sau numai dacă δ este definită la (x_0, s) . $L(G)$ este prin definiție prefix-închizator, ceea ce denotă faptul că o cale de tranziție este validată numai dacă toate prefixele sale sunt valide. Dacă δ este o funcție totală pe domeniul ei atunci este necesar ca $L(G) = \Sigma^*$.

Al doilea limbaj reprezentat prin G , $L_m(G)$ este un subset al lui $L(G)$ conținând numai șiruri s pentru care $\delta(x_0, s) \in X_m$, aceste șiruri corespunzând căilor care au ca finalitate stări marcate din diagrama de tranziție a stărilor. Deoarece în cadrul spațiului stărilor X nu toate stările trebuie să fie marcate, limbajul $L_m(G)$ generat prin G nu este neapărat un limbaj prefix-închizator. Un limbaj marcat este de asemenea recunoscut de automat și invers, un automat este recunoscut de un limbaj dat.

2.2.4. Blocaje [CL01][Wohn02]

Pe baza definițiilor enunțate pentru G , $L(G)$ și $L_m(G)$ rezultă:

$$L_m(G) \subseteq \overline{L_m(G)} \subseteq L(G) \quad (2.8)$$

Fie automatul G și o stare activă x ($x \in X$) pentru care $\Gamma(x) = 0$ și $x \notin X_m$. Această situație se numește *blocaj* deoarece nici un eveniment apărut ulterior nu mai are efect asupra automatului (nu se mai execută tranziții). În această situație se spune că automatul este *blocat*. Dacă se întâmplă un *blocaj*, atunci $\overline{L_m(G)}$ este un subset al lui $L(G)$, deoarece în $L(G)$ toate șirurile care au la sfârșit starea x nu pot fi prefixe ale șirurilor din $L_m(G)$.

O altă situație care poate apărea este generată de faptul că în G pot exista stări nemarcate (aceste stări pot fi atise din alte stări) dar nu mai există tranziții de ieșire din acestea. Dacă sistemul ajunge într-o asemenea stare se spune că este în buclă infinită. Astfel dacă sistemul ajunge într-o astfel de situație, indiferent de evenimentul care se produce nu există o tranziție satisfăcută, sarcina sistemului nefiind finalizată. Dacă o situație activare a unei bucle infinite se produce, atunci $\overline{L_m(G)}$ este un subset al lui $L(G)$. Orice șir din $L(G)$ care duce la activarea stărilor nemarcate nu pot fi prefixe ale șirurilor în $L_m(G)$. Un sistem ajuns în livelock se consideră de asemenea că este blocat.

Definiția 2.4 Blocajul

Automatul G este blocant dacă

$$\overline{L_m(G)} \subset L(G) \quad (2.9)$$

unde setul de incluziune este complet, si este nebloccant cand

$$\overline{L_m(G)} = L(G) \quad (2.10)$$

2.2.5. Automate nedeterministe [CL01][Wohn02]

In abordarile de pana acum s-a considerat ca in cadrul tranzitiilor stariilor aparitia unui eveniment e are ca efect tranzitia dintr-o stare x intr-o stare noua y unic determinata. In multe cazuri, insa, se poate intampla ca dintr-o stare x , in urma aparitiei unui eveniment e , tranzitia sa nu se efectueze intr-o alta stare ci sa existe posibilitatea de tranzitie in mai multe stari. Pornind de la aceasta observatie se poate spune ca functia $\delta(x, e)$ nu va reprezenta o noua stare $y \in X$, ci va avea ca rezultat un set de posibile noi stari. De asemenea se doreste includerea evenimentului ε (tranzitia ε) in diagrama de tranzitie a stariilor automatului considerat. Aceste tranzitii pot reprezenta evenimente care au ca efect schimbarea starii interne a SED, dar care nu sunt „observabile” de un observator extern. Astfel, un observator extern nu poate atasa un eveniment la o tranzitie efectuata, dar poate recunoaste tranzitia prin utilizarea lui ε .

Aceste doua schimbari, adica, setul de evenimente considerat nu este numai Σ ci $\Sigma \cup \{\varepsilon\}$, iar functia de transfer are domeniul si codomeniul diferite, domeniul fiind $X \times \Sigma \cup \{\varepsilon\}$ si co-domeniul 2^X , fapt care conduce la utilizarea notiunii de *automat nedeterminist*.

Definitia 2.5 Automatul nedeterminist

Un automat nedeterminist notat prin G este un sextuplu

$$G_{nd} = (X, \Sigma \cup \{\varepsilon\}, \delta_{nd}, \Gamma, x_0, X_m) \quad (2.11)$$

unde elementele componente au aceeasi interpretare ca in cazul definirii automatului determinist (definitia 2.2), cu urmatoarele diferente:

1. δ_{nd} este o functie $\delta_{nd} : X \times \Sigma \cup \{\varepsilon\} \rightarrow 2^X$, astfel incat , $\delta_{nd} \subseteq X$ intotdeauna cand ea este definita;
2. starea initiala poate fi ea insasi un set de stari, astfel $x_0 \subseteq X$.

Similar unui automat determinist, un automat nedeterminist genereaza limbajele:

$$\begin{aligned} L(G_{nd}) &= \{s \in \Sigma^* : \exists x \in x_0 (\delta_{nd}(x, s) \text{ este definita})\} \\ L_m(G_{nd}) &= \{s \in L(G_{nd}) : \exists x \in x_0 (\delta_{nd}(x, s) \cap X_m \neq \emptyset)\} \end{aligned} \quad (2.12)$$

2.2.6. Operatii cu automate [CL01][Wohn02]

2.2.6.1. Operatii unare

Accesibilitatea

Din definitiile lui $L(G)$ si $L_m(G)$, se poate observa ca din G pot fi sterse toate stările care nu pot fi atinse sau nu sunt accesibile din starea initiala x_0 prin utilizarea

unor siruri din $L(G)$, fara ca limbajele generate si marcate de G sa fie afectate. Cand se „sterge” o stare, se sterg implicit si tranzitiile atasate starii considerate. Aceasta operatie se noteaza prin $Ac(G)$. Formal,

$$Ac(G) := \{X_{ac}, \Sigma, \delta_{ac}, x_0, X_{ac,m}\} \quad (2.13)$$

unde,

$$X_{ac} = \{x \in X : \exists (s \in \Sigma^*) \delta(x_0, s) = x\}$$

$$X_{ac,m} = X_m \cap X_{ac}$$

$$\delta_{ac} = \delta|_{X_{ac} \times \Sigma \rightarrow X_{ac}}$$

Coacesibilitatea

O stare x din G se spune ca este *coacesibila* la X_m , sau simplu *coacesibila*, daca exista un sir s in $L_m(G)$ care asigura trecerea prin x ; aceasta inseamna ca exista o cale in diagrama de tranzitie a starilor a lui G care sa asigure trecerea din starea x intr-o stare marcata. Se indica astfel stergerea tuturor starilor lui G care nu sunt coacesibile, rezultand $CoAc(G)$, unde $CoAc$ contine numai partile coacesibile. Alegerea partilor coacesibile a unui automat inseamna construirea:

$$CoAc(G) := \{X_{coac}, \Sigma, \delta_{coac}, x_0, X_{coac}, X_m\} \quad (2.14)$$

unde,

$$X_{coac} = \{x \in X : \exists (s \in \Sigma^*) \delta(x_0, s) \in X_m\}$$

$$x_{0,coac} = \begin{cases} x_0 & \text{daca } x_0 \in X_{coac} \\ \text{nedefinit} & \text{daca } x_0 \notin X_{coac} \end{cases}$$

$$\delta_{coac} = \delta|_{X_{coac} \times \Sigma \rightarrow X_{coac}}$$

Operatia trim

Un automat care este *accesibil* si *coacesibil* se spune ca este un automat *trim*. Operatia Trim se defineste ca fiind:

$$Trim(G) := CoAc[Ac(G)] = Ac[CoAc(G)]. \quad (2.15)$$

Complementul

Fie automatul trim $G = (X, \Sigma, \delta, \Gamma, x_0, X_m)$ care marcheaza limbajul $L \subseteq \Sigma^*$. Astfel G genereaza limbajul \bar{L} . Se poate construi un alt automat, notat G^{comp} , care va fi marcat prin limbajul $\Sigma^* \setminus L$.

G^{comp} este construit in doi pasi dupa cum urmeaza:

1. Se completeaza functia de tranzitie δ a lui G astfel incat sa fie o functie completa. Noua functie de tranzitie este δ_{tot} . Aceasta se realizeaza prin adaugarea unei noi stari x_d in X , stare denumita „stare

moarta". Toate rezultatele nedefinite a lui $\delta(x, e)$ din G sunt asigurate la starea x_d . Formal,

$$\delta_{tot}(x, e) = \begin{cases} \delta(x, e) & \text{daca } e \in \Gamma(x) \\ x_d & \text{daca } e \notin \Gamma(x) \end{cases} \quad (2.16)$$

In plus, se considera $\delta_{tot}(x_d, e) = x_d$ pentru toate evenimentele $e \in \Sigma$.

Cu noua stare x_d (stare nemarcată) rezulta un automat nou:

$$G_{tot} = (X \cup \{x_d\}, \Sigma, \delta_{tot}, x_0, X_m) \quad (2.17)$$

care genereaza $L(G_{tot}) = \Sigma^*$ si $L_m(G_{tot}) = L$.

2. Se schimba stările marcajelor a tuturor stărilor din G_{tot} prin marcarea tuturor stărilor nemarcate (inclusiv x_d) si se demarcheaza toate stările marcate. Astfel, se definește

$$G^{comp} = (X \cup \{x_d\}, \Sigma, \delta_{tot}, x_0, (X \cup \{x_d\}) \setminus X_m) \quad (2.18)$$

cu, $L(G^{comp}) = \Sigma$ si $L_m(G^{comp}) = \Sigma^* \setminus L_m(G)$.

2.2.6.2. Operatii de compunere [CL01][Wohn02]

Se definesc doua operatii de compunere care pot fi aplicate automatelor, si anume: *produsul*, notat prin „x”, si *compunerea paralela*, notata prin „||”. Compunerea paralela mai este denumita si *compunerea sincrona* iar produsul mai este denumit si *operatie de compunere total sincrona*. Aceste doua operatii modeleaza in doua forme comportarea comuna a unui set de automate. Pentru exemplificarea operatiilor se considera doua automate G_1 si G_2 definite prin:

$$G_1 = (X_1, \Sigma_1, \delta_1, \Gamma_1, x_{01}, X_{m1}) \quad \text{si} \quad G_2 = (X_2, \Sigma_2, \delta_2, \Gamma_2, x_{02}, X_{m2}) \quad (2.19)$$

Ambele automate sunt considerate accesibile, si nu este obligatoriu sa fie coaccesibile. Aceste doua automate sunt conectate ca in figura 2.2.

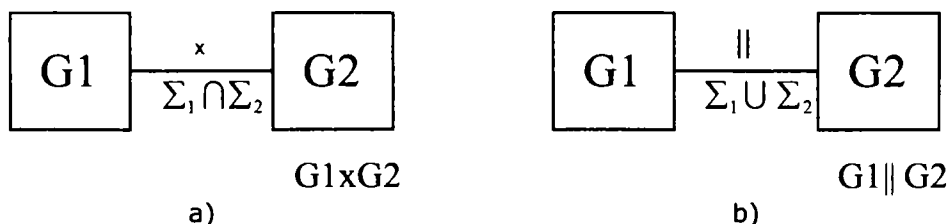


Figura 2.2: Modul de interconectare a automatelor G_1 si G_2 . a) operatia „x”;
b) operatia „||”

Produsul

Produsul automatelor G_1 și G_2 este un automat

$$G_1 \times G_2 := Ac(X_1 \times X_2, \Sigma_1 \cap \Sigma_2, \delta, \Gamma_{1 \times 2}, (x_{01}, x_{02}), X_{m1} \times X_{m2}) \quad (2.20)$$

unde

$$\delta((x_1, x_2), e) := \begin{cases} (\delta_1(x_1, e), \delta_2(x_2, e)) & \text{daca } e \in \Gamma_1(x_1) \cap \Gamma_2(x_2) \\ \text{nedefinita} & \text{daca } e \notin \Gamma_1(x_1) \cap \Gamma_2(x_2) \end{cases} \quad (2.21)$$

și $\Gamma_{1 \times 2}(x_1, x_2) = \Gamma_1(x_1) \cap \Gamma_2(x_2)$.

În cadrul unui automat rezultat în urma produsului a două automate, tranzițiile celor două automate primare trebuie să fie întotdeauna sincronizate pe un eveniment comun, un eveniment care este conținut în $\Sigma_1 \cap \Sigma_2$. Astfel $G_1 \times G_2$ reprezintă „lock-step” conectării lui G_1 și G_2 , unde un apariția unui eveniment este validat dacă și numai dacă el apare în ambele automate. Stările automatului $G_1 \times G_2$ sunt notate prin perechi, unde primul element este starea curentă a lui G_1 iar al doilea element este starea curentă a lui G_2 . Această afirmație este ușor de verificat deoarece limbajele lui $G_1 \times G_2$ sunt:

$$L(G_1 \times G_2) = L(G_1) \cap L(G_2) \quad (2.22)$$

$$L_m(G_1 \times G_2) = L_m(G_1) \cap L_m(G_2). \quad (2.23)$$

Aceasta prezintă faptul că intersecția a două limbaje poate fi implementată prin realizarea produsului corespunzător al automatelor pe care limbajele le reprezintă. Dacă $\Sigma_1 \cap \Sigma_2 = \emptyset$, atunci $L(G_1 \times G_2) = \{\varepsilon\}$; $L_m(G_1 \times G_2)$ va fi de asemenea \emptyset sau $\{\varepsilon\}$, funcție de marcajul stării inițiale (x_{01}, x_{02}) .

Compunerea paralelă

Compunerea paralelă a automatelor G_1 și G_2

$$G_1 \parallel G_2 := Ac(X_1 \times X_2, \Sigma_1 \cup \Sigma_2, \delta, \Gamma_{1 \parallel 2}, (x_{01}, x_{02}), X_{m1} \times X_{m2}) \quad (2.24)$$

unde

$$\delta((x_1, x_2), e) := \begin{cases} (\delta_1(x_1, e), \delta_2(x_2, e)) & \text{daca } e \in \Gamma_1(x_1) \cap \Gamma_2(x_2) \\ (\delta_1(x_1, e), x_2) & \text{daca } e \in \Gamma_1(x_1) \setminus \Sigma_2 \\ (x_1, \delta_2(x_2, e)) & \text{daca } e \in \Gamma_2(x_2) \setminus \Sigma_1 \\ \text{nedefinita} & \text{altfel} \end{cases} \quad (2.25)$$

si $\Gamma_{1\parallel 2}(x_1, x_2) = [\Gamma_1(x_1) \cap \Gamma_2(x_2)] \cup [\Gamma_1(x_1) \setminus \Sigma_2] \cup [\Gamma_2(x_2) \setminus \Sigma_1]$.

In cadrul compunerii paralele, un eveniment comun, care este continut in $\Sigma_1 \cap \Sigma_2$, poate fi executat numai daca ambele automate il executa simultan. Astfel, cele doua automate sunt sincronizate pe evenimente comune. In cazul unor evenimente „private”, care sunt continute in $(\Sigma_2 \setminus \Sigma_1) \cup (\Sigma_1 \setminus \Sigma_2)$, asupra lor nu exista constrangeri in a fi executate. In acest tip de conexiune, o componenta poate executa un eveniment privat fara participarea altor componente; intotdeauna un eveniment comun este executabil daca ambele componente pot sa-l execute.

Daca $\Sigma_1 = \Sigma_2$, operatia de compunere paralela se reduce la operatia de produs, astfel incat toate tranzitiile sunt fortate sa se efectueze sincronizat. Daca $\Sigma_1 \cap \Sigma_2 = \emptyset$, nu exista tranzitii sincronizate si $G_1 \parallel G_2$ are un comportament concurent a lui G_1 si G_2 .

Operatia de compunere paralela este:

1.comutativa: $G_1 \parallel G_2 = G_2 \parallel G_1$

2.asociativa: $G_1 \parallel (G_2 \parallel G_3) = (G_1 \parallel G_2) \parallel G_3$.

Pentru a putea face referiri la limbajele generate si marcate de catre $G_1 \parallel G_2$, se defineste mai intai *proiectia* ca fiind:

$$P_i : (\Sigma_1 \cup \Sigma_2)^* \rightarrow \Sigma_i^* \text{ pentru } i=1,2 \quad (2.26)$$

dupa cum urmeaza:

$$P_i(\varepsilon) := \varepsilon$$

$$P_i(e) := \begin{cases} e & \text{daca } e \in \Sigma_i \\ \varepsilon & \text{daca } e \notin \Sigma_i \end{cases} \quad (2.27)$$

$$P_i(se) := P_i(s)P_i(e) \text{ pentru } s \in (\Sigma_1 \cup \Sigma_2)^*, e \in (\Sigma_1 \cup \Sigma_2).$$

Fie doua seturi de evenimente unde unul este un subset al celuilalt, adica $\Sigma_1 \cup \Sigma_2$ si Σ_i in acest caz, acest mod de proiectie sterge evenimentele dintr-un sir format din setul larg de evenimente $(\Sigma_1 \cup \Sigma_2)$ care nu apartin setului mic de evenimente (oricare din Σ_1 sau Σ_2). Acest tip de proiectie se mai numeste si *proiectie naturala*.

In multe situatii se mai utilizeaza si *proiectia inversa*:

$$P_i^{-1} : \Sigma_i^* \rightarrow 2^{(\Sigma_1 \cup \Sigma_2)^*} \quad (2.28)$$

definita dupa cum urmeaza:

$$P_i^{-1}(t) := \{s \in (\Sigma_1 \cup \Sigma_2)^* : P_i(s) = t\}. \quad (2.29)$$

Fie un sir care face parte din setul mic de evenimente (Σ_i) , proiectia inversa returneaza un set al tuturor sirurilor din setul larg de evenimente $(\Sigma_1 \cup \Sigma_2)$ care proiecteaza cu P_i la sirurile date.

Proiectia P_i si inversa sa P_i^{-1} sunt extensii la limbaje prin simpla aplicare a lor la toate sirurile din limbaj. Pentru $L \subseteq (\Sigma_1 \cup \Sigma_2)^*$,

$$P_i(L) := \{t \in \Sigma_i^* : \exists s \in L (P_i(s) = t)\} \quad (2.30)$$

si pentru $L_i \subseteq \Sigma_i^*$,

$$P_i^{-1}(L_i) := \{s \in (\Sigma_1 \cup \Sigma_2) : \exists t \in L_i (P_i(s) = t)\}. \quad (2.31)$$

Limbajele rezultate din operatia de compunere paralela sunt:

$$1. \text{ Limbajul generat: } L(G_1 \parallel G_2) = P_1^{-1}[L(G_1)] \cap P_2^{-1}[L(G_2)] \quad (2.32)$$

$$2. \text{ Limbajul marcat: } L_m(G_1 \parallel G_2) = P_1^{-1}[L_m(G_1)] \cap P_2^{-1}[L_m(G_2)]. \quad (2.33)$$

Caracterizarea comportamentelor automatelor prin intermediul operatiei de compunere paralela utilizand proiectia corespunzatoare se reduce in fapt la definirea compunerii paralele a limbajelor corespunzatoare [Cas01].

Fie un limbaj $L_i \subseteq \Sigma_i^*$ si P_i , definit dupa cum a fost prezentat mai sus, rezulta:

$$L_1 \parallel L_2 := P_1^{-1}(L_1) \cap P_2^{-1}(L_2) \quad (2.34)$$

2.2.7. Transformarea unui automat nedeterminist in automat determinist [CL01]

In [CL01] se prezinta un algoritm pentru transformarea unui automat nedeterminist intr-un automat determinist prin intermediul unui limbaj „salvator”. Rezultatul unei astfel de transformari este un automat determinist denumit *observer* corespondent la automatul nedeterminist; *observerul* automatului nedeterminist G_{nd} se noteaza ca fiind G_{obs} .

Observerul are rolul de a urmarii evolutia automatului nedeterminist estimand traiectoriile tranzitiilor functie de evenimentele aparute.

Procedura de construire a unui *observer* G_{obs} pentru un automat nedeterminist G_{nd} este descrisa in continuare.

Fie automatul nedeterminist $G_{nd} = (X, \Sigma \cup \{\varepsilon\}, \delta_{nd}, x_0, X_m)$. *Observerul* $G_{obs} = (X_{obs}, \Sigma, \delta_{obs}, x_{0,obs}, X_{m,obs})$ se construiesc in astfel:

$$\mathbf{Pasul 1.}$$
 Porneste cu $X_{obs} = 2^X \setminus \emptyset \quad (2.35)$

$$\mathbf{Pasul 2.}$$
 Pentru fiecare stare $x \in X$ se defineste $UR(x) := \delta_{nd}(x, \varepsilon) \quad (2.36)$

UR reprezinta „raza de actiune neobservabila” de la evenimentul ε , tranzitiile nefiind observabile, in aceasta situatie lucrandu-se cu extensia functiei δ_{nd} . Pentru un set B , se defineste

$$UR(B) = \bigcup_{x \in B} UR(x) \quad (2.37)$$

Pasul 3. Se definește $x_{0,obs} = UR(x_0)$ (2.38)

Pasul 4. Pentru fiecare $S \subseteq X$ și $e \in \Sigma$, se definește

$$\begin{aligned} \delta_{obs}(S, e) &= UR(\{x \in X : \exists x_e \in S [x \in \delta_{nd}(x_e, e)]\}) \\ &= \{x \in X : \exists x_e \in S [x \in \delta_{nd}(x_e, e)]\} \end{aligned} \quad (2.39)$$

din definiția extensiei lui δ_{nd} la siruri.

Pasul 5. $X_{m,obs} = \{S \subseteq X : S \cap X_m \neq \emptyset\}$ (2.40)

Pasul 6. În practică, în prima fază sunt realizate numai partile accesibile ale lui G_{obs} . Setul stărilor astfel rezultat X_{obs} fiind un subset al lui 2^X .

Proprietățile cele mai importante ale lui G_{obs} sunt:

1. G_{obs} este un automat determinist
2. $L(G_{obs}) = L(G_{nd})$
3. $L_m(G_{obs}) = L_m(G_{nd})$.

2.3. Rețele Petri

O alternativă la automatele netemporizate ca modele ale sistemelor cu evenimente discrete (SED) este dată de rețelele Petri. Acest concept a fost dezvoltat de C.A. Petri în anii '60 [Petri62]. Rețele Petri sunt înrudite cu automatele în sensul că prezintă explicit funcția de tranziție a unui SED. Analog automatelor, o rețea Petri este un instrument care gestionează evenimente în funcție de anumite reguli impuse.

Rețelele Petri sunt descrise grafic, rezultând graful rețelei Petri, graf care este intuitiv și conține toate informațiile legate de sistemul analizat.

2.3.1. Rețele Petri netemporizate [Mur98][Pastr97][CL01]

O rețea Petri este alcătuită dintr-un graf orientat notat N și o stare inițială x_0 , denumită *marcaj inițial*. Graful N al rețelei Petri este orientat, ponderat și bipartit (arcele nu pot conecta direct două noduri de același tip), și constă în două tipuri de noduri, denumite *poziții* (locații) și respectiv *tranziții*. Legătura dintre poziții și tranziții se face prin intermediul *arcelor*. Acestea pornesc fie de la o poziție la o tranziție, fie de la o tranziție la o poziție. Este important de reținut că nu există arce care să conecteze direct două poziții între ele, sau două tranziții între ele. Pentru simbolizarea grafică, se utilizează cercuri în cazul pozițiilor și bare (dreptunghiuri) în cazul tranzițiilor.

Fiecărui arc îi corespunde o *etichetă* care semnifică ponderea lui (numere întregi și pozitive). Un arc cu ponderea k poate fi privit ca o mulțime de k arce paralele cu o pondere unitară. Etichetele a căror valoare este unitară se omit în reprezentarea grafică uzuală, lipsa ponderii ducând la considerarea acestora ca fiind implicit egală cu unu.

Fiecărei poziții i se atribuie un număr întreg și pozitiv prin intermediul unui marcaj sau a unei stări. Se spune despre o poziție p că este marcată cu k jetoane dacă acesteia îi este atribuit marcajul $k \geq 0$. În modul grafic cercului corespunzător poziției p îi sunt atribuite k jetoane. Marcajul x este un vector n -dimensional al pozițiilor p ale grafului. Dimensiunea n a marcajului x reprezintă numărul total al pozițiilor. Fiecare componentă a vectorului x corespunzătoare unei poziții p redă numărul de jetoane din această poziție (notația folosită este $x(p)$).

În problemele de modelare ce utilizează conceptele de condiții și evenimente, pozițiile reprezintă condiții și tranzițiile reprezintă evenimente. Fiecărei tranziții i se atribuie un număr întreg și pozitiv de poziții de intrare și de ieșire. Pozițiile de intrare reprezintă pre-condițiile și pozițiile de ieșire reprezintă post-condițiile evenimentului respectiv. În cazul în care unei poziții îi corespunde un jeton, atunci valoarea logică a condiției asociate poziției respective este considerată ca fiind „adevărat”.

Definiția 2.6. Rețea Petri netemporizată

Un graf (sau o structură) de rețea Petri este un graf bipartit ponderat $PN = (P, T, F, W, M_0)$ (topologia rețelei), unde:

- P reprezintă mulțimea finită de poziții, unde $P = \{p_1, p_2, p_3, \dots, p_n\}$;
- T reprezintă mulțimea finită de tranziții, unde $T = \{t_1, t_2, t_3, \dots, t_m\}$;
- $F \subseteq (P \times T) \cup (T \times P)$ reprezintă mulțimea arcelor de la poziții la tranziții și de la tranziții la poziții, fiecare arc fiind reprezentat prin (p_i, t_j) , respectiv (t_j, p_i) , unde $i, j \in N$;
- $W : A \rightarrow \{1, 2, 3, \dots\}$ reprezintă funcția de ponderare a arcelor.
- $M_0 : P \rightarrow \{0, 1, 2, \dots\}$ reprezintă funcția de marcaj initial.

Exemplul 2.2. Un model de rețea Petri

În figura 2.3 se prezintă structura unei rețele Petri.

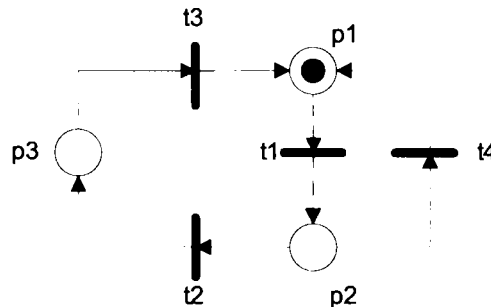


Figura 2.3: Model de rețea Petri

Reteaua Petri considerată este exprimată prin formalism matematic după cum urmează:

$$PN = (P, T, F, W, M_0)$$

unde:

- $P = \{p_1, p_2, p_3\}$;
- $T = \{t_1, t_2, t_3, t_4\}$;
- $F = \{(p_1, t_1), (p_2, t_2), (p_2, t_4), (p_3, t_3)\} \cup \{(t_1, p_2), (t_3, p_1), (t_4, p_1)\}$

- $W = \{w(p_1, t_1) = 1, w(p_2, t_2) = 1, w(p_2, t_4) = 1, w(p_3, t_3) = 1\},$
 $w(t_1, p_2) = 1, w(t_3, p_1) = 1, w(t_4, p_1) = 1\}$
- $M_0 = \{1, 0, 0\}$

Mulțimile P și T trebuie să fie disjuncte $P \cap T = \emptyset$ și în plus trebuie să satisfacă condiția $P \cup T \neq \emptyset$.

În descrierea unei rețele Petri, se folosește $I(t_j)$ pentru a reprezenta mulțimea pozițiilor de intrare pentru tranziția t_j și $O(t_j)$ pentru a reprezenta mulțimea pozițiilor de ieșire pentru tranziția t_j :

$$I(t_j) = \{p_i \in P : (p_i, t_j) \in F; i, j \in N\} \text{ respectiv} \quad (2.41)$$

$$O(t_j) = \{p_i \in P : (t_j, p_i) \in F; i, j \in N\}$$

Pentru a descrie tranzițiile de intrare pentru o poziție p_i se folosește $I(p_i)$, iar pentru a descrie tranzițiile de ieșire se folosește $O(p_i)$.

Unui SED Σ se poate asocia un graf de rețea Petri, pozițiile lui descriind condițiile în care evenimentele sistemului pot avea loc. Condițiilor descrise de o poziție le sunt asociate *jetoane*. Un *jeton* se reprezintă grafic printr-o bulină în interiorul poziției și semnifică faptul că este îndeplinită condiția descrisă de poziție. Îndeplinirea unei condiții caracteristice unei poziții poate fi semnalată printr-unul sau mai multe jetone.

Asocierea de jetoane pozițiilor unui graf determină *marcarea* acestuia. Deci fiecărui graf asociat unei rețele Petri (P, T, F, W) îi corespunde un *marcaj* x .

Orice *marcaj* x este o funcție de forma $x : P \rightarrow N$ ce definește un vector linie $x = [x(p_1) x(p_2) \dots x(p_n)]$, n reprezentând numărul de poziții din graf. Numărul de jetoane corespunzător unei poziții p_i îl regăsim în poziția i a vectorului x . În urma marcării, o rețea Petri va deveni o rețea marcată și va fi simbolizată prin cvintuplul (P, T, F, W, x) .

În urma marcării pozițiilor unei rețele Petri putem vorbi de starea rețelei. *Starea rețelei Petri* se definește ca fiind vectorul marcajelor. Deoarece numărul jetoanelor asociate unei poziții nu este limitat putem avea un număr de stări infinit. Spațiul stărilor, X , al unei rețele Petri cu n poziții este n -dimensional, iar marcajul inițial al rețelei va fi notat cu x_0 .

O tranziție este validată dacă în fiecare poziție de intrare a tranziției respective se găsește cel puțin un jeton.

Definiția 2.7. Validarea unei tranziții

O tranziție $t_j \in T$ a unei rețele Petri se numește validată dacă $x(p_i) \geq w(p_i, t_j)$ oricare ar fi $p_i \in I(t_j)$.

Definiția 2.8. Dinamica rețelelor Petri

Funcția tranzițiilor de stare, $f : N^n \times T \rightarrow N^n$ a unei rețele Petri $PN = (P, T, F, W, x, M_0)$ marcate, este definită pentru tranziția $t_j \in T$ dacă și numai dacă $x(p_i) \geq w(p_i, t_j)$ oricare ar fi $p_i \in I(t_j)$.

Dacă funcția tranzițiilor de stare, $f(x, t_j)$, este definită, atunci se notează $x' = f(x, t_j)$, unde $x'(p_i) = x(p_i) - w(p_i, t_j) + w(t_j, p_i)$, $i = 1, \dots, n$.

Definitia 2.9. Stari accesibile

Setul starilor accesibile a unei rețele Petri $PN = (P, T, F, W, x, M_0)$ este:

$$R[(P, T, F, W, x, M_0)] := \{y \in N^n : \exists s \in T^* (f(x, s) = y)\}$$

2.3.2. Analiza proprietăților comportamentale [Mur89][Pastr97][CL01]

Topologia unei rețele Petri, precum și marcajul său inițial determină proprietățile comportamentale ale acestei rețele. Proprietățile comportamentale se vor analiza cu ajutorul grafului de acoperire, arborelui de acoperire și a ecuației de stare.

Accesibilitate. Un marcaj x_k este numit *marcaj accesibil* din marcajul inițial x_0 dacă există o secvență de executări de tranziții care transformă marcajul inițial x_0 în marcajul x_k . Secvența de executări de tranziții se notează uzual prin: $\sigma = x_0 t_{j_1} x_1 t_{j_2} \dots t_{j_k} x_k$ sau prin $\sigma = t_{j_1} t_{j_2} \dots t_{j_k}$. Cea de-a doua variantă este utilizată în cazul în care nu interesează succesiunea de marcaje.

Mărginire. Orice rețea Petri se spune că este *k-mărginită* (sau mărginită) dacă numărul de jetoane corespunzător fiecărei poziții este maxim k pentru orice marcaj accesibil din starea inițială x_0 : $x(p_i) \leq k$, oricare ar fi poziția p_i considerată și $x \in R(x_0)$.

Viabilitate. O rețea Petri $PN = (P, T, F, W, x, M_0)$ este *viabilă* dacă este posibil să fie executată orice tranziție t a rețelei, indiferent de marcajul care a fost atins pornind din x_0 . Pentru a se executa tranziția t se pot executa un număr finit de alte tranziții intermediare. De asemenea, se spune că marcajul x_0 este un *marcaj viabil* pentru $PN = (P, T, F, W, x, M_0)$. În cazul în care există un marcaj pentru care nici o tranziție a rețelei nu mai poate fi executată, această situație se numește *blocaj*.

Reversibilitate. Dacă pentru o rețea Petri $PN = (P, T, F, W, x, M_0)$ marcajul x_0 este accesibil pornind din orice marcaj $x \in R(x_0)$ atunci rețeaua se spune că este *reversibilă*.

Acoperire. Pentru o rețea Petri $PN = (P, T, F, W, x, M_0)$, un marcaj $x \in R(x_0)$ se spune că este *acoperibil* dacă există un marcaj $x' \in R(x_0)$ astfel încât $x'(p) \geq x(p)$ pentru fiecare poziție p a rețelei.

Persistentă. O rețea Petri $PN = (P, T, F, W, x, M_0)$ că este *persistentă* dacă pentru oricare două tranziții validate, executarea uneia dintre ele nu o invalidează pe cealaltă.

Distanță sincronă. Considerând pentru o rețea Petri $PN = (P, T, F, W, x, M_0)$ două tranziții t_1 și t_2 , *distanța sincronă* dintre aceste două tranziții este definită ca:

$$d(t_1, t_2) = \max_{\sigma} |\bar{\sigma}(t_1) - \bar{\sigma}(t_2)| \quad (2.42)$$

unde σ notează o secvență de executări pornind din orice marcaj $x \in R(x_0)$, iar $\bar{\sigma}(t_i)$, $i = 1, 2$ notează numărul de executări ale tranziției t_i , $i = 1, 2$ în secvența σ .

Imparțialitate

a) *Imparțialitate de tip marginire.* Considerand o rețea Petri $PN = (P, T, F, W, x, M_0)$ cu tranzițiile t_1 și t_2 . Cele două tranziții se află într-o relație de *imparțialitate de tip marginire*, dacă numărul de executări pe care le poate avea una din tranziții este finit, atât timp cât cealaltă tranziție nu se execută niciodată. La rândul ei, o rețea Petri $PN = (P, T, F, W, x, M_0)$ este *imparțială de tip marginire* dacă oricare două tranziții ale rețelei se află și ele în relația de imparțialitate de tip marginire.

b) *Imparțialitate de tip global.* O secvență de executări de tranziții σ este *imparțială de tip global* dacă ea este finită. O rețea Petri $PN = (P, T, F, W, x, M_0)$ este *imparțială de tip global* dacă orice secvență σ este imparțială pornind de la un marcaj oarecare $x \in R(x_0)$. Orice rețea imparțială de tip marginire este și imparțială de tip global, însă o rețea imparțială de tip global nu este însă neapărat imparțială de tip marginire.

2.3.3. Tehnici generale de analiză a proprietăților comportamentale [Mur89][Pastr97][CL01]

Arborele de acoperire. Pentru orice rețea Petri $PN = (P, T, F, W, x, M_0)$ modificarea marcajelor ca urmare a executării tranzițiilor poate fi reprezentată sub forma unui arbore denumit *arbore de acoperire*. Pentru acest arbore rădăcina este x_0 , iar marcajele generate reprezintă nodurile. Arcele arborelui corespund executării unei tranziții care duce la transformarea marcajului asociat nodului de plecare. Noul marcaj se va regăsi la celălalt capăt al arcului. În [Pastr97][Cas01] se prezintă în detaliu modul de construire al arborelui de acoperire și de interpretare a acestuia.

Graful de acoperire. Pe baza arborelui de acoperire se pot realiza grafurile de acoperire și grafurile de accesibilitate. *Graful de acoperire* al unei rețele Petri $PN = (P, T, F, W, x, M_0)$ este un graf orientat $G = (V, E)$. V reprezintă mulțimea nodurilor și este dată de mulțimea tuturor marcajelor distincte din arborele de acoperire. E este mulțimea arcelor orientate și este folosită pentru a face legătura între două marcaje x_i, x_j din mulțimea V dacă există o tranziție t_k în urma căreia se obțin aceste marcaje. Arcele din mulțimea E corespund arcelor din arborele de acoperire.

În [Pastr97][CL01] se prezintă în detaliu modul de construire al grafului de acoperire și de interpretare a acestuia.

Ecuția de stare. Se consideră o rețea Petri $PN = (P, T, F, W, x, M_0)$ cu n poziții și m tranziții ($n, m \in N$). Se numește *matrice de incidență* a rețelei Petri o

matrice $A = [a_{ij}]$ de dimensiune $m \times n$ ale cărei elemente $a_{ij} \in Z$ cu $a_{ij} = a_{ij}^+ - a_{ij}^-$, $i = 1, \dots, m, j = 1, \dots, n$, unde:

- $a_{ij}^+ = w(t_i, p_j)$ - este ponderea arcului de la tranziția t_i către poziția sa de ieșire p_j ;
- $a_{ij}^- = w(p_j, t_i)$ - este ponderea arcului către tranziția t_i de la poziția sa de intrare p_j .

Matricea de incidență $A^+ = [a_{ij}^+]$ de dimensiune $m \times n$ se numește *matrice de incidență de ieșire*, iar matricea $A^- = [a_{ij}^-]$ de aceeași dimensiune se numește *matrice de incidență de intrare*. Matricea de incidență A se poate construi pe baza matricilor A^+ și A^- astfel:

$$A = A^+ - A^-, \quad (2.43)$$

a_{ij}^- reprezintă numărul de jetoane scoase din poziția p_j în urma executării tranziției t_i . a_{ij}^+ reprezintă numărul de jetoane adăugate în poziția p_j în urma executării tranziției t_i . Tranziția t_i este validată de un marcaj x dacă și numai dacă:

$$a_{ij}^- \leq x(p_j) \quad \text{cu } j = 1, \dots, n.$$

Dacă se consideră o secvență de execuții de tranziții și se presupune că cea de-a k -a executare din această secvență are loc în tranziția t_i , atunci tranziția desemnată prin t_i se află pe locul k în secvența de execuții:

$$\sigma = \underbrace{t_a}_{\text{locul 1}} \underbrace{t_b}_{\text{locul 2}} \dots \underbrace{t_i}_{\text{locul } k} \dots \quad (2.44)$$

Fiecare executare de secvență k se poate reține într-un vector coloană u_k de dimensiune $1 \times m$ prin plasarea valorii 1 pe poziția i corespunzătoare tranziției t_i . Se observă că vectorul coloană rezultat din produsul $A^T u_k$ reprezintă chiar cea de-a i -a coloană a matricii A^T sau cea de-a i -a linie a matricii A . Rezultă că vectorul coloană $A^T u_k$ conține toate schimbările de marcaj rezultate la a k -a executare de secvență considerată în tranziția t_i . Pe de altă parte, schimbarea de marcaj în urma celei de-a k -a execuții poate fi scrisă drept $x_k - x_{k-1}$, unde x_{k-1} , x_k notează marcajul după cea de-a $(k-1)$ -a și respectiv a k -a executare din secvența considerată. Ținând cont că asupra lui k și asupra lui i nu au fost impuse nici un fel de condiții, putem considera în general că schimbarea de marcaj după cea de-a k -a executare este de forma:

$$x_k - x_{k-1} = A^T u_k, \quad k = 1, 2, \dots \quad (2.45)$$

Forma echivalentă uzual folosită a acestei relații reprezintă *ecuația de stare* a rețelei Petri și este următoarea:

$$x_k = x_{k-1} + A^T u_k, \quad k = 1, 2, \dots \quad (2.46)$$

Vectorul u_k din această relație se numește *vector de executare* sau *vector de control*.

Pe baza ecuației de stare (2.46), se poate aborda problema de accesibilitate. Presupunem că un marcaj de destinație x_d este accesibil din x_0 prin secvența de executări $u_1, u_2, u_3, \dots, u_d$.

Din ecuația de stare pentru $k = 1, 2, \dots, d$ și prin însumare se obține:

$$x_d = x_0 + A^T \cdot \sum_{k=1}^d u_k \text{ echivalentă cu } A^T s = \Delta x, \quad (2.47)$$

unde: $s = \sum_{k=1}^d u_k$, $\Delta x = x_d - x_0$.

Vectorul coloană s , de dimensiune $m \times 1$, are toate elementele întregi, pozitive și se numește *vectorul numărului de executări posibile*. Cel de-al i -lea element al vectorului s ($i=1, 2, \dots, m$) conține numărul de executări ale tranziției t_i ($i=1, 2, \dots, m$) în secvența ce transformă x_0 în x_d .

Teorema 2.1 Condiția de tip necesar pentru accesibilitate

Dacă marcajul x_d este accesibil din x_0 , atunci are loc egalitatea:

$$\text{rang} A^T = \text{rang} [A^T : \Delta x] \quad (2.48)$$

unde A reprezintă matricea de incidență, iar Δx este diferența de marcaj definită prin $\Delta x = x_d - x_0$.

Forma contrară a reciprocei acestei teoreme oferă condiții suficiente pentru proprietatea de neaccesibilitate. Această teoremă nu garantează atingerea marcajului x_d pornind din x_0 .

Teorema 2.2. Condiția suficientă pentru neaccesibilitate

Un marcaj x_d nu este accesibil din x_0 dacă egalitatea $\text{rang} A^T = \text{rang} [A^T : \Delta x]$ nu este satisfăcută.

Demonstratiile acestor teoreme se găsesc în [Pastr97].

2.3.4. Tehnici generale de analiză structurală

2.3.4.1. Aspecte generale ale analizei structurale [Mur89] [Pastr97][CL01][Kemp04]

Proprietățile utilizate în analiza structurală ale rețelelor Petri sunt:

Controlabilitatea. O rețea Petri $PN = (P, T, F, W, x, M_0)$ este complet *controlabilă* dacă orice marcaj este accesibil pornind din oricare alt marcaj. Condiția necesară:

$$\text{rang} A = m \quad (m - \text{numarul pozitilor}) \quad (2.49)$$

Structural Viabilitatea. O rețea Petri $PN = (P, T, F, W, x, M_0)$ este *structural viabilă* dacă există un marcaj inițial pentru care rețeaua este viabilă;

Structural Marginimea. O rețea Petri $PN = (P, T, F, W, x, M_0)$ este *structural marginita* dacă este marginita pentru orice marcaje initiale finite. Condiția necesară și suficientă:

$$\begin{aligned} \exists y > 0 : y^T A \leq 0 \\ M = M_0 + Au \quad (u \geq 0) \Rightarrow y^T M = y^T M_0 + y^T Au \Rightarrow y^T M \leq y^T M_0 \end{aligned} \quad (2.50)$$

Conservativitatea. O rețea Petri $PN = (P, T, F, W, x, M_0)$ este *conservativa* dacă există un vector pozitiv y astfel încât $M^T y = M_0^T y$ pentru toate marcajele M .

Condiția necesară și suficientă: $\exists x > 0 : x^T A = 0$

Consistentă. O rețea Petri $PN = (P, T, F, W, x, M_0)$ este *consistentă* dacă există un marcaj M și un vector de stare u astfel încât u porneste și se termină în M și fiecare tranziție efectuată apare o singură dată în u . Condiția necesară și suficientă este: $\exists y > 0 : Ay = 0$.

Repetitivitatea. O rețea Petri $PN = (P, T, F, W, x, M_0)$ este *repetitivă* dacă există un marcaj inițial M_0 , astfel încât orice tranziție apare infinit de des în σ .

2.3.4.2. Analiza structurală pe baza invariantilor [Mur89] [Pastr97][CL01] [Kemp04]

Se consideră o rețea Petri $PN = (P, T, F, W, x, M_0)$ descrisă prin matricea de incidență A de dimensiune $n \times m$. Un vector de dimensiune m $y > 0$, cu elementele numere întregi se numește *invariant P* al rețelei PN dacă $A \cdot y = 0$. Un vector de dimensiune n $x > 0$, cu elementele numere întregi, se numește *invariant T* al rețelei PN dacă $A^T \cdot x = 0$.

Pentru o rețea Petri pot exista mai mulți invarianti P și/sau mai mulți invarianti T .

Teorema 2.3 Determinarea numărului de invarianti.

Dacă matricea de incidență A (de dimensiune $n \times m$) a rețelei Petri:

$$PN = (P, T, F, W, x, M_0)$$

are rangul r , atunci:

- rețeaua posedă $m-r$ invarianti P de bază, iar fiecare invariant P al rețelei PN poate fi scris drept o combinație liniară a acestora;
- rețeaua posedă $n-r$ invarianti T de bază, iar fiecare invariant T al rețelei PN poate fi scris drept o combinație liniară a acestora.

Teorema 2.4. Combinația liniară a invariantilor

Fie a și b doi invarianti de același tip (P sau T) ai unei rețele Petri

$$PN = (P, T, F, W, x, M_0).$$

Dacă pentru a și β din R_+ , vectorul $\alpha a + \beta b$ are toate elementele întregi, nenegative, atunci:

- $\alpha a + \beta b$ este un invariant (P respectiv T) al lui PN ;
- $\langle \alpha a + \beta b \rangle \subseteq \langle a \rangle \cup \langle b \rangle$

Teorema 2.5. Invariantul P

Un vector $y > 0$, de dimensiune m , cu toate elementele intregi, este un invariant P , daca si numai daca, pentru un marcaj initial M_0 arbitrar si pentru orice marcaj M din $R(M_0)$, are loc egalitatea:

$$M^T y = M_0^T y$$

Teorema 2.6. Invariantul T

Un vector $x > 0$, de dimensiune n , cu toate elementele intregi, este un invariant T , daca si numai daca, exista un marcaj initial M_0 si o secventa de executari σ , ce porneste din M_0 si ajunge inapoi la M_0 , cu vectorul numarului de executari $\bar{\sigma} = x$

Demonstratiile acestor teoreme se gasesc in [Pastr97].

Proprietatile structurale ale retelei Petri acoperite de invarianti P (RP posedea invarianti P cu toate elementele nenule) rezulta din urmatoarea teorema.

Teorema 2.7. Conservativitate si structural marginire

Daca $PN = (P, T, F, W, x, M_0)$ este o retea Petri acoperita de invarianti P , atunci:

- retea PN este conservativa;
- retea PN este structural marginita.

Proprietatile structurale ale retelei Petri acoperite de invarianti T (PN posedea invarianti T cu toate elementele nenule) rezulta din urmatoarea teorema.

Teorema 2.8. Consistenta si repetitivitate

Daca $PN = (P, T, F, W, x, M_0)$ este o retea Petri acoperita de invarianti T , atunci:

- retea PN este consistenta;
- retea PN este repetitiva.

2.3.5. Retele Petri temporizate [CL01][Aalst96a][Kemp04]

Modelul original al retelelor Petri nu include timpul ca parametru de analiza. Timpul nu a fost considerat explicit din urmatoarele motive:

- masurarea timpului in cadrul sistemelor distribuite implica sincronizarea prin intermediul unui semnal de tact general;
- in sistemele distribuite de dimensiuni mari comunicatia interprocese este modelata numai prin intermediul unor semnale de viteza limitata, ceea ce implica:
 - existenta unui semnal de tact necesar sincronizarii transferului de informatii de la un proces la altul;
 - timpul considerat este relativ, procesul de comunicatie nefiind un timp absolut.
- dependentele cauzale in retelele Petri sunt descrise ca dependente locale, deci cu egalitate in timp;
- descrierile independente a formelor de paralelism se face independent de timp;
- fara utilizarea timpului capacitatile de modelare ale retelelor Petri sunt mult mai mari.

Prin introducerea timpului, se urmărește în fapt apropierea de situațiile normale de lucru, rețelele Petri devenind un instrument foarte util în analiza și modelarea sistemelor.

Problemele care apar o dată cu introducerea timpului pot fi sintetizate astfel:

- cât timp va fi alocat pentru procesarea unei secvențe?
- care este puterea de calcul necesară pentru rezolvarea problemelor?
- care este procentajul de execuție a taskurilor până la o nouă comutare?
- care este timpul de așteptare al clienților?
- ce implicații apar asupra fluxurilor tehnologice?

Desigur că rețelele Petri nu pot oferi soluții (răspunsuri) la toate aceste probleme comune din practică.

Introducerea timpului în rețelele Petri s-a făcut prin asocierea timpului cu elementele rețelei considerate. Astfel, există mai multe posibilități de utilizare a timpului:

- Timpul este asociat jetoanelor:
 - un jeton dintr-o poziție poate fi valid sau invalid;
 - sosirea jetoanelor nu este validă;
 - după o perioadă de timp un jeton invalid devine valid;
 - o tranziție poate elimina numai jetoane valide;
 - o tranziție poate fi executată numai după apariția unui număr suficient de jetoane valide;
 - tranziția este instantanee.
- Timpul este asociat cu tranzițiile:
 - execuția tranzițiilor are ca efect stergerea jetoanelor din toate pozițiile din setul „pre”;
 - jetoanele „rămân” pentru o perioadă de timp în tranziție;
 - după un timp jetoanele sunt transferate în pozițiile „post”.
- Timpul este asociat pozițiilor:
 - înainte de validarea unei tranziții „se așteaptă” o perioadă de timp în care jetoanele sunt păstrate în poziții;
 - după expirarea timpului, tranziția se execută instantaneu.
- Timpul este asociat arcurilor:
 - fiecărui arc îi este asociată o durată de timp;
 - pentru o tranziție validă arcul de intrare determină momentul de timp în care tranziția este executată;
 - timpul asociat arcurilor de ieșire dintr-o tranziție determină momentul apariției jetoanelor în pozițiile „post” după execuția tranziției.

Analiza și modelarea rețelelor Petri temporizate depinde de modelul considerat pentru timp. În literatura de specialitate sunt prezentate trei moduri de utilizare a timpului:

- *timpuri constante* - o tranziție este executată întotdeauna exact în aceeași perioadă de timp, indiferent de modul de utilizare a timpului;
- *intervale de timp* - o tranziție este executată într-un interval de timp indiferent de modul de utilizare a timpului;
- *timpuri stohastici* - o tranziție este executată după un timp aleatoriu indiferent de modul de utilizare a timpului.

În cazul utilizării timpilor constanți se consideră următoarele ipoteze:

- duratele de timp asociate tranzițiilor sunt numere rationale pozitive;

- duratele sunt independente de marcaj;
- tranzitiile pot fi validate o singura data (numai in cazul in care in pozitia „pre” se afla un numar suficient de jetoane care sa valideze tranzitia)
- in fiecare moment de timp sunt validate concurrent un numar maxim de tranzitii care pot fi executate.

Definitia 2.10 Structura timpului

Structura timpului asociata unui set de tranzitii temporizate $T_D \subseteq T$ a unei retele Petri marcate (P, T, F, W, M_0) este un set:

$$V = \{v_j : t_j \in T_D\}$$

al secventei de timp:

$$v_j = \{v_{j,1}, v_{j,2}, \dots\}, t_j \in T_D, v_{j,k} \in \mathbb{R}^+, k = 1, 2, \dots$$

2.3.5.1. Rețele Petri temporizate cu timpi constanti [CL01] [Kemp04] [Aalst96a]

Definitia 2.11. Rețea Petri temporizata cu timpi constanti

O rețea Petri temporizata cu timpi constanti este o pereche (N, V) , unde N este o rețea Petri marcata (P, T, F, W, M_0) , iar $V = \{v_j : t_j \in T_D\}$ este tactul structurii, timpul fiind reprezentat de numere rationale pozitive de valoare fixa.

Executia unei tranzitii este data de starea lui $U(t)$:

- $U(t) = 0$ – nu se executa tranzitie;
- $U(t) > 0$ – daca tranzitia este activa.

Dinamica rețelilor Petri temporizate cu timpi constanti este descrisa astfel:

- Fie $[M, U]$ starea rețelei la momentul τ (M – marcajul rețelei, U – momentul de timp);
- Daca un pas V este in curs de executie, atunci $[M', U']$ la momentul $\tau + 1$ este dat de:

$$M'(p) = M(p) - \sum_{t \in V} w(p, t) + \sum_{t \in V, D(t)=1} w(t, p) + \sum_{\substack{t \in T, D(t) > 1 \\ U(t) = D(t) - 1}} w(t, p) \quad (2.51)$$

pentru toate pozitile $p \in P$

$$U'(t) = \begin{cases} 1 & \text{daca } t \in V \wedge D(t) > 1 \\ U(t) + 1 & \text{daca } t \notin V \wedge U(t) < D(t) - 1 \\ 0 & \text{altfel} \end{cases} \quad (2.52)$$

pentru orice $t \in T$. $D(t)$ reprezinta normalizarea scarii timpului (cel mai mic multiplu comun).

Definitia 2.12. Rețea Petri temporizata P cu timpi constanti

O rețea Petri temporizata P cu timpi constanti este un sextuplu (P, T, F, W, D, M_0) , unde P, T, F, W, M_0 au aceleasi semnificatii ca in cazul rețelei Petri netemporizate, iar D reprezinta multimea timpilor alocati executiei unei pozitii, fiind reprezentat de numere rationale pozitive de valoare fixa.

2.3.5.2. Rețele Petri temporizate cu intervale de timpi [CL01] [Aalst96a] [Kemp04]

În acest caz timpul este introdus prin definiție unui interval $[a, \beta]$ unde a, β sunt numere rationale pozitive $0 \leq a \leq \beta < \infty$:

- a reprezintă timpul de început eft
- β reprezintă timpul de sfârșit lft .

Definiția 2.13. Rețea Petri temporizată cu intervale de timpi

O rețea Petri temporizată cu intervale de timp este o tripletă (N, eft, lft) , unde N este o rețea Petri marcată (P, T, F, W, M_0) și eft, lft marchează intervalul de timp pentru T astfel încât pentru orice $t \in T$: $eft(t) \leq lft(t)$.

Definiția 2.14. Rețea Petri temporizată P cu intervale de timp

O rețea Petri temporizată P cu intervale de timp este un sextuplu (P, T, F, W, I, M_0) , unde P, T, F, W, M_0 au aceleași semnificații ca în cazul rețelei Petri netemporizate, iar I reprezintă multimea intervalelor de timpi alocate execuției unei poziții, fiind reprezentat de numere rationale pozitive de valoare fixă.

O tranziție t care este validată la momentul τ nu va putea fi executată înainte de $\tau + eft(t)$ și va fi încheiată înainte de $\tau + lft(t)$.

Starea rețelei Petri temporizate cu intervale de timp este descrisă de $[M, U]$, unde:

- M este marcajul rețelei;
- U este tactul setat astfel încât: $U : T \rightarrow N \cup \{*\}$, unde
 - $U(t) = *$ \Leftrightarrow t nu este validată de M ;
 - $U(t) \neq *$ $\Rightarrow 0 \leq U(t) \leq lft(t)$

Starea inițială a rețelei este o pereche $[M_0, U_0]$ unde:

$$U_0(t) = \begin{cases} 0 & \text{daca } t \text{ este validata de } M_0 \\ * & \text{altfel} \end{cases}$$

$U(t) = *$, tactul tranziției t este dezactivat și t este invalidat

$U(t) \neq *$, t este validată și timpul a expirat ca și cum tranziția a fost executată în acel interval $U(t) \leq lft$.

Execuția unui pas este descrisă astfel: dacă tranziția $t' \in T$ este validată în $[M, U]$ starea rețelei este schimbată în $[M', U']$ după cum urmează

$$M'(p) = M(p) + W'(t', p) - W(p, t') \text{ pentru } \forall t \in T \quad (2.53)$$

$$U'(t) = \begin{cases} 0 & \text{daca } W(\bullet t) \leq M' \wedge [t = t' \vee \neg(W(\bullet t) \leq M) \vee (W(\bullet t) \leq M \wedge \bullet t \cap \bullet t' \neq 0)] \\ U(t) & \text{daca } W(\bullet t) \leq M' \wedge W(\bullet t) \leq M \wedge \bullet t \cap \bullet t' = 0 \wedge t \neq t' \\ * & \text{altfel} \end{cases} \quad (2.54)$$

2.3.6. Rețele Petri etichetate [CL01][HKG97]

Până în acest moment toate referirile legate de rețelele Petri nu au inclus existența unor condiții suplimentare (etichete) în validarea tranzițiilor. În cele

prezentate anterior validarea, executia, unei tranzitii era strict legata de numarul de jetoane dintr-o pozitie si ponderea arcului catre tranzitia corespunzatoare.

In realitate insa, in mod similar cu cele prezentate pentru automate, validarea tranzitilor trebuie sa tina seama si de situatii reale. Astfel, pentru validarea tranzitilor trebuie sa se tina cont de evenimente concrete, evenimente care pot fi grupate intr-un alfabet, rezultand astfel un limbaj corespunzator rețelei Petri analizate. Modul in care se executa o tranzitie este de fapt similar cu cel descris anterior, cu observatia ca pentru validarea tranzitiei respective, pe langa conditiile amintite mai intervine si conditia impusa de validarea evenimentului asociat, eveniment descris prin intermediul etichetei asociate.

Definitia 2.15 Retea Petri etichetata

O retea Petri etichetata este un octocuplu $PN = (P, T, F, W, \Sigma, l, M_0, X_m)$ (topologia rețelei), unde:

- P reprezintă mulțimea finită de poziții, cu $P = \{p_1, p_2, p_3, \dots, p_n\}$;
- T reprezintă mulțimea finită de tranziții, cu $T = \{t_1, t_2, t_3, \dots, t_m\}$;
- $F \subseteq (P \times T) \cup (T \times P)$ reprezintă mulțimea arcelor de la poziții la tranziții și de la tranziții la poziții, fiecare arc fiind reprezentat prin (p_i, t_j) , respectiv (t_j, p_i) , unde $i, j \in N$;
- $W : A \rightarrow \{1, 2, 3, \dots\}$ reprezintă funcția de ponderare a arcelor;
- Σ reprezintă setul evenimentelor pentru etichetele tranzițiilor;
- $l : T \rightarrow \Sigma$ reprezintă funcția de tranziție etichetata;
- $M_0 \in N^n$ reprezintă marcajul initial a rețelei (numarul initial al jetoanelor din fiecare stare);
- $X_m \subseteq N^n$ mulțimea starilor marcate ale sistemului.

In [HKG97] se prezinta modul de definire a limbajelor generate, respectiv marcate ale unei rețele Petri etichetate. In mod normal, unei rețele Petri etichetate ii sunt asociate doua tipuri de limbaje: *limbajul generat* P - comportament inchis, respectiv *limbajul marcat* L - comportament marcat. Comportamentul inchis reprezinta toate evolutiile posibile a rețelei Petri etichetate. In cazul in care comportamentul marcat reprezinta in fapt un comportament terminal, inseamna ca toate evolutiile rețelei ating o stare terminala. In acest caz este posibil a fi definit comportamentul moale (slabit) al rețelei prin intermediul *limbajului slab* G .

Definitia 2.16. Limbajele unei rețele Petri etichetate

Fie rețeaua Petri etichetata $PN = (P, T, F, W, \Sigma, l, x_0, X_m)$.

Limbajul generat al rețelei considerate este:

$$L(PN) := \{l(s) \in \Sigma^* : s \in T^* \text{ si } m_0[s > \text{este definit}\} \quad (2.55)$$

Limbajul marcat al rețelei este:

$$L_m(PN) := \{l(s) \in \Sigma^* : s \in T^* \text{ si } m_0[s > m \text{ unde } m \in X_m\} \quad (2.56)$$

2.3.7. Utilizarea submodelelor in modelarea SED cu ajutorul rețelelor Petri [PMM02]

Referirile la utilizarea submodelelor in modelarea SED cu ajutorul rețelelor Petri se fac in principal prin intermediul utilizarii *rețelelor Petri Colorate*, ca metoda

de modelare aleasa. In continuare abordarea utilizarii submodelelor se face pornind de la definitia clasica a rețelelor Petri.

Metoda de utilizare a submodelelor propusa in continuare porneste de la observatia ca in cazul modelarii sistemelor complexe cu un numar mare de pozitii si tranzitii matricile de incidenta ale modelului devin de dimensiuni foarte mari facand dificila analiza rețelei considerate prin utilizarea tehnicilor descrise anterior. Prin utilizarea submodelelor se urmareste reducerea dimensiunilor matricilor de incidenta si implicit al arborelui de acoperire, rezultand o rețea Petri echivalenta usor de analizat.

Definitia 2.17 Subrețeaua (submodelul) unei rețele Petri*

Fie rețeaua Petri $PN = (P, T, F, W, M_0)$ unde:

- P reprezintă mulțimea finită de pozitii, cu $P = \{p_1, p_2, p_3, \dots, p_n\}$;
- T reprezintă mulțimea finită de tranzitii, cu $T = \{t_1, t_2, t_3, \dots, t_m\}$;
- $F \subseteq (P \times T) \cup (T \times P)$ reprezintă mulțimea arcelor de la pozitii la tranzitii și de la tranzitii la pozitii, fiecare arc fiind reprezentat prin (p_i, t_j) , respectiv (t_j, p_i) , unde $i, j \in \mathbb{N}$;
- $W : A \rightarrow \{1, 2, 3, \dots\}$ reprezintă funcția de ponderare a arcelor.
- $M_0 : P \rightarrow \{0, 1, 2, \dots\}$ reprezintă funcția de marcaj initial

Se definește subrețeaua Petri: $PN_{SUB} = \{P_{SUB}, T_{SUB}, F_{SUB}, W_{SUB}, M_{SUB0}\}$ ca fiind un subgraf al grafului PN unde:

- P_{SUB} reprezintă mulțimea finită a pozițiilor corespunzătoare subrețelei $P_{SUB} \subseteq P$;
- T_{SUB} reprezintă mulțimea finită a tranzitiilor corespunzătoare subrețelei $T_{SUB} \subseteq T$;
- F_{SUB} reprezintă mulțimea finită a arcelor corespunzătoare subrețelei $F_{SUB} \subseteq F$;
- W_{SUB} reprezintă mulțimea finită a ponderilor arcelor corespunzătoare subrețelei $W_{SUB} \subseteq W$;
- M_{SUB0} reprezintă mulțimea finită a marcajelor initiale corespunzătoare subrețelei $M_{SUB0} \subseteq M_0$.

In urma unei expandari a unor tranzitii sau pozitii, acestea sunt inlocuite cu subrețele ce posedă un anumit tip comportamental. Aceasta substituie având la baza submodele (subrețele) se face utilizând așa numitele *blocuri T* respectiv *blocuri P*.

Un *bloc T* (tip tranzitie) este definit ca fiind o rețea Petri, notată N_T , a carei topologie conține:

- cel puțin o tranzitie initiala (de tip sursa), notată t_{in} ;
- cel puțin o tranzitie finala (de tip receptor), notată t_{fi} .

Un *bloc P* (de tip pozitie) este definit ca un submodel ce poate fi inlocuit prin intermediul unei pozitii, pastrand proprietatile de marginire (siguranta) si viabilitate.

Teorema 2.9.

Fie o rețeaua Petri PN . Fie PN_{SUB} rețeaua Petri rezultată prin substituiea unei tranzitii (respectiv pozitii) a lui PN cu un modul standard reprezentat sub forma de *bloc T* respectiv *bloc P*.

- a) *daca PN este marginita (sigura) atunci, PN_{SUB} este marginita (sigura);*
 b) *daca PN este viabila, atunci PN_{SUB} este viabila;*
 c) *daca PN este reversibila, atunci PN_{SUB} este reversibila.*

Modulele standard utilizate sunt prezentate in figura 2.4.

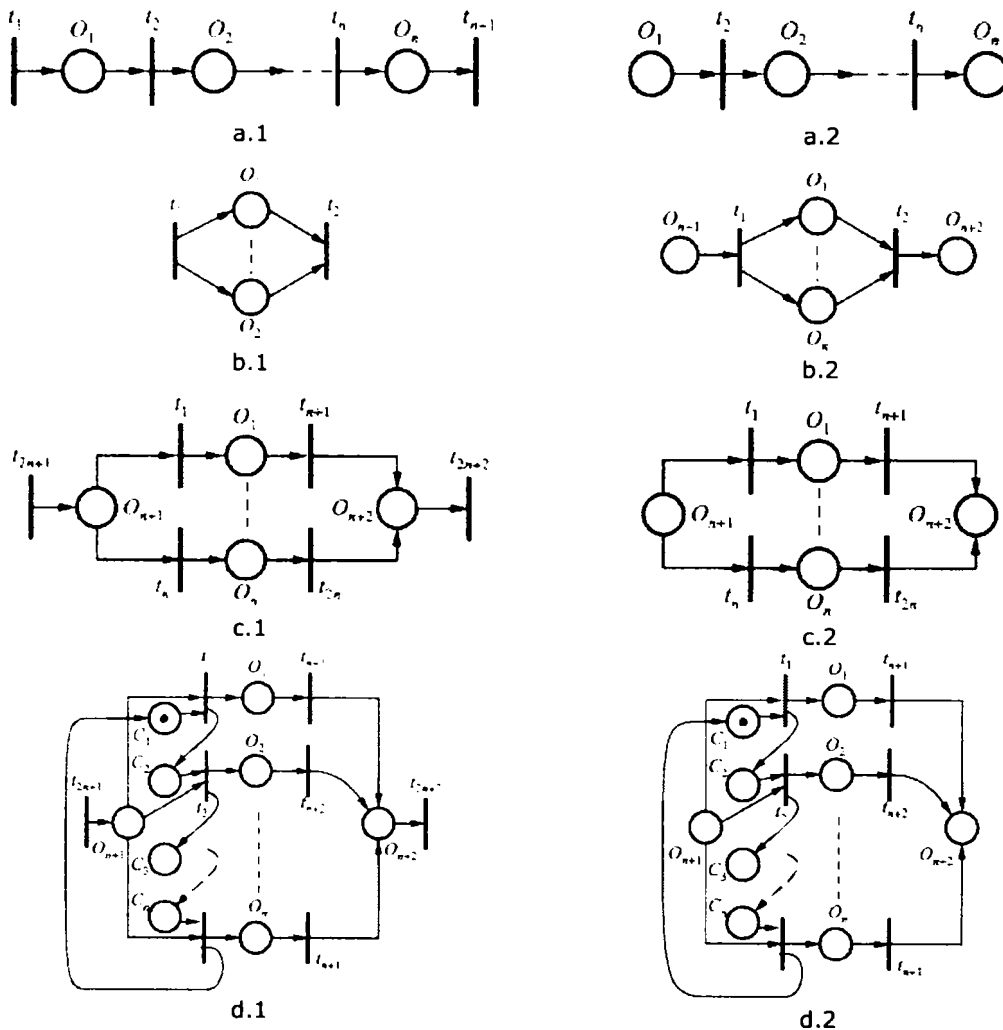


Figura 2.4: Modulele standard utilizate in cazul subretelelor. a) Operatii secventiale (a.1-bloc T, a.2-bloc P) b) Operatii paralele (b.1- bloc T, b.2 -bloc P) c) Operatii la alegere, conflictuale (c.1-bloc T, c.2-bloc P) d) Operatii la alegere, neconflictuale (d.1-bloc T, d.2-bloc P)

Structura de principiu al unui model de tip retea Petri construit pe baza unor submodele este prezentata in figura 2.5.

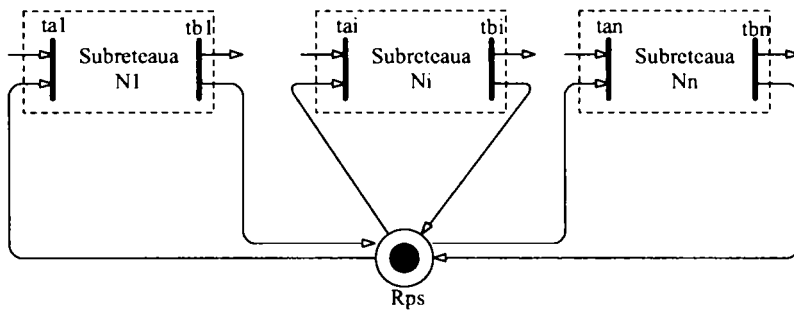


Figura 2.5: Model de tip rețea Petri implementat cu submodele

R_{ps} reprezintă poziția de sincronizare și partajare secvențială. Fiecare subrețea (submodel) are o tranziție de tip receptor (intrare - t_{ai}) și o tranziție de tip generator (ieșire t_{bi}).

Utilizarea submodelelor în modelarea cu ajutorul rețelelor Petri trebuie să respecte următoarele condiții:

- Orice drum elementar dintre t_{ai} și o poziție asociată unei resurse generale trebuie să conțină și t_{bi} ;
- Orice circuit elementar ce conține t_{ai} și R_{ps} trebuie să conțină și t_{bi} ;
- Fiecare tranziție de pe orice drum elementar dintre t_{ai} și t_{bi} trebuie să aparțină și unui drum elementar de operații unind t_{ai} cu t_{bi} ;
- Oricare ar fi marcajul $M(N)$ care validează t_{ai} , dacă t_{ai} se execută, atunci există o secvență de execuții de tranziții din N_i care conduce la executarea lui t_{bi} .

Structura echivalentă a rețelei Petri construită cu ajutorul submodelelor din figura 2.5 este prezentată în figura 2.6.

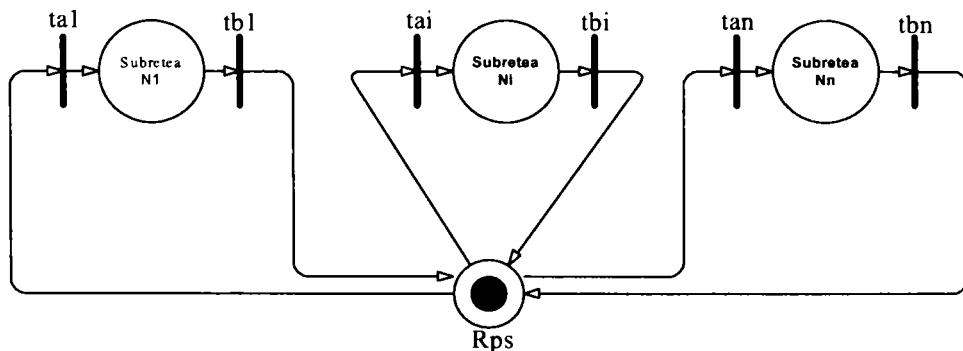


Figura 2.6: Structura echivalentă a rețelei Petri din fig. 2.5

În cazul sistemelor complexe există posibilitatea ca sincronizarea submodelelor să se efectueze prin intermediul mai multor stări de sincronizare. În această situație tranzițiile t_{ai} , respectiv t_{bi} , pot avea mai mult decât o conexiune. În figura 2.7 se prezintă un caz general în care există mai multe tipuri de submodele sincronizate prin mai multe stări de sincronizare.

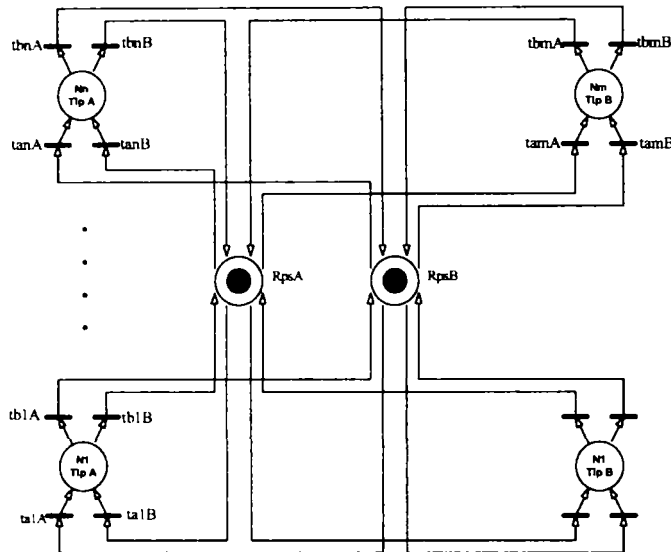


Figura 2.7: Structura generală a unei rețele Petri construite cu submodele

Utilizarea submodelelor în modelarea SED complexe are ca efect obținerea unor modele simplificate cu implicații directe asupra matricilor de incidență și a arborelui de acoperire. Trebuie însă menționat faptul că submodelul ales trebuie să respecte în mod strict condițiile prezentate mai sus. În cazul în care submodelul nu este ales în mod corespunzător (posibile apariții de situații blocante) întreg modelul ales pentru SED va fi compromis.

În cazul rețelelor Petri temporizate (P sau T) utilizarea submodelelor are ca efect obținerea unui model de rețea Petri cu intervale de timp.

Definiția 2.18 Execuția unei rețele Petri*

Se definește execuția unei rețele Petri ca fiind totalul tranzițiilor efectuate pornind dintr-o stare dată (posibil inițială) până la ajungerea înapoi în aceeași stare.

După cum s-a precizat în paragraful 2.2.1 dinamica unei rețele Petri poate fi descrisă cu ajutorul ecuației de stare (2.46). Pornind de la marcajul inițial „traseul” urmat de rețeaua Petri (pozițiile prin care s-a trecut) sunt cuprinse în vectorul de control

$$u = \sum_{k=1}^d u_k. \quad (2.57)$$

În cazul rețelelor Petri cu o topologie complexă, este posibil ca atingerea unui marcaj destinație să poată fi efectuată pe mai multe trasee (prin atingerea unor poziții diferite). În această situație vectorul de control nu este unic, ci pentru aceeași destinație funcție de numărul de trasee posibile există mai mulți vectori de control u_{di} unde $di=1, \dots, j$ reprezintă numărul de trasee posibile.

Formalizând matematic, rezulta:

$$u_{tot} = \bigcup_{di=1}^j u_{di} = \bigcup_{di=1}^j \left(\sum_{k=1}^d u_k \right)_{di} \quad (2.58)$$

unde u_{tot} reprezintă mulțimea tuturor posibilităților de atingere a unui marcaj.

Teorema 2.9 Modele cu intervale de timp*

Fie rețeaua Petri temporizată P cu timpi constanti $PN=(P,T,F,W,D,M_0)$. O rețea Petri PN' construită cu ajutorul rețelei Petri PN , considerată ca submodel al rețelei PN' , este o rețea Petri cu intervale de timp.

Demonstratie.

Fie $d(p_i)$ timpul asociat poziției p_i , unde $i=1,\dots,n$. Evoluția rețelei Petri este descrisă cu ajutorul vectorului de control $u = \sum_{k=1}^d u_k$. Pentru un traseu, caracterizat prin

vectorul u , timpul total de execuție este $d_l = \sum_{i=1}^l d(p_i)$ unde l reprezintă numărul de

poziții atinse. În cazul unui vector de control $u_j \neq u_i$ rezultă $d_p \neq d_l$, unde p reprezintă numărul de poziții atinse în cazul vectorului de control u_j . Rezultă deci că funcție de timpii alocati pozițiilor atinse timpul total de execuție al rețelei este diferit funcție de traseul parcurs. Astfel, rezultă un timp minim, respectiv un timp maxim de execuție, rețeaua Petri astfel considerată este o rețea Petri cu intervale de timpi constanti.

Lema 2.1*

Timpul minim al executiei unei rețele Petri este dat de valoarea cea mai mică a timpului total de execuție, nu de traseul cel mai scurt.

Demonstratie:

Fie u_i și u_j ($u_j \neq u_i$) doi vectori de control corespunzatori executiei unei rețele Petri, și fie $d_p < d_l$ timpii de execuție corespunzatori vectorilor u_i respectiv u_j . Se considera că traseul corespunzator vectorului u_i conține k poziții iar traseul corespunzator vectorului u_j conține m poziții unde $k > m$. Deoarece timpul de execuție corespunzator vectorului u_i este mai mic, dar traseul mai lung rezultă că timpul minim nu este influențat de lungimea traseului (numărul de poziții atinse) ci de durata de execuție a unei poziții atinse.

Lema 2.2*

Timpul maxim de execuție al unei rețele Petri este dat de valoarea cea mai mare a timpului total de execuție și nu de traseul cel mai lung.

Demonstratie:

Fie u_i și u_j ($u_j \neq u_i$) doi vectori de control corespunzatori executiei unei rețele Petri, și fie $d_p < d_l$ timpii de execuție corespunzatori vectorilor u_i respectiv u_j . Se considera că traseul corespunzator vectorului u_i conține k poziții iar traseul corespunzator vectorului u_j conține m poziții, unde $k > m$. Deoarece timpul de execuție corespunzator vectorului u_j este mai mare dar traseul mai scurt, rezultă că timpul maxim nu este influențat de lungimea traseului (numărul de poziții atinse) ci de durata de execuție a unei poziții atinse.

În [PMM02] se prezintă modul de comportare periodică a rețelelor Petri acoperite de invariante de tip P temporizate P. Pornind de la marcajul inițial M_0 și

daca σ reprezinta o secventa de executari de tranzitii care are ca finalitate tot marcajul M_0 , retea prezinta un comportament ciclic caracterizat prin durata unui ciclu τ , care reprezinta intervalul de timp necesar executarii secventei σ . Cunoscand timpul asociat fiecarei pozitii $d(p_j) \geq 0, j = 1, \dots, m$ se construiesc matricea diagonala $D \in R^{m \times m}$ care are pe diagonala valorile $d(p_j)$:

$$(D)_{ij} = \begin{cases} d(p_j), & i = j \\ 0 & i \neq j \end{cases} \quad i, j = 1, \dots, m \quad (2.59)$$

Fie $y_k, k=1, \dots, p$ invariantii P fundamentali ai retelei considerate. Durata unui ciclu este caracterizata prin urmatoarea teorema.

Teorema 2.10 Durata unui ciclu

Durata unui ciclu satisface inegalitatea:

$$\tau \geq \tau_{min} = \max_{k=1, p} \left\{ \frac{y_k^T D (A^+)^T x}{y_k^T M_0} \right\}$$

unde, $x = \overline{\sigma}$ noteaza acel invariant T care corespunde secventei de executari σ .

Determinarea timpului minim si a timpului maxim de executie corespunzatoare unei retele Petri cu intervale fixe de timp se poate face in doua moduri:

- pe baza arborelui de acoperire – considerand la executia fiecarei tranzitii timpul asociat pozitiei sursa, prin insumare rezulta valoarea de timp cautata;
- prin utilizarea ecuatiei de stare – pornind de la marcajul initial se genereaza pas cu pas vectori de control corespunzatori. La executia fiecarei tranzitii se memoreaza pozitia din care se pleaca si prin insumarea timpilor corespunzatori se obtin rezultatele cautate.

In ambele cazuri, daca mai multe pozitii sunt implicate simultan in executia unei tranzitii, pentru determinarea timpilor minim si maxim, se considera timpul asociat acelei pozitii care are valoarea cea mai mare.

Aceste intervale de timp se obtin fara dificultate, prin urmarire directa, utilizand aplicatia PetriTim care este prezenta in capitolul 5.

2.4. Conexiuni intre modelele de tip automat si modelele de tip retea Petri [Pastr97][CL01][CR04a][Kemp04][CKLY95][CKLY98][BHR06][LM04][Micz01]

Ambele metode de modelare a SED, automate respectiv retele Petri, au la baza utilizarea starilor si tranzitilor pentru descrierea unui sistem, rezulta ca intre ele exista asemanari si deosebiri.

Modelarea SED cu automate respectiv retele Petri, precum si alegerea tipului de model este lasat la latitudinea modelatorului.

Astfel, daca se doreste modelarea unui SED numai pe baza evenimentelor externe ale acestuia, fara a interesa in mod explicit activitatile ascunse, atunci un model de tip automat este satisfacator. Daca in schimb, se doreste o rafinare a

operatiilor interne atunci un model de tip retea Petri este mai avantajos. Un exemplu clasic, care ilustreaza diferenta între cele doua metode de modelare, este dat de modelarea functionarii unui sistem de asteptare.

Exemplul 2.3. Modelarea unui sistem de asteptare

Se presupune ca se dispune de un singur server iar capacitatea firului de asteptare este nelimitat. Clientii sosesc si cer acces la server. Daca serverul este ocupat, atunci clientul asteapta in coada. Cand un client a fost servit complet el paraseste sistemul iar clientul urmator din coada intra imediat in servire. Evenimentele pe baza carora este condus un astfel de sistem sunt:

- s : Clientul soseste (intra in coada de asteptare)
 p : Clientul paraseste sistemul

Aceste semnale sunt „vazute” din exteriorul sistemului, iar in cazul modelarii cu ajutorul automatelor, existenta acestor doua semnale este suficienta. In cazul modelului de tip retea Petri, pentru rafinare, pe langa cele doua semnale mentionate se mai defineste:

- e : Clientul intra in executie

Structura de principiu, precum si modelele de tip automat, respectiv retea Petri al unui astfel de sistem sunt prezentate in figura 2.8.

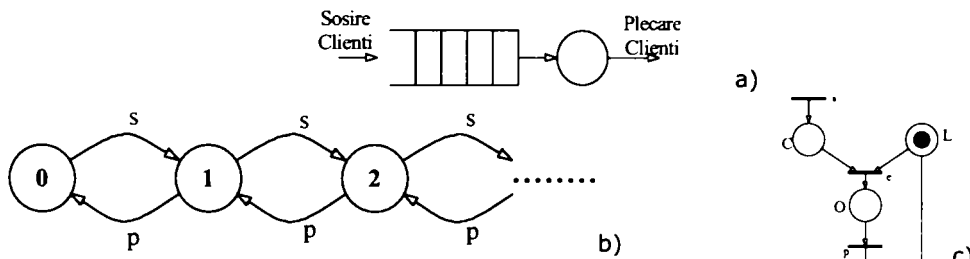


Figura 2.8: Modelarea functionarii unui sistem de asteptare: a) Structura de baza; b) modelul de tip automat; c) modelul de tip retea Petri

Dupa cum rezulta din figura 2.8.b, modelul de tip automat este un model cu stari infinite. In schimb modelul de tip retea Petri (figura 2.8.c) (asa cum s-a prezentat anterior) nu rezulta prin extinderea topologiei ci prin existenta marcajelor. Pozitiile din cadrul modelului de tip retea Petri au urmatoarele semnificatii: C – coada de asteptare si are capacitate infinita, O – server ocupat de capacitate finita si L – server liber de capacitate finita.

In cazul in care modelul opereaza cu un numar foarte mare de stari, un model de tip automat este dezavantajos deoarece modelarea se face prin extinderea topologiei modelului, pe cand in cazul retelelor Petri extinderea se face prin marcaje nu prin topologie.

In situatia in care modelarea se bazeaza pe folosirea submodelelor, utilizarea automatelor este mai dificila deoarece modelarea unui sistem trebuie privita in ansamblul ei, modularizarea fiind anevoiasa si dificila. In cazul retelelor Petri, utilizarea submodelelor este permisa deoarece modelul nu trebuie sa fie privit

in ansamblul sau, avand posibilitatea ca prin marcaje si sincronizari suplimentare sa se asigure asamblarea intregului model.

Dupa cum s-a precizat anterior, automatele si retelele Petri opereaza cu stari si tranzitii. Astfel, sunt posibile transformari ale modelelor de tip automat in modele de tip retea Petri si invers. Subiectul sintezei modelelor dintr-un mod de reprezentare in altul este tratat pe larg in literatura [Pastr97][CR04a][CKLY95][CKLY98].

In continuare se va avea in vedere doar metodele de sinteza considerate.

Algoritmul 2.1. Transformarea unui model de tip automat in model de tip retea Petri

Fie automatul $G = (X, \Sigma, \delta, \Gamma, x_0, X_m)$ care se doreste a fi convertit in retea Petri $PN = (P, T, F, W, x, M_0)$. Fiecarei perechi de stari din X desemnata prin (x, x') , cu $x' = \delta(x, e)$, $e \in \Gamma(x)$, i se asociaza o tranzitie $t \in T$ in retea Petri, atasand si arcele $(x, t), (t, x') \in F$, ambele de pondere 1. Aceasta revine la a defini multimile T si F prin:

$$T = \{(x, x') : x, x' \in X, x' = \delta(x, e), e \in \Gamma(x)\}$$

$$F = \{(x, t) : x \in X, t \in T\} \cup \{(t, x') : x' \in X, t \in T\}'$$

Aplicatia W ia numai valoarea 1, adica $W : F \rightarrow \{1\}$. Marcajul initial M_0 se asigneaza corespunzator starii initiale x_0 . Prin aceasta metoda, unui eveniment $e \in \Sigma^*$ i se pot asocia mai multe tranzitii in multimea T .

Exemplul 2.4 Obtinerea unui model de tip retea Petri dintr-un model de tip automat pe baza algoritmului 2.1

Se considera automatul din figura 2.9.

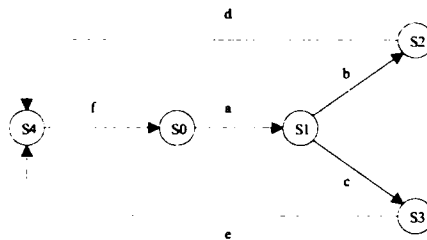


Figura 2.9: Structura automatului considerat pentru exemplul 2.4

Automatul considerat este formalizat matematic prin: $AS = (X, \Sigma, \delta, \Gamma, x_0)$ unde:

- Multimea starilor: $X = \{S0, S1, S2, S3, S4\}$
- Multimea evenimentelor: $\Sigma = \{a, b, c, d, e, f\}$
- Multimile evenimentelor posibile si functiile de tranzitie a starilor:

$\Gamma(S0) = \{a\}$	$\delta(S0, a) = S1$
$\Gamma(S1) = \{b, c\}$	$\delta(S1, b) = S2$
	$\delta(S1, c) = S3$
$\Gamma(S2) = \{d\}$	$\delta(S2, d) = S4$
$\Gamma(S3) = \{e\}$	$\delta(S3, e) = S4$
$\Gamma(S4) = \{f\}$	$\delta(S4, f) = S0$
- Starea initiala: $x_0 = S0$

Conform algoritmului 2.1, de conversie al unui model de tip automat în model de tip rețea Petri, rezultă o rețea Petri de forma $PN_AS = (P, T, F, W, M_0)$ unde:

- Multimea pozitiilor $P = \{p_1, p_2, p_3, p_4, p_5\}$ unde $p_1 = \{S_0\}$, $p_2 = \{S_1\}$, $p_3 = \{S_2\}$, $p_4 = \{S_3\}$ și $p_5 = \{S_4\}$
- Multimea tranzitiilor

• Pentru p_1 :	(p_1, p_2)	$p_2 = \delta(p_1, t_1)$	$t_1 = \{a\}$
• Pentru p_2 :	(p_2, p_3)	$p_3 = \delta(p_2, t_2)$	$t_2 = \{b\}$
	(p_2, p_4)	$p_4 = \delta(p_2, t_3)$	$t_3 = \{c\}$
• Pentru p_3 :	(p_3, p_5)	$p_5 = \delta(p_3, t_4)$	$t_4 = \{d\}$
• Pentru p_4 :	(p_4, p_5)	$p_5 = \delta(p_4, t_5)$	$t_5 = \{e\}$
• Pentru p_5 :	(p_5, p_1)	$p_1 = \delta(p_5, t_6)$	$t_6 = \{f\}$
- Multimea arcelor:

$$F = \{(p_1, t_1), (p_2, t_2), (p_2, t_3), (p_3, t_4), (p_4, t_5), (p_5, t_6)\} \cup \{(t_1, p_2), (t_2, p_3), (t_3, p_4), (t_4, p_5), (t_5, p_5), (t_6, p_1)\}$$
- Ponderile arcelor:

$$W(p_1, t_1) = 1, W(p_2, t_2) = 1, W(p_2, t_3) = 1, W(p_3, t_4) = 1, W(p_4, t_5) = 1, \\ W(p_5, t_6) = 1, W(t_1, p_2) = 1, W(t_2, p_3) = 1, W(t_3, p_4) = 1, W(t_4, p_5) = 1, \\ W(t_5, p_5) = 1, W(t_6, p_1) = 1$$
- Marcajul inițial: $M_0 = [1, 0, 0, 0, 0]^T$

În figura 2.10 se prezintă rețeaua Petri rezultată în urma conversiei.

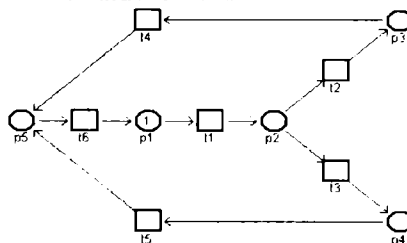


Figura 2.10: Structura rețelei Petri rezultate în urma conversiei

Algoritmul 2.2. Sinteza unei rețele Petri dintr-un model de sisteme cu tranzitii finite*

Algoritmul, descris în [CKLY95][CKLY98], are la bază utilizarea sistemelor cu tranzitii finite. În continuare acest algoritm se prezintă sub formă propusă de autor pentru obținerea modelului de tip rețea Petri dintr-un model de tip automat.

Fie automatul $G = (X, \Sigma, \delta, \Gamma, x_0, X_m)$, dacă în cazul algoritmului 2.1 nu s-au impus nici un fel de restricții cu privire la modelul de tip automat, în cazul acestui algoritm sunt impuse următoarele restricții:

- în model nu există auto-bucle: $\forall x \in X \quad x' = \delta(x, e)$, unde $e \in \Gamma(x) : x \neq x'$;

- orice eveniment are un efect: $\forall e \in \Sigma : \exists \delta(x, e), \text{ pentru care } e \in \Gamma(x)$;
- orice stare este accesibila din starea initiala: $\forall x \in X : x_0 \rightarrow x$;
- nu exista arce multiple intre stari perechi:
 $\forall x, x_1, x_2 \in X \text{ si } e_1, e_2 \in \Sigma \text{ si } x_1 = \delta(x, e_1), x_2 = \delta(x, e_2) : \text{daca } x_1 = x_2 \text{ atunci } e_1 = e_2$

Obtinerea modelului de tip retea Petri pe baza acestui algoritm porneste de la definirea unor regiuni in cadrul modelului de tip automat.

Definitia 2.19. Conexiuni

Fie automatul $G = (X, \Sigma, \delta, \Gamma, x_0, X_m)$, pentru care se defineste X' ca fiind un subset a multimii X , $X' \subseteq X$ si un eveniment $e \in \Sigma$. Urmatoarele conditii sunt definite pentru X' si e :

- 1) intern: $in(e, S') \equiv \exists x, x' \in X \text{ si } e \in \Sigma \text{ si } x' = \delta(x, e) : x, x' \in S'$
- 2) extern: $out(e, S') \equiv \exists x, x' \in X \text{ si } e \in \Sigma \text{ si } x' = \delta(x, e) : x, x' \notin S'$
- 3) intrare: $enter(e, S') \equiv \exists x, x' \in X \text{ si } e \in \Sigma \text{ si } x' = \delta(x, e) : x \notin S' \wedge x' \in S'$
- 4) iesire: $exit(e, S') \equiv \exists x, x' \in X \text{ si } e \in \Sigma \text{ si } x' = \delta(x, e) : x \in S' \wedge x' \notin S'$

Definitia 2.20 Regiunea

Fie automatul $G = (X, \Sigma, \delta, \Gamma, x_0, X_m)$. Un set de stari $r \subseteq X$ se spune ca este o **regiune** daca urmatoarele doua conditii sunt satisfacuate pentru orice eveniment $e \in \Sigma$:

- 1) $enter(e, r) \Rightarrow \neg in(e, r) \wedge \neg out(e, r) \wedge \neg exit(e, r)$
- 2) $exit(e, r) \Rightarrow \neg in(e, r) \wedge \neg out(e, r) \wedge \neg enter(e, r)$

O regiune reprezinta un subset al starilor pentru care toate tranzitiile sunt etichetate cu acelasi eveniment e avand aceleasi relatii de „intrari/iesiri” (entry/exit). Aceste relatii vor devenii predesor/sucesor in retea Petri care va rezulta.

O regiune r este *pre-regiune* a unui eveniment e daca exista o tranzitie etichetata cu e care este iesire pentru r .

O regiune r este *post-regiune* a evenimentului e daca exista o tranzitie etichetata cu e care este intrare pentru r .

Fie automatul $G = (X, \Sigma, \delta, \Gamma, x_0, X_m)$ algoritmul 2.2, pentru conversia acestuia in retea Petri $PN = (P, T, F, W, x, M_0)$ devine:

- Pasul 1.** Pentru fiecare eveniment $e \in \Sigma$, se genereaza o tranzitie etichetata cu e in retea Petri;
- Pasul 2.** Pentru fiecare regiune $r_i \in R_G$, unde R_G este multimea tuturor regiunilor definite pentru G , se genereaza o pozitie r_i ;
- Pasul 3.** Pozitia r_i contine un jeton in marcajul initial daca regiunea r_i contine starea initiala x_0 a automatului G ;
- Pasul 4.** Relatia rezultanta este: $e \in \bullet r_i$, daca r_i este o *pre-regiune* a lui e si $e \in r_i \bullet$ daca r_i este o *post-regiune* a lui e ;

$$F = \{(r, e) \mid r \in R_G \wedge e \in \Sigma \wedge r \in e^\circ\} \cup \{(e, r) \mid r \in R_G \wedge e \in \Sigma \wedge r \in e^\circ\}$$

Exemplul 2.5 Sinteza unui model de tip retea Petri utilizand metoda regiunilor

Se considera automatul din figura 2.11.

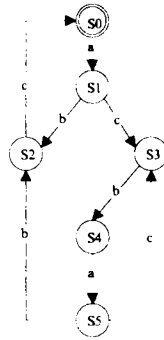


Figura 2.11: Structura automatului corespunzator exemplului 2.5

Datorita faptului ca tranzitiile dintre stari se realizeaza pe baza acelorasi evenimente in figura 2.12 se prezinta varianta echivalenta a automatului din figura 2.11.

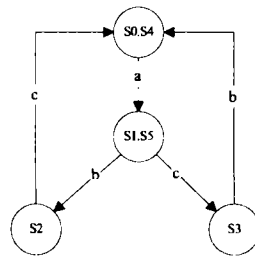


Figura 2.12: Structura echivalenta a automatului din fig. 2.11

Aplicand algoritmul 2.2, rezulta urmatoarele regiuni minimale:

$$r1 = \{S0, S2, S4\}, \quad r2 = \{S0, S3, S4\}, \quad r3 = \{S1, S3, S5\}, \quad r4 = \{S1, S2, S5\}$$

Regiunile continand stari sunt:

$$R_{S0} = R_{S4} = \{r1, r2\}, \quad R_{S1} = R_{S5} = \{r3, r4\}, \quad R_{S2} = \{r1, r4\}, \quad R_{S3} = \{r2, r3\}$$

Preregionile si post regiunile sunt:

$$\begin{aligned} \bullet a &= \{R_{S0}, R_{S1}\} & a^\bullet &= \{R_{S2}, R_{S3}\} \\ \bullet b &= \{R_{S2}\} & b^\bullet &= \{R_{S0}\} \\ \bullet c &= \{R_{S3}\} & a^\bullet &= \{R_{S1}\} \end{aligned}$$

Reteaua Petri astfel obtinuta este prezentata in figura 2.13.

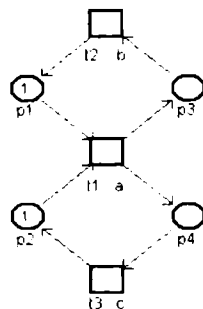


Figura 2.13: Structura rețelei Petri obtinuta in urma aplicarii algoritmului 2.2

Unde: $p1 = R_{S0}$, $p2 = R_{S1}$, $p3 = R_{S1}$, $p4 = R_{S3}$.

2.5. Modelarea cu ajutorul automatelor, respectiv a rețelelor Petri a sistemelor de transport cu zone de acumulare.

Dezvoltarea sistemelor flexibile de fabricatie (SFFF) a condus implicit la reevaluarea locului și importanței sistemelor de transport. Un SFFF nu poate fi considerat performant dacă sistemul de transport aferent nu este la randul sau performant. În acest context, rolul sistemelor de transport a crescut, trecându-se de la faza clasică, în care acesta avea rol preponderent de transfer a pieselor de la o masină la alta, la o fază în care sarcinile sistemului de transport au fost extinse (sortare automată, alegerea automată a destinației unei piese, calcularea și alegerea traseului optim etc.) vorbindu-se acum de sisteme de transport inteligente.

Sistemele de transport cu zone de acumulare (STZA) se încadrează în clasa sistemelor de transport inteligente, fiind capabile ca pe baza unor algoritmi sau a unor specificații de funcționare (statice – fixate în momentul proiectării, sau dinamice – care se pot modifica în timpul operării funcție de cerințele operatorului) să execute transferuri de piese sau alte elemente de transport (carucioare) conform cerințelor. STZA își găsesc aplicabilitate în cele mai diverse locuri: magazine automatizate, linii flexibile de fabricatie, sisteme de sortat etc.

2.5.1. Principiile de realizare și funcționare ale sistemelor de transport cu zone de acumulare

Sistemele de transport industriale sunt de mai multe tipuri, funcție de modul efectiv în care se realizează transportul. Astfel, există sisteme de transport orizontale (vezi figura 2.14) sau sisteme de transport suspendate (vezi figura 2.15). Fiecare tip de sistem are caracteristicile sale constructive și funcționale, ambele încadrându-se în domeniul STZA.

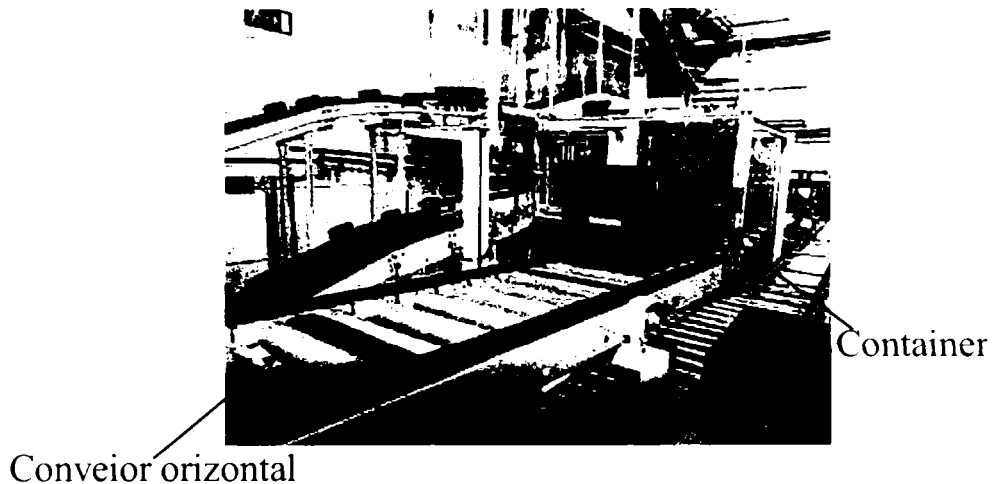


Figura 2.14. Sistem de transport orizontal

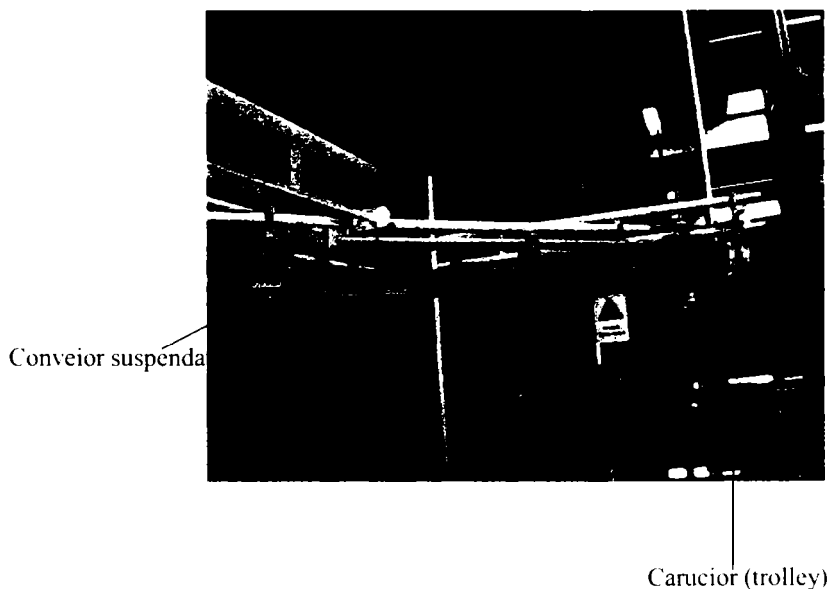


Figura 2.15. Sistem de transport suspendat

Observatie: fotografiile 2.15, 2.16, 2.17, 2.18, 2.19 sunt realizate de catre autor in magazia complet automatizata a firmei Wacker din Germania.

În cadrul lucrării se vor lua în considerare numai sistemele de transport suspendate. Constructiv, acestea se bazează pe utilizarea conveioarelor cu perii (transelastice conveior - TEF) ca suport de transport și au ca principala proprietate asigurarea de zone de acumulare (jam-uri) fără a fi necesară oprirea motoarelor de antrenare a conveioarelor[Ung01][Ung02]. În figura 2.16 se prezintă un astfel de conveior cu perii.

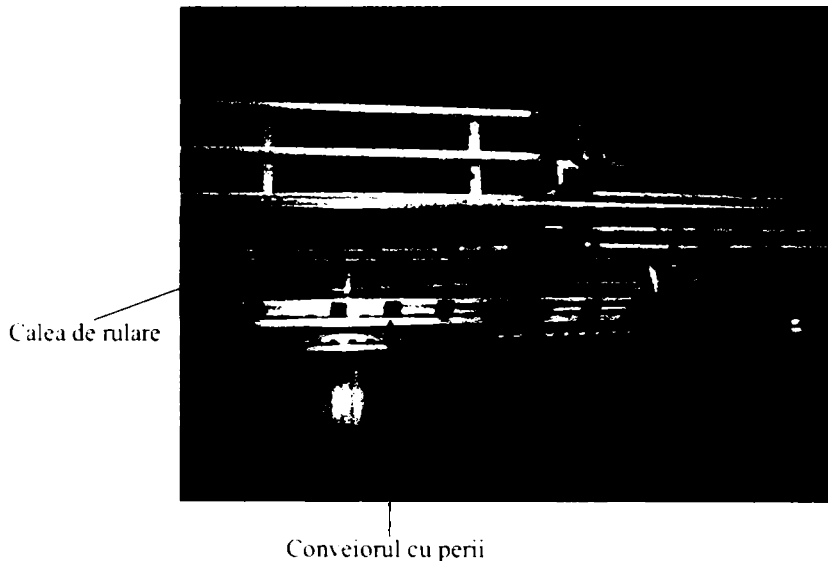


Figura 2.16. Conveior cu perii utilizat în cazul sistemelor de transport suspendate

Conveiorul este antrenat de un motor electric cuplat prin intermediul unui reductor mecanic, aflat la unul din capetele conveiorului. Acest motor asigură antrenarea conveiorului, asigurând o viteză constantă.

Elementul de transport utilizat în cazul acestor sisteme de transport este căruciorul (trolley), a cărui structură și mod de utilizare (la nivelul conveiorului) este prezentat în figura 2.17.

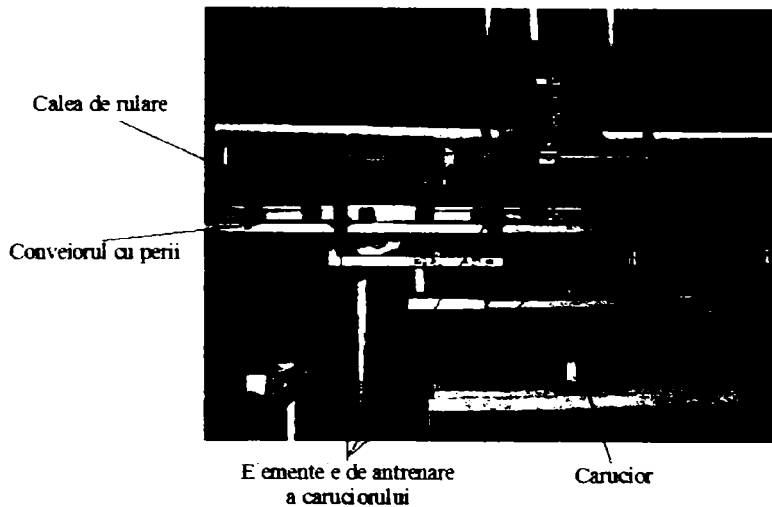


Figura 2.17. Carucior și modul de transport

În figura 2.18 se prezintă o imagine de ansamblu a modului în care se efectuează transportul din cadrul unui depozit de piese de schimb complet automatizat.

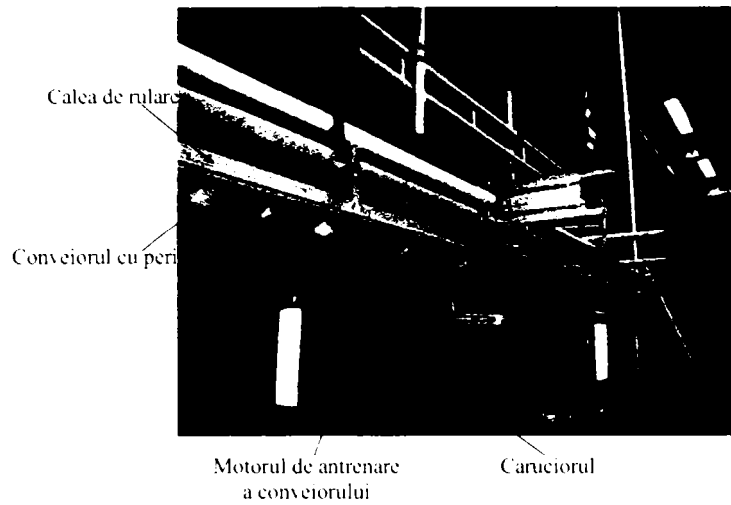


Figura 2.18. Imagine de ansamblu a sistemului de transport

Principalul avantaj al unui astfel de sistem de transport îl constituie existența zonelor de acumulare (jam-uri) în care cărucioarele pot fi oprite, fără a necesita oprirea conveioarelor. În acest mod se asigură o flexibilitate sporită, având posibilitatea de a opera simultan în toate zonele sistemului.

Elementul principal care asigură oprirea unui cărucior funcționează de algoritmul de conducere utilizat este stoperul. În figura 2.19 se prezintă un stoper utilizat în cazul acestor sisteme.

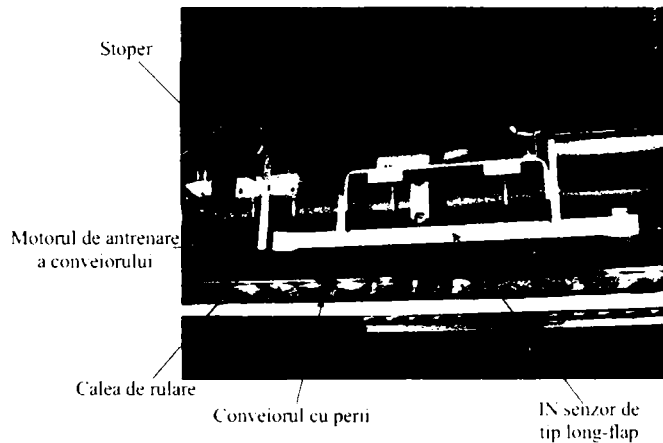


Figura 2.19. Stoper și senzor de tip long-flap

În figura 2.19 se observă și senzorul care semnalizează faptul că în fața stoperului se află un cărucior.

Ideea de bază în conducerea unor astfel de sisteme este aceea de a asigura modularizarea elementelor care compun sistemul [UngAS06][UngPN06].

Au fost stabilite patru structuri de bază, cu ajutorul cărora să se poată modela orice modul, indiferent de complexitatea lui (*nodul de tip 1 o intrare o ieșire, nodul de tip 2 două intrări o ieșire, nodul de tip 3 trei intrări o ieșire și nodul de tip 4 o intrare două ieșiri*) [UP06a][UP06b].

2.5.1.1. Nodul de tip 1 – o intrare o ieșire [UP06a][UP06b] [Ung06b][Ung06c]

Structura de bază a unui astfel de nod este prezentată în figura 2.20.

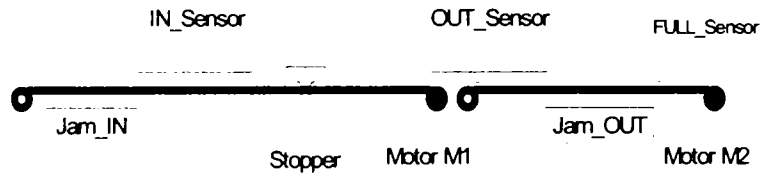


Figura 2.20. Nodul de tip 1. O intrare o ieșire

După cum se observă în figura 2.20, un astfel de nod conține un singur stoper, având o intrare și o singură ieșire. Senzorii utilizați au următoarele funcții:

IN_Sensor	Senzorul din stoper. Cu ajutorul acestui senzor se semnalizează faptul că un cărucior este în stoper.
OUT_Sensor	Senzorul de ieșire. Cu ajutorul acestui senzor se urmărește momentul în care un cărucior a părăsit zona stoperului (a nodului).
FULL_Sensor	Senzor de plin. Cu ajutorul acestui senzor se verifică spațiul disponibil în jam-ul următor.

Funcționarea nodului de tip 1 este descrisă prin intermediul cronogramei din figura 2.21.

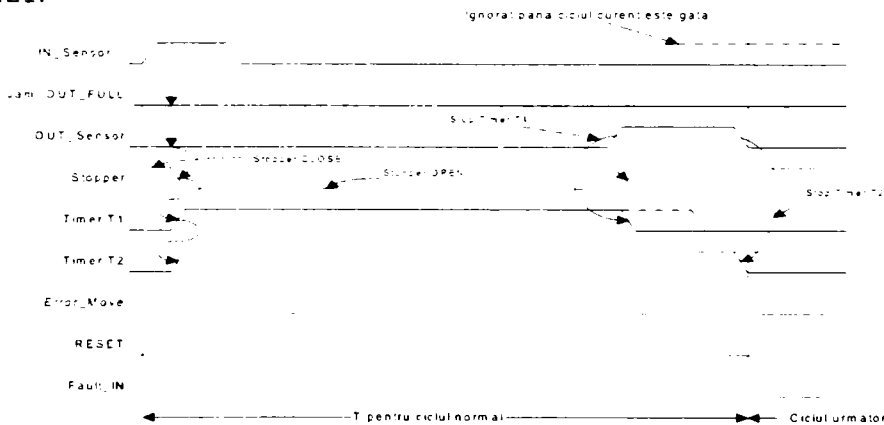


Figura 2.21. Cronogramele de funcționare a nodului de tip 1

2.5.1.2. Nodul de tip 2 – două intrări o ieșire [UP06a][UP06b] [Ung06c] [Ung06d]

Structura de bază a unui astfel de nod este prezentată în figura 2.22.

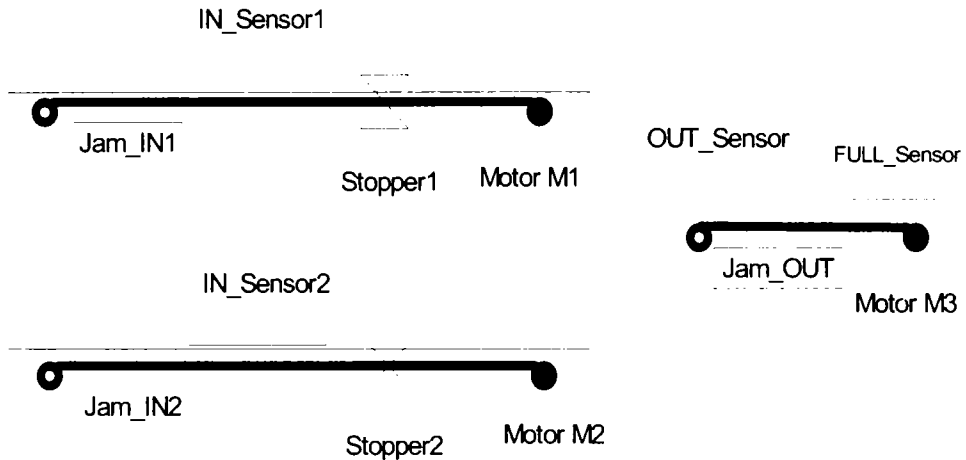


Figura 2.22. Nodul de tip 2. Două intrări o ieșire

Se observă că în plus față de nodul de tip 1, acest nod are două stopere și un macaz. Semnificația senzorilor este similară cu cea pentru nodul 1. După cum se observă, dacă un cărucior este eliberat din stoperul 1 sau 2 (eliberarea simultană este exclusă), după poziționarea macazului, totul se reduce la un nod de tip 1.

2.5.1.3. Nodul de tip 3 – trei intrări o ieșire [UP06a][UP06b] [Ung06b] [Ung06c]

Structura de bază a unui astfel de nod este prezentată în figura 2.23.

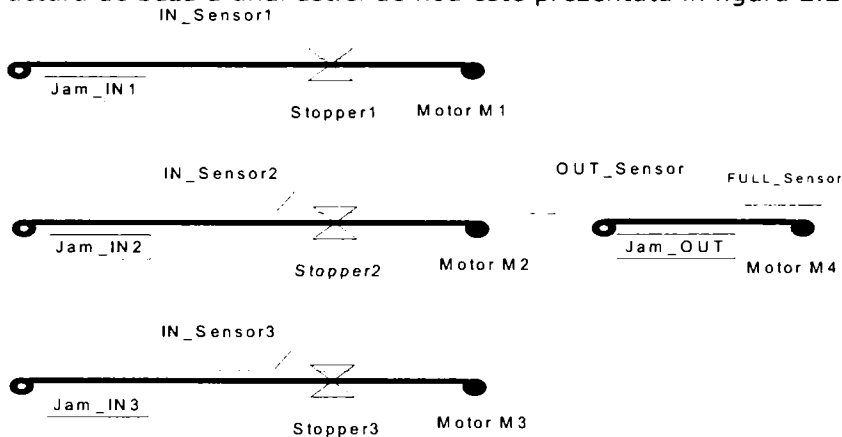


Figura 2.23. Nodul de tip 3. Trei intrări o ieșire

Se observă că în plus față de nodul de tip 2, acest nod are trei stopere și două macazuri. Semnificația senzorilor este similară cu cea pentru nodul 1. După cum se observă, dacă un cărucior este eliberat din stoperul 1, 2 sau 3 (eliberarea simultană este exclusă), după poziționarea macazelor, totul se reduce la un nod de tip 1.

2.5.1.4. Nodul de tip 4 – o intrare două ieșiri [UP06a][UP06b] [Ung06b][Ung06c]

Structura de bază a unui astfel de nod este prezentată în figura 2.24.

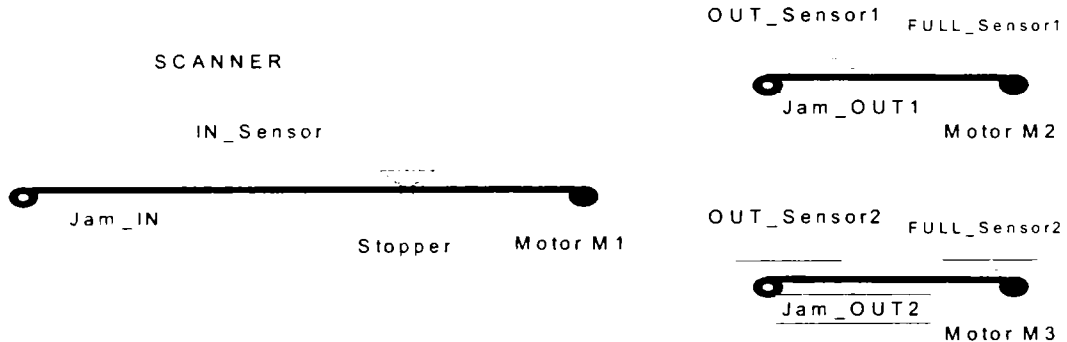


Figura 2.24. Nodul de tip 4. O intrare două ieșiri

Se observă că în plus față de nodul de tip 1, acest nod are în fața stoperului un element de identificare (scanner sau stație de identificare) și un macaz. După identificarea căruciorului și calcularea direcției de deplasare se poziționează macazul, totul reducându-se în acest moment la un nod de tip 1.

După cum rezultă din cele prezentate, se pot construi o multitudine de configurații. Pentru modelare, în cadrul lucrării se consideră, ca elemente de baza, numai cele patru tipuri de noduri prezentate, pe baza acestora putându-se construi orice structura.

2.5.2. Modelarea elementelor componente ale sistemelor de transport cu zone de acumulare considerate ca SED

Modelarea sistemelor de transport cu zone de acumulare cu ajutorul automatelor secvențiale, respectiv a rețelelor Petri, se reduce la modelarea și simularea nodurilor de tip 1, 2, 3 și 4 prezentate anterior. Ca mediu de modelare și simulare s-a folosit MATLAB 6.5 și un tool specific PN-Toolbox (PNT), elaborat la Facultatea de Automatică și Calculatoare Iași și validat de firma MathWorks[MMP05].

Pentru modelare și simulare s-au considerat (pentru fiecare tip de nod):

- automatul secvențial corespunzător;
- rețea Petri netemporizată;
- rețea Petri temporizată P.

2.5.2.1. Modelarea nodului de tip 1 – o intrare o ieșire

2.5.2.1.1. Modelarea nodului de tip 1 cu ajutorul automatelor [UP06a] [Ung06b]

Structura automatului secvențial considerat pentru modelarea nodului de tip 1 este prezentată în figura 2.25.

Semnificațiile stărilor automatului secvențial *AS_N1* sunt prezentate în tabelul 2.1.

Observatie: În cadrul tuturor modelelor de tip automat toate stările sunt considerate ca fiind stări marcate și din acest motiv mulțimea stărilor marcate X_m nu mai este prezentată.

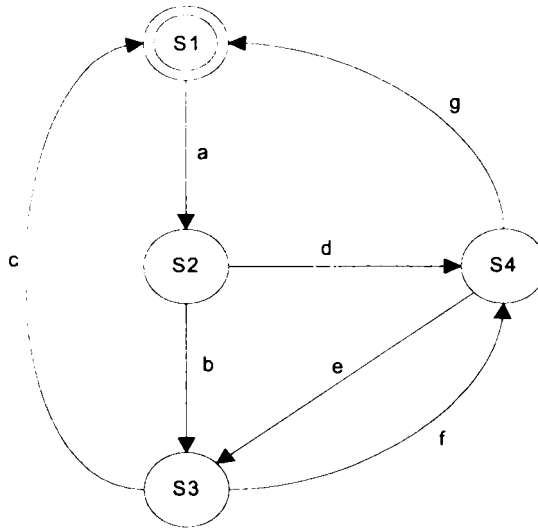


Figura 2.25. Structura automatului secvențial corespunzător nodului de tip 1

Tabelul 2.1. Semnificațiile stărilor automatului *AS_N1*

Stare	Comentariu
S1	WAIT – starea inițială a sistemului. În această stare se așteaptă ca un cărucior să ajungă în stoper ($IN_Sensor = 1$). Tot în această stare se asigură transportul unui cărucior din senzorul de intrare în nod până în IN_Sensor .
S2	OPEN – starea în care stoperul este deschis, asigurându-se astfel transferul căruciorului în jam-ul următor.
S3	CLOSE – stare corespunzătoare pentru stoper închis, dar căruciorul se află încă în zona nodului, nefiind încă trecut complet în jam-ul următor.
S4	EROARE – stare de eroare care se instalează dacă în timpul mișcării căruciorului a apărut o situație critică.

Evenimentele sub care au loc tranzițiile dintre stări sunt prezentate în tabelul 2.2.

Tabelul 2.2. Semnificațiile evenimentelor corespunzătoare automatului *AS_N1*

Eveniment	Comentariu
a	Eveniment care asigură trecerea din starea S1 în starea S2. Validat (activ) pe baza condiției: $IN_Sensor * !OUT_Sensor * !FULL$.
b	Eveniment care asigură trecerea din starea S2 în starea S3. Validat (activ) pe baza condiției: FP_OUT_Sensor (front pozitiv la OUT_Sensor).
c	Eveniment care asigură trecerea din starea S3 în starea S1. Validat (activ) pe baza condiției: FN_OUT_Sensor (front negativ la OUT_Sensor).

	OUT_Sensor).
d	Eveniment care asigură trecerea din starea S2 în starea S4. Validat (activ) pe baza condiției: FN_Timer_T2 (front negativ la timerul T2 – expirare timer).
e	Eveniment care asigură trecerea din starea S4 în starea S3. Validat (activ) pe baza condiției: FP_OUT_Sensor.
f	Eveniment care asigură trecerea din starea S3 în starea S4. Validat (activ) pe baza condiției: FN_Timer_T3 (timerul T3 expirat).
g	Eveniment care asigură trecerea din starea S4 în starea S1. Validat (activ) pe baza condiției: FN_OUT_Sensor + RESET.

Automatul corespunzător nodului de tip 1 este $AS_N1 = (X, \Sigma, \delta, \Gamma, x_0)$, unde:

- multimea stărilor: $X = \{S1, S2, S3, S4\}$
- multimea evenimentelor: $\Sigma = \{a, b, c, d, e, f, g\}$
- multimile evenimentelor posibile și funcțiile de tranziție a stărilor:

$$\begin{array}{ll} \Gamma(S1) = \{a\} & \delta(S1, a) = S2 \\ \Gamma(S2) = \{b, d\} & \delta(S2, b) = S3, \quad \delta(S2, d) = S4 \\ \Gamma(S3) = \{c, f\} & \delta(S3, c) = S1, \quad \delta(S3, f) = S4 \\ \Gamma(S4) = \{e, g\} & \delta(S4, e) = S3 \quad \delta(S4, g) = S1 \end{array}$$

- starea inițială: $x_0 = S1$

Analiza modelului de tip automat stabilit pentru nodul de tip 1 s-a realizat utilizând mediul de simulare Petri Nets Toolbox sub Matlab 6.5. Pentru ca analiza automatului să fie validată, conversia din modelul de tip automat în model de tip rețea Petri trebuie făcută astfel încât topologia rețelei rezultate să fie tot de tip automat.

Pentru conversia din model de tip automat în model de tip rețea Petri s-a utilizat algoritmul 2.2 de conversie descris în paragraful 2.3 .

Aplicând algoritmul selectat rezultă:

- multimea pozițiilor: $P = \{p1, p2, p3, p4\}$,
unde $p1 = \{S1\}$, $p2 = \{S2\}$, $p3 = \{S3\}$ și $p4 = \{S4\}$;
- multimea tranzițiilor:

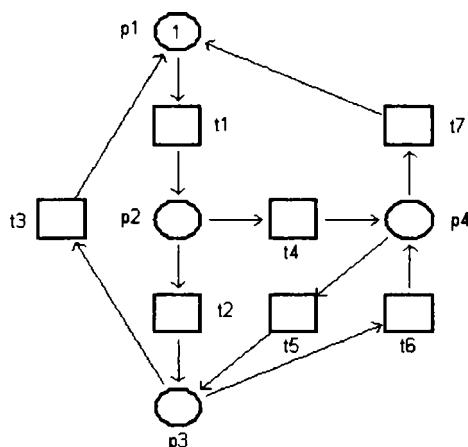
- Pentru $p1$: $(p1, p2)$ $p2 = \delta(p1, t1)$ $t1 = \{a\}$
- Pentru $p2$: $(p2, p3)$ $p3 = \delta(p2, t2)$ $t2 = \{b\}$
 $(p2, p4)$ $p4 = \delta(p2, t4)$ $t4 = \{d\}$
- Pentru $p3$: $(p3, p1)$ $p1 = \delta(p3, t3)$ $t3 = \{c\}$
 $(p3, p4)$ $p4 = \delta(p3, t6)$ $t6 = \{f\}$
- Pentru $p4$: $(p4, p1)$ $p1 = \delta(p4, t7)$ $t7 = \{g\}$
 $(p4, p3)$ $p3 = \delta(p4, t5)$ $t5 = \{e\}$

În figura 2.26 se prezintă structura rețelei Petri asociată automatului secvențial considerat în cazul nodului de tip 1.

Semnificațiile pozițiilor P sunt prezentate în tabelul 2.3.

Tabelul 2.3. Semnificatiile pozitiilor P

Pozitie	Comentariu
P1	WAIT – pozitia inițială a sistemului. În această stare se așteaptă ca un cărucior să ajungă în stoper (IN_Sensor = 1). Tot în această stare se asigură transportul unui cărucior din sensorul de intrare în nod până în IN_Sensor.
P2	OPEN – pozitia în care stoperul este deschis, asigurându-se astfel transferul căruciorului în jam-ul următor.
P3	CLOSE – pozitie corespunzătoare pentru stoper închis, dar căruciorul se află încă în zona nodului, nefiind încă trecut complet în jam-ul următor.
P4	EROARE – pozitia de eroare care se instalează dacă în timpul mișcării căruciorului a apărut o situație critică.

**Figura 2.26.** Structura rețelei Petri asociată automatului secvențial corespunzător nodului de tip 1

Semnificatiile tranzițiilor t sunt prezentate în tabelul 2.4.

Tabelul 2.4. Semnificatiile tranzițiilor t

Tranziție	Comentariu
t1	Tranziție care asigură trecerea din starea P1 în starea P2. Această tranziție este activată dacă este îndeplinită condiția: $IN_Sensor * !OUT_Sensor * !FULL$.
t2	Tranziție care asigură trecerea din starea P2 în starea P3. Această tranziție este activată dacă este îndeplinită condiția: FP_OUT_Sensor .
t3	Tranziție care asigură trecerea din starea P3 în starea P1. Această tranziție este activată dacă este îndeplinită condiția: FN_OUT_Sensor .
t4	Tranziție care asigură trecerea din starea P2 în starea P4. Această tranziție este activată dacă este îndeplinită condiția: FN_Timer_T2 .
t5	Tranziție care asigură trecerea din starea P4 în starea P3. Această tranziție este activată dacă este îndeplinită condiția: FP_OUT_Sensor .
t6	Tranziție care asigură trecerea din starea P3 în starea P4. Această tranziție este activată dacă este îndeplinită condiția: FN_Timer_T3 .
t7	Tranziție care asigură trecerea din starea P4 în starea P1. Această tranziție este activată dacă este îndeplinită condiția: $FN_OUT_Sensor + RESET$.

Topologia rețelei (rezultat obținut cu ajutorul lui PNT) este prezentată în figura 2.27.

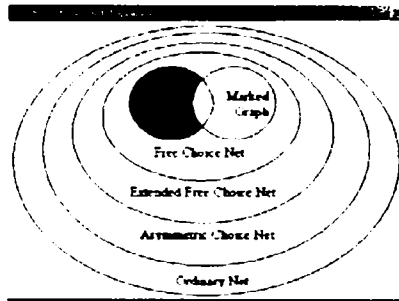


Figura 2.27. Topologia rețelei Petri validată de PNT

După cum se poate observa, în urma transformării modelului de tip automat în model rețea Petri, topologia rețelei obținute este tot de tip automat („state machine”), ceea ce permite analiza modelului de tip automat utilizând tehnicile din cadrul rețelelor Petri.

Rețeaua Petri rezultată este formalizată matematic prin cvintuplul:

$$PN_AS_N1 = (P, T, F, W, M_0)$$

unde:

- $P = \{p_1, p_2, p_3, p_4\}$
- $T = \{t_1, t_2, t_3, t_4, t_5, t_6, t_7\}$
- $F = \{(p_1, t_1), (p_2, t_2), (p_2, t_4), (p_3, t_3), (p_3, t_6), (p_4, t_5), (p_4, t_7)\} \cup \{(t_1, p_2), (t_2, p_3), (t_3, p_1), (t_4, p_4), (t_5, p_3), (t_6, p_4), (t_7, p_1)\}$
- $W(p_1, t_1) = 1, W(p_2, t_2) = 1, W(p_2, t_4) = 1,$
 $W(p_3, t_3) = 1, W(p_3, t_6) = 1, W(p_4, t_5) = 1,$
- $W(p_4, t_7) = 1, W(t_1, p_2) = 1, W(t_2, p_3) = 1,$
 $W(t_3, p_1) = 1, W(t_4, p_4) = 1, W(t_5, p_3) = 1,$
 $W(t_6, p_4) = 1, W(t_7, p_1) = 1$
- $M_0 = [1, 0, 0, 0]^T$

Matricile de incidență corespunzătoare sunt:

Matricea de incidență de intrare:

$$A_I = \begin{pmatrix} 1 & 0 & 0 & 0 \\ 0 & 1 & 0 & 0 \\ 0 & 0 & 1 & 0 \\ 0 & 1 & 0 & 0 \\ 0 & 0 & 0 & 1 \\ 0 & 0 & 1 & 0 \\ 0 & 0 & 0 & 1 \end{pmatrix}$$

Matricea de incidență de ieșire:

$$A_O = \begin{pmatrix} 0 & 1 & 0 & 0 \\ 0 & 0 & 1 & 0 \\ 1 & 0 & 0 & 0 \\ 0 & 0 & 0 & 1 \\ 0 & 0 & 1 & 0 \\ 0 & 0 & 0 & 1 \\ 1 & 0 & 0 & 0 \end{pmatrix}$$

$$\text{Matricea de incidenta: } A = A_O - A_I = \begin{pmatrix} -1 & 1 & 0 & 0 \\ 0 & -1 & 1 & 0 \\ 1 & 0 & -1 & 0 \\ 0 & -1 & 0 & 1 \\ 0 & 0 & 1 & -1 \\ 0 & 0 & -1 & 1 \\ 1 & 0 & 0 & -1 \end{pmatrix}$$

Arborele de acoperire corespunzator este prezentat in figura 2.28.

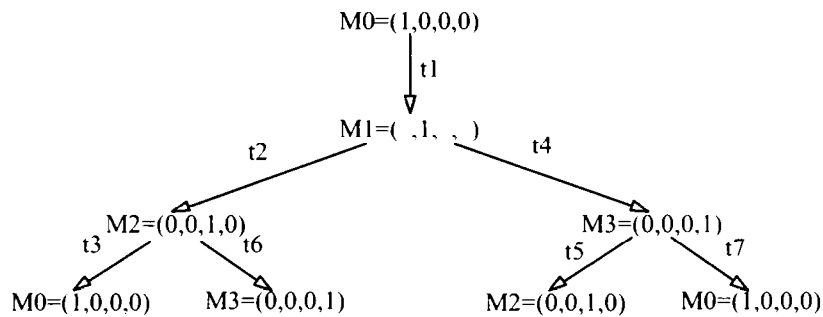


Figura 2.28 Arborele de acoperire al rețelei Petri PN_{AS_N1}

Studiind proprietatile comportamentale ale rețelei Petri PN_{AS_N1} , pe baza arborelui de acoperire rezulta:

- rețeaua este *marginita* (simbolul ω nu apare in arborele de acoperire);
- rețeaua este *sigura* (marcajele din toate nodurile arborelui de acoperire contin numai „0” si „1”);
- rețeaua *nu este blocanta* (toate tranzițiile au asociate arce in arborele de acoperire);
- rețeaua este *accesibila* (orice marcaj poate fi atins pornind din M_0).

Graful de acoperire corespunzator este prezentat in figura 2.29.

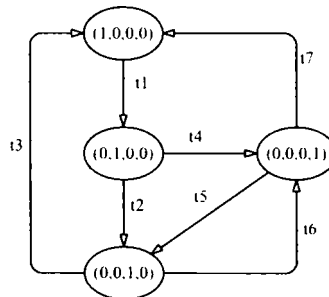


Figura 2.29. Graful de acoperire al rețelei Petri PN_{AS_N1}

Structura rezultata pentru graful de acoperire confirma faptul ca modelul de rețea Petri derivata din modelul de tip automat corespunzator nodului de tip 1 este *accesibil*.

Concluzionand, se poate afirma ca modelul ales este *viabil* din punct de vedere comportamental.

Analiza rețelei Petri *PN_AS_N1* din punct de vedere structural se face pe baza analizei existentei invariantilor de tip *P* respectiv *T*. Pentru determinarea numarului de invarianti *P*, respectiv *T*, s-a aplicat teorema 2.3 (Determinarea numarului de invarianti), rangul matricei *A* este: $\text{rang } A = 3$.

Rezulta ca rețeaua Petri *PN_AS_N1* este acoperita de 1 invariant de tip *P*. In mod similar, in cazul invariantantilor de tip *T* rezulta un numar de 4 astfel de invarianti. In figurile 2.30 si 2.31 se prezinta invariantii de tip *P* respectiv *T* obtinuti in urma simulării rețelei Petri *PN_AS_N1* cu ajutorul PNT-ului.

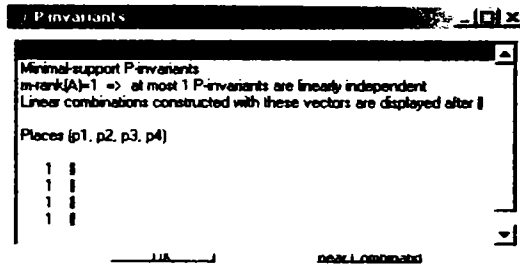


Figura 2.30 Invariantii de tip *P* obtinuti cu ajutorul PNT

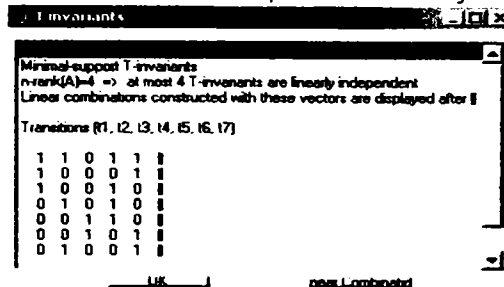


Figura 2.31 Invariantii de tip *T* obtinuti cu ajutorul PNT

Conform teoremelor 2.6, respectiv 2.7, rețeaua Petri *PN_AS_N1* este *conservativa si structural marginita, respectiv este consistenta si repetitiva*.

În final se poate *concluziona* că structura aleasă pentru un automat secvențial clasic corespunzător nodului de tip 1 este *viabilă*, ea putând fi implementată, fiind siguri că nu există condiții de apariție a blocajelor sau a apariției de situații necontrolabile.

2.5.2.1.2. Modelarea nodului de tip 1 cu ajutorul rețelelor Petri

2.5.2.1.2.1. Cazul: rețea Petri netemporizata [UP06b] [Ung06c]

Structura rețelei Petri considerate pentru modelarea nodului de tip 1 este prezentata în figura 2.32.

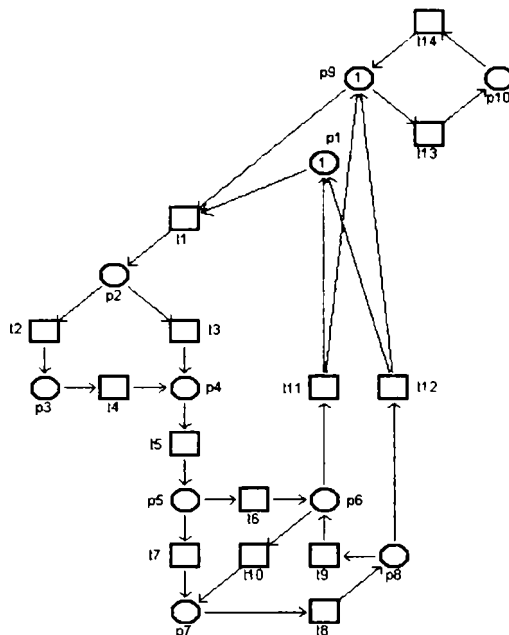


Figura 2.32. Structura rețelei Petri corespunzătoare nodului de tip 1

Semnificațiile pozițiilor *P* sunt prezentate în tabelul 2.5.

Tabelul 2.5. Semnificațiile pozițiilor corespunzătoare rețelei Petri din figura 2.32

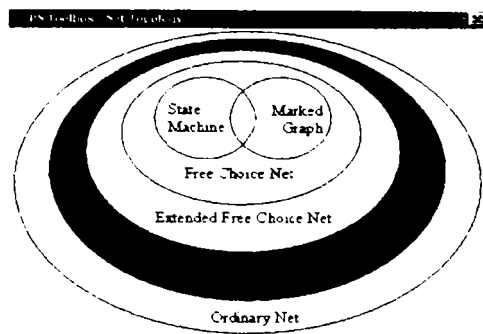
Pozitie	Comentariu
P1	Pozitia WAIT în care nu există carucior
P2	Pozitia READY care corespunde situației în care există un carucior și este loc în <i>jam_out</i>
P3	Pozitia OUT_BLOC corespunzătoare faptului că în zona de ieșire se află un carucior care nu a parasit complet nodul
P4	Pozitia STOPER_OPEN corespunde faptului că stoperul este deschis caruciorul deplasându-se spre <i>jam_out</i>
P5	Pozitia MOVE_OUT corespunde mișcării caruciorului care se află încă în zona stoperului
P6	Pozitia EROARE corespunzătoare apariției unei situații anormale de funcționare
P7	Pozitia STOPER_CLOSE corespunde situației în care caruciorul a trecut complet de stoper care a fost închis
P8	Pozitia MOVE_END corespunzătoare situației în care se așteaptă parasirea senzorului OUT de către carucior.
P9	Pozitia Nu_FULL care corespunde situației în care în zona de ieșire este loc pentru a muta un carucior
P10	Pozitia FULL care corespunde situației în care nu există spațiu în zona de ieșire (<i>jam_out</i>) pentru mutarea unui carucior

Semnificațiile tranzițiilor *t* corespunzătoare rețelei Petri din figura 2.32 sunt prezentate în tabelul 2.6.

Tabelul 2.6. Semnificatiile tranzitiilor t corespunzatoare rețelei Petri din figura 2.32.

Tranziție	Comentariu
t1	Activata in cazul in care in jam_out este spatiu si un carucior a sosit in stoper
t2	Activata daca iesirea nodului este blocata
t3	Activata daca iesirea nodului este libera
t4	Activata daca iesirea nodului s-a eliberat
t5	Activata daca caruciorul a inceput sa se miste spre sensorul OUT
t6	Activata daca in timpul deplasarii caruciorului spre iesire a aparut o anomalie in functionare
t7	Activata daca in urma deplasarii caruciorului s-a atins senzorul OUT
t8	Activata dupa inchiderea stoperului
t9	Activata daca in timpul deplasarii caruciorului spre jam_out a aparut o anomalie in functionare
t10	Activata daca eroarea aparuta a fost eliminata automat
t11	Activata in urma unei operatii de reset
t12	Activata la parasirea de catre carucior a senzorului OUT (sfarsit normal)
t13	Activata in cazul in care jam_out este plin
t14	Activata in cazul in care in jam_out s-a facut loc pentru unul sau mai multe carucioare

Topologia rețelei Petri validata de PNT este prezentata in figura 2.33.

**Figura 2.33.** Topologia rețelei Petri validata de PNT

Matematic rețeaua Petri considerata este formalizata prin cvintuplul:

$$PN_PT_N1 = (P, T, F, W, M_0)$$

unde:

- $P = \{p_1, p_2, p_3, p_4, p_5, p_6, p_7, p_8, p_9, p_{10}\}$
- $T = \{t_1, t_2, t_3, t_4, t_5, t_6, t_7, t_8, t_9, t_{10}, t_{11}, t_{12}, t_{13}, t_{14}\}$
- $F = \{(p_1, t_1), (p_2, t_2), (p_2, t_3), (p_3, t_4), (p_4, t_5), (p_5, t_6), (p_5, t_7), (p_6, t_{10}), (p_6, t_{11}), (p_7, t_8), (p_8, t_9), (p_8, t_{12}), (p_9, t_1), (p_9, t_{13}), (p_{10}, t_{14}) \cup \{(t_1, p_2), (t_2, p_3), (t_3, p_4), (t_4, p_4), (t_5, p_5), (t_6, p_6), (t_7, p_7), (t_8, p_8), (t_9, p_6), (t_{10}, p_7), (t_{11}, p_1), (t_{11}, p_9), (t_{12}, p_1), (t_{12}, p_9), (t_{13}, p_{10}), (t_{14}, p_9)\}$

- $W(p_1, t_1) = 1, W(p_2, t_2) = 1, W(p_2, t_3) = 1, W(p_3, t_4) = 1, W(p_4, t_5) = 1, W(p_5, t_6) = 1,$
 $W(p_5, t_7) = 1, W(p_6, t_{10}) = 1, W(p_6, t_{11}) = 1, W(p_7, t_8) = 1, W(p_8, t_9) = 1, W(p_8, t_{12}) = 1,$
 $W(p_9, t_1) = 1, W(p_9, t_{13}) = 1, W(p_{10}, t_{14}) = 1, W(t_1, p_2) = 1, W(t_2, p_3) = 1, W(t_3, p_4) = 1,$
 $W(t_4, p_4) = 1, W(t_5, p_5) = 1, W(t_6, p_6) = 1, W(t_7, p_7) = 1, W(t_8, p_8) = 1, W(t_9, p_6) = 1,$
 $W(t_{10}, p_7) = 1, W(t_{11}, p_1) = 1, W(t_{11}, p_9) = 1, W(t_{12}, p_1) = 1, W(t_{12}, p_9) = 1, W(t_{13}, p_{10}) = 1,$
 $W(t_{14}, p_9) = 1$
- $M_0 = [1, 0, 0, 0, 0, 0, 0, 0, 0, 1, 0]^T$

Matricile de incidență corespunzătoare sunt:

Matricea de incidența de intrare:

$$A_{Ii} = \begin{pmatrix} 10000000 & 10 \\ 0 & 100000000 \\ 0 & 100000000 \\ 00 & 100000000 \\ 000 & 10000000 \\ 0000 & 1000000 \\ 0000 & 100000 \\ 00000 & 100000 \\ 000000 & 1000 \\ 0000000 & 100 \\ 0000000 & 100 \\ 0000000 & 100 \\ 0000000 & 100 \\ 00000000 & 10 \\ 000000000 & 1 \end{pmatrix}$$

Matricea de incidența de iesire:

$$A_{Oi} = \begin{pmatrix} 0 & 100000000 \\ 00 & 100000000 \\ 000 & 10000000 \\ 000 & 10000000 \\ 0000 & 1000000 \\ 00000 & 100000 \\ 000000 & 10000 \\ 0000000 & 1000 \\ 00000000 & 100 \\ 00000000 & 100 \\ 00000000 & 100 \\ 00000000 & 100 \\ 100000000 & 10 \\ 100000000 & 10 \\ 000000000 & 1 \\ 000000000 & 10 \end{pmatrix}$$

Matricea de incidența:

$$A_i = A_{O_i} - A_{I_i} = \begin{pmatrix} -1 & 1 & 0 & 0 & 0 & 0 & 0 & 0 & -1 & 0 \\ 0 & -1 & 1 & 0 & 0 & 0 & 0 & 0 & 0 & 0 \\ 0 & -1 & 0 & 1 & 0 & 0 & 0 & 0 & 0 & 0 \\ 0 & 0 & -1 & 1 & 0 & 0 & 0 & 0 & 0 & 0 \\ 0 & 0 & 0 & -1 & 1 & 0 & 0 & 0 & 0 & 0 \\ 0 & 0 & 0 & 0 & -1 & 1 & 0 & 0 & 0 & 0 \\ 0 & 0 & 0 & 0 & 0 & 0 & -1 & 1 & 0 & 0 \\ 0 & 0 & 0 & 0 & 0 & 1 & 0 & -1 & 0 & 0 \\ 0 & 0 & 0 & 0 & 0 & -1 & 1 & 0 & 0 & 0 \\ 1 & 0 & 0 & 0 & 0 & -1 & 0 & 0 & 1 & 0 \\ 1 & 0 & 0 & 0 & 0 & 0 & 0 & -1 & 1 & 0 \\ 0 & 0 & 0 & 0 & 0 & 0 & 0 & 0 & -1 & 1 \\ 0 & 0 & 0 & 0 & 0 & 0 & 0 & 0 & 1 & -1 \end{pmatrix}$$

Arborele de acoperire corespunzător rețelei Petri PN_PT_N1 este prezentat în figura 2.34.

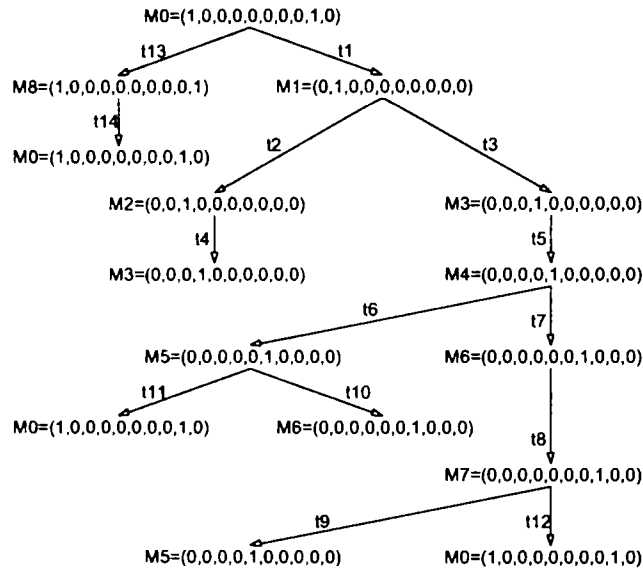


Figura 2.34: Arborele de acoperire corespunzator PN_PT_N1

Studiind proprietatile comportamentale ale rețelei Petri PN_PT_N1, pe baza arborelui de acoperire rezulta:

- rețeaua este *marginita* (simbolul ω nu apare in arborele de acoperire);
- rețeaua este *sigura* (marcajele din toate nodurile arborelui de acoperire contin numai „0” si „1”);
- rețeaua *nu este blocanta* (toate tranzitiile au asociate arce in arborele de acoperire);
- rețeaua este *accesibila* (orice marcaj poate fi atins pornind din M_0).

Graful de acoperire corespunzator este prezentat in figura 2.35

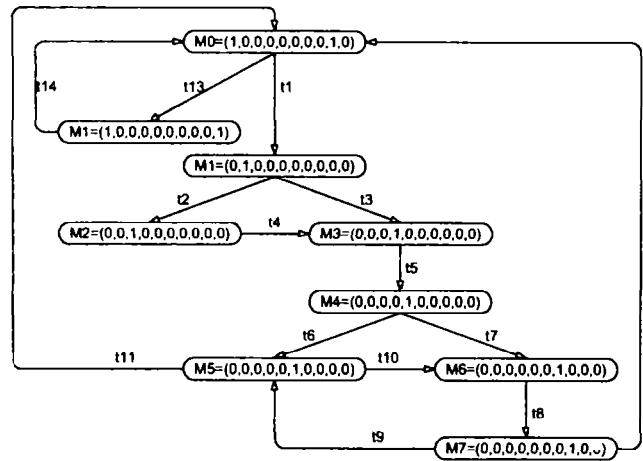


Figura 2.35. Graful de acoperire al rețelei Petri PN_PT_N1

Structura rezultata pentru graful de acoperire confirma ca modelul de rețea Petri corespunzator nodului de tip 1 este *accesibil* si *viabil* din punct de vedere comportamental.

Analiza rețelei Petri PN_{PT_N1} din punct de vedere structural se face pe baza analizei existenței invariantilor de tip P respectiv T . Pentru determinarea numărului de invarianti P respectiv T s-a aplicat teorema 2.3 (Determinarea numărului de invarianti [Pastr97]), rangul matricei A este: $\text{rang } A = 8$.

Rezulta ca rețeaua Petri PN_{PT_N1} este acoperita de 2 invarianti de tip P , respectiv 6 invarianti de tip T .

În figurile 2.36 și 2.37 se prezintă invariantii de tip P respectiv T obținuți în urma simulării rețelei Petri PN_{PT_N1} cu ajutorul PNT-ului.

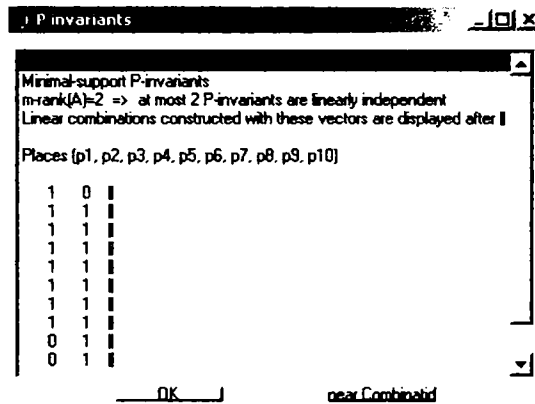


Figura 2.36 Invariantii de tip P obținuți cu ajutorul PNT

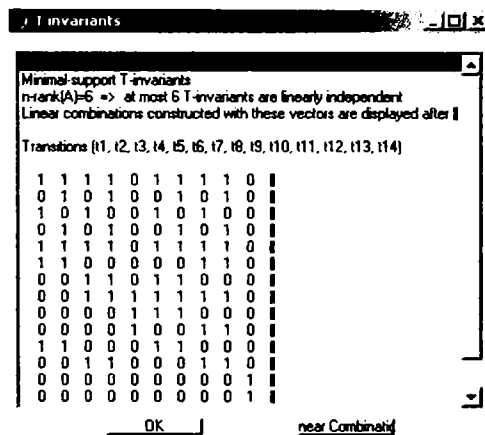


Figura 2.37 Invariantii de tip T obținuți cu ajutorul PNT

Conform teoremelor 2.6 respectiv 2.7 rețeaua Petri PN_{PT_N1} este conservativa și structural marginită, respectiv este consistentă și repetitivă.

În final se poate concluziona că structura aleasă pentru rețeaua Petri corespunzătoare nodului de tip 1 este viabilă, ea putând fi implementată, fiind siguri că nu există condiții de apariție a blocajelor sau a apariției de situații necontrolabile.

2.5.2.1.2.2. Cazul: retea Petri temporizata P

Structura rețelei Petri temporizata P corespunzatoare Nodului de tip 1 este aceeași ca cea prezentata in figura 2.32.

Datorita faptului ca rețelele sunt identice din punct de vedere structural si comportamental rezultatele analizelor nu se mai detaliaza, ele fiind in fapt identice cu cele obtinute in cazul nodului de tip 1 netemporizat.

Fata de situatia prezentata anterior fiecarei pozitii P i-a fost alocata o unitate de timp corespunzatoare. In acest mod situatia devine reala din punct de vedere al functionarii.

Timpii corespunzatori pozitiiilor P sunt prezentati in tabelul 2.7.

Tabelul 2.7. Timpii corespunzatori pozitiiilor P

Pozitie	Unitati de Timp
P1	1
P2	5
P3	4
P4	4
P5	7
P6	6
P7	3
P8	5
P9	1
P10	3

Matematic rețeaua Petri temporizata P este:

$$PN_PTtime_N1 = (P, T, F, W, D, M_0)$$

unde:

- $P = \{p_1, p_2, p_3, p_4, p_5, p_6, p_7, p_8, p_9, p_{10}\}$
- $T = \{t_1, t_2, t_3, t_4, t_5, t_6, t_7, t_8, t_9, t_{10}, t_{11}, t_{12}, t_{13}, t_{14}\}$
- $F = \{(p_1, t_1), (p_2, t_2), (p_2, t_3), (p_3, t_4), (p_4, t_5), (p_5, t_6), (p_5, t_7), (p_6, t_{10}), (p_6, t_{11}), (p_7, t_8), (p_8, t_9), (p_8, t_{12}), (p_9, t_1), (p_9, t_{13}), (p_{10}, t_{14}) \cup \{(t_1, p_2), (t_2, p_3), (t_3, p_4), (t_4, p_4), (t_5, p_5), (t_6, p_6), (t_7, p_7), (t_8, p_8), (t_9, p_6), (t_{10}, p_7), (t_{11}, p_1), (t_{11}, p_9), (t_{12}, p_1), (t_{12}, p_9), (t_{13}, p_{10}), (t_{14}, p_9)\}$
- $W(p_1, t_1) = 1, W(p_2, t_2) = 1, W(p_2, t_3) = 1, W(p_3, t_4) = 1, W(p_4, t_5) = 1, W(p_5, t_6) = 1, W(p_5, t_7) = 1, W(p_6, t_{10}) = 1, W(p_6, t_{11}) = 1, W(p_7, t_8) = 1, W(p_8, t_9) = 1, W(p_8, t_{12}) = 1, W(p_9, t_1) = 1, W(p_9, t_{13}) = 1, W(p_{10}, t_{14}) = 1,$
- $W(t_1, p_2) = 1, W(t_2, p_3) = 1, W(t_3, p_4) = 1, W(t_4, p_4) = 1, W(t_5, p_5) = 1, W(t_6, p_6) = 1, W(t_7, p_7) = 1, W(t_8, p_8) = 1, W(t_9, p_6) = 1, W(t_{10}, p_7) = 1, W(t_{11}, p_1) = 1, W(t_{11}, p_9) = 1, W(t_{12}, p_1) = 1, W(t_{12}, p_9) = 1, W(t_{13}, p_{10}) = 1, W(t_{14}, p_9) = 1$
- $D = \{d(p_1) = 1, d(p_2) = 5, d(p_3) = 4, d(p_4) = 4, d(p_5) = 7, d(p_6) = 6, d(p_7) = 3, d(p_8) = 5, d(p_9) = 1, d(p_{10}) = 3\}$
- $M_0 = [1, 0, 0, 0, 0, 0, 0, 0, 1, 0]^T$

În final se poate *concluziona* că structura aleasă pentru rețeaua Petri temporizată P corespunzătoare nodului de tip 1 este viabilă, ea putând fi implementată, fiind siguri că nu există condiții de apariție a blocajelor sau a apariției de situații necontrolabile.

2.5.2.2. Modelarea nodului de tip 2 – doua intrari o iesire

După cum s-a prezentat în capitolul 1, nodul de tip 2 (două intrări o ieșire) este construit cu ajutorul nodului de tip 1, având în plus un macaz care este comandat direct funcție de tranziția care este executată.

2.5.2.2.1. Modelarea nodului de tip 2 cu ajutorul automatelor [UP06a][Ung06b]

Structura automatului secvențial considerat pentru modelarea nodului de tip 2 este prezentată în figura 2.38.

Dupa cum se observa automatul secvențial al nodului 2 este realizat prin sincronizarea a doua automate secvențiale AS_N1, câte unul pentru fiecare linie de intrare (stoper). Astfel, semnificațiile stărilor este identică cu cele prezentate la AS_N1, cu observația ca S1, S2, S3 și S4 corespund stoperului 1, iar S5, S6, S7 și S8 corespund stoperului 2. Starea S9 este starea suplimentară de sincronizare a automatelor secvențiale corespunzătoare stoperelor 1 respectiv 2.

Evenimentele a1, b1, c1, d1, e1, f1, g1 se referă la stoperul 1 (senzorii corespunzători stoperului 1 conform relațiilor prezentate la AS_N1), iar a2, b2, c2, d2, e2, f2, g2 se referă la stoperul 2 cu aceeași observație. Evenimentele h1 respectiv h2 reprezintă condițiile de tranziție din starea S9 în S1 sau S5 (h1 activ – un carucior a activat senzorul de intrare din stoperul 1, respectiv h2 activ – un carucior a activat senzorul de intrare din stoperul 2).

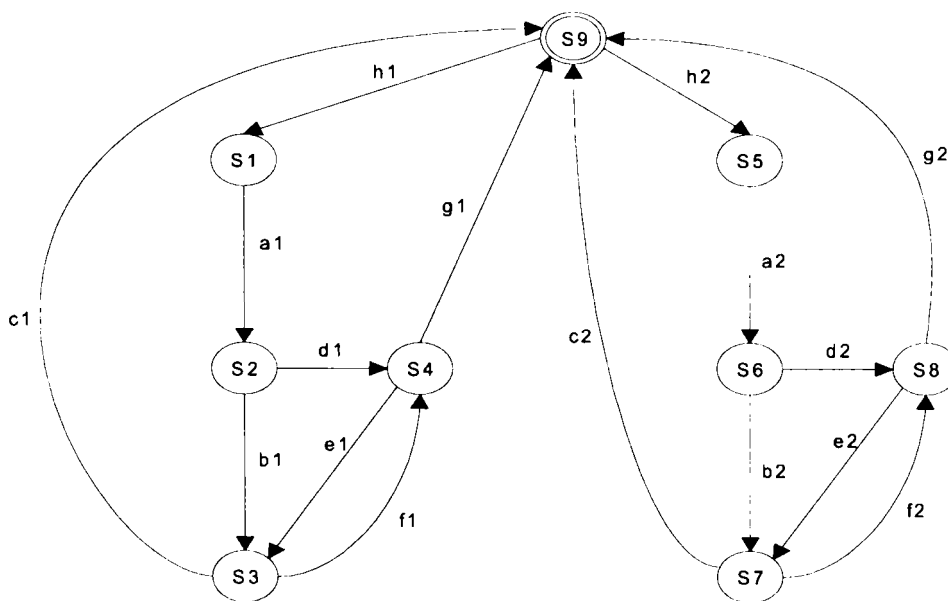


Figura 2.38. Structura automatului secvențial corespunzător nodului de tip 2

Automatul AS_{N2} care descrie automatul secvential corespunzator nodului de tip 2 este definit astfel:

- multimea starilor: $X = \{S1, S2, S3, S4, S5, S6, S7, S8, S9\}$
- multimea evenimentelor:
 $\Sigma = \{a1, b1, c1, d1, e1, f1, g1, h1, a2, b2, c2, d2, e2, f2, g2, h2\}$
- multimile evenimentelor posibile si functiile de tranzitie a starilor:

$\Gamma(S1) = \{a1\}$	$\delta(S1, a1) = S2$	
$\Gamma(S2) = \{b1, d1\}$	$\delta(S2, b1) = S3,$	$\delta(S2, d1) = S4$
$\Gamma(S3) = \{c1, f1\}$	$\delta(S3, c1) = S9,$	$\delta(S3, f1) = S4$
$\Gamma(S4) = \{e1, g1\}$	$\delta(S4, e1) = S3$	$\delta(S4, g1) = S9$
$\Gamma(S5) = \{a2\}$	$\delta(S5, a2) = S6$	
$\Gamma(S6) = \{b2, d2\}$	$\delta(S6, b2) = S7,$	$\delta(S6, d2) = S8$
$\Gamma(S7) = \{c2, f2\}$	$\delta(S7, c2) = S9,$	$\delta(S7, f2) = S8$
$\Gamma(S8) = \{e2, g2\}$	$\delta(S8, e2) = S7$	$\delta(S8, g2) = S9$
$\Gamma(S9) = \{h1, h2\}$	$\delta(S9, h1) = S1,$	$\delta(S9, h2) = S5$
- starea initiala: $x_0 = S9$

Considerentele legate de transformarea modelului de tip automat in model de tip retea Petri, prezentate la nodul de tip 1 sunt valabile si in cazul nodului de tip 2.

Pentru conversia din model de tip automat in model de tip retea Petri s-a utilizat aceeași metoda ca și în cazul nodului de tip 1 . Aplicând algoritmul selectat rezultă:

- multimea pozitiilor: $P = \{p1, p2, p3, p4, p5, p6, p7, p8, p9\}$, unde
 $p1 = \{S1\}, p2 = \{S2\}, p3 = \{S3\}, p4 = \{S4\}, p5 = \{S5\}, p6 = \{S6\}, p7 = \{S7\},$
 $p8 = \{S8\}$ si $p9 = \{S9\}$;
- multimea tranzitiilor:

• Pentru $p1$	$(p1, p2)$	$p2 = \alpha(p1, t1)$	$t1 = \{a1\}$
• Pentru $p2$	$(p2, p3)$	$p3 = \alpha(p2, t2)$	$t2 = \{b1\}$
	$(p2, p4)$	$p4 = \alpha(p2, t4)$	$t4 = \{d1\}$
• Pentru $p3$	$(p3, p9)$	$p9 = \alpha(p3, t3)$	$t3 = \{c1\}$
	$(p3, p4)$	$p4 = \alpha(p3, t6)$	$t6 = \{f1\}$
• Pentru $p4$	$(p4, p9)$	$p9 = \alpha(p4, t7)$	$t7 = \{g1\}$
	$(p4, p3)$	$p3 = \alpha(p4, t5)$	$t5 = \{e1\}$
• Pentru $p5$	$(p5, p6)$	$p6 = \alpha(p5, t8)$	$t8 = \{a2\}$
• Pentru $p6$	$(p6, p7)$	$p7 = \alpha(p6, t9)$	$t9 = \{b2\}$
	$(p6, p8)$	$p8 = \alpha(p6, t11)$	$t11 = \{d2\}$
• Pentru $p7$	$(p7, p9)$	$p9 = \alpha(p7, t10)$	$t10 = \{c2\}$
	$(p7, p8)$	$p8 = \alpha(p7, t13)$	$t13 = \{f2\}$
• Pentru $p8$	$(p8, p9)$	$p9 = \alpha(p8, t14)$	$t14 = \{g2\}$
	$(p8, p7)$	$p7 = \alpha(p8, t12)$	$t12 = \{e2\}$
• Pentru $p9$	$(p9, p1)$	$p1 = \alpha(p9, t15)$	$t15 = \{h1\}$
	$(p9, p5)$	$p5 = \alpha(p9, t16)$	$t16 = \{h2\}$

În figura 2.39 se prezintă structura rețelei Petri asociată automatului secvential considerat în cazul nodului de tip 2.

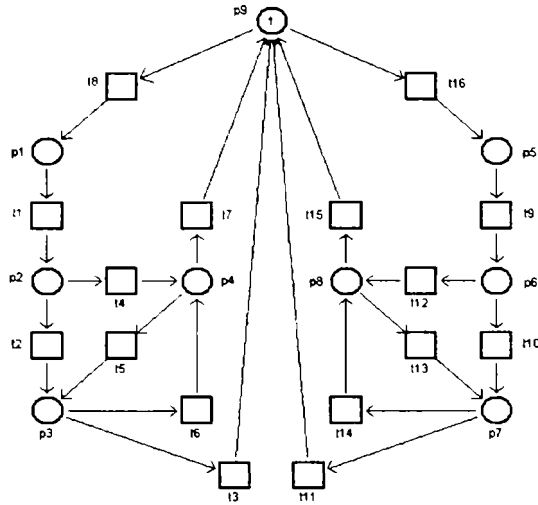


Figura 2.39. Structura rețelei Petri asociată automatului secvențial corespunzătoare nodului de tip 2

Semnificațiile pozițiilor sunt similare cu prezentarea făcută pentru nodul de tip 1. Astfel, P1 și P5 sunt similare cu P1 de la nodul de tip 1, P2 și P6 sunt similare cu P2 de la nodul de tip 1, P3 și P7 sunt similare cu P3 de la nodul de tip 1, iar P4 și P8 sunt similare cu P4 de la nodul de tip 1. În plus, pentru asigurarea excluderii mutuale, s-a introdus o poziție suplimentară P9.

Semnificațiile tranzițiilor sunt similare cu cele prezentate la nodul de tip 1. Astfel, t1 și t8 sunt similare cu t1 de la nodul de tip 1, t2 și t10 sunt similare cu t2 de la nodul de tip 1, t3 și t10 sunt similare cu t3 de la nodul de tip 1, cu observația că apare o condiție în plus dată de transferul jetonului în P9, t4 și t11 sunt similare cu t4 de la nodul de tip 1, t5 și t12 sunt similare cu t5 de la nodul de tip 1, t6 și t13 sunt similare cu t6 de la nodul de tip 1, t7 și t14 sunt similare cu t7 de la nodul de tip 1, cu observația că apare o condiție în plus dată de comutarea în starea P9 nu în P1. Tranzițiile t15 și t16 sunt noi, ele asigurând comutarea fie în starea P1, fie în starea P5, funcție de poziția în nod.

Topologia rețelei validată de PNT este prezentată în figura 2.40.

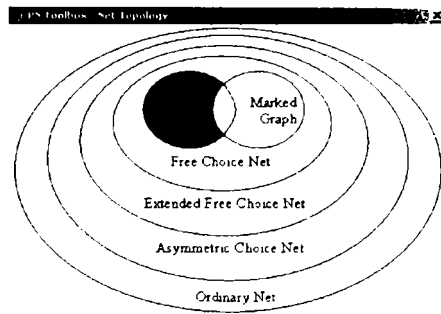


Figura 2.40 Topologia rețelei Petri validată de TPN

Rezultatele obținute confirmă, ca și în cazul nodului de tip 1, că după efectuarea conversiei topologia rețelei Petri obținută este tot de tip automat („State machine”).

Reteaua Petri considerata este formalizata matematic prin cvintuplul:

$$PN_AS_N2 = (P, T, F, W, M_0)$$

unde:

- $P = \{p_1, p_2, p_3, p_4, p_5, p_6, p_7, p_8, p_9\}$
- $T = \{t_1, t_2, t_3, t_4, t_5, t_6, t_7, t_8, t_9, t_{10}, t_{11}, t_{12}, t_{13}, t_{14}, t_{15}, t_{16}\}$
- $F = \{(p_1, t_1), (p_2, t_2), (p_2, t_4), (p_3, t_6), (p_3, t_3), (p_4, t_5), (p_4, t_7), (p_5, t_8), (p_6, t_9), (p_6, t_{11}), (p_7, t_{10}), (p_7, t_{13}), (p_8, t_{12}), (p_8, t_{14}), (p_9, t_{15}), (p_9, t_{16})\} \cup$
 $\{(t_1, p_2), (t_2, p_3), (t_3, p_9), (t_4, p_4), (t_5, p_3), (t_6, p_4), (t_7, p_9), (t_8, p_6), (t_9, p_7), (t_{10}, p_9), (t_{11}, p_8), (t_{12}, p_7), (t_{13}, p_8), (t_{14}, p_9), (t_{15}, p_1), (t_{16}, p_5)\}$
- $W(p_1, t_1) = 1, W(p_2, t_2) = 1, W(p_2, t_4) = 1, W(p_3, t_6) = 1,$
 $W(p_3, t_3) = 1, W(p_4, t_5) = 1, W(p_4, t_7) = 1, W(p_5, t_8) = 1, W(p_6, t_9) = 1,$
 $W(p_6, t_{11}) = 1, W(p_7, t_{10}) = 1, W(p_7, t_{13}) = 1, W(p_8, t_{12}) = 1, W(p_8, t_{14}) = 1,$
 $W(p_9, t_{15}) = 1, W(p_9, t_{16}) = 1, W(t_1, p_2) = 1, W(t_2, p_3) = 1, W(t_3, p_9) = 1,$
 $W(t_4, p_4) = 1, W(t_5, p_3) = 1, W(t_6, p_4) = 1, W(t_7, p_9) = 1, W(t_8, p_6) = 1,$
 $W(t_9, p_7) = 1, W(t_{10}, p_9) = 1, W(t_{11}, p_8) = 1, W(t_{12}, p_7) = 1,$
 $W(t_{13}, p_8) = 1, W(t_{14}, p_9) = 1, W(t_{15}, p_1) = 1, W(t_{16}, p_5) = 1$
- $M_0 = [0, 0, 0, 0, 0, 0, 0, 0, 0, 1]^T$

Matricile de incidenta corespunzatoare sunt:

Matricea de incidenta de intrare:

$$A_{II} = \begin{pmatrix} 1 & 0 & 0 & 0 & 0 & 0 & 0 & 0 & 0 & 0 \\ 0 & 1 & 0 & 0 & 0 & 0 & 0 & 0 & 0 & 0 \\ 0 & 0 & 1 & 0 & 0 & 0 & 0 & 0 & 0 & 0 \\ 0 & 1 & 0 & 0 & 0 & 0 & 0 & 0 & 0 & 0 \\ 0 & 0 & 0 & 1 & 0 & 0 & 0 & 0 & 0 & 0 \\ 0 & 0 & 1 & 0 & 0 & 0 & 0 & 0 & 0 & 0 \\ 0 & 0 & 0 & 1 & 0 & 0 & 0 & 0 & 0 & 0 \\ 0 & 0 & 0 & 0 & 0 & 0 & 0 & 0 & 0 & 1 \\ 0 & 0 & 0 & 0 & 1 & 0 & 0 & 0 & 0 & 0 \\ 0 & 0 & 0 & 0 & 0 & 1 & 0 & 0 & 0 & 0 \\ 0 & 0 & 0 & 0 & 0 & 0 & 1 & 0 & 0 & 0 \\ 0 & 0 & 0 & 0 & 0 & 0 & 1 & 0 & 0 & 0 \\ 0 & 0 & 0 & 0 & 0 & 0 & 0 & 1 & 0 & 0 \\ 0 & 0 & 0 & 0 & 0 & 0 & 0 & 0 & 1 & 0 \\ 0 & 0 & 0 & 0 & 0 & 0 & 0 & 0 & 0 & 1 \end{pmatrix}$$

Matricea de incidenta de iesire:

$$A_{O_i} = \begin{pmatrix} 0 & 1 & 0 & 0 & 0 & 0 & 0 & 0 & 0 & 0 \\ 0 & 0 & 1 & 0 & 0 & 0 & 0 & 0 & 0 & 0 \\ 0 & 0 & 0 & 0 & 0 & 0 & 0 & 0 & 0 & 1 \\ 0 & 0 & 0 & 1 & 0 & 0 & 0 & 0 & 0 & 0 \\ 0 & 0 & 1 & 0 & 0 & 0 & 0 & 0 & 0 & 0 \\ 0 & 0 & 0 & 1 & 0 & 0 & 0 & 0 & 0 & 0 \\ 0 & 0 & 0 & 0 & 0 & 0 & 0 & 0 & 0 & 1 \\ 1 & 0 & 0 & 0 & 0 & 0 & 0 & 0 & 0 & 0 \\ 0 & 0 & 0 & 0 & 0 & 1 & 0 & 0 & 0 & 0 \\ 0 & 0 & 0 & 0 & 0 & 0 & 1 & 0 & 0 & 0 \\ 0 & 0 & 0 & 0 & 0 & 0 & 0 & 1 & 0 & 0 \\ 0 & 0 & 0 & 0 & 0 & 0 & 0 & 0 & 1 & 0 \\ 0 & 0 & 0 & 0 & 0 & 0 & 0 & 0 & 0 & 1 \\ 0 & 0 & 0 & 0 & 1 & 0 & 0 & 0 & 0 & 0 \end{pmatrix}$$

Matricea de incidenta:

$$A_i = A_{O_i} - A_{I_i} = \begin{pmatrix} -1 & 1 & 0 & 0 & 0 & 0 & 0 & 0 \\ 0 & -1 & 1 & 0 & 0 & 0 & 0 & 0 \\ 0 & 0 & -1 & 0 & 0 & 0 & 0 & 0 \\ 0 & -1 & 0 & 1 & 0 & 0 & 0 & 0 \\ 0 & 0 & 1 & -1 & 0 & 0 & 0 & 0 \\ 0 & 0 & -1 & 1 & 0 & 0 & 0 & 0 \\ 0 & 0 & 0 & -1 & 0 & 0 & 0 & 0 \\ 1 & 0 & 0 & 0 & 0 & 0 & 0 & 0 \\ 0 & 0 & 0 & 0 & -1 & 1 & 0 & 0 \\ 0 & 0 & 0 & 0 & 0 & -1 & 1 & 0 \\ 0 & 0 & 0 & 0 & 0 & 0 & -1 & 0 \\ 0 & 0 & 0 & 0 & 0 & -1 & 0 & 1 \\ 0 & 0 & 0 & 0 & 0 & 0 & 1 & -1 \\ 0 & 0 & 0 & 0 & 0 & 0 & -1 & 1 \\ 0 & 0 & 0 & 0 & 0 & 0 & 0 & -1 \\ 0 & 0 & 0 & 0 & 1 & 0 & 0 & 0 \end{pmatrix}$$

Arborele de acoperire corespunzator este prezentat in figura 2.41

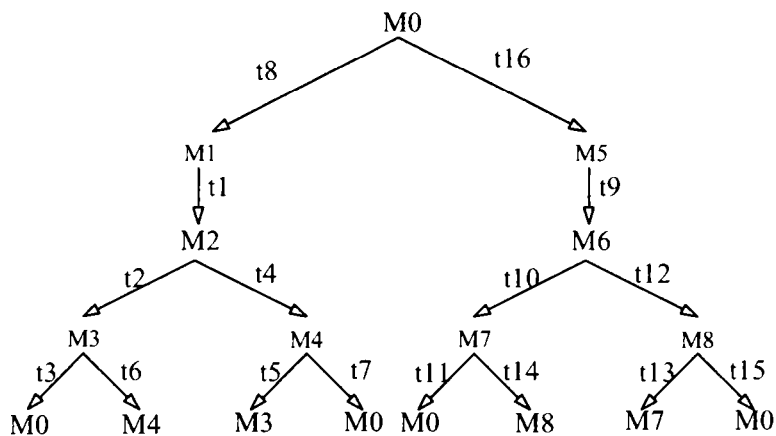


Figura 2.41 Arborele de acoperire al rețelei Petri PN_{AS_N2}

Unde:

$M_0=(0,0,0,0,0,0,0,0,1)$; $M_1=(1,0,0,0,0,0,0,0,0)$; $M_2=(0,1,0,0,0,0,0,0,0)$;
 $M_3=(0,0,1,0,0,0,0,0,0)$; $M_4=(0,0,0,1,0,0,0,0,0)$; $M_5=(0,0,0,0,1,0,0,0,0)$;
 $M_6=(0,0,0,0,0,1,0,0,0)$; $M_7=(0,0,0,0,0,0,1,0,0)$; $M_8=(0,0,0,0,0,0,0,1,0)$

Studiind *proprietatile* comportamentale ale rețelei Petri PN_{AS_N2} , pe baza arborelui de acoperire rezulta:

- rețeaua este *marginita* (simbolul ω nu apare in arborele de acoperire);
- rețeaua este *sigura* (marcajele din toate nodurile arborelui de acoperire contin numai „0” si „1”);
- rețeaua *nu este blocanta* (toate tranzitiile au asociate arce in arborele de acoperire);
- rețeaua este *accesibila* (orice marcaj poate fi atins pornind din M_0).

Graful de acoperire corespunzator este prezentat in figura 2.42.

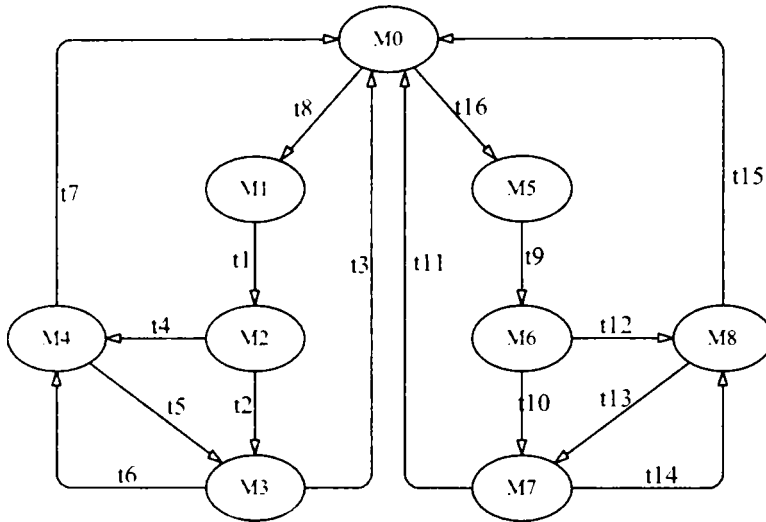


Figura 2.42. Graful de acoperire al rețelei Petri PN_AS_N2

Structura rezultată pentru graful de acoperire confirmă că modelul de rețea Petri derivată din modelul de tip automat corespunzător nodului de tip 2 este *accesibilă*, respectiv *viabilă* din punct de vedere comportamental.

Analiza rețelei Petri PN_AS_N2 din punct de vedere structural se face pe baza analizei existentei invariantilor de tip P respectiv T .

Aplicând teorema 2.3 (determinarea numărului de invarianti), rezultă că rețeaua Petri PN_AS_N2 , este acoperită de 1 invariant de tip P , respectiv 8 invarianti de tip T , rangul matricii A fiind: $\text{rang } A = 8$.

În figurile 2.43 și 2.44 se prezintă invariantii de tip P respectiv T obținuți în urma simulării rețelei Petri PN_AS_N2 cu ajutorul PNT-ului.

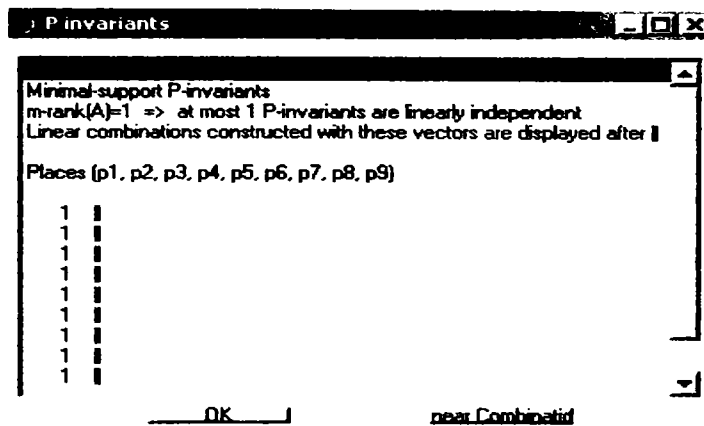


Figura 2.43 Invariantii de tip P obținuți cu ajutorul PNT

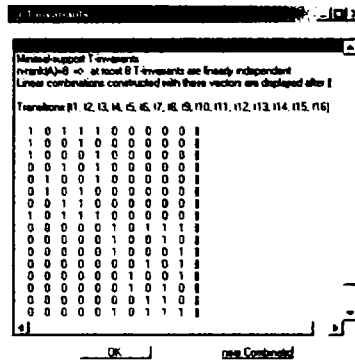


Figura 2.44 Invariantii de tip T obtinuti cu ajutorul PNT

Conform teoremelor 2.6 respectiv 2.7, rețeaua Petri PN_{AS_N2} este conservativa și structural marginită, respectiv este consistentă și repetitivă.

În final se poate concluziona că structura aleasă pentru un automat secvențial clasic corespunzător nodului de tip 2 este viabilă, ea putând fi implementată, fiind siguri că nu există condiții de apariție a blocajelor sau a apariției de situații necontrolabile.

2.5.2.2.2. Modelarea nodului de tip 2 cu ajutorul rețelelor Petri

2.5.2.2.2.1. Cazul: rețea Petri netemporizată [UP06b][Ung06c]

Structura rețelei Petri considerate pentru modelarea nodului de tip 2 este prezentată în figura 2.45.

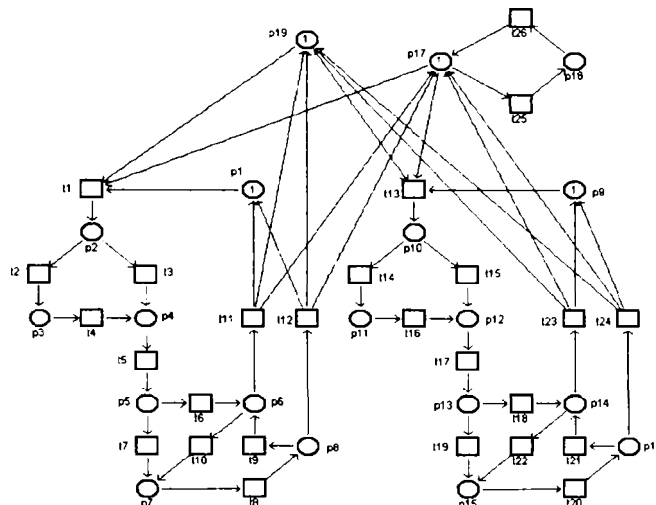


Figura 2.45. Structura rețelei Petri corespunzătoare nodului de tip 2

Semnificațiile pozițiilor P sunt identice cu cele prezentate pentru nodul de tip 1. Astfel $P1$ este identică cu $P9$, $P2$ cu $P10$, $P3$ cu $P11$, $P4$ cu $P12$, $P5$ cu $P13$, $P6$ cu

P14, P7 cu P15 si P8 cu P16. Trebuie facuta observatia ca P1, P2, P3, P4, P5, P6, P7 si P8 corespund stoperului 1, iar P9, P10, P11, P12, P13, P14, P15 si P16 corespund stoperului 2. Starile P17 si P18 corespund starilor P9 si P10 de la nodul de tip 1, iar starea P19 este stare de sincronizare nou introdusa fata de nodul de tip 1.

Tranzițiile t sunt similare cu cele prezentate la nodul 1. Astfel t_1 este similar cu t_{13} , t_2 cu t_{14} , t_3 cu t_{15} , t_4 cu t_{16} , t_5 cu t_{17} , t_6 cu t_{18} , t_7 cu t_{19} , t_8 cu t_{20} , t_9 cu t_{21} , t_{10} cu t_{22} , t_{11} cu t_{23} , t_{12} cu t_{24} . Similar cu observatia facuta in cazul pozitiilor, tranzitiile $t_1, t_2, t_3, t_4, t_5, t_6, t_7, t_8, t_9, t_{10}, t_{11}$ si t_{12} corespund stoperului 1, iar $t_{13}, t_{14}, t_{15}, t_{16}, t_{17}, t_{18}, t_{19}, t_{20}, t_{21}, t_{22}, t_{23}$ si t_{24} corespund stoperului 2. Tranzitiile t_{25} si t_{26} corespund tranzitiilor t_9 si t_{10} de la nodul de tip 1.

Topologia rețelei Petri validata de PNT este prezentata in figura 2.46.

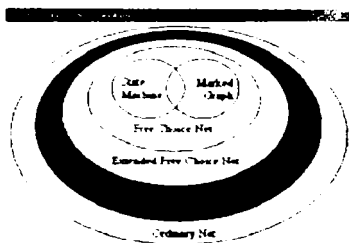


Figura 2.46. Topologia rețelei Petri validata de PNT

Reteaua Petri considerata este formalizata matematic prin cvintuplul:

$$PN_{PTN2} = (P, T, F, W, M_0)$$

unde:

- $P = \{p_1, p_2, p_3, p_4, p_5, p_6, p_7, p_8, p_9, p_{10}, p_{11}, p_{12}, p_{13}, p_{14}, p_{15}, p_{16}, p_{17}, p_{18}, p_{19}\}$
- $T = \{t_1, t_2, t_3, t_4, t_5, t_6, t_7, t_8, t_9, t_{10}, t_{11}, t_{12}, t_{13}, t_{14}, t_{15}, t_{16}, t_{17}, t_{18}, t_{19}, t_{20}, t_{21}, t_{22}, t_{23}, t_{24}, t_{25}, t_{26}\}$
- $F = \{(p_1, t_1), (p_2, t_2), (p_2, t_3), (p_3, t_4), (p_4, t_5), (p_5, t_6), (p_5, t_7), (p_6, t_{10}), (p_6, t_{11}), (p_7, t_8), (p_8, t_9), (p_8, t_{12}), (p_9, t_{13}), (p_{10}, t_{14}), (p_{10}, t_{15}), (p_{11}, t_{16}), (p_{12}, t_{17}), (p_{13}, t_{18}), (p_{13}, t_{19}), (p_{14}, t_{22}), (p_{14}, t_{23}), (p_{15}, t_{20}), (p_{16}, t_{21}), (p_{16}, t_{24}), (p_{17}, t_1), (p_{17}, t_{13}), (p_{17}, t_{25}), (p_{18}, t_{26}), (p_{19}, t_1), (p_{19}, t_{13})\} \cup$
- $\{(t_1, p_2), (t_2, p_3), (t_3, p_4), (t_4, p_4), (t_5, p_5), (t_6, p_6), (t_7, p_7), (t_8, p_8), (t_9, p_6), (t_{10}, p_7), (t_{11}, p_1), (t_{11}, p_{17}), (t_{11}, p_{19}), (t_{12}, p_1), (t_{12}, p_{17}), (t_{12}, p_{19}), (t_{13}, p_{10}), (t_{14}, p_{11}), (t_{15}, p_{12}), (t_{16}, p_{12}), (t_{17}, p_{13}), (t_{18}, p_{14}), (t_{19}, p_{15}), (t_{20}, p_{16}), (t_{21}, p_{14}), (t_{22}, p_{15}), (t_{23}, p_9), (t_{23}, p_{17}), (t_{23}, p_{19}), (t_{24}, p_9), (t_{24}, p_{17}), (t_{24}, p_{19}), (t_{25}, p_{18}), (t_{26}, p_{17})\}$

- $W(p_1, t_1) = 1, W(p_2, t_2) = 1, W(p_2, t_3) = 1, W(p_3, t_4) = 1, W(p_4, t_5) = 1, W(p_5, t_6) = 1,$
 $W(p_5, t_7) = 1, W(p_6, t_{10}) = 1, W(p_6, t_{11}) = 1, W(p_7, t_8) = 1, W(p_8, t_9) = 1, W(p_8, t_{12}) = 1,$
 $W(p_9, t_{13}) = 1, W(p_{10}, t_{14}) = 1, W(p_{10}, t_{15}) = 1, W(p_{11}, t_{16}) = 1, W(p_{12}, t_{17}) = 1, W(p_{13}, t_{18}) = 1,$
 $W(p_{13}, t_{19}) = 1, W(p_{14}, t_{22}) = 1, W(p_{14}, t_{23}) = 1, W(p_{15}, t_{20}) = 1, W(p_{16}, t_{21}) = 1, W(p_{16}, t_{24}) = 1,$
 $W(p_{17}, t_1) = 1, W(p_{17}, t_{13}) = 1, W(p_{17}, t_{25}) = 1, W(p_{18}, t_{26}) = 1, W(p_{19}, t_1) = 1, W(p_{19}, t_{13}) = 1,$
 $W(t_1, p_2) = 1, W(t_2, p_3) = 1, W(t_3, p_4) = 1, W(t_4, p_4) = 1, W(t_5, p_5) = 1, W(t_6, p_6) = 1,$
 $W(t_7, p_7) = 1, W(t_8, p_8) = 1, W(t_9, p_6) = 1, W(t_{10}, p_7) = 1, W(t_{11}, p_1) = 1, W(t_{11}, p_{17}) = 1,$
 $W(t_{11}, p_{19}) = 1, W(t_{12}, p_1) = 1, W(t_{12}, p_{17}) = 1, W(t_{12}, p_{19}) = 1, W(t_{13}, p_{10}) = 1, W(t_{14}, p_{11}) = 1,$
 $W(t_{15}, p_{12}) = 1, W(t_{16}, p_{12}) = 1, W(t_{17}, p_{13}) = 1, W(t_{18}, p_{14}) = 1, W(t_{19}, p_{15}) = 1, W(t_{20}, p_{16}) = 1,$
 $W(t_{21}, p_{14}) = 1, W(t_{22}, p_{15}) = 1, W(t_{23}, p_9) = 1, W(t_{23}, p_{17}) = 1, W(t_{23}, p_{19}) = 1, W(t_{24}, p_9) = 1,$
 $W(t_{24}, p_{17}) = 1, W(t_{24}, p_{19}) = 1, W(t_{25}, p_{18}) = 1, W(t_{26}, p_{17}) = 1$
- $M_0 = [1, 0, 0, 0, 0, 0, 0, 0, 0, 1, 0, 0, 0, 0, 0, 0, 0, 0, 0, 0, 0, 0, 0, 0, 1, 0, 1]^T$

Matricile de incidenta corespunzatoare retelei Petri PN_PT_N2 sunt:

Matricea de incidenta de intrare:

$$A_{II} = \begin{pmatrix} 10000000000000000000 & 101 \\ 01000000000000000000 & \\ 01000000000000000000 & \\ 00100000000000000000 & \\ 00010000000000000000 & \\ 00001000000000000000 & \\ 00000100000000000000 & \\ 00000010000000000000 & \\ 00000001000000000000 & \\ 00000000100000000000 & \\ 00000000010000000000 & \\ 00000000001000000000 & \\ 00000000000100000000 & \\ 00000000000010000000 & \\ 00000000000001000000 & \\ 00000000000000100000 & \\ 00000000000000010000 & \\ 00000000000000001000 & \\ 00000000000000000100 & \\ 00000000000000000010 & \\ 00000000000000000001 & \end{pmatrix}$$

Matricea de incidenta de iesire:

$$A_{OI} = \begin{pmatrix} 01000000000000000000 & \\ 00100000000000000000 & \\ 00010000000000000000 & \\ 00001000000000000000 & \\ 00000100000000000000 & \\ 00000010000000000000 & \\ 00000001000000000000 & \\ 00000000100000000000 & \\ 00000000010000000000 & \\ 00000000001000000000 & \\ 00000000000100000000 & \\ 00000000000010000000 & \\ 00000000000001000000 & \\ 00000000000000100000 & \\ 00000000000000010000 & \\ 00000000000000001000 & \\ 00000000000000000100 & \\ 00000000000000000010 & \\ 00000000000000000001 & \end{pmatrix}$$

Matricea de incidenta:

M2=(0,0,1,0,0,0,0,0,1,0,0,0,0,0,0,0,0,0);
M3=(0,0,0,1,0,0,0,0,1,0,0,0,0,0,0,0,0,0);
M4=(0,0,0,0,1,0,0,0,1,0,0,0,0,0,0,0,0,0);
M5=(0,0,0,0,0,1,0,0,1,0,0,0,0,0,0,0,0,0);
M6=(0,0,0,0,0,0,1,0,1,0,0,0,0,0,0,0,0,0);
M7=(0,0,0,0,0,0,0,1,1,0,0,0,0,0,0,0,0,0);
M8=(1,0,0,0,0,0,0,0,0,1,0,0,0,0,0,0,0,0);
M9=(1,0,0,0,0,0,0,0,0,0,1,0,0,0,0,0,0,0);
M10=(1,0,0,0,0,0,0,0,0,0,0,1,0,0,0,0,0,0);
M11=(1,0,0,0,0,0,0,0,0,0,0,0,1,0,0,0,0,0);
M12=(1,0,0,0,0,0,0,0,0,0,0,0,0,1,0,0,0,0);
M13=(1,0,0,0,0,0,0,0,0,0,0,0,0,0,1,0,0,0);
M14=(1,0,0,0,0,0,0,0,0,0,0,0,0,0,0,1,0,0);
M15=(1,0,0,0,0,0,0,0,1,0,0,0,0,0,0,0,1,1)

Studiind proprietatile comportamentale ale rețelei Petri *PN_PT_N2*, pe baza arborelui de acoperire rezulta:

- rețeaua este *marginita* (simbolul ω nu apare în arborele de acoperire);
- rețeaua este *sigura* (marcajele din toate nodurile arborelui de acoperire conțin numai „0” și „1”);
- rețeaua *nu este blocanta* (toate tranzitiile au asociate arce în arborele de acoperire);
- rețeaua este *accesibilă* (orice marcaj poate fi atins pornind din M_0).

Graful de acoperire corespunzător este prezentat în figura 2.48.

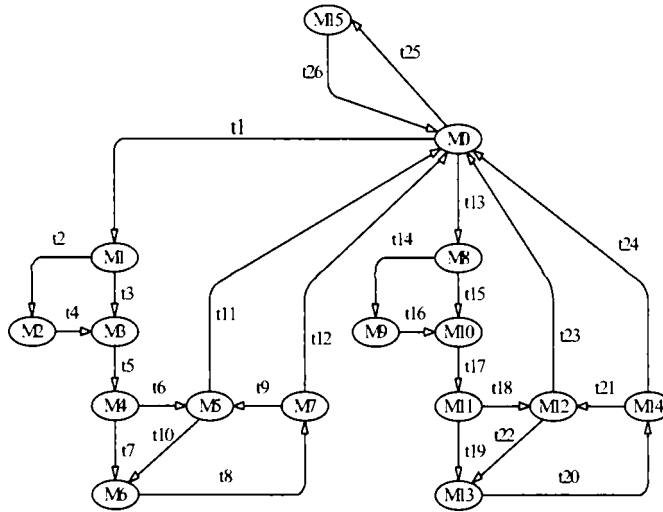


Figura 2.48. Graful de acoperire al rețelei Petri *PN_PT_N2*

Structura rezultată pentru graful de acoperire confirmă că modelul de rețea Petri corespunzător nodului de tip 1 este *accesibil*, modelul fiind *viabil* din punct de vedere comportamental.

Analiza rețelei Petri *PN_PT_N2* din punct de vedere structural se face pe baza analizei existenței invarianților de tip *P* respectiv *T*.

Conform teoremei 2.3 (determinarea numarului de invarianti), rețeaua Petri PN_{PT_N2} este acoperita de 4 invarianti de tip P , respectiv 11 invarianti de tip T , rangul matricei A fiind: $\text{rang } A = 15$.

În figurile 2.49 și 2.50 se prezintă invariantii de tip P respectiv T obtinuti în urma simulării rețelei Petri PN_{PT_N2} cu ajutorul PNT-ului.

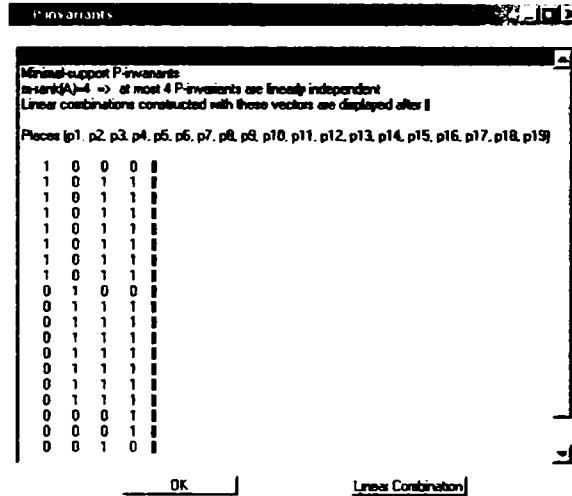


Figura 2.49. Invariantii de tip P obtinuti cu ajutorul PNT

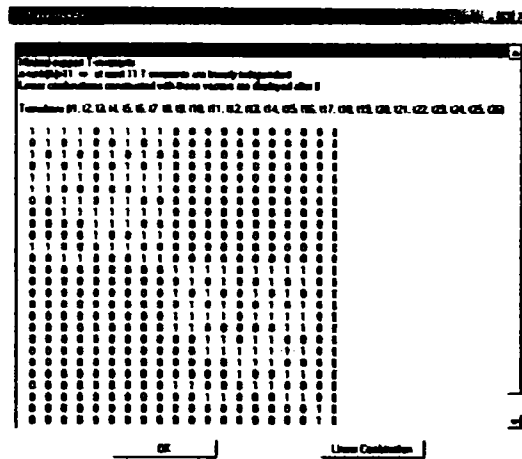


Figura 2.50 Invariantii de tip T obtinuti cu ajutorul PNT

Conform teoremelor 2.6 respectiv 2.7 rețeaua Petri PN_{PT_N2} este conservativa și structural marginita, respectiv este consistentă și repetitivă.

În final se poate *concluziona* că structura aleasă pentru rețeaua Petri corespunzătoare nodului de tip 2 este viabilă, ea putând fi implementată, fiind siguri că nu există condiții de apariție a blocajelor sau a apariției de situații necontrolabile.

2.5.2.2.2. Cazul: retea Petri temporizata P

Structura rețelei Petri temporizata P corespunzatoare Nodului de tip 2 este aceeași ca cea prezentata in figura 2.45.

Datorita faptului ca rețelele sunt identice din punct de vedere structural si comportamental, rezultatele analizelor nu se mai detalieaza ele fiind in fapt identice cu cele obtinute in cazul nodului de tip 2 netemporizat.

Fata de situatia prezentata anterior fiecarei pozitii P i-a fost alocata o unitate de timp corespunzatoare. In acest mod situatia devine reala din punct de vedere al functionarii.

Timpii corespunzatori pozitiiilor P sunt prezentati in tabelul 2.8.

Tabelul 2.8. Timpii corespunzatori pozitilor P

Pozitie	Unitati de Timp
P1, P9	1
P2, P10	5
P3, P11	4
P4, P12	4
P5, P13	7
P6, P14	6
P7, P15	3
P8, P16	5
P17	1
P18	3
P19	1

Reteaua Petri temporizata P pentru Nodul de tip 2 este in consecinta:

$$PN_PTtime_N2 = (P, T, F, W, D, M_0)$$

unde:

$$P = \{p_1, p_2, p_3, p_4, p_5, p_6, p_7, p_8, p_9, p_{10}, p_{11}, p_{12}, p_{13}, p_{14}, p_{15}, p_{16}, p_{17}, p_{18}, p_{19}\}$$

$$T = \{t_1, t_2, t_3, t_4, t_5, t_6, t_7, t_8, t_9, t_{10}, t_{11}, t_{12}, t_{13}, t_{14}, t_{15}, t_{16}, t_{17}, t_{18}, t_{19}, t_{20}, t_{21}, t_{22}, t_{23}, t_{24}, t_{25}, t_{26}\}$$

$$F = \{(p_1, t_1), (p_2, t_2), (p_2, t_3), (p_3, t_4), (p_4, t_5), (p_5, t_6), (p_5, t_7), (p_6, t_{10}), (p_6, t_{11}), (p_7, t_8), (p_8, t_9), (p_8, t_{12}), (p_9, t_{13}), (p_{10}, t_{14}), (p_{10}, t_{15}), (p_{11}, t_{16}), (p_{12}, t_{17}), (p_{13}, t_{18}), (p_{13}, t_{19}), (p_{14}, t_{22}), (p_{14}, t_{23}), (p_{15}, t_{20}), (p_{16}, t_{21}), (p_{16}, t_{24}), (p_{17}, t_1), (p_{17}, t_{13}), (p_{17}, t_{25}), (p_{18}, t_{26}), (p_{19}, t_1), (p_{19}, t_{13})\} \cup \\ \{(t_1, p_2), (t_2, p_3), (t_3, p_4), (t_4, p_4), (t_5, p_5), (t_6, p_6), (t_7, p_7), (t_8, p_8), (t_9, p_6), (t_{10}, p_7), (t_{11}, p_1), (t_{11}, p_{17}), (t_{11}, p_{19}), (t_{12}, p_1), (t_{12}, p_{17}), (t_{12}, p_{19}), (t_{13}, p_{10}), (t_{14}, p_{11}), (t_{15}, p_{12}), (t_{16}, p_{12}), (t_{17}, p_{13}), (t_{18}, p_{14}), (t_{19}, p_{15}), (t_{20}, p_{16}), (t_{21}, p_{14}), (t_{22}, p_{15}), (t_{23}, p_9), (t_{23}, p_{17}), (t_{23}, p_{19}), (t_{24}, p_9), (t_{24}, p_{17}), (t_{24}, p_{19}), (t_{25}, p_{18}), (t_{26}, p_{17})\}$$

$$\begin{aligned}
&W(p_1, t_1) = 1, W(p_2, t_2) = 1, W(p_2, t_3) = 1, W(p_3, t_4) = 1, W(p_4, t_5) = 1, W(p_5, t_6) = 1, \\
&W(p_5, t_7) = 1, W(p_6, t_{10}) = 1, W(p_6, t_{11}) = 1, W(p_7, t_8) = 1, W(p_8, t_9) = 1, W(p_8, t_{12}) = 1, \\
&W(p_9, t_{13}) = 1, W(p_{10}, t_{14}) = 1, W(p_{10}, t_{15}) = 1, W(p_{11}, t_{16}) = 1, W(p_{12}, t_{17}) = 1, \\
&W(p_{13}, t_{18}) = 1, W(p_{13}, t_{19}) = 1, W(p_{14}, t_{22}) = 1, W(p_{14}, t_{23}) = 1, W(p_{15}, t_{20}) = 1, \\
&W(p_{16}, t_{21}) = 1, W(p_{16}, t_{24}) = 1, W(p_{17}, t_1) = 1, W(p_{17}, t_{13}) = 1, W(p_{17}, t_{25}) = 1, \\
&W(p_{18}, t_{26}) = 1, W(p_{19}, t_1) = 1, W(p_{19}, t_{13}) = 1, W(t_1, p_2) = 1, W(t_2, p_3) = 1, \\
&W(t_3, p_4) = 1, W(t_4, p_4) = 1, W(t_5, p_5) = 1, W(t_6, p_6) = 1, W(t_7, p_7) = 1, \\
&W(t_8, p_8) = 1, W(t_9, p_6) = 1, W(t_{10}, p_7) = 1, W(t_{11}, p_1) = 1, W(t_{11}, p_{17}) = 1, \\
&W(t_{11}, p_{19}) = 1, W(t_{12}, p_1) = 1, W(t_{12}, p_{17}) = 1, W(t_{12}, p_{19}) = 1, W(t_{13}, p_{10}) = 1, \\
&W(t_{14}, p_{11}) = 1, W(t_{15}, p_{12}) = 1, W(t_{16}, p_{12}) = 1, W(t_{17}, p_{13}) = 1, W(t_{18}, p_{14}) = 1, \\
&W(t_{19}, p_{15}) = 1, W(t_{20}, p_{16}) = 1, W(t_{21}, p_{14}) = 1, W(t_{22}, p_{15}) = 1, W(t_{23}, p_9) = 1, \\
&W(t_{23}, p_{17}) = 1, W(t_{23}, p_{19}) = 1, W(t_{24}, p_9) = 1, \\
&W(t_{24}, p_{17}) = 1, W(t_{24}, p_{19}) = 1, W(t_{25}, p_{18}) = 1, W(t_{26}, p_{17}) = 1
\end{aligned}$$

$$\begin{aligned}
&D = \{d(p_1) = 1, d(p_2) = 5, d(p_3) = 4, d(p_4) = 4, d(p_5) = 7, d(p_6) = 6, d(p_7) = 3, \\
&\bullet \quad d(p_8) = 5, d(p_9) = 1, d(p_{10}) = 5, d(p_{11}) = 4, d(p_{12}) = 4, d(p_{13}) = 7, \\
&\quad d(p_{14}) = 6, d(p_{15}) = 3, d(p_{16}) = 5, d(p_{17}) = 1, d(p_{18}) = 3, d(p_{19}) = 1\} \\
&\bullet \quad M_0 = [1, 0, 0, 0, 0, 0, 0, 0, 0, 0, 1, 0, 0, 0, 0, 0, 1, 0, 1]^T
\end{aligned}$$

În final se poate *concluziona* că structura aleasă pentru rețeaua Petri temporizată P corespunzătoare nodului de tip 2 este viabilă, ea putând fi implementată, fiind siguri că nu există condiții de apariție a blocajelor sau a apariției de situații necontrolabile.

2.5.2.3. Modelarea nodului de tip 3 – trei intrări o ieșire [UP06a][UP06b] [Ung06b][Ung06c]

După cum s-a aratat în capitolul 1, nodul de tip 3 (trei intrări o ieșire) este construit cu ajutorul nodului de tip 1, având în plus un macaz care este comandat direct în funcție de tranziția care este executată.

2.5.2.3.1. Modelarea nodului de tip 3 cu ajutorul automatelor [UP06a][Ung06b]

Structura automatului secvențial considerat pentru modelarea nodului de tip 3 este prezentată în figura 2.51.

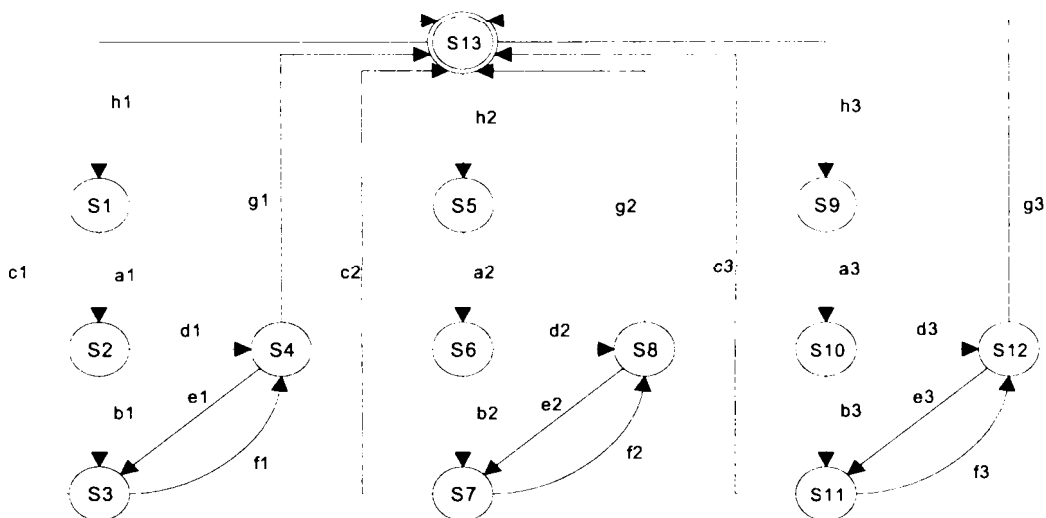


Figura 2.51. Structura automatului secvențial corespunzător nodului de tip 3

Dupa cum se observa automatul secvențial corespunzător nodului 3 este realizat prin sincronizarea a trei automate secvențiale AS_{N1} , câte unul pentru fiecare linie de intrare (stoper). Semnificațiile stărilor sunt identice cu cele prezentate la AS_{N1} , cu observația că S1, S2, S3 și S4 corespund stoperului 1, S5, S6, S7 și S8 corespund stoperului 2 și S9, S10, S11, S12 corespund stoperului 3. Starea S13 este starea suplimentară de sincronizare a automatelor secvențiale corespunzătoare stoperelor 1, 2 și 3.

Evenimentele a1, b1, c1, d1, e1, f1, g1 se referă la stoperul 1 (senzorii corespunzători stoperului 1 conform relațiilor prezentate la AS_{N1}), a2, b2, c2, d2, e2, f2, g2 se referă la stoperul 2, iar a3, b3, c3, d3, e3, f3, g3 se referă la stoperul 3 cu aceeași observație ca cea făcută la stoperul 1. Evenimentele h1, h2 și h3 reprezintă condițiile de tranziție din starea S13 în S1 sau S5 sau S9 (h1 activ – un carucior a activat senzorul de intrare din stoperul 1, h2 activ – un carucior a activat senzorul de intrare din stoperul 2 respectiv h3 activ – un carucior a activat senzorul de intrare din stoperul 3).

Automatul AS_{N3} , corespunzător nodului de tip 3, este definit în felul următor:

- multimea stărilor:
 $X = \{S1, S2, S3, S4, S5, S6, S7, S8, S9, S10, S11, S12, S13\}$
- multimea evenimentelor:
 $\Sigma = \{a1, b1, c1, d1, e1, f1, g1, h1, a2, b2, c2, d2, e2, f2, g2, h2, a3, b3, c3, d3, e3, f3, g3, h3\}$
- multimile evenimentelor posibile și funcțiile de tranziție a stărilor:

$\Gamma(S1) = \{a1\}$	$\delta(S1, a1) = S2$	
$\Gamma(S2) = \{b1, d1\}$	$\delta(S2, b1) = S3,$	$\delta(S2, d1) = S4$
$\Gamma(S3) = \{c1, f1\}$	$\delta(S3, c1) = S13,$	$\delta(S3, f1) = S4$
$\Gamma(S4) = \{e1, g1\}$	$\delta(S4, e1) = S3$	$\delta(S4, g1) = S13$

$$\begin{array}{lll}
\Gamma(S5) = \{a2\} & \delta(S5, a2) = S6 & \\
\Gamma(S6) = \{b2, d2\} & \delta(S6, b2) = S7, & \delta(S6, d2) = S8 \\
\Gamma(S7) = \{c2, f2\} & \delta(S7, c2) = S13, & \delta(S7, f2) = S8 \\
\Gamma(S8) = \{e2, g2\} & \delta(S8, e2) = S7 & \delta(S8, g2) = S13 \\
\Gamma(S9) = \{a3\} & \delta(S9, a3) = S10 & \\
\Gamma(S10) = \{b3, d3\} & \delta(S10, b3) = S11, & \delta(S10, d3) = S12 \\
\Gamma(S11) = \{c3, f3\} & \delta(S11, c3) = S13, & \delta(S11, f3) = S12 \\
\Gamma(S12) = \{e3, g3\} & \delta(S12, e3) = S11 & \delta(S12, g3) = S13 \\
\Gamma(S13) = \{h1, h2, h3\} & \delta(S13, h1) = S1, & \delta(S13, h2) = S5, \delta(S13, h3) = S9
\end{array}$$

- starea initiala: $x_0 = S13$.

Considerentele legate de transformarea modelului de tip automat in model de tip retea Petri, prezentate la nodul de tip 1 sunt valabile si in cazul nodului de tip 3.

Pentru conversia din model de tip automat in model de tip retea Petri s-a utilizat aceiasi metoda ca si in cazul nodului de tip 1 .

Aplicand algoritmul 2.1 rezulta:

- multimea pozitiilor:
 $P = \{p1, p2, p3, p4, p5, p6, p7, p8, p9, p10, p11, p12, p13\}$, cu
 $p1 = \{S1\}, p2 = \{S2\}, p3 = \{S3\}, p4 = \{S4\}, p5 = \{S5\}, p6 = \{S6\}, p7 = \{S7\},$
 $p8 = \{S8\}, p9 = \{S9\}, p10 = \{S10\}, p11 = \{S11\}, p12 = \{S12\}$
si $p13 = \{S13\}$;
- multimea tranzitiilor:
 - Pentru $p1$ $(p1, p2)$ $p2 = \alpha(p1, t1)$ $t1 = \{a1\}$
 - Pentru $p2$ $(p2, p3)$ $p3 = \alpha(p2, t2)$ $t2 = \{b1\}$
 $(p2, p4)$ $p4 = \alpha(p2, t4)$ $t4 = \{d1\}$
 - Pentru $p3$ $(p3, p13)$ $p13 = \alpha(p3, t3)$ $t3 = \{c1\}$
 $(p3, p4)$ $p4 = \alpha(p3, t6)$ $t6 = \{f1\}$
 - Pentru $p4$ $(p4, p13)$ $p13 = \alpha(p4, t7)$ $t7 = \{g1\}$
 $(p4, p3)$ $p3 = \alpha(p4, t5)$ $t5 = \{e1\}$
 - Pentru $p5$ $(p5, p6)$ $p6 = \alpha(p5, t8)$ $t8 = \{a2\}$
 - Pentru $p6$ $(p6, p7)$ $p7 = \alpha(p6, t9)$ $t9 = \{b2\}$
 $(p6, p8)$ $p8 = \alpha(p6, t11)$ $t11 = \{d2\}$
 - Pentru $p7$ $(p7, p13)$ $p13 = \alpha(p7, t10)$ $t10 = \{c2\}$
 $(p7, p8)$ $p8 = \alpha(p7, t13)$ $t13 = \{f2\}$
 - Pentru $p8$ $(p8, p13)$ $p13 = \alpha(p8, t14)$ $t14 = \{g2\}$
 $(p8, p7)$ $p7 = \alpha(p8, t12)$ $t12 = \{e2\}$
 - Pentru $p9$ $(p9, p10)$ $p10 = \alpha(p9, t17)$ $t17 = \{a3\}$
 - Pentru $p10$ $(p10, p11)$ $p11 = \alpha(p10, t18)$ $t18 = \{b3\}$
 $(p10, p12)$ $p12 = \alpha(p10, t20)$ $t20 = \{d3\}$
 - Pentru $p11$ $(p11, p13)$ $p13 = \alpha(p11, t19)$ $t19 = \{c3\}$
 $(p11, p12)$ $p12 = \alpha(p11, t22)$ $t22 = \{f3\}$
 - Pentru $p12$ $(p12, p13)$ $p13 = \alpha(p12, t23)$ $t23 = \{g3\}$
 $(p12, p11)$ $p11 = \alpha(p12, t21)$ $t21 = \{e3\}$
 - Pentru $p13$ $(p13, p1)$ $p1 = \alpha(p13, t15)$ $t15 = \{h1\}$
 $(p13, p5)$ $p5 = \alpha(p13, t16)$ $t16 = \{h2\}$
 $(p13, p9)$ $p9 = \alpha(p13, t24)$ $t24 = \{h3\}$

În figura 2.52 se prezintă structura rețelei Petri asociată automatului secvențial considerat în cazul nodului de tip 3.

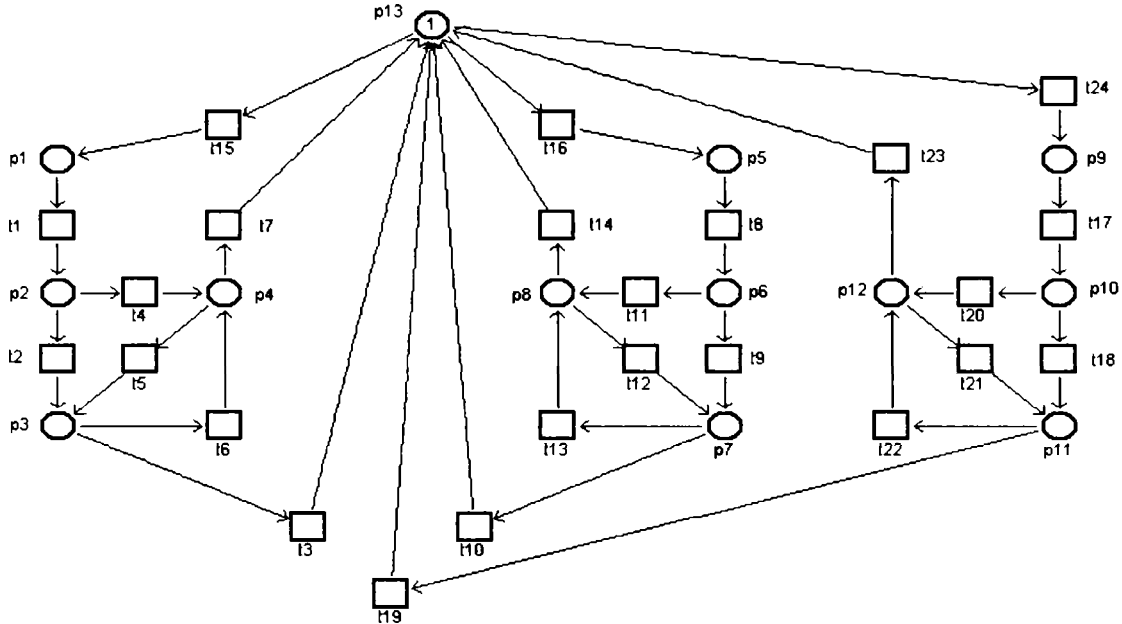


Figura 2.52. Structura rețelei Petri asociată automatului secvențial corespunzător nodului de tip 3

Semnificațiile pozițiilor este similară cu prezentarea făcută pentru nodul de tip 1. Astfel, P_1, P_5 și P_9 sunt similare cu P_1 de la nodul de tip 1, P_2, P_6 și P_{10} sunt similare cu P_2 de la nodul de tip 1, P_3, P_7 și P_{11} sunt similare cu P_3 de la nodul de tip 1, iar P_4, P_8 și P_{12} sunt similare cu P_4 de la nodul de tip 1. În plus, pentru asigurarea excluderii mutuale, s-a introdus o stare suplimentară P_{13} .

Semnificațiile tranzițiilor sunt similare cu cele prezentate la nodul de tip 1. Astfel, t_1, t_8 și t_{17} sunt similare cu t_1 de la nodul de tip 1, t_2, t_9 și t_{18} sunt similare cu t_2 de la nodul de tip 1, t_3, t_{10} și t_{19} sunt similare cu t_3 de la nodul de tip 1, cu observația că apare o condiție în plus dată de transferul jetonului în P_{13} , t_4, t_{11} și t_{20} sunt similare cu t_4 de la nodul de tip 1, t_5, t_{12} și t_{21} sunt similare cu t_5 de la nodul de tip 1, t_6, t_{13} și t_{22} sunt similare cu t_6 de la nodul de tip 1, t_7, t_{14} și t_{23} sunt similare cu t_7 de la nodul de tip 1, cu observația că apare o condiție în plus dată de comutarea în starea P_{13} nu în P_1 . Tranzițiile t_{15}, t_{16} și t_{24} sunt noi, ele asigurând comutarea fie în starea P_1 , fie în starea P_5 , fie în starea P_9 , funcție de poziția în nod.

Topologia rețelei validată de PNT este prezentată în figura 2.53.

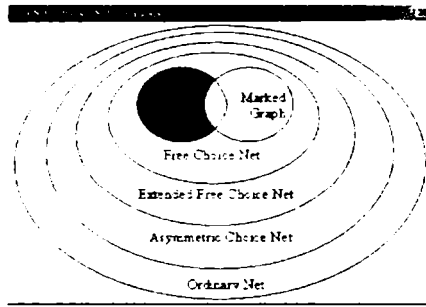


Figura 2.53. Topologia rețelei Petri echivalenta validata de PNT

Rezultatele obtinute confirma, ca si in cazurile nodurilor de tip 1 si 2, ca dupa efectuarea conversiei topologia rețelei Petri obtinuta este tot de tip automat („State machine”).

Reteaua Petri considerata este formalizata matematic prin cvintuplul:

$$PN_AS_N3 = (P, T, F, W, M_0)$$

unde:

- $P = \{p_1, p_2, p_3, p_4, p_5, p_6, p_7, p_8, p_9, p_{10}, p_{11}, p_{12}, p_{13}\}$
- $T = \{t_1, t_2, t_3, t_4, t_5, t_6, t_7, t_8, t_9, t_{10}, t_{11}, t_{12}, t_{13}, t_{14}, t_{15}, t_{16}, t_{17}, t_{18}, t_{19}, t_{20}, t_{21}, t_{22}, t_{23}, t_{24}\}$
- $F = \{(p_1, t_1), (p_2, t_2), (p_2, t_4), (p_3, t_6), (p_3, t_3), (p_4, t_5), (p_4, t_7), (p_5, t_8), (p_6, t_9), (p_6, t_{11}), (p_7, t_{10}), (p_7, t_{13}), (p_8, t_{12}), (p_8, t_{14}), (p_9, t_{17}), (p_{10}, t_{18}), (p_{10}, t_{20}), (p_{11}, t_{19}), (p_{11}, t_{22}), (p_{12}, t_{21}), (p_{12}, t_{23}), (p_{13}, t_{15}), (p_{13}, t_{16}), (p_{13}, t_{24})\} \cup \{(t_1, p_2), (t_2, p_3), (t_3, p_{13}), (t_4, p_4), (t_5, p_3), (t_6, p_4), (t_7, p_{13}), (t_8, p_6), (t_9, p_7), (t_{10}, p_{13}), (t_{11}, p_8), (t_{12}, p_7), (t_{13}, p_8), (t_{14}, p_{13}), (t_{15}, p_1), (t_{16}, p_5), (t_{17}, p_{10}), (t_{18}, p_{11}), (t_{19}, p_{13}), (t_{20}, p_{12}), (t_{21}, p_{11}), (t_{22}, p_{12}), (t_{23}, p_{13}), (t_{24}, p_9)\}$
- $W(p_1, t_1) = 1, W(p_2, t_2) = 1, W(p_2, t_4) = 1, W(p_3, t_6) = 1, W(p_3, t_3) = 1, W(p_4, t_5) = 1, W(p_4, t_7) = 1, W(p_5, t_8) = 1, W(p_6, t_9) = 1, W(p_6, t_{11}) = 1, W(p_7, t_{10}) = 1, W(p_7, t_{13}) = 1, W(p_8, t_{12}) = 1, W(p_8, t_{14}) = 1, W(p_9, t_{17}) = 1, W(p_{10}, t_{18}) = 1, W(p_{10}, t_{20}) = 1, W(p_{11}, t_{19}) = 1, W(p_{11}, t_{22}) = 1, W(p_{12}, t_{21}) = 1, W(p_{12}, t_{23}) = 1, W(p_{13}, t_{15}) = 1, W(p_{13}, t_{16}) = 1, W(p_{13}, t_{24}) = 1, W(t_1, p_2) = 1, W(t_2, p_3) = 1, W(t_3, p_{13}) = 1, W(t_4, p_4) = 1, W(t_5, p_3) = 1, W(t_6, p_4) = 1, W(t_7, p_{13}) = 1, W(t_8, p_6) = 1, W(t_9, p_7) = 1, W(t_{10}, p_{13}) = 1, W(t_{11}, p_8) = 1, W(t_{12}, p_7) = 1, W(t_{13}, p_8) = 1, W(t_{14}, p_{13}) = 1, W(t_{15}, p_1) = 1, W(t_{16}, p_5) = 1, W(t_{17}, p_{10}) = 1, W(t_{18}, p_{11}) = 1, W(t_{19}, p_{13}) = 1, W(t_{20}, p_{12}) = 1, W(t_{21}, p_{11}) = 1, W(t_{22}, p_{12}) = 1, W(t_{23}, p_{13}) = 1, W(t_{24}, p_9) = 1$
- $M_0 = [0, 0, 0, 0, 0, 0, 0, 0, 0, 0, 0, 0, 1]^T$

$$A_i = A_{O_i} - A_{T_i} = \begin{pmatrix} -1 & 1 & 0 & 0 & 0 & 0 & 0 & 0 & 0 & 0 & 0 & 0 & 0 & 0 & 0 \\ 0 & -1 & 1 & 0 & 0 & 0 & 0 & 0 & 0 & 0 & 0 & 0 & 0 & 0 & 0 \\ 0 & 0 & -1 & 0 & 0 & 0 & 0 & 0 & 0 & 0 & 0 & 0 & 0 & 1 & 0 \\ 0 & -1 & 0 & 1 & 0 & 0 & 0 & 0 & 0 & 0 & 0 & 0 & 0 & 0 & 0 \\ 0 & 0 & 1 & -1 & 0 & 0 & 0 & 0 & 0 & 0 & 0 & 0 & 0 & 0 & 0 \\ 0 & 0 & -1 & 1 & 0 & 0 & 0 & 0 & 0 & 0 & 0 & 0 & 0 & 0 & 0 \\ 0 & 0 & 0 & -1 & 0 & 0 & 0 & 0 & 0 & 0 & 0 & 0 & 0 & 1 & 0 \\ 1 & 0 & 0 & 0 & 0 & 0 & 0 & 0 & 0 & 0 & 0 & 0 & 0 & 0 & -1 \\ 0 & 0 & 0 & 0 & -1 & 1 & 0 & 0 & 0 & 0 & 0 & 0 & 0 & 0 & 0 \\ 0 & 0 & 0 & 0 & 0 & -1 & 1 & 0 & 0 & 0 & 0 & 0 & 0 & 0 & 0 \\ 0 & 0 & 0 & 0 & 0 & 0 & -1 & 0 & 0 & 0 & 0 & 0 & 0 & 1 & 0 \\ 0 & 0 & 0 & 0 & 0 & -1 & 0 & 1 & 0 & 0 & 0 & 0 & 0 & 0 & 0 \\ 0 & 0 & 0 & 0 & 0 & 0 & 1 & -1 & 0 & 0 & 0 & 0 & 0 & 0 & 0 \\ 0 & 0 & 0 & 0 & 0 & 0 & -1 & 1 & 0 & 0 & 0 & 0 & 0 & 0 & 0 \\ 0 & 0 & 0 & 0 & 0 & 0 & 0 & -1 & 0 & 0 & 0 & 0 & 0 & 1 & 0 \\ 0 & 0 & 0 & 0 & 0 & 0 & 0 & 0 & -1 & 0 & 0 & 0 & 0 & 1 & 0 \\ 0 & 0 & 0 & 0 & 0 & 0 & 0 & 0 & 0 & -1 & 0 & 0 & 0 & 1 & 0 \\ 0 & 0 & 0 & 0 & 0 & 0 & 0 & 0 & 0 & 0 & -1 & 0 & 0 & 1 & 0 \\ 0 & 0 & 0 & 0 & 0 & 0 & 0 & 0 & 0 & 0 & 0 & -1 & 1 & 0 & 0 \\ 0 & 0 & 0 & 0 & 0 & 0 & 0 & 0 & 0 & 0 & 0 & 0 & -1 & 1 & 0 \\ 0 & 0 & 0 & 0 & 0 & 0 & 0 & 0 & 0 & 0 & 0 & 0 & 0 & -1 & 1 \\ 0 & 0 & 0 & 0 & 0 & 0 & 0 & 0 & 0 & 0 & 0 & 0 & 0 & 0 & -1 \\ 0 & 0 & 0 & 0 & 0 & 0 & 0 & 0 & 0 & 0 & 0 & 0 & 0 & 0 & -1 \end{pmatrix}$$

Arborele de acoperire corespunzator este prezentat in figura 2.54.

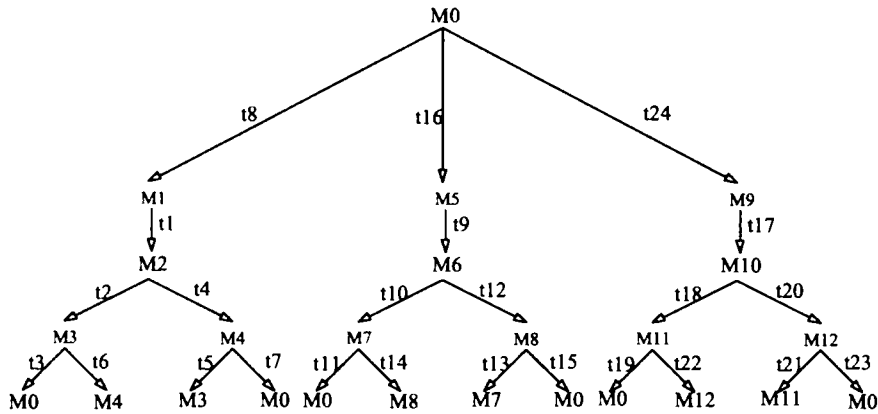


Figura 2.54 Arborele de acoperire al rețelei Petri *PN_AS_N3*

Unde:
 M0=(0,0,0,0,0,0,0,0,0,0,0,0,0,1); M1=(1,0,0,0,0,0,0,0,0,0,0,0,0,0);
 M2=(0,1,0,0,0,0,0,0,0,0,0,0,0,0); M3=(0,0,1,0,0,0,0,0,0,0,0,0,0,0);
 M4=(0,0,0,1,0,0,0,0,0,0,0,0,0,0); M5=(0,0,0,0,0,1,0,0,0,0,0,0,0,0);
 M6=(0,0,0,0,0,1,0,0,0,0,0,0,0,0); M7=(0,0,0,0,0,0,1,0,0,0,0,0,0,0);
 M8=(0,0,0,0,0,0,0,1,0,0,0,0,0,0); M9=(0,0,0,0,0,0,0,0,1,0,0,0,0,0);
 M10=(0,0,0,0,0,0,0,0,0,1,0,0,0,0); M11=(0,0,0,0,0,0,0,0,0,0,1,0,0,0);
 M12=(0,0,0,0,0,0,0,0,0,0,0,0,1,0)

Studiind proprietatile comportamentale ale rețelei Petri PN_{AS_N3} , pe baza arborelui de acoperire rezulta:

- rețeaua este *marginita* (simbolul ω nu apare în arborele de acoperire);
- rețeaua este *sigura* (marcajele din toate nodurile arborelui de acoperire contin numai „0” și „1”);
- rețeaua *nu este blocanta* (toate tranzitiile au asociate arce în arborele de acoperire);
- rețeaua este *acesibila* (orice marcaj poate fi atins pornind din M_0).

Graful de acoperire corespunzător este prezentat în figura 2.55.

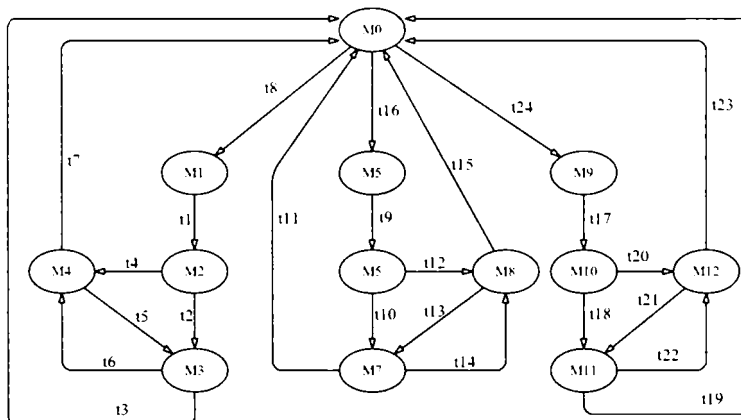


Figura 2.55. Graful de acoperire al rețelei Petri PN_{AS_N3}

Structura rezultată pentru graful de acoperire confirmă că modelul de rețea Petri derivată din modelul de tip automat corespunzător nodului de tip 3 este *acesibila*.

Concluzionand, se poate afirma că modelul ales este *viabil* din punct de vedere comportamental.

Analiza rețelei Petri PN_{AS_N3} din punct de vedere structural se face pe baza analizei existenței invariabilor de tip P respectiv T .

Pentru determinarea numărului de invariabili P respectiv T s-a aplicat teorema 2.3 (Determinarea numărului de invariabili).

Rangul matricei A este: $\text{rang } A = 12$.

Rezultă că rețeaua Petri PN_{AS_N3} este acoperită de 1 invariant de tip P , respectiv 12 invariabili de tip T .

În figurile 2.56 și 2.57 se prezintă invariabilii de tip P respectiv T obținuți în urma simulării rețelei Petri PN_{AS_N3} cu ajutorul PNT-ului.

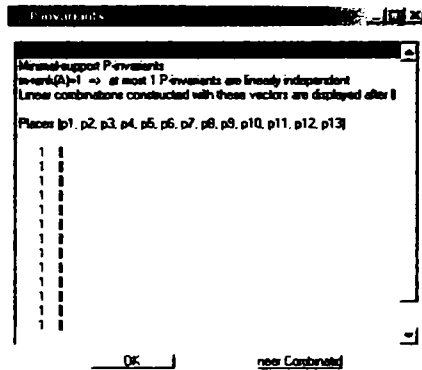


Figura 2.56 Invariantii de tip P obtinuti cu ajutorul PNT

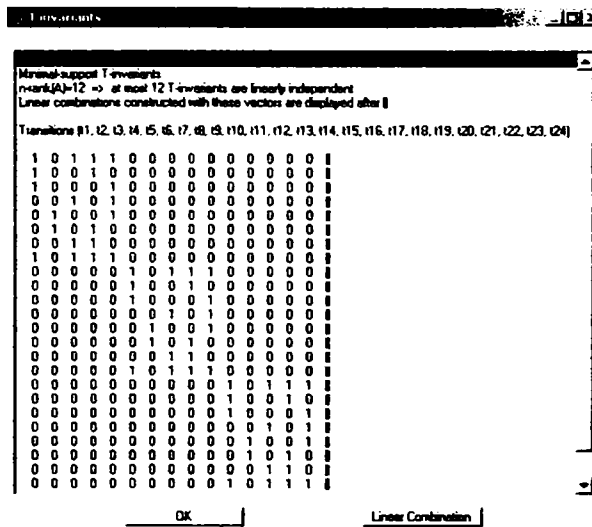


Figura 2.57 Invariantii de tip T obtinuti cu ajutorul PNT

Conform teoremelor 2.6 respectiv 2.7 rețeaua Petri PN_AS_N3 este conservativa și structural marginită, respectiv este consistentă și repetitivă.

În final se poate concluziona că structura aleasă pentru un automat secvențial clasic corespunzător nodului de tip 3 este viabilă, ea putând fi implementată, fiind siguri că nu există condiții de apariție a blocajelor sau a apariției de situații necontrolabile.

2.5.2.3.2.1. Modelarea nodului de tip 3 cu ajutorul rețelelor Petri

2.5.2.3.2.1.1. Cazul: rețea Petri netemporizată [Ung06b] [Ung06c]

Structura rețelei Petri considerate pentru modelarea nodului de tip 3 este prezentată în figura 2.58.

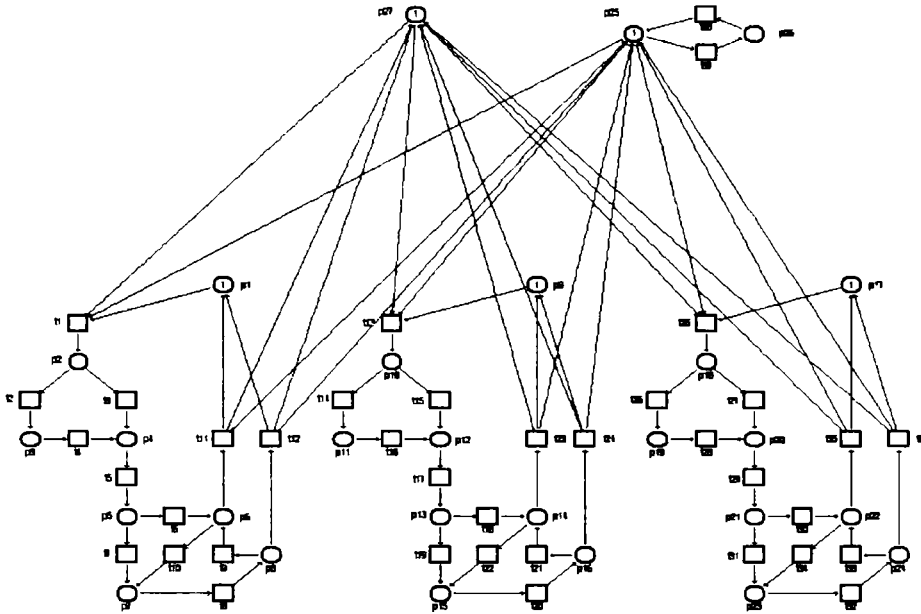


Figura 2.58. Structura rețelei Petri corespunzătoare nodului de tip 3

Semnificațiile pozițiilor P sunt identice cu cele prezentate pentru nodul de tip 2. Astfel $P1$ este identică cu $P9$ și $P17$, $P2$ cu $P10$ și $P18$, $P3$ cu $P11$ și $P19$, $P4$ cu $P12$ și $P20$, $P5$ cu $P13$ și $P21$, $P6$ cu $P14$ și $P22$, $P7$ cu $P15$ și $P23$, și $P8$ cu $P16$ și $P24$. Trebuie făcută observația că $P1$, $P2$, $P3$, $P4$, $P5$, $P6$, $P7$ și $P8$ corespund stoperului 1, $P9$, $P10$, $P11$, $P12$, $P13$, $P14$, $P15$ și $P16$ corespund stoperului 2 și $P17$, $P18$, $P19$, $P20$, $P21$, $P22$, $P23$ și $P24$ corespund stoperului 3. Starile $P25$ și $P26$ corespund starilor $P9$ și $P10$ de la nodul de tip 1 iar starea $P27$ este stare de sincronizare nou introdusă față de nodul de tip 1.

Tranzițiile t sunt similare cu cele prezentate la nodul 1. Astfel $t1$ este similar cu $t13$ și $t25$, $t2$ cu $t14$ și $t26$, $t3$ cu $t15$ și $t27$, $t4$ cu $t16$ și $t28$, $t5$ cu $t17$ și $t29$, $t6$ cu $t18$ și $t30$, $t7$ cu $t19$ și $t31$, $t8$ cu $t20$ și $t32$, $t9$ cu $t21$ și $t33$, $t10$ cu $t22$ și $t34$, $t11$ cu $t23$ și $t35$, $t12$ cu $t24$ și $t36$. Similar cu observația făcută în cazul pozițiilor, tranzițiile $t1$, $t2$, $t3$, $t4$, $t5$, $t6$, $t7$, $t8$, $t9$, $t10$, $t11$ și $t12$ corespund stoperului 1, $t13$, $t14$, $t15$, $t16$, $t17$, $t18$, $t19$, $t20$, $t21$, $t22$, $t23$ și $t24$ corespund stoperului 2 și $t25$, $t26$, $t27$, $t28$, $t29$, $t30$, $t31$, $t32$, $t33$, $t34$, $t35$ și $t36$ corespund stoperului 3. Tranzițiile $t37$ și $t38$ corespund tranzițiilor $t9$ și $t10$ de la nodul de tip 1.

Topologia rețelei Petri validată de PNT este prezentată în figura 2.59.

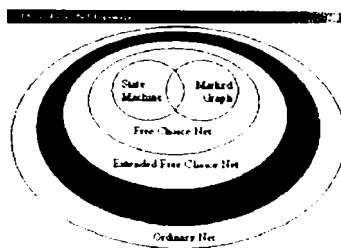


Figura 2.59. Topologia rețelei Petri validată de PNT

Reteaua Petri considerata este formalizata prin cvintuplul:

$$PN_PT_N3 = (P, T, F, W, M_0)$$

unde:

- $$P = \{p_1, p_2, p_3, p_4, p_5, p_6, p_7, p_8, p_9, p_{10}, p_{11}, p_{12}, p_{13}, p_{14}, p_{15}, p_{16}, p_{17}, p_{18}, p_{19}, p_{20}, p_{21}, p_{22}, p_{23}, p_{24}, p_{25}, p_{26}, p_{27}\}$$
- $$T = \{t_1, t_2, t_3, t_4, t_5, t_6, t_7, t_8, t_9, t_{10}, t_{11}, t_{12}, t_{13}, t_{14}, t_{15}, t_{16}, t_{17}, t_{18}, t_{19}, t_{20}, t_{21}, t_{22}, t_{23}, t_{24}, t_{25}, t_{26}, t_{27}, t_{28}, t_{29}, t_{30}, t_{31}, t_{32}, t_{33}, t_{34}, t_{35}, t_{36}, t_{37}, t_{38}\}$$
- $$F = \{(p_1, t_1), (p_2, t_2), (p_2, t_3), (p_3, t_4), (p_4, t_5), (p_5, t_6), (p_5, t_7), (p_6, t_{10}), (p_6, t_{11}), (p_7, t_8), (p_8, t_9), (p_8, t_{12}), (p_9, t_{13}), (p_{10}, t_{14}), (p_{10}, t_{15}), (p_{11}, t_{16}), (p_{12}, t_{17}), (p_{13}, t_{18}), (p_{13}, t_{19}), (p_{14}, t_{22}), (p_{14}, t_{23}), (p_{15}, t_{20}), (p_{16}, t_{21}), (p_{16}, t_{24}), (p_{17}, t_{25}), (p_{18}, t_{26}), (p_{18}, t_{27}), (p_{19}, t_{28}), (p_{20}, t_{29}), (p_{21}, t_{30}), (p_{21}, t_{31}), (p_{22}, t_{34}), (p_{22}, t_{35}), (p_{23}, t_{32}), (p_{24}, t_{33}), (p_{24}, t_{36}), (p_{25}, t_1), (p_{25}, t_{13}), (p_{25}, t_{25}), (p_{25}, t_{37}), (p_{26}, t_{38}), (p_{27}, t_1), (p_{27}, t_{13}), (p_{27}, t_{25})\} \cup$$

$$\{(t_1, p_2), (t_2, p_3), (t_3, p_4), (t_4, p_4), (t_5, p_5), (t_6, p_6), (t_7, p_7), (t_8, p_8), (t_9, p_6), (t_{10}, p_7), (t_{11}, p_1), (t_{11}, p_{17}), (t_{11}, p_{19}), (t_{12}, p_1), (t_{12}, p_{17}), (t_{12}, p_{19}), (t_{13}, p_{10}), (t_{14}, p_{11}), (t_{15}, p_{12}), (t_{16}, p_{12}), (t_{17}, p_{13}), (t_{18}, p_{14}), (t_{19}, p_{15}), (t_{20}, p_{16}), (t_{21}, p_{14}), (t_{22}, p_{15}), (t_{23}, p_9), (t_{23}, p_{25}), (t_{23}, p_{27}), (t_{24}, p_9), (t_{24}, p_{25}), (t_{24}, p_{27}), (t_{25}, p_{18}), (t_{26}, p_{19}), (t_{27}, p_{20}), (t_{28}, p_{20}), (t_{29}, p_{21}), (t_{30}, p_{22}), (t_{31}, p_{23}), (t_{32}, p_{24}), (t_{33}, p_{22}), (t_{34}, p_{23}), (t_{35}, p_{17}), (t_{35}, p_{25}), (t_{35}, p_{27}), (t_{36}, p_{17}), (t_{36}, p_{25}), (t_{36}, p_{27}), (t_{37}, p_{26}), (t_{38}, p_{25})\}$$

M3=(0,0,0,1,0,0,0,0,1,0,0,0,0,0,0,1,0,0,0,0,0,0,0,0,0);
 M4=(0,0,0,0,1,0,0,0,1,0,0,0,0,0,0,1,0,0,0,0,0,0,0,0,0);
 M5=(0,0,0,0,0,1,0,0,1,0,0,0,0,0,0,1,0,0,0,0,0,0,0,0,0);
 M6=(0,0,0,0,0,0,1,0,1,0,0,0,0,0,0,1,0,0,0,0,0,0,0,0,0);
 M7=(0,0,0,0,0,0,0,1,1,0,0,0,0,0,0,1,0,0,0,0,0,0,0,0,0);
 M8=(1,0,0,0,0,0,0,0,0,1,0,0,0,0,0,0,1,0,0,0,0,0,0,0,0);
 M9=(1,0,0,0,0,0,0,0,0,0,1,0,0,0,0,0,1,0,0,0,0,0,0,0,0);
 M10=(1,0,0,0,0,0,0,0,0,0,0,1,0,0,0,0,1,0,0,0,0,0,0,0,0);
 M11=(1,0,0,0,0,0,0,0,0,0,0,0,1,0,0,0,1,0,0,0,0,0,0,0,0);
 M12=(1,0,0,0,0,0,0,0,0,0,0,0,0,1,0,0,1,0,0,0,0,0,0,0,0);
 M13=(1,0,0,0,0,0,0,0,0,0,0,0,0,0,1,0,1,0,0,0,0,0,0,0,0);
 M14=(1,0,0,0,0,0,0,0,0,0,0,0,0,0,0,1,1,0,0,0,0,0,0,0,0);
 M15=(1,0,0,0,0,0,0,0,1,0,0,0,0,0,0,0,0,1,0,0,0,0,0,0,0);
 M16=(1,0,0,0,0,0,0,0,1,0,0,0,0,0,0,0,0,0,1,0,0,0,0,0,0);
 M17=(1,0,0,0,0,0,0,0,1,0,0,0,0,0,0,0,0,0,0,1,0,0,0,0,0);
 M18=(1,0,0,0,0,0,0,0,1,0,0,0,0,0,0,0,0,0,0,0,1,0,0,0,0);
 M19=(1,0,0,0,0,0,0,0,1,0,0,0,0,0,0,0,0,0,0,0,1,0,0,0,0);
 M20=(1,0,0,0,0,0,0,0,1,0,0,0,0,0,0,0,0,0,0,0,0,1,0,0,0);
 M21=(1,0,0,0,0,0,0,0,1,0,0,0,0,0,0,0,0,0,0,0,0,0,1,0,0);
 M22=(1,0,0,0,0,0,0,0,1,0,0,0,0,0,0,0,1,0,0,0,0,0,0,0,1,1)

Studiind proprietatile comportamentale ale retelei Petri *PN_PT_N3*, pe baza arborelui de acoperire rezulta:

- rețeaua este *marginita* (simbolul ω nu apare in arborele de acoperire);
- rețeaua este *sigura* (marcajele din toate nodurile arborelui de acoperire contin numai „0” si „1”);
- rețeaua *nu este blocanta* (toate tranzitiile au asociate arce in arborele de acoperire);
- rețeaua este *accesibila* (orice marcaj poate fi atins pornind din M_0).

Graful de acoperire corespunzator este prezentat in figura 2.61.

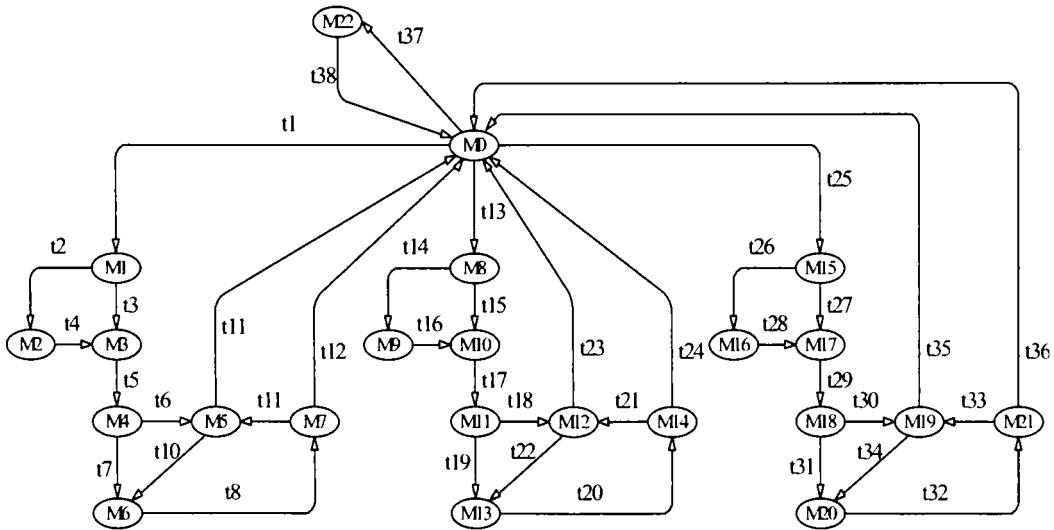


Figura 2.61. Graful de acoperire al rețelei Petri *PN_PT_N3*

Structura rezultata pentru graful de acoperire confirma ca modelul de retea Petri corespunzator nodului de tip 3 este *accesibil*.

Concluzionand, se poate afirma ca modelul ales este *viabil* din punct de vedere comportamental.

Analiza retelei Petri *PN_PT_N3* din punct de vedere structural se face pe baza analizei existentei invariantilor de tip *P* respectiv *T*, utilizand teorema 2.3 (Determinarea numarului de invarianti [Pastr97]), rangul matricei *A* fiind: $\text{rang } A = 22$.

Rezulta ca reseaua Petri *PN_PT_N3* este acoperita de 5 invarianti de tip *P*, respectiv 16 invarianti de tip *T*.

In figura 2.62 se prezinta invariantii de tip *P* obtinuti in urma simularii retelei Petri *PN_PT_N3* cu ajutorul PNT-ului.

Conform teroemelor 2.6 respectiv 2.7 reseaua Petri *PN_PT_N3* este *conservativa si structural marginita, respectiv este consistenta si repetitiva*.

În final se poate *concluziona* că structura aleasă pentru reseaua Petri corespunzătoare nodului de tip 3 este *viabilă*, ea putând fi implementată, fiind siguri că nu există condiții de apariție a blocajelor sau a apariției de situații necontrolabile.

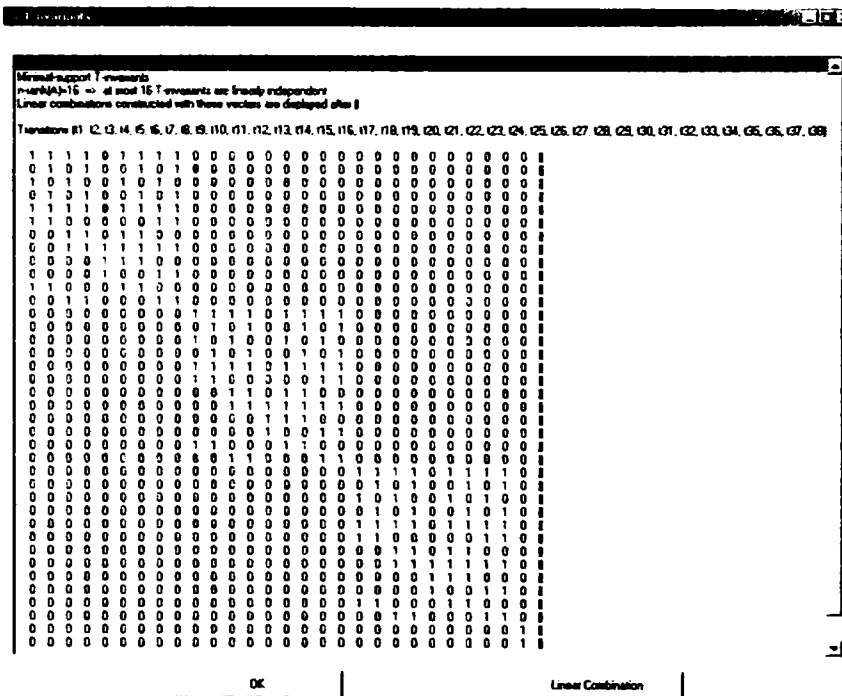


Figura 2.62 Invariantii de tip P obtinuti cu ajutorul PNT

2.5.2.3.2.2. Cazul: retea Petri temporizata P

Structura retelei Petri temporizata P corespunzatoare Nodului de tip 3 este aceeași ca cea prezentata in figura 2.59.

Datorita faptului ca retelele sunt identice din punct de vedere structural si comportamental, rezultatele analizelor nu se mai detalieaza ele fiind in fapt identice cu cele obtinute in cazul nodului de tip 3 netemporizat.

Fata de situatia prezentata anterior fiecarei pozitii P i-a fost alocata o unitate de timp corespunzatoare. In acest mod situatia devine reala din punct de vedere al functionarii.

Timpii corespunzatori pozitiiilor P sunt prezentati in tabelul 2.9.

Tabelul 2.9. Timpii corespunzatori pozitilor P

Pozitie	Unitati de Timp
P1, P9,P17	1
P2, P10,P18	5
P3, P11,P19	4
P4, P12,P20	4
P5, P13,P21	7
P6, P14,P22	6
P7, P15,P23	3
P8, P16,P24	5
P25	1
P26	3
P27	1

Reteaua Petri considerata poate fi formalizata prin sextuplul:

$$PN_PTtime_N3 = (P, T, F, W, D, M_0)$$

unde:

- $P = \{P_1, P_2, P_3, P_4, P_5, P_6, P_7, P_8, P_9, P_{10}, P_{11}, P_{12}, P_{13}, P_{14}, P_{15}, P_{16}, P_{17}, P_{18}, P_{19}, P_{20}, P_{21}, P_{22}, P_{23}, P_{24}, P_{25}, P_{26}, P_{27}\}$
- $T = \{t_1, t_2, t_3, t_4, t_5, t_6, t_7, t_8, t_9, t_{10}, t_{11}, t_{12}, t_{13}, t_{14}, t_{15}, t_{16}, t_{17}, t_{18}, t_{19}, t_{20}, t_{21}, t_{22}, t_{23}, t_{24}, t_{25}, t_{26}, t_{27}, t_{28}, t_{29}, t_{30}, t_{31}, t_{32}, t_{33}, t_{34}, t_{35}, t_{36}, t_{37}, t_{38}\}$
- $F = \{(P_1, t_1), (P_2, t_2), (P_2, t_3), (P_3, t_4), (P_4, t_5), (P_5, t_6), (P_5, t_7), (P_6, t_{10}), (P_6, t_{11}), (P_7, t_8), (P_8, t_9), (P_8, t_{12}), (P_9, t_{13}), (P_{10}, t_{14}), (P_{10}, t_{15}), (P_{11}, t_{16}), (P_{12}, t_{17}), (P_{13}, t_{18}), (P_{13}, t_{19}), (P_{14}, t_{22}), (P_{14}, t_{23}), (P_{15}, t_{20}), (P_{16}, t_{21}), (P_{16}, t_{24}), (P_{17}, t_{25}), (P_{18}, t_{26}), (P_{18}, t_{27}), (P_{19}, t_{28}), (P_{20}, t_{29}), (P_{21}, t_{30}), (P_{21}, t_{31}), (P_{22}, t_{34}), (P_{22}, t_{35}), (P_{23}, t_{32}), (P_{24}, t_{33}), (P_{24}, t_{36}), (P_{25}, t_1), (P_{25}, t_{13}), (P_{25}, t_{25}), (P_{25}, t_{37}), (P_{26}, t_{38}), (P_{27}, t_1), (P_{27}, t_{13}), (P_{27}, t_{25})\} \cup$
- $\{(t_1, P_2), (t_2, P_3), (t_3, P_4), (t_4, P_4), (t_5, P_5), (t_6, P_6), (t_7, P_7), (t_8, P_8), (t_9, P_6), (t_{10}, P_7), (t_{11}, P_1), (t_{11}, P_{17}), (t_{11}, P_{19}), (t_{12}, P_1), (t_{12}, P_{17}), (t_{12}, P_{19}), (t_{13}, P_{10}), (t_{14}, P_{11}), (t_{15}, P_{12}), (t_{16}, P_{12}), (t_{17}, P_{13}), (t_{18}, P_{14}), (t_{19}, P_{15}), (t_{20}, P_{16}), (t_{21}, P_{14}), (t_{22}, P_{15}), (t_{23}, P_9), (t_{23}, P_{25}), (t_{23}, P_{27}), (t_{24}, P_9), (t_{24}, P_{25}), (t_{24}, P_{27}), (t_{25}, P_{18}), (t_{26}, P_{19}), (t_{27}, P_{20}), (t_{28}, P_{20}), (t_{29}, P_{21}), (t_{30}, P_{22}), (t_{31}, P_{23}), (t_{32}, P_{24}), (t_{33}, P_{22}), (t_{34}, P_{23}), (t_{35}, P_{17}), (t_{35}, P_{25}), (t_{35}, P_{27}), (t_{36}, P_{17}), (t_{36}, P_{25}), (t_{36}, P_{27}), (t_{37}, P_{26}), (t_{38}, P_{25})\}$

$$\begin{aligned}
&W(p_1, t_3) = 1, W(p_2, t_1) = 1, W(p_2, t_3) = 1, W(p_2, t_{15}) = 1, W(p_2, t_{27}) = 1, \\
&W(p_3, t_2) = 1, W(p_4, t_4) = 1, W(p_4, t_5) = 1, W(p_5, t_6) = 1, W(p_6, t_7) = 1, \\
&W(p_7, t_8) = 1, W(p_7, t_9) = 1, W(p_8, t_{12}) = 1, W(p_8, t_{13}) = 1, W(p_9, t_{10}) = 1, \\
&W(p_{10}, t_{11}) = 1, W(p_{10}, t_{14}) = 1, W(p_{11}, t_{15}) = 1, W(p_{12}, t_{16}) = 1, \\
&W(p_{12}, t_{17}) = 1, W(p_{13}, t_{18}) = 1, W(p_{14}, t_{19}) = 1, W(p_{15}, t_{20}) = 1, W(p_{15}, t_{21}) = 1, \\
&W(p_{16}, t_{24}) = 1, W(p_{16}, t_{25}) = 1, W(p_{17}, t_{22}) = 1, W(p_{18}, t_{23}) = 1, W(p_{18}, t_{26}) = 1, \\
&W(p_{19}, t_3) = 1, W(p_9, t_5) = 1, W(p_{19}, t_{27}) = 1, W(p_{20}, t_{27}) = 1, W(p_{21}, t_{28}) = 1, \\
&W(p_{21}, t_{29}) = 1, W(p_{22}, t_{30}) = 1, W(p_{23}, t_{31}) = 1, W(p_{24}, t_{32}) = 1, W(p_{24}, t_{33}) = 1, \\
&W(p_{25}, t_{36}) = 1, W(p_{25}, t_{37}) = 1, W(p_{26}, t_{34}) = 1, W(p_{27}, t_{35}) = 1, W(p_{27}, t_{38}) = 1, \\
&W(t_1, p_3) = 1, W(t_2, p_2) = 1, W(t_3, p_4) = 1, W(t_4, p_5) = 1, W(t_5, p_6) = 1, W(t_6, p_6) = 1, \\
&W(t_7, p_7) = 1, W(t_8, p_8) = 1, W(t_9, p_9) = 1, W(t_{10}, p_{10}) = 1, W(t_{11}, p_8) = 1, \\
&W(t_{12}, p_9) = 1, W(t_{13}, p_1) = 1, W(t_{13}, p_2) = 1, W(t_{13}, p_{19}) = 1, W(t_{14}, p_1) = 1, \\
&W(t_{14}, p_2) = 1, W(t_{14}, p_{19}) = 1, W(t_{15}, p_{12}) = 1, W(t_{16}, p_{13}) = 1, W(t_{17}, p_{14}) = 1, \\
&W(t_{18}, p_{14}) = 1, W(t_{19}, p_{15}) = 1, W(t_{20}, p_{16}) = 1, W(t_{21}, p_{17}) = 1, W(t_{22}, p_{18}) = 1, \\
&W(t_{23}, p_{16}) = 1, W(t_{24}, p_{17}) = 1, W(t_{25}, p_{11}) = 1, W(t_{25}, p_2) = 1, W(t_{25}, p_{19}) = 1, \\
&W(t_{26}, p_{11}) = 1, W(t_{26}, p_2) = 1, W(t_{26}, p_{19}) = 1, W(t_{27}, p_{21}) = 1, W(t_{28}, p_{22}) = 1, \\
&W(t_{29}, p_{23}) = 1, W(t_{30}, p_{23}) = 1, W(t_{31}, p_{24}) = 1, W(t_{32}, p_{25}) = 1, \\
&W(t_{33}, p_{26}) = 1, W(t_{34}, p_{27}) = 1, W(t_{35}, p_{25}) = 1, W(t_{36}, p_{26}) = 1, W(t_{37}, p_{20}) = 1, \\
&W(t_{37}, p_2) = 1, W(t_{37}, p_{19}) = 1, W(t_{38}, p_{20}) = 1, W(t_{38}, p_2) = 1, W(t_{38}, p_{19}) = 1 \\
&D = \{d(p_1) = 1, d(p_2) = 5, d(p_3) = 4, d(p_4) = 4, d(p_5) = 7, d(p_6) = 6, \\
&\quad d(p_7) = 3, d(p_8) = 5, d(p_9) = 1, d(p_{10}) = 5, d(p_{11}) = 4, d(p_{12}) = 4, \\
&• \quad d(p_{13}) = 7, d(p_{14}) = 6, d(p_{15}) = 3, d(p_{16}) = 5, d(p_{17}) = 1, d(p_{18}) = 5, • \\
&\quad d(p_{19}) = 4, d(p_{20}) = 4, d(p_{21}) = 7, d(p_{22}) = 6, d(p_{23}) = 3, d(p_{24}) = 5, \\
&\quad d(p_{25}) = 1, d(p_{26}) = 3, d(p_{27}) = 1\} \\
&M_0 = [1, 0, 0, 0, 0, 0, 0, 0, 0, 1, 0, 0, 0, 0, 0, 0, 0, 0, 1, 0, 0, 0, 0, 0, 0, 0, 0, 0, 0, 0, 1, 0, 1]^T
\end{aligned}$$

În final se poate *concluziona* că structura aleasă pentru o rețea Petri temporizată P corespunzătoare nodului de tip 3 este viabilă, ea putând fi implementată, fiind siguri că nu există condiții de apariție a blocajelor sau a apariției de situații necontrolabile.

2.5.2.4. Modelarea nodului de tip 4 – o intrare doua iesiri [UP06a] [UP06b] [Ung06b][Ung06c]

După cum s-a prezentat în capitolul 4, nodul de tip 4 (o intrare două ieșiri) este construit cu ajutorul nodului de tip 1, având în plus un macaz care este comandat direct în funcție de tranziția care este executată și un element de identificare (scanner) a căruciorului. Prin citirea identificatorului, macazul se va poziționa corespunzător și din acest moment totul se rezuma la un nod de tip 1.

2.5.2.4.1. Modelarea nodului de tip 4 cu ajutorul automatelor [UP06a] [Ung06b]

Structura automatului secvențial considerat pentru modelarea nodului de tip 4 este prezentată în figura 2.63.

Dupa cum se observa, automatul secvential al nodului 4 este realizat prin sincronizarea a doua automate secventiale AS_N1 , cate unul pentru fiecare linie de iesire. Semnificatiile starilor sunt identice cu cele prezentate la AS_N1 , cu observatia ca $S1, S2, S3$ si $S4$ corespund deplasarii la dreapta, iar $S5, S6, S7$ si $S8$ corespund deplasarii la stanga. Starea $S9$ este starea de identificare (scanare) in care se ia decizia de miscare la dreapta (identificatorul citit corespunde miscarii la dreapta), respectiv la stanga (identificatorul nu este „recunoscut”, de la scanner nu s-a primit rezultat in timp util sau codul citit nu este corect).

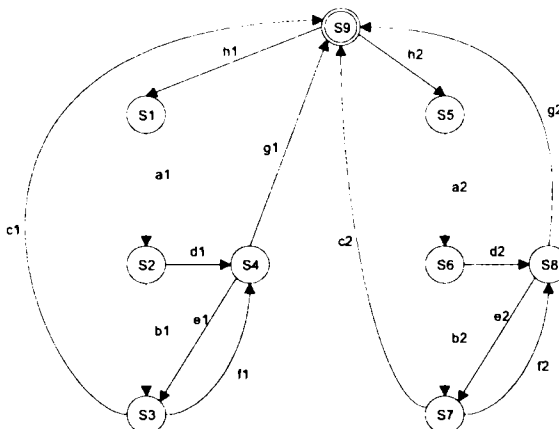


Figura 2.63. Structura automatului secvential corespunzător nodului de tip 4

Evenimentele $a1, b1, c1, d1, e1, f1, g1$ se refera la miscarea spre dreapta (senzorii corespunzatori liniei din dreapta, conform relatiilor prezentate la AS_N1), iar $a2, b2, c2, d2, e2, f2, g2$ se refera la miscarea spre stanga cu aceeasi observatie ca cea anterioara. Evenimentele $h1$ respectiv $h2$ reprezinta conditiile de tranzitie din starea $S9$ in $S1$ sau $S5$ ($h1$ activ – un carucior identificat se misca spre dreapta, respectiv $h2$ activ – un carucior neidentificat, sau eroare la citire, se misca spre stanga).

Automatul AS_N4 care descrie automatul secvential corespunzator nodului de tip 4 este definit astfel:

- multimea starilor: $X = \{S1, S2, S3, S4, S5, S6, S7, S8, S9\}$
- multimea evenimentelor:
 $\Sigma = \{a1, b1, c1, d1, e1, f1, g1, h1, a2, b2, c2, d2, e2, f2, g2, h2\}$
- multimile evenimentelor posibile si functiile de tranzitie a starilor:

$\Gamma(S1) = \{a1\}$	$\delta(S1, a1) = S2$	
$\Gamma(S2) = \{b1, d1\}$	$\delta(S2, b1) = S3,$	$\delta(S2, d1) = S4$
$\Gamma(S3) = \{c1, f1\}$	$\delta(S3, c1) = S9,$	$\delta(S3, f1) = S4$
$\Gamma(S4) = \{e1, g1\}$	$\delta(S4, e1) = S3$	$\delta(S4, g1) = S9$
$\Gamma(S5) = \{a2\}$	$\delta(S5, a2) = S6$	
$\Gamma(S6) = \{b2, d2\}$	$\delta(S6, b2) = S7,$	$\delta(S6, d2) = S8$
$\Gamma(S7) = \{c2, f2\}$	$\delta(S7, c2) = S9,$	$\delta(S7, f2) = S8$
$\Gamma(S8) = \{e2, g2\}$	$\delta(S8, e2) = S7$	$\delta(S8, g2) = S9$
$\Gamma(S9) = \{h1, h2\}$	$\delta(S9, h1) = S1,$	$\delta(S9, h2) = S5$
- starea initiala: $x_0 = S9$

Considerentele legate de transformarea modelului de tip automat in model de tip retea Petri, prezentate la nodul de tip 1, sunt valabile si in cazul nodului de tip 4.

Pentru conversia din model de tip automat in model de tip retea Petri s-a utilizat aceeași metoda ca si in cazul nodului de tip 1 .

Aplicand algoritmul 2.1 rezulta:

- multimea pozitiilor: $P = \{p1, p2, p3, p4, p5, p6, p7, p8, p9\}$, cu
 $p1 = \{S1\}, p2 = \{S2\}, p3 = \{S3\}, p4 = \{S4\}, p5 = \{S5\}, p6 = \{S6\},$
 $p7 = \{S7\}, p8 = \{S8\}$ si $p9 = \{S9\}$.
- multimea tranzitiilor:

• Pentru $p1$	$(p1, p2)$	$p2 = \alpha(p1, t1)$	$t1 = \{a1\}$
• Pentru $p2$	$(p2, p3)$	$p3 = \alpha(p2, t2)$	$t2 = \{b1\}$
	$(p2, p4)$	$p4 = \alpha(p2, t4)$	$t4 = \{d1\}$
• Pentru $p3$	$(p3, p9)$	$p9 = \alpha(p3, t3)$	$t3 = \{c1\}$
	$(p3, p4)$	$p4 = \alpha(p3, t6)$	$t6 = \{f1\}$
• Pentru $p4$	$(p4, p9)$	$p9 = \alpha(p4, t7)$	$t7 = \{g1\}$
	$(p4, p3)$	$p3 = \alpha(p4, t5)$	$t5 = \{e1\}$
• Pentru $p5$	$(p5, p6)$	$p6 = \alpha(p5, t8)$	$t8 = \{a2\}$
• Pentru $p6$	$(p6, p7)$	$p7 = \alpha(p6, t9)$	$t9 = \{b2\}$
	$(p6, p8)$	$p8 = \alpha(p6, t11)$	$t11 = \{d2\}$
• Pentru $p7$	$(p7, p9)$	$p9 = \alpha(p7, t10)$	$t10 = \{c2\}$
	$(p7, p8)$	$p8 = \alpha(p7, t13)$	$t13 = \{f2\}$
• Pentru $p8$	$(p8, p9)$	$p9 = \alpha(p8, t14)$	$t14 = \{g2\}$
	$(p8, p7)$	$p7 = \alpha(p8, t12)$	$t12 = \{e2\}$
• Pentru $p9$	$(p9, p1)$	$p1 = \alpha(p9, t15)$	$t15 = \{h1\}$
	$(p9, p5)$	$p5 = \alpha(p9, t16)$	$t16 = \{h2\}$

In figura 2.64 se prezinta structura retelei Petri asociata automatului secvential considerat in cazul nodului de tip 4.

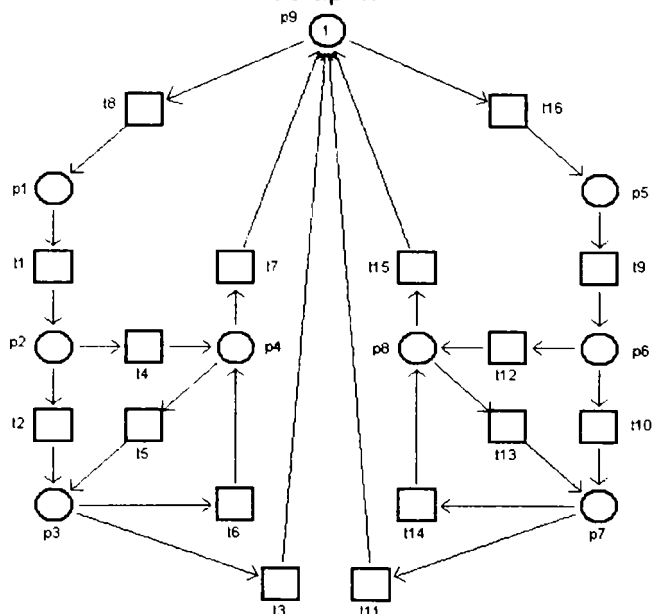


Figura 2.64. Structura retelei Petri asociata automatului secvential corespunzătoare nodului de tip 4

Semnificațiile pozițiilor este similară cu prezentarea făcută pentru nodul de tip 1. Astfel, P1 și P5 sunt similare cu P1 de la nodul de tip 1, P2 și P6 sunt similare cu P2 de la nodul de tip 1, P3 și P7 sunt similare cu P3 de la nodul de tip 1, iar P4 și P8 sunt similare cu P4 de la nodul de tip 1. În plus, s-a introdus o poziție nouă P9 corespunzătoare poziției de scanare.

Semnificațiile tranzițiilor sunt similare cu cele prezentate la nodul de tip 1. Astfel, t1 și t8 sunt similare cu t1 de la nodul de tip 1, t2 și t10 sunt similare cu t2 de la nodul de tip 1, t3 și t10 sunt similare cu t3 de la nodul de tip 1, cu observația că apare o condiție în plus dată de transferul jetonului în P9, t4 și t11 sunt similare cu t4 de la nodul de tip 1, t5 și t12 sunt similare cu t5 de la nodul de tip 1, t6 și t13 sunt similare cu t6 de la nodul de tip 1, t7 și t14 sunt similare cu t7 de la nodul de tip 1, cu observația că apare o condiție în plus dată de comutarea în starea P9, și nu în P1. Tranzițiile t15 și t16 sunt noi, ele asigurând comutarea fie în starea P1 fie în starea P5, funcție de rezultatul scanării. t5 este activată dacă identificatorul citit este corespunzător mișcării spre dreapta, respectiv t16 este activată dacă nu s-a recunoscut identificatorul sau a apărut o eroare în funcționarea scannerului.

Topologia rețelei validată de PNT este prezentată în figura 2.65.

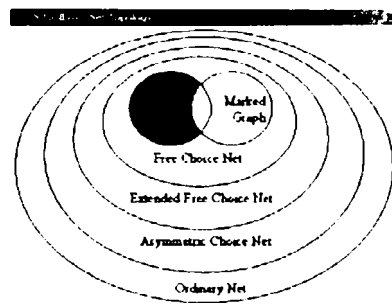


Figura 2.65. Topologia rețelei Petri echivalente validată de PNT

Reteaua Petri considerată este formalizată prin cvintuplul:

$$PN_AS_N4 = (P, T, F, W, M_0)$$

unde:

- $P = \{p_1, p_2, p_3, p_4, p_5, p_6, p_7, p_8, p_9\}$
- $T = \{t_1, t_2, t_3, t_4, t_5, t_6, t_7, t_8, t_9, t_{10}, t_{11}, t_{12}, t_{13}, t_{14}, t_{15}, t_{16}\}$
- $F = \{(p_1, t_1), (p_2, t_2), (p_2, t_4), (p_3, t_6), (p_3, t_3), (p_4, t_5), (p_4, t_7), (p_5, t_8), (p_6, t_9), (p_6, t_{11}), (p_7, t_{10}), (p_7, t_{13}), (p_8, t_{12}), (p_8, t_{14}), (p_9, t_{15}), (p_9, t_{16})\} \cup$
- $\{(t_1, p_2), (t_2, p_3), (t_3, p_9), (t_4, p_4), (t_5, p_3), (t_6, p_4), (t_7, p_9), (t_8, p_6), (t_9, p_7), (t_{10}, p_9), (t_{11}, p_8), (t_{12}, p_7), (t_{13}, p_8), (t_{14}, p_9), (t_{15}, p_1), (t_{16}, p_5)\}$

- $W(p_1, t_1) = 1, W(p_2, t_2) = 1, W(p_2, t_4) = 1, W(p_3, t_6) = 1,$
 $W(p_3, t_3) = 1, W(p_4, t_5) = 1, W(p_4, t_7) = 1, W(p_5, t_8) = 1,$
 $W(p_6, t_9) = 1, W(p_6, t_{11}) = 1, W(p_7, t_{10}) = 1, W(p_7, t_{13}) = 1,$
 $W(p_8, t_{12}) = 1, W(p_8, t_{14}) = 1, W(p_9, t_{15}) = 1, W(p_9, t_{16}) = 1,$
- $W(t_1, p_2) = 1, W(t_2, p_3) = 1, W(t_3, p_9) = 1, W(t_4, p_4) = 1,$
 $W(t_5, p_3) = 1, W(t_6, p_4) = 1, W(t_7, p_9) = 1, W(t_8, p_6) = 1,$
 $W(t_9, p_7) = 1, W(t_{10}, p_9) = 1, W(t_{11}, p_8) = 1, W(t_{12}, p_7) = 1,$
 $W(t_{13}, p_8) = 1, W(t_{14}, p_9) = 1, W(t_{15}, p_1) = 1, W(t_{16}, p_5) = 1$
- $M_0 = [0, 0, 0, 0, 0, 0, 0, 0, 0, 1]^T$

Matricile de incidenta corespunzatoare sunt:

Matricea de incidenta de intrare:

$$A_{Ii} = \begin{pmatrix} 1 & 0 & 0 & 0 & 0 & 0 & 0 & 0 & 0 & 0 \\ 0 & 1 & 0 & 0 & 0 & 0 & 0 & 0 & 0 & 0 \\ 0 & 0 & 1 & 0 & 0 & 0 & 0 & 0 & 0 & 0 \\ 0 & 1 & 0 & 0 & 0 & 0 & 0 & 0 & 0 & 0 \\ 0 & 0 & 0 & 1 & 0 & 0 & 0 & 0 & 0 & 0 \\ 0 & 0 & 1 & 0 & 0 & 0 & 0 & 0 & 0 & 0 \\ 0 & 0 & 0 & 1 & 0 & 0 & 0 & 0 & 0 & 0 \\ 0 & 0 & 0 & 0 & 1 & 0 & 0 & 0 & 0 & 0 \\ 0 & 0 & 0 & 0 & 0 & 1 & 0 & 0 & 0 & 0 \\ 0 & 0 & 0 & 0 & 0 & 0 & 1 & 0 & 0 & 0 \\ 0 & 0 & 0 & 0 & 0 & 0 & 0 & 1 & 0 & 0 \\ 0 & 0 & 0 & 0 & 0 & 0 & 0 & 0 & 1 & 0 \\ 0 & 0 & 0 & 0 & 0 & 0 & 0 & 0 & 0 & 1 \\ 0 & 0 & 0 & 0 & 0 & 0 & 0 & 0 & 0 & 1 \\ 0 & 0 & 0 & 0 & 0 & 0 & 0 & 0 & 0 & 1 \end{pmatrix}$$

Matricea de incidenta de iesire:

$$A_{Oi} = \begin{pmatrix} 0 & 1 & 0 & 0 & 0 & 0 & 0 & 0 & 0 & 0 \\ 0 & 0 & 1 & 0 & 0 & 0 & 0 & 0 & 0 & 0 \\ 0 & 0 & 0 & 0 & 0 & 0 & 0 & 0 & 0 & 1 \\ 0 & 0 & 0 & 1 & 0 & 0 & 0 & 0 & 0 & 0 \\ 0 & 0 & 1 & 0 & 0 & 0 & 0 & 0 & 0 & 0 \\ 0 & 0 & 0 & 1 & 0 & 0 & 0 & 0 & 0 & 0 \\ 0 & 0 & 0 & 0 & 1 & 0 & 0 & 0 & 0 & 0 \\ 0 & 0 & 0 & 0 & 0 & 1 & 0 & 0 & 0 & 0 \\ 0 & 0 & 0 & 0 & 0 & 0 & 1 & 0 & 0 & 0 \\ 0 & 0 & 0 & 0 & 0 & 0 & 0 & 1 & 0 & 0 \\ 0 & 0 & 0 & 0 & 0 & 0 & 0 & 0 & 1 & 0 \\ 0 & 0 & 0 & 0 & 0 & 0 & 0 & 0 & 0 & 1 \\ 0 & 0 & 0 & 0 & 0 & 0 & 0 & 0 & 0 & 1 \\ 0 & 0 & 0 & 0 & 0 & 0 & 0 & 0 & 0 & 1 \\ 0 & 0 & 0 & 0 & 1 & 0 & 0 & 0 & 0 & 0 \end{pmatrix}$$

Matricea de incidenta:

$$A_i = A_{Oi} - A_{Ii} = \begin{pmatrix} -1 & 1 & 0 & 0 & 0 & 0 & 0 & 0 & 0 & 0 \\ 0 & -1 & 1 & 0 & 0 & 0 & 0 & 0 & 0 & 0 \\ 0 & 0 & -1 & 0 & 0 & 0 & 0 & 0 & 0 & 0 \\ 0 & -1 & 0 & 1 & 0 & 0 & 0 & 0 & 0 & 0 \\ 0 & 0 & 1 & -1 & 0 & 0 & 0 & 0 & 0 & 0 \\ 0 & 0 & -1 & 1 & 0 & 0 & 0 & 0 & 0 & 0 \\ 0 & 0 & 0 & -1 & 0 & 0 & 0 & 0 & 0 & 0 \\ 1 & 0 & 0 & 0 & 0 & 0 & 0 & 0 & 0 & 0 \\ 0 & 0 & 0 & 0 & -1 & 1 & 0 & 0 & 0 & 0 \\ 0 & 0 & 0 & 0 & 0 & -1 & 1 & 0 & 0 & 0 \\ 0 & 0 & 0 & 0 & 0 & 0 & -1 & 0 & 0 & 0 \\ 0 & 0 & 0 & 0 & 0 & -1 & 0 & 0 & 1 & 0 \\ 0 & 0 & 0 & 0 & 0 & 0 & 0 & 1 & -1 & 0 \\ 0 & 0 & 0 & 0 & 0 & 0 & -1 & 1 & 0 & 0 \\ 0 & 0 & 0 & 0 & 0 & 0 & 0 & 0 & -1 & 1 \\ 0 & 0 & 0 & 0 & 1 & 0 & 0 & 0 & 0 & 0 \end{pmatrix}$$

Arborele de acoperire corespunzator este prezentat in figura 2.66.

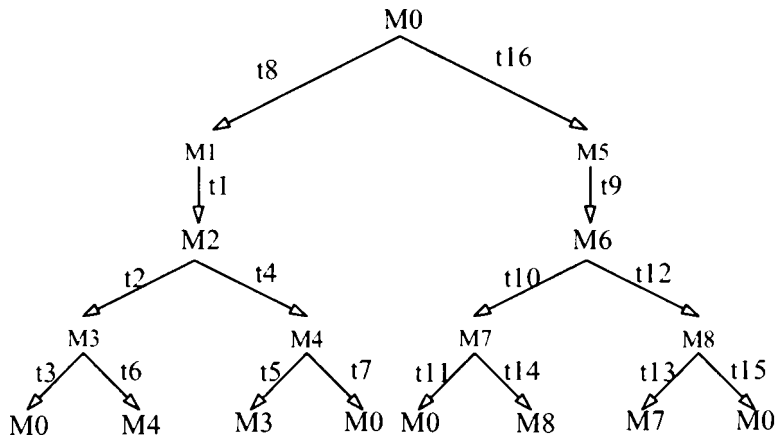


Figura 2.66. Arborele de acoperire al rețelei Petri PN_AS_N4

Unde:

$M0=(0,0,0,0,0,0,0,0,1)$; $M1=(1,0,0,0,0,0,0,0,0)$; $M2=(0,1,0,0,0,0,0,0,0)$;
 $M3=(0,0,1,0,0,0,0,0,0)$; $M4=(0,0,0,1,0,0,0,0,0)$; $M5=(0,0,0,0,1,0,0,0,0)$;
 $M6=(0,0,0,0,0,1,0,0,0)$; $M7=(0,0,0,0,0,0,1,0,0)$; $M8=(0,0,0,0,0,0,0,1,0)$

Studiind proprietățile comportamentale ale rețelei Petri PN_AS_N4 , pe baza arborelui de acoperire rezulta:

- rețeaua este *marginita* (simbolul ω nu apare în arborele de acoperire);
- rețeaua este *sigura* (marcajele din toate nodurile arborelui de acoperire conțin numai „0” și „1”);
- rețeaua *nu este blocanta* (toate tranzițiile au asociate arce în arborele de acoperire);
- rețeaua este *accesibilă* (orice marcaj poate fi atins pornind din M_0).

Graful de acoperire corespunzător este prezentat în figura 2.67.

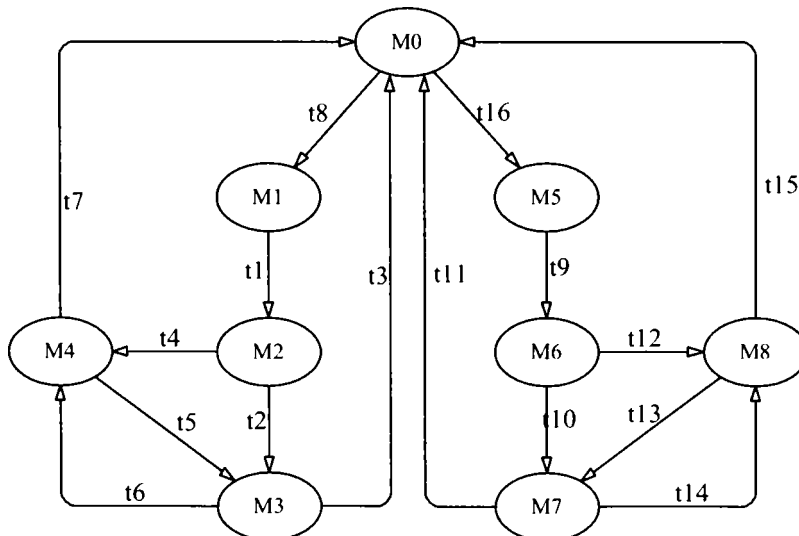


Figura 2.67. Graful de acoperire al rețelei Petri PN_AS_N4

Structura rezultata pentru graful de acoperire confirma ca modelul de retea Petri derivata din modelul de tip automat corespunzator nodului de tip 4 este *acesibila*.

Concluzionand, se poate afirma ca modelul ales este *viabil* din punct de vedere comportamental.

Analiza rețelei Petri *PN_AS_N4* din punct de vedere structural se face pe baza analizei existentei invariantilor de tip *P* respectiv *T*.

Pentru determinarea numarului de invarianti *P* respectiv *T* s-a aplicat teorema 2.3, rangul matricei *A* este: $rang A = 8$, rezultand ca rețeaua Petri *PN_AS_N4* este acoperita de 1 invariant de tip *P*, respectiv 8 invarianti de tip *T*. In figurile 2.68 si 2.69 se prezinta invariantii de tip *P* respectiv *T* obtinuti in urma simularii rețelei Petri *PN_AS_N4* cu ajutorul PNT-ului.

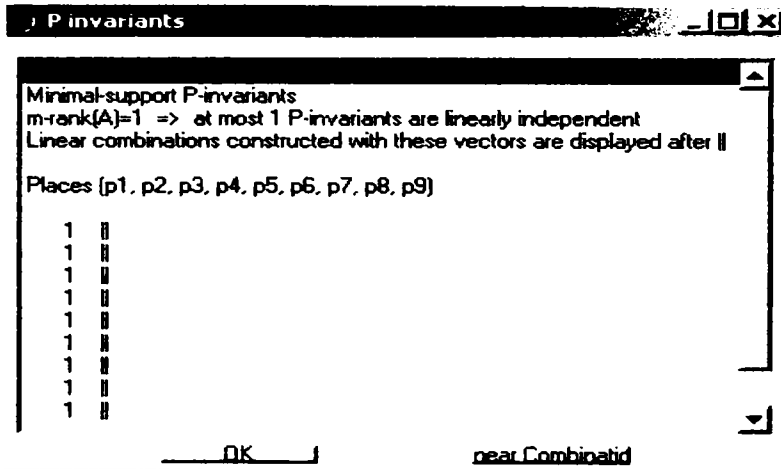


Figura 2.68. Invariantii de tip P obtinuti cu ajutorul PNT

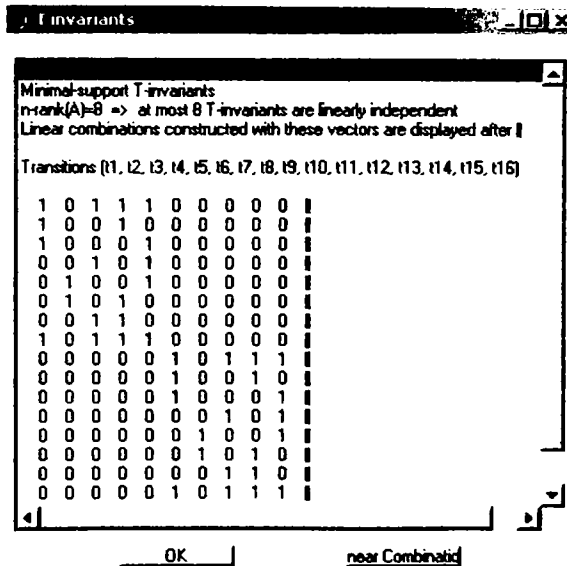


Figura 2.69. Invariantii de tip T obtinuti cu ajutorul PNT

Conform teoremelor 2.6 respectiv 2.7 rețeaua Petri PN_{AS_N4} , este *conservativa și structural marginită, respectiv este consistentă și repetitivă*.

În final se poate *concluziona* că structura aleasă pentru un automat secvențial clasic corespunzător nodului de tip 4 este *viabilă*, ea putând fi implementată, fiind siguri că nu există condiții de apariție a blocajelor sau a apariției de situații necontrolabile.

2.5.2.4.2. Modelarea nodului de tip 4 cu ajutorul rețelelor Petri [UP06b] [Ung06c]

2.5.2.4.2.1. Cazul: rețea Petri netemporizată

Structura rețelei Petri considerate pentru modelarea nodului de tip 4 este prezentată în figura 2.70.

Dupa cum se poate observa, rețeaua considerată este construită din două rețele Petri corespunzătoare Nodului de tip 1, sincronizate între ele printr-o subrețea care modelează operația de identificare (scanner-ul).

Semnificațiile pozițiilor $P_1, P_2, P_3, P_4, P_5, P_6, P_7, P_8, P_9, P_{10}, P_{11}, P_{12}, P_{13}, P_{14}, P_{15}, P_{16}, P_{17}, P_{18}, P_{19}$ și P_{20} sunt similare cu cele prezentate la nodul de tip 1. P_{21} este poziția de așteptare a scannerului, P_{22} este poziția de trigger (spotul este aprins), P_{23} este poziția de așteptare a rezultatului.

Tranzițiile $t_1, t_2, t_3, t_4, t_5, t_6, t_7, t_8, t_9, t_{10}, t_{11}, t_{12}, t_{13}, t_{14}, t_{15}, t_{16}, t_{17}, t_{18}, t_{19}, t_{20}, t_{21}, t_{22}, t_{23}, t_{24}, t_{25}, t_{26}, t_{27}$ și t_{28} sunt similare cu cele prezentate la nodul de tip 1. Tranziția t_{29} corespunde trecerii din P_{21} în P_{22} ca urmare a declansării unei operații de scanare (identificare), t_{30} corespunde situației în care operația de triggerare s-a încheiat urmând să se aștepte rezultatul.

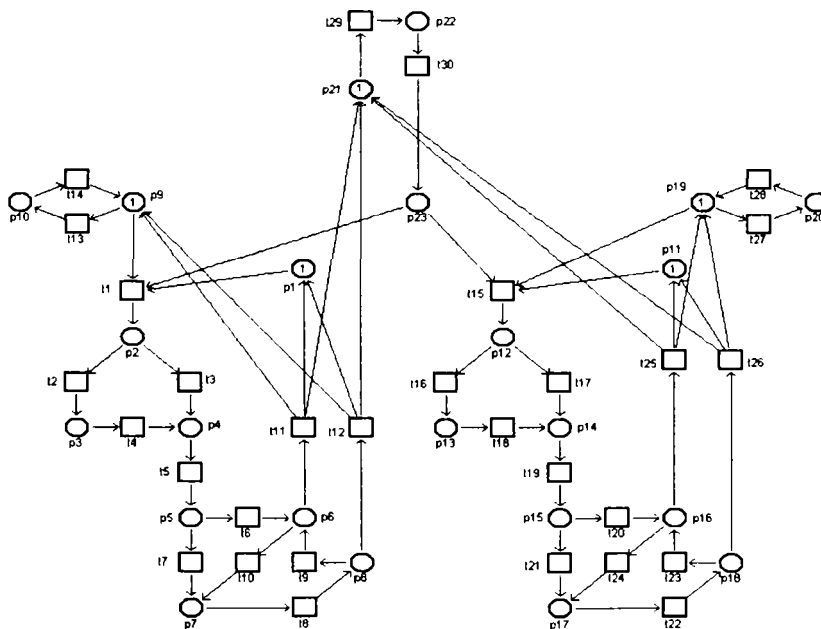


Figura 2.70. Structura rețelei Petri corespunzătoare nodului de tip 4

Topologia rețelei Petri validată de PNT este prezentată în figura 2.71.

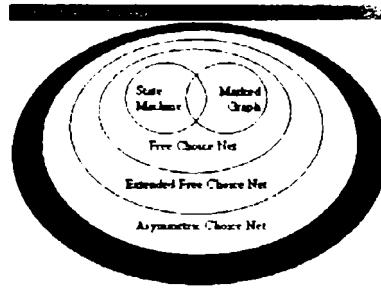


Figura 2.71. Topologia rețelei Petri validată de TPN

Reteaua Petri considerată este formalizată prin cvintuplul:

$$PN_PT_N4 = (P, T, F, W, M_0)$$

unde:

- $P = \{p_1, p_2, p_3, p_4, p_5, p_6, p_7, p_8, p_9, p_{10}, p_{11}, p_{12}, p_{13}, p_{14}, p_{15}, p_{16}, p_{17}, p_{18}, p_{19}, p_{20}, p_{21}, p_{22}, p_{23}\}$
- $T = \{t_1, t_2, t_3, t_4, t_5, t_6, t_7, t_8, t_9, t_{10}, t_{11}, t_{12}, t_{13}, t_{14}, t_{15}, t_{16}, t_{17}, t_{18}, t_{19}, t_{20}, t_{21}, t_{22}, t_{23}, t_{24}, t_{25}, t_{26}, t_{27}, t_{28}, t_{29}, t_{30}\}$
- $F = \{(p_1, t_1), (p_2, t_2), (p_2, t_3), (p_3, t_4), (p_4, t_5), (p_5, t_6), (p_5, t_7), (p_6, t_{10}), (p_6, t_{11}), (p_7, t_8), (p_8, t_9), (p_8, t_{12}), (p_9, t_{13}), (p_{10}, t_{14}), (p_{11}, t_{15}), (p_{12}, t_{16}), (p_{12}, t_{17}), (p_{13}, t_{18}), (p_{14}, t_{19}), (p_{15}, t_{20}), (p_{15}, t_{21}), (p_{16}, t_{24}), (p_{16}, t_{25}), (p_{17}, t_{22}), (p_{18}, t_{23}), (p_{18}, t_{26}), (p_{19}, t_{27}), (p_{20}, t_{28}), (p_{21}, t_{29}), (p_{22}, t_{30}), (p_{23}, t_1), (p_{23}, t_{15})\} \cup$
 $\{(t_1, p_2), (t_2, p_3), (t_3, p_4), (t_4, p_4), (t_5, p_5), (t_6, p_6), (t_7, p_7), (t_8, p_8), (t_9, p_6), (t_{10}, p_7), (t_{11}, p_1), (t_{11}, p_9), (t_{11}, p_{21}), (t_{12}, p_1), (t_{12}, p_9), (t_{12}, p_{21}), (t_{13}, p_{10}), (t_{14}, p_9), (t_{15}, p_{12}), (t_{16}, p_{13}), (t_{17}, p_{14}), (t_{18}, p_{14}), (t_{19}, p_{15}), (t_{20}, p_{16}), (t_{21}, p_{17}), (t_{22}, p_{18}), (t_{23}, p_{16}), (t_{24}, p_{17}), (t_{25}, p_{11}), (t_{25}, p_{19}), (t_{25}, p_{21}), (t_{26}, p_{11}), (t_{26}, p_{19}), (t_{26}, p_{21}), (t_{27}, p_{20}), (t_{28}, p_{19}), (t_{29}, p_{22}), (t_{30}, p_{23})\}$

Unde:

$M_0 = [1,0,0,0,0,0,0,1,0,1,0,0,0,0,0,0,1,0,1,0,0],$
 $M_1 = [1,0,0,0,0,0,0,0,1,1,0,0,0,0,0,0,1,0,1,0,0],$
 $M_2 = [1,0,0,0,0,0,0,0,1,0,1,0,0,0,0,0,0,1,1,0,0],$
 $M_3 = [1,0,0,0,0,0,0,0,1,0,1,0,0,0,0,0,0,1,0,0,1,0],$
 $M_4 = [1,0,0,0,0,0,0,0,1,1,0,0,0,0,0,0,0,1,1,0,0],$
 $M_5 = [1,0,0,0,0,0,0,0,1,1,0,0,0,0,0,0,0,1,0,0,1,0],$
 $M_6 = [1,0,0,0,0,0,0,0,1,0,1,0,0,0,0,0,0,0,1,0,1,0],$
 $M_7 = [1,0,0,0,0,0,0,0,1,0,1,0,0,0,0,0,0,0,1,0,0,0,1],$
 $M_8 = [1,0,0,0,0,0,0,0,1,1,0,0,0,0,0,0,0,0,1,0,1,0],$
 $M_9 = [1,0,0,0,0,0,0,0,1,1,0,0,0,0,0,0,0,1,0,0,0,1],$
 $M_{10} = [1,0,0,0,0,0,0,0,1,0,1,0,0,0,0,0,0,0,1,0,0,1],$
 $M_{11} = [0,1,0,0,0,0,0,0,0,0,0,0,0,0,0,0,0,1,0,0,0,0],$
 $M_{12} = [1,0,0,0,0,0,0,0,1,0,0,1,0,0,0,0,0,0,0,0,0,0],$
 $M_{13} = [1,0,0,0,0,0,0,0,1,1,0,0,0,0,0,0,0,0,1,0,0,1],$
 $M_{14} = [1,0,0,0,0,0,0,0,1,0,1,0,0,0,0,0,0,0,0,0,0,0],$
 $M_{15} = [0,1,0,0,0,0,0,0,0,1,0,0,0,0,0,0,0,0,1,0,0,0],$
 $M_{16} = [0,0,1,0,0,0,0,0,0,1,0,0,0,0,0,0,0,1,0,0,0,0],$
 $M_{17} = [0,0,0,1,0,0,0,0,0,1,0,0,0,0,0,0,0,1,0,0,0,0],$
 $M_{18} = [1,0,0,0,0,0,0,0,1,0,0,0,1,0,0,0,0,0,0,0,0,0],$
 $M_{19} = [1,0,0,0,0,0,0,0,1,0,0,0,0,1,0,0,0,0,0,0,0,0],$
 $M_{20} = [1,0,0,0,0,0,0,0,1,0,0,1,0,0,0,0,0,0,0,0,0,0],$
 $M_{21} = [1,0,0,0,0,0,0,0,1,0,0,0,1,0,0,0,0,0,0,0,0,0],$
 $M_{22} = [0,0,1,0,0,0,0,0,0,1,0,0,0,0,0,0,0,0,1,0,0,0],$
 $M_{23} = [0,0,0,1,0,0,0,0,0,1,0,0,0,0,0,0,0,0,1,0,0,0],$
 $M_{24} = [0,0,0,0,1,0,0,0,0,0,1,0,0,0,0,0,0,0,1,0,0,0],$
 $M_{25} = [1,0,0,0,0,0,0,0,1,0,0,0,0,0,1,0,0,0,0,0,0,0],$
 $M_{26} = [1,0,0,0,0,0,0,0,1,0,0,0,0,1,0,0,0,0,0,0,0,0],$
 $M_{27} = [0,0,0,0,1,0,0,0,0,1,0,0,0,0,0,0,0,0,1,0,0,0],$
 $M_{28} = [0,0,0,0,0,1,0,0,0,1,0,0,0,0,0,0,0,1,0,0,0,0],$
 $M_{29} = [0,0,0,0,0,1,0,0,0,1,0,0,0,0,0,0,0,1,0,0,0,0],$
 $M_{30} = [1,0,0,0,0,0,0,0,1,0,0,0,0,0,1,0,0,0,0,0,0,0],$
 $M_{31} = [1,0,0,0,0,0,0,0,1,0,0,0,0,0,0,1,0,0,0,0,0,0],$
 $M_{32} = [1,0,0,0,0,0,0,0,1,0,0,0,0,0,1,0,0,0,0,0,0,0],$
 $M_{33} = [1,0,0,0,0,0,0,0,1,0,0,0,0,0,1,0,0,0,0,0,0,0],$
 $M_{34} = [0,0,0,0,0,1,0,0,0,1,0,0,0,0,0,0,0,1,0,0,0,0],$
 $M_{35} = [0,0,0,0,0,0,1,0,0,0,1,0,0,0,0,0,0,0,1,0,0,0],$
 $M_{36} = [0,0,0,0,0,0,0,1,0,0,1,0,0,0,0,0,0,0,1,0,0,0],$
 $M_{37} = [1,0,0,0,0,0,0,0,1,0,0,0,0,0,0,0,0,1,0,0,0,0],$
 $M_{38} = [1,0,0,0,0,0,0,0,1,0,0,0,0,0,0,0,1,0,0,0,0,0],$
 $M_{39} = [0,0,0,0,0,0,1,0,0,1,0,0,0,0,0,0,0,1,0,0,0,0]$

Studiind proprietatile comportamentale ale rețelei Petri $PN_{PT_{N4}}$, pe baza arborelui de acoperire rezulta:

- rețeaua este *marginita* (simbolul ω nu apare în arborele de acoperire);
- rețeaua este *sigura* (marcajele din toate nodurile arborelui de acoperire conțin numai „0” și „1”);
- rețeaua *nu este blocanta* (toate tranzitiile au asociate arce în arborele de acoperire);
- rețeaua este *accesibila* (orice marcaj poate fi atins pornind din M_0).

Conform teoremelor 2.6 respectiv 2.7, rețeaua Petri $PN_{PT_{N4}}$ este *conservativa și structural marginită, respectiv este consistentă și repetitivă*.

În final se poate *concluziona* că structura aleasă pentru rețeaua Petri corespunzătoare nodului de tip 4 este viabilă, ea putând fi implementată, fiind siguri că nu există condiții de apariție a blocajelor sau a apariției de situații necontrolabile.

2.5.2.4.2.2. Cazul: rețea Petri temporizată P

Structura rețelei Petri temporizată P corespunzătoare Nodului de tip 4 este aceeași ca cea prezentată în figura 2.70.

Datorită faptului că rețelele sunt identice din punct de vedere structural și comportamental rezultatele analizelor nu se mai detașiază, ele fiind în fapt identice cu cele obținute în cazul nodului de tip 4 netemporizat.

Față de situația prezentată anterior fiecărei poziții P i-a fost alocată o unitate de timp corespunzătoare. În acest mod situația devine reală din punct de vedere al funcționării.

Timpii corespunzători pozițiilor P sunt prezentați în tabelul 2.10.

Tabelul 2.10. Timpii corespunzători pozițiilor P

Pozitie	Unitati de Timp
P1, P11	1
P2, P12	1
P3, P13	3
P4, P14	5
P5, P15	4
P6, P16	4
P7, P17	7
P8, P18	6
P9, P19	3
P10, P20	5
P21	1
P22	3
P23	4

Rețeaua Petri considerată este formalizată prin sextuplul:

$$PN_{PTTime_{N4}} = (P, T, F, W, D, M_0)$$

unde:

- $P = \{p_1, p_2, p_3, p_4, p_5, p_6, p_7, p_8, p_9, p_{10}, p_{11}, p_{12}, p_{13}, p_{14}, p_{15}, p_{16}, p_{17}, p_{18}, p_{19}, p_{20}, p_{21}, p_{22}, p_{23}\}$
- $T = \{t_1, t_2, t_3, t_4, t_5, t_6, t_7, t_8, t_9, t_{10}, t_{11}, t_{12}, t_{13}, t_{14}, t_{15}, t_{16}, t_{17}, t_{18}, t_{19}, t_{20}, t_{21}, t_{22}, t_{23}, t_{24}, t_{25}, t_{26}, t_{27}, t_{28}, t_{29}, t_{30}\}$

- $$F = \{(p_1, t_1), (p_2, t_2), (p_2, t_3), (p_3, t_4), (p_4, t_5), (p_5, t_6), (p_5, t_7), (p_6, t_{10}),$$
- $$(p_6, t_{11}), (p_7, t_8), (p_8, t_9), (p_8, t_{12}), (p_9, t_{13}), (p_{10}, t_{14}), (p_{11}, t_{15}),$$
- $$(p_{12}, t_{16}), (p_{12}, t_{17}), (p_{13}, t_{18}), (p_{14}, t_{19}), (p_{15}, t_{20}), (p_{15}, t_{21}),$$
- $$(p_{16}, t_{24}), (p_{16}, t_{25}), (p_{17}, t_{22}), (p_{18}, t_{23}), (p_{18}, t_{26}), (p_{19}, t_{27}),$$
- $(p_{20}, t_{28}), (p_{21}, t_{29}), (p_{22}, t_{30}), (p_{23}, t_1), (p_{23}, t_{15})\} \cup$

$$\{(t_1, p_2), (t_2, p_3), (t_3, p_4), (t_4, p_4), (t_5, p_5), (t_6, p_6), (t_7, p_7), (t_8, p_8),$$

$$(t_9, p_6), (t_{10}, p_7), (t_{11}, p_1), (t_{11}, p_9), (t_{11}, p_{21}), (t_{12}, p_1), (t_{12}, p_9),$$

$$(t_{12}, p_{21}), (t_{13}, p_{10}), (t_{14}, p_9), (t_{15}, p_{12}), (t_{16}, p_{13}), (t_{17}, p_{14}),$$

$$(t_{18}, p_{14}), (t_{19}, p_{15}), (t_{20}, p_{16}), (t_{21}, p_{17}), (t_{22}, p_{18}), (t_{23}, p_{16}), (t_{24}, p_{17}),$$

$$(t_{25}, p_{11}), (t_{25}, p_{19}), (t_{25}, p_{21}), (t_{26}, p_{11}), (t_{26}, p_{19}), (t_{26}, p_{21}), (t_{27}, p_{20}),$$

$$(t_{28}, p_{19}), (t_{29}, p_{22}), (t_{30}, p_{23})\}$$
- $$W(p_1, t_1) = 1, W(p_2, t_2) = 1, W(p_2, t_3) = 1, W(p_3, t_4) = 1, W(p_4, t_5) = 1,$$
- $$W(p_5, t_6) = 1, W(p_5, t_7) = 1, W(p_6, t_{10}) = 1, W(p_6, t_{11}) = 1, W(p_7, t_8) = 1,$$
- $$W(p_8, t_9) = 1, W(p_8, t_{12}) = 1, W(p_9, t_{13}) = 1, W(p_{10}, t_{14}) = 1,$$
- $$W(p_{11}, t_{15}) = 1, W(p_{12}, t_{16}) = 1, W(p_{12}, t_{17}) = 1, W(p_{13}, t_{18}) = 1,$$
- $W(p_{14}, t_{19}) = 1, W(p_{15}, t_{20}) = 1, W(p_{15}, t_{21}) = 1, W(p_{16}, t_{24}) = 1,$

$$W(p_{16}, t_{25}) = 1, W(p_{17}, t_{22}) = 1, W(p_{18}, t_{23}) = 1, W(p_{18}, t_{26}) = 1,$$

$$W(p_{19}, t_{27}) = 1, W(p_{20}, t_{28}) = 1, W(p_{21}, t_{29}) = 1, W(p_{22}, t_{30}) = 1,$$

$$W(p_{23}, t_1) = 1, W(p_{23}, t_{15}) = 1, W(t_1, p_2) = 1, W(t_2, p_3) = 1, W(t_3, p_4) = 1,$$

$$W(t_4, p_4) = 1, W(t_5, p_5) = 1, W(t_6, p_6) = 1, W(t_7, p_7) = 1, W(t_8, p_8) = 1, W(t_9, p_6) = 1,$$

$$W(t_{10}, p_7) = 1, W(t_{11}, p_1) = 1, W(t_{11}, p_9) = 1, W(t_{11}, p_{21}) = 1, W(t_{12}, p_1) = 1,$$

$$W(t_{12}, p_9) = 1, W(t_{12}, p_{21}) = 1, W(t_{13}, p_{10}) = 1, W(t_{14}, p_9) = 1, W(t_{15}, p_{12}) = 1,$$

$$W(t_{16}, p_{13}) = 1, W(t_{17}, p_{14}) = 1, W(t_{18}, p_{14}) = 1, W(t_{19}, p_{15}) = 1, W(t_{20}, p_{16}) = 1,$$

$$W(t_{21}, p_{17}) = 1, W(t_{22}, p_{18}) = 1, W(t_{23}, p_{16}) = 1, W(t_{24}, p_{17}) = 1, W(t_{25}, p_{11}) = 1,$$

$$W(t_{25}, p_{19}) = 1, W(t_{25}, p_{21}) = 1, W(t_{26}, p_{11}) = 1, W(t_{26}, p_{19}) = 1, W(t_{26}, p_{21}) = 1,$$

$$W(t_{27}, p_{20}) = 1, W(t_{28}, p_{19}) = 1, W(t_{29}, p_{22}) = 1, W(t_{30}, p_{23}) = 1\}$$
- $$D = \{d(p_1) = 1, d(p_2) = 1, d(p_3) = 3, d(p_4) = 5, d(p_5) = 4,$$
- $$d(p_6) = 4, d(p_7) = 7, d(p_8) = 6, d(p_9) = 3, d(p_{10}) = 5,$$
- $d(p_{11}) = 1, d(p_{12}) = 1, d(p_{13}) = 3, d(p_{14}) = 5, d(p_{15}) = 4,$

$$d(p_{16}) = 4, d(p_{17}) = 7, d(p_{18}) = 6, d(p_{19}) = 3, d(p_{20}) = 5,$$

$$d(p_{21}) = 1, d(p_{22}) = 3, d(p_{23}) = 4, d(p_{24}) = 3, d(p_{25}) = 3\}$$
 - $M_0 = [1, 1, 0, 0, 0, 0, 0, 0, 0, 0, 1, 1, 0, 0, 0, 0, 0, 0, 0, 0, 1, 0, 0, 0, 0]^T$

În final se poate *concluziona* că structura aleasă pentru o rețea Petri temporizată P corespunzătoare nodului de tip 4 este viabilă, ea putând fi implementată, fiind siguri că nu există condiții de apariție a blocajelor sau a apariției de situații necontrolabile.

2.5.2.5. Modelarea nodurilor cu doua intrari si doua iesiri

Nodurile complexe cu doua intrari si *doua* iesiri sunt construite cu ajutorul nodurilor definite anterior. Un astfel de nod are structura de principiu prezentata in figura 2.75.

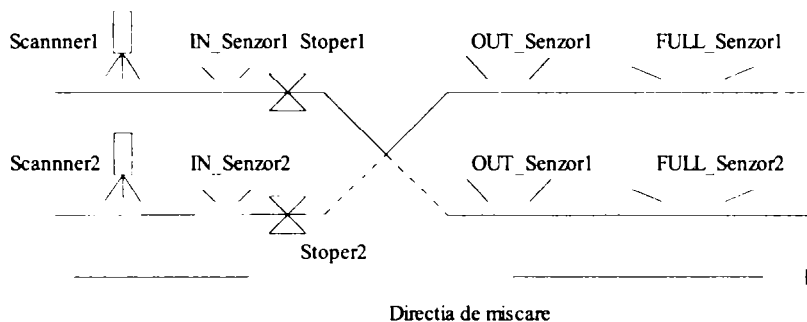


Figura 2.75. Structura de principiu a unui nod cu „două” intrări și „două” ieșiri

2.5.2.5.1. Modelarea nodului cu două intrări și două ieșiri cu ajutorul automatelor

Structura automatului secvențial considerat pentru modelarea unui astfel de nod este prezentată în figura 2.76.

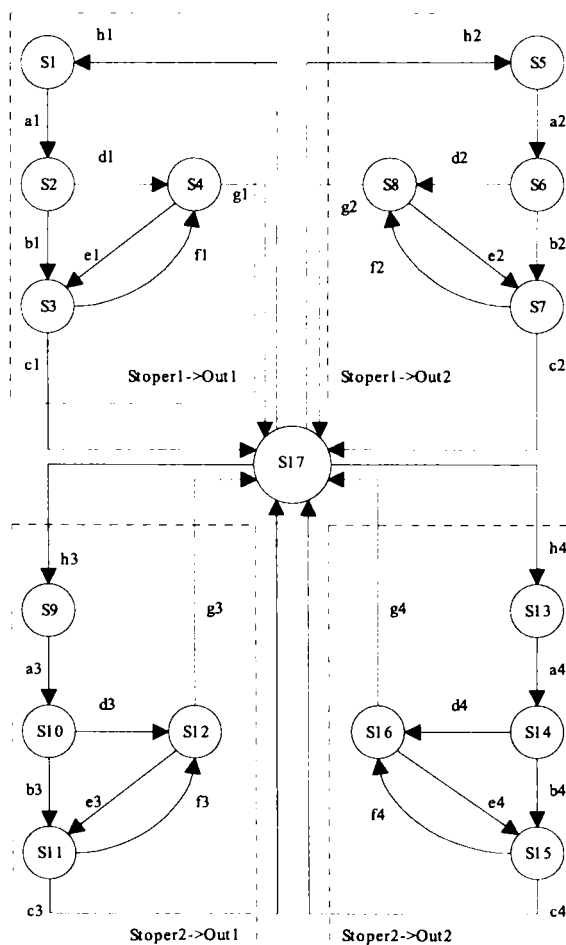


Figura 2.76. Structura automatului secvențial corespunzător nodului cu două intrări și două ieșiri

Dupa cum se poate observa, automatul secvential al nodului este realizat prin sincronizarea a patru automate secventiale AS_{N1} , cate doua pentru fiecare linie de intrare (stoper).

Automatul AS_{N2-2} , corespunzator nodului cu doua intrari si doua iesiri este descris astfel:

- multimea starilor:

$$X = \{S1, S2, S3, S4, S5, S6, S7, S8, S9, S10, S11, S12, S13, S14, S15, S16, S17\}$$

- multimea evenimentelor:

$$\Sigma = \{a1, b1, c1, d1, e1, f1, g1, h1, a2, b2, c2, d2, e2, f2, g2, h2, a3, b3, c3, d3, e3, f3, g3, h3, a4, b4, c4, d4, e4, f4, g4, h4\}$$

- multimile evenimentelor posibile si functiile de tranzitie a starilor:

$$\begin{aligned} \Gamma(S1) &= \{a1\} & \delta(S1, a1) &= S2 \\ \Gamma(S2) &= \{b1, d1\} & \delta(S2, b1) &= S3, & \delta(S2, d1) &= S4 \\ \Gamma(S3) &= \{c1, f1\} & \delta(S3, c1) &= S17, & \delta(S3, f1) &= S4 \\ \Gamma(S4) &= \{e1, g1\} & \delta(S4, e1) &= S3 & \delta(S4, g1) &= S17 \\ \Gamma(S5) &= \{a2\} & \delta(S5, a2) &= S6 \\ \Gamma(S6) &= \{b2, d2\} & \delta(S6, b2) &= S7, & \delta(S6, d2) &= S8 \\ \Gamma(S7) &= \{c2, f2\} & \delta(S7, c2) &= S17, & \delta(S7, f2) &= S8 \\ \Gamma(S8) &= \{e2, g2\} & \delta(S8, e2) &= S7 & \delta(S8, g2) &= S17 \\ \Gamma(S9) &= \{a3\} & \delta(S9, a3) &= S10 \\ \Gamma(S10) &= \{b3, d3\} & \delta(S10, b3) &= S11, & \delta(S10, d3) &= S12 \\ \Gamma(S11) &= \{c3, f3\} & \delta(S11, c3) &= S17, & \delta(S11, f3) &= S12 \\ \Gamma(S12) &= \{e3, g3\} & \delta(S12, e3) &= S11 & \delta(S12, g3) &= S17 \\ \Gamma(S13) &= \{a4\} & \delta(S13, a4) &= S14 \\ \Gamma(S14) &= \{b4, d4\} & \delta(S14, b4) &= S15, & \delta(S14, d4) &= S16 \\ \Gamma(S15) &= \{c4, f4\} & \delta(S15, c4) &= S17, & \delta(S15, f4) &= S16 \\ \Gamma(S16) &= \{e4, g4\} & \delta(S16, e4) &= S15 & \delta(S16, g4) &= S17 \\ \Gamma(S17) &= \{h1, h2, h3, h4\} & \delta(S17, h1) &= S1 & \delta(S17, h2) &= S5 \\ & & & & \delta(S17, h3) &= S9 & \delta(S17, h4) &= S13 \end{aligned}$$

- starea initiala: $x_0 = S17$.

Considerentele legate de transformarea modelului de tip automat in model de tip retea Petri, prezentate la nodul de tip 1 sunt valabile si in cazul nodului cu n intrari si o iesire.

Pentru conversia din model de tip automat in model de tip retea Petri s-a utilizat aceiasi metoda ca si in cazul nodului de tip 1.

Aplicand algoritmul 2.1 rezulta:

- multimea pozitiilor:

$$P = \{p1, p2, p3, p4, p5, p6, p7, p8, p9, p10, p11, p12, p13, p14, p15, p16, p17\},$$

unde

$$\begin{aligned} p1 &= \{S1\}, p2 = \{S2\}, p3 = \{S3\}, p4 = \{S4\}, p5 = \{S5\}, p6 = \{S6\}, p7 = \{S7\}, \\ p8 &= \{S8\}, p9 = \{S9\}, p10 = \{S10\}, p11 = \{S11\}, p12 = \{S12\}, p13 = \{S13\}, \\ p14 &= \{S14\}, p15 = \{S15\}, p16 = \{S16\} \text{ si } p17 = \{S17\} \end{aligned}$$

• multimea trranzitiilor:			
• Pentru $p1$	$(p1,p2)$	$p2=\alpha(p1,t1)$	$t1=\{a1\}$
• Pentru $p2$	$(p2,p3)$	$p3=\alpha(p2,t2)$	$t2=\{b1\}$
	$(p2,p4)$	$p4=\alpha(p2,t4)$	$t4=\{d1\}$
• Pentru $p3$	$(p3,p17)$	$p17=\alpha(p3,t3)$	$t3=\{c1\}$
	$(p3,p4)$	$p4=\alpha(p3,t6)$	$t6=\{f1\}$
• Pentru $p4$	$(p4,p17)$	$p17=\alpha(p4,t7)$	$t7=\{g1\}$
	$(p4,p3)$	$p3=\alpha(p4,t5)$	$t5=\{e1\}$
• Pentru $p5$	$(p5,p6)$	$p6=\alpha(p5,t9)$	$t9=\{a2\}$
• Pentru $p6$	$(p6,p7)$	$p7=\alpha(p6,t10)$	$t10=\{b2\}$
	$(p6,p8)$	$p8=\alpha(p6,t12)$	$t12=\{d2\}$
• Pentru $p7$	$(p7,p17)$	$p17=\alpha(p7,t11)$	$t11=\{c2\}$
	$(p7,p8)$	$p8=\alpha(p7,t14)$	$t14=\{f2\}$
• Pentru $p8$	$(p8,p17)$	$p17=\alpha(p8,t15)$	$t15=\{g2\}$
	$(p8,p7)$	$p7=\alpha(p8,t13)$	$t13=\{e2\}$
• Pentru $p9$	$(p9,p10)$	$p10=\alpha(p9,t17)$	$t17=\{a2\}$
• Pentru $p10$	$(p10,p11)$	$p11=\alpha(p10,t18)$	$t18=\{b2\}$
	$(p10,p12)$	$p12=\alpha(p10,t20)$	$t20=\{d2\}$
• Pentru $p11$	$(p11,p17)$	$p17=\alpha(p11,t19)$	$t19=\{c2\}$
	$(p11,p12)$	$p12=\alpha(p11,t22)$	$t22=\{f2\}$
• Pentru $p12$	$(p12,p17)$	$p17=\alpha(p12,t23)$	$t23=\{g2\}$
	$(p12,p11)$	$p11=\alpha(p12,t21)$	$t21=\{e2\}$
• Pentru $p13$	$(p13,p14)$	$p14=\alpha(p13,t25)$	$t25=\{a2\}$
• Pentru $p14$	$(p14,p15)$	$p15=\alpha(p14,t26)$	$t26=\{b2\}$
	$(p14,p16)$	$p16=\alpha(p14,t28)$	$t28=\{d2\}$
• Pentru $p15$	$(p15,p17)$	$p17=\alpha(p15,t27)$	$t27=\{c2\}$
	$(p15,p16)$	$p16=\alpha(p15,t30)$	$t30=\{f2\}$
• Pentru $p16$	$(p16,p17)$	$p17=\alpha(p16,t31)$	$t31=\{g2\}$
	$(p16,p15)$	$p15=\alpha(p16,t29)$	$t29=\{e2\}$
• Pentru $p17$	$(p17,p1)$	$p1=\alpha(p17,t8)$	$t8=\{h1\}$
	$(p17,p5)$	$p5=\alpha(p17,t16)$	$t16=\{h2\}$
	$(p17,S9)$	$p9=\alpha(p17,t24)$	$t24=\{h3\}$
	$(p17,S13)$	$p13=\alpha(p17,t32)$	$t32=\{h4\}$

Modelarea automatului secvential cu ajutorul retelelor Petri se efectueaza pe utilizand submodele.

In figura 2.77 se prezinta structura submodelului retelei Petri asociata unei directii de miscare (Stoper1->Out1, Stoper1->Out2 Stoper2->Out1 respectiv Stoper2->Out2)

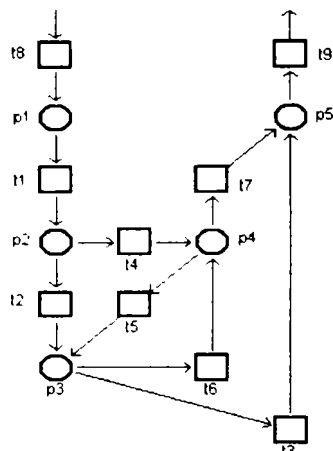


Figura 2.77. Structura rețelei Petri asociată submodelului corespunzător unei direcții

După cum se poate observa, submodelul ales este similar cu cel prezentat în cazul modelării celorlalte tipuri de noduri, cu observația că apare în plus poziția de unificare a ieșirilor tranzițiilor t_3 și t_7 , p_sync , deoarece ambele tranziții au ca destinație aceeași poziție p_{17} .

Analiza structurală și comportamentală a submodelului ales se face introducând poziția care conține marcajul inițial p_{17} . Structura rețelei Petri astfel obținută este prezentată în figura 2.78.

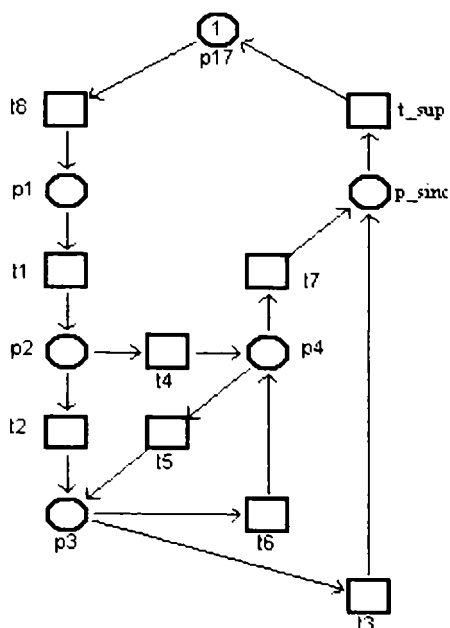


Figura 2.78. Structura rețelei Petri asociată analizei submodelului

Topologia rețelei validată de PNT este prezentată în figura 2.79.

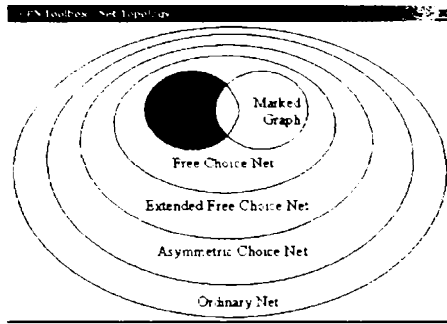


Figura 2.79. Topologia rețelei Petri echivalenta validata de PNT

Reteaua Petri considerata pentru analiza submodelului este formalizata prin cvintuplul:

$$PN_{SUB_AS_N2-2} = (P, T, F, W, M_0)$$

unde:

- $P = \{p_1, p_2, p_3, p_4, p_{17}\} \cup \{p_sinc\}$
- $T = \{t_1, t_2, t_3, t_4, t_5, t_6, t_7, t_8\} \cup \{t_sup\}$
- $F = \{(p_1, t_1), (p_2, t_2), (p_2, t_4), (p_3, t_6), (p_3, t_3), (p_4, t_5), (p_4, t_7), (p_{17}, t_8), (p_sinc, t_sup)\} \cup \{(t_1, p_2), (t_2, p_3), (t_3, p_sinc), (t_4, p_4), (t_5, p_3), (t_6, p_4), (t_7, p_sinc), (t_8, p_1), (t_sup, p_{17})\}$
- $W(p_1, t_1) = 1, W(p_2, t_2) = 1, W(p_2, t_4) = 1, W(p_3, t_6) = 1, W(p_3, t_3) = 1, W(p_4, t_5) = 1, W(p_4, t_7) = 1, W(p_{17}, t_8) = 1, W(p_sinc, t_sup) = 1,$
- $W(t_1, p_2) = 1, W(t_2, p_3) = 1, W(t_3, p_sinc) = 1, W(t_4, p_4) = 1, W(t_5, p_3) = 1, W(t_6, p_4) = 1, W(t_7, p_sinc) = 1, W(t_8, p_1) = 1, W(t_sup, p_{17}) = 1$
- $M_0 = [0, 0, 0, 0, 0, 0, 0, 0, 0, 0, 0, 0, 0, 0, 0, 0, 1]^T$

Matricile de incidență sunt.

Matricea de incidenta de intrare:

$$A_{Ii} = \begin{pmatrix} 1 & 0 & 0 & 0 & 0 & 0 \\ 0 & 1 & 0 & 0 & 0 & 0 \\ 0 & 0 & 1 & 0 & 0 & 0 \\ 0 & 1 & 0 & 0 & 0 & 0 \\ 0 & 0 & 0 & 1 & 0 & 0 \\ 0 & 0 & 1 & 0 & 0 & 0 \\ 0 & 0 & 0 & 1 & 0 & 0 \\ 0 & 0 & 0 & 0 & 0 & 1 \\ 0 & 0 & 0 & 0 & 1 & 0 \end{pmatrix}$$

Matricea de incidenta de iesire:

$$A_{Oi} = \begin{pmatrix} 0 & 1 & 0 & 0 & 0 & 0 \\ 0 & 0 & 1 & 0 & 0 & 0 \\ 0 & 0 & 0 & 0 & 1 & 0 \\ 0 & 0 & 0 & 1 & 0 & 0 \\ 0 & 0 & 1 & 0 & 0 & 0 \\ 0 & 0 & 0 & 1 & 0 & 0 \\ 0 & 0 & 0 & 0 & 1 & 0 \\ 1 & 0 & 0 & 0 & 0 & 0 \\ 0 & 0 & 0 & 0 & 0 & 1 \end{pmatrix}$$

Matricea de incidenta:

$$A_i = A_{O_i} - A_{I_i} = \begin{pmatrix} -1 & 1 & 0 & 0 & 0 & 0 \\ 0 & -1 & 1 & 0 & 0 & 0 \\ 0 & 0 & -1 & 0 & 1 & 0 \\ 0 & -1 & 0 & 1 & 0 & 0 \\ 0 & 0 & 1 & -1 & 0 & 0 \\ 0 & 0 & -1 & 1 & 0 & 0 \\ 0 & 0 & 0 & -1 & 1 & 0 \\ 1 & 0 & 0 & 0 & 0 & -1 \\ 0 & 0 & 0 & 0 & -1 & 1 \end{pmatrix}$$

Arborele de acoperire corespunzator este prezentat in figura 2.80.

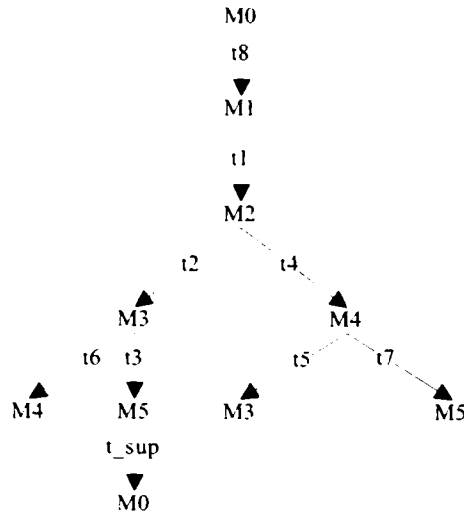


Figura 2.80. Arborele de acoperire al rețelei Petri $PN_{SUB_AS_N2-2}$

Unde:

$$M_0=(0,0,0,0,0,1); \quad M_1=(1,0,0,0,0,0); \quad M_2=(0,1,0,0,0,0); \quad M_3=(0,0,1,0,0,0); \\ M_4=(0,0,0,1,0,0); \quad M_5=(0,0,0,0,1,0).$$

Studiind proprietatile comportamentale ale rețelei Petri $PN_{SUB_AS_N2-2}$, pe baza arborelui de acoperire rezulta:

- rețeaua este *marginita* (simbolul ω nu apare in arborele de acoperire);
- rețeaua este *sigura* (marcajele din toate nodurile arborelui de acoperire contin numai „0” si „1”);
- rețeaua *nu este blocanta* (toate tranzitiile au asociate arce in arborele de acoperire);
- rețeaua este *accesibila* (orice marcaj poate fi atins pornind din M_0).

Graful de acoperire corespunzator este prezentat in figura 2.81.

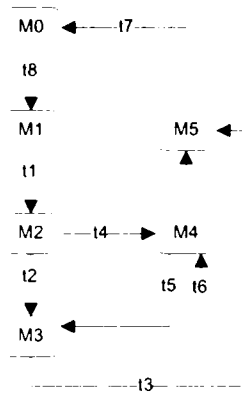


Figura 2.81. Graful de acoperire al rețelei Petri $PN_{SUB_AS_N2-2}$

Structura rezultata pentru graful de acoperire confirma ca submodelul de retea Petri derivata din modelul de tip automat corespunzator nodului cu *doua* intrari si *doua* iesiri este accesibila.

Concluzionand, se poate afirma ca submodelul ales este viabil din punct de vedere comportamental.

Analiza rețelei Petri $PN_{SUB_AS_N2-2}$ din punct de vedere structural se face pe baza analizei existentei invariantilor de tip P respectiv T .

Pentru determinarea numarului de invarianti P respectiv T s-a aplicat teorema 2.3 (Determinarea numarului de invarianti). Rangul matricei A este: $\text{rang } A = 5$

Rezulta ca rețeaua Petri $PN_{SUB_AS_N2-2}$ este acoperita de 1 invariant de tip P , respectiv 4 invarianti de tip T .

In figurile 2.82 si 2.83 se prezinta invariantii de tip P respectiv T obtinuti in urma simulării rețelei Petri $PN_{SUB_AS_N2-2}$ cu ajutorul PNT-ului.

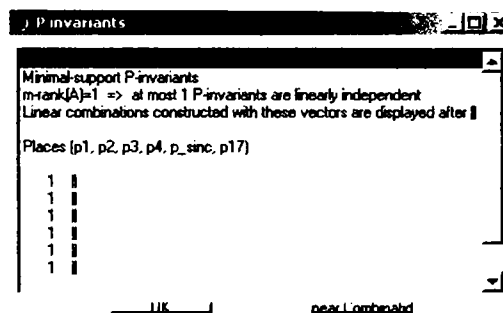


Figura 2.82. Invariantii de tip P obtinuti cu ajutorul PNT

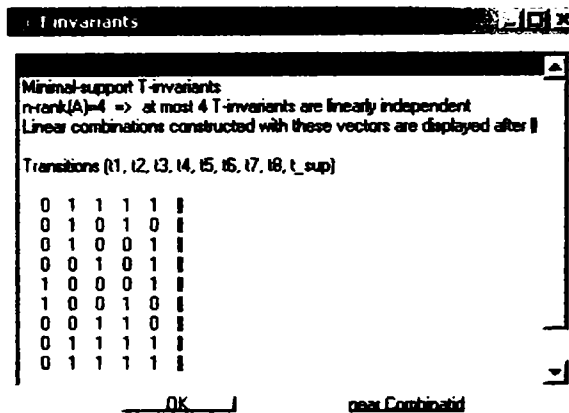


Figura 2.83. Invariantii de tip T obtinuti cu ajutorul PNT

Conform teoremelor 2.6 respectiv 2.7, rețeaua Petri $PN_{SUB_AS_N2-2}$ este conservativa și structural marginita, respectiv este consistenta și repetitiva.

În acest moment, se poate concluziona că structura aleasă pentru submodelul ales corespunzător nodului cu două intrări și două ieșiri este viabilă, ea putând fi utilizată în modelarea întregului nod, fiind siguri că nu există condiții de apariție a blocajelor sau a apariției de situații necontrolabile.

Rețeaua Petri rezultată prin utilizarea submodelului definit anterior este prezentată în figura 2.84.

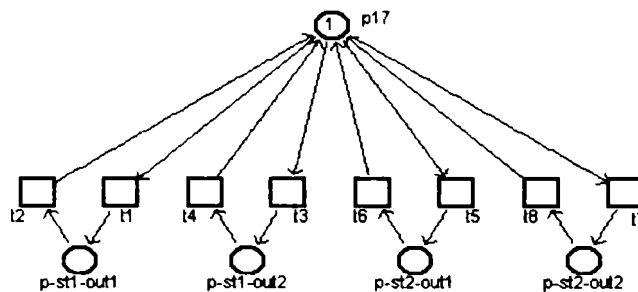


Figura 2.84. Rețeaua Petri corespunzătoare modelării nodului două intrări două ieșiri derivată din automatul secvențial AS_N2-2

Topologia rețelei validată de PNT este prezentată în figura 2.85.



Figura 2.85. Topologia rețelei Petri echivalentă validată de PNT

Reteaua Petri considerata pentru analiza submodelului este formalizata prin cvintuplul:

$$PN_AS_N2 - 2 = (P, T, F, W, M_0)$$

unde:

- $P = \{p - st1 - out1, p - st2 - out2, p - st2 - out1, p - st2 - out2, p_{17}\}$
- $T = \{t_1, t_2, t_3, t_4, t_5, t_6, t_7, t_8\}$
- $F = \{(p - st1 - out1, t_2), (p - st1 - out2, t_4), (p - st2 - out1, t_6), (p - st2 - out2, t_8), (p_{17}, t_1), (p_{17}, t_3), (p_{17}, t_5), (p_{17}, t_7)\} \cup \{(t_1, p - st1 - out1), (t_2, p_{17}), (t_3, p - st1 - out2), (t_4, p_{17}), (t_5, p - st2 - out1), (t_6, p_{17}), (t_7, p - st2 - out2), (t_8, p_{17})\}$
- $W(p - st1 - out1, t_2) = 1, W(p - st1 - out2, t_4) = 1, W(p - st2 - out1, t_6) = 1, W(p - st2 - out2, t_8) = 1, W(p_{17}, t_1) = 1, W(p_{17}, t_3) = 1, W(p_{17}, t_5) = 1, W(p_{17}, t_7) = 1, W(t_1, p - st1 - out1) = 1, W(t_2, p_{17}) = 1, W(t_3, p - st1 - out2) = 1, W(t_4, p_{17}) = 1, W(t_5, p - st2 - out1) = 1, W(t_6, p_{17}) = 1, W(t_7, p - st2 - out2) = 1, W(t_8, p_{17}) = 1$
- $M_0 = [0, 0, 0, 0, 1]^T$

Matricile de incidență sunt.

Matricea de incidenta de intrare:

$$A_{Ii} = \begin{pmatrix} 0 & 0 & 0 & 0 & 1 \\ 1 & 0 & 0 & 0 & 0 \\ 0 & 0 & 0 & 0 & 1 \\ 0 & 1 & 0 & 0 & 0 \\ 0 & 0 & 0 & 0 & 1 \\ 0 & 0 & 1 & 0 & 0 \\ 0 & 0 & 0 & 0 & 1 \\ 0 & 0 & 0 & 1 & 0 \end{pmatrix}$$

Matricea de incidenta de iesire:

$$A_{Oi} = \begin{pmatrix} 1 & 0 & 0 & 0 & 0 \\ 0 & 0 & 0 & 0 & 1 \\ 0 & 1 & 0 & 0 & 0 \\ 0 & 0 & 0 & 0 & 1 \\ 0 & 0 & 1 & 0 & 0 \\ 0 & 0 & 0 & 0 & 1 \\ 0 & 0 & 0 & 1 & 0 \\ 0 & 0 & 0 & 0 & 1 \end{pmatrix}$$

Matricea de incidenta:

$$A_i = A_{Oi} - A_{Ii} = \begin{pmatrix} 1 & 0 & 0 & 0 & -1 \\ -1 & 0 & 0 & 0 & 1 \\ 0 & 1 & 0 & 0 & -1 \\ 0 & -1 & 0 & 0 & 1 \\ 0 & 0 & 1 & 0 & -1 \\ 0 & 0 & -1 & 0 & 1 \\ 0 & 0 & 0 & 1 & -1 \\ 0 & 0 & 0 & -1 & 1 \end{pmatrix}$$

Arborele de acoperire corespunzator este prezentat in figura 2.86.

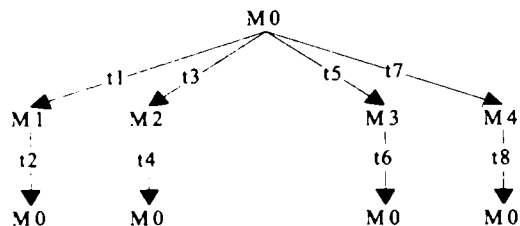


Figura 2.86. Arborele de acoperire al rețelei Petri $PN_{SUB_AS_N2-2}$

Unde:

$M0=(0,0,0,0,1)$; $M1=(1,0,0,0,0)$; $M2=(0,1,0,0,0)$; $M3=(0,0,1,0,0)$;

$M4=(0,0,0,1,0)$.

Studiind proprietatile comportamentale ale rețelei Petri PN_{AS_N2-2} , pe baza arborelui de acoperire rezulta:

- rețeaua este *marginita* (simbolul ω nu apare în arborele de acoperire);
- rețeaua este *sigura* (marcajele din toate nodurile arborelui de acoperire conțin numai „0” și „1”);
- rețeaua *nu este blocanta* (toate tranzitiile au asociate arce în arborele de acoperire);
- rețeaua este *acesibila* (orice marcaj poate fi atins pornind din M_0).

Graful de acoperire corespunzător este prezentat în figura 2.87.

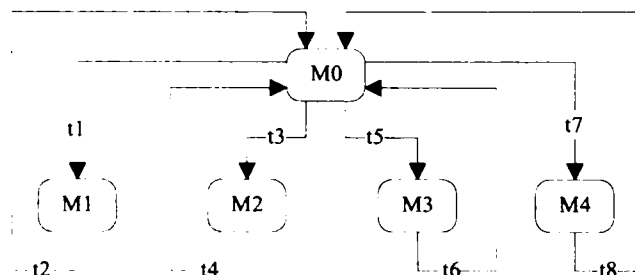


Figura 2.87. Graful de acoperire al rețelei Petri PN_{AS_N2-2}

Structura rezultată pentru graful de acoperire confirmă că rețeaua Petri obținută cu ajutorul submodelelor corespunzătoare automatului secvențial al nodului cu *două* intrări și *două* ieșiri este *acesibila*.

Concluzionand, se poate afirma că modelul ales este *viabil* din punct de vedere comportamental.

Analiza rețelei Petri PN_{AS_N2-2} din punct de vedere structural se face pe baza analizei existenței invariantilor de tip P respectiv T .

Pentru determinarea numărului de invarianti P respectiv T , aplicând aceeași procedură ca și în cazul anterior a rezultat $\text{rang } A = 5$, rețeaua Petri $PN_{SUB_AS_N2-2}$ fiind acoperită de 1 invariant de tip P , respectiv de 4 invarianti de tip T .

În figurile 2.88 și 2.89 se prezintă invariantii de tip P respectiv T obținuți în urma simulării rețelei Petri PN_{AS_N2-2} cu ajutorul PNT-ului.

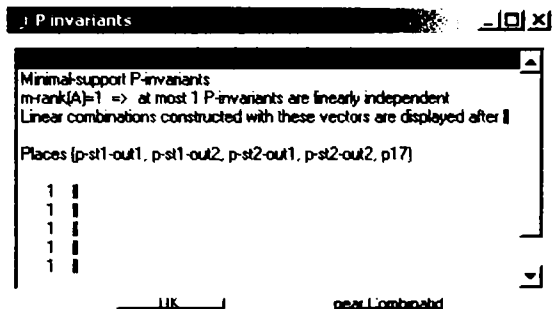


Figura 2.88. Invariantii de tip P obtinuti cu ajutorul PNT

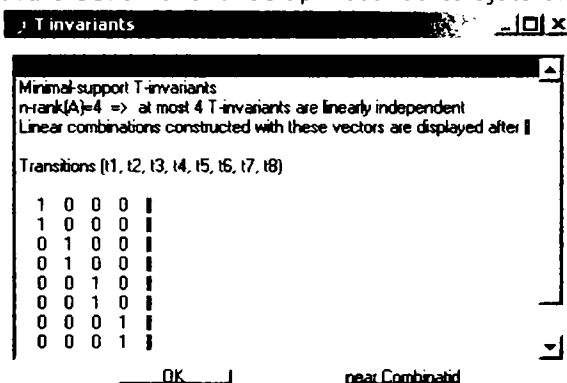


Figura 2.89. Invariantii de tip T obtinuti cu ajutorul PNT

Conform teoremelor 2.6 respectiv 2.7 rețeaua Petri PN_{AS_N2-2} este conservativa și structural marginită, respectiv este consistentă și repetitivă.

În final se poate concluziona că structura aleasă pentru un automat secvențial clasic corespunzător nodului cu două intrări și două ieșiri este viabilă, ea putând fi implementată, fiind siguri că nu există condiții de apariție a blocajelor sau a apariției de situații necontrolabile.

2.5.2.5.2. Modelarea nodului cu două intrări și două ieșiri cu ajutorul rețelelor Petri [UP06b][Ung06c]

2.5.2.5.2.1. Cazul: rețea Petri netemporalizată

Structura rețelei Petri considerate pentru modelarea unui atfel de nod prezentată în figura 2.90.

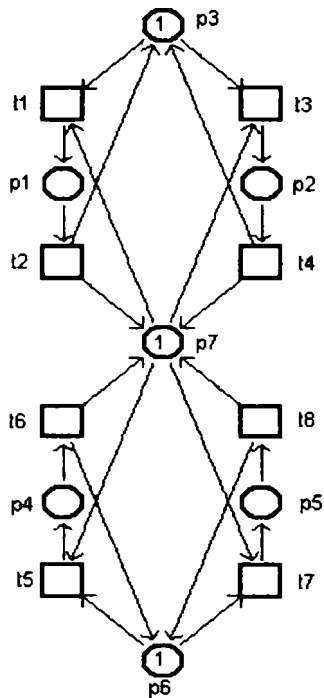


Figura 2.90. Structura rețelei Petri corespunzătoare nodului cu două intrări și două ieșiri

În cazul rețelei rezultate pozițiile p_1, p_2, p_4 și p_5 reprezintă submodelul ales pentru controlul unei direcții dintr-un stoper. Pozițiile p_3 și p_6 reprezintă subrețelele alese pentru modelarea scanerelor iar poziția p_7 este poziția de sincronizare. Structurile și analizele corespunzătoare subrețelelor (a submodelelor) vor fi prezentate după analiza rețelei din figura 2.79.

Astfel, topologia rețelei Petri corespunzătoare modelării nodului cu două intrări și două ieșiri validată de PNT este prezentată în figura 2.91.

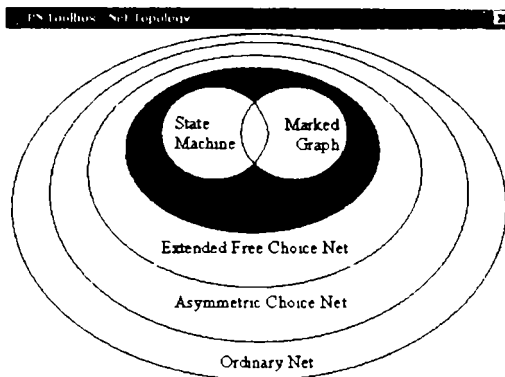


Figura 2.91. Topologia rețelei Petri validată de TPN

Reteaua Petri considerată este formalizată prin cvintuplul:

$$PN_PT_N2 - 2 = (P, T, F, W, M_0)$$

unde:

- $P = \{p_1, p_2, p_3, p_4, p_5, p_6, p_7\}$
- $T = \{t_1, t_2, t_3, t_4, t_5, t_6, t_7, t_8\}$
- $F = \{(p_1, t_2), (p_2, t_4), (p_3, t_1), (p_3, t_3), (p_4, t_6), (p_5, t_8), (p_6, t_5), (p_6, t_7), (p_7, t_1), (p_7, t_3), (p_7, t_5), (p_7, t_7)\} \cup$
 $\{(t_1, p_1), (t_2, p_3), (t_2, p_7), (t_3, p_2), (t_4, p_3), (t_4, p_7), (t_5, p_4), (t_6, p_6), (t_6, p_7), (t_7, p_5), (t_8, p_6), (t_8, p_7)\}$
- $W(p_1, t_2) = 1, W(p_2, t_4) = 1, W(p_3, t_1) = 1, W(p_3, t_3) = 1, W(p_4, t_6) = 1,$
 $W(p_5, t_8) = 1, W(p_6, t_5) = 1, W(p_6, t_7) = 1, W(p_7, t_1) = 1, W(p_7, t_3) = 1,$
 $W(p_7, t_5) = 1, W(p_7, t_7) = 1, W(t_1, p_1) = 1, W(t_2, p_3) = 1, W(t_2, p_7) = 1,$
 $W(t_3, p_2) = 1, W(t_4, p_3) = 1, W(t_4, p_7) = 1, W(t_5, p_4) = 1, W(t_6, p_6) = 1,$
 $W(t_6, p_7) = 1, W(t_7, p_5) = 1, W(t_8, p_6) = 1, W(t_8, p_7) = 1$
- $M_0 = [0, 0, 1, 0, 0, 1, 1]^T$

Matricile de incidenta sunt:

Matricea de incidenta de intrare:

$$A_{Ii} = \begin{pmatrix} 0 & 0 & 1 & 0 & 0 & 0 & 1 \\ 1 & 0 & 0 & 0 & 0 & 0 & 0 \\ 0 & 0 & 1 & 0 & 0 & 0 & 1 \\ 0 & 1 & 0 & 0 & 0 & 0 & 0 \\ 0 & 0 & 0 & 0 & 0 & 1 & 1 \\ 0 & 0 & 0 & 1 & 0 & 0 & 0 \\ 0 & 0 & 0 & 0 & 0 & 1 & 1 \\ 0 & 0 & 0 & 0 & 1 & 0 & 0 \end{pmatrix}$$

Matricea de incidenta de iesire:

$$A_{Oi} = \begin{pmatrix} 1 & 0 & 0 & 0 & 0 & 0 & 0 \\ 0 & 0 & 1 & 0 & 0 & 0 & 1 \\ 0 & 1 & 0 & 0 & 0 & 0 & 0 \\ 0 & 0 & 1 & 0 & 0 & 0 & 1 \\ 0 & 0 & 0 & 1 & 0 & 0 & 0 \\ 0 & 0 & 0 & 0 & 0 & 1 & 1 \\ 0 & 0 & 0 & 0 & 1 & 0 & 0 \\ 0 & 0 & 0 & 0 & 1 & 1 \end{pmatrix}$$

Matricea de incidenta:

$$A_i = A_{Oi} - A_{Ii} = \begin{pmatrix} 1 & 0 & -1 & 0 & 0 & 0 & -1 \\ -1 & 0 & 1 & 0 & 0 & 0 & 1 \\ 0 & 1 & -1 & 0 & 0 & 0 & -1 \\ 0 & -1 & 1 & 0 & 0 & 0 & 1 \\ 0 & 0 & 0 & 1 & 0 & -1 & -1 \\ 0 & 0 & 0 & -1 & 0 & 1 & 1 \\ 0 & 0 & 0 & 0 & 1 & -1 & -1 \\ 0 & 0 & 0 & 0 & -1 & 1 & 1 \end{pmatrix}$$

Arborele de acoperire corespunzator rețelei Petri PN_{PT_N2-2} este prezentat in figura 2.92.

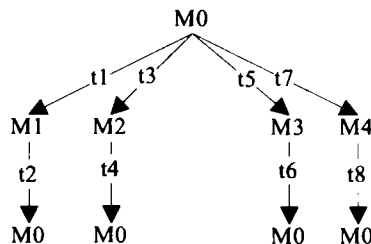


Figura 2.92. Arborele de acoperire corespunzator PN_{PT_N2-2}

Unde:

$M_0=(0,0,1,0,0,1,1)$;

$M_1=(1,0,0,0,0,1,0)$;

$M_2=(0,1,0,0,0,1,0)$;

$M_3=(1,0,0,1,0,0,0)$;

$M_4=(1,0,0,0,1,0,0)$.

Studiind proprietatile comportamentale ale rețelei Petri PN_{PT_N2-2} , pe baza arborelui de acoperire rezulta:

- rețeaua este *marginita* (simbolul ω nu apare în arborele de acoperire);
- rețeaua este *sigura* (marcajele din toate nodurile arborelui de acoperire conțin numai „0” și „1”);
- rețeaua *nu este blocanta* (toate tranzitiile au asociate arce în arborele de acoperire);
- rețeaua este *accesibila* (orice marcaj poate fi atins pornind din M_0).

Graful de acoperire corespunzător este prezentat în figura 2.93.

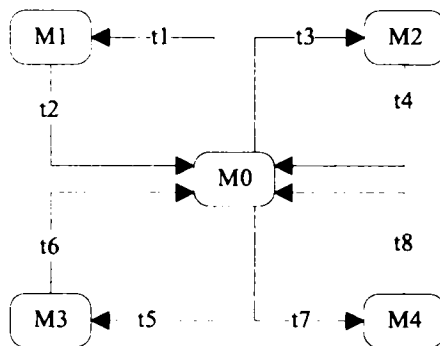


Figura 2.93. Graful de acoperire al rețelei Petri PN_{PT_N2-2}

Structura rezultată pentru graful de acoperire confirmă că modelul de rețea Petri corespunzător nodului cu două intrări și două ieșiri este *acesibil*.

Concluzionând, se poate afirma că modelul ales este *viabil* din punct de vedere comportamental.

Analiza rețelei Petri PN_{PT_N2-2} din punct de vedere structural se face pe baza analizei existenței invariantilor de tip P respectiv T .

Pentru determinarea numărului de invarianti P respectiv T s-a aplicat teorema 2.3, rangul matricei A fiind $\text{rang } A = 4$.

Rezultă că rețeaua Petri PN_{PT_N2-2} este acoperită de 3 invarianti de tip P , respectiv 4 invarianti de tip T .

În figurile 2.94 și 2.95 se prezintă invariantii de tip P respectiv T obținuți în urma simulării rețelei Petri PN_{PT_N2-2} cu ajutorul PNT-ului.

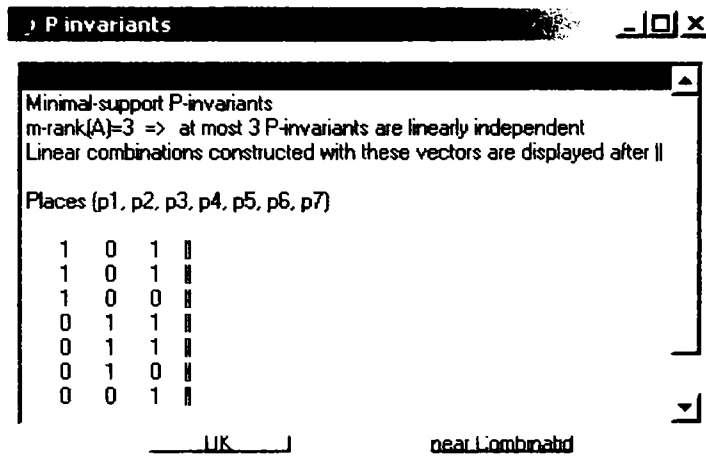


Figura 2.94. Invariantii de tip P obtinuti cu ajutorul PNT

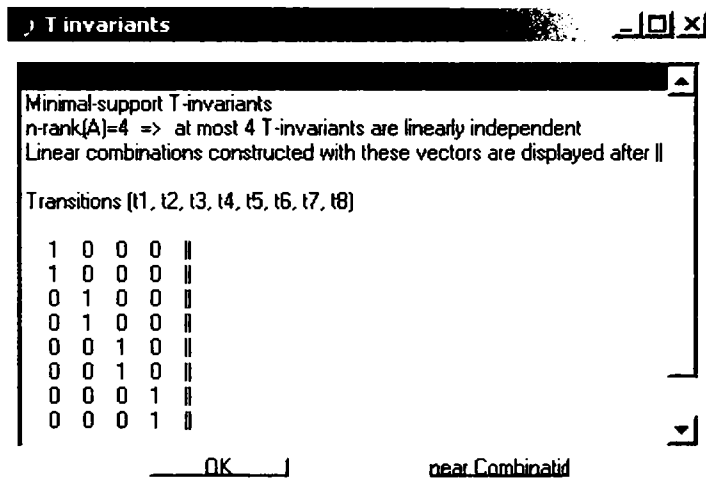


Figura 2.95. Invariantii de tip T obtinuti cu ajutorul PNT

Conform teoremelor 2.6 respectiv 2.7 rețeaua Petri PN_{PT_N2-2} este conservativa și structural marginită, respectiv este consistentă și repetitivă.

Pentru validarea în totalitate a rezultatelor obținute în continuare se analizează submodelele utilizate.

Conform cu cele prezentate mai sus, au fost stabilite două tipuri de submodele: unul pentru modelarea unei direcții de mișcare și altul pentru modelarea operației de identificare (scanare).

Submodelul unei direcții de mișcare

Submodelul ales pentru modelarea unei direcții de mișcare este prezentat în figura 2.96.

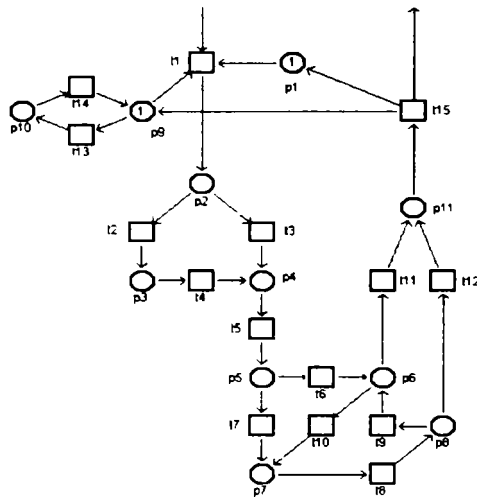


Figura 2.96. Submodelul de tip retea Petri pentru o directie de miscare

Dupa cum se poate observa, submodelul reprezinta varianta „clasica” de modelare a unui nod de tip 1 (a unei directii de miscare), avand in plus o pozitie de unificare a tranzitilor t_{11} si t_{12} , p_{11} si o tranzitie finala t_{15} , fapt care nu schimba cu nimic functionarea si topologia retelei.

Analiza submodelului propus se face cu ajutorul retelei din figura 2.97.

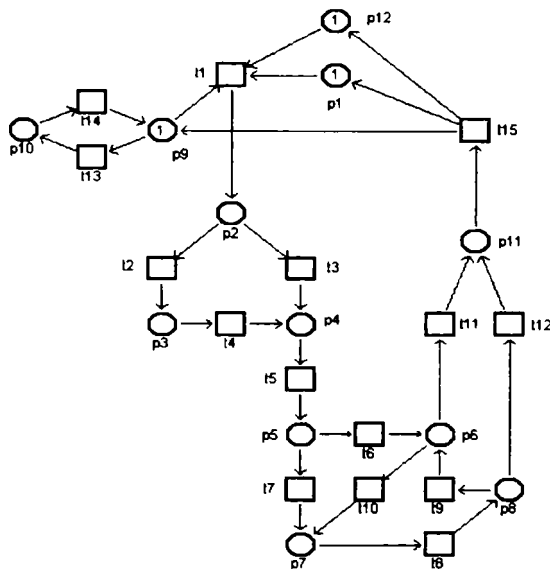


Figura 2.97. Reteaua Petri utilizata in analiza submodelului corespunzator unei directii

Se observa ca in plus fata de submodelul ales (figura 2.96) apar pozitia p_{12} , care este conectata exact ca si pozitia p_1 . Rolul acestei pozitii suplimentare este acela de a simula „exteriorul” submodelului.

Topologia retelei Petri corespunzatoare submodelului stabilit pentru o directie de miscare validata de PNT este prezentata in figura 2.98.

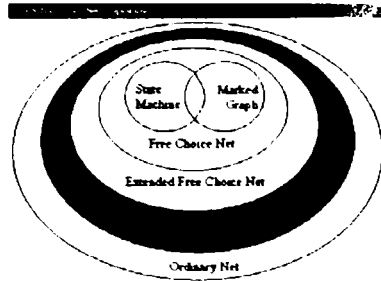


Figura 2.98. Topologia rețelei Petri validata de TPN

Reteaua Petri considerata este formalizata prin cvintuplul:

$$PN_{SUB_PTDIR_N2-2} = (P, T, F, W, M_0)$$

unde:

- $P = \{p_1, p_2, p_3, p_4, p_5, p_6, p_7, p_8, p_9, p_{10}, p_{11}, p_{12}\}$
- $T = \{t_1, t_2, t_3, t_4, t_5, t_6, t_7, t_8, t_9, t_{10}, t_{11}, t_{12}, t_{13}, t_{14}, t_{15}\}$
- $F = \{(p_1, t_1), (p_2, t_2), (p_2, t_3), (p_3, t_4), (p_4, t_5), (p_5, t_6), (p_5, t_7), (p_6, t_{10}), (p_6, t_{11}), (p_7, t_8), (p_8, t_9), (p_8, t_{12}), (p_9, t_{13}), (p_{10}, t_{14}), (p_{11}, t_{15}), (p_{12}, t_1)\} \cup$
 $\{(t_1, p_2), (t_2, p_3), (t_3, p_4), (t_4, p_4), (t_5, p_5), (t_6, p_6), (t_7, p_7), (t_8, p_8), (t_9, p_6), (t_{10}, p_7), (t_{11}, p_{11}), (t_{12}, p_{11}), (t_{13}, p_{10}), (t_{14}, p_9), (t_{15}, p_1), (t_{15}, p_9), (t_{15}, p_{12})\}$
- $W(p_1, t_1) = 1, W(p_2, t_2) = 1, W(p_2, t_3) = 1, W(p_3, t_4) = 1, W(p_4, t_5) = 1, W(p_5, t_6) = 1, W(p_5, t_7) = 1, W(p_6, t_{10}) = 1, W(p_6, t_{11}) = 1, W(p_7, t_8) = 1, W(p_8, t_9) = 1, W(p_8, t_{12}) = 1, W(p_9, t_{13}) = 1, W(p_{10}, t_{14}) = 1,$
 $W(p_{11}, t_{15}) = 1, W(p_{12}, t_1) = 1, W(t_1, p_2) = 1, W(t_2, p_3) = 1, W(t_3, p_4) = 1, W(t_4, p_4) = 1, W(t_5, p_5) = 1, W(t_6, p_6) = 1, W(t_7, p_7) = 1, W(t_8, p_8) = 1, W(t_9, p_6) = 1, W(t_{10}, p_7) = 1, W(t_{11}, p_{11}) = 1, W(t_{12}, p_{11}) = 1, W(t_{13}, p_{10}) = 1, W(t_{14}, p_9) = 1, W(t_{15}, p_1) = 1, W(t_{15}, p_9) = 1, W(t_{15}, p_{12}) = 1$
- $M_0 = [1, 0, 0, 0, 0, 0, 0, 0, 0, 1, 0, 0, 1]^T$

Matricile de incidenta sunt:

Matricea de incidenta de intrare:

$$A_{in} = \begin{bmatrix} 1 & 0 & 0 & 0 & 0 & 0 & 0 & 0 & 0 & 1 & 0 & 0 & 1 \\ 0 & 1 & 0 & 0 & 0 & 0 & 0 & 0 & 0 & 0 & 0 & 0 & 0 \\ 0 & 1 & 0 & 0 & 0 & 0 & 0 & 0 & 0 & 0 & 0 & 0 & 0 \\ 0 & 0 & 1 & 0 & 0 & 0 & 0 & 0 & 0 & 0 & 0 & 0 & 0 \\ 0 & 0 & 0 & 1 & 0 & 0 & 0 & 0 & 0 & 0 & 0 & 0 & 0 \\ 0 & 0 & 0 & 0 & 1 & 0 & 0 & 0 & 0 & 0 & 0 & 0 & 0 \\ 0 & 0 & 0 & 0 & 0 & 1 & 0 & 0 & 0 & 0 & 0 & 0 & 0 \\ 0 & 0 & 0 & 0 & 0 & 0 & 1 & 0 & 0 & 0 & 0 & 0 & 0 \\ 0 & 0 & 0 & 0 & 0 & 0 & 0 & 1 & 0 & 0 & 0 & 0 & 0 \\ 0 & 0 & 0 & 0 & 0 & 0 & 0 & 0 & 1 & 0 & 0 & 0 & 0 \\ 0 & 0 & 0 & 0 & 0 & 0 & 0 & 0 & 0 & 1 & 0 & 0 & 0 \\ 0 & 0 & 0 & 0 & 0 & 0 & 0 & 0 & 0 & 0 & 1 & 0 & 0 \\ 0 & 0 & 0 & 0 & 0 & 0 & 0 & 0 & 0 & 0 & 0 & 1 & 0 \\ 0 & 0 & 0 & 0 & 0 & 0 & 0 & 0 & 0 & 0 & 0 & 0 & 1 \end{bmatrix}$$

Matricea de incidenta de iesire:

$$A_{out} = \begin{bmatrix} 0 & 1 & 0 & 0 & 0 & 0 & 0 & 0 & 0 & 0 & 0 & 0 & 0 \\ 0 & 0 & 1 & 0 & 0 & 0 & 0 & 0 & 0 & 0 & 0 & 0 & 0 \\ 0 & 0 & 0 & 1 & 0 & 0 & 0 & 0 & 0 & 0 & 0 & 0 & 0 \\ 0 & 0 & 0 & 0 & 1 & 0 & 0 & 0 & 0 & 0 & 0 & 0 & 0 \\ 0 & 0 & 0 & 0 & 0 & 1 & 0 & 0 & 0 & 0 & 0 & 0 & 0 \\ 0 & 0 & 0 & 0 & 0 & 0 & 1 & 0 & 0 & 0 & 0 & 0 & 0 \\ 0 & 0 & 0 & 0 & 0 & 0 & 0 & 1 & 0 & 0 & 0 & 0 & 0 \\ 0 & 0 & 0 & 0 & 0 & 0 & 0 & 0 & 1 & 0 & 0 & 0 & 0 \\ 0 & 0 & 0 & 0 & 0 & 0 & 0 & 0 & 0 & 1 & 0 & 0 & 0 \\ 0 & 0 & 0 & 0 & 0 & 0 & 0 & 0 & 0 & 0 & 1 & 0 & 0 \\ 0 & 0 & 0 & 0 & 0 & 0 & 0 & 0 & 0 & 0 & 0 & 1 & 0 \\ 0 & 0 & 0 & 0 & 0 & 0 & 0 & 0 & 0 & 0 & 0 & 0 & 1 \\ 0 & 0 & 0 & 0 & 0 & 0 & 0 & 0 & 0 & 0 & 0 & 0 & 0 & 1 \end{bmatrix}$$

Matricea de incidenta:

$$A_i = A_{O_i} - A_{I_i} = \begin{pmatrix} -1 & 1 & 0 & 0 & 0 & 0 & 0 & 0 & 0 & -1 & 0 & 0 & -1 \\ 0 & -1 & 1 & 0 & 0 & 0 & 0 & 0 & 0 & 0 & 0 & 0 & 0 \\ 0 & -1 & 0 & 1 & 0 & 0 & 0 & 0 & 0 & 0 & 0 & 0 & 0 \\ 0 & 0 & -1 & 1 & 0 & 0 & 0 & 0 & 0 & 0 & 0 & 0 & 0 \\ 0 & 0 & 0 & -1 & 1 & 0 & 0 & 0 & 0 & 0 & 0 & 0 & 0 \\ 0 & 0 & 0 & 0 & -1 & 1 & 0 & 0 & 0 & 0 & 0 & 0 & 0 \\ 0 & 0 & 0 & 0 & 0 & -1 & 0 & 1 & 0 & 0 & 0 & 0 & 0 \\ 0 & 0 & 0 & 0 & 0 & 0 & -1 & 1 & 0 & 0 & 0 & 0 & 0 \\ 0 & 0 & 0 & 0 & 0 & 0 & -1 & 1 & 0 & 0 & 0 & 0 & 0 \\ 0 & 0 & 0 & 0 & 0 & 0 & -1 & 0 & 0 & 0 & 0 & 1 & 0 \\ 0 & 0 & 0 & 0 & 0 & 0 & 0 & -1 & 0 & 0 & 1 & 0 & 0 \\ 0 & 0 & 0 & 0 & 0 & 0 & 0 & 0 & -1 & 1 & 0 & 0 & 0 \\ 0 & 0 & 0 & 0 & 0 & 0 & 0 & 0 & 0 & 1 & -1 & 0 & 0 \\ 1 & 0 & 0 & 0 & 0 & 0 & 0 & 0 & 0 & 1 & 0 & -1 & 1 \end{pmatrix}$$

Arborele de acoperire corespunzator rețelei Petri $PN_{SUB_PT_{DIR_N2-2}}$ este prezentat in figura 2.99.

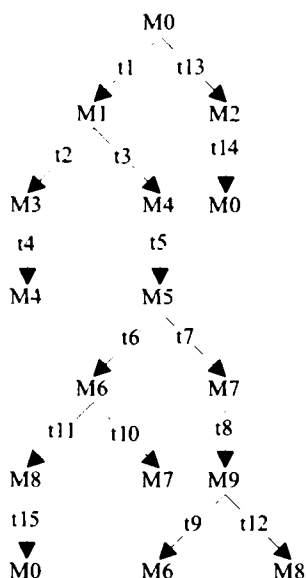


Figura 2.99. Arborele de acoperire corespunzator $PN_{SUB_PT_{DIR_N2-2}}$

Unde:

$M0=(1,0,0,0,0,0,0,0,1,0,0,1);$

$M1=(0,1,0,0,0,0,0,0,0,0,0,0);$

$M2=(0,0,0,0,0,0,0,0,0,1,0,0);$

$M3=(0,0,1,0,0,0,0,0,0,0,0,0);$

$M4=(0,0,0,1,0,0,0,0,0,0,0,0);$

$M5=(0,0,0,0,1,0,0,0,0,0,0,0);$

$M_6=(0,0,0,0,0,1,0,0,0,0,0,0);$
 $M_7=(0,0,0,0,0,0,1,0,0,0,0,0);$
 $M_8=(0,0,0,0,0,0,0,0,0,0,1,0);$
 $M_9=(0,0,0,0,0,0,0,1,0,0,0,0)$

Studiind proprietatile comportamentale ale rețelei Petri $PN_{SUB_PT_{DIR_N2-2}}$, pe baza arborelui de acoperire rezulta:

- rețeaua este *marginita* (simbolul ω nu apare în arborele de acoperire);
- rețeaua este *sigura* (marcajele din toate nodurile arborelui de acoperire conțin numai „0” și „1”);
- rețeaua *nu este blocanta* (toate tranzițiile au asociate arce în arborele de acoperire);
- rețeaua este *accesibilă* (orice marcaj poate fi atins pornind din M_0).

Graful de acoperire corespunzător este prezentat în figura 2.100.

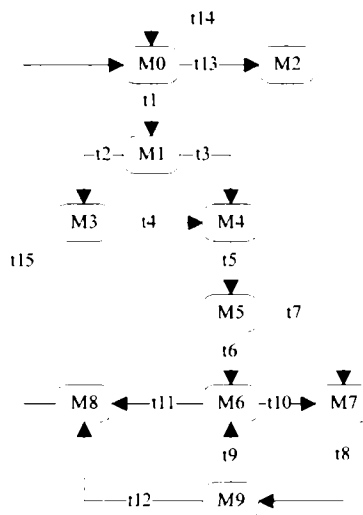


Figura 2.100. Graful de acoperire al rețelei Petri $PN_{SUB_PT_{DIR_N2-2}}$

Structura rezultată pentru graful de acoperire confirmă că modelul de rețea Petri corespunzător nodului cu două intrări și două ieșiri este *accesibil*.

Concluzionând, se poate afirma că modelul ales este *viabil* din punct de vedere comportamental.

Analiza rețelei Petri $PN_{SUB_PT_{DIR_N2-2}}$ din punct de vedere structural se face pe baza analizei existenței invariabilor de tip P respectiv T .

Aplicând teorema 2.3 pentru determinarea numărului de invariabili P respectiv T , cu rangul matricii A $\text{rang } A = 9$, rezulta că rețeaua Petri $PN_{SUB_PT_{DIR_N2-2}}$ este acoperită de 3 invariabili de tip P , respectiv 6 invariabili de tip T .

În figurile 2.101 și 2.102 se prezintă invariabilii de tip P respectiv T obținuți în urma simulării rețelei Petri $PN_{SUB_PT_{DIR_N2-2}}$ cu ajutorul PNT-ului.

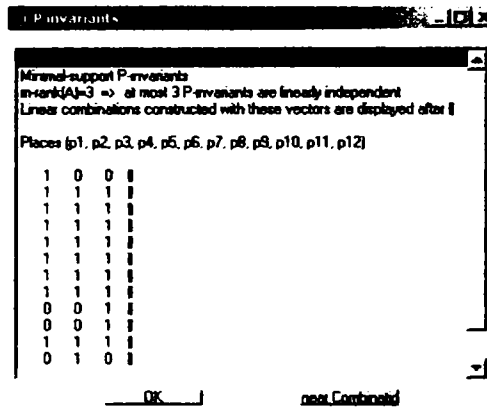


Figura 2.101. Invariantii de tip P obtinuti cu ajutorul PNT

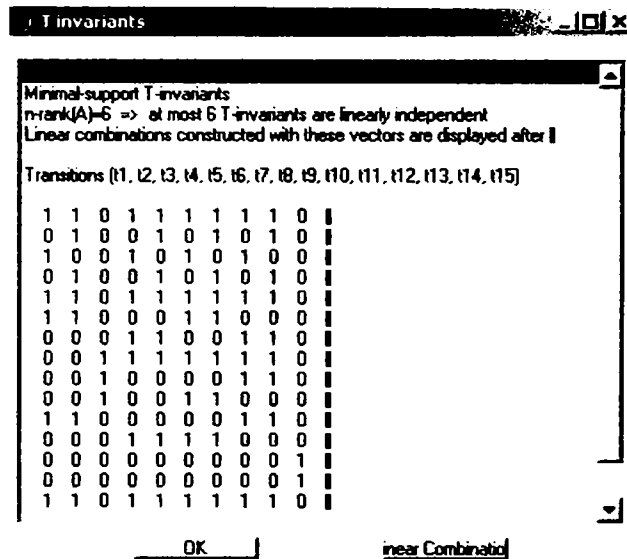


Figura 2.102. Invariantii de tip T obtinuti cu ajutorul PNT

Conform teoremelor 2.6 respectiv 2.7, rețeaua Petri $PN_{SUB_PT_DIR_N2-2}$ este conservativa și structural marginită, respectiv este consistentă și repetitivă.

În final se poate concluziona că structura aleasă pentru submodelul de tip rețea Petri corespunzătoare unei direcții de mișcare a nodului cu două intrări și două ieșiri este viabilă, submodelul putând fi utilizat cu succes la modelarea completă a nodului considerat, fiind siguri că nu există condiții de apariție a blocajelor sau a apariției de situații necontrolabile.

Submodelul operației de scanare (identificare)

Submodelul ales pentru modelarea operației de scanare este prezentat în figura 2.103.

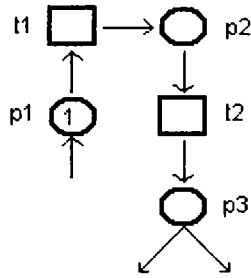


Figura 2.103. Submodelul de tip retea Petri pentru operatia de scanare

Se poate observa ca submodelul reprezinta varianta „clasica” pentru modelarea operatiei de scanare (vezi structura nodului de tip 4).

Analiza submodelului propus se face cu ajutorul retelei din figura 2.104.

In plus fata de submodelul ales (figura 2.103) apare pozitia $p4$ care are rol de simulare a submodelului corespunzator directiei de deplasare. Rolul acestei pozitii suplimentare este acela de a simula „exteriorul” submodelului.

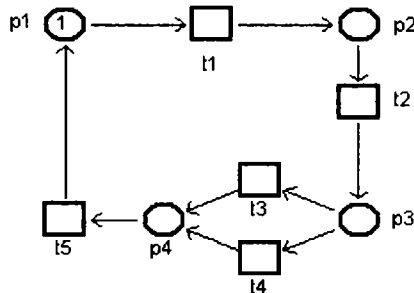


Figura 2.104. Reteaua Petri utilizata in analiza submodelului corespunzator unei operatii de scanare

Topologia retelei Petri corespunzatoare submodelului stabilit pentru o directie de miscare validata de PNT este prezentata in figura 2.105.

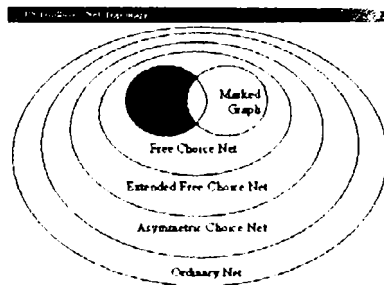


Figura 2.105. Topologia retelei Petri validata de TPN

Reteaua Petri considerata este formalizata prin cvintuplul:

$$PN_{SUB_PTSCAN_N2-2} = (P, T, F, W, M_0)$$

unde:

- $P = \{p_1, p_2, p_3, p_4\}$

- $T = \{t_1, t_2, t_3, t_4, t_5\}$
- $F = \{(p_1, t_1), (p_2, t_2), (p_3, t_3), (p_3, t_4), (p_4, t_5)\} \cup \{(t_1, p_2), (t_2, p_3), (t_3, p_4), (t_4, p_4), (t_5, p_1)\}$
- $W(p_1, t_1) = 1, W(p_2, t_2) = 1, W(p_3, t_3) = 1, W(p_3, t_4) = 1, W(p_4, t_5) = 1,$
 $W(t_1, p_2) = 1, W(t_2, p_3) = 1,$
 $W(t_3, p_4) = 1, W(t_4, p_4) = 1, W(t_5, p_1) = 1$
- $M_0 = [1, 0, 0, 0]^T$

Matricile de incidenta sunt:

Matricea de incidenta de intrare:

$$A_{Ii} = \begin{pmatrix} 1 & 0 & 0 & 0 \\ 0 & 1 & 0 & 0 \\ 0 & 0 & 1 & 0 \\ 0 & 0 & 1 & 0 \\ 0 & 0 & 0 & 1 \end{pmatrix}$$

Matricea de incidenta de iesire:

$$A_{Oi} = \begin{pmatrix} 0 & 1 & 0 & 0 \\ 0 & 0 & 1 & 0 \\ 0 & 0 & 0 & 1 \\ 0 & 0 & 0 & 1 \\ 1 & 0 & 0 & 0 \end{pmatrix}$$

Matricea de incidenta:

$$A_i = A_{O_i} - A_{I_i} = \begin{pmatrix} -1 & 1 & 0 & 0 \\ 0 & -1 & 1 & 0 \\ 0 & 0 & -1 & 1 \\ 0 & 0 & -1 & 1 \\ 1 & 0 & 0 & -1 \end{pmatrix}$$

Arborele de acoperire corespunzator rețelei Petri $PN_{SUB_PT_SCAN_N2-2}$ este prezentat in figura 2.106.

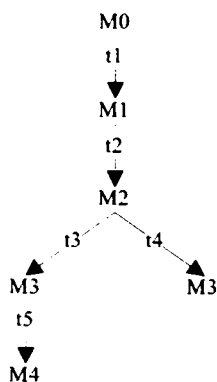


Figura 2.106. Arborele de acoperire corespunzator $PN_{SUB_PT_SCAN_N2-2}$

Unde:

$M_0=(1,0,0,0)$; $M_1=(0,1,0,0)$; $M_2=(0,0,1,0)$; $M_3=(0,0,0,1)$.

Studiind proprietatile comportamentale ale rețelei Petri $PN_{SUB_PT_SCAN_N2-2}$, pe baza arborelui de acoperire rezulta:

- rețeaua este *marginita* (simbolul ω nu apare în arborele de acoperire);
- rețeaua este *sigura* (marcajele din toate nodurile arborelui de acoperire conțin numai „0” și „1”);
- rețeaua *nu este blocanta* (toate tranzițiile au asociate arce în arborele de acoperire);
- rețeaua este *accesibilă* (orice marcaj poate fi atins pornind din M_0).

Graful de acoperire corespunzător este prezentat în figura 2.107.

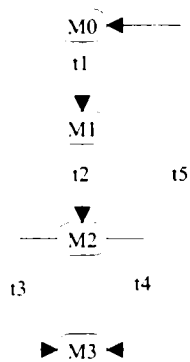


Figura 2.107. Graful de acoperire al rețelei Petri $PN_{SUB_PT_SCAN_N2-2}$

Structura rezultată pentru graful de acoperire confirmă că modelul de rețea Petri corespunzător nodului cu două intrări și două ieșiri este *accesibil*.

Concluzionând, se poate afirma că modelul ales este *viabil* din punct de vedere comportamental.

Analiza rețelei Petri $PN_{SUB_PT_SCAN_N2-2}$ din punct de vedere structural se face pe baza analizei existenței invariabilor de tip P respectiv T , aplicând teorema 2.3, cu $rang A = 3$.

Rezultă că rețeaua Petri $PN_{SUB_PT_SCAN_N2-2}$ este acoperită de 1 invariant de tip P , respectiv 3 invariabili de tip T .

În figurile 2.108 și 2.109 se prezintă invariabilii de tip P respectiv T obținuți în urma simulării rețelei Petri $PN_{SUB_PT_SCAN_N2-2}$ cu ajutorul PNT-ului.

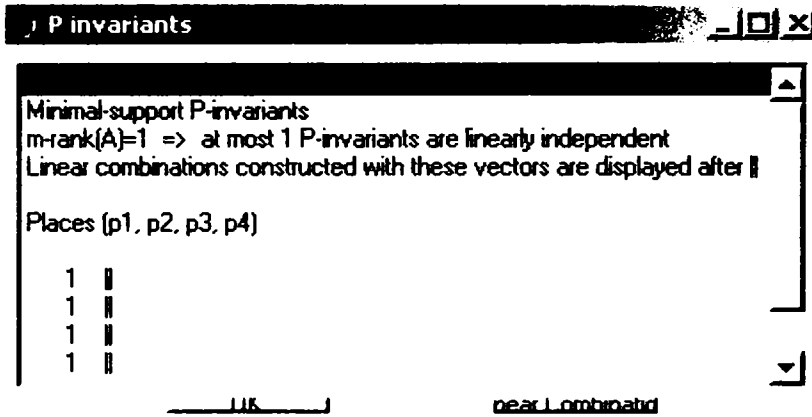


Figura 2.108. Invariantii de tip P obtinuti cu ajutorul PNT

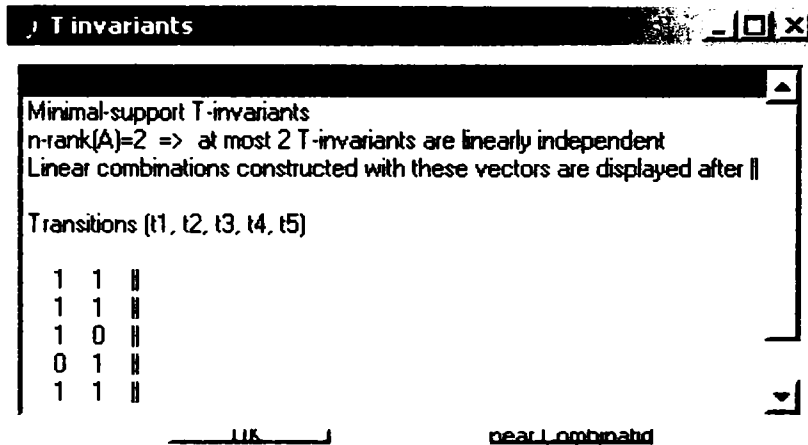


Figura 2.109. Invariantii de tip T obtinuti cu ajutorul PNT

Conform teoremelor 2.6 respectiv 2.7, rețeaua Petri $PN_{SUB_PT_SCAN_N2-2}$ este conservativa și structural marginită, respectiv este consistentă și repetitivă.

În final se poate concluziona că structura aleasă pentru submodelul de tip rețea Petri corespunzătoare operației de scanare a nodului cu două intrări și două ieșiri este viabilă, submodelul putând fi utilizat cu succes la modelarea completă a nodului considerat, neexistând condiții de apariție a blocajelor sau a apariției de situații necontrolabile.

Rezultatele obținute în urma stabilirii submodelelor componente ale modelului de tip rețea Petri corespunzător nodului cu două intrări și două ieșiri, asigură premisele ca rezultatele obținute anterior (în cazul modelului) să fie validate în totalitate.

2.5.2.5.2.2. Cazul: rețea Petri temporizată P

În cazul modelării utilizând rețele Petri temporizate P, structura rețelei și modul de utilizare a submodelelor este aceeași ca și în cazul modelării cu rețele Petri netemporizate. Fata de modul de abordare prezentat în cazul celorlalte tipuri de

noduri, datorita utilizarii submodelelor si conform teoremei 2.9, retea Petri care va modela ingreg nodul este o retea Petri temporizata P cu intervale de timp.

Datorita faptului ca retelele sunt identice din punct de vedere structural si comportamental rezultatele analizelor nu se mai detalieaza ele fiind identice cu cele obtinute in cazul nodului cu doua intrari si doua iesiri netemporizat.

Determinarea intervalelor de timp corespunzatoare submodelelor se face pornind de la timpii alocati fiecarei pozitii ale submodelului.

Pentru submodelul corespunzator unei directii de miscare timpii alocati pozitiiilor sunt prezentati in tabelul 2.11.

Tabelul 2.11. Timpii corespunzatori pozitiiilor P ai unei directii de miscare

Pozitie	Unitati de Timp
P1	1
P2	5
P3	4
P4	4
P5	7
P6	6
P7	3
P8	5
P9	1
P10	3
P11	0
P12	1

Reteaua Petri temporizata P pentru o directie de miscare este:

$$PN_{SUB} - PT_{timeDIR} - N2 - 2 = (P, T, F, W, D, M_0)$$

unde:

- $P = \{p_1, p_2, p_3, p_4, p_5, p_6, p_7, p_8, p_9, p_{10}, p_{11}, p_{12}\}$
- $T = \{t_1, t_2, t_3, t_4, t_5, t_6, t_7, t_8, t_9, t_{10}, t_{11}, t_{12}, t_{13}, t_{14}, t_{15}\}$
- $F = \{(p_1, t_1), (p_2, t_2), (p_2, t_3), (p_3, t_4), (p_4, t_5), (p_5, t_6), (p_5, t_7), (p_6, t_{10}), (p_6, t_{11}), (p_7, t_8), (p_8, t_9), (p_8, t_{12}), (p_9, t_{13}), (p_{10}, t_{14}), (p_{11}, t_{15}), (p_{12}, t_1)\} \cup$
- $\{(t_1, p_2), (t_2, p_3), (t_3, p_4), (t_4, p_4), (t_5, p_5), (t_6, p_6), (t_7, p_7), (t_8, p_8), (t_9, p_6), (t_{10}, p_7), (t_{11}, p_{11}), (t_{12}, p_{11}), (t_{13}, p_{10}), (t_{14}, p_9), (t_{15}, p_1), (t_{15}, p_9), (t_{15}, p_{12})\}$
- $W(p_1, t_1) = 1, W(p_2, t_2) = 1, W(p_2, t_3) = 1, W(p_3, t_4) = 1, W(p_4, t_5) = 1, W(p_5, t_6) = 1, W(p_5, t_7) = 1, W(p_6, t_{10}) = 1, W(p_6, t_{11}) = 1, W(p_7, t_8) = 1, W(p_8, t_9) = 1, W(p_8, t_{12}) = 1, W(p_9, t_{13}) = 1, W(p_{10}, t_{14}) = 1,$
- $W(p_{11}, t_{15}) = 1, W(p_{12}, t_1) = 1, W(t_1, p_2) = 1, W(t_2, p_3) = 1, W(t_3, p_4) = 1, W(t_4, p_4) = 1, W(t_5, p_5) = 1, W(t_6, p_6) = 1, W(t_7, p_7) = 1, W(t_8, p_8) = 1, W(t_9, p_6) = 1, W(t_{10}, p_7) = 1, W(t_{11}, p_{11}) = 1, W(t_{12}, p_{11}) = 1,$
- $W(t_{13}, p_{10}) = 1, W(t_{14}, p_9) = 1, W(t_{15}, p_1) = 1, W(t_{15}, p_9) = 1, W(t_{15}, p_{12}) = 1$
- $D = \{d(p_1) = 1, d(p_2) = 5, d(p_3) = 4, d(p_4) = 4, d(p_5) = 7, d(p_6) = 6, d(p_7) = 3, d(p_8) = 5, d(p_9) = 1, d(p_{10}) = 3, d(p_{11}) = 0, d(p_{12}) = 1\}$

- $M_0 = [1,0,0,0,0,0,0,0,1,0,0,1]^T$

Analizand rețeaua, si utilizand aplicatia *PetriTim*, rezulta ca timpul minim de executie al rețelei Petri considerate este de 4 unitati de timp iar timpul maxim este de 37 unitati de timp.

Pentru submodelul corespunzator unei operatii de scanare timpii alocati pozitiilor sunt prezentati in tabelul 2.12.

Tabelul 2.12. Timpii corespunzatori pozitiilor P ai operatiei de scanare

Pozitie	Unitati de Timp
P1	1
P2	3
P3	4
P4	0

Reteaua Petri temporizata P pentru o directie de miscare este:

$$PN_{SUB_PT}time_{SCAN_N2-2} = (P, T, F, W, D, M_0)$$

unde:

- $P = \{p_1, p_2, p_3, p_4\}$
- $T = \{t_1, t_2, t_3, t_4, t_5\}$
- $F = \{(p_1, t_1), (p_2, t_2), (p_3, t_3), (p_3, t_4), (p_4, t_5)\} \cup \{(t_1, p_2), (t_2, p_3), (t_3, p_4), (t_4, p_4), (t_5, p_1)\}$

$$W(p_1, t_1) = 1, W(p_2, t_2) = 1, W(p_3, t_3) = 1, W(p_3, t_4) = 1, W(p_4, t_5) = 1,$$

- $W(t_1, p_2) = 1, W(t_2, p_3) = 1,$
 $W(t_3, p_4) = 1, W(t_4, p_4) = 1, W(t_5, p_1) = 1$
- $D = \{d(p_1) = 1, d(p_2) = 5, d(p_3) = 4, d(p_4) = 0\}$
- $M_0 = [1,0,0,0]^T$

Analizand rețeaua, si utilizand aplicatia *PetriTim*, rezulta ca timpul minim de executie al rețelei Petri considerate este egal cu timpul maxim avand valoarea de 8 unitati de timp.

Avand intervalele de timp corespunzatoare submodelelor, rețeaua Petri finala va avea intervalele de timpi prezentate in tabelul 2.13.

Tabelul 2.13. Intervalele de timpi corespunzatoare pozitiilor P

Pozitie	Unitati de Timp	
	Min	Max
P1,P2,P4,P5	4	37
P3,P6	8	8
P7	0	0

În final se poate *concluziona* că structura aleasă pentru o rețea Petri temporizata P corespunzătoare nodului cu doua intrari si doua iesiri este *viabilă*, ea putând fi implementată, neexistand condiții de apariție a blocajelor sau a apariției de situații necontrolabile.

2.5.2.6. Modelarea unui nod cu „n” intrari si o iesire [UP06a] [Ung06b]

Nodul cu n intrari si o iesire este construit cu ajutorul nodului de tip 1.

2.5.2.6.1. Modelarea nodului „n” intrari si o iesire cu ajutorul automatelor

Structura automatului secvential considerat pentru modelarea unui astfel de nod este prezentata în figura 2.110.

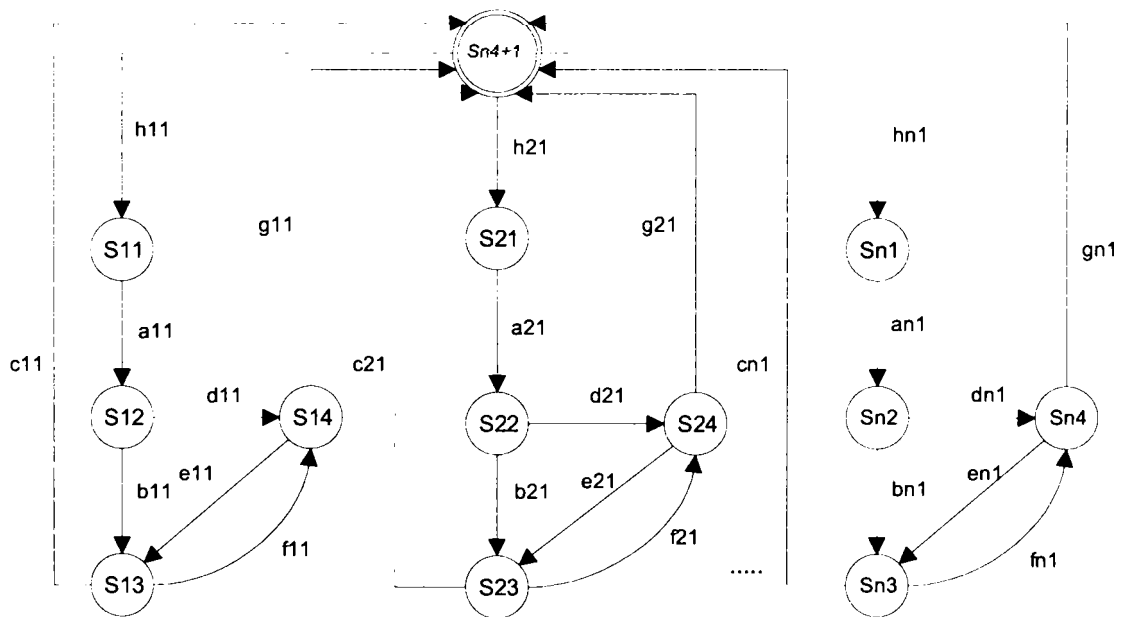


Figura 2.110. Structura automatului secvential corespunzător nodului cu „n” intrari si o iesire

Se observa ca automatul secvential al nodului este realizat prin sincronizarea a n automate secventiale AS_{N1} , cate unul pentru fiecare linie de intrare (stoper).

Automatul AS_{Nn} corespunzator nodului cu n intrari si o iesire este descris in modul urmator:

- multimea starilor: $X = \bigcup_{i=1}^n \{S_{i1}, S_{i2}, S_{i3}, S_{i4}\} \cup \{S(4 \cdot n + 1)\}$
- multimea evenimentelor: $\Sigma = \bigcup_{i=1}^n \{a_{i1}, b_{i1}, c_{i1}, d_{i1}, e_{i1}, f_{i1}, g_{i1}, h_{i1}\}$
- multimile evenimentelor posibile si functiile de tranzitie a starilor:

$$\Gamma(S) = \bigcup_{i=1}^n \Gamma(S_i), \text{ unde:}$$

$$\begin{array}{lll}
\Gamma(Si1) = \{ai\} & \delta(Si1, ai) = Si2 & \\
\Gamma(Si2) = \{bi, di\} & \delta(Si2, bi) = Si3, & \delta(Si2, di) = Si4 \\
\Gamma(Si3) = \{ci, fi\} & \delta(Si3, ci) = S(4 \cdot n + 1), & \delta(Si3, fi) = Si4 \\
\Gamma(Si4) = \{ei, gi\} & \delta(Si4, ei) = Si3 & \delta(Si4, gi) = S(4 \cdot n + 1)
\end{array}$$

$$\Gamma(S(4 \cdot n + 1)) = \bigcup_{i=1}^n \{hi\} \quad \delta(S(4 \cdot n + 1), hi) = Si1$$

- starea initiala: $x_0 = S(4 \cdot n + 1)$.

Considerentele legate de transformarea modelului de tip automat in model de tip retea Petri, prezentate la nodul de tip 1 sunt valabile si in cazul nodului cu n intrari si o iesire.

Pentru conversia din model de tip automat in model de tip retea Petri s-a utilizat aceeasi metoda ca si in cazul nodului de tip 1 .

Aplicand algoritmul 2.1 rezulta:

- multimea pozitiilor: $P = \bigcup_{i=1}^n \{pi1, pi2, pi3, pi4\} \cup \{p(4n + 1)\}$, unde

$$pi1 = \{Si1\}, pi2 = \{Si2\}, pi3 = \{Si3\}, pi4 = \{Si4\} \text{ si } p(4 \cdot n + 1) = \{S(4 \cdot n + 1)\};$$

- multimea trranzitiilor:

• Pentru $pi1$	$(pi1, pi2)$	$pi2 = \delta(pi1, ti1)$	$ti1 = \{ai\}$
• Pentru $pi2$	$(pi2, pi3)$	$pi3 = \delta(pi2, ti2)$	$ti2 = \{bi\}$
	$(pi2, pi4)$	$pi4 = \delta(pi2, ti4)$	$ti4 = \{di\}$
• Pentru $pi3$	$(pi3, p(4n+1))$	$p(4n+1) = \delta(pi3, ti3)$	$ti3 = \{ci\}$
	$(pi3, pi4)$	$pi4 = \delta(pi3, ti6)$	$ti6 = \{fi\}$
• Pentru $pi4$	$(pi4, p(4n+1))$	$p(4n+1) = \delta(pi4, ti7)$	$ti7 = \{gi\}$
	$(pi4, pi3)$	$pi3 = \delta(pi4, ti5)$	$ti5 = \{ei\}$
• Pentru $p(4n+1)$	$(p(4n+1), pi1)$	$pi1 = \delta(p(4n+1), ti8)$	$ti8 = \{hi\}$

In figura 2.111 se prezinta structura retelei Petri asociata automatului secvential considerat in cazul nodului cu n intrari si o iesire.

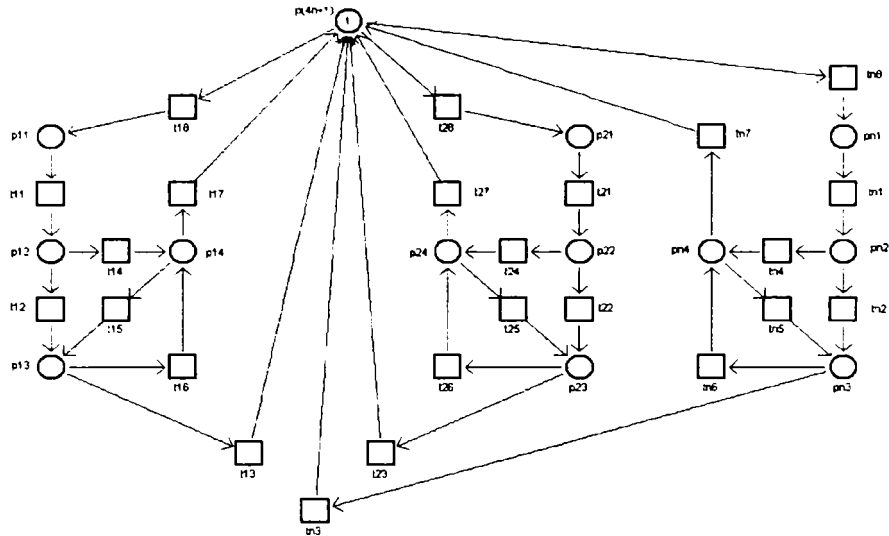


Figura 2.111. Structura rețelei Petri asociată automatului secvențial corespunzător nodului cu n intrări și o ieșire

Topologia rețelei validată de PNT este prezentată în figura 2.112.

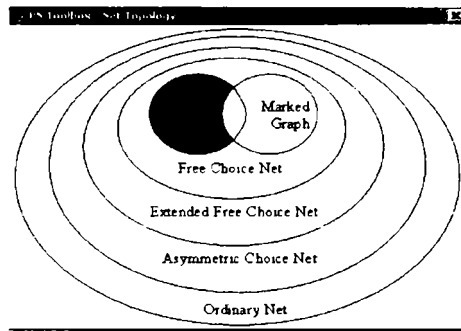


Figura 2.112. Topologia rețelei Petri echivalentă validată de PNT

Rezultatele obținute confirmă că după efectuarea conversiei din modelul de tip automat în model de tip rețea Petri, topologia rețelei Petri obținută este tot de tip automat („State machine”).

Rețeaua Petri considerată este formalizată prin cvintuplul:

$$PN_AS_Nn = (P, T, F, W, M_0)$$

unde:

- $P = \bigcup_{i=1}^n \{p_{i1}, p_{i2}, p_{i3}, p_{i4}\} \cup \{p_{4n+1}\}$
- $T = \bigcup_{i=1}^n \{t_{i1}, t_{i2}, t_{i3}, t_{i4}, t_{i5}, t_{i6}, t_{i7}, t_{i8}\}$

$$F = \bigcup_{i=1}^n \{ (p_{i1}, t_{i1}), (p_{i2}, t_{i2}), (p_{i2}, t_{i4}), (p_{i3}, t_{i6}), (p_{i3}, t_{i3}), (p_{i4}, t_{i5}),$$

- $(p_{i4}, t_{i7}), (p_{4n+1}, t_{i8}) \} \cup$
 $\{ (t_{i1}, p_{i2}), (t_{i2}, p_{i3}), (t_{i3}, p_{4n+1}), (t_{i4}, p_{i4}), (t_{i5}, p_{i3}),$
 $(t_{i6}, p_{i4}), (t_{i7}, p_{4n+1}), (t_{i8}, p_{i1}) \}$
- $W(p_{i1}, t_{i1}) = 1, W(p_{i2}, t_{i2}) = 1, W(p_{i2}, t_{i4}) = 1, W(p_{i3}, t_{i6}) = 1, W(p_{i3}, t_{i3}) = 1,$
 $W(p_{i4}, t_{i5}) = 1, W(p_{i4}, t_{i7}) = 1, W(p_{4n+1}, t_{i8}) = 1, W(t_{i1}, p_{i2}) = 1, W(t_{i2}, p_{i3}) = 1,$
- $W(t_{i3}, p_{4n+1}) = 1, W(t_{i4}, p_{i4}) = 1, W(t_{i5}, p_{i3}) = 1, W(t_{i6}, p_{i4}) = 1,$
 $W(t_{i7}, p_{4n+1}) = 1, W(t_{i8}, p_{i1}) = 1,$
- $M_0 = [0, 0, 0, 0, 0, 0, 0, 0, 0, 0, 0, 0, \dots, 1]^T$

Matricile de incidență corespunzătoare stoperului (intrării) i , unde coloanele sunt p_{i1}, p_{i2}, p_{i3} și p_{i4} iar liniile: $t_{i1}, t_{i2}, t_{i3}, t_{i4}, t_{i5}, t_{i6}, t_{i7}$ și t_{i8} sunt.

Matricea de incidența de intrare:

$$A_{Ii} = \begin{pmatrix} 1 & 0 & 0 & 0 \\ 0 & 1 & 0 & 0 \\ 0 & 0 & 1 & 0 \\ 0 & 1 & 0 & 0 \\ 0 & 0 & 0 & 1 \\ 0 & 0 & 1 & 0 \\ 0 & 0 & 0 & 1 \\ 0 & 0 & 0 & 0 \end{pmatrix}$$

Matricea de incidența de ieșire:

$$A_{Oi} = \begin{pmatrix} 0 & 1 & 0 & 0 \\ 0 & 0 & 1 & 0 \\ 0 & 0 & 0 & 0 \\ 0 & 0 & 0 & 1 \\ 0 & 0 & 1 & 0 \\ 0 & 0 & 0 & 1 \\ 0 & 0 & 0 & 0 \\ 1 & 0 & 0 & 0 \end{pmatrix}$$

Matricea de incidența:

$$A_i = A_{Oi} - A_{Ii} = \begin{pmatrix} -1 & 1 & 0 & 0 \\ 0 & -1 & 1 & 0 \\ 0 & 0 & -1 & 0 \\ 0 & -1 & 0 & 1 \\ 0 & 0 & 1 & -1 \\ 0 & 0 & -1 & 1 \\ 0 & 0 & 0 & -1 \\ 1 & 0 & 0 & 0 \end{pmatrix}$$

Având structurile matricilor pentru un stoper, matricile corespunzătoare nodului cu n intrări (stopere) și o ieșire sunt.

Arborele de acoperire corespunzator este prezentat in figura 2.113.

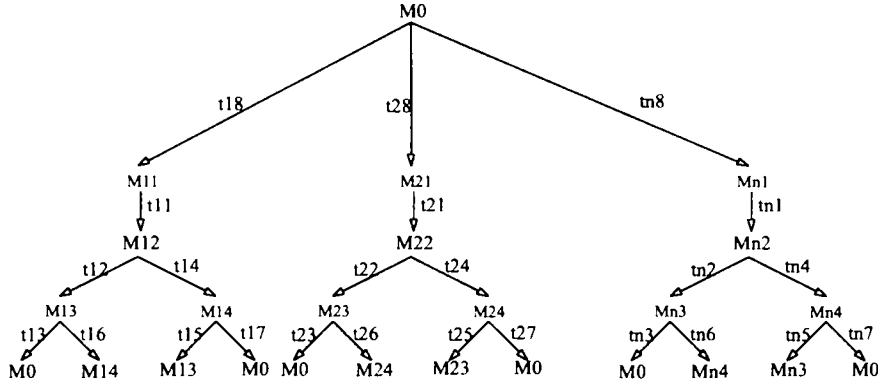


Figura 2.113. Arborele de acoperire al rețelei Petri PN_{AS_Nn}

Unde:

$$\begin{aligned}
 M_0 &= (0,0,0,0,0,0,0,0, \dots, 0,0,0,0,1); & M_{11} &= (1,0,0,0,0,0,0,0, \dots, 0,0,0,0,0); \\
 M_{12} &= (0,1,0,0,0,0,0,0, \dots, 0,0,0,0,0); & M_{13} &= (0,0,1,0,0,0,0,0, \dots, 0,0,0,0,0); \\
 M_{14} &= (0,0,0,1,0,0,0,0, \dots, 0,0,0,0,0); & M_{21} &= (0,0,0,0,1,0,0,0, \dots, 0,0,0,0,0); \\
 M_{22} &= (0,0,0,0,0,1,0,0, \dots, 0,0,0,0,0); & M_{23} &= (0,0,0,0,0,0,1,0, \dots, 0,0,0,0,0); \\
 M_{24} &= (0,0,0,0,0,0,0,1, \dots, 0,0,0,0,0); & M_{n1} &= (0,0,0,0,0,0,0,0, \dots, 1,0,0,0,0); \\
 M_{n2} &= (0,0,0,0,0,0,0,0, \dots, 0,1,0,0,0); & M_{n3} &= (0,0,0,0,0,0,0,0, \dots, 0,0,1,0,0); \\
 M_{n4} &= (0,0,0,0,0,0,0,0, \dots, 0,0,0,1,0)
 \end{aligned}$$

Studiind proprietatile comportamentale ale rețelei Petri PN_{AS_Nn} , pe baza arborelui de acoperire rezulta:

- rețeaua este *marginita* (simbolul ω nu apare in arborele de acoperire);
- rețeaua este *sigura* (marcajele din toate nodurile arborelui de acoperire contin numai „0” si „1”);
- rețeaua *nu este blocanta* (toate tranzitiile au asociate arce in arborele de acoperire);
- rețeaua este *accesibila* (orice marcaj poate fi atins pornind din M_0).

Graful de acoperire corespunzator este prezentat in figura 2.114.

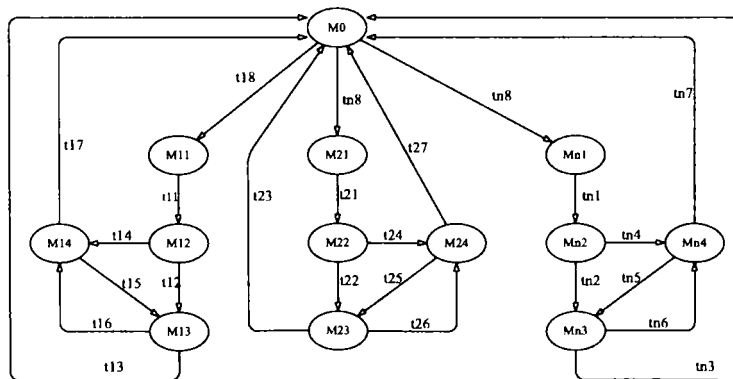


Figura 2.114. Graful de acoperire al rețelei Petri PN_{AS_Nn}

Structura rezultata pentru grafurile de acoperire confirma faptul ca modelul de retea Petri derivat din modelul de tip automat, corespunzator nodului cu n intrari si o iesire este *acesibila*.

Concluzionand, se poate afirma ca modelul ales este *viabil* din punct de vedere comportamental.

Analiza retelei Petri PN_AS_Nn din punct de vedere structural se face pe baza analizei existentei invariantilor de tip P respectiv T utilizand teorema 2.3, rangul matricii A fiind:

$$\text{rang } A = nr_nod \cdot \text{rang} N_1$$

unde:

- nr_nod – reprezinta numarul de intrari ale nodului;
- $\text{rang} N_1$ – reprezinta rangul matricii de incidenta corespunzatoare nodului de tip 1 ($\text{rang} N_1 = 4$).

Numarul de invarianti P corespunzatori este:

$$Nr_Inv_P = m - \text{rang } A = m - nr_nod \cdot \text{rang} N_1$$

Numarul de invarianti T corespunzatori este:

$$Nr_Inv_T = n - \text{rang } A = n - nr_nod \cdot \text{rang} N_1$$

2.5.2.6.2. Modelarea nodului cu n intrari si o iesire cu ajutorul retelelor Petri

2.5.2.6.2.1. Cazul: retea Petri netemporizata

Structura retelei Petri considerate pentru modelarea nodului cu n intrari si o iesire este prezentata în figura 2.115.

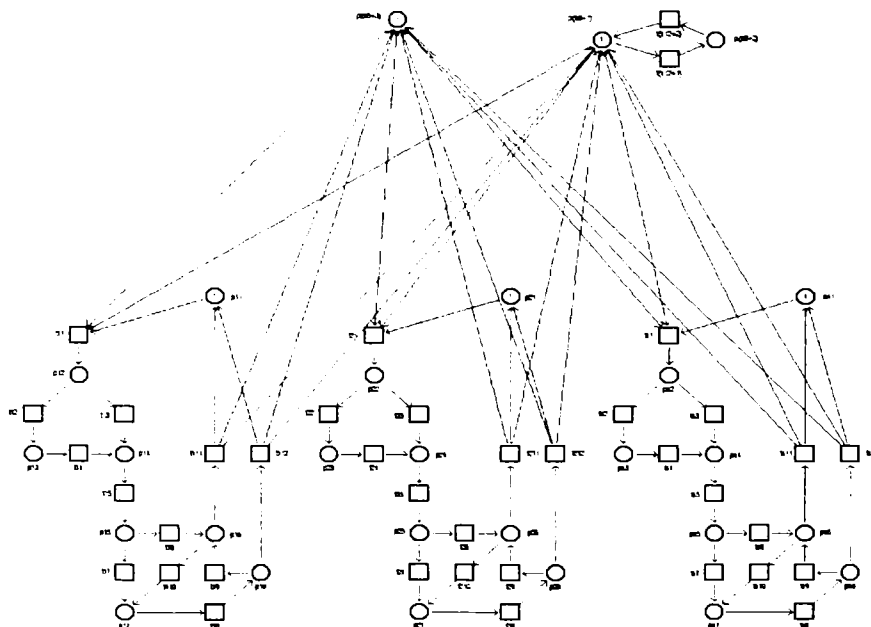


Figura 2.115. Structura rețelei Petri corespunzătoare nodului cu n intrari si o iesire

Reteaua Petri a nodului este realizat prin sincronizarea a n rețele Petri PN_PT_N1 , cate una pentru fiecare linie de intrare (stoper).

Topologia rețelei Petri validata de PNT este prezentata in figura 2.116.

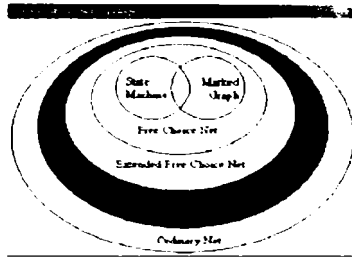


Figura 2.116. Topologia rețelei Petri validata de PNT

Reteaua Petri considerata este formalizata prin cvintuplul:

$$PN_PT_Nn = (P, T, F, W, M_0)$$

unde:

- $P = \bigcup_{i=1}^n \{p_{i1}, p_{i2}, p_{i3}, p_{i4}, p_{i5}, p_{i6}, p_{i7}, p_{i8}\} \cup \{p_{(n8+1)}, p_{(n8+2)}, p_{(n8+3)}\}$
- $T = \bigcup_{i=1}^n \{t_{i1}, t_{i2}, t_{i3}, t_{i4}, t_{i5}, t_{i6}, t_{i7}, t_{i8}, t_{i9}, t_{i10}, t_{i11}, t_{i12}\} \cup \{t_{(n12+1)}, t_{(n12+2)}\}$
- $F = \bigcup_{i=1}^n \{ (p_{i1}, t_{i1}), (p_{i2}, t_{i2}), (p_{i2}, t_{i3}), (p_{i3}, t_{i4}), (p_{i4}, t_{i5}), (p_{i5}, t_{i6}), (p_{i5}, t_{i7}), (p_{i6}, t_{i10}), (p_{i6}, t_{i11}), (p_{i7}, t_{i8}), (p_{i8}, t_{i9}), (p_{i8}, t_{i12}), (p_{n8-1}, t_{i1}), (p_{n8-3}, t_{i1}) \} \cup \{ (t_{i1}, p_{i2}), (t_{i2}, p_{i3}), (t_{i3}, p_{i4}), (t_{i4}, p_{i4}), (t_{i5}, p_{i5}), (t_{i6}, p_{i6}), (t_{i7}, p_{i7}), (t_{i8}, p_{i8}), (t_{i9}, p_{i6}), (t_{i10}, p_{i7}), (t_{i11}, p_{i1}), (t_{i11}, p_{n8-1}), (t_{i11}, p_{n8-3}), (t_{i12}, p_{i1}), (t_{i12}, p_{n8+1}), (t_{i12}, p_{n8-3}) \} \cup \{ (p_{n8-1}, t_{n12-1}), (p_{n8-2}, t_{n12+2}) \} \cup \{ (t_{n12-1}, p_{n8-2}), (t_{n12+2}, p_{n8-1}) \}$
- $W(p_{i1}, t_{i1}) = 1, W(p_{i2}, t_{i2}) = 1, W(p_{i2}, t_{i3}) = 1, W(p_{i3}, t_{i4}) = 1, W(p_{i4}, t_{i5}) = 1, W(p_{i5}, t_{i6}) = 1, W(p_{i5}, t_{i7}) = 1, W(p_{i6}, t_{i10}) = 1, W(p_{i6}, t_{i11}) = 1, W(p_{i7}, t_{i8}) = 1, W(p_{i8}, t_{i9}) = 1, W(p_{i8}, t_{i12}) = 1, W(p_{n8+1}, t_{i1}) = 1, W(p_{n8+3}, t_{i1}) = 1, W(p_{n8+1}, t_{n12+1}) = 1, W(p_{n8+2}, t_{n12+2}) = 1, W(t_{i1}, p_{i2}) = 1, W(t_{i2}, p_{i3}) = 1, W(t_{i3}, p_{i4}) = 1, W(t_{i4}, p_{i4}) = 1, W(t_{i5}, p_{i5}) = 1, W(t_{i6}, p_{i6}) = 1, W(t_{i7}, p_{i7}) = 1, W(t_{i8}, p_{i8}) = 1, W(t_{i9}, p_{i6}) = 1, W(t_{i10}, p_{i7}) = 1, W(t_{i11}, p_{i1}) = 1, W(t_{i11}, p_{n8+1}) = 1, W(t_{i11}, p_{n8+3}) = 1, W(t_{i12}, p_{i1}) = 1, W(t_{i12}, p_{n8+1}) = 1, W(t_{i12}, p_{n8+3}) = 1, W(t_{n12+1}, p_{n8+2}) = 1, W(t_{n12+2}, p_{n8+1}) = 1$
- $M_0 = [1, 0, 0, 0, 0, 0, 0, 0, 1, 0, 0, 0, 0, 0, 0, 0, \dots, 1, 0, 0, 0, 0, 0, 0, 0, 1, 0, 1]^T$

Matricile de incidență corespunzătoare stoperului (intrării) i , unde coloanele sunt $p_{i1}, p_{i2}, p_{i3}, p_{i4}, p_{i5}, p_{i6}, p_{i7}$ și p_{i8} iar linii: $t_{i1}, t_{i2}, t_{i3}, t_{i4}, t_{i5}, t_{i6}, t_{i7}, t_{i8}, t_{i9}, t_{i10}, t_{i11}$ și t_{i12} sunt.

Matricea de incidenta de intrare:

$$A_{ii} = \begin{matrix} 10000000 \\ 01000000 \\ 01000000 \\ 00100000 \\ 00010000 \\ 00001000 \\ 00001000 \\ 00000010 \\ 00000001 \\ 00000100 \\ 00000100 \\ 00000001 \end{matrix}$$

Matricea de incidenta de iesire:

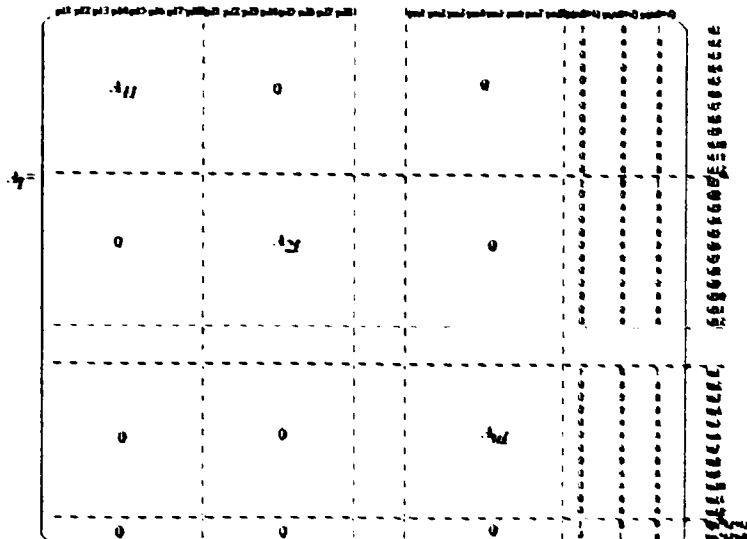
$$A_{oi} = \begin{matrix} 01000000 \\ 00100000 \\ 00010000 \\ 00001000 \\ 00000100 \\ 00000010 \\ 00000001 \\ 00000001 \\ 00000001 \\ 00000001 \\ 10000000 \\ 10000000 \end{matrix}$$

Matricea de incidenta:

$$A_i = A_{oi} - A_{ii} = \begin{pmatrix} -1 & 1 & 0 & 0 & 0 & 0 & 0 & 0 \\ 0 & -1 & 1 & 0 & 0 & 0 & 0 & 0 \\ 0 & -1 & 0 & 1 & 0 & 0 & 0 & 0 \\ 0 & 0 & -1 & 1 & 0 & 0 & 0 & 0 \\ 0 & 0 & 0 & -1 & 1 & 0 & 0 & 0 \\ 0 & 0 & 0 & 0 & -1 & 1 & 0 & 0 \\ 0 & 0 & 0 & 0 & -1 & 0 & 1 & 0 \\ 0 & 0 & 0 & 0 & 0 & 0 & -1 & 1 \\ 0 & 0 & 0 & 0 & 0 & 1 & 0 & -1 \\ 0 & 0 & 0 & 0 & 0 & -1 & 1 & 0 \\ 1 & 0 & 0 & 0 & 0 & -1 & 0 & 0 \\ 1 & 0 & 0 & 0 & 0 & 0 & -1 & 0 \end{pmatrix}$$

Avand structurile matricilor pentru un stoper, matricile corespunzatoare nodului cu n intrari (stopere) si o iesire sunt.

Matricea de intrare:



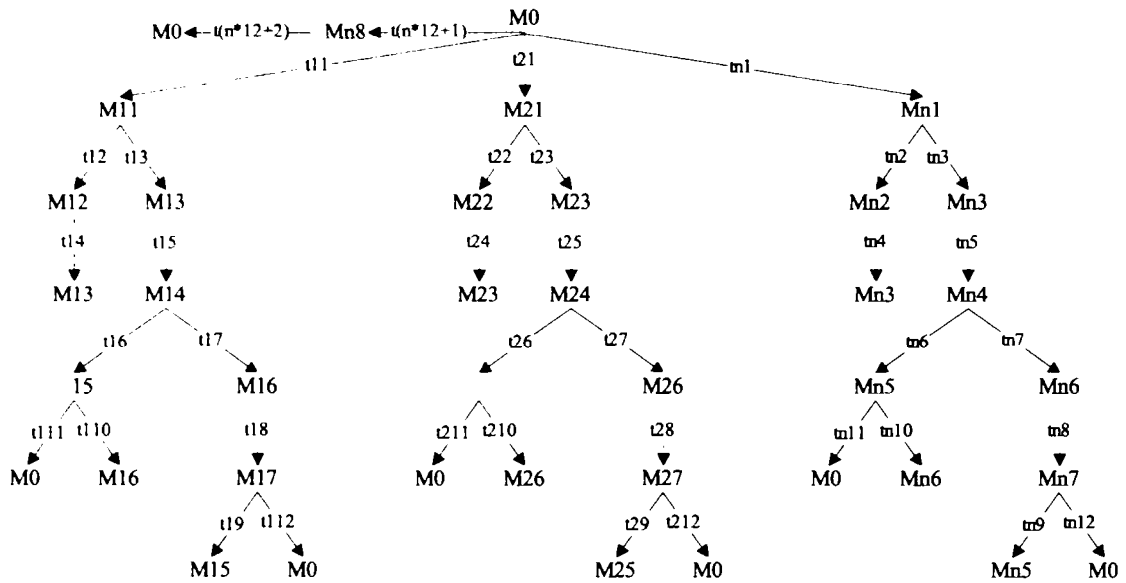


Figura 2.117. Arborele de acoperire al rețelei Petri PN_{PT_Nn}

Unde:

$M0 = (1, 0, 0, 0, 0, 0, 0, 0, 1, 0, 0, 0, 0, 0, 0, 0, \dots, 1, 0, 0, 0, 0, 0, 0, 0, 1, 0, 1);$
 $M11 = (0, 1, 0, 0, 0, 0, 0, 0, 1, 0, 0, 0, 0, 0, 0, 0, \dots, 1, 0, 0, 0, 0, 0, 0, 0, 0, 0);$
 $M12 = (0, 0, 1, 0, 0, 0, 0, 0, 1, 0, 0, 0, 0, 0, 0, 0, \dots, 1, 0, 0, 0, 0, 0, 0, 0, 0, 0);$
 $M13 = (0, 0, 0, 1, 0, 0, 0, 0, 1, 0, 0, 0, 0, 0, 0, 0, \dots, 1, 0, 0, 0, 0, 0, 0, 0, 0, 0);$
 $M14 = (0, 0, 0, 0, 1, 0, 0, 0, 1, 0, 0, 0, 0, 0, 0, 0, \dots, 1, 0, 0, 0, 0, 0, 0, 0, 0, 0);$
 $M15 = (0, 0, 0, 0, 0, 1, 0, 0, 1, 0, 0, 0, 0, 0, 0, 0, \dots, 1, 0, 0, 0, 0, 0, 0, 0, 0, 0);$
 $M16 = (0, 0, 0, 0, 0, 0, 1, 0, 1, 0, 0, 0, 0, 0, 0, 0, \dots, 1, 0, 0, 0, 0, 0, 0, 0, 0, 0);$
 $M17 = (0, 0, 0, 0, 0, 0, 0, 1, 1, 0, 0, 0, 0, 0, 0, 0, \dots, 1, 0, 0, 0, 0, 0, 0, 0, 0, 0);$
 $M21 = (1, 0, 0, 0, 0, 0, 0, 0, 0, 1, 0, 0, 0, 0, 0, 0, \dots, 1, 0, 0, 0, 0, 0, 0, 0, 0, 0);$
 $M22 = (1, 0, 0, 0, 0, 0, 0, 0, 0, 0, 1, 0, 0, 0, 0, 0, \dots, 1, 0, 0, 0, 0, 0, 0, 0, 0, 0);$
 $M23 = (1, 0, 0, 0, 0, 0, 0, 0, 0, 0, 0, 1, 0, 0, 0, 0, \dots, 1, 0, 0, 0, 0, 0, 0, 0, 0, 0);$
 $M24 = (1, 0, 0, 0, 0, 0, 0, 0, 0, 0, 0, 0, 1, 0, 0, 0, \dots, 1, 0, 0, 0, 0, 0, 0, 0, 0, 0);$
 $M25 = (1, 0, 0, 0, 0, 0, 0, 0, 0, 0, 0, 0, 0, 1, 0, 0, \dots, 1, 0, 0, 0, 0, 0, 0, 0, 0, 0);$
 $M26 = (1, 0, 0, 0, 0, 0, 0, 0, 0, 0, 0, 0, 0, 0, 0, 1, \dots, 1, 0, 0, 0, 0, 0, 0, 0, 0, 0);$
 $M27 = (1, 0, 0, 0, 0, 0, 0, 0, 0, 0, 0, 0, 0, 0, 0, 0, 1, \dots, 1, 0, 0, 0, 0, 0, 0, 0, 0, 0);$
 $Mn1 = (1, 0, 0, 0, 0, 0, 0, 0, 1, 0, 0, 0, 0, 0, 0, 0, \dots, 0, 1, 0, 0, 0, 0, 0, 0, 0, 0);$
 $Mn2 = (1, 0, 0, 0, 0, 0, 0, 0, 1, 0, 0, 0, 0, 0, 0, 0, \dots, 0, 0, 1, 0, 0, 0, 0, 0, 0, 0);$
 $Mn3 = (1, 0, 0, 0, 0, 0, 0, 0, 1, 0, 0, 0, 0, 0, 0, 0, \dots, 0, 0, 0, 1, 0, 0, 0, 0, 0, 0);$
 $Mn4 = (1, 0, 0, 0, 0, 0, 0, 0, 1, 0, 0, 0, 0, 0, 0, 0, \dots, 0, 0, 0, 0, 1, 0, 0, 0, 0, 0);$
 $Mn5 = (1, 0, 0, 0, 0, 0, 0, 0, 1, 0, 0, 0, 0, 0, 0, 0, \dots, 0, 0, 0, 0, 0, 1, 0, 0, 0, 0);$
 $Mn6 = (1, 0, 0, 0, 0, 0, 0, 0, 1, 0, 0, 0, 0, 0, 0, 0, \dots, 0, 0, 0, 0, 0, 0, 1, 0, 0, 0);$
 $Mn7 = (1, 0, 0, 0, 0, 0, 0, 0, 1, 0, 0, 0, 0, 0, 0, 0, \dots, 0, 0, 0, 0, 0, 0, 0, 1, 0, 0);$
 $Mn8 = (1, 0, 0, 0, 0, 0, 0, 0, 1, 0, 0, 0, 0, 0, 0, 0, \dots, 1, 0, 0, 0, 0, 0, 0, 0, 0, 1, 1);$

Studiind proprietatile comportamentale ale rețelei Petri PN_{AS_Nn} , pe baza arborelui de acoperire rezulta:

- rețeaua este *marginita* (simbolul ω nu apare în arborele de acoperire);
- rețeaua este *sigura* (marcajele din toate nodurile arborelui de acoperire conțin numai „0” și „1”);

- rețeaua *nu este blocanta* (toate tranzițiile au asociate arce în arborele de acoperire);
- rețeaua este *accesibilă* (orice marcaj poate fi atins pornind din M_0).

Graful de acoperire corespunzător este prezentat în figura 2.118

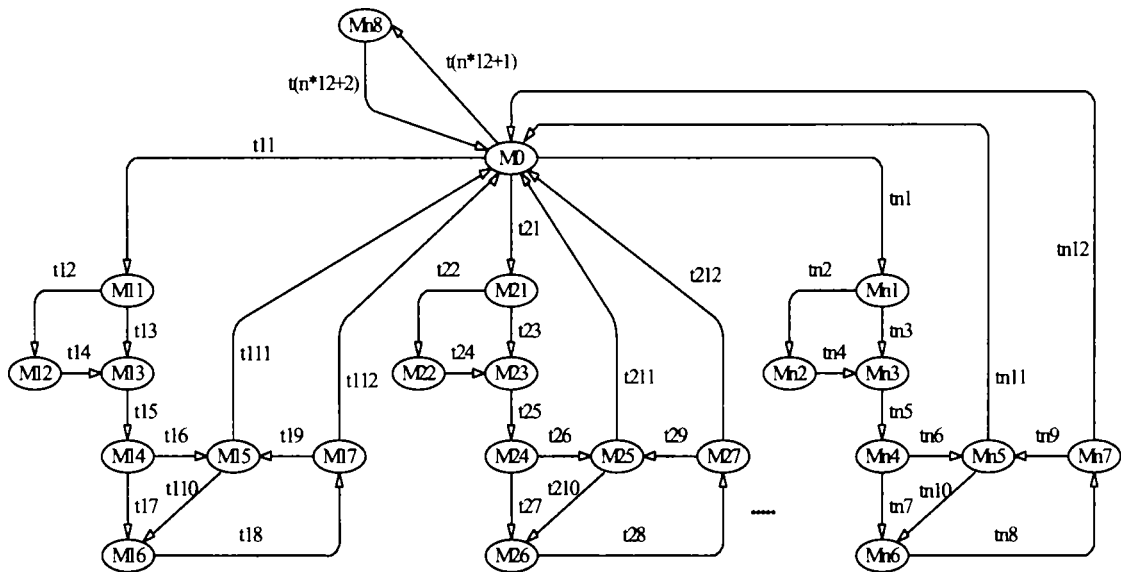


Figura 2.118. Graful de acoperire al rețelei Petri PN_AS_Nn

Structura rezultată pentru graful de acoperire confirmă că modelul de rețea Petri derivat din modelul de tip automat corespunzător nodului cu n intrări și o ieșire este *accesibilă*.

Concluzionând, se poate afirma că modelul ales este *viabil* din punct de vedere comportamental.

Din punct de vedere structural, rețeaua Petri PN_PT_Nn , este analizată pe baza analizei existenței invariantilor de tip P respectiv T .

Pentru determinarea numărului de invarianti P respectiv T s-a aplicat teorema 2.3, rangul matricii A este în acest caz:

$$\text{rang } A = nr_nod \cdot \text{rang} N_1$$

unde:

- nr_nod – reprezintă numărul intrărilor;
- $\text{rang} N_1$ – reprezintă matricii de incidență a nodului de tip 1 ($\text{rang} N_1 = 7$).

Numărul de invarianti P corespunzători se poate calcula cu relația:

$$Nr_Inv_P = m - \text{rang } A = m - nr_nod \cdot \text{rang} N_1$$

Numărul de invarianti T corespunzători este:

$$Nr_Inv_T = n - \text{rang } A = n - nr_nod \cdot \text{rang} N_1$$

2.5.2.6.2.1. Cazul: retea Petri temporizata P

Structura rețelei Petri temporizata P corespunzatoare nodului cu n intrari si o iesire este aceeași ca cea prezentata in figura 2.115.

Datorita faptului ca rețelele sunt identice din punct de vedere structural si comportamental rezultatele analizelor nu se mai detaliaza, ele fiind identice cu cele obtinute in cazul nodului netemporizat.

Fata de situatia prezentata anterior fiecarei pozitii P i -a fost alocata o unitate de timp corespunzatoare. In acest mod situatia devine reala din punct de vedere al functionarii.

Timpii alocati pozitiilor sunt prezentati in tabelul 2.14.

Tabelul 2.14. Timpii corespunzatori pozitiilor P

Pozitie	Unitati de Timp
Pi1	1
Pi2	5
Pi3	4
Pi4	4
Pi5	7
Pi6	6
Pi7	3
Pi8	5
P(n*8+1)	1
P(n*8+2)	3
P(n*8+3)	1

unde $i=1, \dots, n$.

Reteaua Petri considerata este formalizata prin sextuplul:

$$PN_PTtime_Nn = (P, T, F, W, D, M_0)$$

unde:

- $$P = \bigcup_{i=1}^n \{P_{i1}, P_{i2}, P_{i3}, P_{i4}, P_{i5}, P_{i6}, P_{i7}, P_{i8}\} \cup \{P_{(n8+1)}, P_{(n8+2)}, P_{(n8+3)}\}$$
- $$T = \bigcup_{i=1}^n \{t_{i1}, t_{i2}, t_{i3}, t_{i4}, t_{i5}, t_{i6}, t_{i7}, t_{i8}, t_{i9}, t_{i10}, t_{i11}, t_{i12}\} \cup \{t_{(n12+1)}, t_{(n12+2)}\}$$

$$F = \bigcup_{i=1}^n \{ \{ (p_{i1}, t_{i1}), (p_{i2}, t_{i2}), (p_{i2}, t_{i3}), (p_{i3}, t_{i4}), (p_{i4}, t_{i5}), (p_{i5}, t_{i6}), (p_{i5}, t_{i7}), (p_{i6}, t_{i10}), (p_{i6}, t_{i11}), (p_{i7}, t_{i8}), (p_{i8}, t_{i9}), (p_{i8}, t_{i12}), (p_{n8-1}, t_{i1}), (p_{n8+3}, t_{i1}) \} \cup \{ (t_{i1}, p_{i2}), (t_{i2}, p_{i3}), (t_{i3}, p_{i4}), (t_{i4}, p_{i4}), (t_{i5}, p_{i5}), (t_{i6}, p_{i6}), (t_{i7}, p_{i7}), (t_{i8}, p_{i8}), (t_{i9}, p_{i6}), (t_{i10}, p_{i7}), (t_{i11}, p_{i1}), (t_{i11}, p_{n8+1}), (t_{i11}, p_{n8+3}), (t_{i12}, p_{i1}), (t_{i12}, p_{n8+1}), (t_{i12}, p_{n8+3}) \} \cup \{ (p_{n8+1}, t_{n12+1}), (p_{n8+2}, t_{n12+2}) \} \cup \{ (t_{n12+1}, p_{n8+2}), (t_{n12+2}, p_{n8+1}) \} \}$$

$$W(p_{i1}, t_{i1}) = 1, W(p_{i2}, t_{i2}) = 1, W(p_{i2}, t_{i3}) = 1, W(p_{i3}, t_{i4}) = 1,$$

$$W(p_{i4}, t_{i5}) = 1, W(p_{i5}, t_{i6}) = 1, W(p_{i5}, t_{i7}) = 1, W(p_{i6}, t_{i10}) = 1,$$

$$W(p_{i6}, t_{i11}) = 1, W(p_{i7}, t_{i8}) = 1, W(p_{i8}, t_{i9}) = 1, W(p_{i8}, t_{i12}) = 1,$$

$$W(p_{n8+1}, t_{i1}) = 1, W(p_{n8+3}, t_{i1}) = 1, W(p_{n8+1}, t_{n12+1}) = 1,$$

$$\bullet W(p_{n8+2}, t_{n12+2}) = 1, W(t_{i1}, p_{i2}) = 1, W(t_{i2}, p_{i3}) = 1, W(t_{i3}, p_{i4}) = 1,$$

$$W(t_{i4}, p_{i4}) = 1, W(t_{i5}, p_{i5}) = 1, W(t_{i6}, p_{i6}) = 1,$$

$$W(t_{i7}, p_{i7}) = 1, W(t_{i8}, p_{i8}) = 1, W(t_{i9}, p_{i6}) = 1, W(t_{i10}, p_{i7}) = 1,$$

$$W(t_{i11}, p_{i1}) = 1, W(t_{i11}, p_{n8+1}) = 1, W(t_{i11}, p_{n8+3}) = 1, W(t_{i12}, p_{i1}) = 1,$$

$$W(t_{i12}, p_{n8+1}) = 1, W(t_{i12}, p_{n8+3}) = 1, W(t_{n12+1}, p_{n8+2}) = 1,$$

$$W(t_{n12+2}, p_{n8+1}) = 1$$

$$D = \{ d(p_{i1}) = 1, d(p_{i2}) = 5, d(p_{i3}) = 4, d(p_{i4}) = 4, d(p_{i5}) = 7,$$

$$\bullet d(p_{i6}) = 6, d(p_{i7}) = 3, d(p_{i8}) = 5, d(p_{n-8+1}) = 1,$$

$$d(p_{n-8+2}) = 3, d(p_{n-8+3}) = 1 \}$$

$$\bullet M_0 = [1, 0, 0, 0, 0, 0, 0, 0, 1, 0, 0, 0, 0, 0, 0, \dots, 1, 0, 0, 0, 0, 0, 0, 0, 1, 0, 1]^T$$

2.5.2.7. Modelarea unui nod cu o intrare si m iesiri

2.5.2.7.1. Modelarea nodului „o” intrare si „m” iesiri cu ajutorul automatelor

Structura automatului secvential considerat pentru modelarea unui astfel de nod este prezentata în figura 2.119.

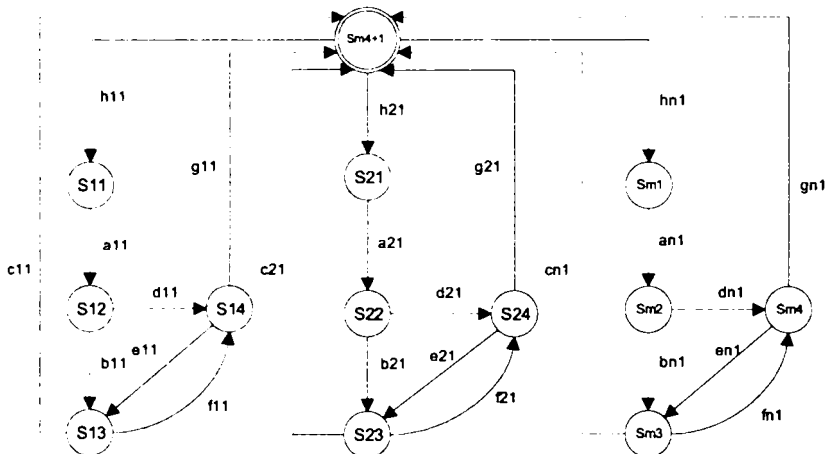


Figura 2.119. Structura automatului secvențial corespunzător nodului cu „o” intrare și „m” iesiri

Automatul secvențial al nodului este realizat prin sincronizarea a m automate secvențiale AS_{N4} , câte unul pentru fiecare linie de intrare (stoper).

Matematic, automatul AS_{Nm} corespunzător nodului cu o intrare și m iesiri este descris astfel:

- multimea stărilor: $X = \bigcup_{i=1}^m \{Si1, Si2, Si3, Si4\} \cup \{S(4 \cdot m + 1)\}$
- multimea evenimentelor: $\Sigma = \bigcup_{i=1}^m \{ai1, bi1, ci1, di1, ei1, fi1, gi1, hi1\}$
- multimile evenimentelor posibile și funcțiile de tranziție a stărilor:

$$\Gamma(S) = \bigcup_{i=1}^m \Gamma(Si) \text{ unde:}$$

$$\Gamma(Si1) = \{ai\}$$

$$\delta(Si1, ai) = Si2$$

$$\Gamma(Si2) = \{bi, di\}$$

$$\delta(Si2, bi) = Si3,$$

$$\delta(Si2, di) = Si4$$

$$\Gamma(Si3) = \{ci, fi\}$$

$$\delta(Si3, ci) = S(4 \cdot m + 1),$$

$$\delta(Si3, fi) = Si4$$

$$\Gamma(Si4) = \{ei, gi\}$$

$$\delta(Si4, ei) = Si3$$

$$\delta(Si4, gi) = S(4 \cdot m + 1)$$

$$\Gamma(S(4 \cdot m + 1)) = \bigcup_{i=1}^m \{hi\}$$

$$\delta(S(4 \cdot m + 1), hi) = Si1$$

- starea inițială: $x_0 = S(4 \cdot m + 1)$.

Considerentele legate de transformarea modelului de tip automat în model de tip rețea Petri, prezentate la nodul de tip 4, sunt valabile și în cazul nodului cu o intrare și m iesiri.

Pentru conversia din model de tip automat în model de tip rețea Petri s-a utilizat aceeași metodă ca și în cazul nodului de tip 1.

Aplicând algoritmul 2.1 rezultă:

- multimea pozitiilor: $P = \bigcup_{i=1}^m \{pi1, pi2, pi3, pi4\} \cup \{p(4m + 1)\}$, unde
 $pi1 = \{Si1\}, pi2 = \{Si2\}, pi3 = \{Si3\}, pi4 = \{Si4\}$ si
 $p(4 \cdot m + 1) = \{S(4 \cdot m + 1)\}$;
 - multimea trranzitiilor:
- | | | | |
|--------------------|----------------------------------|--|----------------------------------|
| • Pentru $pi1$ | $(pi1, pi2)$ | $pi2 = \alpha(pi1, ti1)$ | $ti1 = \{ai\}$ |
| • Pentru $pi2$ | $(pi2, pi3)$
$(pi2, pi4)$ | $pi3 = \alpha(pi2, ti2)$
$pi4 = \alpha(pi2, ti4)$ | $ti2 = \{bi\}$
$ti4 = \{di\}$ |
| • Pentru $pi3$ | $(pi3, p(4m+1))$
$(pi3, pi4)$ | $p(4m+1) = \alpha(pi3, ti3)$
$pi4 = \alpha(pi3, ti6)$ | $ti3 = \{ci\}$
$ti6 = \{fi\}$ |
| • Pentru $pi4$ | $(pi4, p(4m+1))$
$(pi4, pi3)$ | $p(4m+1) = \alpha(pi4, ti7)$
$pi3 = \alpha(pi4, ti5)$ | $ti7 = \{gi\}$
$ti5 = \{ei\}$ |
| • Pentru $p(4m+1)$ | $(p(4m+1), pi1)$ | $pi1 = \alpha(p(4m+1), ti8)$ | $ti8 = \{hi\}$ |

In figura 2.120 se prezinta structura rețelei Petri asociata automatului secvential considerat in cazul nodului cu o intrare si m iesiri.

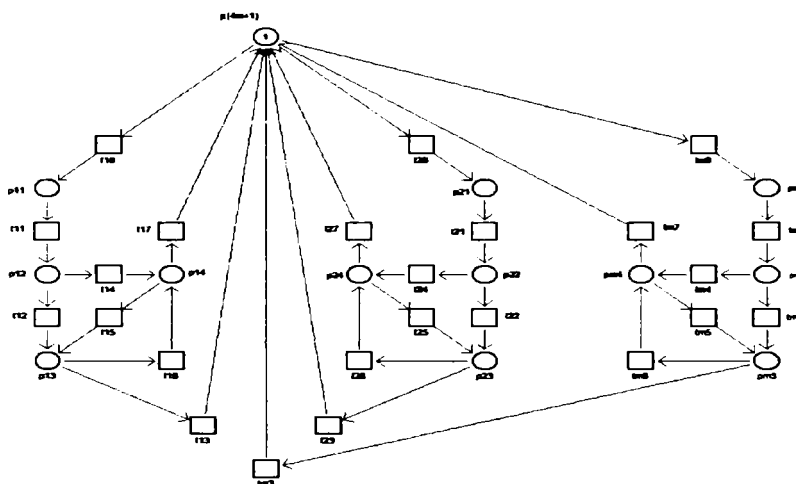


Figura 2.120. Structura rețelei Petri asociata automatului secvential corespunzător nodului cu o intrare si m iesiri

Topologia rețelei validata de PNT este prezentata in figura 2.121.

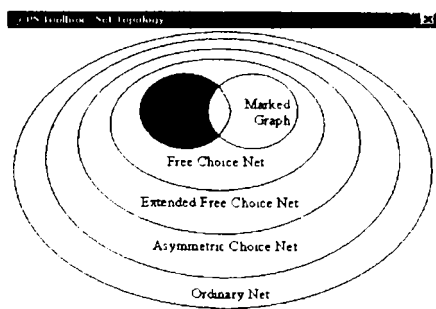


Figura 2.121. Topologia rețelei Petri echivalenta validata de PNT

Rezultatele obtinute confirma ca dupa efectuarea conversiei din modelul de tip automat in model de tip retea Petri, topologia retelei Petri obtinuta este tot de tip automat („State machine”).

Reteaua Petri considerata este formalizata prin cvintuplul:

$$PN_AS_Nm = (P, T, F, W, M_0)$$

unde:

- $P = \bigcup_{i=1}^m \{p_{i1}, p_{i2}, p_{i3}, p_{i4}\} \cup \{p_{4m+1}\}$
- $T = \bigcup_{i=1}^m \{t_{i1}, t_{i2}, t_{i3}, t_{i4}, t_{i5}, t_{i6}, t_{i7}, t_{i8}\}$
- $F = \bigcup_{i=1}^m \{ \{(p_{i1}, t_{i1}), (p_{i2}, t_{i2}), (p_{i2}, t_{i4}), (p_{i3}, t_{i6}), (p_{i3}, t_{i3}), (p_{i4}, t_{i5}),$
 $(p_{i4}, t_{i7}), (p_{4m+1}, t_{i8})\} \cup$
 $\{(t_{i1}, p_{i2}), (t_{i2}, p_{i3}), (t_{i3}, p_{4m+1}), (t_{i4}, p_{i4}), (t_{i5}, p_{i3}),$
 $(t_{i6}, p_{i4}), (t_{i7}, p_{4m+1}), (t_{i8}, p_{i1})\} \}$
- $W(p_{i1}, t_{i1}) = 1, W(p_{i2}, t_{i2}) = 1, W(p_{i2}, t_{i4}) = 1, W(p_{i3}, t_{i6}) = 1,$
 $W(p_{i3}, t_{i3}) = 1, W(p_{i4}, t_{i5}) = 1, W(p_{i4}, t_{i7}) = 1, W(p_{4m+1}, t_{i8}) = 1,$
- $W(t_{i1}, p_{i2}) = 1, W(t_{i2}, p_{i3}) = 1, W(t_{i3}, p_{4m+1}) = 1, W(t_{i4}, p_{i4}) = 1,$
 $W(t_{i5}, p_{i3}) = 1, W(t_{i6}, p_{i4}) = 1, W(t_{i7}, p_{4m+1}) = 1, W(t_{i8}, p_{i1}) = 1,$
- $M_0 = [0, 0, 0, 0, 0, 0, 0, 0, 0, 0, 0, 0, \dots, 1]^T$

Matricile de incidență corespunzătoare stoperului (intrării) i , unde coloanele sunt p_{i1}, p_{i2}, p_{i3} si p_{i4} iar liniile: $t_{i1}, t_{i2}, t_{i3}, t_{i4}, t_{i5}, t_{i6}, t_{i7}$ si t_{i8} sunt.

Matricea de incidenta de intrare:

$$A_{Ii} = \begin{pmatrix} 1 & 0 & 0 & 0 \\ 0 & 1 & 0 & 0 \\ 0 & 0 & 1 & 0 \\ 0 & 1 & 0 & 0 \\ 0 & 0 & 0 & 1 \\ 0 & 0 & 1 & 0 \\ 0 & 0 & 0 & 1 \\ 0 & 0 & 0 & 1 \\ 0 & 0 & 0 & 0 \end{pmatrix}$$

Matricea de incidenta de iesire:

$$A_{Oi} = \begin{pmatrix} 0 & 1 & 0 & 0 \\ 0 & 0 & 1 & 0 \\ 0 & 0 & 0 & 0 \\ 0 & 0 & 0 & 1 \\ 0 & 0 & 1 & 0 \\ 0 & 0 & 0 & 1 \\ 0 & 0 & 0 & 0 \\ 0 & 0 & 0 & 0 \\ 1 & 0 & 0 & 0 \end{pmatrix}$$

Matricea de incidenta:

$$A_i = A_{Oi} - A_{Ii} = \begin{pmatrix} -1 & 1 & 0 & 0 \\ 0 & -1 & 1 & 0 \\ 0 & 0 & -1 & 0 \\ 0 & -1 & 0 & 1 \\ 0 & 0 & 1 & -1 \\ 0 & 0 & -1 & 1 \\ 0 & 0 & 0 & -1 \\ 0 & 0 & 0 & 0 \\ 1 & 0 & 0 & 0 \end{pmatrix}$$

$$A = A_0 \cdot A_I = \begin{pmatrix} p_{11} & p_{12} & p_{13} & p_{14} & p_{21} & p_{22} & p_{23} & p_{24} & p_{m1} & p_{m2} & p_{m3} & p_{m4} & p_{4m+1} & u_{11} \\ & & & & & & & & & & & & & 0 & u_{12} \\ & & & & & & & & & & & & & 0 & u_{13} \\ & & & & & & & & & & & & & 0 & u_{14} \\ & & & & & & & & & & & & & 0 & u_{15} \\ & & & & & & & & & & & & & 0 & u_{16} \\ & & & & & & & & & & & & & 0 & u_{17} \\ & & & & & & & & & & & & & 0 & u_{18} \\ & & & & & & & & & & & & & 0 & u_{21} \\ & & & & & & & & & & & & & 0 & u_{22} \\ & & & & & & & & & & & & & 0 & u_{23} \\ & & & & & & & & & & & & & 0 & u_{24} \\ & & & & & & & & & & & & & 0 & u_{25} \\ & & & & & & & & & & & & & 0 & u_{26} \\ & & & & & & & & & & & & & 0 & u_{27} \\ & & & & & & & & & & & & & 1 & u_{28} \\ & & & & & & & & & & & & & 0 & t_{m1} \\ & & & & & & & & & & & & & 0 & t_{m2} \\ & & & & & & & & & & & & & 0 & t_{m3} \\ & & & & & & & & & & & & & 0 & t_{m4} \\ & & & & & & & & & & & & & 0 & t_{m5} \\ & & & & & & & & & & & & & 0 & t_{m6} \\ & & & & & & & & & & & & & 0 & t_{m7} \\ & & & & & & & & & & & & & 1 & t_{m8} \end{pmatrix}$$

Arborele de acoperire corespunzator este prezentat in figura 2.122.

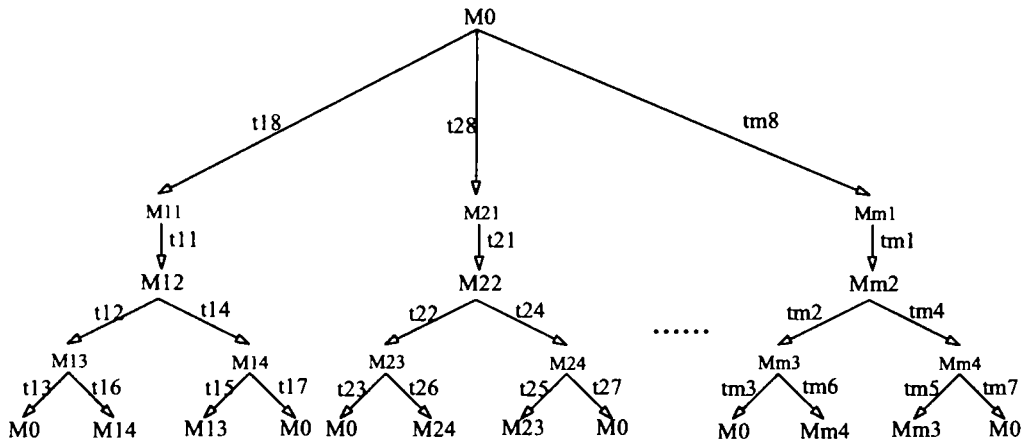


Figura 2.122. Arborele de acoperire al rețelei Petri PN_{AS}_Nn

Unde:

- $M_0 = (0, 0, 0, 0, 0, 0, 0, 0, \dots, 0, 0, 0, 0, 1);$
- $M_{11} = (1, 0, 0, 0, 0, 0, 0, 0, \dots, 0, 0, 0, 0, 0);$
- $M_{12} = (0, 1, 0, 0, 0, 0, 0, 0, \dots, 0, 0, 0, 0, 0);$
- $M_{13} = (0, 0, 1, 0, 0, 0, 0, 0, \dots, 0, 0, 0, 0, 0);$
- $M_{14} = (0, 0, 0, 1, 0, 0, 0, 0, \dots, 0, 0, 0, 0, 0);$
- $M_{21} = (0, 0, 0, 0, 1, 0, 0, 0, \dots, 0, 0, 0, 0, 0);$
- $M_{22} = (0, 0, 0, 0, 0, 1, 0, 0, \dots, 0, 0, 0, 0, 0);$
- $M_{23} = (0, 0, 0, 0, 0, 0, 1, 0, \dots, 0, 0, 0, 0, 0);$
- $M_{24} = (0, 0, 0, 0, 0, 0, 0, 1, \dots, 0, 0, 0, 0, 0);$
- $M_{m1} = (0, 0, 0, 0, 0, 0, 0, 0, \dots, 1, 0, 0, 0, 0);$
- $M_{m2} = (0, 0, 0, 0, 0, 0, 0, 0, \dots, 0, 1, 0, 0, 0);$
- $M_{m3} = (0, 0, 0, 0, 0, 0, 0, 0, \dots, 0, 0, 1, 0, 0);$
- $M_{m4} = (0, 0, 0, 0, 0, 0, 0, 0, \dots, 0, 0, 0, 1, 0);$

Studiind proprietatile comportamentale ale rețelei Petri PN_{AS}_Nm , pe baza arborelui de acoperire rezulta:

- rețeaua este *marginita* (simbolul ω nu apare in arborele de acoperire);

- rețeaua este *sigura* (marcajele din toate nodurile arborelui de acoperire contin numai „0” și „1”);
- rețeaua *nu este blocanta* (toate tranzitiile au asociate arce în arborele de acoperire);
- rețeaua este *accesibila* (orice marcaj poate fi atins pornind din M_0).

Graful de acoperire corespunzător este prezentat în figura 2.123.

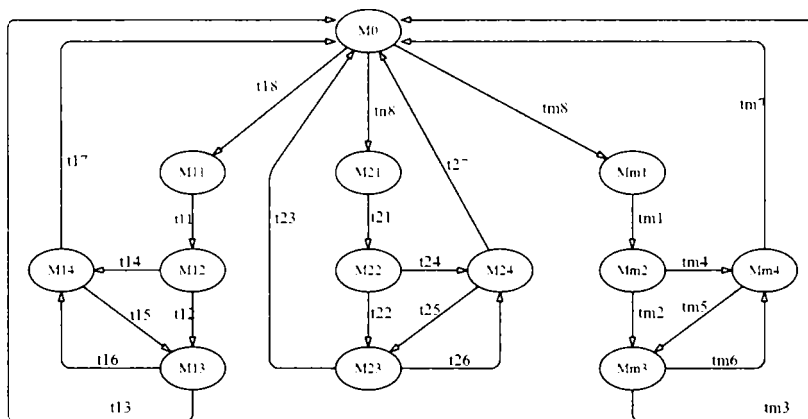


Figura 2.123. Graful de acoperire al rețelei Petri PN_AS_Nm

Structura rezultată pentru graful de acoperire confirmă că modelul de rețea Petri derivat din modelul de tip automat corespunzător nodului cu n intrări și o ieșire este *accesibilă*.

Concluzionând, se poate afirma că modelul ales este *viabil* din punct de vedere comportamental.

Analiza rețelei Petri PN_AS_Nm din punct de vedere structural se face pe baza analizei existenței invariabilor de tip P respectiv T .

Pentru determinarea numărului de invariabili P respectiv T s-a aplicat teorema 2.3.

Rangul matricii A este în acest caz:

$$\text{rang } A = nr_ies_nod \cdot \text{rang} N_1$$

unde:

- nr_ies_nod – reprezintă numărul de ieșiri ale nodului;
- $\text{rang} N_1$ – reprezintă rangul matricii de incidență corespunzătoare nodului de tip 1 ($\text{rang} N_1 = 4$).

Numărul de invariabili P corespunzatori se poate calcula cu:

$$Nr_Inv_P = m - \text{rang } A = m - nr_ies_nod \cdot \text{rang} N_1$$

iar numărul de invariabili T cu:

$$Nr_Inv_T = n - \text{rang } A = n - nr_ies_nod \cdot \text{rang} N_1$$

2.5.2.7.2. Modelarea nodului cu o intrare si m iesiri cu ajutorul retelei Petri

2.5.2.7.2.1. Cazul: retea Petri netemporizata

Structura retelei Petri considerate pentru modelarea nodului cu o intrare si m iesiri este prezentata în figura 2.124.

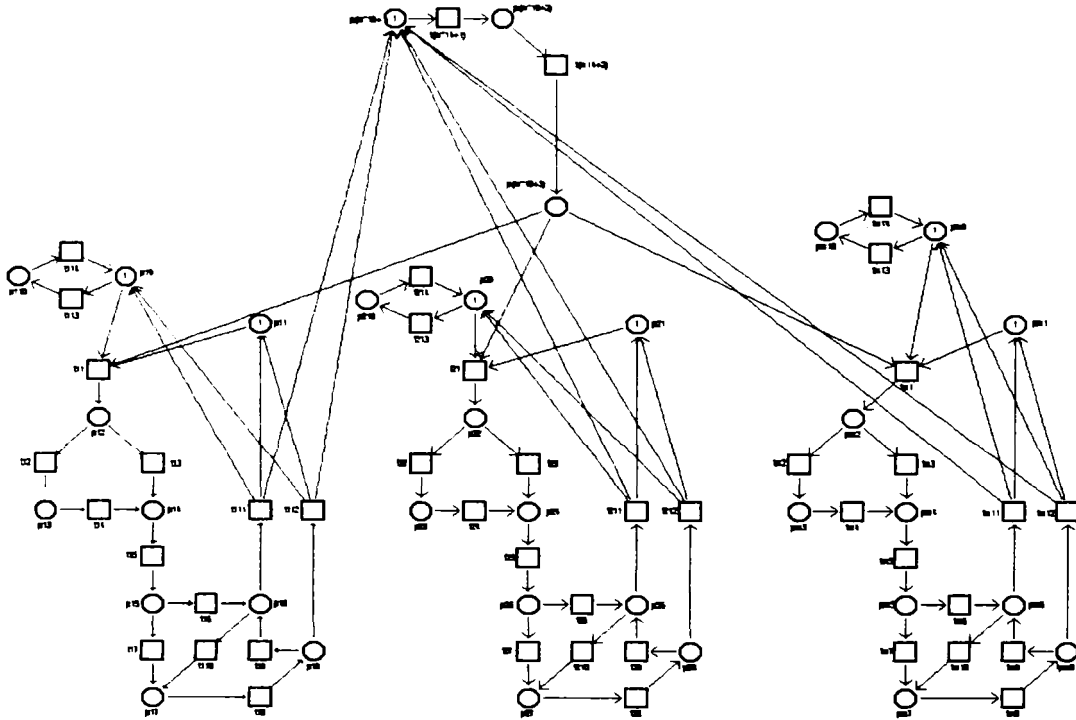


Figura 2.124. Structura retelei Petri corespunzătoare nodului cu o intrare si m iesiri

Dupa cum se observa automatul secvential al nodului este realizat prin sincronizarea a m retele Petri $PN_{PT_{N1}}$, in mod similar cu cele prezentate la nodul de tip 4.

Topologia retelei Petri validata de PNT este prezentata in figura 2.125.

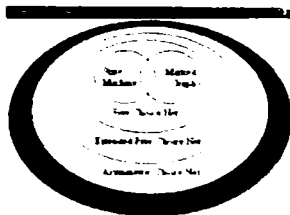


Figura 2.125. Topologia retelei Petri validata de PNT

Reteaua Petri considerata este formalizata prin cvintuplul:

$$PN_PT_Nm = (P, T, F, W, M_0)$$

unde:

- $$P = \bigcup_{i=1}^m \{p_{i1}, p_{i2}, p_{i3}, p_{i4}, p_{i5}, p_{i6}, p_{i7}, p_{i8}, p_{i9}, p_{i10}\} \cup \{p(m10+1), p(m10+2), p(m8+3)\}$$
- $$T = \bigcup_{i=1}^m \{t_{i1}, t_{i2}, t_{i3}, t_{i4}, t_{i5}, t_{i6}, t_{i7}, t_{i8}, t_{i9}, t_{i10}, t_{i11}, t_{i12}, t_{i13}, t_{i14}\} \cup \{t(m14+1), t(m14+2)\}$$
- $$F = \bigcup_{i=1}^m \{(p_{i1}, t_{i1}), (p_{i2}, t_{i2}), (p_{i2}, t_{i3}), (p_{i3}, t_{i4}), (p_{i4}, t_{i5}), (p_{i5}, t_{i6}), (p_{i5}, t_{i7}), (p_{i6}, t_{i10}), (p_{i6}, t_{i11}), (p_{i7}, t_{i8}), (p_{i8}, t_{i9}), (p_{i8}, t_{i12}), (p_{n9}, t_{i13}), (p_{m10+3}, t_{i1})\} \cup \{(t_{i1}, p_{i2}), (t_{i2}, p_{i3}), (t_{i3}, p_{i4}), (t_{i4}, p_{i4}), (t_{i5}, p_{i5}), (t_{i6}, p_{i6}), (t_{i7}, p_{i7}), (t_{i8}, p_{i8}), (t_{i9}, p_{i6}), (t_{i10}, p_{i7}), (t_{i11}, p_{i1}), (t_{i11}, p_{n9}), (t_{i11}, p(m10+1)), (t_{i12}, p_{i1}), (t_{i12}, p(m10+1)), (t_{i13}, p_{i10}), (t_{i14}, p_{i9})\} \cup \{(p_{m10+1}, t_{m14+1}), (p_{m10+2}, t_{m14+2})\} \cup \{(t_{m14+1}, p_{m10+2}), (t_{m14+2}, p_{m10+3})\}$$
- $$W(p_{i1}, t_{i1}) = 1, W(p_{i2}, t_{i2}) = 1, W(p_{i2}, t_{i3}) = 1, W(p_{i3}, t_{i4}) = 1, W(p_{i4}, t_{i5}) = 1, W(p_{i5}, t_{i6}) = 1, W(p_{i5}, t_{i7}) = 1, W(p_{i6}, t_{i10}) = 1, W(p_{i6}, t_{i11}) = 1, W(p_{i7}, t_{i8}) = 1, W(p_{i8}, t_{i9}) = 1, W(p_{i8}, t_{i12}) = 1, W(p_{n9}, t_{i13}) = 1, W(p_{m10}, t_{i14}) = 1, W(p_{m10+3}, t_{i1}) = 1, W(t_{i1}, p_{i2}) = 1, W(t_{i2}, p_{i3}) = 1, W(t_{i3}, p_{i4}) = 1, W(t_{i4}, p_{i4}) = 1, W(t_{i5}, p_{i5}) = 1, W(t_{i6}, p_{i6}) = 1, W(t_{i7}, p_{i7}) = 1, W(t_{i8}, p_{i8}) = 1, W(t_{i9}, p_{i6}) = 1, W(t_{i10}, p_{i7}) = 1, W(t_{i11}, p_{i1}) = 1, W(t_{i11}, p_{n9}) = 1, W(t_{i11}, p(m10+1)) = 1, W(t_{i12}, p_{i1}) = 1, W(t_{i12}, p(m10+1)) = 1, W(t_{i13}, p_{i10}) = 1, W(t_{i14}, p_{i9}) = 1, W(p_{m10+1}, t_{m14+1}) = 1, W(p_{m10+2}, t_{m14+2}) = 1, W(t_{m14+1}, p_{m10+2}) = 1, W(t_{m14+2}, p_{m10+3}) = 1$$
- $$M_0 = [1, 0, 0, 0, 0, 0, 0, 0, 1, 0, 1, 0, 0, 0, 0, 0, 0, 0, 1, 0, \dots, 1, 0, 0, 0, 0, 0, 0, 0, 1, 0, 1, 0, 0]^T$$

Matricile de incidență corespunzătoare stoperului (intrării) i , unde coloanele sunt $p_{i1}, p_{i2}, p_{i3}, p_{i4}, p_{i5}, p_{i6}, p_{i7}, p_{i8}, p_{i9}$ și p_{i10} iar linile: $t_{i1}, t_{i2}, t_{i3}, t_{i4}, t_{i5}, t_{i6}, t_{i7}, t_{i8}, t_{i9}, t_{i10}, t_{i11}, t_{i12}, t_{i13}$ și t_{i14} sunt.

Matricea de incidenta de intrare:

$$A_{Ii} = \begin{pmatrix} 1000000010 \\ 0100000000 \\ 0100000000 \\ 0010000000 \\ 0001000000 \\ 0000100000 \\ 0000100000 \\ 0000001000 \\ 0000000100 \\ 0000000100 \\ 0000000100 \\ 0000000100 \\ 0000000100 \\ 0000000010 \\ 0000000001 \end{pmatrix}$$

Matricea de incidenta de iesire:

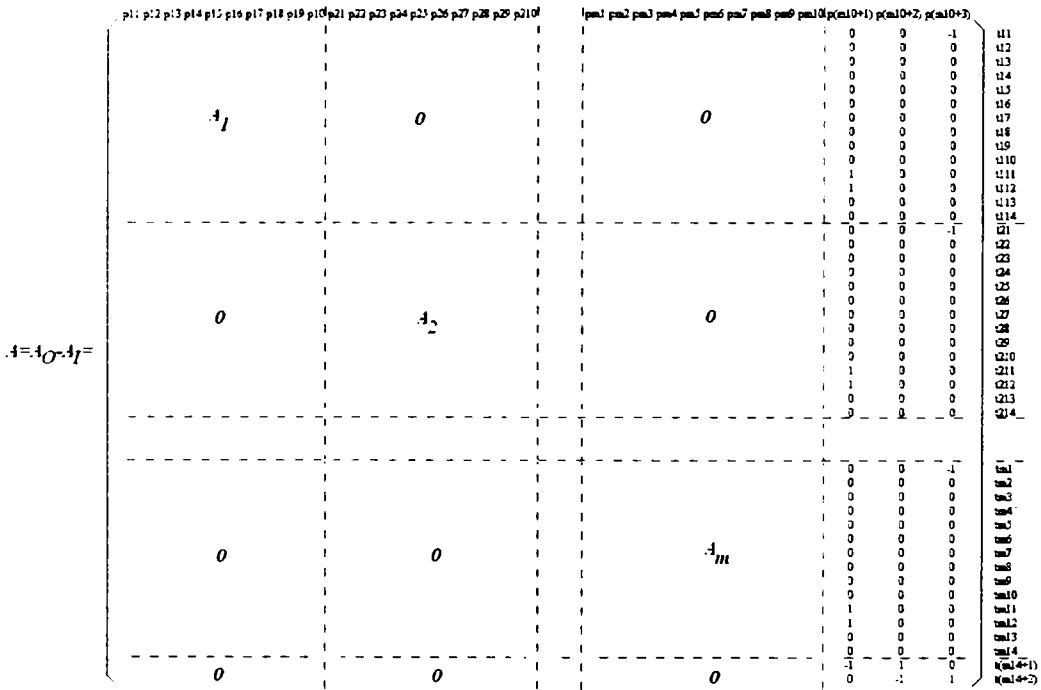
$$A_{Oj} = \begin{pmatrix} 0100000000 \\ 0010000000 \\ 0001000000 \\ 0001000000 \\ 0000100000 \\ 0000010000 \\ 0000001000 \\ 0000000100 \\ 0000000100 \\ 0000000100 \\ 0000000100 \\ 1000000010 \\ 1000000010 \\ 0000000001 \\ 0000000010 \end{pmatrix}$$

Matricea de incidenta:

$$A_j = A_{Oj} - A_{Ii} = \begin{pmatrix} -1 & 1 & 0 & 0 & 0 & 0 & 0 & 0 & -1 & 0 \\ 0 & -1 & 0 & 0 & 0 & 0 & 0 & 0 & 0 & 0 \\ 0 & -1 & 0 & 1 & 0 & 0 & 0 & 0 & 0 & 0 \\ 0 & 0 & -1 & 1 & 0 & 0 & 0 & 0 & 0 & 0 \\ 0 & 0 & 0 & -1 & 1 & 0 & 0 & 0 & 0 & 0 \\ 0 & 0 & 0 & 0 & -1 & 1 & 0 & 0 & 0 & 0 \\ 0 & 0 & 0 & 0 & -1 & 0 & 1 & 0 & 0 & 0 \\ 0 & 0 & 0 & 0 & 0 & 0 & -1 & 1 & 0 & 0 \\ 0 & 0 & 0 & 0 & 0 & 1 & 0 & -1 & 0 & 0 \\ 0 & 0 & 0 & 0 & 0 & -1 & 1 & 0 & 0 & 0 \\ 1 & 0 & 0 & 0 & 0 & -1 & 0 & 0 & 1 & 0 \\ 1 & 0 & 0 & 0 & 0 & 0 & 0 & -1 & 1 & 0 \\ 0 & 0 & 0 & 0 & 0 & 0 & 0 & 0 & -1 & 1 \\ 0 & 0 & 0 & 0 & 0 & 0 & 0 & 0 & 1 & -1 \end{pmatrix}$$

Avand structurile matricilor pentru un stoper, matricile corespunzatoare nodului cu o intrare (un stoper) si m iesiri sunt.

Matricea de incidenta:



Datorita complexitatii acestui model, arborele de acoperire corespunzator este prezentat in tabelul 2.15 sub forma text.

Tabelul 2.15 Arborele de acoperire corespunzator nodului cu m intrari si o iesire

M0	t113	M1	M0	t213	M2	M0	tm13	M3
M0	t(m*14+1)	M4	M1	t114	M0	M1	t213	M5
M1	tm13	M6	M1	t(m*14+1)	M7	M2	t113	M5
M2	t214	M0	M2	tm13	M8	M2	t(m*14+1)	M9
M3	t113	M6	M3	t213	M8	M3	tm14	M0
M3	t(m*14+1)	M10	M4	t113	M7	M4	t213	M9
M4	tm13	M10	M4	t(m14+2)	M11	M5	t114	M2
M5	t214	M1	M5	tm13	M12	M5	t(m*14+1)	M13
M6	t114	M3	M6	t213	M12	M6	tm14	M1
M6	t(m*14+1)	M14	M7	t114	M4	M7	t213	M13
M7	tm13	M14	M7	t(m14+2)	M15	M8	t113	M12
M8	t214	M3	M8	tm14	M2	M8	t(m*14+1)	M16

)	
M9	t113	M13	M9	t214	M4	M9	tm13	M16
M9	t(m14+2)	M17	M10	t113	M14	M10	t213	M16
M10	tm14	M4	M10	t(m14+2)	M18	M11	t11	M19
M11	t113	M15	M11	t21	M20	M11	t213	M17
M11	tm1	M21	M11	tm13	M18	M12	t114	M8
M12	t214	M6	M12	tm14	M5	M12	t(m*14+1))	M22
M13	t114	M9	M13	t214	M7	M13	tm13	M22
M13	t(m14+2)	M23	M14	t114	M10	M14	t213	M22
M14	tm14	M7	M14	t(m14+2)	M24	M15	t114	M11
M15	t21	M25	M15	t213	M23	M15	tm1	M26
M15	tm13	M24	M16	t113	M22	M16	t214	M10
M16	tm14	M9	M16	t(m14+2)	M27	M17	t11	M28
M17	t113	M23	M17	t214	M11	M17	tm1	M29
M17	tm13	M27	M18	t11	M30	M18	t113	M24
M18	t21	M31	M18	t213	M27	M18	tm14	M11
M19	t12	M32	M19	t13	M33	M19	t213	M28
M19	tm13	M30	M20	t113	M25	M20	t22	M34
M20	t23	M35	M20	tm13	M31	M21	t113	M26
M21	t213	M29	M21	tm2	M36	M21	tm3	M37
M22	t114	M16	M22	t214	M14	M22	tm14	M13
M22	t(m14+2)	M38	M23	t114	M17	M23	t214	M15
M23	tm1	M39	M23	tm13	M38	M24	t114	M18
M24	t21	M40	M24	t213	M38	M24	tm14	M15
M25	t114	M20	M25	t22	M41	M25	t23	M42
M25	tm13	M40	M26	t114	M21	M26	t213	M39
M26	tm2	M43	M26	tm3	M44	M27	t11	M45
M27	t113	M38	M27	t214	M18	M27	tm14	M17
M28	t12	M46	M28	t13	M47	M28	t214	M19
M28	tm13	M45	M29	t113	M39	M29	t214	M21
M29	tm2	M48	M29	tm3	M49	M30	t12	M50
M30	t13	M51	M30	t213	M45	M30	tm14	M19
M31	t113	M40	M31	t22	M52	M31	t23	M53
M31	tm14	M20	M32	t14	M33	M32	t213	M46
M32	tm13	M50	M33	t15	M54	M33	t213	M47

M33	tm13	M51	M34	t113	M41	M34	t24	M35
M34	tm13	M52	M35	t113	M42	M35	t25	M55
M35	tm13	M53	M36	t113	M43	M36	t213	M48
M36	tm4	M37	M37	t113	M44	M37	t213	M49
M37	tm5	M56	M38	t114	M27	M38	t214	M24
M38	tm14	M23	M39	t114	M29	M39	t214	M26
M39	tm2	M57	M39	tm3	M58	M40	t114	M31
M40	t22	M59	M40	t23	M60	M40	tm14	M25
M41	t114	M34	M41	t24	M42	M41	tm13	M59
M42	t114	M35	M42	t25	M61	M42	tm13	M60
M43	t114	M36	M43	t213	M57	M43	tm4	M44
M44	t114	M37	M44	t213	M58	M44	tm5	M62
M45	t12	M63	M45	t13	M64	M45	t214	M30
M45	tm14	M28	M46	t14	M47	M46	t214	M32
M46	tm13	M63	M47	t15	M65	M47	t214	M33
M47	tm13	M64	M48	t113	M57	M48	t214	M36
M48	tm4	M49	M49	t113	M58	M49	t214	M37
M49	tm5	M66	M50	t14	M51	M50	t213	M63
M50	tm14	M32	M51	t15	M67	M51	t213	M64
M51	tm14	M33	M52	t113	M59	M52	t24	M53
M52	tm14	M34	M53	t113	M60	M53	t25	M68
M53	tm14	M35	M54	t16	M69	M54	t17	M70
M54	t213	M65	M54	tm13	M67	M55	t113	M61
M55	t26	M71	M55	t27	M72	M55	tm13	M68
M56	t113	M62	M56	t213	M66	M56	tm6	M73
M56	tm7	M74	M57	t114	M48	M57	t214	M43
M57	tm4	M58	M58	t114	M49	M58	t214	M44
M58	tm5	M75	M59	t114	M52	M59	t24	M60
M59	tm14	M41	M60	t114	M53	M60	t25	M76
M60	tm14	M42	M61	t114	M55	M61	t26	M77
M61	t27	M78	M61	tm13	M76	M62	t114	M56
M62	t213	M75	M62	tm6	M79	M62	tm7	M80
M63	t14	M64	M63	t214	M50	M63	tm14	M46
M64	t15	M81	M64	t214	M51	M64	tm14	M47
M65	t16	M82	M65	t17	M83	M65	t214	M54

M65	tm13	M81	M66	t113	M75	M66	t214	M56
M66	tm6	M84	M66	tm7	M85	M67	t16	M86
M67	t17	M87	M67	t213	M81	M67	tm14	M54
M68	t113	M76	M68	t26	M88	M68	t27	M89
M68	tm14	M55	M69	t110	M70	M69	t111	M0
M69	t213	M82	M69	tm13	M86	M70	t18	M90
M70	t213	M83	M70	tm13	M87	M71	t113	M77
M71	t210	M72	M71	t211	M0	M71	tm13	M88
M72	t113	M78	M72	t28	M91	M72	tm13	M89
M73	t113	M79	M73	t213	M84	M73	tm10	M74
M73	tm11	M0	M74	t113	M80	M74	t213	M85
M74	tm8	M92	M75	t114	M66	M75	t214	M62
M75	tm6	M93	M75	tm7	M94	M76	t114	M68
M76	t26	M95	M76	t27	M96	M76	tm14	M61
M77	t114	M71	M77	t210	M78	M77	t211	M1
M77	tm13	M95	M78	t114	M72	M78	t28	M97
M78	tm13	M96	M79	t114	M73	M79	t213	M93
M79	tm10	M80	M79	tm11	M1	M80	t114	M74
M80	t213	M94	M80	tm8	M98	M81	t16	M99
M81	t17	M100	M81	t214	M67	M81	tm14	M65
M82	t110	M83	M82	t111	M2	M82	t214	M69
M82	tm13	M99	M83	t18	M101	M83	t214	M70
M83	tm13	M100	M84	t113	M93	M84	t214	M73
M84	tm10	M85	M84	tm11	M2	M85	t113	M94
M85	t214	M74	M85	tm8	M102	M86	t110	M87
M86	t111	M3	M86	t213	M99	M86	tm14	M69
M87	t18	M103	M87	t213	M100	M87	tm14	M70
M88	t113	M95	M88	t210	M89	M88	t211	M3
M88	tm14	M71	M89	t113	M96	M89	t28	M104
M89	tm14	M72	M90	t19	M69	M90	t112	M0
M90	t213	M101	M90	tm13	M103	M91	t113	M97
M91	t29	M71	M91	t212	M0	M91	tm13	M104
M92	t113	M98	M92	t213	M102	M92	tm9	M73
M92	tm12	M0	M93	t114	M84	M93	t214	M79
M93	tm10	M94	M93	tm11	M5	M94	t114	M85

M94	t214	M80	M94	tm8	M105	M95	t114	M88
M95	t210	M96	M95	t211	M6	M95	tm14	M77
M96	t114	M89	M96	t28	M106	M96	tm14	M78
M97	t114	M91	M97	t29	M77	M97	t212	M1
M97	tm13	M106	M98	t114	M92	M98	t213	M105
M98	tm9	M79	M98	tm12	M1	M99	t110	M100
M99	t111	M8	M99	t214	M86	M99	tm14	M82
M100	t18	M107	M100	t214	M87	M100	tm14	M83
M101	t19	M82	M101	t112	M2	M101	t214	M90
M101	tm13	M107	M102	t113	M105	M102	t214	M92
M102	tm9	M84	M102	tm12	M2	M103	t19	M86
M103	t112	M3	M103	t213	M107	M103	tm14	M90
M104	t113	M106	M104	t29	M88	M104	t212	M3
M104	tm14	M91	M105	t114	M102	M105	t214	M98
M105	tm9	M93	M105	tm12	M5	M106	t114	M104
M106	t29	M95	M106	t212	M6	M106	tm14	M97
M107	t19	M99	M107	t112	M8	M107	t214	M103
M107	tm14	M101						

unde:

M[p11,p12,p13,p14,p15,p16,p17,p18,p19,p110,p21,p22,p23,p24,p25,p26,p27,p28,
p29,p210,pm1,pm2,pm3,pm4,pm5,pm6,pm7,pm8,pm9,pm10,p(m*10+1),p(m*10+
2),
p(m*10+3)]

M0 = [1,0,0,0,0,0,0,0,1,0,1,0,0,0,0,0,0,0,1,0,1,0,0,0,0,0,0,0,1,0,1,0,0]

M1 = [1,0,0,0,0,0,0,0,0,1,1,0,0,0,0,0,0,0,1,0,1,0,0,0,0,0,0,0,1,0,1,0,0]

M2 = [1,0,0,0,0,0,0,0,1,0,1,0,0,0,0,0,0,0,0,1,1,0,0,0,0,0,0,0,1,0,1,0,0]

M3 = [1,0,0,0,0,0,0,0,1,0,1,0,0,0,0,0,0,0,1,0,1,0,0,0,0,0,0,0,0,1,1,0,0]

M4 = [1,0,0,0,0,0,0,0,1,0,1,0,0,0,0,0,0,0,1,0,1,0,0,0,0,0,0,0,1,0,0,1,0]

M5 = [1,0,0,0,0,0,0,0,0,1,1,0,0,0,0,0,0,0,0,1,1,0,0,0,0,0,0,0,1,0,1,0,0]

M6 = [1,0,0,0,0,0,0,0,0,1,1,0,0,0,0,0,0,0,1,0,1,0,0,0,0,0,0,0,0,1,1,0,0]

M7 = [1,0,0,0,0,0,0,0,0,1,1,0,0,0,0,0,0,0,1,0,1,0,0,0,0,0,0,0,1,0,0,1,0]

M8 = [1,0,0,0,0,0,0,0,1,0,1,0,0,0,0,0,0,0,0,1,1,0,0,0,0,0,0,0,0,1,1,0,0]

M9 = [1,0,0,0,0,0,0,0,1,0,1,0,0,0,0,0,0,0,0,1,1,0,0,0,0,0,0,0,1,0,0,1,0]

M10 =

[1,0,0,0,0,0,0,0,1,0,1,0,0,0,0,0,0,0,1,0,1,0,0,0,0,0,0,0,0,1,0,1,0]

M11 =

[1,0,0,0,0,0,0,1,0,1,0,0,0,0,0,0,1,0,1,0,0,0,0,0,0,1,0,0,0,1]

M12 =

[1,0,0,0,0,0,0,0,1,1,0,0,0,0,0,0,0,1,1,0,0,0,0,0,0,0,1,1,0,0]

M13 =

[1,0,0,0,0,0,0,0,1,1,0,0,0,0,0,0,0,1,1,0,0,0,0,0,0,1,0,0,1,0]

M14 =

[1,0,0,0,0,0,0,0,1,1,0,0,0,0,0,0,0,1,0,1,0,0,0,0,0,0,0,1,0,1,0]

M15 =

[1,0,0,0,0,0,0,0,1,1,0,0,0,0,0,0,0,1,0,1,0,0,0,0,0,0,0,1,0,0,1]

M16 =

[1,0,0,0,0,0,0,0,1,0,1,0,0,0,0,0,0,0,1,1,0,0,0,0,0,0,0,1,0,1,0]

M17 =

[1,0,0,0,0,0,0,0,1,0,1,0,0,0,0,0,0,0,1,1,0,0,0,0,0,0,1,0,0,0,1]

M18 =

[1,0,0,0,0,0,0,0,1,0,1,0,0,0,0,0,0,0,1,0,1,0,0,0,0,0,0,0,1,0,0,1]

M19 =

[0,1,0,0,0,0,0,0,0,1,0,0,0,0,0,0,0,1,0,1,0,0,0,0,0,0,0,1,0,0,0,0]

M20 =

[1,0,0,0,0,0,0,0,1,0,0,1,0,0,0,0,0,0,0,1,0,0,0,0,0,0,0,1,0,0,0,0]

M21 =

[1,0,0,0,0,0,0,0,1,0,1,0,0,0,0,0,0,0,1,0,0,1,0,0,0,0,0,0,0,0,0,0]

M22 =

[1,0,0,0,0,0,0,0,1,1,0,0,0,0,0,0,0,0,1,1,0,0,0,0,0,0,0,0,1,0,1,0]

M23 =

[1,0,0,0,0,0,0,0,1,1,0,0,0,0,0,0,0,0,1,1,0,0,0,0,0,0,0,1,0,0,0,1]

M24 =

[1,0,0,0,0,0,0,0,1,1,0,0,0,0,0,0,0,1,0,1,0,0,0,0,0,0,0,0,1,0,0,1]

M25 =

[1,0,0,0,0,0,0,0,1,0,1,0,0,0,0,0,0,0,0,1,0,0,0,0,0,0,0,1,0,0,0,0]

M26 =

[1,0,0,0,0,0,0,0,1,1,0,0,0,0,0,0,0,1,0,0,1,0,0,0,0,0,0,0,0,0,0,0]

M27 =

[1,0,0,0,0,0,0,0,1,0,1,0,0,0,0,0,0,0,0,1,1,0,0,0,0,0,0,0,1,0,0,1]

M28 =

[0,1,0,0,0,0,0,0,0,1,0,0,0,0,0,0,0,0,1,1,0,0,0,0,0,0,0,1,0,0,0,0]

M29 =

[1,0,0,0,0,0,0,0,1,0,1,0,0,0,0,0,0,0,0,1,0,1,0,0,0,0,0,0,0,0,0,0]

M30 =

[0,1,0,0,0,0,0,0,0,1,0,0,0,0,0,0,0,1,0,1,0,0,0,0,0,0,0,0,1,0,0,0]

M31 =

[1,0,0,0,0,0,0,0,1,0,0,1,0,0,0,0,0,0,0,1,0,0,0,0,0,0,0,0,1,0,0,0]

M32 =

[0,0,1,0,0,0,0,0,0,0,1,0,0,0,0,0,0,0,1,0,1,0,0,0,0,0,0,0,1,0,0,0,0]

M33 =

[0,0,0,1,0,0,0,0,0,0,1,0,0,0,0,0,0,0,1,0,1,0,0,0,0,0,0,0,1,0,0,0,0]

M34 =

[1,0,0,0,0,0,0,0,1,0,0,0,1,0,0,0,0,0,0,0,1,0,0,0,0,0,0,0,1,0,0,0,0]

M35 =

[1,0,0,0,0,0,0,0,1,0,0,0,0,1,0,0,0,0,0,0,1,0,0,0,0,0,0,0,1,0,0,0,0]

M36 =

[1,0,0,0,0,0,0,0,1,0,1,0,0,0,0,0,0,0,1,0,0,0,1,0,0,0,0,0,0,0,0,0]

M37 =

[1,0,0,0,0,0,0,0,1,0,1,0,0,0,0,0,0,0,1,0,0,0,0,1,0,0,0,0,0,0,0,0]

M38 =

[1,0,0,0,0,0,0,0,0,1,1,0,0,0,0,0,0,0,0,1,1,0,0,0,0,0,0,0,0,1,0,0,1]

M39 =

[1,0,0,0,0,0,0,0,0,1,1,0,0,0,0,0,0,0,0,1,0,1,0,0,0,0,0,0,0,0,0,0]

M40 =

[1,0,0,0,0,0,0,0,0,1,0,1,0,0,0,0,0,0,0,0,1,0,0,0,0,0,0,0,0,1,0,0,0]

M41 =

[1,0,0,0,0,0,0,0,0,1,0,0,1,0,0,0,0,0,0,0,1,0,0,0,0,0,0,0,1,0,0,0,0]

M42 =

[1,0,0,0,0,0,0,0,0,1,0,0,0,1,0,0,0,0,0,0,1,0,0,0,0,0,0,0,1,0,0,0,0]

M43 =

[1,0,0,0,0,0,0,0,0,1,1,0,0,0,0,0,0,0,1,0,0,0,1,0,0,0,0,0,0,0,0,0]

M44 =

[1,0,0,0,0,0,0,0,0,1,1,0,0,0,0,0,0,0,1,0,0,0,0,1,0,0,0,0,0,0,0,0]

M45 =

[0,1,0,0,0,0,0,0,0,0,1,0,0,0,0,0,0,0,0,1,1,0,0,0,0,0,0,0,0,1,0,0,0]

M46 =

[0,0,1,0,0,0,0,0,0,0,1,0,0,0,0,0,0,0,0,1,1,0,0,0,0,0,0,0,1,0,0,0,0]

M47 =

[0,0,0,1,0,0,0,0,0,0,1,0,0,0,0,0,0,0,0,1,1,0,0,0,0,0,0,0,1,0,0,0,0]

M48 =

[1,0,0,0,0,0,0,0,0,1,0,1,0,0,0,0,0,0,0,0,1,0,0,1,0,0,0,0,0,0,0,0]

M49 =

[1,0,0,0,0,0,0,0,0,1,0,1,0,0,0,0,0,0,0,0,1,0,0,0,1,0,0,0,0,0,0,0]

M50 =

[0,0,1,0,0,0,0,0,0,0,1,0,0,0,0,0,0,0,1,0,1,0,0,0,0,0,0,0,0,1,0,0,0]

M51 =

[0,0,0,1,0,0,0,0,0,0,1,0,0,0,0,0,0,0,1,0,1,0,0,0,0,0,0,0,0,1,0,0,0]

M52 =

[1,0,0,0,0,0,0,0,0,1,0,0,0,1,0,0,0,0,0,0,1,0,0,0,0,0,0,0,0,1,0,0,0]

M53 =

[1,0,0,0,0,0,0,0,1,0,0,0,0,1,0,0,0,0,0,0,1,0,0,0,0,0,0,0,1,0,0,0]

M54 =

[0,0,0,0,1,0,0,0,0,0,1,0,0,0,0,0,0,0,1,0,1,0,0,0,0,0,0,0,1,0,0,0,0]

M55 =

[1,0,0,0,0,0,0,0,1,0,0,0,0,0,1,0,0,0,0,0,1,0,0,0,0,0,0,0,1,0,0,0,0]

M56 =

[1,0,0,0,0,0,0,0,1,0,1,0,0,0,0,0,0,0,1,0,0,0,0,0,0,1,0,0,0,0,0,0,0]

M57 =

[1,0,0,0,0,0,0,0,0,1,1,0,0,0,0,0,0,0,0,1,0,0,1,0,0,0,0,0,0,0,0,0,0]

M58 =

[1,0,0,0,0,0,0,0,0,1,1,0,0,0,0,0,0,0,0,1,0,0,0,1,0,0,0,0,0,0,0,0,0]

M59 =

[1,0,0,0,0,0,0,0,0,1,0,0,1,0,0,0,0,0,0,0,1,0,0,0,0,0,0,0,0,1,0,0,0]

M60 =

[1,0,0,0,0,0,0,0,0,1,0,0,0,1,0,0,0,0,0,0,1,0,0,0,0,0,0,0,0,1,0,0,0]

M61 =

[1,0,0,0,0,0,0,0,0,1,0,0,0,0,1,0,0,0,0,0,1,0,0,0,0,0,0,0,1,0,0,0,0]

M62 =

[1,0,0,0,0,0,0,0,0,1,1,0,0,0,0,0,0,0,0,1,0,0,0,0,0,1,0,0,0,0,0,0,0]

M63 =

[0,0,1,0,0,0,0,0,0,0,1,0,0,0,0,0,0,0,0,0,1,1,0,0,0,0,0,0,0,0,1,0,0,0]

M64 =

[0,0,0,1,0,0,0,0,0,0,0,1,0,0,0,0,0,0,0,0,0,1,1,0,0,0,0,0,0,0,0,1,0,0,0]

M65 =

[0,0,0,0,1,0,0,0,0,0,0,1,0,0,0,0,0,0,0,0,0,1,1,0,0,0,0,0,0,0,1,0,0,0,0]

M66 =

[1,0,0,0,0,0,0,0,0,1,0,1,0,0,0,0,0,0,0,0,0,1,0,0,0,0,0,1,0,0,0,0,0,0,0]

M67 =

[0,0,0,0,1,0,0,0,0,0,0,1,0,0,0,0,0,0,0,0,1,0,1,0,0,0,0,0,0,0,0,1,0,0,0]

M68 =

[1,0,0,0,0,0,0,0,0,1,0,0,0,0,0,0,1,0,0,0,0,0,1,0,0,0,0,0,0,0,0,1,0,0,0]

M69 =

[0,0,0,0,0,1,0,0,0,0,0,1,0,0,0,0,0,0,0,0,1,0,1,0,0,0,0,0,0,0,0,1,0,0,0,0]

M70 =

[0,0,0,0,0,0,0,1,0,0,0,0,1,0,0,0,0,0,0,0,0,1,0,1,0,0,0,0,0,0,0,1,0,0,0,0]

M71 =

[1,0,0,0,0,0,0,0,0,1,0,0,0,0,0,0,0,1,0,0,0,0,1,0,0,0,0,0,0,0,0,1,0,0,0,0]

M72 =

[1,0,0,0,0,0,0,0,0,1,0,0,0,0,0,0,0,0,1,0,0,0,0,1,0,0,0,0,0,0,0,1,0,0,0,0]

M73 =

[1,0,0,0,0,0,0,0,0,1,0,1,0,0,0,0,0,0,0,0,1,0,0,0,0,0,0,1,0,0,0,0,0,0,0]

M74 =

[1,0,0,0,0,0,0,0,1,0,1,0,0,0,0,0,0,0,1,0,0,0,0,0,0,0,1,0,0,0,0,0,0,0,1,0,0,0,0,0,0]

M75 =

[1,0,0,0,0,0,0,0,0,0,1,1,0,0,0,0,0,0,0,0,1,0,0,0,0,1,0,0,0,0,0,0,0,0,0]

M76 =

[1,0,0,0,0,0,0,0,0,0,1,0,0,0,0,0,1,0,0,0,0,0,1,0,0,0,0,0,0,0,0,1,0,0,0]

M77 =

[1,0,0,0,0,0,0,0,0,0,1,0,0,0,0,0,0,1,0,0,0,0,1,0,0,0,0,0,0,0,1,0,0,0,0]

M78 =

[1,0,0,0,0,0,0,0,0,0,1,0,0,0,0,0,0,0,1,0,0,0,1,0,0,0,0,0,0,0,1,0,0,0,0]

M79 =

[1,0,0,0,0,0,0,0,0,0,1,1,0,0,0,0,0,0,0,1,0,0,0,0,0,0,1,0,0,0,0,0,0,0,0]

M80 =

[1,0,0,0,0,0,0,0,0,0,1,1,0,0,0,0,0,0,0,1,0,0,0,0,0,0,0,1,0,0,0,0,0,0,0]

M81 =

[0,0,0,0,1,0,0,0,0,0,0,1,0,0,0,0,0,0,0,0,0,1,1,0,0,0,0,0,0,0,0,1,0,0,0]

M82 =

[0,0,0,0,0,1,0,0,0,0,0,1,0,0,0,0,0,0,0,0,0,1,1,0,0,0,0,0,0,0,1,0,0,0,0]

M83 =

[0,0,0,0,0,0,0,1,0,0,0,0,1,0,0,0,0,0,0,0,0,0,1,1,0,0,0,0,0,0,0,1,0,0,0,0]

M84 =

[1,0,0,0,0,0,0,0,0,1,0,1,0,0,0,0,0,0,0,0,0,1,0,0,0,0,0,1,0,0,0,0,0,0,0]

M85 =

[1,0,0,0,0,0,0,0,0,1,0,1,0,0,0,0,0,0,0,0,0,1,0,0,0,0,0,0,1,0,0,0,0,0,0]

M86 =

[0,0,0,0,0,1,0,0,0,0,0,1,0,0,0,0,0,0,0,0,1,0,1,0,0,0,0,0,0,0,0,1,0,0,0]

M87 =

[0,0,0,0,0,0,0,1,0,0,0,0,1,0,0,0,0,0,0,0,0,1,0,1,0,0,0,0,0,0,0,0,1,0,0,0]

M88 =

[1,0,0,0,0,0,0,0,0,1,0,0,0,0,0,0,0,1,0,0,0,0,1,0,0,0,0,0,0,0,0,1,0,0,0]

M89 =

[1,0,0,0,0,0,0,0,0,1,0,0,0,0,0,0,0,0,1,0,0,0,1,0,0,0,0,0,0,0,0,0,1,0,0,0]

M90 =

[0,0,0,0,0,0,0,0,1,0,0,0,1,0,0,0,0,0,0,0,0,1,0,1,0,0,0,0,0,0,0,1,0,0,0,0]

M91 =

[1,0,0,0,0,0,0,0,0,1,0,0,0,0,0,0,0,0,0,1,0,0,1,0,0,0,0,0,0,0,0,1,0,0,0,0]

M92 =

[1,0,0,0,0,0,0,0,0,1,0,1,0,0,0,0,0,0,0,0,1,0,0,0,0,0,0,0,0,0,1,0,0,0,0,0]

M93 =

[1,0,0,0,0,0,0,0,0,0,1,1,0,0,0,0,0,0,0,0,0,1,0,0,0,0,0,0,1,0,0,0,0,0,0,0]

M94 =

[1,0,0,0,0,0,0,0,0,0,1,1,0,0,0,0,0,0,0,0,0,1,0,0,0,0,0,0,1,0,0,0,0,0,0]

M95 =

[1,0,0,0,0,0,0,0,0,1,0,0,0,0,0,1,0,0,0,0,0,0,0,0,0,1,0,0,0]

M96 =

[1,0,0,0,0,0,0,0,0,1,0,0,0,0,0,0,1,0,0,0,1,0,0,0,0,0,0,0,1,0,0,0]

M97 =

[1,0,0,0,0,0,0,0,0,1,0,0,0,0,0,0,0,1,0,0,1,0,0,0,0,0,0,0,1,0,0,0,0]

M98 =

[1,0,0,0,0,0,0,0,0,1,1,0,0,0,0,0,0,0,1,0,0,0,0,0,0,0,0,0,1,0,0,0,0]

M99 =

[0,0,0,0,0,1,0,0,0,0,1,0,0,0,0,0,0,0,0,1,1,0,0,0,0,0,0,0,0,1,0,0,0]

M100 =

[0,0,0,0,0,0,1,0,0,0,1,0,0,0,0,0,0,0,0,1,1,0,0,0,0,0,0,0,0,1,0,0,0]

M101 =

[0,0,0,0,0,0,0,1,0,0,1,0,0,0,0,0,0,0,0,0,1,1,0,0,0,0,0,0,0,1,0,0,0,0]

M102 =

[1,0,0,0,0,0,0,0,0,1,0,1,0,0,0,0,0,0,0,0,0,1,0,0,0,0,0,0,0,1,0,0,0,0]

M103 =

[0,0,0,0,0,0,0,0,1,0,0,1,0,0,0,0,0,0,0,0,1,0,1,0,0,0,0,0,0,0,0,1,0,0,0]

M104 =

[1,0,0,0,0,0,0,0,0,1,0,0,0,0,0,0,0,0,0,1,0,0,1,0,0,0,0,0,0,0,0,1,0,0,0]

M105 =

[1,0,0,0,0,0,0,0,0,1,1,0,0,0,0,0,0,0,0,0,1,0,0,0,0,0,0,0,0,1,0,0,0,0]

M106 =

[1,0,0,0,0,0,0,0,0,1,0,0,0,0,0,0,0,0,1,0,0,1,0,0,0,0,0,0,0,0,0,1,0,0,0]

M107 =

[0,0,0,0,0,0,0,0,1,0,0,1,0,0,0,0,0,0,0,0,0,1,1,0,0,0,0,0,0,0,0,1,0,0,0]

Studiind proprietatile comportamentale ale rețelei Petri PN_AS_Nn , pe baza arborelui de acoperire rezulta:

- rețeaua este *marginita* (simbolul ω nu apare în arborele de acoperire);
- rețeaua este *sigura* (marcajele din toate nodurile arborelui de acoperire conțin numai „0” și „1”);
- rețeaua *nu este blocanta* (toate tranzițiile au asociate arce în arborele de acoperire);
- rețeaua este *accesibilă* (orice marcaj poate fi atins pornind din M_0).

Concluzionand, se poate afirma că modelul ales este *viabil* din punct de vedere comportamental.

Analiza rețelei Petri PN_PT_Nm din punct de vedere structural se face pe baza analizei existenței invariantilor de tip P respectiv T .

Pentru determinarea numărului de invarianti P respectiv T s-a aplicat teorema 2.3.

Rangul matricii A în acest caz este:

$$\text{rang } A = nr_nod \cdot \text{rang} N_1$$

unde:

- nr_nod – reprezintă numărul intrărilor;

- $\text{rang}N_1$ – reprezinta matricii de incidenta a nodului de tip 1 ($\text{rang}N_1=7$).

Numarul de invarianti P corespunzatori se poate calcula cu:

$$\text{Nr_Inv_P} = m - \text{rang} A = m - \text{nr_nod} \cdot \text{rang}N_1$$

iar numarul de invarianti T corespunzatori cu:

$$\text{Nr_Inv_T} = n - \text{rang} A = n - \text{nr_nod} \cdot \text{rang}N_1$$

2.5.2.7.2.2. Cazul: retea Petri temporizata P

Structura retelei Petri temporizata P, corespunzatoare nodului cu o intrare si m iesiri, este aceeaasi ca cea prezentata in figura 2.124.

Datorita faptului ca retelele sunt identice din punct de vedere structural si comportamental, rezultatele analizelor nu se mai detaliaza, ele fiind similare celor obtinute in cazul nodului netemporizat.

Fata de situatia prezentata anterior, fiecarei pozitii P i-a fost alocata o unitate de timp corespunzatoare. In acest mod situatia devine reala din punct de vedere al functionarii.

Timpii alocati pozitiilor sunt prezentati in tabelul 2.16.

Tabelul 2.16. Timpii corespunzatori pozitiilor P

Pozitie	Unitati de Timp
Pi1	1
Pi2	5
Pi3	4
Pi4	4
Pi5	7
Pi6	6
Pi7	3
Pi8	5
Pi9	1
Pi10	3
$P(m \cdot 10 + 1)$	1
$P(m \cdot 10 + 2)$	3
$P(m \cdot 10 + 3)$	4

unde $i=1, \dots, m$.

Reteaua Petri considerata este formalizata prin sextuplul:

$$PN_PTtime_Nn = (P, T, F, W, D, M_0)$$

unde:

$$P = \bigcup_{i=1}^m \{P_{i1}, P_{i2}, P_{i3}, P_{i4}, P_{i5}, P_{i6}, P_{i7}, P_{i8}, P_{i9}, P_{i10}\} \cup \{P(m10+1), P(m10+2), P(m8+3)\}$$

- $$T = \bigcup_{i=1}^m \{t_{i1}, t_{i2}, t_{i3}, t_{i4}, t_{i5}, t_{i6}, t_{i7}, t_{i8}, t_{i9}, t_{i10}, t_{i11}, t_{i12}, t_{i13}, t_{i14}\} \cup \{t_{(m14+1)}, t_{(m14+2)}\}$$
- $$F = \bigcup_{i=1}^m \{(p_{i1}, t_{i1}), (p_{i2}, t_{i2}), (p_{i2}, t_{i3}), (p_{i3}, t_{i4}), (p_{i4}, t_{i5}), (p_{i5}, t_{i6}), (p_{i5}, t_{i7}), (p_{i6}, t_{i10}), (p_{i6}, t_{i11}), (p_{i7}, t_{i8}), (p_{i8}, t_{i9}), (p_{i8}, t_{i12}), (p_{n9}, t_{i13}), (p_{n10}, t_{i14}), (p_{m10+3}, t_{i1})\} \cup \{(t_{i1}, p_{i2}), (t_{i2}, p_{i3}), (t_{i3}, p_{i4}), (t_{i4}, p_{i4}), (t_{i5}, p_{i5}), (t_{i6}, p_{i6}), (t_{i7}, p_{i7}), (t_{i8}, p_{i8}), (t_{i9}, p_{i6}), (t_{i10}, p_{i7}), (t_{i11}, p_{i1}), (t_{i11}, p_{n9}), (t_{i11}, p_{(m10+1)}), (t_{i12}, p_{i1}), (t_{i12}, p_{(m10+1)}), (t_{i13}, p_{i10}), (t_{i14}, p_{i9})\} \cup \{(p_{m10+1}, t_{m14+1}), (p_{m10+2}, t_{m14+2})\} \cup \{(t_{m14+1}, p_{m10+2}), (t_{m14+2}, p_{m10+3})\}$$
- $$W(p_{i1}, t_{i1}) = 1, W(p_{i2}, t_{i2}) = 1, W(p_{i2}, t_{i3}) = 1, W(p_{i3}, t_{i4}) = 1, W(p_{i4}, t_{i5}) = 1, W(p_{i5}, t_{i6}) = 1, W(p_{i5}, t_{i7}) = 1, W(p_{i6}, t_{i10}) = 1, W(p_{i6}, t_{i11}) = 1, W(p_{i7}, t_{i8}) = 1, W(p_{i8}, t_{i9}) = 1, W(p_{i8}, t_{i12}) = 1, W(p_{n9}, t_{i13}) = 1, W(p_{n10}, t_{i14}) = 1,$$
- $$W(p_{m10+3}, t_{i1}) = 1, W(t_{i1}, p_{i2}) = 1, W(t_{i2}, p_{i3}) = 1, W(t_{i3}, p_{i4}) = 1, W(t_{i4}, p_{i4}) = 1, W(t_{i5}, p_{i5}) = 1, W(t_{i6}, p_{i6}) = 1, W(t_{i7}, p_{i7}) = 1, W(t_{i8}, p_{i8}) = 1, W(t_{i9}, p_{i6}) = 1, W(t_{i10}, p_{i7}) = 1, W(t_{i11}, p_{i1}) = 1, W(t_{i11}, p_{n9}) = 1, W(t_{i11}, p_{(m10+1)}) = 1, W(t_{i12}, p_{i1}) = 1, W(t_{i12}, p_{(m10+1)}) = 1, W(t_{i13}, p_{i10}) = 1, W(t_{i14}, p_{i9}) = 1, W(p_{m10+1}, t_{m14+1}) = 1, W(p_{m10+2}, t_{m14+2}) = 1, W(t_{m14+1}, p_{m10+2}) = 1, W(t_{m14+2}, p_{m10+3}) = 1$$
- $$D = \{d(p_{i1}) = 1, d(p_{i2}) = 5, d(p_{i3}) = 4, d(p_{i4}) = 4, d(p_{i5}) = 7, d(p_{i6}) = 6, d(p_{i7}) = 3, d(p_{i8}) = 5, d(p_{i9}) = 1, d(p_{i10}) = 3, d(p_{m*10+1}) = 1, d(p_{m*10+2}) = 3, d(p_{m*10+3}) = 4\}$$
- $$M_0 = [1, 0, 0, 0, 0, 0, 0, 0, 1, 0, 0, 0, 0, 0, 0, \dots, 1, 0, 0, 0, 0, 0, 0, 0, 1, 0, 1]^T$$

2.5.2.8. Modelarea nodurilor cu „n” intrari si „m” iesiri [Ung07a]

Nodurile complexe cu n intrari si m iesiri sunt construite cu ajutorul nodurilor definite anterior. Un astfel de nod are structura de principiu prezentata in figura 2.126.

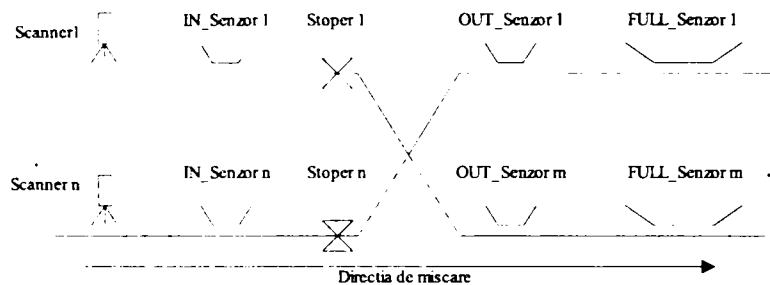


Figura 2.126 Structura de principiu a unui nod cu „doua” intrari si „doua” iesiri

2.5.2.8.1. Modelarea nodului cu n intrari si m iesiri cu ajutorul automatelor

Structura automatului secvential considerat pentru modelarea unui astfel de nod este prezentata în figura 2.127.

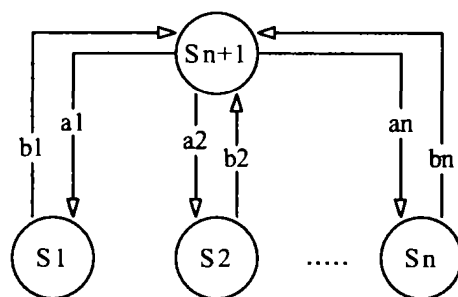


Figura 2.127. Structura automatului secvential corespunzător nodului cu n intrari si m iesiri

În figura de mai sus S_1, S_2 și S_n reprezintă automatele care modelează un nod cu o intrare și m iesiri (sunt modele de tip AS_{Nm}). Sincronizarea automatelor este realizată prin intermediul stării suplimentare S_{n+1} .

Automatul AS_{Nn-m} corespunzător nodului cu n intrari și m iesiri este descris în modul următor:

- multimea stărilor:

$$X = \bigcup_{i=1}^n \{S_i\} \cup \{S_{n+1}\}$$

- multimea evenimentelor:

$$\Sigma = \bigcup_{i=1}^n \{a_i, b_i\}$$

- multimile evenimentelor posibile și funcțiile de tranziție a stărilor

$$\Gamma(S) = \bigcup_{i=1}^m \Gamma(S_i) \text{ unde:}$$

$$\Gamma(S_i) = \{b_i\} \qquad \delta(S_i, b_i) = S_{n+1}$$

$$\Gamma(S_{n+1}) = \{a_1, a_2, \dots, a_n\} \qquad \delta(S_{n+1}, a_i) = S_i$$

- starea initiala: $x_0 = S(n + 1)$.

Submodelele utilizate pentru modelarea starilor $S_i, i=1, \dots, n$, sunt definite in mod identic cu cele prezentate in cazul modelului AS_Nm .

Aplicand algoritmul 2.1 de transformare a automatelor in rețele Petri rezulta:

- multimea pozitiilor: $P = \bigcup_{i=1}^m \{p_i\} \cup \{p(n+1)\}$, unde

$$p_i = \{S_i\} \text{ si } p(n+1) = \{S(n+1)\};$$

- multimea tranzitiilor:

- Pentru p_i $(p_i, p(n+1))$ $p(n+1) = \alpha(p_i, t_{i1})$ $t_{i1} = \{b_i\}$
- Pentru $p(n+1)$ $(p(n+1), p_i)$ $p_i = \alpha(p(n+1), t_{i2})$ $t_{i2} = \{a_i\}$

Modelarea automatului secvential cu ajutorul rețelelor Petri se realizeaza prin utilizarea submodelelor.

In figura 2.128 se prezinta structura submodelului rețelei Petri asociata unei intrari (pozitie p_i)

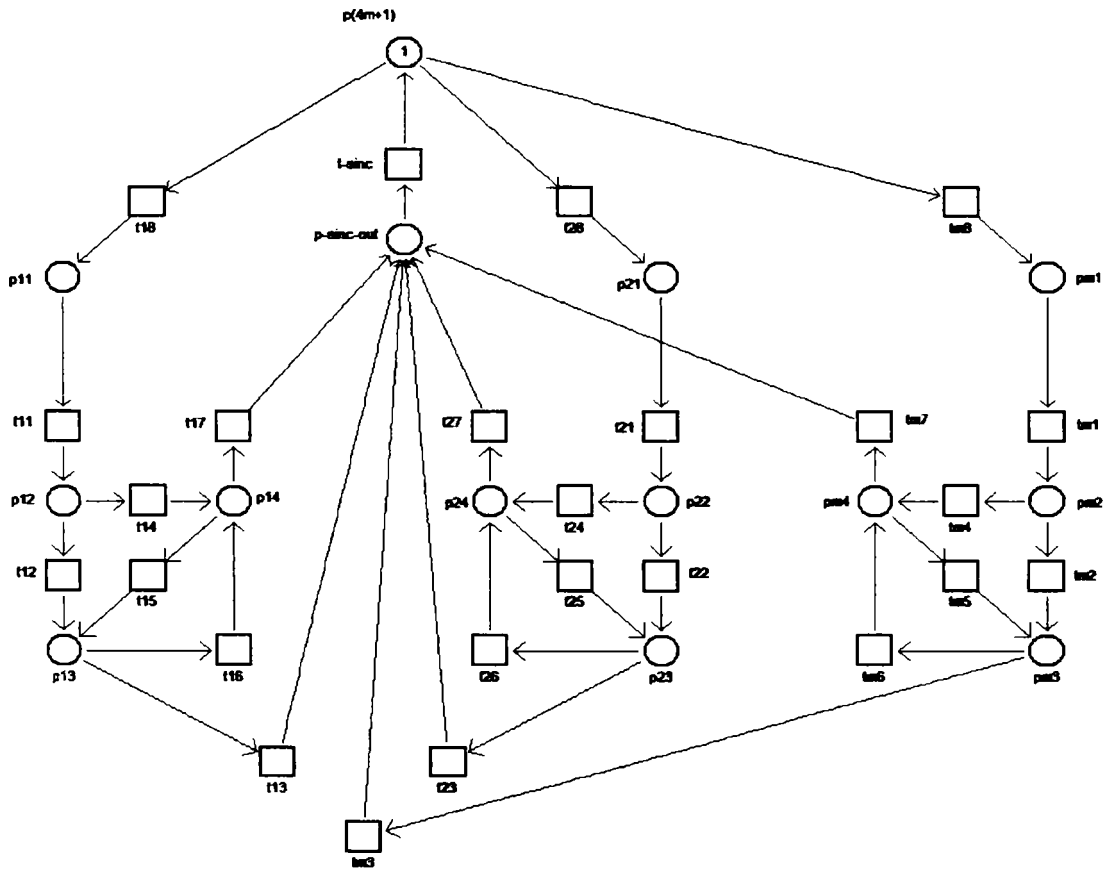


Figura 2.128. Structura rețelei Petri asociata submodelului corespunzator unei intrari (pozitie p_i)

Dupa cum se poate observa, submodelul ales este similar cu modelul validat in cazul modelarii unui nod cu o intrare si m iesiri (PN_AS_Nm), singura diferenta fiind data de introducerea starii suplimentare p -sinc-out si a tranzitiei de sincronizare t -sinc, care au rolul de a asigura conexiunea spre exterior numai prin intermediul unei singure tranzitii. Introducerea acestei pozitii nu modifica proprietatile structurale si comportamentale ale rețelei, fiind modificata numai structura matricilor de incidenta. In acest fel toate rezultatele validate in cazul PN_ASm sunt valabile si pentru submodelul considerat.

Pe baza celor prezentate, se poate *concluziona* că structura stabilita pentru submodelul ales corespunzator nodului cu n intrari si m iesiri este *viabilă*, ea putând fi utilizata in modelarea intregului nod, fiind siguri că nu există condiții de apariție a blocajelor sau a apariției de situații necontrolabile.

Reteaua Petri rezultata prin utilizarea submodelului definit anterior este prezentata in figura 2.129.

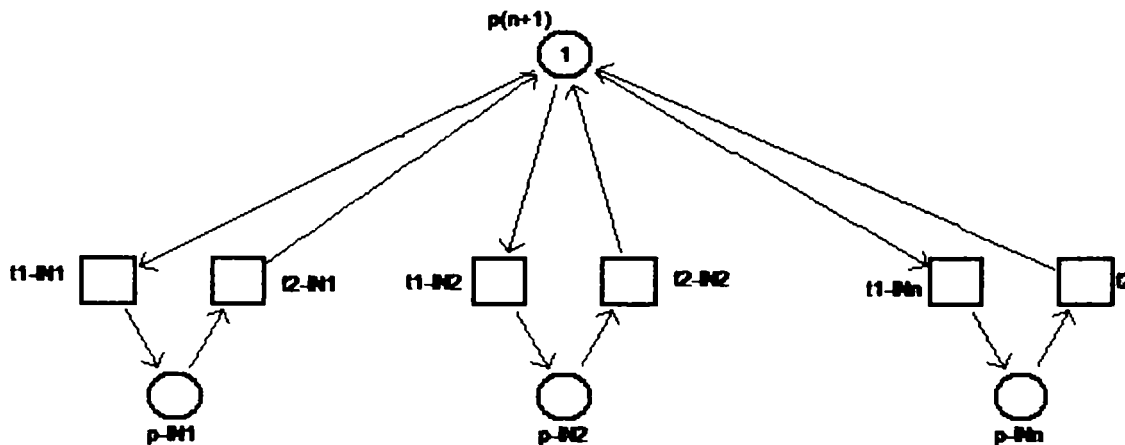


Figura 2.129. Reteaua Petri corespunzatoare modelarii nodului cu n intrari si m iesiri derivata din automatul secvential AS_Nm

Topologia rețelei validata de PNT este prezentata in figura 2.130.

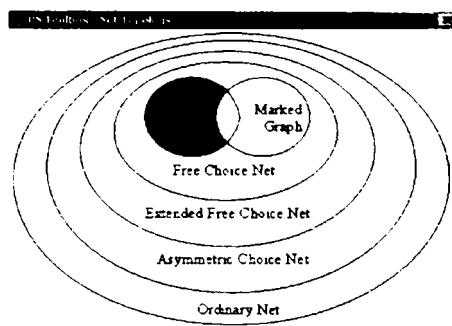


Figura 2.130. Topologia rețelei Petri echivalenta validata de PNT

Reteaua Petri considerata pentru analiza submodelului este formalizata prin cvintuplul:

$$PN_AS_Nn - m = (P, T, F, W, M_0)$$

unde:

- $P = \bigcup_{i=1}^n \{p - IN_i\} \cup \{p_{n+1}\}$
- $T = \bigcup_{i=1}^n \{t1 - IN_i, t2 - IN_i\}$
- $F = \left\{ \bigcup_{i=1}^n \{ (p - IN_i, t2 - IN_i) \} \cup \{ (t1 - IN_i, p - IN_i) \} \right\} \cup$
 $\left\{ \bigcup_{i=1}^n \{ (p_{n+1}, t1 - IN_i) \} \cup \{ (t2 - IN_i, p_{n+1}) \} \right\}$
- $W(p - IN_i, t2 - IN_i) = 1, W(t1 - IN_i, p - IN_i) = 1,$
 $W(p_{n+1}, t1 - IN_i) = 1, W(t2 - IN_i, p_{n+1}) = 1$
- $M_0 = [0, 0, \dots, 1]^T$

Matricile de incidență sunt.

Matricea de incidența de intrare:

$$A_I = \begin{pmatrix} 0 & 0 & \dots & 0 & 1 \\ 1 & 0 & \dots & 0 & 0 \\ 0 & 0 & \dots & 0 & 1 \\ 0 & 1 & \dots & 0 & 0 \\ \dots & \dots & \dots & \dots & \dots \\ 0 & 0 & \dots & 0 & 1 \\ 0 & 0 & \dots & 1 & 0 \end{pmatrix}$$

Matricea de incidența de ieșire:

$$A_O = \begin{pmatrix} 1 & 0 & \dots & 0 & 0 \\ 0 & 0 & \dots & 0 & 1 \\ 0 & 1 & \dots & 0 & 0 \\ 0 & 0 & \dots & 0 & 1 \\ \dots & \dots & \dots & \dots & \dots \\ 0 & 0 & \dots & 1 & 0 \\ 0 & 0 & \dots & 0 & 1 \end{pmatrix}$$

Matricea de incidența:

$$A = A_O - A_I = \begin{pmatrix} 1 & 0 & \dots & 0 & -1 \\ -1 & 0 & \dots & 0 & 1 \\ 0 & 1 & \dots & 0 & -1 \\ 0 & -1 & \dots & 0 & 1 \\ \dots & \dots & \dots & \dots & \dots \\ 0 & 0 & \dots & 1 & -1 \\ 0 & 0 & \dots & -1 & 1 \end{pmatrix}$$

Arborele de acoperire corespunzător este prezentat în figura 2.131.

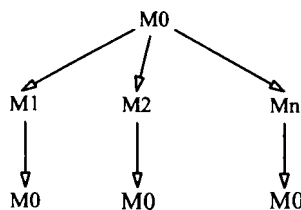


Figura 2.131. Arborele de acoperire al rețelei Petri $PN_{SUB_AS_Nn-m}$

Unde:

$$M_0=(0,0,\dots,0,1); \quad M_1=(1,0,\dots,0,0); \quad M_2=(0,1,\dots,0,0); \quad M_n=(0,0,\dots,1,0);$$

Studiind proprietatile comportamentale ale rețelei Petri PN_AS_Nn-m , pe baza arborelui de acoperire rezulta:

- rețeaua este *marginita* (simbolul ω nu apare în arborele de acoperire);
- rețeaua este *sigura* (marcajele din toate nodurile arborelui de acoperire conțin numai „0” și „1”);
- rețeaua *nu este blocanta* (toate tranzițiile au asociate arce în arborele de acoperire);
- rețeaua este *accesibilă* (orice marcaj poate fi atins pornind din M_0).

Graful de acoperire corespunzător este prezentat în figura 2.132.

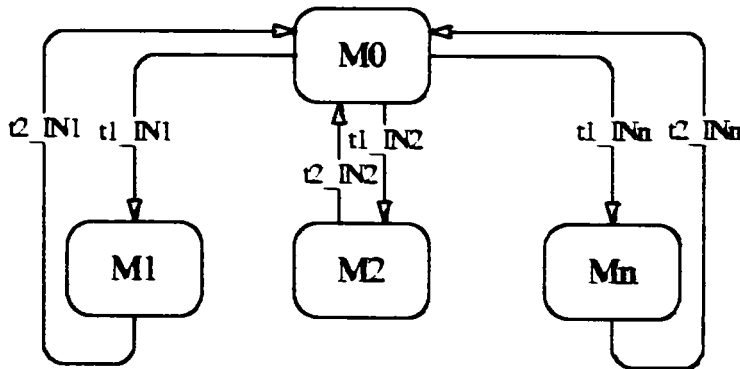


Figura 2.132. Graful de acoperire al rețelei Petri PN_AS_Nn-m

Structura rezultată pentru graful de acoperire confirmă că rețeaua Petri obținută cu ajutorul submodelelor corespunzătoare automatului secvențial al nodului cu n intrări și m ieșiri este *accesibilă*.

Concluzionand, se poate afirma că modelul ales este *viabil* din punct de vedere comportamental.

Analiza rețelei Petri PN_AS_Nn-m din punct de vedere structural se face pe baza analizei existenței invariantilor de tip P respectiv T utilizând teorema 2.3.

Rangul matricei A este:

$$\text{rang } A = n$$

unde:

- n - reprezintă numărul de intrări ale nodului;

Numărul de invarianti P corespunzători este dat de relația:

$$Nr_Inv_P = nr_pozitii \quad \text{rang } A + n + 1 - n = 1$$

iar numărul de invarianti T corespunzători este:

$$Nr_Inv_T = nr_tranzitii \quad \text{rang } A + n * 2 - n = n$$

2.5.2.8.2. Modelarea nodului cu n intrari si m iesiri cu ajutorul retelei Petri

2.5.2.8.2.1. Cazul: retea Petri netemporizata

Structura retelei Petri considerate pentru modelarea unui astfel de nod este prezentata in figura 2.133.

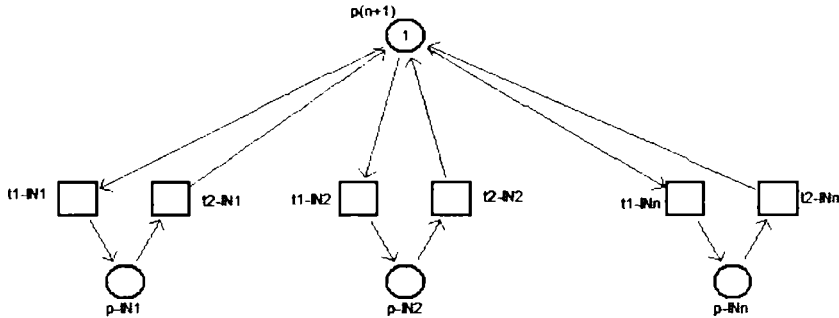


Figura 2.133. Structura rețelei Petri corespunzătoare nodului cu două intrări și două ieșiri

Structura este identică cu cea analizată și validată în cazul rețelei PN_A-Sn-m , toate rezultatele obținute în urma analizei acestei rețele fiind validate implicit.

Diferența față de situația anterioară este dată de submodelul utilizat, de structura rețelei Petri determinată în cazul nodului cu o intrare și m ieșiri, introducerea pozițiilor și tranzițiilor de sincronizare nemodificând proprietățile rețelei.

Structura submodelului este prezentată în figura 2.134.

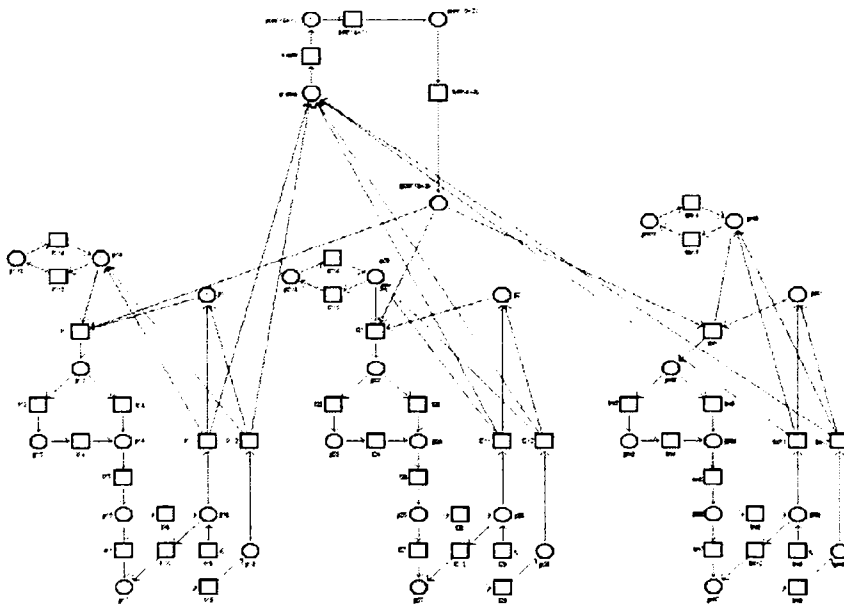


Figura 2.134. Submodelul de tip rețea Petri pentru o intrare și m ieșiri

Datorita faptului ca, in structura retelei PN_PT_Nm s-a intervenit numai prin adaugarea pozitiei p -sinc (cu rol de pozitie sincronizatoare), si tranzitiei t -sinc (tranzitie sincronizatoare), necesare conectarii ca submodel, rezulta ca toate rezultatele obtinute in cazul retelei din care a rezultat submodelul sunt valide si in acest caz.

2.5.2.8.2.2. Cazul: retea Petri temporizata P

Structura retelei Petri temporizata P corespunzatoare nodului cu o intrare si m iesiri este aceeaasi ca cea prezentata in figura 2.133.

Datorita faptului ca retelele sunt identice din punct de vedere structural si comportamental, rezultatele analizelor nu se mai detaliaza, ele fiind in fapt identice cu cele obtinute in cazul nodului netemporizat.

Fata de situatia prezentata anterior, fiecarei pozitii P i-a fost alocata o unitate de timp corespunzatoare.

Intervalele de timp corespunzatoare pozitiilor P ale modelului sunt prezentate in tabelul 2.17

Tabelul 2.17. Intervalele de timpi corespunzatori pozitiilor P

Pozitie	Unitati de Timp	
	Min	Max
P_i	4	37
$P(n+1)$	0	0

unde $i=1, \dots, n$.

2.6. Modelarea sistemelor de transport cu zone de acumulare

Pana in aceasta etapa, modelarea s-a concentrat asupra elementelor de baza ale unui sistem de transport cu zone de acumulare. Avand stabilite modelele de baza pentru elementele componente (nodurile definite anterior), cunoscand modul de functionare a acestor componente, se poate aborda modelarea in ansamblu a STZA.

Datorita complexitatii si particularitatilor fiecarui STZA in parte, este destul de dificil, daca nu imposibil, de stabilit un model cu putere de generalizare, care sa descrie comportarea oricarui STZA. Abordarea modelarii unui astfel de sistem va demara cu analiza modului de integrare a nodurilor prezentate anterior, intr-un sistem complex. In acest context, structura interna a unui nod nu mai este edificatoare, important fiind modul de conexiune al nodurilor in cadrul sistemului. In cele ce urmeaza se prezinta modul de reprezentare grafica (simbolurile) propus si utilizat in cadrul lucrarii, pentru nodurile de baza din cadrul unui STZA complex.

In aceasta etapa nu intereseaza in fapt algoritmul de functionare al sistemului ci numai analiza din punctul de vedere al eliminarii blocajelor din sistem. Adaugarea algoritmului de functionare constituie o alta problema distincta, dezvoltata in capitolul 3, care se ocupa in detaliu de conducerea supervizata a STZA.

2.6.1. Reprezentarea nodurilor de baza si a nodurilor complexe

Reprezentarea simbolica a nodurilor este prezentata in figura 2.135 [UPS06a].

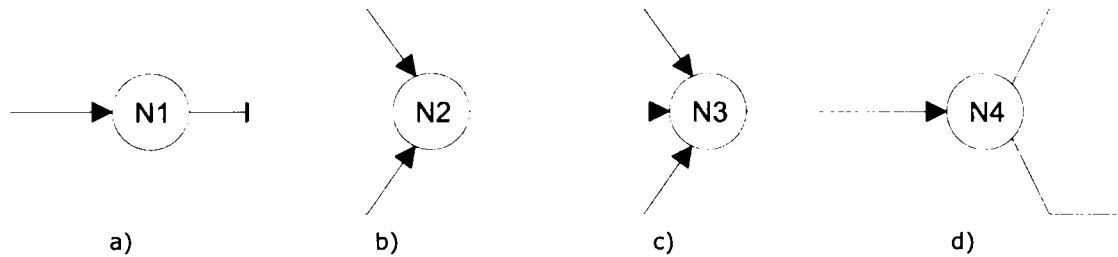


Figura 2.135. Reprezentarea simbolica a nodurilor. a) nod de tip 1; b) nod de tip 2; c) nod de tip 3; d) nod de tip 4

Avand ca referinte rezultatele obtinute in urma modelarii nodurilor de baza definite anterior, se pot analiza fara probleme configuratii diverse, de complexitati diferite.

Datorita complexitatii matricilor de incidenta, precum si a dimensiunilor mari ale arborelui de acoperire, pentru nodurile cu mai mult de 3 intrari, respectiv 2 iesiri, se utilizeaza scheme echivalente, si nu modelele de tip general stabilite anterior, datorita faptului ca analiza este mult mai facila in acest caz. Modelele de tip general stabilite (n intrari – o iesire, o intrare – m iesiri, n intrari – m iesiri) sunt utilizabile in validarea primara a unui anumit tip de model urmand ca apoi pentru implementare sa fie utilizate modele simple.

• Modelarea unui nod cu 5 intrari si o iesire [UP06a]

Structura de baza este prezentata in figura 2.136.

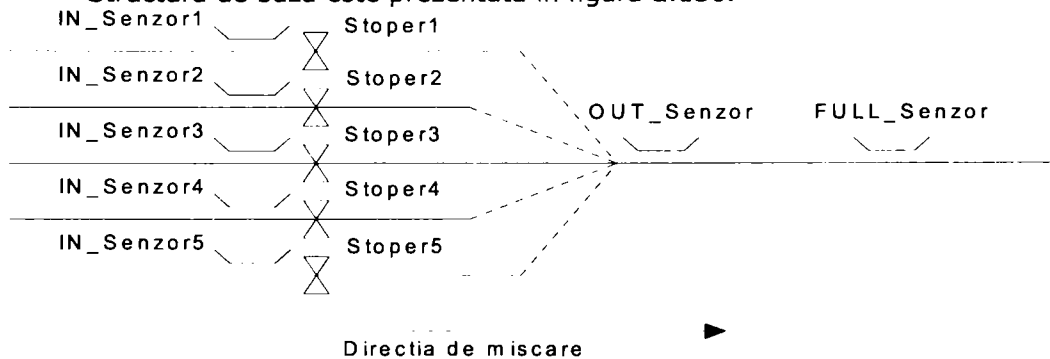


Figura 2.136. Structura de baza a unui nod cu 5 intrari si o iesire

Modelarea acestui tip de nod se poate realiza pe doua cai:

- modelarea directa, prin sincronizarea a 5 noduri de tip 1 (in mod similar cu cele prezentate la nodul de tip 3), ceea ce ar avea insa ca efect obtinerea unei retele Petri de mari dimensiuni, cu implicatii directe asupra timpului de simulare si analiza.

b) modelarea prin descompunerea in noduri de baza, fara a mai detalia structura interna a fiecarui nod, ceea ce conduce la micsorarea timpului de simulare si analiza.

Metoda b este evident cea mai avantajoasa, si se va fi cea utilizata in analiza acetui tip de nod.. Structura echivalenta este prezentata in figura 2.137.

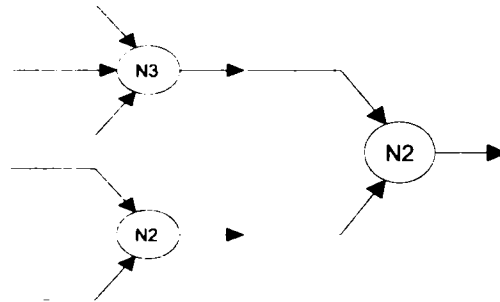


Figura 2.137. Structura echivalenta a nodului cu 5 intrari si o iesire

In acest mod s-a realizat conversia unui nod complex in noduri de baza, urmand ca in cadrul ansamblului sa se asigure numai sincronizarea corecta a nodurilor utilizate.

• **Modelarea unui nod cu o intrare si 3 iesiri[UP06a]**

Structura de baza a acestui tip de nod este prezentata in figura 2.138.

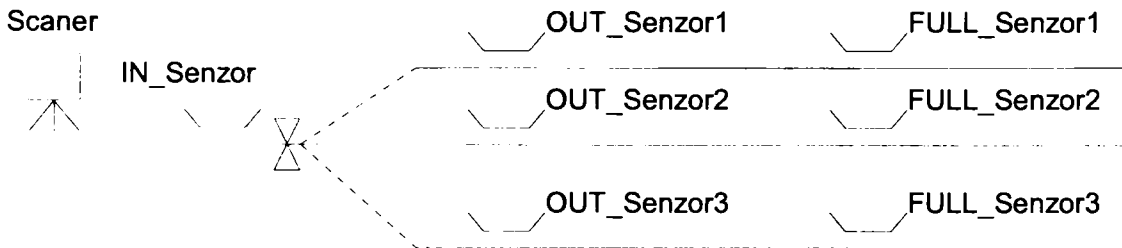


Figura 2.138. Structura de baza a unui nod cu o intrare si 3 iesiri

Structura echivalenta este prezentata in figura 1.139.

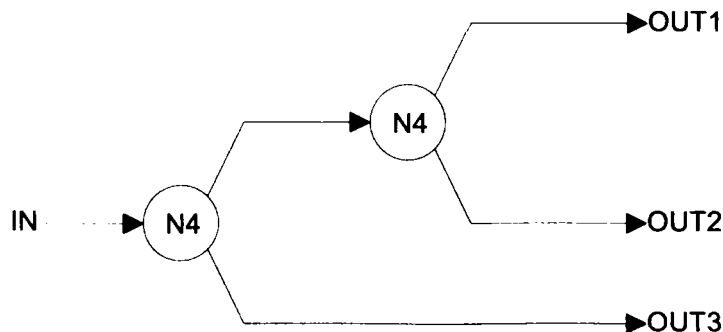


Figura 2.139. Structura echivalenta a nodului cu o intrare si 3 iesiri

• **Modelarea unui nod cu 5 intrari si 5 iesiri[UP06a]**

Structura de baza a acestui tip de nod este prezentata in figura 2.140.

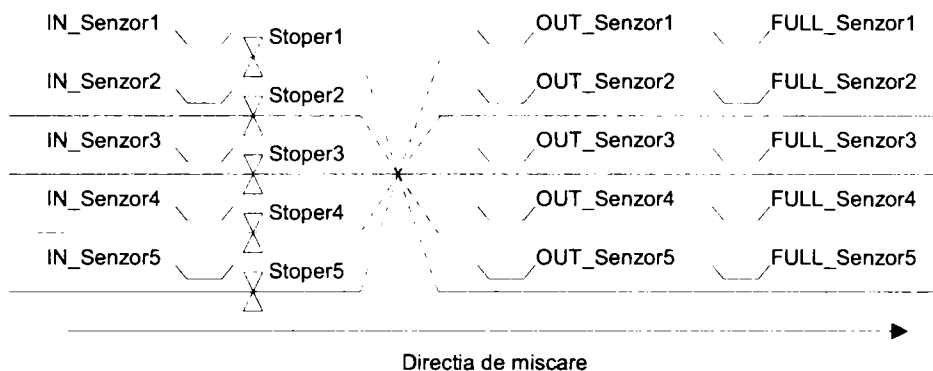


Figura 2.140. Structura de baza a unui nod cu 5 intrari si 5 iesiri

Structura echivalenta realizata cu noduri standard este prezentata in figura 2.141.

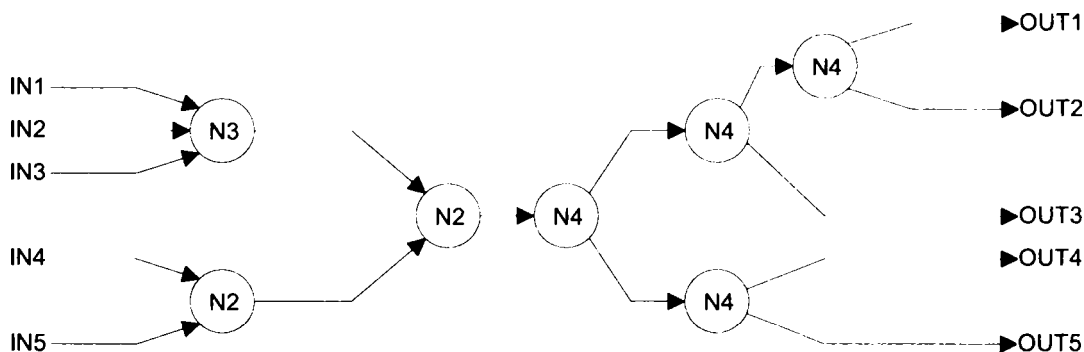


Figura 2.141. Structura echivalenta a unui nod cu 5 intrari si 5 iesiri

2.6.2. Definirea sistemului de transport cu zone de acumulare (STZA)

Definitia 2.21 Sistem de transport cu zone de acumulare*

Un sistem de transport cu zone de acumulare cu n noduri si m jam-uri este definit formal prin cvatruplel de forma:

$$STZA = \{ND, J, Conect, Cap_{maxJam}, I\}$$

unde:

- $ND = \{N_1, N_2, \dots, N_n\}$ - multimea nodurilor;
- $J = \{J_1, J_2, \dots, J_m\}$ - multimea jam-urilor;
- $Conect = \{(Jam_1, N_1), (Jam_2, N_2), \dots\} \cup \{(N_1, Jam_2), (N_2, Jam_3), \dots\}$ - multimea prin care se descriu conexiunile jam-uri – noduri si noduri – jam-uri;

- $Cap_{maxJam} = \{Cap_{maxJam_1}, Cap_{maxJam_2}, \dots, Cap_{maxJam_m}\}$ - multimea capacitatilor maxime ale jam-urilor:
- $IJam = \{NICarJam_1, NICarJam_2, \dots, NICarJam_m\}$ - multimea corespunzatoare starii initiale a jam-urilor (reprezinta gradul de umplere a fiecarui jam in parte - numarul de carucioare din jam-ul respectiv).

Functionarea STZA este influentata de un algoritm flexibil de functionare atasat corespunzator.

Un astfel de sistem are capacitatea de a opera astfel incat logica de functionare sa se modifice in functie de cerintele sistemului care este deservit de STZA.

Exemplul 2.6. STZA reprezentat prin intermediul nodurilor definite

Pentru exemplificarea modului de utilizare a nodurilor intr-o reprezentare a unui sistem de transport se considera structura din figura 2.142.

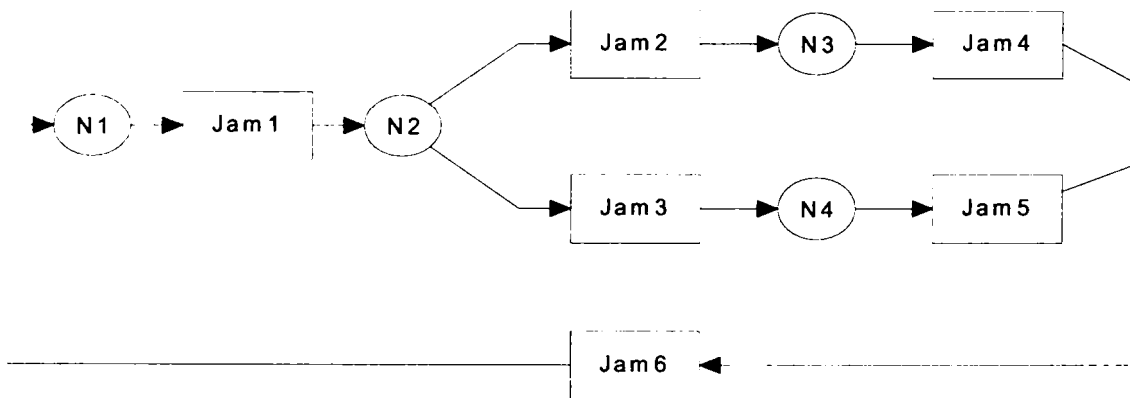


Figura 2.142. Schema de principiu a unui STZA

Sistemul este constituit din 5 noduri conectate intre ele, nodurile N1, N3 si N4 sunt noduri de tip 1, nodul N2 este nod de tip 4 si nodul N5 este nod de tip 2. Conexiunea intre noduri, pentru ca sistemul sa poata functiona, este asigurata prin intermediul jam-urilor de capacitate finita si dimensiune minima unu, numarul maxim al carucioarelor trebuind sa fie mai mic decat capacitatea maxima a tuturor jam-urilor.

Conform definitiei 2.21, STZA-ul considerat este descris prin:

$$STS = \{ND, J, Conect, Cap_{maxJam}, I\},$$

unde:

- $ND = \{N_1, N_2, N_3, N_4, N_5\}$
- $J = \{Jam_1, Jam_2, Jam_3, Jam_4, Jam_5, Jam_6\}$
- $Conect = \{(Jam_1, N_2), (Jam_2, N_3), (Jam_3, N_4), (Jam_4, N_5), (Jam_5, N_5), (Jam_6, N_1)\} \cup \{(N_1, Jam_1), (N_2, Jam_2), (N_2, Jam_3), (N_3, Jam_4), (N_4, Jam_5), (N_5, Jam_6)\}$
- $Cap_{maxJam} = \{Cap_{maxJam_1} = 3, Cap_{maxJam_2} = 5, Cap_{maxJam_3} = 5, Cap_{maxJam_4} = 3, Cap_{maxJam_5} = 3, Cap_{maxJam_6} = 6\}$

- $I = \{NICarJam_1 = 1, NICarJam_2 = 3, NICarJam_3 = 3, NICarJam_4 = 2, NICarJam_5 = 2, NICarJam_6 = 4\}$

Pe baza celor prezentate rezulta:

- Capacitatea maxima a sistemului:

$$Cap_{max} = \sum_{i=1}^6 Cap_{max}Jam_i = 3 + 5 + 5 + 3 + 3 + 6 = 25$$

- Numarul de carucioare existente in sistem:

$$NCar = \sum_{i=1}^6 NICarJam_i = 1 + 3 + 3 + 2 + 2 + 4 = 15$$

Definitia 2.22. Operabilitatea unui STZA*

Un STZA indeplineste conditia de operabilitate daca:

$$\sum_{i=1}^n Cap_{max}Jam_i > \sum_{i=1}^n NICarJam_i$$

Definitia 2.23. Validarea functionarii unui nod*

Un nod este functional daca continutul jam-ului sursa este diferit de zero si in jam-ul destinatie exista cel putin o locatie libera.

Altfel spus, fie Jam_i jam-ul sursa si Jam_j jam-ul destinatie, se spune ca nodul i este functional daca :

$$NCarJam_i \neq 0 \quad \text{si} \quad NCarJam_j < Cap_{max}Jam_j$$

Definitia 2.24. Pasul unui STZA*

Pasul unui STZA reprezinta capacitatea STZA de a efectua o miscare a unui element (carucior) dintr-un jam sursa, intr-un jam destinatie, peste (prin intermediul unui) singur nod.

Fie nodul N_i cu jam-urile sursa Jam_i si respectiv destinatie Jam_j , executia unui pas in cadrul nodului N_i poate fi descrisa astfel:

```

if (pas_i = TRUE){
  THEN{
    NCarJam_i = NCarJam_i - 1;
    NCarJam_j = NCarJam_j + 1;
  }
}

```

unde: $NCarJam_i$ - reprezinta numarul de carucioare din jam-ul i la momentul de timp considerat.

Pe baza definitiilor de mai sus se pot enunta urmatoarele propozitii:

Propozitia 2.1. Conditia de operabilitate a unui STZA*

Un STZA este operabil daca si numai daca in conditiile initiale exista cel putin o pozitie libera intr-un jam.

Demonstratie:

Fie N_{Car} numarul de carucioare din sistem. Capacitatea maxima a sistemului este

$$\text{data de relatie: } Cap_{maxJam} = \sum_{i=1}^n Cap_{maxJam_i} .$$

Se presupune ca $N_{Car} \geq Cap_{maxJam}$, ceea ce inseamna ca toate jam-urile din sistem sunt pline. Conform definitiei 2.23, pentru ca un nod sa fie validat (functional), in jam-ul destinatie trebuie sa fie cel putin o locatie libera. Dar din presupunerea facuta anterior, in sistem nu exista nici un nod care sa fie validat functional. Rezulta ca presupunerea $N_{Car} \geq Cap_{maxJam}$ este falsa. Astfel, conditia de operabilitate a unui STZA devine:

$$Cap_{maxJam} - N_{Car} \geq 1 .$$

Propozitia 2.2. Blocajul STZA*

Un STZA este blocat din punct de vedere al operabilitatii daca si numai daca:

$$\sum_{i=1}^n Cap_{maxJam_i} \leq \sum_{i=1}^n N_{CarJam_i}$$

Demonstratie:

Demonstratia este imediata pornind de la observatiile facute in demonstratia propozitiei 2.1. STZA este blocat operational deoarece nici un nod, conform definitiei 2.23, nu este validat.

Propozitia 2.3. Blocarea executiei unui pas*

Un pas corespunzator unui nod N_i este blocat ($pas=FALSE$) daca si numai daca in jam-ul destinatie nu exista locatii libere.

Demonstratie:

Fie Jam_i jam-ul sursa si Jam_j jam-ul destinatie.

Se considera ca $N_{CarJam_j} = Cap_{maxJam_j}$. Presupunand ca $pas_i=TRUE$, in urma executiei acestui pas s-ar obtine:

$$N_{CarJam_i} = N_{CarJam_i} - 1 \quad , \text{ respectiv}$$

$$N_{CarJam_j} = N_{CarJam_j} + 1$$

dar intr-un jam pot fi maxim atatea carucioare cat este dimensiunea maxima a jam-ului corespunzator ($N_{CarJam_j} = Cap_{maxJam_j}$), deci presupunerea $pas_i=TRUE$ nu este posibila, ceea ce implica $pas_i=FALSE$.

2.6.3. Modelarea STZA cu ajutorul rețelilor Petri

Modelarea STZA, se realizează prin utilizarea modelelor *sistemelor de așteptare* utilizate în analiza și modelarea sistemelor de calcul [CL01][PMM02] (vezi exemplul 2.3 paragraful 2.3), modele modificate și adaptate de către autor pentru analiza și modelarea STZA.

Structura modificată a unui sistem de așteptare este prezentată în figura 2.143.

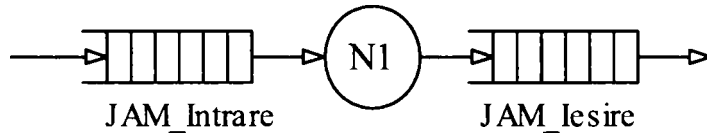


Figura 2.143. Structura valabilă pentru un sistem de așteptare corespunzător STZA

În plus, față de sistemul clasic, ieșirea nodului N1 este conectată la jam-ul de ieșire, un carucior fiind transferat, prin intermediul nodului N1, din jam-ul de intrare în jam-ul de ieșire. Modelul de tip rețea Petri propus pentru acest sistem este prezentat în figura 2.144.

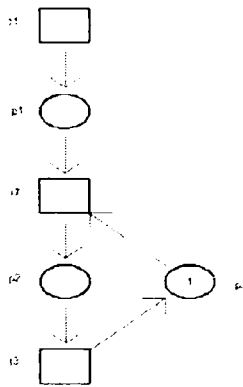


Figura 2.144. Modelul de tip rețea Petri corespunzător nodului de tip 1 încadrat în STZA

Matricile de incidență corespunzătoare sunt :

Matricea de incidență de intrare :

$$A_I = \begin{pmatrix} 0 & 0 & 0 \\ 1 & 0 & 1 \\ 0 & 1 & 0 \end{pmatrix}$$

Matricea de incidență de ieșire :

$$A_O = \begin{pmatrix} 1 & 0 & 0 \\ 0 & 1 & 0 \\ 0 & 0 & 1 \end{pmatrix}$$

Matricea de incidență:

$$A = \begin{pmatrix} 1 & 0 & 0 \\ -1 & 1 & -1 \\ 0 & -1 & 1 \end{pmatrix}$$

Dupa cum se observa, structura de baza este mentinuta (pozitiile p1, p2, p3 tranzitiile t1, t2,t3 avand aceleasi semnificatii), diferenta fata de structura clasica este data de faptul ca *jam-ul* de iesire al nodului curent este *jam* de intrare din nodul urmator.

In cazul nodului de tip 2 (doua intrari o iesire) structura de la care se porneste, precum si modelul de retea Petri considerat, sunt prezentate in figurile 2.145 si 2.146.

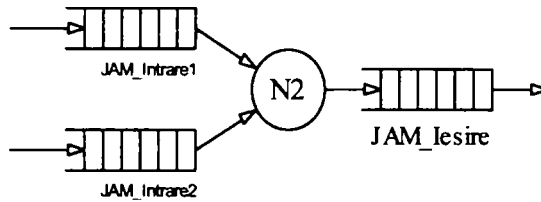


Figura 2.145. Structura nodului de tip 2 in cadrul unui STZA

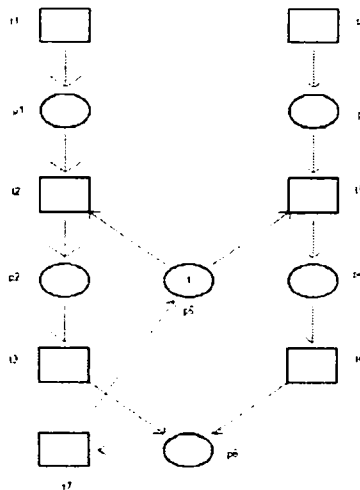


Figura 2.146. Modelul de tip retea Petri corespunzator nodului de tip 2 in cadrul unui STZA

Matricile de incidenta corespunzatoare sunt :

Matricea de incidenta de intrare :

$$A_I = \begin{pmatrix} 0 & 0 & 0 & 0 & 0 & 0 \\ 1 & 0 & 0 & 0 & 1 & 0 \\ 0 & 1 & 0 & 0 & 0 & 0 \\ 0 & 0 & 0 & 0 & 0 & 0 \\ 0 & 0 & 1 & 0 & 1 & 0 \\ 0 & 0 & 0 & 1 & 0 & 0 \\ 0 & 0 & 0 & 0 & 0 & 1 \end{pmatrix}$$

Matricea de incidenta de iesire :

$$A_O = \begin{pmatrix} 1 & 0 & 0 & 0 & 0 & 0 \\ 0 & 1 & 0 & 0 & 0 & 0 \\ 0 & 0 & 0 & 0 & 0 & 1 \\ 0 & 0 & 1 & 0 & 0 & 0 \\ 0 & 0 & 0 & 1 & 0 & 0 \\ 0 & 0 & 0 & 0 & 0 & 1 \\ 0 & 0 & 0 & 0 & 1 & 0 \end{pmatrix}$$

Matricea de incidenta:

$$A = \begin{pmatrix} 1 & 0 & 0 & 0 & 0 & 0 \\ -1 & 1 & 0 & 0 & -1 & 0 \\ 0 & -1 & 0 & 0 & 0 & 1 \\ 0 & 0 & 1 & 0 & 0 & 0 \\ 0 & 0 & -1 & 1 & -1 & 0 \\ 0 & 0 & 0 & -1 & 0 & 1 \\ 0 & 0 & 0 & 0 & 1 & -1 \end{pmatrix}$$

In mod similar cazului modelarii nodului de tip 1, modelarea nodului de tip 2 din cadrul STZA se bazeaza pe sincronizarea a doua noduri de tip 1. In rest semnificatiile pozitiilor si tranzitiilor sunt aceleasi.

In cazul nodului de tip 3 (trei intrari o iesire), structura de la care se porneste precum si modelul de retea Petri considerat sunt prezentate in figurile 2.147 si 2.148.

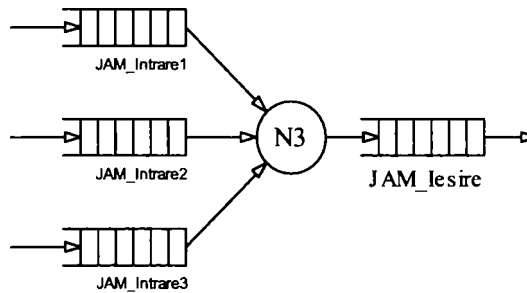


Figura 2.147. Structura nodului de tip 3 in cadrul unui STZA

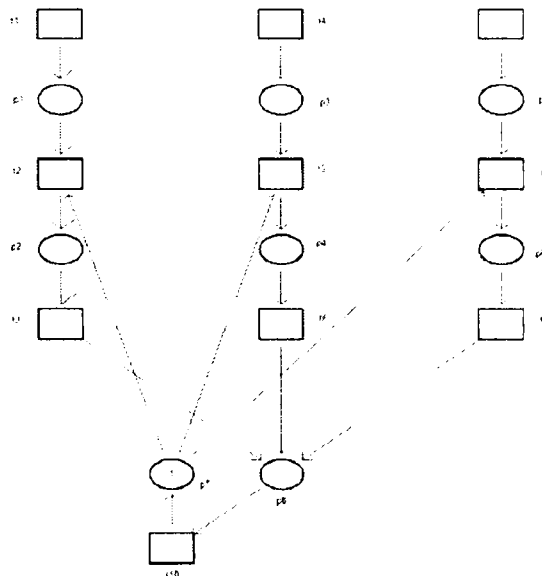


Figura 2.148. Modelul de tip retea Petri corespunzator nodului de tip 3 in cadrul unui STZA

Matricile de incidenta corespunzatoare sunt :

Matricea de incidenta de intrare :

$$A_I = \begin{pmatrix} 0 & 0 & 0 & 0 & 0 & 0 & 0 & 0 \\ 1 & 0 & 0 & 0 & 0 & 0 & 1 & 0 \\ 0 & 1 & 0 & 0 & 0 & 0 & 0 & 0 \\ 0 & 0 & 0 & 0 & 0 & 0 & 0 & 0 \\ 0 & 0 & 1 & 0 & 0 & 0 & 1 & 0 \\ 0 & 0 & 0 & 1 & 0 & 0 & 0 & 0 \\ 0 & 0 & 0 & 0 & 0 & 0 & 0 & 0 \\ 0 & 0 & 0 & 0 & 1 & 0 & 1 & 0 \\ 0 & 0 & 0 & 0 & 0 & 1 & 0 & 0 \\ 0 & 0 & 0 & 0 & 0 & 0 & 0 & 1 \end{pmatrix}$$

Matricea de incidenta de iesire :

$$A_O = \begin{pmatrix} 1 & 0 & 0 & 0 & 0 & 0 & 0 & 0 \\ 0 & 1 & 0 & 0 & 0 & 0 & 0 & 0 \\ 0 & 0 & 0 & 0 & 0 & 0 & 0 & 1 \\ 0 & 0 & 1 & 0 & 0 & 0 & 0 & 0 \\ 0 & 0 & 0 & 1 & 0 & 0 & 0 & 0 \\ 0 & 0 & 0 & 0 & 0 & 0 & 0 & 1 \\ 0 & 0 & 0 & 0 & 1 & 0 & 0 & 0 \\ 0 & 0 & 0 & 0 & 0 & 1 & 0 & 0 \\ 0 & 0 & 0 & 0 & 0 & 0 & 0 & 1 \\ 0 & 0 & 0 & 0 & 0 & 0 & 1 & 0 \end{pmatrix}$$

Matricea de incidenta:

$$A = \begin{pmatrix} 1 & 0 & 0 & 0 & 0 & 0 & 0 & 0 \\ -1 & 1 & 0 & 0 & 0 & 0 & -1 & 0 \\ 0 & -1 & 0 & 0 & 0 & 0 & 0 & 1 \\ 0 & 0 & 1 & 0 & 0 & 0 & 0 & 0 \\ 0 & 0 & -1 & 1 & 0 & 0 & -1 & 0 \\ 0 & 0 & 0 & -1 & 0 & 0 & 0 & 1 \\ 0 & 0 & 0 & 0 & 1 & 0 & 0 & 0 \\ 0 & 0 & 0 & 0 & -1 & 1 & -1 & 0 \\ 0 & 0 & 0 & 0 & 0 & -1 & 0 & 1 \\ 0 & 0 & 0 & 0 & 0 & 0 & 1 & -1 \end{pmatrix}$$

In mod similar cazului modelarii nodului de tip 1, modelarea nodului de tip 3 din cadrul STZA se bazeaza pe sincronizarea a trei noduri de tip 1, semnificatiile pozitiilor si tranzitiilor ramanand aceleasi.

In cazul nodului de tip 4 (o intrare doua iesiri), structura de la care se porneste, precum si modelul de retea Petri considerat sunt prezentate in figurile 2.149 si 2.150.

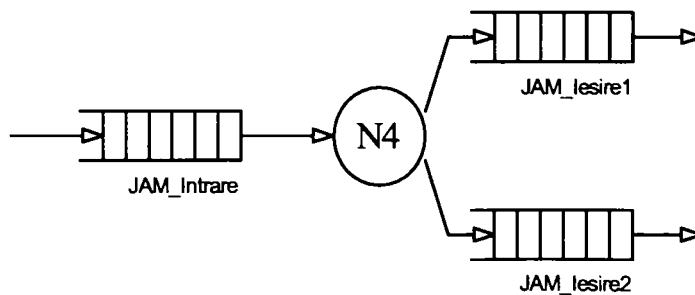


Figura 2.149. Structura nodului de tip 3 in cadrul unui STZA

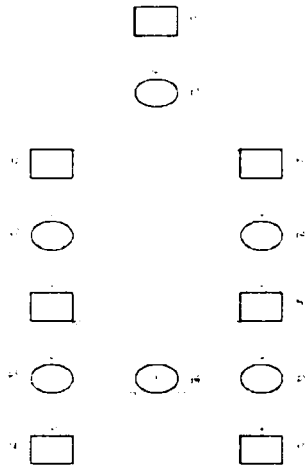


Figura 2.150. Modelul de tip rețea Petri corespunzător nodului de tip 4 în cadrul unui STZA

Matricile de incidență corespunzătoare sunt :

Matricea de incidență de intrare :

$$A_I = \begin{pmatrix} 0 & 0 & 0 & 0 & 0 & 0 \\ 1 & 0 & 0 & 0 & 0 & 0 \\ 0 & 1 & 0 & 0 & 0 & 1 \\ 0 & 0 & 1 & 0 & 0 & 0 \\ 1 & 0 & 0 & 0 & 0 & 0 \\ 0 & 0 & 0 & 1 & 0 & 1 \\ 0 & 0 & 0 & 0 & 1 & 0 \end{pmatrix}$$

Matricea de incidență de ieșire :

$$A_O = \begin{pmatrix} 1 & 0 & 0 & 0 & 0 & 0 \\ 0 & 1 & 0 & 0 & 0 & 0 \\ 0 & 0 & 1 & 0 & 0 & 0 \\ 0 & 0 & 0 & 0 & 0 & 1 \\ 0 & 0 & 0 & 1 & 0 & 0 \\ 0 & 0 & 0 & 0 & 1 & 0 \\ 0 & 0 & 0 & 0 & 0 & 1 \end{pmatrix}$$

Matricea de incidență:

$$A = \begin{pmatrix} 1 & 0 & 0 & 0 & 0 & 0 \\ -1 & 1 & 0 & 0 & 0 & 0 \\ 0 & -1 & 1 & 0 & 0 & -1 \\ 0 & 0 & -1 & 0 & 0 & 1 \\ -1 & 0 & 0 & 1 & 0 & 0 \\ 0 & 0 & 0 & -1 & 1 & -1 \\ 0 & 0 & 0 & 0 & -1 & 1 \end{pmatrix}$$

În mod similar ca și în cazul modelării nodului de tip 1 modelarea nodului de tip 4 din cadrul STZA se bazează pe sincronizarea a două noduri de tip 1. În rest semnificațiile pozițiilor și tranzițiilor sunt aceleași.

Datorită complexității modelării unor astfel de sisteme sunt prezentate două metode dezvoltate de autor pentru sinteza STZA:

- Prima metodă se bazează pe conectarea directă a modelelor corespunzătoare nodurilor utilizate;

- A doua metoda se bazeaza pe construirea matricii de incidenta a sistemului utilizand, conexiunea intre noduri fiind realizata prin introducerea unor pozitii de sincronizare.

Modelarea STZA prin conectarea directa a nodurilor

Aceasta metoda are la baza utilizarea urmatorului algoritm:

Algoritmul 2.3. Modelarea cu ajutorul retelelor Petri a STZA prin conectare directa

- *Pasul 1* - Stabilirea structurilor mecanice de baza corespunzatoare sistemului analizat (structura nodurilor);
- *Pasul 2* - Modelarea si analiza structurilor mecanice cu ajutorul retelelor Petri
 - *Pasul 2.1.* Elaborarea modelelor de tip retea Petri si analizarea lor acestora din punct de vedere al proprietatilor structurale si comportamentale, corespunzatoare structurilor stabilite la pasul 1;
 - *Pasul 2.2.* Analiza modelelor validate la punctul 2.1. prin asocierea timpului (retea Petri temporizata P) si stabilirea intervalelor de timp corespunzatoare pe baza algoritmului 2.1
- *Pasul 3* - Modelarea si analiza in ansamblu a intregului sistem utilizand rezulatele de la punctul 2. Modelarea si analiza intregului sistem utilizand submodelele obtinute la pasul 2.
- *Pasul 4* - Determinarea cu ajutorul algoritmului 2.1 a timpilor de executie ai retelei elaborate si validate la pasul 3
- *Pasul 5* - Validarea tuturor modelelor elaborate.

Se considera STZA din figura 2.151.

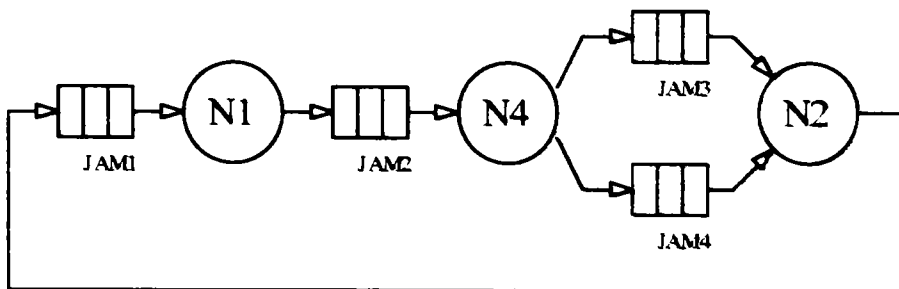


Figura 2.151. Structura STZA asociata schemei de principiu din fig. 142

Sistemul contine un nod de tip 1, un nod de tip 2 si un nod de tip 4, omitandu-se nodul de tip 3, deoarece validarea nodurilor de tip 1 si 2 implica automat validarea nodului de tip 3 (practic acesta este construit pe baza nodurilor 1 si 2).

Modelul de tip retea Petri asociata acestui sistem (*PN_Sistem*) este prezentata in figura 2.152.

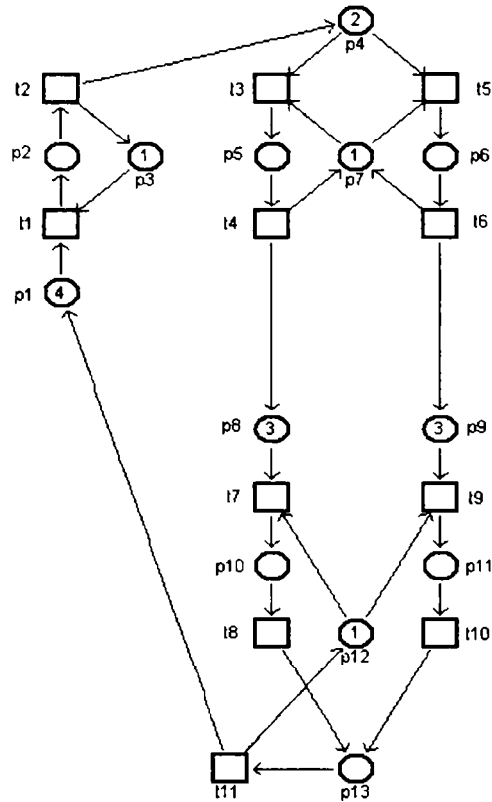


Figura 2.152. Modelul de tip retea Petri asociat sistemului din figura 2.151

Multimea pozitiilor corespunzatoare acestei retele este:

$$P = \{p1, p2, p3, p4, p5, p6, p7, p8, p9, p10, p11, p12, p13\}$$

iar multimea tranzitiilor:

$$T = \{t1, t2, t3, t4, t5, t6, t7, t8, t9, t10, t11\}$$

In figura 2.151 s-au delimitat simbolic nodurile corespunzatoare ale sistemului propus in figura 2.142. Se poate remarca modul de conexiune al nodurilor prin intermediul pozitiilor care reprezinta jam-urile (p1 – pentru JAM1, p4 – pentru JAM2, p8 – pentru JAM3 si p9-pentru JAM4).

Pentru fiecare pozitie care reprezinta un JAM, s-au fixat numarul maxim de elemente care pot sa-l contina (capacitatea maxima a jam-ului respectiv), precum si numarul de carucioare aflate in jam-ul respectiv in stare initiala (numarul de jetoane). Aceste alocari sunt prezentate in tabelul 2.18.

Tabelul 2.18 Capacitatile maxime si continutul jam-urilor

Jam ID	Cap. Maxima	Continut curent
Jam 1	5	4
Jam 2	3	2
Jam 3	4	3
Jam 4	4	3

Topologia rețelei Petri validată de PNT este prezentată în figura 2.153.

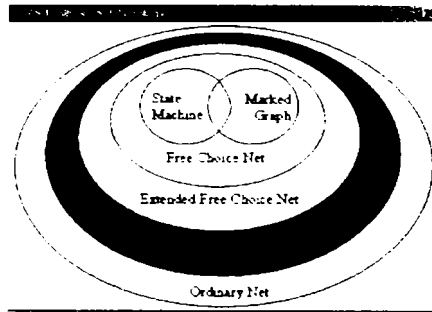


Figura 2.153. Topologia rețelei Petri validată de PNT

Matricele de incidență ale rețelei Petri sunt următoarele :

Matricea de incidență de intrare

$$A_I = \begin{pmatrix} 1 & 0 & 1 & 0 & 0 & 0 & 0 & 0 & 0 & 0 & 0 & 0 & 0 & 0 & 0 & 0 & 0 & 0 & 0 & 0 \\ 0 & 1 & 0 & 0 & 0 & 0 & 0 & 0 & 0 & 0 & 0 & 0 & 0 & 0 & 0 & 0 & 0 & 0 & 0 & 0 \\ 0 & 0 & 0 & 1 & 0 & 0 & 1 & 0 & 0 & 0 & 0 & 0 & 0 & 0 & 0 & 0 & 0 & 0 & 0 & 0 \\ 0 & 0 & 0 & 0 & 1 & 0 & 0 & 0 & 0 & 0 & 0 & 0 & 0 & 0 & 0 & 0 & 0 & 0 & 0 & 0 \\ 0 & 0 & 0 & 1 & 0 & 0 & 1 & 0 & 0 & 0 & 0 & 0 & 0 & 0 & 0 & 0 & 0 & 0 & 0 & 0 \\ 0 & 0 & 0 & 0 & 0 & 1 & 0 & 0 & 0 & 0 & 0 & 0 & 0 & 0 & 0 & 0 & 0 & 0 & 0 & 0 \\ 0 & 0 & 0 & 0 & 0 & 0 & 0 & 1 & 0 & 0 & 0 & 1 & 0 & 0 & 0 & 0 & 0 & 0 & 0 & 0 \\ 0 & 0 & 0 & 0 & 0 & 0 & 0 & 0 & 0 & 0 & 1 & 0 & 0 & 0 & 0 & 0 & 0 & 0 & 0 & 0 \\ 0 & 0 & 0 & 0 & 0 & 0 & 0 & 0 & 0 & 0 & 1 & 0 & 0 & 0 & 0 & 0 & 0 & 0 & 0 & 0 \\ 0 & 0 & 0 & 0 & 0 & 0 & 0 & 0 & 0 & 0 & 0 & 0 & 1 & 0 & 0 & 0 & 0 & 0 & 0 & 0 \\ 0 & 0 & 0 & 0 & 0 & 0 & 0 & 0 & 0 & 0 & 0 & 0 & 0 & 0 & 1 & 0 & 0 & 0 & 0 & 0 \\ 0 & 0 & 0 & 0 & 0 & 0 & 0 & 0 & 0 & 0 & 0 & 0 & 0 & 0 & 0 & 0 & 0 & 0 & 0 & 1 \end{pmatrix}$$

Matricea de incidență de ieșire

$$A_O = \begin{pmatrix} 0 & 1 & 0 & 0 & 0 & 0 & 0 & 0 & 0 & 0 & 0 & 0 & 0 & 0 & 0 & 0 & 0 & 0 & 0 & 0 \\ 0 & 0 & 1 & 1 & 0 & 0 & 0 & 0 & 0 & 0 & 0 & 0 & 0 & 0 & 0 & 0 & 0 & 0 & 0 & 0 \\ 0 & 0 & 0 & 0 & 1 & 0 & 0 & 0 & 0 & 0 & 0 & 0 & 0 & 0 & 0 & 0 & 0 & 0 & 0 & 0 \\ 0 & 0 & 0 & 0 & 0 & 0 & 1 & 1 & 0 & 0 & 0 & 0 & 0 & 0 & 0 & 0 & 0 & 0 & 0 & 0 \\ 0 & 0 & 0 & 0 & 0 & 1 & 0 & 0 & 0 & 0 & 0 & 0 & 0 & 0 & 0 & 0 & 0 & 0 & 0 & 0 \\ 0 & 0 & 0 & 0 & 0 & 1 & 0 & 0 & 0 & 0 & 0 & 0 & 0 & 0 & 0 & 0 & 0 & 0 & 0 & 0 \\ 0 & 0 & 0 & 0 & 0 & 0 & 1 & 0 & 1 & 0 & 0 & 0 & 0 & 0 & 0 & 0 & 0 & 0 & 0 & 0 \\ 0 & 0 & 0 & 0 & 0 & 0 & 0 & 0 & 0 & 0 & 1 & 0 & 0 & 0 & 0 & 0 & 0 & 0 & 0 & 0 \\ 0 & 0 & 0 & 0 & 0 & 0 & 0 & 0 & 0 & 0 & 0 & 1 & 0 & 0 & 0 & 0 & 0 & 0 & 0 & 0 \\ 0 & 0 & 0 & 0 & 0 & 0 & 0 & 0 & 0 & 0 & 0 & 0 & 0 & 0 & 0 & 0 & 0 & 0 & 0 & 1 \\ 0 & 0 & 0 & 0 & 0 & 0 & 0 & 0 & 0 & 0 & 0 & 0 & 0 & 0 & 0 & 0 & 0 & 0 & 0 & 1 \\ 1 & 0 & 0 & 0 & 0 & 0 & 0 & 0 & 0 & 0 & 0 & 0 & 0 & 0 & 0 & 0 & 0 & 0 & 0 & 1 \end{pmatrix}$$

Matricea de incidență:

$$A = A_O - A_I = \begin{pmatrix} -1 & 1 & -1 & 0 & 0 & 0 & 0 & 0 & 0 & 0 & 0 & 0 & 0 & 0 & 0 & 0 & 0 & 0 & 0 & 0 \\ 0 & -1 & 1 & 1 & 0 & 0 & 0 & 0 & 0 & 0 & 0 & 0 & 0 & 0 & 0 & 0 & 0 & 0 & 0 & 0 \\ 0 & 0 & 0 & -1 & 1 & 0 & -1 & 0 & 0 & 0 & 0 & 0 & 0 & 0 & 0 & 0 & 0 & 0 & 0 & 0 \\ 0 & 0 & 0 & 0 & -1 & 0 & 1 & 1 & 0 & 0 & 0 & 0 & 0 & 0 & 0 & 0 & 0 & 0 & 0 & 0 \\ 0 & 0 & 0 & -1 & 0 & 1 & -1 & 0 & 0 & 0 & 0 & 0 & 0 & 0 & 0 & 0 & 0 & 0 & 0 & 0 \\ 0 & 0 & 0 & 0 & 0 & -1 & 1 & 0 & 1 & 0 & 0 & 0 & 0 & 0 & 0 & 0 & 0 & 0 & 0 & 0 \\ 0 & 0 & 0 & 0 & 0 & 0 & 0 & -1 & 0 & 1 & 0 & -1 & 0 & 0 & 0 & 0 & 0 & 0 & 0 & 0 \\ 0 & 0 & 0 & 0 & 0 & 0 & 0 & 0 & 0 & -1 & 0 & 0 & 1 & 0 & 0 & 0 & 0 & 0 & 0 & 0 \\ 0 & 0 & 0 & 0 & 0 & 0 & 0 & 0 & 0 & -1 & 0 & 1 & -1 & 0 & 0 & 0 & 0 & 0 & 0 & 0 \\ 0 & 0 & 0 & 0 & 0 & 0 & 0 & 0 & 0 & 0 & 0 & -1 & 0 & 1 & 0 & 0 & 0 & 0 & 0 & 0 \\ 1 & 0 & 0 & 0 & 0 & 0 & 0 & 0 & 0 & 0 & 0 & 0 & 0 & 0 & 0 & 1 & -1 & 0 & 0 & 0 \end{pmatrix}$$

Pentru obținerea arborelui de acoperire se considera situația în care în sistem există un singur carucior, situație reprezentată prin introducerea unui jeton în poziția p_1 . Această convenție este făcută deoarece în cazul în care în sistem sunt mai multe carucioare (mai multe jetoane) în marcajul inițial structura arborelui devine prea complicată. Arborele de acoperire corespunzător existenței unui singur carucior (jeton) este prezentat în figura 2.154.

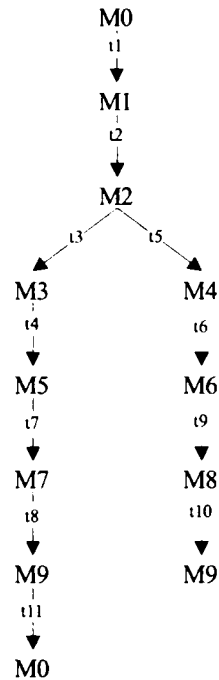


Figura 2.154. Arborele de acoperire al rețelei Petri *PN_Sistem*

Unde:

$M_0=(1,0,1,0,0,0,1,0,0,0,0,1,0)$; $M_1=(0,1,0,0,0,0,1,0,0,0,0,1,0)$;
 $M_2=(0,0,1,1,0,0,1,0,0,0,0,1,0)$; $M_3=(0,0,1,0,1,0,0,0,0,0,0,1,0)$;
 $M_4=(0,0,1,0,0,1,0,0,0,0,0,1,0)$; $M_5=(0,0,1,0,0,0,1,1,0,0,0,1,0)$;
 $M_6=(0,0,1,0,0,0,1,0,1,0,0,1,0)$; $M_7=(0,0,1,0,0,0,1,0,0,1,0,0,0)$;
 $M_8=(0,0,1,0,0,0,1,0,0,0,1,0,0)$; $M_9=(0,0,1,0,0,0,1,0,0,0,0,0,1)$.

Studiind proprietățile comportamentale ale rețelei Petri pe baza arborelui de acoperire rezulta:

- rețeaua este *marginita* (simbolul ω nu apare în arborele de acoperire);
- rețeaua este *sigura* (marcajele din toate nodurile arborelui de acoperire conțin numai „0” și „1”);
- rețeaua *nu este blocanta* (toate tranzițiile au asociate arce în arborele de acoperire);
- rețeaua este *accesibilă* (orice marcaj poate fi atins pornind din M_0).

Graful de acoperire corespunzător este prezentat în figura 2.155.

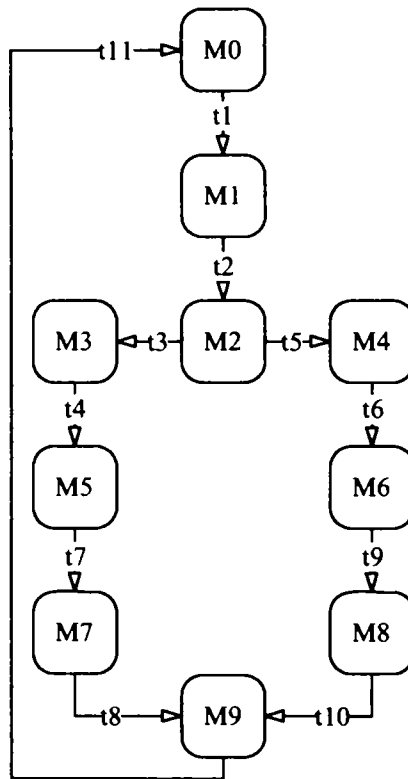


Figura 2.155. Graful de acoperire al rețelei Petri *PN_System*

Structura rezultata pentru graful de acoperire confirma ca modelul de retea Petri considerat pentru sistemul ales este accesibil.

Concluzionand, se poate afirma ca modelul ales este viabil din punct de vedere comportamental.

Analiza rețelei Petri *PN_System* din punct de vedere structural se efectueaza similar metodologiei aplicate anterior, pe baza analizei existentei invariantilor de tip *P* respectiv *T*.

Rangul matricei *A*, in acest caz este:

$$\text{rang } A = 9.$$

Rezulta ca rețeaua Petri *PN_System* este acoperita de 4 invarianti de tip *P*, si 2 invarianti de tip *T*.

In figurile 2.156 si 2.157 se prezinta invariantii de tip *P* respectiv *T* obtinuti in urma simulării rețelei Petri *PN_System* cu ajutorul PNT-ului.

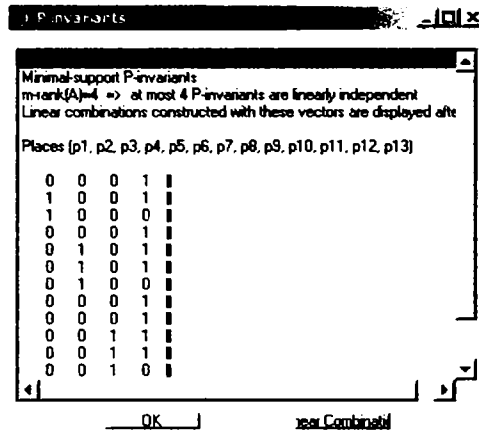


Figura 2.156. Invariantii de tip P obtinuti cu ajutorul PNT

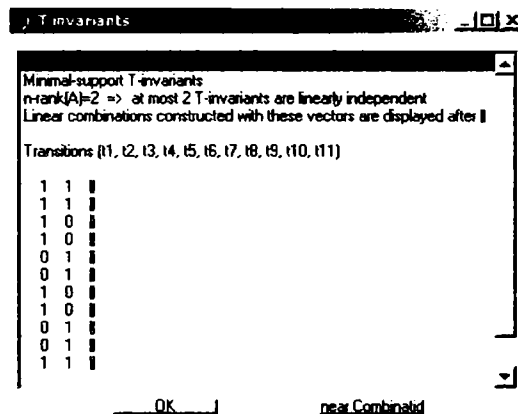


Figura 2.157. Invariantii de tip T obtinuti cu ajutorul PNT

Conform teoremelor 2.6 respectiv 2.7 rețeaua Petri PN_Sistem este conservativa și structural marginită, respectiv este consistentă și repetitivă.

Rețeaua propusă fiind validată din punct de vedere structural și comportamental, se poate trece la analiza rețelei prin asocierea fiecărei poziții a unui interval de timp corespunzător. Intervalele de timp alocate sunt prezentate în tabelul 2.19.

Tabelul 2.19. Intervalele de timp corespunzătoare pozițiilor P

Poziție	Unitati de Timp	
	Min	Max
P1,P4,P8,P9	0	0
P2,P5,P6,P10,P11	4	37
P3,P7,P12	0	0
P13	0	0

Se observă că numai pozițiile corespunzătoare nodurilor (mişcare respectiv jam) au timpi alocati diferiti de zero, celelalte pozitii considerandu-se ca sunt activate instantaneu.

Pe baza rezultatelor obtinute, se poate afirma solutia propusa pentru modelarea in ansamblu al STZA, prin conectarea directa a nodurilor, cu ajutorul modelelor de tip retele Petri este viabila ea putand fi utilizata cu succes in analiza sistemelor complexe.

Modelarea STZA prin determinarea matricii de incidenta a STZA[Ung07b]

Detrminarea matricii de incidenta a unui STZA avand ca suport matricile nodurilor componente se face pe baza urmatorului algoritm elaborat de autor.

Algoritmul 2.4. Modelarea cu ajutorul retelelor Petri a STZA prin determinarea matricii de incidenta

- *Pasul 1* - Se stabilesc nodurile de baza necesare modelarii STZA;
- *Pasul 2* - Se construiesc matricea intermediara A_{INT} de dimensiune (n_t, n_p) unde numarul de linii n_t este dat de numarul total de tranzitii din system, iar numarul de coloane n_p este dat de numarul total de pozitii din system;
- *Pasul 3* - Se atribuie elementelor matricii A_{INT} valorile corespunzatoare din matricile de incidenta ale nodurilor: $a_{INT_i} = a_{NOD_i}$, unde i reprezinta tranzitia iar j pozitia;
- *Pasul 4* - Se adauga coloane corespunzatoare pozitiiilor de sincronizare, rezultand astfel matricea de incidenta cautata A_{STZA} , efectuandu-se in acelasi timp si modificarea in mod corespunzator a elementelor matricii A_{STZA} pentru conectarea acestor noi pozitii in system;
- *Pasul 5* - Pe baza matricii de incidenta A_{STZA} se poate construii graful corespunzator retelei Petrii ale STZA considerat.

Exemplificarea modului de utilizare a algoritmului 2.4 se face avand ca suport structura pentru STZA prezentata in figura 2.151.

Pasul 1. Nodurile utilizate sunt: pentru N1 – nod de tip 1, pentru N2 – nod de tip 4 iar pentru N3 – nod de tip 2.

Pasii 2 si 3. Matricea A_{INT} are urmatoarea structura:

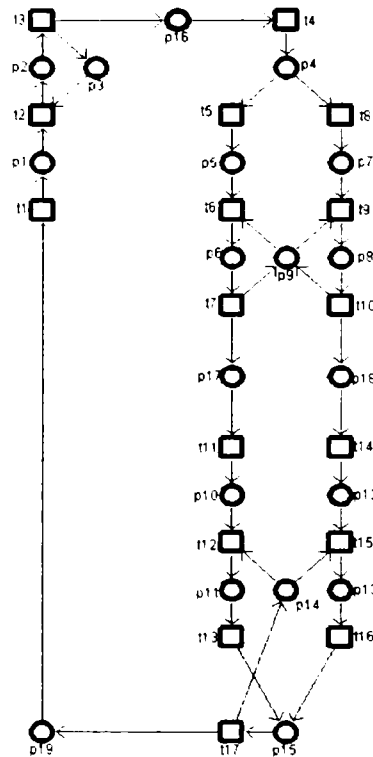


Figura 2.158. Graful corespunzator rețelei Petri obținute prin aplicarea algoritmului 2.4

Sincronizarea nodurilor este realizată prin intermediul pozițiilor p_{16} , p_{17} , p_{18} și p_{19} , aceste poziții având asociați timpi egali cu zero. În acest mod ele nu influențează timpii de execuție a rețelei.

Prima metodă propusă este greu de utilizat, în cazul sistemelor complexe, deoarece modelarea se face pornind de la construirea grafului, structura matricii de incidență fiind influențată puternic de structura sistemului. În acest caz este imposibilă utilizarea metodei pentru un caz general.

Metoda a doua este mai avantajoasă, ea putând fi considerată ca metodă generală de modelare având ca suport obținerea matricii de incidență a sistemului asigurându-se astfel modularizarea în ansamblu.

2.7. Concluzii

Modelarea reprezintă o componentă importantă a proiectării ingineresti fiind utilizată la analiza comportamentului, evaluarea performanțelor și optimizarea sistemelor. SED constituie o clasă aparte de sisteme dinamice neliniare, care necesită pentru investigare instrumente proprii de modelare și analiză, complet diferite de cele utilizate la sistemele clasice (continuale/discrete) bazate pe ecuații diferențiale sau ecuații cu diferențe finite. Scopul analizei SED este dezvoltarea de modele corespunzătoare, care descriu în mod adecvat comportamentul acestor sisteme.

Sintetizarea principalelor concepte din cadrul domeniului sistemelor cu evenimente discrete a demonstrat importanța acestui domeniu ca suport de modelare ca SED a sistemelor de transport cu zone de acumulare.

În cadrul acestui capitol s-a urmărit realizarea unei sinteze legate de aspectul teoretic al modelării SED. Temele abordate, din acest punct de vedere, au fost direcționate, pe de o parte, pe aspectele legate de utilizarea limbajelor și automatelor ca metode de modelare a SED, iar pe de altă parte, pe sintetizarea aspectelor legate de modelarea SED cu ajutorul rețelelor Petri.

În cazul utilizării rețelelor Petri ca tehnică de modelare, au fost abordate atât metodele clasice (rețele Petri ordinare, rețele Petri temporizate), cât și metodele de dată recentă de abordare a domeniului (rețele Petri etichetate, utilizarea submodelelor de tip rețele Petri).

De asemenea a fost abordată, din punct de vedere teoretic, problematica legată de conexiunile dintre modelele de tip automat și modelele de tip rețele Petri.

Contribuțiile legate de aspectele teoretice ale modelării SED cu ajutorul automatelor, respectiv al rețelelor Petri sunt prezentate în capitolul 6.

Aspectele teoretice legate de modelarea SED au fost utilizate pentru modelarea STZA. Astfel, a fost prezentat conceptul de modelare a STZA ca SED, elaborându-se patru structuri de bază denumite generic noduri.

Pornind de la aceste structuri de bază au fost elaborate trei tipuri de modele pentru fiecare tip de nod: modelul de tip automat, modelul de tip rețea Petri netemporizată și modelul de tip rețea Petri temporizată. Fiecare model în parte a fost analizat și validat utilizând mediul Matlab.

După validarea acestor modele particulare au fost elaborate, analizate și validate modele corespunzătoare de ordin general.

Un paragraf important al acestui capitol este legat de prezentarea STZA din punct de vedere teoretic, fiind formulate o serie de definiții, teoreme și leme corespunzătoare sintetizării notiunilor teoretice legate de STZA „văzute” ca SED.

Au fost prezentate metode de modelare a nodurilor complexe, și nu în ultimul rând a fost elaborate două metodologii bazate pe cozile de așteptare pentru obținerea modelului unui STZA. Un model particular bazat pe construirea grafului corespunzător unui STZA, respectiv un model determinat pe construirea matricii de incidență utilizând poziții suplimentare de sincronizare.

Contribuțiile legate de aspectele modelării STZA ca SED sunt prezentate în detaliu în capitolul final al lucrării (capitolul 6).

Conducerea supervizata a sistemelor cu evenimente discrete

Notiunea de supervizor a fost introdusa de P.J. Ramadge si W.M. Wonham in contextul teoriei supervizarii, dezvoltata in anul 1987 si prezentata in [RW87][RW89]. Problematika legata de conducerea supervizata a SED a fost abordata ulterior in foarte multe lucrari [WR88] [CL01] [GM04] [GM05a][Khou04][Vahi04][XTPS02][KN06]. In [CL01] se prezinta modul de conducere supervizata a unui SED pe baza modelelor de tip automat. Pe langa conducerea supervizata centralizata, nenumeroase lucrari abordeaza subiecte legate de conducerea supervizata prin utilizarea metodelor de conducere supervizata ierarhizata [Daro05a] [GM05b] [LBW00] [LBWL01] [Led02] [LLD06] [LLW01] [LWL01].

In cadrul acestui capitol se abordeaza problematica legata de elaborarea unor algoritmi de implementare a supervizoarelor corespunzatori sistemelor centralizate, modelate cu ajutorul automatelor, respectiv a retelelor Petri.

3.1. Structura de baza utilizata in conducerea supervizata a SED [CL01][RW87]

Conducerea sistemelor automate complexe (de ex. sisteme flexibile de fabricatie, sisteme de transport etc.) necesita o structura de conducere ierarhizata (multinivel) pornind de la nivelul ierarhic cel mai de jos (reprezentat prin senzori si traductoare, elemente de executie etc.), pana la programe software prin care se implementeaza algoritmi de conducere complecsi necesari unei conduceri supervizate.

Pentru monitorizarea/conducerea proceselor, considerate ca fiind SED, este necesara utilizarea unui controler supervizor (supervizor), cu ajutorul caruia se urmareste atat starea procesului cat si informatii provenite de la alte componente, necesare generarii comenzilor.

Comportamentul controlerului supervizor depinde de doua tipuri de informatii: conditii si evenimente, care constituie intrarile controlerului.

Starea unui controler supervizor se poate modifica:

- daca o conditie este adevarata – aceasta poate fi exprimata prin variabile logice care corespund unor marimi interne sau externe. In cazul conditiilor externe acestea se refera la starea sistemului, putand fi caracterizata prin predicate, care sunt propositii adevarate sau false si care pot fi modificate prin schimbarea unor variabile logice.
- cand se realizeaza un eveniment – acesta se refera la schimbarea starii sistemului (schimbare numita eveniment). Un proces tehnic cu functionare pilotata de evenimente este constituit dintr-o multime de resurse care sunt

utilizate pentru a efectua o succesiune de operatii. Realizarea fiecărei operatii necesita alocarea uneia sau mai multor resurse care sunt eliberate dupa incheierea operatiei respective.

Problema conducerii supervizate a unui de proces consta in a asigura indeplinirea urmatoarelor conditii de functionare:

- corectitudinea succesiunii operatiilor;
- corectitudinea alocarii si eliberarii resurselor necesitate de fiecare operatie in parte;
- prestarea unui anumit tip de serviciu de indata ce resursele necesare pentru operatia respectiva sunt disponibile;
- repetabilitatea prestarii serviciilor, fara blocaje circulare datorate utilizarii partajate a unora dintre resurse.

In figura 3.1 se prezinta o structura de conducere care asigura satisfacerea conditiilor de functionare.

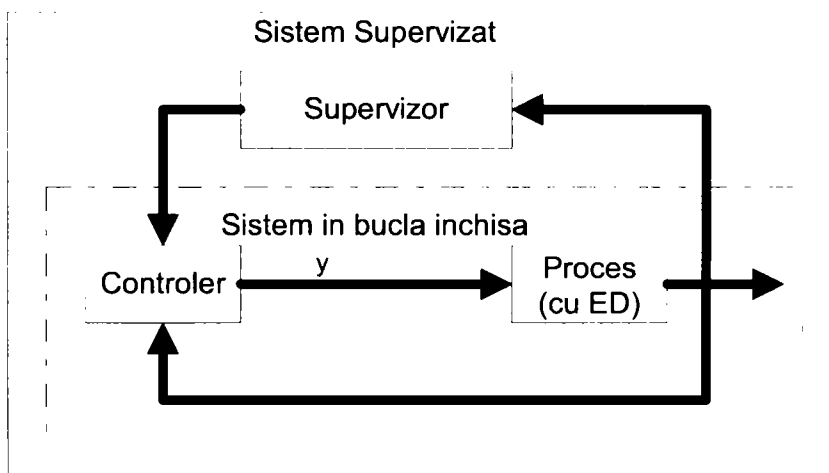


Figura 3.1. Structura de conducere

Un **supervizor** este o unitate care supravegheaza si ghideaza comportamentul unui subsistem cu evenimente discrete condus.

Pentru structura de conducere reprezentata in figura 3.2, din multitudinea de traiectorii de stare posibile ale sistemului, supervizorul le va selecta pe cele care indeplinesc anumite conditii impuse. Supervizorul nu creeaza noi evolutii posibile, el alegand din cele existente pe cele dorite.

Supervizorul unui SED are rolul de baza, de a preveni realizarea unor evenimente in sistemul supervizat, prin introducerea unor specificatii. Specificatiile pot fi de doua categorii:

- probleme de evitare a starilor, unde obiectivul consta in evitarea unor anumite de stari;
- probleme de evitare a secventelor, care au ca obiectiv evitarea unor anumite secvente de evenimente nedorite.

Evitarea unor stari, sau a unor secvente de evenimente, este echivalenta cu introducerea unor constrangeri. In consecinta supervizorul trebuie sa fie capabil sa introduca aceste constrangeri si poate fi realizat sub forma unui controler on-line.

Funcțiile posibile ale supervisorului sunt:

- să împiedice sistemul să intre în anumite stări interzise (evitarea stărilor blocante);
- să împiedice execuția unor secvențe nedorite;
- să forțeze execuția unor secvențe dorite din anumite stări;
- să forțeze ajungerea în anumite stări dorite, din stări date;
- să rezolve conflictele.

Pentru ca supervisorul să ghideze subsistemul între mai multe evoluții posibile, trebuie să existe criterii de alegere pe care să le poată implementa. În acest sens, există mai multe soluții posibile.

Dacă soluția aleasă se bazează pe un supervisor optimal, atunci trebuie să:

- se precizează un criteriu de performanță;
- se minimizează sau se maximizează criteriul de performanță;
- se transmit informații supervisorului, astfel încât, acesta să determine o evoluție după cea mai performantă traiectorie de stare, a sistemului în buclă închisă.

Dacă trebuie să se implementeze anumite reguli de decizie, atunci este necesar să existe un mod de descriere a acestora.

3.2. Conducerea supervizată pe baza modelelor de tip automat

3.2.1. Supervizarea sistemelor cu reacție după stare [CL01][RW87] [Wohn02] [Schm05]

Formularea problemei de conducere porneste de la următoarele: se considera un SED modelat prin *intermediul unei perechi de limbaje*, L și L_m , unde L este setul tuturor sirurilor pe care SED-ul considerat le poate genera și $L_m \subseteq L$ este limbajul sirurilor marcate, care sunt utilizate la reprezentarea completă a unor operații sau taskuri; *definirea lui L_m este în fapt rezultatul modelării*. L și L_m sunt definite pornind de la mulțimea evenimentelor E . L este întotdeauna prefix-inchizator, ceea ce înseamnă $L = \bar{L}$ iar L_m nu este obligatoriu să fie prefix-inchis. Fără a pierde din generalitatea abordării se admite că L și L_m sunt limbaje generate și marcate de automatul:

$$G = (X, E, f, \Gamma, x_0, X_m) \quad (3.1)$$

unde X nu este obligatoriu să fie finit, ceea ce conduce la:

$$L(G) = L \quad \text{și} \quad L_m(G) = L_m. \quad (3.2)$$

Astfel, se poate vorbi de sistemul cu evenimente discrete G – „SED G ”. În figura 3.2 se prezintă modul de conectare al unui supervisor.

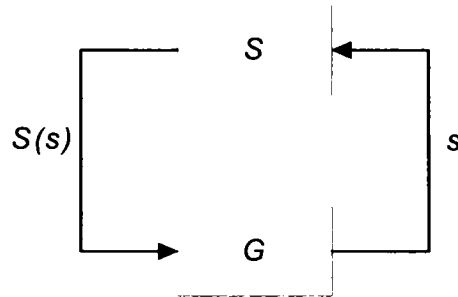


Figura 3.2. Conexiunea de tip reacție dintre supervisorul S și sistemul necotrolat reprezentat de automatul G

Definiția 3.1. Supervisorul

Se considera Σ un alfabet relativ la un set de evenimente dat, și fie $L_1, L_2 \subseteq \Sigma^*$ două limbaje. Fie sistemul $G = (L_1, L_2)$, pentru care sunt îndeplinite condițiile:

- L_1 și L_2 sunt limbaje regulate;
- L_1 este prefix-închizator;
- $L_2 \subseteq L_1$;
- $\Sigma = \Sigma_{uc} \cup \Sigma_c$, unde Σ_{uc} este setul evenimentelor necontrolabile iar Σ_c este setul evenimentelor controlabile.

Un supervisor S pentru G este o hartă:

$$S : L_1 \rightarrow \Gamma, \quad (3.3)$$

Unde $S(s)$ reprezintă setul evenimentelor valide după executia unui sir $s \in L_1$.

Pornind de la definiția 3.1, se dorește determinarea unui supervisor S, care să interacționeze cu G, într-o conexiune de tip reacție (figura 3.3).

Fie Σ format din două mulțimi disjuncte Σ_c și Σ_{uc}

$$\Sigma = \Sigma_c \cup \Sigma_{uc} \quad (3.4)$$

unde:

- Σ_c este setul evenimentelor controlabile: acestea sunt evenimentele care pot fi evitate în momentul apariției sau pot fi inhibitate de către supervisorul S;
- Σ_{uc} este setul evenimentelor necontrolabile: aceste evenimente nu pot fi evitate în momentul apariției lor de către supervisorul S.

Se presupune că toate evenimentele din Σ executate de G sunt observabile de către supervisorul S. În figura 3.2 s este sirul tuturor evenimentelor posibile de executat de către G și sunt în întregime supravegheate de S.

În general, modul de operare al sistemului poate fi descris: funcția de tranziției a lui G poate fi controlată de S, în sensul că evenimentele controlabile a lui G pot fi validate sau invalidate în mod dinamic prin intermediul lui S. Formal, un supervisor S este o funcție definită pe limbajul generat de G și cu valori în setul puterilor lui Σ :

$$S : L(G) \rightarrow 2^\Sigma. \quad (3.5)$$

Pentru fiecare $s \in L(G)$ generat din G (sub controlul lui S),

$$S(s) \cap \Gamma(\delta(x_0, s)) \quad (3.6)$$

este un set de evenimente valide, pe care G le executa pornind din starea curenta cu ajutorul functiei $\delta(x_0, s)$. Cu alte cuvinte, G nu poate executa un eveniment chiar daca acesta exista in setul curent de evenimente $\Gamma(\delta(x_0, s))$, daca acest eveniment nu este continut in $S(s)$. Setul de evenimente Σ este in fapt o reuniune intre multimea evenimentelor controlabile si multimea evenimentelor necontrolabile.

Se spune despre un supervizor S ca este admisibil daca pentru toate $s \in L(G)$:

$$\Sigma_{uc} \cap \Gamma(\delta(x_0, s)) \subseteq S(s) \quad (3.7)$$

ceea ce inseamna ca S nu este tolerant totdeauna la posibilele evenimentele necontrolabile dezactivate.

$S(s)$ este functie de conducere relativa la s . Functia de conducere poate fi schimbata intr-un subset de supraveghere a starilor. Admitand un automat G si un supervizor admisibil S , rezultatul conducerii sistemului in bucla inchisa este dat de S/G („ S conduce G ”). Sistemul condus S/G este un SED, care poate fi caracterizat prin limbajul generat si limbajul marcat. Aceste doua limbaje sunt simple subseturi a lui $L(G)$ si respectiv $L_m(G)$ continand sirurile ramase fezabile in prezenta lui S .

Definitia 3.2 Limbaje generate si marcate de S/G

Limbajul generat de sistemul in bucla inchisa S/G este definit recursiv astfel:

1. $\varepsilon \in L(S/G)$ (3.8)

2. $[(s \in L(S/G)) \text{ si } (s\sigma \in L(G)) \text{ si } (\sigma \in S(s))] \Leftrightarrow [s\sigma \in L(S/G)]$. (3.9)

Limbajul marcat de sistemul in bucla inchisa S/G este definit ca:

$$L_m(S/G) := L(S/G) \cap L_m(G) \quad (3.10)$$

Definitia 3.3 Blocajul in sisteme controlate

Un SED S/G este blocant daca:

$$L(S/G) \neq \overline{L_m(S/G)} \quad (3.11)$$

si este nebloccant cand:

$$L(S/G) = \overline{L_m(S/G)} \quad (3.12)$$

Un supervizor S care controleaza un SED G este blocant daca S/G este blocant si un supervizor S este nebloccant daca S/G este nebloccant.

Definitia 3.4 Controlabilitatea

Fie K si $M = \overline{M}$ limbaje relative la un set de evenimente Σ , si fie Σ_{uc} proiectat ca un subset a lui Σ . Se spune ca K este controlabil relativ la M si Σ_{uc} daca:

$$\overline{K} \Sigma_{uc} \cap M \subseteq \overline{K}. \quad (3.13)$$

□

Teorema 3.1. Teorema Controlabilitatii

Fie SED reprezentat prin $G = (X, \Sigma, \delta, \Gamma, x_0)$, unde $\Sigma_{uc} \subseteq \Sigma$ este setul evenimentelor necontrolabile, si fie $K \subseteq L(G)$, unde $K \neq \emptyset$. Atunci exista un supervizor S astfel incat $L(S/G) = \overline{K}$, daca si numai daca

$$\overline{KE}_{uc} \cap L(G) \subseteq \overline{K}. \quad (3.14)$$

Această condiție impusă lui K se numește **condiția de controlabilitate**.

Demonstratia acestei teoreme se găsește în [CL01].

3.2.2. Algoritmi de implementare a supervizoarelor bazate pe modele de tip automat

Pentru sinteza și implementarea unui supervizor trebuie îndeplinite următoarele trei elemente de bază:

1. Specificarea supervizorului;
2. Supervizorul trebuie să evite situațiile blocante;
3. Supervizorul trebuie să fie controlabil.

În literatura nu se prezintă o soluție directă care să rezolve problema într-un singur pas, toate metodele de implementare bazându-se pe metode iterative. Situațiile cele mai critice se datorează faptului că un supervizor non-blocant poate fi necontrolabil și invers, un supervizor controlabil poate fi blocant.

Pornind de la aceste observații trebuie avute în vedere toate aspectele vizate (nonblocaj și controlabilitate).

Pentru prezentarea algoritmilor de implementare a supervizoarelor, se consideră un sistem care nu satisface din punct de vedere al comportamentului necontrolabil. După cum s-a precizat anterior, în acest caz este necesară utilizarea unui supervizor. Efectul supervizorului asupra sistemului va fi dat de faptul că acesta va impune o serie de restricții comportamentale.

Un rol deosebit de important îl are modul de specificare a supervizorului, literatura de specialitate prezentând mai multe metode de specificare [CL01] [RW87] [Wohn02] [Schm05]:

- prin limbajul generat $L(S/G)$;
- prin limbajul marcat $L_m(S/G)$;
- prin automatul corespunzător.

Aceste metode de specificare sunt metode „text” care trebuie transformate în modele corespunzătoare procesului considerat. O specificare urmărește în fapt ceea ce este relevant pentru un model, funcție de cum se dorește a fi realizat. Trebuie menționat faptul că un proces limitează el însuși modelul.

Specificatia corespunzătoare unui sistem conține:

- stările marcate;
- stările interzise;
- primul venit – primul servit, cu referire la evenimente;
- evenimentele alternante;
- specificarea ordinii evenimentelor;
- secvențele evenimentelor interzise;
- de câte ori evenimentul „a” este permis între două evenimente „b”.

De asemenea specificarea poate fi parțială sau totală. Astfel, o *specificare totală* este dată de faptul că toate evenimentele sunt observabile. O specificare parțială se bazează pe faptul că numai o parte din evenimente (un subset) sunt observabile.

O specificare totală este dată de asemenea de faptul că specificările automatului sunt și specificările supervisorului:

$$S = S_p = S_p \parallel G \quad (3.19)$$

O specificație parțială poate fi dată și prin faptul că evenimentele neobservabile nu sunt restrictive, sistemul putând lua decizia cum să reacționeze în cazul apariției unui astfel de eveniment. Specificațiile mai pot fi *statice* (situație în care stările marcate și stările interzise sunt definite explicit), sau *dinamice* (situație în care stările marcate și stările interzise nu sunt definite explicit).

Algoritmul 3.1 Sinteza supervisorului prin **metoda Wonham** [RW88]

Algoritm a fost propus de Wonham, și se bazează pe operatorii definiți pentru limbaje. În cazul acestui algoritm singurele restricții impuse sunt legate de modelul care caracterizează comportamentul închis și marcat al sistemului.

Pentru sinteza unui supervisor monolitic este:

- **Pasul 1** Se construiește prin compunere paralelă $G = G_1 \parallel G_2 \parallel \dots \parallel G_m$, G reprezentând modelul obținut prin unificarea comportamentelor tuturor subsistemelor considerate. Alfabetul lui G este $\Sigma = \Sigma_1 \cup \Sigma_2 \cup \dots \cup \Sigma_m$
- **Pasul 2** Extinderea specificațiilor corespunzătoare buclei de reacție H_j prin introducerea tuturor evenimentelor etichetate din G , dar care pentru H_j nu reprezintă constrângeri. Aceste etichete se regăsesc în: $\Sigma_{e_j} = \Sigma \setminus \Sigma_{H_j}$, automatele noi redenumindu-se ca fiind H'_1, \dots, H'_n
- **Pasul 3** Se construiește intersecția: $H = H'_1 \cap H'_n$. H reprezentând în acest caz specificațiile globale corespunzătoare comportamentului dorit a fi impus lui G .
- **Pasul 4** Se construiește intersecția, unde E reprezintă comportamentul global al întregului sistem considerat, impus prin specificații
- **Pasul 5** Automatul obținut nu reprezintă supervisor dorit. Pentru verificarea condiției de supervisor trebuie să verificăm:
 - **Pasul 5.1** Verificarea nonblocajului corespunzător lui E pentru determinarea stărilor blocante ale sistemului
 - **Pasul 5.2** Verificarea controlabilității lui E , avându-se în vedere că limbajul $L(E)$ poate fi necontrolabil în raport cu $L(G)$. Aceasta înseamnă că în situația în care G și E rulează în paralel să apară situații de genul că un eveniment necontrolabil validat de G să fie invalidat de E .

Pentru evitarea obținerii unui sistem blocant sau necontrolabil pentru E , trebuie impuse câteva restricții minimale, rezultând astfel un supervisor S care este neblocant și controlabil.

Exemplul 3.1 Implementarea unui supervisor pentru o celula flexibila de fabricatie (CFF) pe baza algoritmului Wonham

Fie sistemele G_1 , G_2 si specificatiile comportamentale H (vezi figura 3.3).

In cadrul CFF, se considera G_1 ca fiind un brat de robot care ia o piesa din sistemul de transport (evenimentul a) si depune (incarca) o masina (evenimentul b). G_2 este o masina care poate incepe lucrul (la aparitia evenimentului c) si poate depune piesa prelucrata fie pe conveiorul A fie pe conveiorul B (evenimentele d respectiv e), dupa care revine in starea initiala de asteptare. Specificatiile sunt introduse prin intermediul generatorului H , in care se specifica faptul ca masina poate incepe lucrul numai dupa ce a fost incarcata (evenimentele b si c trebuie sa se produca alternativ). Se considera ca singurul eveniment necontrolabil este b . Pentru obtinerea supervisorului dorit se va aplica algoritmul prezentat mai sus.

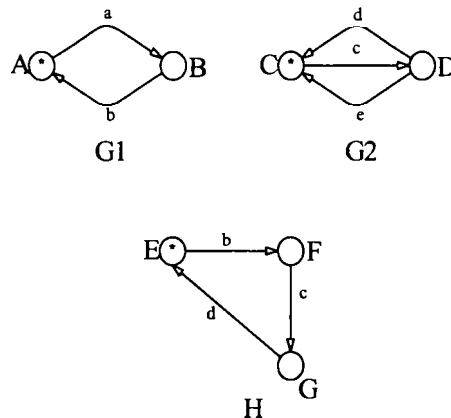


Figura 3.3. Structura sistemelor G_1 si G_2 precum si specificatiile H corespunzatoare exemplului 3.1

Specificatiile automatului G_1 sunt:

$$G_1 = (Q_1, \Sigma_1, \delta_1, i_1, M_1)$$

unde:

1. Q_1 – multimea starilor: $Q_1 = \{A, B\}$
2. Σ_1 – multimea evenimentelor: $\Sigma_1 = \{a, b\}$
3. δ_1 – functia de tranzitie:

$$\delta_1(A, a) = B$$

$$\delta_1(B, b) = A$$
4. i_1 – starea initiala: $i_1 = A$
5. M_1 – multimea starilor marcate: $M_1 = \{A, B\}$

Specificatiile automatului G_2 sunt:

$$G_2 = (Q_2, \Sigma_2, \delta_2, i_2, M_2)$$

unde:

1. Q_2 – multimea starilor: $Q_2 = \{C, D\}$
2. Σ_2 – multimea evenimentelor: $\Sigma_2 = \{c, d, e\}$
3. δ_2 – functia de tranzitie:

$$\delta_2(C, c) = D$$

$$\delta_2(D, d) = C$$

$$\delta_2(D, e) = C$$

4. i_2 - starea initiala: $i_2 = C$
5. M_2 - multimea starilor marcate: $M_2 = \{C, D\}$

Specificatiile automatului H sunt:

$$H = (Q_H, \Sigma_H, \delta_H, i_H, M_H)$$

unde:

1. Q_H - multimea starilor: $Q_H = \{E, F, G\}$
2. Σ_H - multimea evenimentelor: $\Sigma_H = \{b, c, d\}$
3. δ_H - functia de tranzitie:

$$\delta_H(E, b) = F$$

$$\delta_H(F, c) = G$$

$$\delta_H(G, d) = E$$
4. i_H - starea initiala: $i_H = E$
5. M_H - multimea starilor marcate: $M_H = \{E, F, G\}$

Cu aceste date algoritmul de sinteza a supervizorului monolitic dorit devine:

Pasul 1 : construirea lui $G = G_1 || G_2$.

Automatul rezultat in urma compunerii paralele este:

$$G = G_1 || G_2 = (Q_{G_1||G_2}, \Sigma_{G_1||G_2}, \delta_{G_1||G_2}, i_{G_1||G_2}, M_{G_1||G_2})$$

unde:

1. $Q_{G_1||G_2}$ - multimea starilor: $Q_{G_1||G_2} = \{A.C, A.D, B.C, B.D\}$
2. $\Sigma_{G_1||G_2}$ - multimea evenimentelor: $\Sigma_{G_1||G_2} = \{a, b, c, d, e\}$
3. $\delta_{G_1||G_2}$ - functia de tranzitie:

$$\delta_{G_1||G_2}(A.C, a) = B.C$$

$$\delta_{G_1||G_2}(A.C, c) = A.D$$

$$\delta_{G_1||G_2}(B.C, b) = A.C$$

$$\delta_{G_1||G_2}(B.C, c) = B.D$$

$$\delta_{G_1||G_2}(A.D, a) = A.C$$

$$\delta_{G_1||G_2}(A.D, d) = A.C$$

$$\delta_{G_1||G_2}(A.D, e) = A.C$$

$$\delta_{G_1||G_2}(B.D, b) = A.D$$

$$\delta_{G_1||G_2}(B.D, d) = B.C$$

$$\delta_{G_1||G_2}(B.D, e) = B.C$$
4. $i_{G_1||G_2}$ - starea initiala: $i_{G_1||G_2} = A.C$

5. $M_{G1||G2}$ – multimea starilor marcate: $M_{G1||G2} = \{A, B, C, D\}$

Automatul $G1||G2$ rezultat in urma compunerii paralele este prezentat in figura 3.4.

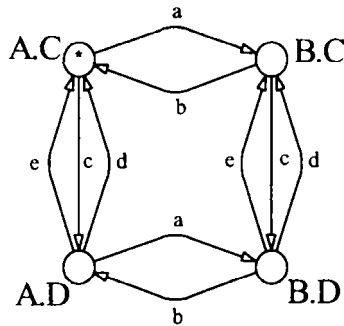


Figura 3.4. Structura automatului $G1||G2$

Pasul 2: construirea lui H' prin marirea specificatiilor.

In plus fata de structura initiala se adauga evenimentele a si e corespunzatoare fiecarei stari.

Automatul rezultat este:

$$H' = (Q_{H'}, \Sigma_{H'}, \delta_{H'}, i_{H'}, M_{H'})$$

unde:

1. $Q_{H'}$ – multimea starilor: $Q_{H'} = \{E, F, G\}$
2. $\Sigma_{H'}$ – multimea evenimentelor: $\Sigma_{H'} = \{a, b, c, d, e\}$
3. $\delta_{H'}$ – functia de tranzitie:
 - $\delta_{H'}(E, a) = E$
 - $\delta_{H'}(E, e) = E$
 - $\delta_{H'}(E, b) = F$
 - $\delta_{H'}(F, a) = F$
 - $\delta_{H'}(F, e) = F$
 - $\delta_{H'}(F, c) = G$
 - $\delta_{H'}(G, a) = G$
 - $\delta_{H'}(G, e) = G$
 - $\delta_{H'}(G, d) = E$
4. $i_{H'}$ – starea initiala: $i_{H'} = E$
5. $M_{H'}$ – multimea starilor marcate: $M_{H'} = \{E, F, G\}$

In figura 3.5 se prezinta automatul H' obtinut prin adaugarea in automatul H a evenimentelor a si e .

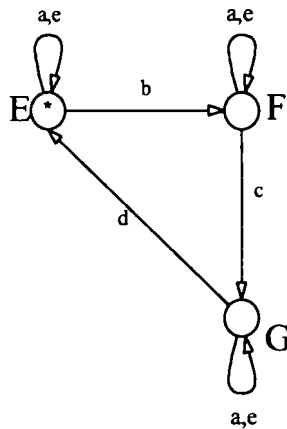


Figura 3.5. Structura automatului H'

Pasul 3. Deoarece exista un singur automat H nu mai este necesara executia acestui pas.

Pasul 4. Se construiește $E = G \cap H'$

Automatul rezultat este:

$$E = (Q_E, \Sigma_E, \delta_E, i_E, M_E)$$

unde:

1. Q_E - multimea starilor:

$$Q_E = \{S_0, S_1, S_2, S_3, S_4, S_5, S_6, S_7\}$$

unde:

$$S_0 = A.C.E; \quad S_1 = B.C.E; \quad S_2 = A.C.F; \quad S_3 = B.C.F; \quad S_4 = A.D.G; \quad S_5 = B.D.G;$$

$$S_6 = A.C.G;$$

$$S_7 = B.C.G$$

2. Σ_E - multimea evenimentelor: $\Sigma_E = \{a, b, c, d, e\}$

3. δ_E - functia de tranzitie:

$$\delta_E(S_0, a) = S_1$$

$$\delta_E(S_1, b) = S_2$$

$$\delta_E(S_2, a) = S_3$$

$$\delta_E(S_2, c) = S_4$$

$$\delta_E(S_3, c) = S_5$$

$$\delta_E(S_4, a) = S_5$$

$$\delta_E(S_4, e) = S_6$$

$$\delta_E(S_4, d) = S_0$$

$$\delta_E(S_5, d) = S_1$$

$$\delta_E(S_5, e) = S_7$$

$$\delta_E(S_6, a) = S_7$$

4. i_E - starea initiala: $i_E = S_0$

5. M_E – multimea starilor marcate: $M_E = \{S0, S1, S2, S3, S4, S5, S6, S7\}$

Structura lui E este prezentata in figura 3.6.

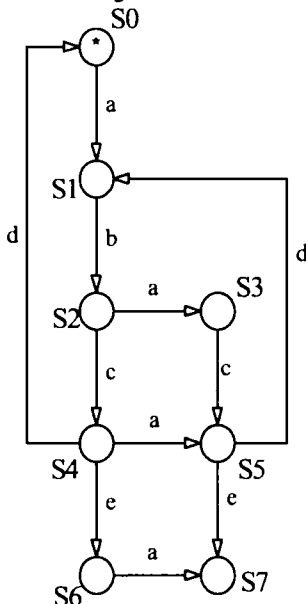


Figura 3.6. Structura automatului $E = G \cap H'$

Sistemul E rezultat nu este un supervizor deoarece contine o stare blocanta ($S7$), precum si o stare necontrolabile ($S5$). Deoarece evenimentul b a fost declarat ca necontrolabil rezulta ca limbajul generat de E este necontrolabil. Solutia pentru ca sistemul E sa devina supervizor este aceea de a sterge toate starile blocante si necontrolabile, obtinand astfel un automat S de urmatoarea structura.

$$S = (Q_S, \Sigma_S, \delta_S, i_S, M_S)$$

unde:

1. Q_S – multimea starilor: $Q_S = \{S0, S1, S2, S4\}$
2. Σ_S – multimea evenimentelor: $\Sigma_S = \{a, b, c, d\}$
3. δ_H – functia de tranzitie:

$$\delta_S(S0, a) = S1$$

$$\delta_S(S1, b) = S2$$

$$\delta_S(S2, c) = S4$$

$$\delta_S(S4, d) = S0$$

4. i_S – starea initiala: $i_S = S0$
5. M_S – multimea starilor marcate: $M_S = \{S0, S1, S2, S4\}$

In figura 3.7 este prezentata structura supervizorului S .

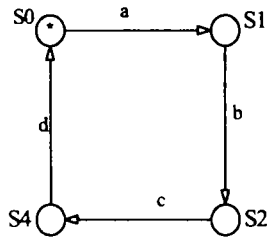


Figura 3.7. Structura supervisorului S

Algoritm 3.2 Implementarea supervizoarelor prin metoda Cassandras[CL01]

Se bazează pe modul de specificare prezentat anterior. Algoritmul propus este următorul:

- **Pasul 1** $S_0 = Ac(G \parallel S_p)$ $i = 0$
- **Pasul 2** $S_{i+1} = NonBlock(S_i)$;cautare pentru stari blocante si
;cele gasite ca fiind blocante se
;marcheaza ca interzise
- **Pasul 3** $S_{i+2} = Contrl(S_{i+1})$;cautare pentru stari
;necontrolabile si cela gasite ca
;necontrolabile se marcheaza
;ca interzise
- **Pasul 4** Daca $S_{i+1} \neq S_{i+2}$ atunci
 $i=i+2$ si trece la pasul 2
- **Pasul 5** $S = S_{i+1}$

Rezultatul obtinut (S) este nonblocant, controlabil, corespunzator specificatiilor date prin S_p si este restrictiv minimal. S obtinut poate fi un automat gol, rezultand in acest caz fie ca este prea restrictiv, fie modelul adoptat pentru instalatie este incorect, fie specificarea modelului s-a facut incorect.

Algoritmul propus pentru determinarea starii nonblocante **NonBlock(S_i)** porneste de la urmatoarele premize:

- Q_A = setul starii in A
- M_A = setul starii marcate
- X_A = setul starii interzise
- $\delta_A(q, \sigma)$ = functia de tranzitie, dependenta de starea activa q si evenimentul σ

Se urmareste obtinerea:

- Q_{CO} = setul starii co-accesibile
- Q_x = setul starii blocante sau previzibil interzise

Algoritmii de obtinere ai lui Q_{CO} si Q_x se bazeaza pe cautarea pentru toate starii o traiectorie care are ca finalitate o stare marcata, stari care sunt inregistrate ca fiind co-accesibile. Restul starii fiind considerate blocante.

Algoritmul 3.3. Determinarea starilor blocante ale unui automat NonBlock(Si)[CL01]*

• **Pasul 1** $Q_{CO} = M_A; Q_X = X_A; Q = 0$

• **Pasul 2** $(\forall q \in Q_A \setminus (Q_{CO} \cup Q_X))$ if $\exists \sigma \in \Sigma_A : \delta(q, \sigma) \in Q_{CO}$ then $Q = Q \cup \{q\}$

else (if $\forall \sigma \in \Sigma_A : \delta(q, \sigma) \in Q_X$ or $\delta(q, \sigma)$ nede

then $Q_X = Q_X \cup \{q\}$)

• **Pasul 3** if $Q \neq 0$ then $Q_{CO} = Q_{CO} \cup Q; Q = 0$; trece la pasul 2

• **Pasul 4** $X_A = Q_A \setminus Q_{CO}$

Exemplul 3.2 Utilizarea algoritmului NonBlock

Se considera automatul cu structura din figura 3.8. Se cere determinarea starilor blocante prin aplicarea algoritmului NonBlock.

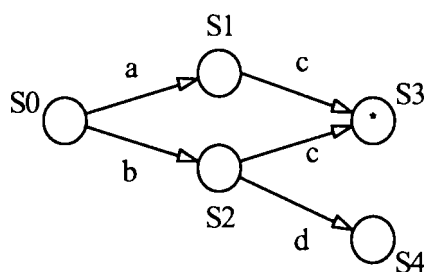


Figura 3.8. Structura automatului considerat la exemplul 3.2

Starea initiala este S0 iar starea S3 este stare marcata.

Pasii corespunzatori aplicarii algoritmului NonBlock sunt:

• **Pasul 1** $Q_{CO} = \{S3\}, Q_X = 0$ si $Q = 0$

• **Pasul 2.1** $Q_A \setminus (Q_{CO} \cup Q_X) = \{S0, S1, S2, S4\}$

Verificare conditie if

$$\left. \begin{array}{l} \delta(S0, a) = S1 \\ \delta(S0, b) = S2 \\ \delta(S1, c) = S3 \\ \delta(S2, c) = S3 \\ \delta(S2, d) = S4 \end{array} \right\} \Rightarrow S1 \text{ si } S2 \text{ indeplinesc conditia if deci: } Q = \{S1, S2\}$$

Verificare conditie else if

$$\left. \begin{array}{l} \delta(S0, a) = S1 \\ \delta(S0, b) = S2 \\ \delta(S1, c) = S3 \\ \delta(S2, c) = S3 \\ \delta(S2, d) = S4 \\ \delta(S4, *) = \text{nedefinit} \end{array} \right\} \Rightarrow S4 \text{ indepliseste conditiile } \textit{else if} \text{ deci: } Q_x = \{S4\}$$

• **Pasul 3.1** $Q_{CO} = Q_{CO} \cup Q = \{S1, S2, S3\}$ si $Q = 0$ si trece la pasul 2.2

• **Pasul 2.2** $Q_A \setminus (Q_{CO} \cup Q_x) = \{S0\}$

Verificare conditie if

$$\left. \begin{array}{l} \delta(S0, a) = S1 \\ \delta(S0, b) = S2 \end{array} \right\} \Rightarrow S0 \text{ indeplineste conditia } \textit{if} \text{ deci: } Q = \{S0\}$$

Verificarea conditiei *else if* nu mai este necesara

• **Pasul 3.2** $Q_{CO} = Q_{CO} \cup Q = \{S0, S1, S2, S3\}$ si $Q = 0$ si trece la pasul 2.3

• **Pasul 2.3** $Q_A \setminus (Q_{CO} \cup Q_x) = 0$ trece la pasul 3.3

• **Pasul 3.3** Trece la pasul 4

• **Pasul 4** $X_A = Q_x = \{S4\}$

Algoritmul propus pentru determinarea situatiilor necontrolabile **Contrl** porneste de la urmatoarele premize:

Q_A = setul starilor in A

M_A = setul starilor marcate

X_A = setul starilor interzise

$\delta_A(q, \sigma)$ = functia de tranzitie, dependenta de starea activa q si evenimentul σ

Σ_{uc} = setul evenimentelor necontrolabile

Se urmareste obtinerea:

Q_x = setul starilor blocante sau previzibil interzise

Algoritmul se bazeaza pe determinarea tuturor tranzitiilor necontrolabile la starile interzise.

Algoritmul 3.4. Determinarea tranzitiilor necontrolabile Contrl[CL01]*

• **Pasul 1** $Q_x = X_A; Q = 0$

• **Pasul 2** $(\forall q \in Q_A \setminus Q_x)$ if $\exists \sigma_{uc} \in \Sigma_{uc} : \delta(q, \sigma_{uc}) \in Q_x$ then Q

• **Pasul 3** if $Q \neq 0$ then $Q_x = Q_x \cup Q; Q = 0$; trece la pasul 2

• **Pasul 4** $X_A = Q_x$

Exemplul 3.3 Utilizarea algoritmului Contrl

Se considera automatul cu structura din figura 3.9. Se cere determinarea starilor necontrolabile prin aplicarea algoritmului *Contrl*.

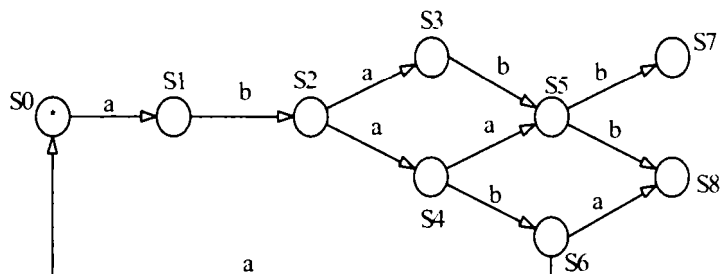


Figura 3.9. Structura automatului considerat la exemplul 3.3

Starea S_0 este considerată stare inițială și marcată, iar starea S_7 este considerată stare necontrolabilă. Evenimentul b este considerat necontrolabil. Pașii corespunzători aplicării algoritmului *Contrl* sunt:

• **Pasul 1** $Q_x = \{S_7\}$ și $Q = 0$

• **Pasul 2.1** $Q_A \setminus Q_x = \{S_0, S_1, S_2, S_3, S_4, S_5, S_6, S_8\}$

Verificare condiție semnal necontrolabil:

$$\left. \begin{array}{l} \delta(S_0, b) = \text{nedefinit} \\ \delta(S_1, b) = S_2 \\ \delta(S_2, b) = \text{nedefinit} \\ \delta(S_3, b) = S_5 \\ \delta(S_4, b) = S_6 \\ \delta(S_5, b) = S_7 \\ \delta(S_6, b) = \text{nedefinit} \\ \delta(S_7, b) = \text{nedefinit} \\ \delta(S_8, b) = \text{nedefinit} \end{array} \right\} \Rightarrow S_5 \text{ indeplinește condiția } \mathbf{if} \text{ deci: } Q = \{S_5\}$$

• **Pasul 3.1** $Q_x = \{S_5, S_7\}$ și $Q = 0$ și trece la pasul 2.2

• **Pasul 2.2** $Q_A \setminus Q_x = \{S_0, S_1, S_2, S_3, S_4, S_6, S_8\}$

Verificare condiție semnal necontrolabil

$$\left. \begin{array}{l} \delta(S_0, b) = \text{nedefinit} \\ \delta(S_1, b) = S_2 \\ \delta(S_2, b) = \text{nedefinit} \\ \delta(S_3, b) = S_5 \\ \delta(S_4, b) = S_6 \\ \delta(S_5, b) = S_7 \\ \delta(S_6, b) = \text{nedefinit} \\ \delta(S_7, b) = \text{nedefinit} \\ \delta(S_8, b) = \text{nedefinit} \end{array} \right\} \Rightarrow S_3 \text{ indeplinește condiția } \mathbf{if} \text{ deci: } Q = \{S_3\}$$

• **Pasul 3.2** $Q_x = \{S_3, S_5, S_7\}$ și $Q = 0$ și trece la pasul 2.3

• **Pasul 2.3** $Q_A \setminus Q_x = \{S_0, S_1, S_2, S_4, S_6, S_8\}$

Verificare condiție semnal necontrolabil

$$\left. \begin{array}{l} \delta(S0, b) = \text{nedefinit} \\ \delta(S1, b) = S2 \\ \delta(S2, b) = \text{nedefinit} \\ \delta(S3, b) = S5 \\ \delta(S4, b) = S6 \\ \delta(S5, b) = S7 \\ \delta(S6, b) = \text{nedefinit} \\ \delta(S7, b) = \text{nedefinit} \\ \delta(S8, b) = \text{nedefinit} \end{array} \right\} \Rightarrow \text{nu este indeplinita conditia if deci: } Q = 0$$

- **Pasul 3.3** $Q = 0$ trece la pasul 4
- **Pasul 4** $X_A = Q_x = \{S3, S5, S7\}$

3.2.3. Studiu de caz. Conducerea supervizata pe baza modelelor de tip automat a unui sistem flexibil de fabricatie pentru o filatura [UM06] [Ung04a][Ung04b][Ung05]

3.2.3.1. Prezentare generală a unui sistem flexibil de fabricatie pentru o filatura (SFFF)

SFFF-ul considerat este constituit din mai multe tipuri de masini conectate intre ele printr-un sistem de transport. Structura de principiu a unui astfel de sistem este prezentata in figura 3.10.

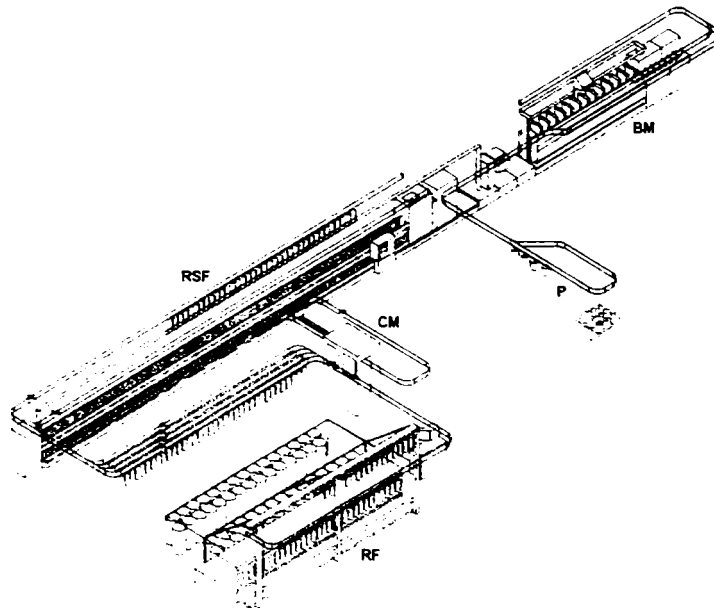


Figura 3.10. Structura de principiu al unui sistem flexibil de fabricatie dintr-o filatura.
 RF – Roving Frame – grup de masini pentru formarea firului necesar filarii finale, RSF – Ring Spinning Frame – grup de masini pentru filarea finala a firului textil, BM – Bobbin Macker - masina pentru asigurarea continuitatii si duritatii firului textil obtinut la RSF, CM – masina de curatat bobine, P – Packing - zona de impachetare

În figura 3.10 se observă elementele componente ale sistemului:RF (Roving Frame) – nivelul la care firul este pregătit pentru subțierea finală (vezi figura 3.11).

Observatie: fotografiile 3.12, 3.13, 3.14, 3.15, 3.16, 3.17 sunt realizate de către autor în fabricile Albarekeh și Oulabitex din Siria.

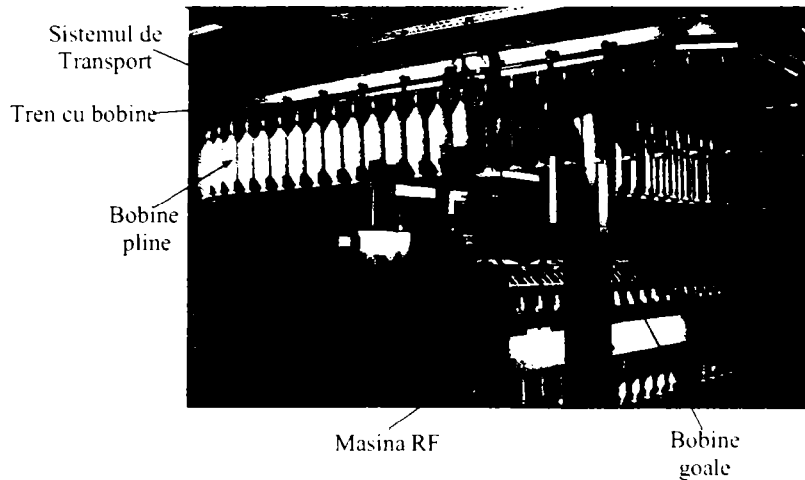


Figura 3.11. Roving Frame (RF)

RSF (Ring Spinning Frame) – nivelul la care firul textil este adus la dimensiunea (grosimea) dorită (vezi figurile 3.12 și 3.13),

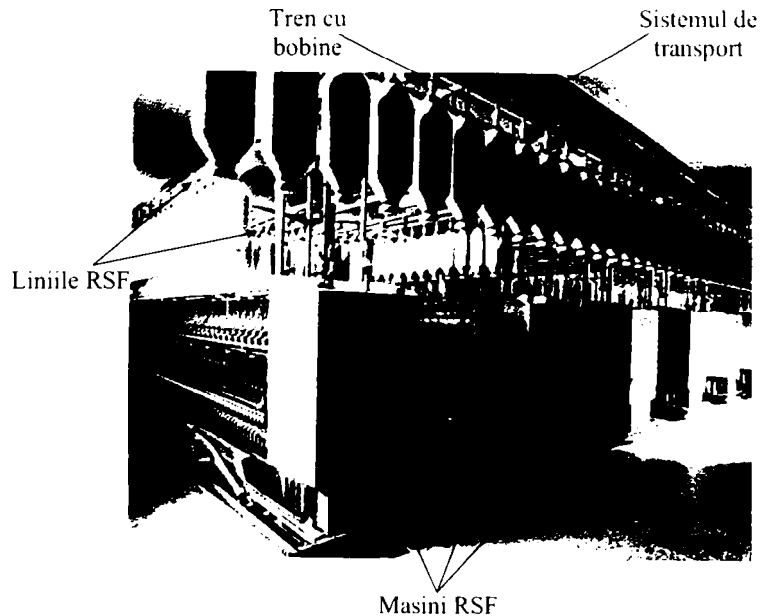


Figura 3.12. Imagine cu Ring Spinning Frame

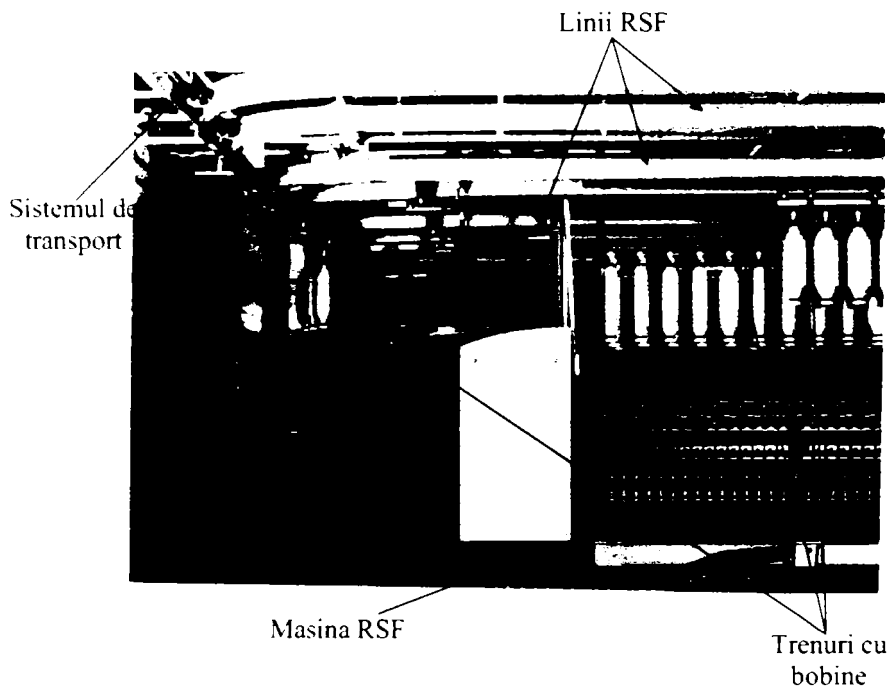


Figura 3.13. Imagine cu Ring Spinning Frame

În CM (Cleaning Machine) bobinele „murdare” provenite de la RSF sunt curățate și pregătite pentru RF. În figura 3.14 se prezintă o imagine a unei CM.

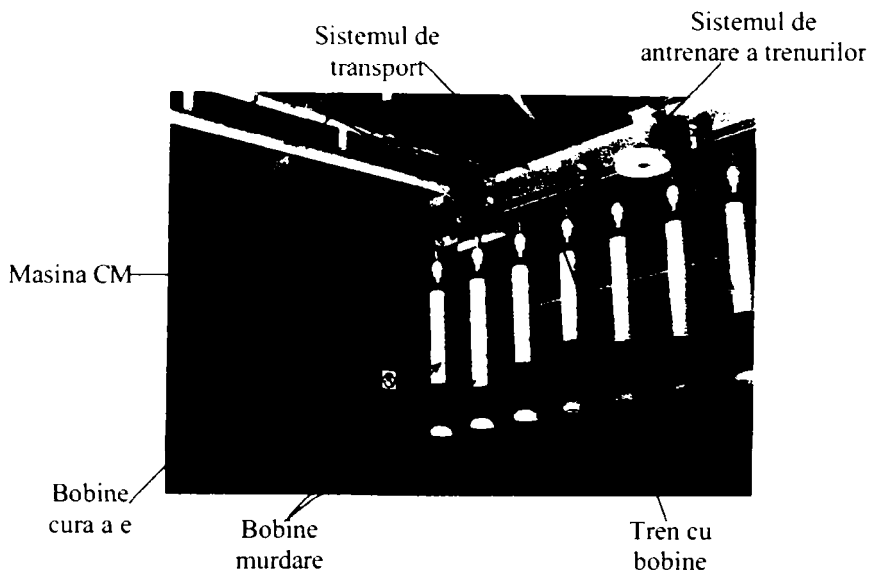
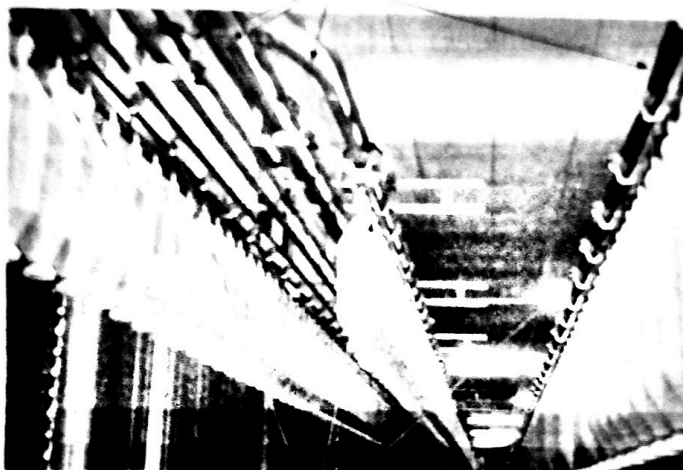


Figura 3.14. Imagine cu Cleaning Machine CM (masina de curatat)

În figura 3.10 mai sunt reprezentate subsistemele BM (Bobbin Macker) prin intermediul cărora se asigură continuitatea și duritatea firului și P (Packing) zona de împachetare și expediere a produsului.

Intre aceste masini (subsisteme) exista un sistem de transport care asigura transferul materialului intre subsisteme. In figurile 3.15 si 3.16 se prezinta doua imagini cu sistemul de transport corespunzator.

Sistemul de transport



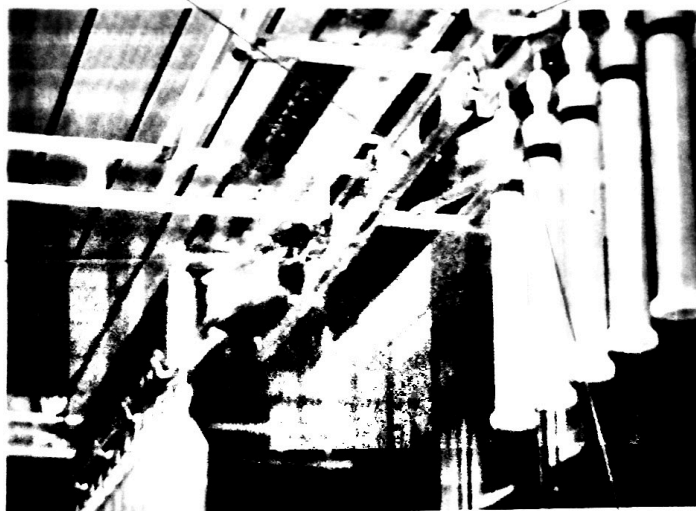
Trenuri cu bobine

Figura 3.15. Imagine cu Sistemul de Transport

Sistemul de transport

Element de antrenare a trenurilor

Macaz



Tren cu bobine pline

Tren cu bobine goale

Figura 3.16. Imagine cu Sistemul de Transport

Elementul transportat este trenul (vezi figurile de mai sus) care contine un numar fix de bobine (140). Lungimea acestuia fiind fixa (24 m).

3.2.3.2. Schema bloc a SFFF-ului. Definierea subsistemelor SFFF-ului [UM06]

În figura 3.17 se prezintă schema bloc a SFFF-ului considerat.

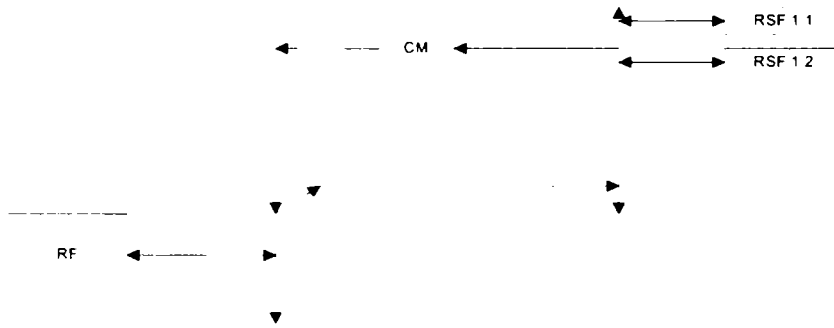


Figura 3.17. Schema bloc a SFFF-ului considerat

Sistemul are în componența sa:

- o mașină RF;
- o mașină CM;
- o mașină RSF;
- un sistem de transport care asigură transferul între subsisteme.

Funcționarea normală se bazează pe producerea de bobine cu fir textil gros în subsistemul RF, transferul acestor bobine către RSF (prin intermediul sistemului de transport), unde prin prelucrare rezultă firul de dimensiune dorită. După prelucrare în RSF rezultă bobine „murdare” care sunt transportate către CM, unde sunt curățate și transferate către RF, ciclul încheindu-se.

Funcționarea fiecărui subsistem (RSF, CM și RF) este independentă, dar conectată direct cu sistemul de transport. În cazul în care sistemul de transport este nefuncțional, întreg SFFF-ul este blocat, nefiind posibilă alimentarea RSF cu material, ceea ce duce la blocarea completă a sistemului.

Problemele care trebuie soluționate pentru SFFF-ul considerat sunt:

1. Asigurarea încărcării unui tren cu bobine pline produse de RF;
2. Transferul trenului încărcat în RF către un RSF destinație;
3. Preluarea trenului de către RSF-ul corespunzător;
4. Transferul trenurilor „murdare” dinspre RSF către CM;
5. Curățarea trenurilor „murdare” de către CM;
6. Transferul trenurilor „curate” către RF-ul corespunzător.

În cadrul acestei aplicații nu interesează modul de funcționare efectivă a mașinilor considerate ci numai modul de interfatare cu sistemul de transport.

Restricțiile care sunt impuse SFFF-ului considerat sunt:

1. Fiecare mașină RSF are două linii de lucru care pot prelucra aceeași calitate a materialului;
2. În sistem pot exista una sau mai multe mașini RSF care lucrează cu aceeași calitate;
3. O mașină RF poate produce la un moment dat o singură calitate;
4. În sistem pot exista una sau mai multe mașini RF care produc aceeași calitate.
5. O mașină CM poate curăța mai multe trenuri cu calități diferite, dar un singur tren la un moment dat.

6. Sistemul de transport poate transporta unul sau mai multe trenuri simultan.

Pentru sistemul considerat, modul de sinteza a supervisorului nu tine cont de calitate.

Pornind de cele prezentate supervisorul care se dorește a fi elaborat trebuie să asigure gestionarea traficului, corespunzător sistemului de transport, pentru evitarea coliziunilor dintre trenuri.

Pentru implementare să utilizeze algoritmul 3.2 (algoritmul Cassandras) de sinteza al supervisorilor.

- Automatul unei linii RSF

În figura 3.18 se prezintă automatul unei linii corespunzătoare unei mașini RSF.

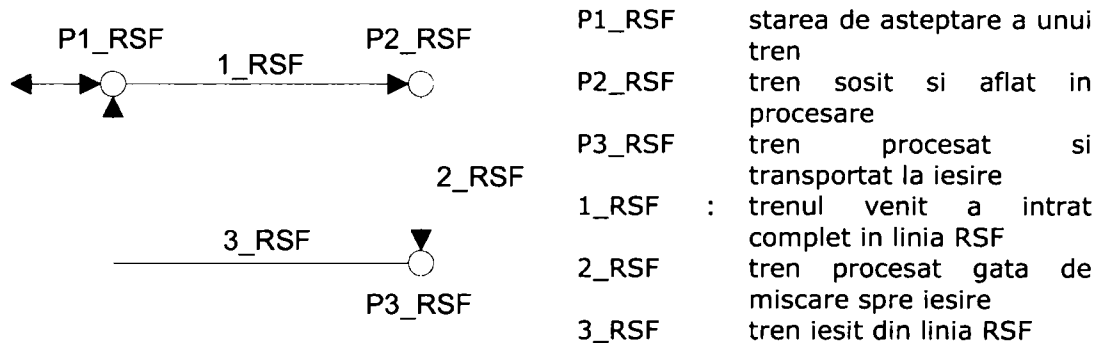


Figura 3.18. Automatul corespunzător funcționării unei linii RSF
Automatul unei linii RSF se definește ca fiind:

$$RSF = (Q_{RSF}, \Sigma_{RSF}, \delta_{RSF}, i_{RSF}, M_{RSF})$$

unde:

1. Q_{RSF} - mulțimea Starilor: $Q_{RSF} = \{P1_RSF, P2_RSF, P3_RSF\}$
2. Σ_{RSF} - mulțimea evenimentelor: $\Sigma_{RSF} = \{1_RSF, 2_RSF, 3_RSF\}$
3. δ_{RSF} - funcția de tranziție:

$$\delta_{RSF}(P1_RSF, 1_RSF) = P2_RSF$$

$$\delta_{RSF}(P2_RSF, 2_RSF) = P3_RSF$$

$$\delta_{RSF}(P3_RSF, 3_RSF) = P1_RSF$$
4. i_{RSF} - starea inițială: $i_{RSF} = P1_RSF$
5. M_{RSF} - mulțimea starilor marcate: $M_{RSF} = \{P1_RSF, P2_RSF, P3_RSF\}$

- Automatul mașinii CM

În figura 3.19 se prezintă automatul corespunzător unei mașini CM.

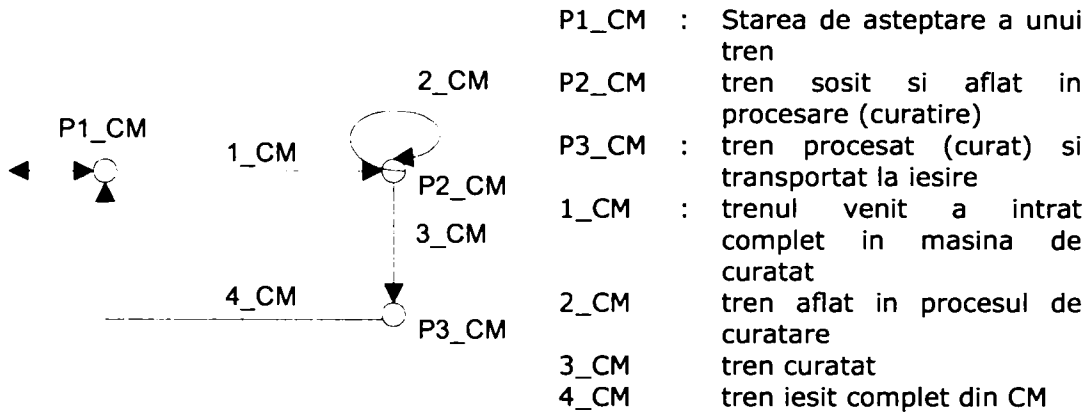


Figura 3.19. Automatul corespunzator functionarii unei masini CM

Automatul masinii CM se defineste ca fiind:

$$CM = (Q_{CM}, \Sigma_{CM}, \delta_{CM}, i_{CM}, M_{CM})$$

unde:

1. Q_{CM} - multimea Starilor: $Q_{CM} = \{P1_CM, P2_CM, P3_CM\}$
2. Σ_{CM} - multimea evenimentelor: $\Sigma_{CM} = \{1_CM, 2_CM, 3_CM, 4_CM\}$
3. δ_{CM} - functia de tranzitie:
 - $\delta_{CM}(P1_CM, 1_CM) = P2_CM$
 - $\delta_{CM}(P2_CM, 2_CM) = P2_CM$
 - $\delta_{CM}(P2_CM, 3_CM) = P3_CM$
 - $\delta_{CM}(P3_CM, 4_CM) = P1_CM$
4. i_{CM} - starea initiala: $i_{CM} = P1_CM$
5. M_{CM} - multimea starilor marcate: $M_{CM} = \{P1_CM, P2_CM, P3_CM\}$

• Automatul masinii RF

In figura 3.20 se prezinta automatul corespunzator unei masini RF.

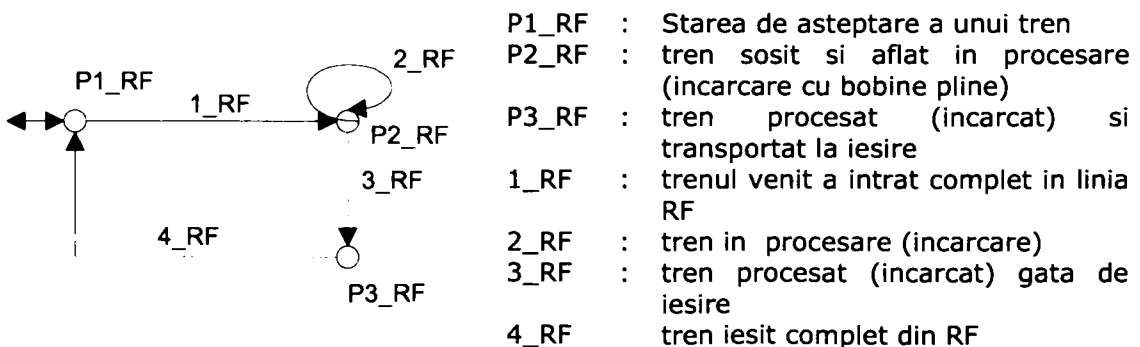


Figura 3.20. Automatul corespunzator functionarii unei masini RF

Automatul masinii RF este:

$$RF = (Q_{RF}, \Sigma_{RF}, \delta_{RF}, i_{RF}, M_{RF})$$

unde:

1. Q_{RF} - multimea Starilor: $Q_{RF} = \{P1_RF, P2_RF, P3_RF\}$

2. Σ_{RF} - multimea evenimentelor: $\Sigma_{RF} = \{1_RF, 2_RF, 3_RF, 4_RF\}$

3. δ_{RF} - functia de tranzitie

$$\delta_{RF}(P1_RF, 1_RF) = P2_RF$$

$$\delta_{RF}(P2_RF, 2_RF) = P2_RF$$

$$\delta_{RF}(P2_RF, 3_RF) = P3_RF$$

$$\delta_{RF}(P3_RF, 4_RF) = P1_RF$$

4. i_{RF} - starea initiala: $i_{RF} = P1_RF$

5. M_{RF} - multimea starilor marcate: $M_{RF} = \{P1_RF, P2_RF, P3_RF\}$

• Automatul sistemului de transport TR

In figura 3.21 se prezinta automatul corespunzator sistemului de transport .

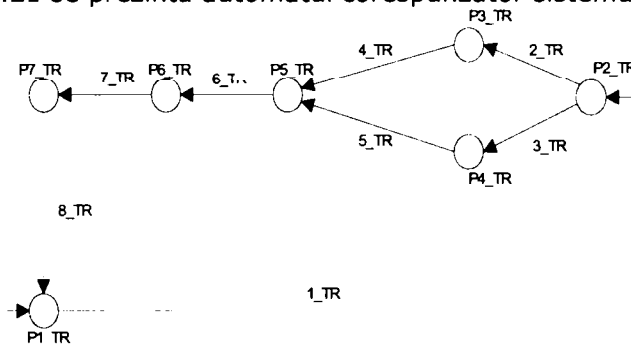


Figura 3.21. Automatul corespunzator functionarii sistemului de transport

Unde:

P1_TR	stare de asteptare a unui tren din RF (trenul este in RF)
P2_TR	tren in transport catre RSF1 sau RSF2
P3_TR	starea de asteptare a unui tren din prima linie RSF (tren in RSF1)
P4_TR	starea de asteptare a unui tren din a doua linie RSF (tren in RSF1)
P5_TR	tren in transport catre CM. Tren venit din RSF1 sau RSF2
P6_TR	starea de asteptare a unui tren din CM (trenul este in CM)
P7_TR	tren in transport din CM catre RF
1_TR	operatia de incrcare in RF gata
2_TR	tren ajuns in linia RSF1
3_TR	tren ajuns in linia RSF2
4_TR	trenul plecat din RSF1 a ajuns in CM
5_TR	trenul plecat din RSF2 a ajuns in CM

- 6_TR : tren ajuns in CM
 7_TR : operatia de curatare in CM gata
 8_TR : tren ajuns in RF

Automatul sistemului de transport este:

$$TR = (Q_{TR}, \Sigma_{TR}, \delta_{TR}, i_{TR}, M_{TR})$$

unde:

1. Q_{TR} - multimea Starilor:

$$Q_{TR} = \{P1_TR, P2_TR, P3_TR, P3_TR, P5_TR, P6_TR, P7_TR\}$$

2. Σ_{TR} - multimea evenimentelor:

$$\Sigma_{TR} = \{1_TR, 2_TR, 3_TR, 4_TR, 5_TR, 6_TR, 7_TR, 8_TR\}$$

3. δ_{TR} - functia de tranzitie

$$\delta_{RF}(P1_TR, 1_TR) = P2_TR$$

$$\delta_{RF}(P2_TR, 2_TR) = P3_TR$$

$$\delta_{RF}(P2_TR, 3_TR) = P4_TR$$

$$\delta_{RF}(P3_TR, 4_TR) = P5_TR$$

$$\delta_{RF}(P4_TR, 5_TR) = P5_TR$$

$$\delta_{RF}(P5_TR, 6_TR) = P6_TR$$

$$\delta_{RF}(P6_TR, 7_TR) = P7_TR$$

$$\delta_{RF}(P7_TR, 8_TR) = P1_TR$$

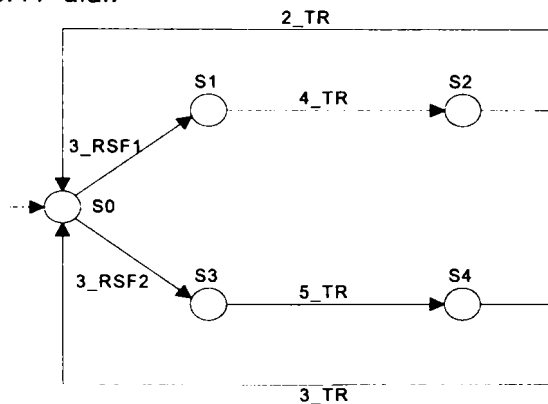
4. i_{TR} - starea initiala: $i_{TR} = P1_TR$

5. M_{TR} - multimea starilor marcate:

$$M_{TR} = \{P1_TR, P2_TR, P3_TR, P4_TR, P5_TR, P6_TR, P7_TR\}$$

• Specificatiile SFFF

In figura 3.22 se prezinta automatul care sintetizeaza specificatiile impuse SFFF-ului.



- S0 : stare de asteptare a unui tren din RSF1 sau RSF2
 S1 : tren in transport din RSF1. RSF2 nu poate scoate tren
 S2 : starea de asteptare a unui tren din RF pentru RSF1
 S3 : tren in transport din RSF2. RSF1 nu poate scoate tren
 S4 : starea de asteptare a unui tren din RF pentru RSF1

Figura 3.22. Automatul corespunzator functionarii sistemului de transport

Automatul sistemului de transport este:

$$S = (Q_S, \Sigma_S, \delta_S, i_S, M_S)$$

unde:

1. Q_S - multimea Starilor: $Q_S = \{S0, S1, S2, S3, S4\}$

2. Σ_S - multimea evenimentelor:
 $\Sigma_S = \{3_RSF1, 4_TR, 2_TR, 3_RSF2, 5_TR, 3_TR\}$

3. δ_S - functia de tranzitie

$$\delta_S(S0, 3_RSF1) = S1$$

$$\delta_S(S1, 4_TR) = S2$$

$$\delta_S(S2, 2_TR) = S0$$

$$\delta_S(S0, 3_RSF2) = S3$$

$$\delta_S(S3, 5_TR) = S4$$

$$\delta_S(S3, 3_TR) = S0$$

4. i_S - starea initiala: $i_S = S0$

5. M_S - multimea starilor marcate: $M_S = \{S0, S1, S2, S3, S4\}$

3.2.3.3. Sinteza Supervizorului

Sinteza supervizorului dorit in cazul SFFF-ului considerat se bazeaza la primul pas pe compunerea paralela a tuturor automatelor definite mai sus. Astfel:

$$G_{SFFF} = RSF1 \parallel RSF2 \parallel CM \parallel RF \parallel TR \parallel S$$

dupa care supervizorul se obtine combinand G_{SFFF} cu specificatiile impuse sistemului si utilizand algoritmul 1 de verificare a supervizorului (vezi capitolul 4) se valideaza solutia obtinuta.

Pentru compunerea paralela se utilizeaza proprietatea de asociativitate a operatiei (vezi paragraful 2.1.6.2.2). Astfel sinteza automatelor se face in mai multi pasi.

Pasul 1 Compunerea paralela $RSF1 \parallel RSF2$

In cazul compunerii paralele intre $RSF1$ si $RSF2$ rezulta automatul:

$$RSF1 \parallel RSF2 = RSF12 = \langle Q_{RSF12}, \Sigma_{RSF12}, \delta_{RSF12}, i_{RSF12}, M_{RSF12} \rangle$$

Pasul 2 Compunerea paralela $RSF1 \parallel RSF2 \parallel CM$

Compunerea paralela $RSF1 \parallel RSF2 \parallel CM$ se reduce la compunerea automatelor $RSF12$ cu CM .

$$RSF12 \parallel CM = RSF_CM = \langle Q_{RSF_CM}, \Sigma_{RSF_CM}, \delta_{RSF_CM}, i_{RSF_CM}, M_{RSF_CM} \rangle$$

Pasul 3 Compunerea paralela $RSF1 \parallel RSF2 \parallel CM \parallel RF$

Compunerea paralela $RSF1 \parallel RSF2 \parallel CM \parallel RF$ se reduce la compunerea automatelor RSF_CM cu RF .

$$RSF_CM \parallel RF = RSF_CM_RF = \langle Q_{RSF_CM_RF}, \Sigma_{RSF_CM_RF}, \delta_{RSF_CM_RF}, i_{RSF_CM_RF}, M_{RSF_CM_RF} \rangle$$

Pasul 4 *Compunerea paralela* $RSF1 \parallel RSF2 \parallel CM \parallel RF \parallel TR$

Compunerea paralela $RSF1 \parallel RSF2 \parallel CM \parallel RF \parallel TR$ se reduce la compunerea automatelor RSF_CM_RF cu TR .

$$RSF_CM_RF \parallel TR = RSF_CM_RF_TR = \\ (Q_{RSF_CM_RF_TR}, \Sigma_{RSF_CM_RF_TR}, \delta_{RSF_CM_RF_TR}, \\ i_{RSF_CM_RF_TR}, M_{RSF_CM_RF_TR})$$

Pasul 5 *Compunerea paralela* $RSF1 \parallel RSF2 \parallel CM \parallel RF \parallel TR \parallel S$

Compunerea paralela $RSF1 \parallel RSF2 \parallel CM \parallel RF \parallel TR \parallel S$ se reduce la compunerea automatelor $RSF_CM_RF_TR$ cu S .

In cazul compunerii paralele intre $RSF_CM_RF_TR$ si S rezulta automatul:

$$RSF_CM_RF_TR \parallel S = G_{SFFF} = \\ (Q_{RSF_CM_RF_TR \parallel S}, \Sigma_{RSF_CM_RF_TR \parallel S}, \delta_{RSF_CM_RF_TR \parallel S}, \\ i_{RSF_CM_RF_TR \parallel S}, M_{RSF_CM_RF_TR \parallel S})$$

unde:

1. $Q_{RSF_CM_RF_TR \parallel S}$ - multimea Starilor

$$Q_{RSF_CM_RF_TR \parallel S} = \cup_{k=1,637} \{P_{kRSF_CM_RF \parallel TR.S0}, P_{kRSF_CM_RF \parallel TR.S1}, \\ P_{kRSF_CM_RF \parallel TR.S2}, P_{kRSF_CM_RF \parallel TR.S3}, \\ P_{kRSF_CM_RF \parallel TR.S4}\}$$

2. $\Sigma_{RSF_CM_RF_TR \parallel S}$ - multimea evenimentelor

$$\Sigma_{RSF_CM_RF_TR \parallel S} = \{1_RSF1, 2_RSF1, 3_RSF1, 1_RSF2, 2_RSF, 3_RSF3, \\ 1_CM, 2_CM, 3_CM, 4_CM, 1_RF, 2_RF, 3_RF, 4_RF, \\ 1_TR, 2_TR, 3_TR, 4_TR, 5_TR, 6_TR, 7_TR\}$$

3. $\delta_{RSF_CM_RF_TR \parallel S}$ - functia de tranzitie

Se considera: $s \in \Sigma_{RSF_CM_RF_TR \parallel S}$ pentru care se defineste functia de tranzitie corespunzatoare starilor din $RSF_CM_RF_TR$ astfel:

$\forall s \in \Sigma_{RSF_CM_RF_TR}$ si $i = 0,4$ avem :

$$\delta_{RSF_CM_RF_TR \parallel S}(P_k - RSF_CM_RF_TR.Si_TR, s) = \\ = \delta_{RSF_CM_RF_TR}(P_k - RSF_CM_RF, s). \delta_S(Si, s)$$

4. $i_{RSF_CM_RF_TR \parallel S}$ - starea initiala:

$$i_{RSF_CM_RF_TR \parallel S} = P1_RSF_CM_RF_TR.S0$$

5. $M_{RSF_CM_RF_TR \parallel S}$ - multimea starilor marcate

$$M_{RSF_CM_RF_TR \parallel S} = \cup_{k=1,637} \{P_{kRSF_CM_RF \parallel TR.S0}, P_{kRSF_CM_RF \parallel TR.S1}, \\ P_{kRSF_CM_RF \parallel TR.S2}, P_{kRSF_CM_RF \parallel TR.S3}, \\ P_{kRSF_CM_RF \parallel TR.S4}\}$$

Pentru a obtine supervisorul dorit trebuie eliminate stările blocante sau necontrolabile din sistem. Deoarece in acest caz nu exista semnale necontrolabile in sistem nu exista posibilitatea de a avea stari necontrolabile.

In privinta blocajului insa, acesta trebuie verificat cu ajutorul algoritmului NonBlock, rezultand astfel stările care trebuie eliminate din cadrul lui S.

Dupa verificare si eliminarea stărilor si tranzitiilor corespunzătoare, sistemul S va reprezenta supervisorul cautat.

Datorita faptului ca toate stările sunt marcate, limbajele generate si marcate ale supervisorului sunt identice, fapt care asigura nonblocajul sistemului precum si controlabilitatea acestuia.

3.3. Conducerea supervizata a SED pe baza modelelor de tip retele Petri

Datorita faptului ca implementarea supervizoarelor in cazul utilizării modelelor de tip automat este, dupa cum s-a aratat in paragraful 3.2, extrem de laborioasa, modelul final avand dimensiuni foarte mari, ideea de a introduce conducerea supervizata si asupra modelelor de tip retea Petri a fost abordata in numeroase lucrari [Mood99][IMA99] [IMA01] [Giua92] [PC95] [CL01]. Prin utilizarea retelelor Petri, pentru modelul final se poate ajunge dimensiuni acceptabile datorita topologiei utilizate prin extinderea marcajelor si nu prin extinderea rețelei (cazul automatelor). Pornind de la aceasta observatie se poate concluziona ca si pentru supervisorul obtinut pentru un sistem dat avem dimensiuni acceptabile.

Datorita generalitatii teoremei supervisorului al lui Wohnam [RW88], aceasta poate fi aplicata cu succes si in cazul rețelelor Petri, cu conditia ca pentru acestea sa poata fi definite limbajele generate si marcate corespunzătoare [WR87][CL01].

Pornind de la aceasta observatie, tot ceea ce s-a prezentat in cazul modelelor de tip automat (toate referirile facute pentru limbaje) sunt valabile si in cazul modelelor de tip retele Petri.

In continuare abordarea conducerii supervizate in cazul modelelor de tip retele Petri este prezentata prin trei metode distincte:

- 1) prin utilizarea limbajelor
- 2) prin utilizarea modelelor acoperite de invarianti de tip P
- 3) prin utilizarea compunerii paralele a sistemelor.

3.3.1. Conducerea supervizata utilizand modele de tip retele Petri bazate pe invarianti de tip P [IA02a][IA02c] [MA97][Mood99]

Metoda de implementare a unui supervisor corespunzator unei rețele Petri a fost prezntata prima data de Moody. si dezvoltata ulterior in numeroase lucrari [Mood99][IMA99] [IMA01] [Giua92] [PC95] [CL01][IA02a][IA02b][IA02c][IA02d] [IMA02] .

In cadrul metodei se urmareste determinarea structurii unei rețele Petri cu reactie, bazata pe utilizarea invariantilor de tip P. Acest procedeu, pornind de la o serie de specificatii impuse functionarii sistemului, va determina numarul de pozitii suplimentare, cu marcajul initial corespunzator, si modul de conectare al acestora la rețeaua considerata in initial. Metoda a fost dezvoltata pentru rețele Petri netemporizate, dar ea nu este afectata de introducerea timpului. Supervisorul

rezultat va tine cont de specificatiile impuse, care pot fi descrise prin introducerea stariilor nepermise, a excluderii mutuale etc.

Un sistem modelat prin intermediul rețelei Petri netemporizate $PN = (P, T, F, W, X_m)$, contine n pozitii si m tranzitii si este caracterizata prin intermediul matricii de incidenta A_p . Reteaua Petri de tip controler (supervizor) este descrisa prin intermediul matricii de incidenta A_c , care are acelasi numar de linii (in fapt sunt aceleasi tranzitii) ca si matricea A si un numar diferit de coloane (pozitii). Reteaua Petri supervizata (sistem plus controler), va fi descrisa prin intermediul matricii de incidenta A . Obiectivul vizat este de a forta sistemul sa satisfaca constrangeri de forma:

$$Lm_p^T \leq b \quad (3.20)$$

unde m_p este marcajul sistemului, L este o matrice de tip $n_c \times n$ cu elemente de tip intreg, b este un vector $n_c \times 1$, n_c numarul constrangerilor impuse sistemului.

Inegalitatea 3.20 generata de introducerea constrangerilor este transformata in egalitate prin introducerea unui controler de tip retea Petri extern, care contine pozitii reprezentate prin asa numitele *variabile slabe*. Astfel:

$$L \cdot m_p^T + m_c^T = b \quad (3.21)$$

unde m_c este un vector cu n_c linii si o coloana si reprezinta marcajul starii controlabile.

Matricea de incidenta A_c contine conexiunile (arcurile) dintre pozitii introduse de controler si tranzitiile din modelul sistemului. Matricea de incidenta a sistemului in bucla inchisa este:

$$A = [A_p \ A_c] \quad (3.22)$$

iar vectorul corespunzator marcajului este:

$$m = [m_p \ m_c]; \quad m_0 = [m_{p_0} \ m_{c_0}]. \quad (3.23)$$

Tinand cont de modul de definire al invariantilor de tip P, sistemul nou definit trebuie sa indeplineasca conditia:

$$X^T A = [L \ I] [A_p \ A_c]^T = 0 \quad (3.24)$$

unde X este o matrice specifica al n_c -ulea invariant.

In aceste conditii:

$$LA_p^T + A_c^T = 0 \quad (3.25)$$

I fiind matricea identitate de tip $n_c \times n_c$ coeficientii variabilelor slabe introduse fiind 1.

Rezulta deci:

$$A_c^T = -LA_p^T \quad (3.26)$$

si in final:

$$A_c = -A_p L^T \quad (3.27)$$

Teorema 3.4. Sinteza controlerului

Daca:

$$b - Lm_{p_0}^T \geq 0 \quad (3.28)$$

atunci controlerul de tip retea Petri, caracterizat prin matricea de incidenta A_c cu marcajul initial m_{c_0} , este

$$A_C = -A_P L^T$$

$$m_{C_0} = b^T - m_{p_0} L^T \tag{3.29}$$

Exemplul 3.4 Sinteza unui supervisor utilizand metoda Moody

Fie un sistem de transport caracterizat prin rețeaua Petri din figura 3.23.

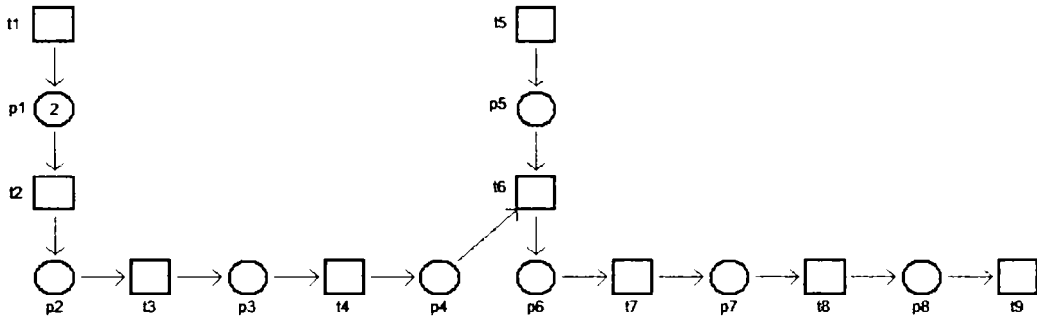


Figura 3.23. Structura rețelei Petri corespunzătoare modelării sistemului de transport considerat în exemplul 3.4

Pozitiile P_i corespund nodurilor din sistem, nodurile incluzand și jam-urile, motiv pentru care capacitățile sunt diferite de unu.

Restricțiile comportamentale ale sistemului sunt date prin următoarele specificații:

$$m_2 + m_3 \leq 3$$

$$m_5 + m_6 + m_7 + m_8 \leq 3$$

$$m_5 + m_6 \leq 2.$$

adică: în nodurile 2 și 3 nu pot fi cumulate mai mult de trei carucioare, în nodurile 5, 6, 7 și 8 pot fi maxim 3, iar în 5 și 6 pot fi simultan două carucioare.

Aplicand algoritmul prezentat rezulta:

$$A_C = \begin{bmatrix} 1 & 0 & 0 & 0 & 0 & 0 & 0 & 0 & 0 \\ -1 & 1 & 0 & 0 & 0 & 0 & 0 & 0 & 0 \\ 0 & -1 & 1 & 0 & 0 & 0 & 0 & 0 & 0 \\ 0 & 0 & -1 & 1 & 0 & 0 & 0 & 0 & 0 \\ 0 & 0 & 0 & 0 & 1 & 0 & 0 & 0 & 0 \\ 0 & 0 & 0 & -1 & -1 & 1 & 0 & 0 & 0 \\ 0 & 0 & 0 & 0 & 0 & -1 & 1 & 1 & 0 \\ 0 & 0 & 0 & 0 & 0 & 0 & -1 & 1 & 1 \\ 0 & 0 & 0 & 0 & 0 & 0 & 0 & -1 & 1 \end{bmatrix} \cdot \begin{bmatrix} 0 & 0 & 0 \\ 1 & 0 & 0 \\ 1 & 0 & 0 \\ 0 & 0 & 0 \\ 0 & 1 & 1 \\ 0 & 1 & 1 \\ 0 & 1 & 0 \\ 0 & 1 & 0 \end{bmatrix} = \begin{bmatrix} 0 & 0 & 0 \\ -1 & 0 & 0 \\ 0 & 0 & 0 \\ 1 & 0 & 0 \\ 0 & -1 & -1 \\ 0 & 0 & 0 \\ 0 & 0 & 1 \\ 0 & 0 & 0 \\ 0 & 1 & 0 \end{bmatrix}$$

$$m_{C_0} = [3 \ 3 \ 2] - [2 \ 0 \ 0 \ 0 \ 0 \ 0 \ 0 \ 0 \ 0 \ 0] \cdot \begin{bmatrix} 0 & 0 & 0 \\ 1 & 0 & 0 \\ 1 & 0 & 0 \\ 0 & 0 & 0 \\ 0 & 1 & 1 \\ 0 & 1 & 1 \\ 0 & 1 & 0 \\ 0 & 1 & 0 \end{bmatrix} = [3 \ 3 \ 2]$$

Pentru matricea de incidenta si marcajul initial se ajunge la.

$$A = \begin{bmatrix} 1 & 0 & 0 & 0 & 0 & 0 & 0 & 0 & 0 & 0 & 0 \\ -1 & 1 & 0 & 0 & 0 & 0 & 0 & 0 & -1 & 0 & 0 \\ 0 & -1 & 1 & 0 & 0 & 0 & 0 & 0 & 0 & 0 & 0 \\ 0 & 0 & -1 & 1 & 0 & 0 & 0 & 0 & 1 & 0 & 0 \\ 0 & 0 & 0 & 0 & 1 & 0 & 0 & 0 & 0 & -1 & -1 \\ 0 & 0 & 0 & -1 & -1 & 1 & 0 & 0 & 0 & 0 & 0 \\ 0 & 0 & 0 & 0 & 0 & -1 & 1 & 0 & 0 & 0 & 1 \\ 0 & 0 & 0 & 0 & 0 & 0 & -1 & 1 & 0 & 0 & 0 \\ 0 & 0 & 0 & 0 & 0 & 0 & 0 & -1 & 0 & 1 & 0 \end{bmatrix}$$

$$m = [2 \ 0 \ 0 \ 0 \ 0 \ 0 \ 0 \ 0 \ 0 \ 3 \ 3 \ 2]$$

Structura finala a retelei Petri corespunzatoare sistemului in bucla inchisa este prezentata in figura 3.24.

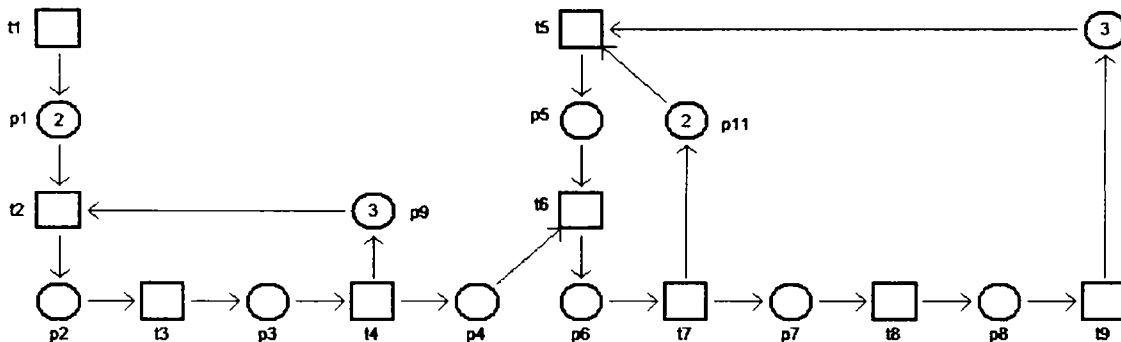


Figura 3.24. Structura retelei Petri corespunzatoare sistemului de transport cu reactie exemplul 3.4

In [Mood99][MA97] este tratat cazul in care se doreste construirea unui supervizor in situatia in care exista tranzitii necontrolabile si neobservabile.

Definitia 3.5 Tranzitie necontrolabila

O tranzitie corespunzatoare unei rețele Petri $PN = (P, T, F, W, X_m)$, se spune ca este necontrolabila daca executia acesteia nu poate fi inhibata printr-o actiune externa.

Libertatea unei tranzitii necontrolabile de a fi executata este limitata numai de structura si starile rețelei. Pentru ca un supervizor de tip rețea Petri sa poata inhiba o tranzitie, aceasta trebuie sa contina un arc de la pozitia de tip controler catre tranzitia vizata. Tranzitia va fi dezactivata numai in cazul in care numarul de jetoane din pozitia controler este mai mic decat capacitatea arcului tranzitiei (conditia de executie a unei tranzitii este nesatisfacuta in acest caz).

Pentru a putea efectua sinteza unui supervizor in situatia in care exista tranzitii necontrolabile, se defineste o matrice de incidenta A_{uc} , extrasa din matricea de incidenta A_p , compusa din liniile corespunzatoare tranzitiilor necontrolabile din sistem. A_{uc} este de tip $n \times n_{uc}$, unde n_{uc} este numarul de tranzitii necontrolabile din sistem.

Definitia 3.6 Tranzitie neobservabila

O tranzitie corespunzatoare unei rețele Petri $PN = (P, T, F, W, X_m)$ se spune ca este neobservabila daca executia acesteia nu poate fi detectata sau masurata.

O tranzitie neobservabila neputand fi detectata, starea controlerului nu poate fi modificata de executia acestei tranzitii. Pentru un supervizor de tip rețea Petri, in cazul unei tranzitii neobservabile, ambele arcuri de intrare, respectiv de iesire, sunt folosite pentru executia tranzitiei.

Pentru a putea efectua sinteza unui supervizor in situatia in care exista tranzitii neobservabile, se defineste o matrice de incidenta A_{uo} , extrasa din matricea de incidenta A_p , compusa din liniile corespunzatoare tranzitiilor neobservabile din sistem. A_{uo} este de tip $n \times n_{uo}$, unde n_{uo} este numarul de tranzitii neobservabile din sistem.

In mod similar cu metodologia descrisa anterior (cazul fara constrangeri), pentru sinteza unui supervizor in cazul existentei de tranzitii necontrolabile se considera ca setul de constrangeri este forat sa satisfaca conditia:

$$A_{uc}L^T \leq 0 \quad (3.30)$$

In cazul tranzitiilor neobservabile, setul de constrangeri trebuie sa indeplineasca conditia:

$$A_{uo}L^T = 0 \quad (3.31)$$

Aceste doua conditii indica faptul ca este posibil sa fie observata o tranzitie care sa nu poata fi inhibata, fiind interzisa o inhibare directa a unei tranzitii pe care nu o putem observa.

Teorema 3.5 Structura transformarii constrangerilor

Fie matricile R_1 , cu elemente de tip intregi si dimensiune $n_c \times n$, care satisface

$$\text{conditia: } R_1 \cdot m_p^T \geq 0, \quad \forall m_p, \quad (3.32)$$

si R_2 de tip diagonala, cu elemente intregi pozitive, si dimensiune $n_c \times n_c$.

Daca $L \cdot m_p^T \leq b'$, cu

$$\begin{aligned} L' &= R_1 + R_2L \\ b' &= R_2(b + 1) - 1 \end{aligned} \quad (3.33)$$

unde 1 este un vector nc dimensional cu toate elementele egale cu 1 , atunci:

$$L \cdot m_p^T \leq b \quad (3.34)$$

Teorema 3.6 Transformarea constrangerilor si sinteza supervizorului

Fie o retea Petri $PN = (P, T, F, W, X_m)$, cu matricea de incidenta A_p . Fie setul tranzitiilor necotrolabile descrise prin intermediul matricii A_{uc} si setul tranzitiilor neobservabile descrise prin intermediul matricii A_{uo} . Retelei Petri considerate i se impune setul liniar de constrangeri $L \cdot m_p^T \leq b$. Fie R_1 si R_2 doua matrici de forma celor definite in teorema 3.5 care indeplinesc conditia $R_1 + R_2L \neq 0$ si fie:

$$\begin{bmatrix} R_1 & R_2 \end{bmatrix} \begin{bmatrix} A_{uc}^T & A_{uo}^T & -A_{uo}^T & m_{p0}^T \\ LA_{uc}^T & LA_{uo}^T & -LA_{uo}^T & Lm_{p0}^T - b - 1 \end{bmatrix} \leq [0 \ 0 \ 0 \ -1] \quad (3.34)$$

atunci supervizorul

$$\begin{aligned} A_c^T &= -(R_1 + R_2L)A_p^T = -L'A_p^T \\ m_{c0}^T &= R_2(b + 1) - 1 - (R_1 + R_2L)m_{p0}^T = b' - L'm_{p0}^T \end{aligned} \quad (3.35)$$

exista si determina ca toate subsecventele marcate a buclei inchise sa satisfaca constrangerea de forma $L \cdot m_p^T \leq b$ fara incercarea de inhibare a tranzitiilor necontrolabile si fara detectarea tranzitiilor neobservabile.

3.3.2. Conducerea supervizata utilizand modele de tip retele Petri bazate pe compunerea paralela a subsistemelor

Principiul de baza al metodei, porneste de la definirea tuturor subsistemelor care compun intreg ansamblul si modelarea acestora astfel incat sa rezulte modele de tip retele Petri care sa satisfaca toate cerintele din punct de vedere structural si comportamental. Dupa definirea specificatiilor de control, pe baza modelelor de tip Retea Petri, prin compunere paralela a acestora va rezulta un sistem PN_Comp , care insa nu reprezinta supervizorul dorit datorita faptului ca acesta poate contine pozitii blocante, respectiv tranzitii necontrolabile. Dupa obtinerea sistemului PN_Comp , se analizeaza existenta blocajelor sau a tranzitiilor necontrolabile, trecandu-se la eliminarea acestor situatii.

Pasii care trebuiesc urmati in cadrul acestei metode sunt prezentati in cadrul algoritmului 3.5.

Algoritmul 3.5. Sinteza supervizoarelor de tip retea Petri prin compunerea paralela*

- **Pasul 1** Se definesc toate modelele de tip retele Petri corespunzatoare subsistemelor precum si specificatiile de control
- **Pasul 2** Toate submodelele sun analizate separat, astfel incat ele sa fie viabile din punct de vedere structural si comportamental
- **Pasul 3** Se compun paralel toate subsistemele definite impreuna cu specificatiile

- de control
- **Pasul 4** Se determina setul starilor accesibile, respectiv neaccesibile (generatoare de blocaje)
 - **Pasul 5** Se analizeaza reseaua din punct de vedere al necontrolabilitatii, incercandu-se ca prin rafinarea rețelei sa se elimine situatiile necontrolabile
 - **Pasul 6** Rețeaua finala obtinuta dupa eliminarea situatiilor blocante si necontrolabile reprezinta supervizorul cautat

In [Giua92] este prezentat un algoritm pentru analiza unui model de tip Retea Petri si eliminarea situatiilor blocante sau necontrolabile.

Algoritmul 3.6 Eliminarea blocajelor si a situatiilor necontrolabile dintr-o rețea Petri prin metoda Giua

Se considera o rețea Petri etichetata $PN = (P, T, F, W, \Sigma, I, X_0, X_m)$, si fie t o tranzitie care trebuie verificata din punct de vedere al generarii de situatii blocante, si „a” eticheta acestei tranzitii.

1. Se determina setul marcajelor admisibile la care se ajunge prin executia tranzitiei t , si se divide acest set in doua seturi disjuncte $\overline{M_e}$ (setul marcajelor care trebuie atinse la executia tranzitiei t) si $\overline{M_d}$ (setul marcajelor pentru care tranzitia t trebuie sa fie invalidata, executia ei, ducand la aparitia unei situatii blocante). Daca $\overline{M_e}$ este egal cu multimea vida atunci tranzitia t poate fi stearsa direct si aplicarea algoritmului s-a incheiat, daca nu continua cu pasul 2;
2. Se determina o constructie de forma:

$$U(M) = [(M(p_1^1) \geq n_1^1) \wedge \dots \wedge (M(p_{k_1}^1) \geq n_{k_1}^1)] \vee \dots \vee [(M(p_1^l) \geq n_1^l) \wedge \dots \wedge (M(p_{k_l}^l) \geq n_{k_l}^l)]$$

astfel incat $U(M) = TRUE$ daca $M \in \overline{M_e}$ si $U(M) = FALSE$ daca $M \in \overline{M_d}$

3. Se inlocuieste tranzitia t cu l tranzitii t^1, \dots, t^l etichetate toate cu „a”. Arcele de intrare/iesire a tranzitiei t^j , $j=1, \dots, l$ vor fi aceleasi ca ale tranzitiei t , plus un numar de n_i^j arce de intrare/iesire de la pozitia p_i^j , $i=1, \dots, k_j$

Exemplul 3.5 Implementarea unui supervizor prin metoda compunerii paralele

Fie un sistem caracterizat prin doua subsisteme modelate prin intermediul rețelelor Petri $PN1$ (figura 3.25.a), respectiv $PN2$ (figura 3.25.b) si fie specificatiile de control date prin intermediul rețelei Petri PN_Spec (vezi figura 3.25.c). Se doreste construirea unui supervizor corespunzator sistemului propus.

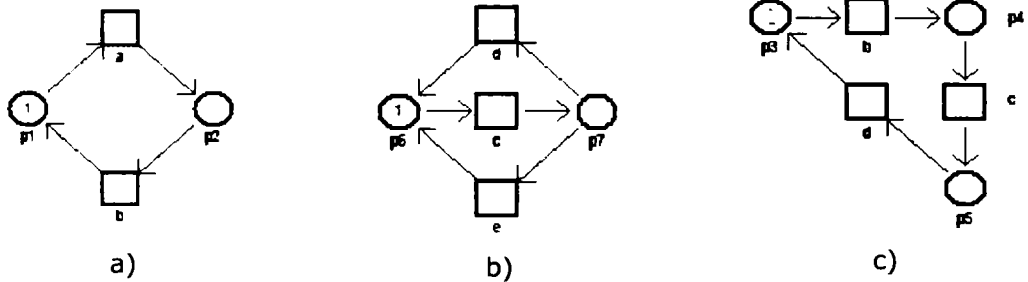


Figura 3.25. Subsistemele (a si b) si specificatiile (c) corespunzatoare sistemului considerat la exemplul 3.5

Compunerea paralela a acestor retele Petri va genera o retea Petri cu matricea de incidenta de dimensiune 5x7 (5 tranzitii a, b, c, d si e si 7 pozitii p1,p2 p3, p4, p5, p6 si p7).Aplicand algoritmul de compunere paralela rezulta matricea de incidenta:

$$A_{SIST} = \begin{pmatrix} -1 & 1 & 0 & 0 & 0 & 0 & 0 \\ 1 & -1 & -1 & 1 & 0 & 0 & 0 \\ 0 & 0 & 0 & -1 & 1 & -1 & 1 \\ 0 & 0 & 1 & 0 & -1 & 1 & -1 \\ 0 & 0 & 0 & 0 & 0 & 1 & -1 \end{pmatrix}$$

Structura retelei Petri PN_Sist=PN1||PN2||PN_Spec este prezentata in figura 3.26.

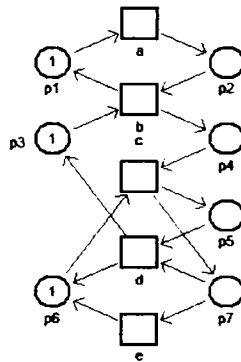


Figura 3.26. Structura retelei Petri rezultate in urma compunerii paralele

Arborele de acoperire al retelei rezultate este prezentat in figura 3.27.

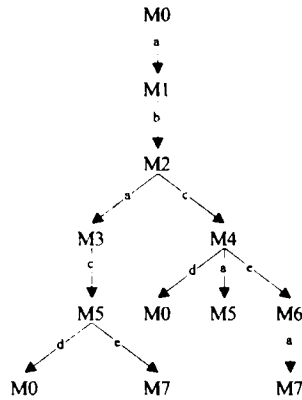


Figura 3.27. Arborele de acoperire corespunzător rețelei Petri *PN_Sist*

unde:

$$M0 = [1, 0, 1, 0, 0, 1, 0]^T;$$

$$M1 = [0, 1, 1, 0, 0, 1, 0]^T;$$

$$M2 = [1, 0, 0, 1, 0, 1, 0]^T;$$

$$M3 = [0, 1, 0, 1, 0, 1, 0]^T;$$

$$M5 = [0, 1, 0, 0, 1, 0, 1]^T;$$

$$M6 = [1, 0, 0, 0, 1, 1, 0]^T;$$

$$M4 = [1, 0, 0, 0, 1, 0, 1]^T;$$

$$M7 = [1, 0, 0, 0, 1, 1, 0]^T.$$

Dupa cum se observa din structura arborelui de acoperire, prin atingerea marcajului *M7* se ajunge intr-o stare de blocaj (deadlock), datorata executiei tranzitiei *e*, tranzitie generatoare de blocaj. Trebuie facuta insa observatia ca marcajul *M7* mai poate fi atins si prin executia tranzitiei *a* (din *M6*), dar aceasta tranzitie nu este generatoare de blocaj datorita faptului ca exista un circuit care contine tranzitia *a* si care pornind din marcajul initial *M0*, are ca rezultat final tot *M0*, adica: $M0 \xrightarrow{t1} M1 \xrightarrow{t2} M2 \xrightarrow{t1} M3 \xrightarrow{t3} M5 \xrightarrow{t4} M0$. Blocajul sistemului este relevant in cazul construirii grafului de acoperire, care reprezinta in fapt automatul rețelei. In figura 3.28 se prezinta graful de acoperire corespunzător rețelei Petri *PN_Sist*.

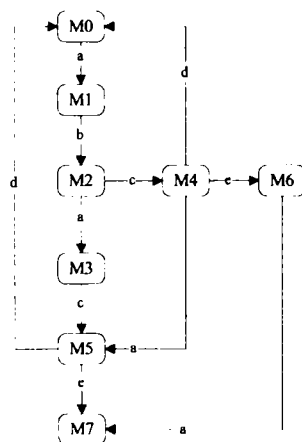


Figura 3.28 Graful de acoperire corespunzător rețelei Petri *PN_Sist*

Este vizibil faptul ca prin executia tranzitiei *e* se ajunge in situatia de blocaj (deadlock). Rezolvarea acestei situatii (eliminarea blocajului) se rezolva prin

suprimarea tranzitiei e , rezultand o retea Petri caracterizata prin urmatoarea matrice de incidenta:

$$A_{SIST} = \begin{pmatrix} -1 & 1 & 0 & 0 & 0 & 0 & 0 \\ 1 & -1 & -1 & 1 & 0 & 0 & 0 \\ 0 & 0 & 0 & -1 & 1 & -1 & 1 \\ 0 & 0 & 1 & 0 & -1 & 1 & -1 \end{pmatrix}$$

Structura retelei Petri rezultata este prezentata in figura 3.29.

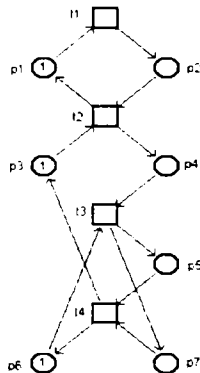


Figura 3.29. Structura retelei Petri PN_{Sist_Mod} obtinuta din PN_{Sist} dupa eliminarea tranzitiei e

Arborele de acoperire corespunzator retelei PN_{Sist_Mod} este prezentat in figura 3.30.

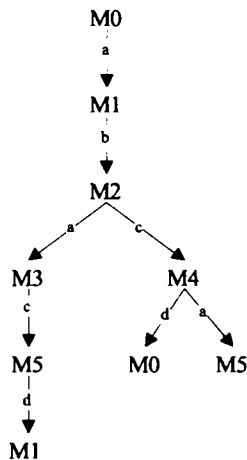


Figura 3.30 Arborele de acoperire corespunzator retelei Petri PN_{Sist_Mod}

unde:

$$\begin{aligned} M0 &= [1, 0, 1, 0, 0, 1, 0]^T; & M1 &= [0, 1, 1, 0, 0, 1, 0]^T; \\ M2 &= [1, 0, 0, 1, 0, 1, 0]^T; & M3 &= [0, 1, 0, 1, 0, 1, 0]^T; \\ M4 &= [1, 0, 0, 0, 1, 0, 1]^T; & M5 &= [0, 1, 0, 0, 1, 0, 1]^T. \end{aligned}$$

Din structura arborelui de acoperire rezulta deci ca rețeaua nu este blocantă.

Rețeaua Petri *PN_Sist_Mod* (vezi figura 3.29) reprezintă în fapt supervisorul căutat pentru aplicația considerată.

3.3.3. Studiu de caz. Conducerea supervizată a unui sistem de transport cu zone de acumulare [Ung03][Ung06a]

Se considera un sistem de transport cu structura prezentată în figura 3.31.

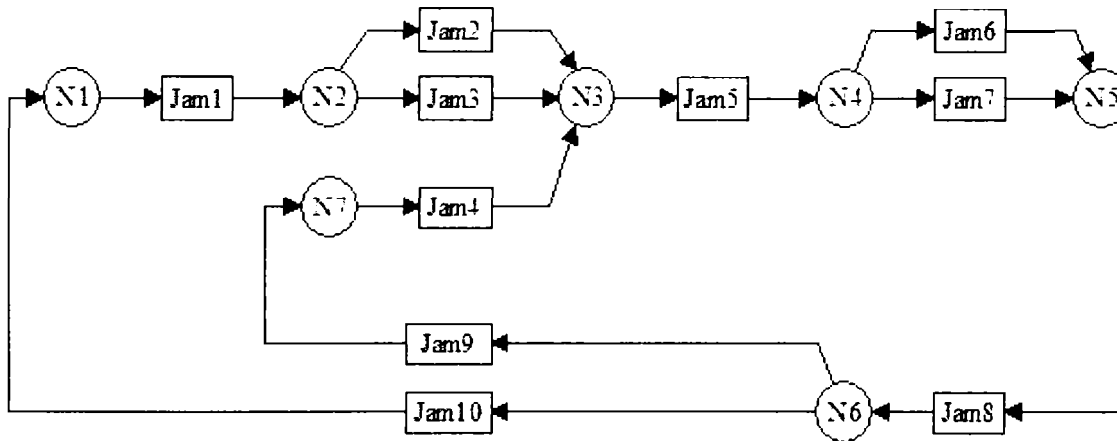


Figura 3.31. Structura sistemului de transport

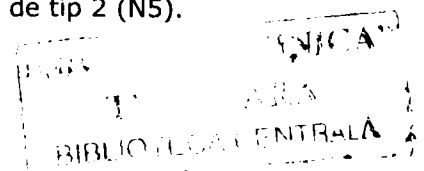
Capacitățile maxime ale jam-urilor, precum și starea inițială a acestora, sunt prezentate în tabelul 3.1.

Tabelul 3.1 Capacitățile maxime și conținutul inițial al jam-urilor

Jam ID	Cap. Maxima	Cap. Inițial
Jam 1	2	1
Jam 2	5	4
Jam 3	5	4
Jam 4	5	4
Jam 5	2	1
Jam 6	5	4
Jam 7	5	4
Jam 8	3	1
Jam 9	5	4
Jam10	10	8

După cum rezulta din tabelul 3.1 în sistem se găsesc 35 de carucioare, iar spațiul maxim disponibil este de 47 de carucioare. Datorită acestei încărcări sistemul este funcțional, neexistând riscul de apariție a blocajelor de funcționare.

Analizând structura sistemului de transport considerată în figura 3.31 se observă că acesta are în componența sa șase noduri, din care: două de tip 1 (N1 și N7), trei de tip 4 (N2, N4 și N6), unul de tip 3 (N3) și unul de tip 2 (N5).



Structura rețelei Petri corespunzătoare modelării sistemului propus este prezentată în figura 3.32.

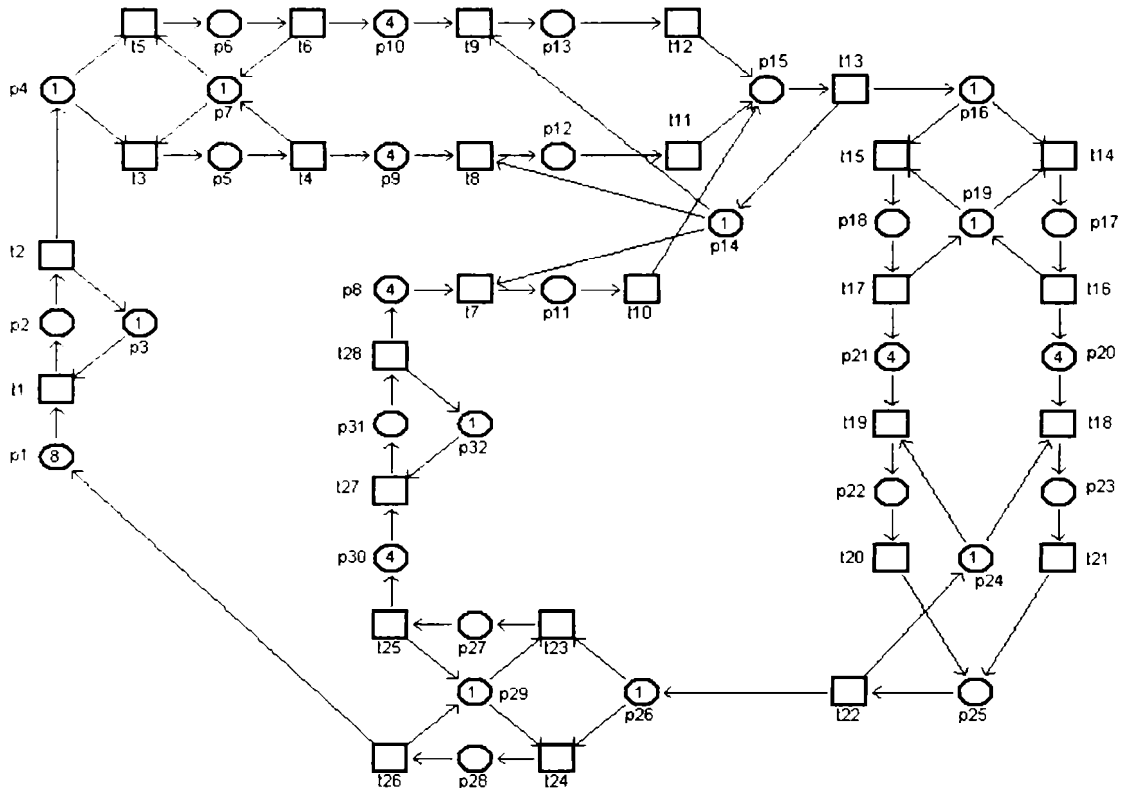


Figura 3.32. Structura rețelei Petri corespunzătoare sistemului propus

Obs. Reteaua Petri care modelează sistemul este considerată ca fiind o rețea Petri cu etichete, semnificațiile etichetelor fiind ușor de intuit având la bază exemplul 3.5.

Funcționarea sistemului se bazează pe următoarele specificații:

- 1) Nodul N2 (nod de tip 4) va funcționa astfel încât în situația în care rezultatul scanării este diferit de o valoare prescrisă (de exemplu 2), toate carucioarele corespunzătoare vor fi mutate în jam-ul 3;
- 2) Nodul N3 (nod de tip 3) va funcționa după principiul rotației – din fiecare stoper se eliberează rand pe rand câte un carucior. Dacă într-un jam nu se afla carucioare atunci se trece la următorul jam.
- 3) Nodul N4 (nod de tip 4) va funcționa astfel încât în situația în care rezultatul scanării este diferit de o valoare prescrisă (de exemplu 6), toate carucioarele corespunzătoare vor fi mutate în jam-ul 7;
- 4) Nodul N5 (nod de tip 2) funcționează după principiul descris pentru nodul N3;
- 5) Nodul N6 (nod de tip 4) va funcționa astfel încât în situația în care rezultatul scanării este diferit de o valoare prescrisă (de exemplu 9), toate carucioarele corespunzătoare vor fi mutate în jam-ul 10.

Modelele de tip rețea Petri corespunzătoare specificațiilor impuse nodurilor de tip 4 (N2, N4 și N6) sunt prezentate în figura 3.33.

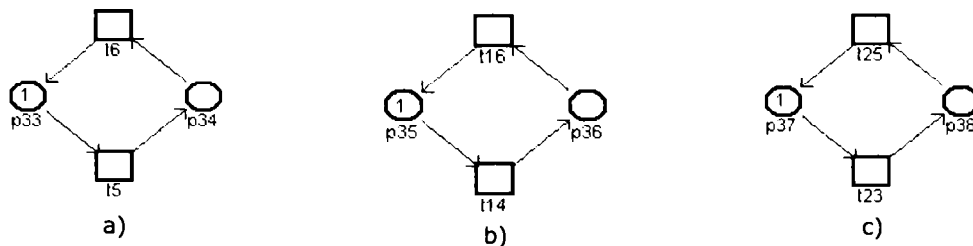


Figura 3.33. Modelele de tip retea Petri corespunzătoare specificațiilor nodurilor N2 (a), N4 (b) și N6 (c)

Modelele de tip retea Petri corespunzătoare specificațiilor impuse nodului de tip 3 (N3), respectiv nodului de tip 2 (N5), sunt prezentate în figurile 3.34.a respectiv 3.34.b

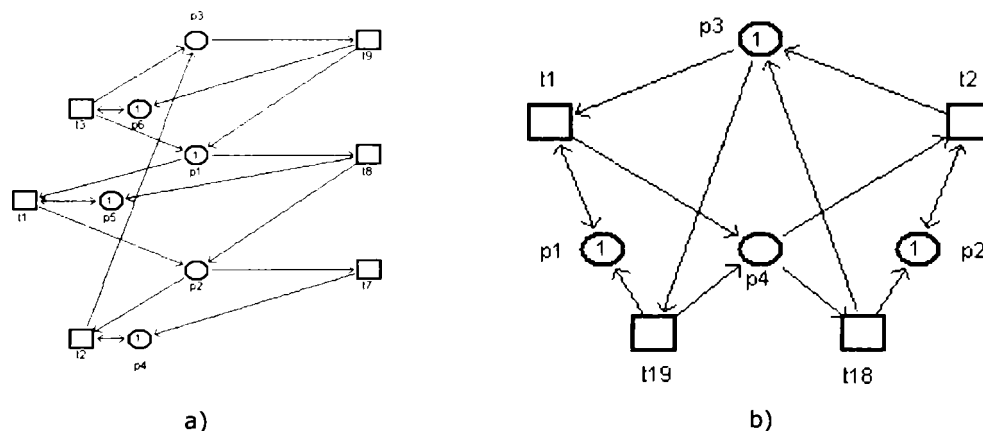


Figura 3.34. Modelele de tip retea Petri aferente specificațiilor nodului N3 (a), respectiv nodul N5 (b)

Pentru determinarea structurii supervisorului cautat se efectuează compunerea paralelă a tuturor modelelor propuse. Matricea de incidență a rețelei Petri rezultate (PN_Sist) este:

Pornind de la modul de construcție al rețelei Petri PN_Sist , analiza din punct de vedere al blocajelor se face pe porțiuni, în fapt pe baza utilizării submodelelor. Aceasta analiză este posibilă deoarece submodelele utilizate sunt conectate între ele în așa fel încât proprietățile lor nu sunt influențate între ele. Submodelele de bază sunt cele analizate în paragraful 2.5.3 și care au fost validate prin simularea lor în Matlab.

Prin adăugarea specificațiilor stabilite, structurile de bază pentru noduri s-au modificat și din acest motiv este necesară analiza proprietăților structurale și comportamentale ale acestora. Structurile nodurilor N2, N4 și N6 sunt identice, astfel ca analiza s-a realizat doar pentru un singur nod (N2). Structura modificată corespunzător nodului N2 (nod de tip 4) este prezentată în figura 3.36.

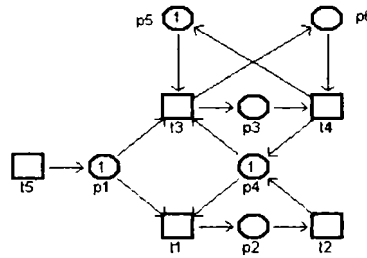


Figura 3.36. Structura modificată corespunzătoare nodului N2 – nod de tip 4

În figura 3.36, tranziția t_5 are rol de generator, prin intermediul ei asigurându-se alimentarea cu jetoane a rețelei Petri considerate.

Deoarece în cazul acestei rețele interesează numai dacă există posibilitatea apariției blocajelor, în continuare se analizează rețeaua numai pe baza arborelui de acoperire, care este prezentat în figura 3.37.

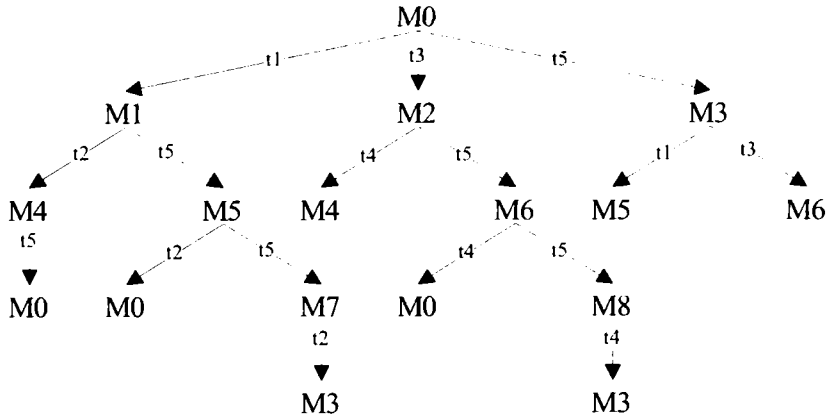


Figura 3.37. Arborele de acoperire al modelului modificat de tip rețea Petri pentru nodul de tip 4

unde:

$M_0 = [1, 0, 0, 1, 1, 0]$; $M_1 = [0, 1, 0, 0, 1, 0]$; $M_2 = [0, 0, 1, 0, 0, 1]$; $M_3 = [2, 0, 0, 1, 1, 0]$;
 $M_4 = [0, 0, 0, 1, 1, 0]$; $M_5 = [1, 1, 0, 0, 1, 0]$; $M_6 = [1, 0, 1, 0, 0, 1]$; $M_7 = [2, 1, 0, 0, 1, 0]$;
 $M_8 = [2, 0, 1, 0, 0, 1]$.

Structura arborelui de acoperire arata faptul ca rețeaua Petri considerata, subrețeaua corespunzatoare nodului N2, nu este blocanta. Acest rezultat este valabil si pentru nodurile N4 si N6, deoarece si ele sunt noduri de tip 4, cu aceleasi specificatii functionale impuse in cadrul ansamblului.

In continuare se analizeaza nodul N3 (nod de tip 3) pentru verificarea existentei sau nu a blocajelor in urma introducerii specificatiilor de conducere. Structura subrețelei considerata este prezentata in figura 3.38.

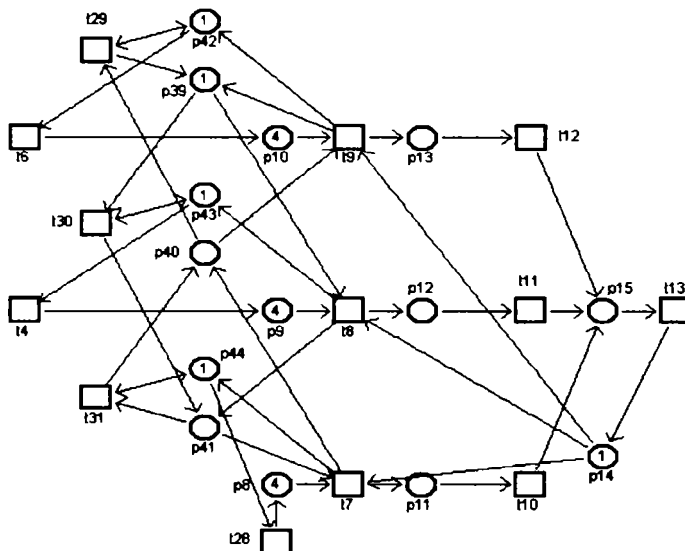


Figura 3.38. Structura modificata a nodului N3 – nod de tip 3

Tranzitiile t_8 , t_9 si t_{10} sunt tranzitii generatoare pentru alimentarea rețelei cu jetoane.

Datorita complexitatii arborelui de acoperire acesta este prezentat in mod text in tabelul 3.2.

Tabelul 3.2 Arborele de acoperire corespunzator nodului N3 modificat

M0	t8	M1	M0	t28	M2	M1	t11	M3
M1	t28	M4	M2	t8	M4	M3	t13	M5
M3	t28	M6	M4	t11	M6	M5	t7	M7
M5	t28	M8	M6	t13	M8	M7	t10	M9
M7	t28	M10	M8	t7	M10	M9	t13	M11
M9	t28	M12	M10	t10	M12	M10	t28	M13
M11	t9	M14	M11	t28	M15	M12	t13	M15
M12	t28	M16	M13	t10	M16	M14	t12	M17
M14	t28	M18	M15	t9	M18	M15	t28	M19
M16	t13	M19	M17	t13	M20	M17	t28	M21
M18	t12	M21	M18	t28	M22	M19	t9	M22

M20	t8	M23	M20	t28	M24	M21	t13	M24
M21	t28	M25	M22	t12	M25	M23	t11	M26
M23	t28	M27	M24	t8	M27	M24	t28	M28
M25	t13	M28	M26	t13	M29	M26	t28	M30
M27	t11	M30	M27	t28	M31	M28	t8	M31
M29	t7	M32	M29	t28	M33	M30	t13	M33
M30	t28	M34	M31	t11	M34	M32	t10	M35
M32	t28	M36	M33	t7	M36	M33	t28	M37
M34	t13	M37	M35	t13	M38	M35	t28	M39
M36	t10	M39	M36	t28	M40	M37	t7	M40
M38	t9	M41	M38	t28	M42	M39	t13	M42
M39	t28	M43	M40	t10	M43	M40	t28	M44
M41	t12	M45	M41	t28	M46	M42	t9	M46
M42	t28	M47	M43	t13	M47	M43	t28	M48
M44	t10	M48	M45	t13	M49	M45	t28	M50
M46	t12	M50	M46	t28	M51	M47	t9	M51
M47	t28	M52	M48	t13	M52	M49	t8	M53
M49	t28	M54	M50	t13	M54	M50	t28	M55
M51	t12	M55	M51	t28	M56	M52	t9	M56
M53	t11	M57	M53	t28	M58	M54	t8	M58
M54	t28	M59	M55	t13	M59	M55	t28	M60
M56	t12	M60	M57	t13	M61	M57	t28	M62
M58	t11	M62	M58	t28	M63	M59	t8	M63
M59	t28	M64	M60	t13	M64	M61	t7	M65
M61	t28	M66	M62	t13	M66	M62	t28	M67
M63	t11	M67	M63	t28	M68	M64	t8	M68
M65	t10	M69	M65	t28	M70	M66	t7	M70
M66	t28	M71	M67	t13	M71	M67	t28	M72
M68	t11	M72	M69	t13	M73	M69	t28	M74
M70	t10	M74	M70	t28	M75	M71	t7	M75
M71	t28	M76	M72	t13	M76	M73	t9	M77
M73	t28	M78	M74	t13	M78	M74	t28	M79
M75	t10	M79	M75	t28	M80	M76	t7	M80
M77	t12	M81	M77	t28	M82	M78	t9	M82
M78	t28	M83	M79	t13	M83	M79	t28	M84

M80	t10	M84	M80	t28	M85	M81	t13	M86
M81	t28	M87	M82	t12	M87	M82	t28	M88
M83	t9	M88	M83	t28	M89	M84	t13	M89
M84	t28	M90	M85	t10	M90	M86	t8	M91
M86	t28	M92	M87	t13	M92	M87	t28	M93
M88	t12	M93	M88	t28	M94	M89	t9	M94
M89	t28	M95	M90	t13	M95	M91	t11	M96
M91	t28	M97	M92	t8	M97	M92	t28	M98
M93	t13	M98	M93	t28	M99	M94	t12	M99
M94	t28	M100	M95	t9	M100	M96	t13	M101
M96	t28	M102	M97	t11	M102	M97	t28	M103
M98	t8	M103	M98	t28	M104	M99	t13	M104
M99	t28	M105	M100	t12	M105	M101	t7	M106
M101	t28	M107	M102	t13	M107	M102	t28	M108
M103	t11	M108	M103	t28	M109	M104	t8	M109
M104	t28	M110	M105	t13	M110	M106	t10	M111
M106	t28	M112	M107	t7	M112	M107	t28	M113
M108	t13	M113	M108	t28	M114	M109	t11	M114
M109	t28	M115	M110	t8	M115	M111	t13	M116
M111	t28	M117	M112	t10	M117	M112	t28	M118
M113	t7	M118	M113	t28	M119	M114	t13	M119
M114	t28	M120	M115	t11	M120	M116	t9	M121
M116	t28	M122	M117	t13	M122	M117	t28	M123
M118	t10	M123	M118	t28	M124	M119	t7	M124
M119	t28	M125	M120	t13	M125	M121	t12	M126
M121	t28	M127	M121	t30	M128	M122	t9	M127
M122	t28	M129	M123	t13	M129	M123	t28	M130
M124	t10	M130	M124	t28	M131	M125	t7	M131
M126	t13	M132	M126	t28	M133	M126	t30	M134
M127	t12	M133	M127	t28	M135	M127	t30	M136
M128	t12	M134	M128	t28	M136	M129	t9	M135
M129	t28	M137	M130	t13	M137	M130	t28	M138
M131	t10	M138	M131	t28	M139	M132	t28	M140
M132	t30	M141	M133	t13	M140	M133	t28	M142
M133	t30	M143	M134	t13	M141	M134	t28	M143

M135	t12	M142	M135	t28	M144	M135	t30	M145
M136	t12	M143	M136	t28	M145	M137	t9	M144
M137	t28	M146	M138	t13	M146	M138	t28	M147
M139	t10	M147	M140	t28	M148	M140	t30	M149
M141	t28	M149	M142	t13	M148	M142	t28	M150
M142	t30	M151	M143	t13	M149	M143	t28	M151
M144	t12	M150	M144	t28	M152	M144	t30	M153
M145	t12	M151	M145	t28	M153	M146	t9	M152
M146	t28	M154	M147	t13	M154	M148	t28	M155
M148	t30	M156	M149	t7	M157	M149	t28	M156
M150	t13	M155	M150	t28	M158	M150	t30	M159
M151	t13	M156	M151	t28	M159	M152	t12	M158
M152	t28	M160	M152	t30	M161	M153	t12	M159
M153	t28	M161	M154	t9	M160	M155	t28	M162
M155	t30	M163	M156	t7	M164	M156	t28	M163
M157	t10	M165	M157	t28	M164	M157	t29	M166
M158	t13	M162	M158	t28	M167	M158	t30	M168
M159	t13	M163	M159	t28	M168	M160	t12	M167
M160	t30	M169	M161	t12	M168	M161	t28	M169
M162	t28	M170	M162	t30	M171	M163	t7	M172
M163	t28	M171	M164	t10	M173	M164	t28	M172
M164	t29	M174	M165	t13	M175	M165	t28	M173
M165	t29	M126	M166	t10	M126	M166	t28	M174
M166	t30	M176	M167	t13	M170	M167	t30	M177
M168	t13	M171	M168	t28	M177	M169	t12	M177
M170	t30	M178	M171	t7	M179	M171	t28	M178
M172	t10	M180	M172	t28	M179	M172	t29	M181
M173	t13	M182	M173	t28	M180	M173	t29	M133
M174	t10	M133	M174	t28	M181	M174	t30	M183
M175	t28	M182	M175	t29	M132	M176	t10	M134
M176	t28	M183	M177	t13	M178	M178	t7	M184
M179	t10	M185	M179	t28	M184	M179	t29	M186
M180	t13	M187	M180	t28	M185	M180	t29	M142
M181	t10	M142	M181	t28	M186	M181	t30	M188
M182	t28	M187	M182	t29	M140	M183	t10	M143

M183	t28	M188	M184	t10	M189	M184	t28	M190
M184	t29	M191	M185	t13	M192	M185	t28	M189
M185	t29	M150	M186	t10	M150	M186	t28	M191
M186	t30	M193	M187	t28	M192	M187	t29	M148
M188	t10	M151	M188	t28	M193	M189	t13	M194
M189	t28	M195	M189	t29	M158	M190	t10	M195
M190	t29	M196	M191	t10	M158	M191	t28	M196
M191	t30	M197	M192	t28	M194	M192	t29	M155
M193	t10	M159	M193	t28	M197	M194	t28	M198
M194	t29	M162	M195	t13	M198	M195	t29	M167
M196	t10	M167	M196	t30	M199	M197	t10	M168
M197	t28	M199	M198	t29	M170	M199	t10	M177

M0 = [4,4,4,0,0,0,1,0,1,0,0,1,1,1]	M1 = [4,3,4,0,1,0,0,0,0,0,1,1,2,1]
M2 = [5,4,4,0,0,0,1,0,1,0,0,1,1,0]	M3 = [4,3,4,0,0,0,0,1,0,0,1,1,2,1]
M4 = [5,3,4,0,1,0,0,0,0,0,1,1,2,0]	M5 = [4,3,4,0,0,0,1,0,0,0,1,1,2,1]
M6 = [5,3,4,0,0,0,0,1,0,0,1,1,2,0]	M7 = [3,3,4,1,0,0,0,0,0,1,0,1,2,2]
M8 = [5,3,4,0,0,0,1,0,0,0,1,1,2,0]	M9 = [3,3,4,0,0,0,0,1,0,1,0,1,2,2]
M10 = [4,3,4,1,0,0,0,0,0,1,0,1,2,1]	M11 = [3,3,4,0,0,0,1,0,0,1,0,1,2,2]
M12 = [4,3,4,0,0,0,0,1,0,1,0,1,2,1]	M13 = [5,3,4,1,0,0,0,0,0,1,0,1,2,0]
M14 = [3,3,3,0,0,1,0,0,1,0,0,2,2,2]	M15 = [4,3,4,0,0,0,1,0,0,1,0,1,2,1]
M16 = [5,3,4,0,0,0,0,1,0,1,0,1,2,0]	M17 = [3,3,3,0,0,0,0,1,1,0,0,2,2,2]
M18 = [4,3,3,0,0,1,0,0,1,0,0,2,2,1]	M19 = [5,3,4,0,0,0,1,0,0,1,0,1,2,0]
M20 = [3,3,3,0,0,0,1,0,1,0,0,2,2,2]	M21 = [4,3,3,0,0,0,0,1,1,0,0,2,2,1]
M22 = [5,3,3,0,0,1,0,0,1,0,0,2,2,0]	M23 = [3,2,3,0,1,0,0,0,0,0,1,2,3,2]
M24 = [4,3,3,0,0,0,1,0,1,0,0,2,2,1]	M25 = [5,3,3,0,0,0,0,1,1,0,0,2,2,0]
M26 = [3,2,3,0,0,0,0,1,0,0,1,2,3,2]	M27 = [4,2,3,0,1,0,0,0,0,0,1,2,3,1]
M28 = [5,3,3,0,0,0,1,0,1,0,0,2,2,0]	M29 = [3,2,3,0,0,0,1,0,0,0,1,2,3,2]
M30 = [4,2,3,0,0,0,0,1,0,0,1,2,3,1]	M31 = [5,2,3,0,1,0,0,0,0,0,1,2,3,0]
M32 = [2,2,3,1,0,0,0,0,0,1,0,2,3,3]	M33 = [4,2,3,0,0,0,1,0,0,0,1,2,3,1]
M34 = [5,2,3,0,0,0,0,1,0,0,1,2,3,0]	M35 = [2,2,3,0,0,0,0,1,0,1,0,2,3,3]
M36 = [3,2,3,1,0,0,0,0,0,1,0,2,3,2]	M37 = [5,2,3,0,0,0,1,0,0,0,1,2,3,0]
M38 = [2,2,3,0,0,0,1,0,0,1,0,2,3,3]	M39 = [3,2,3,0,0,0,0,1,0,1,0,2,3,2]
M40 = [4,2,3,1,0,0,0,0,0,1,0,2,3,1]	M41 = [2,2,2,0,0,1,0,0,1,0,0,3,3,3]
M42 = [3,2,3,0,0,0,1,0,0,1,0,2,3,2]	M43 = [4,2,3,0,0,0,0,1,0,1,0,2,3,1]

M44 = [5,2,3,1,0,0,0,0,1,0,2,3,0]	M45 = [2,2,2,0,0,0,0,1,1,0,0,3,3,3]
M46 = [3,2,2,0,0,1,0,0,1,0,0,3,3,2]	M47 = [4,2,3,0,0,0,1,0,0,1,0,2,3,1]
M48 = [5,2,3,0,0,0,0,1,0,1,0,2,3,0]	M49 = [2,2,2,0,0,0,1,0,1,0,0,3,3,3]
M50 = [3,2,2,0,0,0,0,1,1,0,0,3,3,2]	M51 = [4,2,2,0,0,1,0,0,1,0,0,3,3,1]
M52 = [5,2,3,0,0,0,1,0,0,1,0,2,3,0]	M53 = [2,1,2,0,1,0,0,0,0,0,1,3,4,3]
M54 = [3,2,2,0,0,0,1,0,1,0,0,3,3,2]	M55 = [4,2,2,0,0,0,0,1,1,0,0,3,3,1]
M56 = [5,2,2,0,0,1,0,0,1,0,0,3,3,0]	M57 = [2,1,2,0,0,0,0,1,0,0,1,3,4,3]
M58 = [3,1,2,0,1,0,0,0,0,0,1,3,4,2]	M59 = [4,2,2,0,0,0,1,0,1,0,0,3,3,1]
M60 = [5,2,2,0,0,0,0,1,1,0,0,3,3,0]	M61 = [2,1,2,0,0,0,1,0,0,0,1,3,4,3]
M62 = [3,1,2,0,0,0,0,1,0,0,1,3,4,2]	M63 = [4,1,2,0,1,0,0,0,0,0,1,3,4,1]
M64 = [5,2,2,0,0,0,1,0,1,0,0,3,3,0]	M65 = [1,1,2,1,0,0,0,0,0,1,0,3,4,4]
M66 = [3,1,2,0,0,0,1,0,0,0,1,3,4,2]	M67 = [4,1,2,0,0,0,0,1,0,0,1,3,4,1]
M68 = [5,1,2,0,1,0,0,0,0,0,1,3,4,0]	M69 = [1,1,2,0,0,0,0,1,0,1,0,3,4,4]
M70 = [2,1,2,1,0,0,0,0,0,1,0,3,4,3]	M71 = [4,1,2,0,0,0,1,0,0,0,1,3,4,1]
M72 = [5,1,2,0,0,0,0,1,0,0,1,3,4,0]	M73 = [1,1,2,0,0,0,1,0,0,1,0,3,4,4]
M74 = [2,1,2,0,0,0,0,1,0,1,0,3,4,3]	M75 = [3,1,2,1,0,0,0,0,0,1,0,3,4,2]
M76 = [5,1,2,0,0,0,1,0,0,0,1,3,4,0]	M77 = [1,1,1,0,0,1,0,0,1,0,0,4,4,4]
M78 = [2,1,2,0,0,0,1,0,0,1,0,3,4,3]	M79 = [3,1,2,0,0,0,0,1,0,1,0,3,4,2]
M80 = [4,1,2,1,0,0,0,0,0,1,0,3,4,1]	M81 = [1,1,1,0,0,0,0,1,1,0,0,4,4,4]
M82 = [2,1,1,0,0,1,0,0,1,0,0,4,4,3]	M83 = [3,1,2,0,0,0,1,0,0,1,0,3,4,2]
M84 = [4,1,2,0,0,0,0,1,0,1,0,3,4,1]	M85 = [5,1,2,1,0,0,0,0,0,1,0,3,4,0]
M86 = [1,1,1,0,0,0,1,0,1,0,0,4,4,4]	M87 = [2,1,1,0,0,0,0,1,1,0,0,4,4,3]
M88 = [3,1,1,0,0,1,0,0,1,0,0,4,4,2]	M89 = [4,1,2,0,0,0,1,0,0,1,0,3,4,1]
M90 = [5,1,2,0,0,0,0,1,0,1,0,3,4,0]	M91 = [1,0,1,0,1,0,0,0,0,0,1,4,5,4]
M92 = [2,1,1,0,0,0,1,0,1,0,0,4,4,3]	M93 = [3,1,1,0,0,0,0,1,1,0,0,4,4,2]
M94 = [4,1,1,0,0,1,0,0,1,0,0,4,4,1]	M95 = [5,1,2,0,0,0,1,0,0,1,0,3,4,0]
M96 = [1,0,1,0,0,0,0,1,0,0,1,4,5,4]	M97 = [2,0,1,0,1,0,0,0,0,0,1,4,5,3]
M98 = [3,1,1,0,0,0,1,0,1,0,0,4,4,2]	M99 = [4,1,1,0,0,0,0,1,1,0,0,4,4,1]
M100 = [5,1,1,0,0,1,0,0,1,0,0,4,4,0]	M101 = [1,0,1,0,0,0,1,0,0,0,1,4,5,4]
M102 = [2,0,1,0,0,0,0,1,0,0,1,4,5,3]	M103 = [3,0,1,0,1,0,0,0,0,0,1,4,5,2]
M104 = [4,1,1,0,0,0,1,0,1,0,0,4,4,1]	M105 = [5,1,1,0,0,0,0,1,1,0,0,4,4,0]
M106 = [0,0,1,1,0,0,0,0,0,1,0,4,5,5]	M107 = [2,0,1,0,0,0,1,0,0,0,1,4,5,3]
M108 = [3,0,1,0,0,0,0,1,0,0,1,4,5,2]	M109 = [4,0,1,0,1,0,0,0,0,0,1,4,5,1]
M110 = [5,1,1,0,0,0,1,0,1,0,0,4,4,0]	M111 = [0,0,1,0,0,0,0,1,0,1,0,4,5,5]
M112 = [1,0,1,1,0,0,0,0,0,1,0,4,5,4]	M113 = [3,0,1,0,0,0,1,0,0,0,1,4,5,2]

M114 = [4,0,1,0,0,0,0,1,0,0,1,4,5,1]	M115 = [5,0,1,0,1,0,0,0,0,0,1,4,5,0]
M116 = [0,0,1,0,0,0,1,0,0,1,0,4,5,5]	M117 = [1,0,1,0,0,0,0,1,0,1,0,4,5,4]
M118 = [2,0,1,1,0,0,0,0,0,1,0,4,5,3]	M119 = [4,0,1,0,0,0,1,0,0,0,1,4,5,1]
M120 = [5,0,1,0,0,0,0,1,0,0,1,4,5,0]	M121 = [0,0,0,0,0,1,0,0,1,0,0,5,5,5]
M122 = [1,0,1,0,0,0,1,0,0,1,0,4,5,4]	M123 = [2,0,1,0,0,0,0,1,0,1,0,4,5,3]
M124 = [3,0,1,1,0,0,0,0,0,1,0,4,5,2]	M125 = [5,0,1,0,0,0,1,0,0,0,1,4,5,0]
M126 = [0,0,0,0,0,0,0,1,1,0,0,5,5,5]	M127 = [1,0,0,0,0,1,0,0,1,0,0,5,5,4]
M128 = [0,0,0,0,0,1,0,0,0,0,1,5,5,5]	M129 = [2,0,1,0,0,0,1,0,0,1,0,4,5,3]
M130 = [3,0,1,0,0,0,0,1,0,1,0,4,5,2]	M131 = [4,0,1,1,0,0,0,0,0,1,0,4,5,1]
M132 = [0,0,0,0,0,0,1,0,1,0,0,5,5,5]	M133 = [1,0,0,0,0,0,0,1,1,0,0,5,5,4]
M134 = [0,0,0,0,0,0,0,1,0,0,1,5,5,5]	M135 = [2,0,0,0,0,1,0,0,1,0,0,5,5,3]
M136 = [1,0,0,0,0,1,0,0,0,0,1,5,5,4]	M137 = [3,0,1,0,0,0,1,0,0,1,0,4,5,2]
M138 = [4,0,1,0,0,0,0,1,0,1,0,4,5,1]	M139 = [5,0,1,1,0,0,0,0,0,1,0,4,5,0]
M140 = [1,0,0,0,0,0,1,0,1,0,0,5,5,4]	M141 = [0,0,0,0,0,0,1,0,0,0,1,5,5,5]
M142 = [2,0,0,0,0,0,0,1,1,0,0,5,5,3]	M143 = [1,0,0,0,0,0,0,1,0,0,1,5,5,4]
M144 = [3,0,0,0,0,1,0,0,1,0,0,5,5,2]	M145 = [2,0,0,0,0,1,0,0,0,0,1,5,5,3]
M146 = [4,0,1,0,0,0,1,0,0,1,0,4,5,1]	M147 = [5,0,1,0,0,0,0,1,0,1,0,4,5,0]
M148 = [2,0,0,0,0,0,1,0,1,0,0,5,5,3]	M149 = [1,0,0,0,0,0,1,0,0,0,1,5,5,4]
M150 = [3,0,0,0,0,0,0,1,1,0,0,5,5,2]	M151 = [2,0,0,0,0,0,0,1,0,0,1,5,5,3]
M152 = [4,0,0,0,0,1,0,0,1,0,0,5,5,1]	M153 = [3,0,0,0,0,1,0,0,0,0,1,5,5,2]
M154 = [5,0,1,0,0,0,1,0,0,1,0,4,5,0]	M155 = [3,0,0,0,0,0,1,0,1,0,0,5,5,2]
M156 = [2,0,0,0,0,0,1,0,0,0,1,5,5,3]	M157 = [0,0,0,1,0,0,0,0,0,1,0,5,5,5]
M158 = [4,0,0,0,0,0,0,1,1,0,0,5,5,1]	M159 = [3,0,0,0,0,0,0,1,0,0,1,5,5,2]
M160 = [5,0,0,0,0,1,0,0,1,0,0,5,5,0]	M161 = [4,0,0,0,0,1,0,0,0,0,1,5,5,1]
M162 = [4,0,0,0,0,0,1,0,1,0,0,5,5,1]	M163 = [3,0,0,0,0,0,1,0,0,0,1,5,5,2]
M164 = [1,0,0,1,0,0,0,0,0,1,0,5,5,4]	M165 = [0,0,0,0,0,0,0,1,0,1,0,5,5,5]
M166 = [0,0,0,1,0,0,0,0,1,0,0,5,5,5]	M167 = [5,0,0,0,0,0,0,1,1,0,0,5,5,0]
M168 = [4,0,0,0,0,0,0,1,0,0,1,5,5,1]	M169 = [5,0,0,0,0,1,0,0,0,0,1,5,5,0]
M170 = [5,0,0,0,0,0,1,0,1,0,0,5,5,0]	M171 = [4,0,0,0,0,0,1,0,0,0,1,5,5,1]
M172 = [2,0,0,1,0,0,0,0,0,1,0,5,5,3]	M173 = [1,0,0,0,0,0,0,1,0,1,0,5,5,4]
M174 = [1,0,0,1,0,0,0,0,1,0,0,5,5,4]	M175 = [0,0,0,0,0,0,1,0,0,1,0,5,5,5]
M176 = [0,0,0,1,0,0,0,0,0,0,1,5,5,5]	M177 = [5,0,0,0,0,0,0,1,0,0,1,5,5,0]
M178 = [5,0,0,0,0,0,1,0,0,0,1,5,5,0]	M179 = [3,0,0,1,0,0,0,0,0,1,0,5,5,2]
M180 = [2,0,0,0,0,0,0,1,0,1,0,5,5,3]	M181 = [2,0,0,1,0,0,0,0,1,0,0,5,5,3]
M182 = [1,0,0,0,0,0,1,0,0,1,0,5,5,4]	M183 = [1,0,0,1,0,0,0,0,0,0,1,5,5,4]

M184 = [4,0,0,1,0,0,0,0,0,1,0,5,5,1]	M185 = [3,0,0,0,0,0,0,1,0,1,0,5,5,2]
M186 = [3,0,0,1,0,0,0,0,0,1,0,0,5,5,2]	M187 = [2,0,0,0,0,0,0,1,0,0,1,0,5,5,3]
M188 = [2,0,0,1,0,0,0,0,0,0,0,1,5,5,3]	M189 = [4,0,0,0,0,0,0,0,1,0,1,0,5,5,1]
M190 = [5,0,0,1,0,0,0,0,0,0,1,0,5,5,0]	M191 = [4,0,0,1,0,0,0,0,0,1,0,0,5,5,1]
M192 = [3,0,0,0,0,0,0,1,0,0,1,0,5,5,2]	M193 = [3,0,0,1,0,0,0,0,0,0,0,1,5,5,2]
M194 = [4,0,0,0,0,0,0,1,0,0,1,0,5,5,1]	M195 = [5,0,0,0,0,0,0,0,1,0,1,0,5,5,0]
M196 = [5,0,0,1,0,0,0,0,0,1,0,0,5,5,0]	M197 = [4,0,0,1,0,0,0,0,0,0,0,1,5,5,1]
M198 = [5,0,0,0,0,0,0,1,0,0,1,0,5,5,0]	M199 = [5,0,0,1,0,0,0,0,0,0,0,1,5,5,0]

Din analiza structurii arborelui de acoperire rezulta ca modelul obtinut in urma compunerii paralele dintre modelul nodului N3 (nod de tip 3) si specificatiile impuse nu este blocant.

In continuare se analizeaza nodul N5 (nod de tip 2) pentru verificarea existentei sau nu a blocajelor in urma introducerii specificatiilor de conducere. Structura subrețelei considerata este prezentata in figura 3.39.

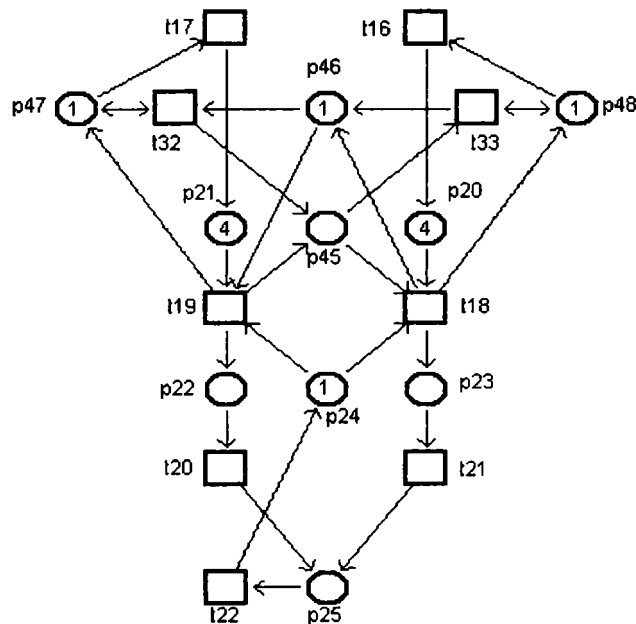


Figura 3.39. Structura modificata a nodului N5 – nod de tip 2

In tabelul 3.3 se prezinta structura arborelui de acoperire in mod text corespunzator nodului N5, modificat prin compunerea paralela intre un nod de tip 2 (nodul N5) si specificatiile de functionare impuse acestuia.

Tabelul 3.3 Arborele de acoperire corespunzător nodului N5 modificat

M0	t19	M1	M1	t20	M2	M2	t22	M3
M3	t18	M4	M4	t21	M5	M5	t22	M6
M6	t19	M7	M7	t20	M8	M8	t22	M9
M9	t18	M10	M10	t21	M11	M11	t22	M12
M12	t19	M13	M13	t20	M14	M14	t22	M15
M15	t18	M16	M16	t21	M17	M17	t22	M18
M18	t19	M19	M19	t20	M20	M20	t22	M21
M21	t18	M22	M22	t21	M23	M22	t32	M24
M23	t22	M25	M23	t32	M26	M24	t21	M26
M24	t33	M22	M25	t32	M27	M26	t22	M27
M26	t33	M23	M27	t33	M25			
M0 = [4,4,0,0,1,0,0,1,1,1]				M1 = [4,3,1,0,0,0,1,0,2,1]				
M2 = [4,3,0,0,0,1,1,0,2,1]				M3 = [4,3,0,0,1,0,1,0,2,1]				
M4 = [3,3,0,1,0,0,0,1,2,2]				M5 = [3,3,0,0,0,1,0,1,2,2]				
M6 = [3,3,0,0,1,0,0,1,2,2]				M7 = [3,2,1,0,0,0,1,0,3,2]				
M8 = [3,2,0,0,0,1,1,0,3,2]				M9 = [3,2,0,0,1,0,1,0,3,2]				
M10 = [2,2,0,1,0,0,0,1,3,3]				M11 = [2,2,0,0,0,1,0,1,3,3]				
M12 = [2,2,0,0,1,0,0,1,3,3]				M13 = [2,1,1,0,0,0,1,0,4,3]				
M14 = [2,1,0,0,0,1,1,0,4,3]				M15 = [2,1,0,0,1,0,1,0,4,3]				
M16 = [1,1,0,1,0,0,0,1,4,4]				M17 = [1,1,0,0,0,1,0,1,4,4]				
M18 = [1,1,0,0,1,0,0,1,4,4]				M19 = [1,0,1,0,0,0,1,0,5,4]				
M20 = [1,0,0,0,0,1,1,0,5,4]				M21 = [1,0,0,0,1,0,1,0,5,4]				
M22 = [0,0,0,1,0,0,0,1,5,5]				M23 = [0,0,0,0,0,1,0,1,5,5]				
M24 = [0,0,0,1,0,0,1,0,5,5]				M25 = [0,0,0,0,1,0,0,1,5,5]				
M26 =				M27 =				

[0,0,0,0,0,1,1,0,5,5] [0,0,0,0,1,0,1,0,5,5]

Din analiza structurii arborelui de acoperire rezulta ca modelul obtinut in urma compunerii paralele dintre modelul nodului N5 (nod de tip 2) si specificatiile impuse nu este blocant.

Deoarece submodele considerate nu introduc blocaje in functionarea in ansamblu a sistemului rezultat in urma compunerii paralele, se poate concluziona ca retea Petri *PN_Sist* (figura 3.35) reprezinta modelul de supervizor dorit.

3.4. Concluzii

In cadrul acestui capitol a fost abordat modul de realizare a supervizoarelor, atat din punct de vedere teoretic cat si aplicativ, printr-o serie de aplicatii si studii de caz,.

Tematica implementarii supervizoarelor a fost abordata pornind de la tipurile de modele utilizate. Au fost considerate aspectele teoretice referitoare la existenta si implementarea supervizoarelor, avand la baza modelarea cu ajutorul limbajelor, automatelor respectiv a retelelor Petri.

In partea intai, s-a urmarit prezentarea structurii de baza utilizata in conducerea supervizata a SED, introducandu-se notiunea de supervizor precum si locul, rolul si functiile acestuia in cadrul conducerii sistemelor automate complexe.

In partea a doua, s-a analizat problematica legata de conducerea supervizata bazata pe modele de tip automat descrise cu ajutorul limbajelor, fiind prezentate aspecte teoretice legate de supervizarea sistemelor cu reactie dupa stare, respectiv aspecte legate de sinteza a doi algoritmi de implementare a supervizoarelor bazate pe modele de tip automat. Exemplificarea modului de implementare a unui supervizor, bazat pe modele de tip automat, s-a realizat printr-un studiu de caz legat de conducerea supervizata a unui SFFF utilizat in filaturile de bumbac, utilizand algoritmului 3.2.

In partea a treia, s-a analizat problematica legata de conducerea supervizata bazata pe utilizarea modelelor de tip retele Petri, fiind prezentate doua metode de implementare, una bazata pe utilizarea invariantilor de tip P, iar cealalta bazata pe compunerea paralela a modelelor de tip retele Petri. Validarea acestor metode s-a realizat printr-o serie de exemple si un studiu de caz legat de implementarea unui supervizor pentru un STZA.

Rezultatele obtinute in cazul implementarii supervizoarelor bazate pe modele de tip automat, conduc la concluzia ca utilizarea acestei metode, este foarte laborioasa, ea devenind aproape inoperabila in cazul sistemelor complexe (compunand un sistem cu 10 componente cu un sistem cu 10 stari rezulta un sistem cu 10^{10} stari).

In cazul utilizarii retelelor Petri, datorita faptului ca un sistem complex nu este descris prin extinderea topologiei retelei ci prin extinderea marcajelor, problematica legata de implementarea supervizoarelor, bazate pe astfel de modele, se simplifica semnificativ.

Pe baza rezultatelor obtinute, metodele propuse pentru implementarea supervizoarelor (automate, respectiv retele Petri), au fost confirmate si validate.

In capitolul 6 se prezinta in detaliu contributiile legate de conducerea supervizata a SED.

Capitolul 4

Utilizarea modelelor sistemelor cu evenimente discrete in implementarea sistemelor de conducere in timp real

4.1. Consideratii generale ale proiectarii programelor de conducere in timp real [Letia00][HP97]

Sistemele de conducere in timp real (SCR) depind in mod decisiv de „viteza” de lucru a sistemelor de calcul, timpul de raspuns in acest caz fiind esential. Performantele sistemelor de conducere in timp real depind de doi factori esentiali:

- performantele echipamentelor hardware si software;
- structura modelului stabilit pentru conducerea DES.

Caracteristicile sistemelor de conducere in timp real sunt sintetizate dupa cum urmeaza:

- utilizarea explicita a timpului, prin asigurarea corealrii activitatilor de conducere cu timpul;
- stabilirea unor intervale clare de timp necesare efectuarii tuturor activitatilor care trebuie efectuate;
- depasirea intervalului de timp specificat activitatilor care trebuie executate implica lansarea in executie a altor activitati speciale numite „exceptii”;
- asigurarea concurentei programelor (taskurilor) prin utilizarea mecanismelor de comutare;
- reactia SCR la stimuli externi se realizeaza prin utilizarea metodelor specifice de masura si control;
- aspectele legate de integrarea SCR sunt mult mai critice decat in cazul altor categorii de sisteme de calcul;
- pentru implementarea SCR trebuie alese limbajele de programare dedicate conducerii in timp real.

Elementele care trebuie luate in considerare in cazul implementarii unor sisteme de conducere in timp real sunt:

- viteza de raspuns a sistemului de calcul;
- utilizarea sistemelor multitasking;
- asigurarea sincronizarii componentelor cu timpul fizic si intre ele;
- determinismul;
- adaptabilitatea si flexibilitatea programelor de conducere;
- stabilitatea programelor de conducere.

Fazele dezvoltarii unui program de conducere in timp real sunt:

- *specificarea cerintelor functionale si structura hardware a sistemului de calcul* – se precizeaza functiile si sarciniile pe care sistemul de calcul trebuie sa le indeplineasca astfel incat sa poata fi asigurata conducerea procesului vizat, stabilindu-se si structura hardware (memorie, module de achizitie si control etc.) corespunzatoare.

- *stabilirea algoritmilor de conducere utilizati* – stabilirea algoritmilor de conducere tinand cont de tipul aplicatiei, respectiv de cerintele functionale.
- *stabilirea cerintelor software ale sistemului de calcul* - se stabileste limbajul de programare utilizat pentru implementare tinand cont de structura hardware stabilita;
- *proiectarea logica a programelor de conducere* - analizand modelul sistemului de conducere, se stabilesc numarul si activitatile taskurilor, definindu-se interfetele si mecanismele de sincronizare dintre ele, tinand cont de viteza de lucru si capacitatea de memorie a sistemului de calcul.
- *codificarea si depanarea programelor de conducere* – se realizeaza utilizand un limbaj de programare adecvat, respectiv un compilatorul corespunzator. Aceasta faza se poate realiza si pe un alt sistem de calcul decat cel dedicat conducerii;
- *instalarea, testarea, evaluarea si masurarea performantelor sistemului de conducere* – in aceasta faza programele de conducere elaborate sunt instalate pe sistemul de calcul dedicat conducerii, urmarindu-se testarea in conditii reale a programelor de conducere.

In literatura de specialitate [LJ06][Glei03][HL04][YGG03][KSH05] acest subiect al implementarii programelor de conducere in timp real este tratata pe larg propunandu-se o mare varietate de solutii care depind atat de sistemul de calcul ales cat si de sistemul de operare folosit. In prezent se incearca o standardizare a acestor solutii [Stand04][Stand05] [GG06].

In cadrul acestei lucrari sunt abordate doua metode de implementare:

- bazata pe utilizarea unui sistem de calcul industrial, echipat cu interfetele aferente conducerii unui proces industrial (modul de achizitie de tip INTERBUS) pe care ruleaza sistemul de operare in timp real (SOTR) QNX, ca mediu de dezvoltare fiind utilizat limbajul WATCOM C.
- bazata pe utilizarea automatelor programabile (PLC) de tip Siemens SIMATIC S7-414, ca mediu de dezvoltare fiind utilizat limbajul STEP 7.

Deoarece in capitolele 2 si 3 au fost tratate doua metode de modelare a sistemelor cu evenimente discrete (utilizand modele de tip automat, respectiv utilizand modele de tip retele Petri) abordarea modului de implementare a programelor de conducere se face corespunzator celor doua directii. Astfel, pentru modelele de tip automat a fost utilizata pentru implementare prima metoda) iar pentru modelele de tip retele Petri a fost utilizata a doua metoda).

4.2. Implementarea modelelor de tip automat in sistemul de operare in timp real QNX

4.2.1. Capabilitatile SOTR QNX [QNX00]

Implementarea modelelor de tip automat se bazeaza pe capabilitatile oferite de catre SOTR QNX.

Pentru a putea prezenta modul de implementare a modelelor de tip automat, trebuie facute, in prealabil cateva precizari legate de modul de lucru al SOTR QNX.

4.2.1.1. Mecanismele de comunicare interprocese

SOTR QNX pune la dispoziția utilizatorului o serie de mecanisme, extrem de puternice, prin intermediul cărora se poate asigura comunicarea între taskuri. Aceste mecanisme sunt sintetizate în cele ce urmează:

- comunicare intertaskuri prin mesaje;
- comunicare intertaskuri prin intermediul proxies;
- comunicare intertaskuri prin intermediul semnalelor;
- comunicare intertaskuri prin intermediul semafoarelor.

Pe lângă aceste mecanisme, SOTR QNX mai pune la dispoziție un mecanism de transfer al datelor prin intermediul memoriei partajate (shared memory).

În QNX, un mesaj este constituit dintr-un pachet de octeți care sunt transmiși sincron de la un proces la altul. Pe parcursul comunicării, la conținutul mesajului transmis nu se atașează nimic, acesta având sens numai pentru emițător și receptor.

Pentru construirea unui canal de comunicație directă între procese, utilizând limbajul WATCOM C ca mediu de dezvoltare, se utilizează următoarele funcții:

- *Send(...)* – pentru emiterea de mesaje către receptor;
- *Receive(...)* – pentru recepționarea mesajelor emise;
- *Reply(...)* – pentru confirmarea primirii de către receptor a mesajului transmis de către emițător.

Aceste trei funcții au un caracter general de valabilitate, putând fi utilizate atât pentru comunicațiile locale între procese, cât și pentru comunicațiile între procese care rulează pe noduri diferite (în rețea). Funcțiile *Send()*, *Receive()*, *Reply()* nu sunt necesare în cazul în care nu se dorește ca procesul să comunice direct cu un alt proces.

• **Funcția *Send()***

Această funcție este folosită în cazul în care se dorește transmiterea unui mesaj între procese. Prototipul funcției este:

Send(pid, msg, rmsg, msg_len, rmsg_len).

Utilizarea funcției implică stabilirea unor valori pentru argumente, *pid* - reprezintă ID-ul procesului căruia îi este destinat mesajul. Orice proces este cunoscut de către sistemul de operare și de către alt proces după identificatorul *pid*. *Send()*, fiind o funcție de transmitere a unui mesaj, are un câmp destinat mesajului.

Conținutul mesajului se găsește în bufferul mesajului, cunoscut prin *msg*. În urma recepționării unui mesaj, procesul destinație trimite la rândul lui un mesaj de răspuns prin funcția *Reply()* care va fi recepționat în bufferul desemnat de *rmsg*. În momentul transmiterii unui mesaj de către un proces, acesta va transmite pe lângă mesaj și lungimea acestuia prin argumentul *msg_len*. Lungimea mesajului de răspuns nu poate să depășească lungimea maximă impusă de emițor prin argumentul *rmsg_len* al funcției *Send()*.

• **Funcția *Receive()***

Un proces este pregătit să recepționeze un mesaj după executarea funcției *Receive()*.

Condițiile în care un mesaj poate fi recepționat sunt impuse prin intermediul parametrilor funcției. Prototipul funcției este prezentat în continuare:

Receive(pid, 0, msg, msg_len).

Argumentul *pid* conține ID-ul procesului care a transmis mesajul, cunoscându-se astfel locul unde trebuie transmis răspunsul de confirmare al recepționării mesajului. Dacă al doilea argument are valoarea 0 este precizat faptul că se acceptă mesaje de la orice proces. Argumentul *msg* conține adresa bufferului unde mesajul transmis va fi recepționat de către procesul receptor. Lungimea maximă a mesajului care va putea fi preluat în bufferul de recepție al unui proces este impusă prin intermediul argumentului *msg_len*.

• Funcția *Reply()*

Această funcție este folosită pentru confirmarea către un proces că mesajul transmis de el a fost recepționat. Funcția este executată de către procesul receptor. Prototipul funcției este următorul:

Reply(pid, reply, reply_len).

Primul argument, *pid*, reprezintă ID-ul procesului căruia trebuie să-i fie transmis mesajul de răspuns și confirmare a recepției. Bufferul mesajului de răspuns este precizat prin intermediul argumentului *reply*. Mesajele transmise ca răspuns nu pot avea o lungime mai mare ca cea impusă cu ajutorul argumentului *reply_len*.

Între cele trei funcții se stabilește o regulă pe baza lungimii mesajului transmis și recepționat. Mesajul transmis de emitor va avea lungimea precizată prin argumentul *msg_len* al funcției *Send()*, dar receptorul va prelua mesaje de lungimea precizată de argumentul *msg_len* al funcției *Receive()*. Dimensiunea mesajului de confirmare al recepționării este dată prin argumentul *reply_len* al funcției *Reply()*. Acest mesaj este destinat procesului emitor, care a impus prin argumentul *rmsg_len* al funcției *Send()* care este dimensiunea mesajului așteptat la confirmarea recepției.

Folosirea celor trei funcții este cunoscută sub denumirea de mecanismul send-receive-reply. În figura 4.1. este prezentată o secvență simplă a evenimentelor care au loc în cazul utilizării mecanismului send-receive-reply pentru a asigura comunicația între două procese A și B.

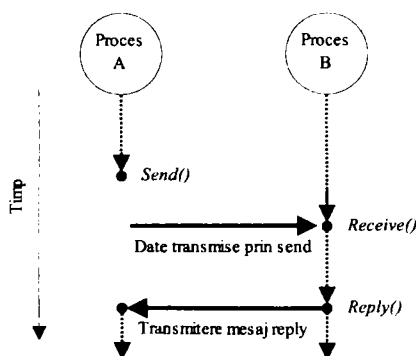


Figura 4.1. Comunicația simplă între două procese A și B utilizând mecanismul send-receive-reply

Etapele prin care se trece în executarea acestui mecanism sunt:

- Procesul A considerat emitor trimite un mesaj către procesul B considerat receptor și care va fi identificat prin argumentul *pid* al funcției *Send()*. Ca urmare, se emite o cerere *Send()* către microkernel. Mesajul transmis se va regăsi în bufferul desemnat prin argumentul *msg* și va fi destinat procesului receptor. Procesul A va fi blocat în emiterie (*send-blocked*) până în momentul în care procesul B execută funcția *Receive()* și astfel recepționează mesajul.
- După ce procesul B execută funcția *Receive()* și recepționează mesajul în bufferul desemnat prin argumentul *msg* al funcției, procesul A va intra în starea blocat la răspuns (*reply-blocked*). Până în momentul recepționării mesajului transmis de procesul A, procesul B nu este blocat. Dacă procesul B execută funcția *Receive()* înainte de transmiterea mesajului, de către procesul A, el intră în starea blocat la recepție (*receive-blocked*) până la sosirea mesajului. În acest caz procesul A va intra și el direct în starea blocat la răspuns (*reply-blocked*) după transmiterea mesajului.
- În urma recepționării mesajului transmis de procesul A, procesul B emite un răspuns prin intermediul funcției *Reply()*. Procesul căruia îi este destinat mesajul de răspuns este cunoscut după ID-ul precizat de argumentul *pid* al funcției. Mesajul de răspuns al procesului B este transmis procesului A care părăsește starea de blocare și devine apt de rulare. Funcția *Reply()* nu conduce la blocarea procesului care a executat-o, astfel încât și procesul B este apt de rulare. Procesul care va intra în rulare depinde de prioritatea relativă asociată lui.

4.2.1.2. Sincronizarea proceselor

Din ansamblul activităților pe care le comportă un proces, unele sunt legate de anumite evenimente realizate de alte procese. Astfel, este necesară sincronizarea acțiunilor proceselor. Deși message-passing nu este singura metodă prin care datele pot fi transferate între procese, ea este cea mai bună metodă prin care se poate asigura sincronizarea operațiilor executate pentru mai multe procese cooperante. Sincronizarea proceselor se realizează prin procese de blocare și deblocare.

Dacă un proces A emite o cerere *Send()*, acesta va trece într-o stare de blocare până la recepția mesajului de răspuns generat de procesul B către care s-a efectuat transmisia. Astfel, procesului A îi este confirmat faptul că procesul receptor al mesajului a primit mesajul său. Este evitată în acest fel efectuarea de operații fără acordul altor procese implicate. Pe de altă parte, un proces B poate fi blocat, prin intermediul funcției *Receive()*, până la recepționarea unui mesaj de la un alt proces. Prin metoda message-passing se menține ordinea în cadrul executării acțiunilor mai multor procese.

4.2.1.3. Stările proceselor în cazul utilizării comunicatiei interprocese prin intermediul mesajelor

Orice proces se poate afla într-una din stările blocat sau neblocat. Un proces se spune că este blocat când acesta nu este apt să-și continue execuția deoarece trebuie să aștepte terminarea unei secvențe a protocolului de comunicație. Secvențele protocolului de comunicație sunt determinate în raport cu cele trei funcții, *Send()*, *Receive()*, *Reply()*, cunoscându-se trei stări de blocare: blocat la

transmisie (send-blocked), blocat la recepție (receive-blocked) și blocat la răspuns (reply-blocked).

Un proces este blocat la transmisie atât timp cât în urma cererii *Send()*, a transmis un mesaj care nu a fost încă recepționat de către procesul destinație. Un proces este blocat la răspuns în urma efectuării cererii *Send()*, atât timp cât procesul destinație a recepționat mesajul, dar nu a răspuns încă. Un proces este blocat la recepție dacă în urma efectuării unei cereri *Receive()* încă mai așteaptă mesajul.

În figura 4.2 este prezentată diagrama de stări pentru tranzițiile mecanismului send-receive-reply.

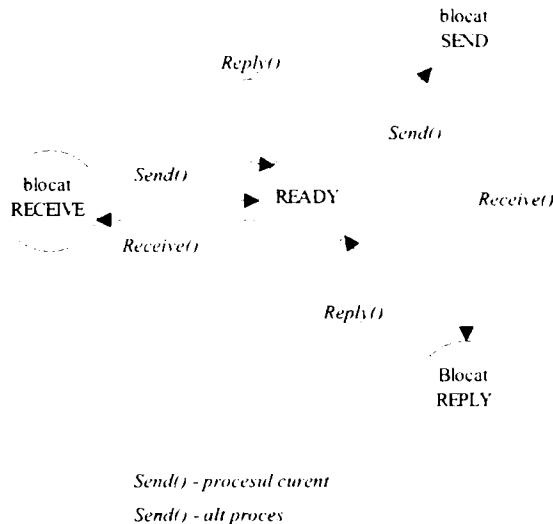


Figura 4.2. Diagrama de stări pentru tranzițiile mecanismului *send-receive-reply*

4.2.1.4. Comunicatia între procese prin intermediul memoriei partajate

Dupa cum rezulta din prezentarea mecanismelor de transfer între taskuri (paragraful 4.2.1.1) prin utilizarea mecanismului *Send - Reply* volumul datelor vehiculate este relativ mic. Marirea volumului de date transferate, se poate rezolva, în principiu, pe două cai:

- prin utilizarea fișierelor temporale - problemele care pot să apară sunt legate de viteza de lucru, care depinde în cea mai mare măsură de viteza de lucru a echipamentelor periferice (*discul fix - hard-disk*);
- prin utilizarea memoriei partajate - SHM- *shared memory* -

Soluția abordată în continuare se bazează pe utilizarea mecanismului de transfer al datelor prin SHM, soluție care se consideră ca fiind cea mai eficientă.

Acest mecanism se bazează pe definirea în memoria sistemului a unei zone speciale, care reprezintă în fapt o zonă de memorie tampon, utilizată de taskuri pentru depunere (scriere) respectiv preluare (citire) de date. În figura 4.3 se prezintă structura unui sistem multitasking care utilizează SHM.

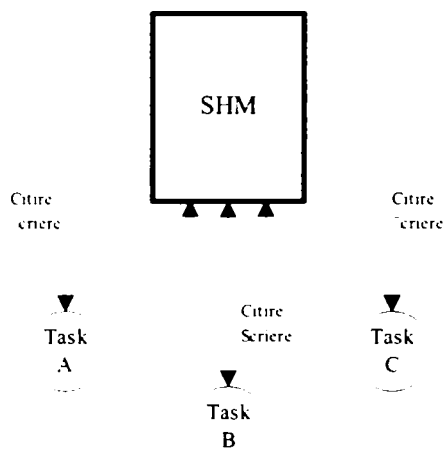


Figura 4.3. Structura SHM intr-un sistem multitasking

În cazul utilizării SHM trebuie făcută precizarea că structurile de date folosite (tipurile de date) trebuie să fie aceleași pentru toate taskurile care au acces la SHM considerată.

Într-o aplicație este posibilă utilizarea mai multor zone SHM diferite, numerele și dimensiunile sunt limitate numai de capacitatea memoriei sistemului de calcul. În cazul unei aplicații care utilizează mai multe zone SHM, accesul taskurilor la zonele declarate nu este limitat, astfel încât un task poate avea acces la toate zonele SHM declarate. În figura 4.4 se prezintă un sistem multitasking cu mai multe zone SHM.

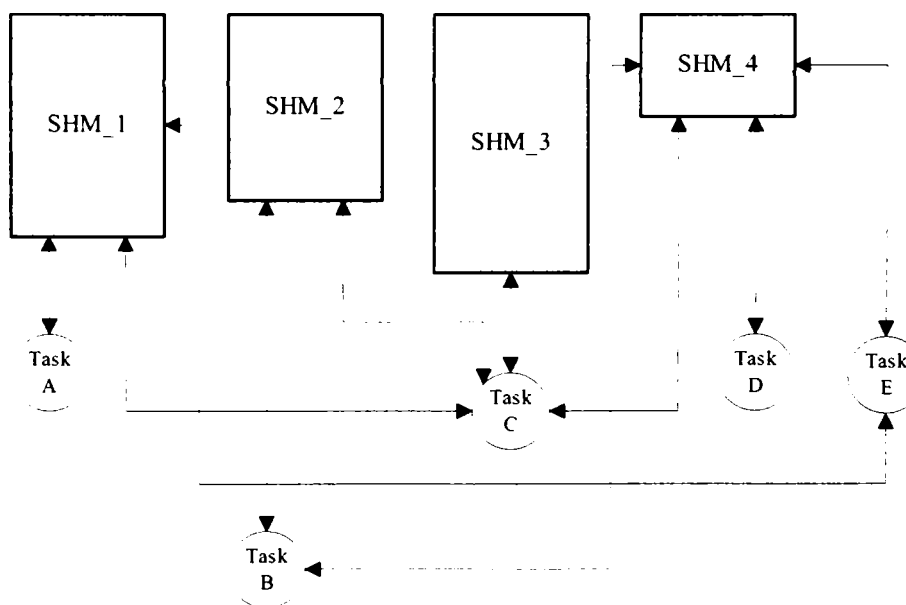


Figura 4.4. Sistem multitasking cu mai multe zone SHM

Pentru operarea cu SHM mediul de dezvoltare WATCOM C pune la dispozitie o serie de functii specifice [QNX_C05]. In tabelul 4.1 sunt prezentate functiile utilizate si rolul lor in cazul operarii cu SHM.

Tabelul 4.1. Functiile corespunzatoare operarii cu SHM

Nume Functie	Comentariu
<i>shm_open</i>	Functie cu ajutorul careia se creaza o zona SHM sau se asigura conectarea unui task la aceasta. O zona SHM este creata o singura data de catre un task, celelalte taskuri avand doar posibilitatea de conectare.
<i>ltrunc</i>	Functie cu ajutorul careia se seteaza dimensiunea zonei SHM create cu <i>shm_open</i> . Aceasta operatie este executata o singura data in momentul creerii zonei SHM
<i>mmap</i>	Functie cu ajutorul careia se mapeaza zona SHM. Valoarea returnata de aceasta functie este un pointer la zona de inceput al SHM. Aceasta functie este utilizata de toate taskurile care au acces la zona SHM.

4.2.1.3. Dispecerizarea proceselor

Dispecerul kernelului SOTR QNX ia decizii in situatia in care:

- un proces devine apt pentru rulare
- perioada de timp alocată unui proces aflat în rulare expiră
- un proces aflat în rulare pierde procesorul.

În sistemul de operare QNX fiecărui proces îi este asignată o prioritate. Pentru citirea și setarea priorității unui proces se utilizează funcțiile: *getprio()*, respectiv *setprio()*. Prioritățile asignate proceselor iau valori de la 0 (prioritatea cea mai scăzută) la 31 (prioritatea cea mai ridicată), unui proces nou creat atribuindu-se implicit prioritatea de valoare 10.

Pentru exemplificarea modurilor de dispecerizare, se prezintă cazul în care șase procese (A, B, C, D, E și F) se află în starea ready, iar restul proceselor (G...Z) se află în starea blocat (vezi figura 4.5). Procesele au priorități diferite, procesul A aflându-se în rulare. După finalizarea acestui proces se trece la realizarea celorlalte procese, în ordinea în care sunt găsite în coada de așteptare. În cazul considerat urmeaza procesul B, apoi procesele C, D, E și F. Chiar dacă procesele E și F au o prioritate mai mică decât procesele G...Z, se vor executa înaintea lor, deoarece acestea din urmă se află în starea blocat. În figura 4.5 este prezentată dispecerizarea proceselor din cazul considerat.

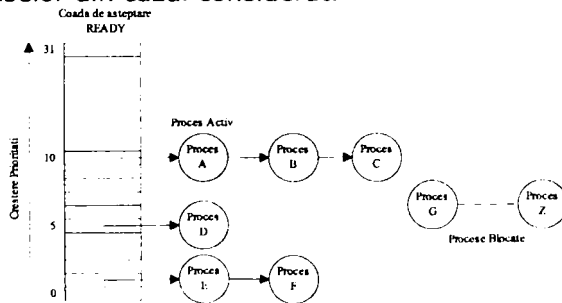


Figura 4.5. Exemplu de dispecerizarea proceselor

Există trei tipuri de baza de dispekerizare pe care kernelul le folosește în funcție de nevoile aplicațiilor care rulează:

- Dispekerizarea de tip FIFO
- Dispekerizarea prin rotație
- Dispekerizarea adaptivă.

Aceste metode de dispekerizare se aplică în cazul în care două sau mai multe procese care au aceeași prioritate se află în starea ready. Dacă un proces cu o prioritate mai mare trece în starea ready, acesta va intra în rulare, eliminând procesele cu priorități mai mici decât a lui.

În figura 4.6 se prezintă situațiile unor procese de prioritate egală, aflate în starea ready.

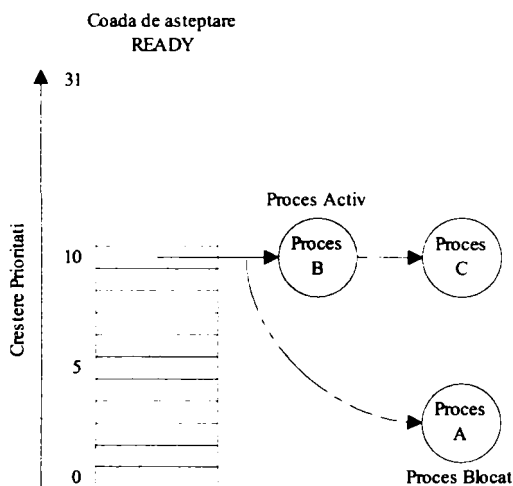


Figura 4.6. Dispekerizarea proceselor de aceeași prioritate

Procesele A, B și C au aceeași prioritate. Dacă toate se află în starea *ready*, primul proces care va fi rulat va fi procesul A. Dacă procesul A se blochează, în continuare va fi rulat procesul B, apoi procesul C și în continuare celelalte procese de prioritate mai mică (dacă există).

Există posibilitatea de a afla tipul dispekerizării active la un moment dat prin utilizarea funcției *getscheduler()*, sau se poate chiar opta pentru o anumită formă de dispekerizare prin utilizarea funcției *setscheduler()*.

- **Dispekerizarea de tip FIFO.** Când este activă această formă de dispekerizare, un proces care a ajuns la procesor este rulat în continuare până când cedează controlul altui proces în mod voluntar, sau până când este înlocuit de un proces mai prioritar (vezi figura 4.7). Două procese care au aceeași prioritate pot folosi dispekerizarea de tip FIFO pentru a asigura excluderea mutuală la o resursă partajată. Nici un proces nu va fi înlocuit de un alt proces atât timp cât el se află în rulare, indiferent de prioritățile lor. De exemplu, dacă două procese împart un segment de memorie, fiecare dintre ele pot utiliza această segment fără a apela vre-un semafor care să asigure excluderea mutuală.

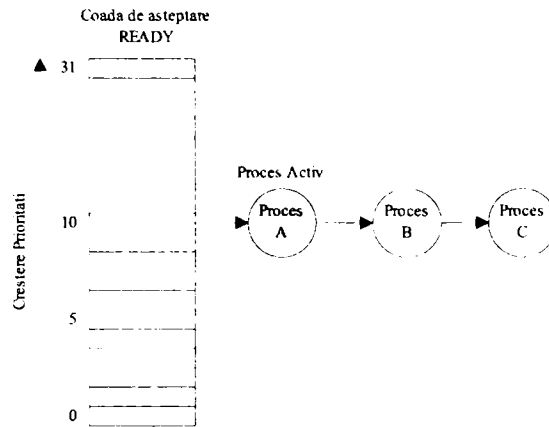


Figura 4.7. Dispecerizarea proceselor prin metoda FIFO

- **Dispecerizarea prin rotație.** Această formă de dispecerizare presupune existența unei liste unice de așteptare la procesor, în care sunt înscrise toate procesele aflate în starea ready la un moment dat (vezi figura 4.8). Dispecerul alege întotdeauna procesul pe care-l găsește în prima poziție a listei, iar după procesul este trecut în coada listei.

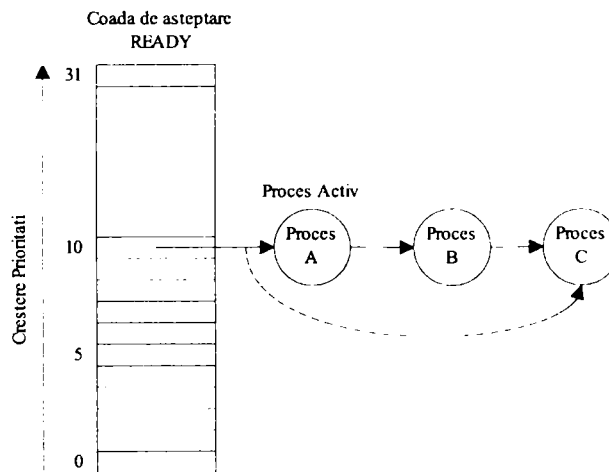


Figura 4.8. Dispecerizarea proceselor prin rotație

- **Dispecerizarea adaptivă.** Se caracterizează prin următoarele:
 - Când un proces își consumă perioada de timp alocată, prioritatea lui este decrementată cu un nivel, dacă există alt proces cu aceeași prioritate aflat în starea ready.
 - Dacă procesul a cărui prioritate a decăzut rămâne nedispecerizat timp de o secundă, prioritatea lui este incrementată cu un nivel, dar nu se va efectua niciodată o ridicare a priorității peste nivelul original.
 - În cazul în care procesul se blochează, acesta este adus la prioritatea originală.

Dispecerizarea adaptivă (vezi figura 4.9) este indicată pentru medii în care procesele din background-ul sistemului împart resursele calculatorului cu procese server interactive. Această metodă de dispecerizare este activă pentru programele create prin *shell*.

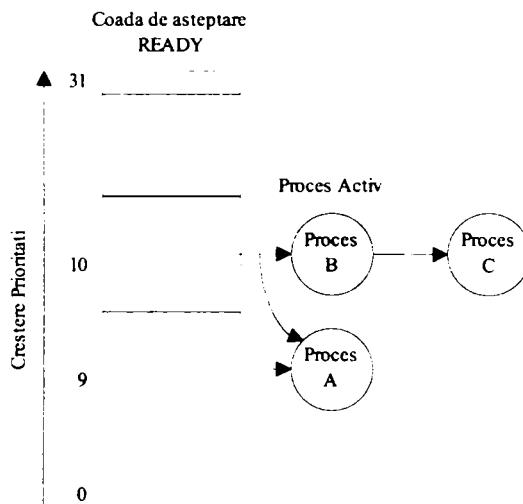


Figura 4.9. Dispecerizarea proceselor prin metoda adaptiva

4.2.1.6. Starile unui proces

Un proces se afla intotdeauna intr-una din urmatoarele stari:

- READY – procesul este capabil sa utilizeze unitatea centrala de prelucrare (UCP) – nu este in asteptarea unui eveniment ci asteapta eliberarea procesorului;
- BLOCAT – procesul se afla in una din urmatoarele stari blocante:
 - blocat de SEND;
 - blocat de RECEIVE;
 - blocat de REPLY;
 - blocat de SIGNAL
 - blocat de SEMAPHORE.
- HELD – procesul a receptionat un semnal de tip SIGSTOP. Pana cand procesul nu este scos din starea HELD el nu va putea prelua controlul asupra procesorului (nu va intra in rulare). Singura metoda de scoatere din starea HELD este aceea de receptionare a un semnal SIGCONT sau de terminare a procesului prin intermediul unui semnal specific;
- blocat de WAIT – procesul a executat o functie de tipul *wait()* sau *waitpid()* pentru a astepta primirea unor informatii despre starea unuia sau mai multor procese de tip *child*.
- DEAD – procesul este incheiat, dar nu poate trimite starea corespunzatoare procesului parinte deoarece acesta din urma nu a executat o functie *wait()* sau *waitpid()*. Un proces DEAD are o stare activa, memoria alocata lui nefiind eliberata. Un proces DEAD se mai numeste si proces *zombie*.

In figura 4.10 se prezinta starile posibile si mecanismele de comutare a starilor corespunzatoare unui proces in SOTR QNX.

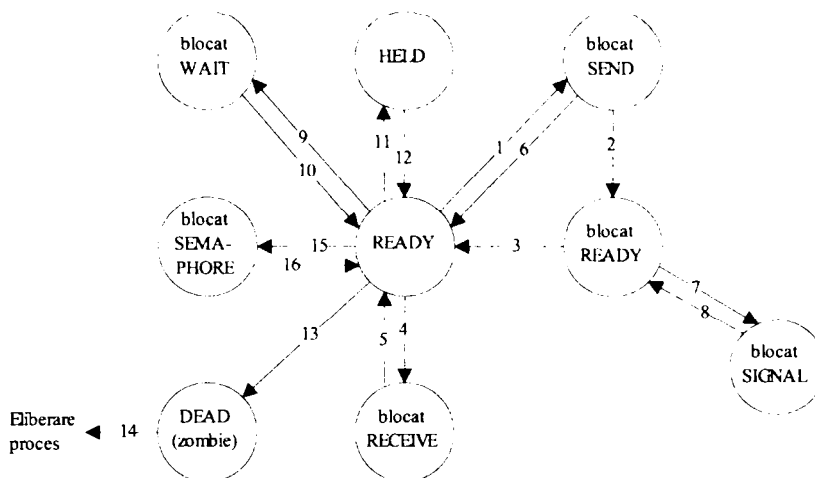


Figura 4.10 Stările posibile ale unui proces în SOTR QNX

Tranzactiile din figura 4.10 sunt urmatoarele:

1. Procesul trimite un mesaj.
2. Procesul destinat a receptionat mesajul.
3. Procesul destinat trimite mesajul *reply* de confirmare a receptiei.
4. Procesul asteapta un mesaj.
5. Procesul a receptionat un mesaj.
6. Semnal de deblocare a procesului.
7. Semnal de incercare a deblocarii procesului; destinatarii a cerut „prinderea” unui semnal.
8. Procesul destinat a receptionat semnalul.
9. Procesul asteapta terminarea unui proces *child*.
10. Procesul *child* terminat, sau receptionarea unui semnal de deblocare.
11. Aparitie semnal SIGSTOP.
12. Aparitie semnal SIGCONT.
13. Proces terminat
14. Procesul parinte asteapta terminarea, sau procesul in cauza s-a incheiat singur.
15. Procesul apeleaza functia *semwait()* pentru determinarea unei stari negative corespunzatoare unui semafor.
16. Un alt proces apeleaza functia *sempost()*, sau a fost receptionat un semnal nemascat.

4.2.2. Implementarea în SOTR QNX a unui STZA pe baza modelelor de tip automat [Ung01][Ung02][Ung05][Ung06a]

Se considera un STZA a carui structura este prezentata în figura 4.11.

Sistemul este constituit din 5 noduri conectate între ele, nodurile N1, N3 și N4 sunt noduri de tip 1, nodul N2 este nod de tip 4 și nodul N5 este nod de tip 2.

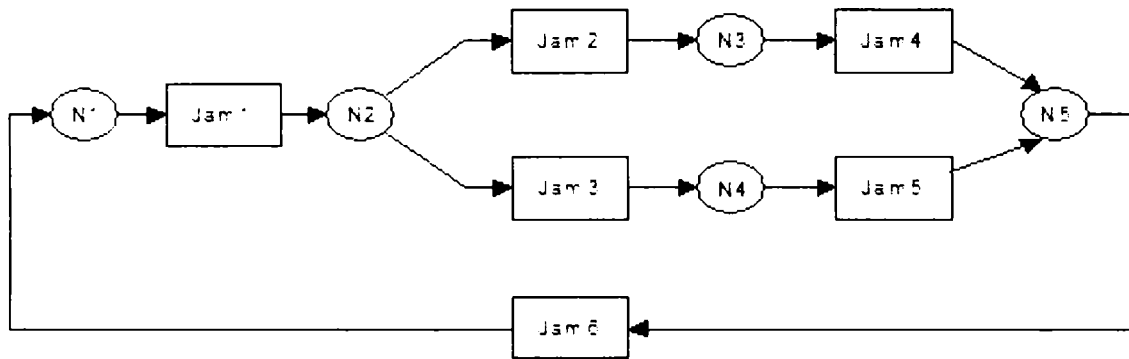


Figura 4.11. Structura STZA considerat

Fiecare nod este conectat la numărul de jam-uri corespunzătoare. Structura de date a unui jam este prezentată în tabelul 4.2.

Tabelul 4.2. Structura de date ale unui jam

Nume	Tip	Comentariu
JAM_ID	STRING	Identificatorul jam-ului
JAM_Cap	INT	Capacitatea maximă a jam-ului
JAM_Count	INT	Numărul curent de elemente din jam

Structura de date corespunzătoare declarată în WATCOM_C [WATC00] este:

```
//structura corespunzătoare a unui Jam
typedef struct{
    char Jam_ID[10];
    int Jam_Val;
    int Jam_Count;
}Jam;
```

Modul de conectare a taskurilor este prezentată în figura 4.12.

Pentru fiecare tip de nod utilizat a fost implementat un task corespunzător. Astfel, pentru nodul de tip 1 a fost dezvoltat taskul NT1, pentru nodul de tip 2 taskul NT2 iar pentru nodul de tip 4 taskul NT4. Într-o primă etapă se urmărește modul de implementare a mecanismelor de comunicare intertaskuri. Trebuie făcută precizarea că în cadrul sistemului, taskul NT1 este utilizat de trei ori fără a avea trei programe distincte. În SOTR QNX vor rula trei taskuri de tip NT1, dar aceste taskuri sunt parametrizate individual prin linia de comandă de lansare în execuție, după cum urmează:

NT1 *nume_nod jam_in jam_out*

unde:

- NT1 – reprezintă taskul corespunzător nodului de tip 1;
- *nume_nod* – este numele atașat nodului corespunzător pentru identificarea acestuia în sistem. Pentru nodul 1 numele atașat este *nod1*, pentru nodul 3 *nod3* iar pentru nodul 4 *nod4*.

- *jam_in* – numele jamului de intrare. Pentru nodul 1, *Jam6*, pentru nodul 3, *Jam2* si pentru nodul 4, *Jam3*.
- *jam_out* – numele jamului de iesire. Pentru nodul 1, *Jam1*, pentru nodul 3, *Jam4* si pentru nodul 4, *Jam5*.

Existenta in sistem a mai multor taskuri de acelasi tip (de ex. NT1), nu ridica probleme din punct de vedere al rularii deoarece fiecare task este rulat separat, la lansarea in executie ele primind un *pid* corespunzator.

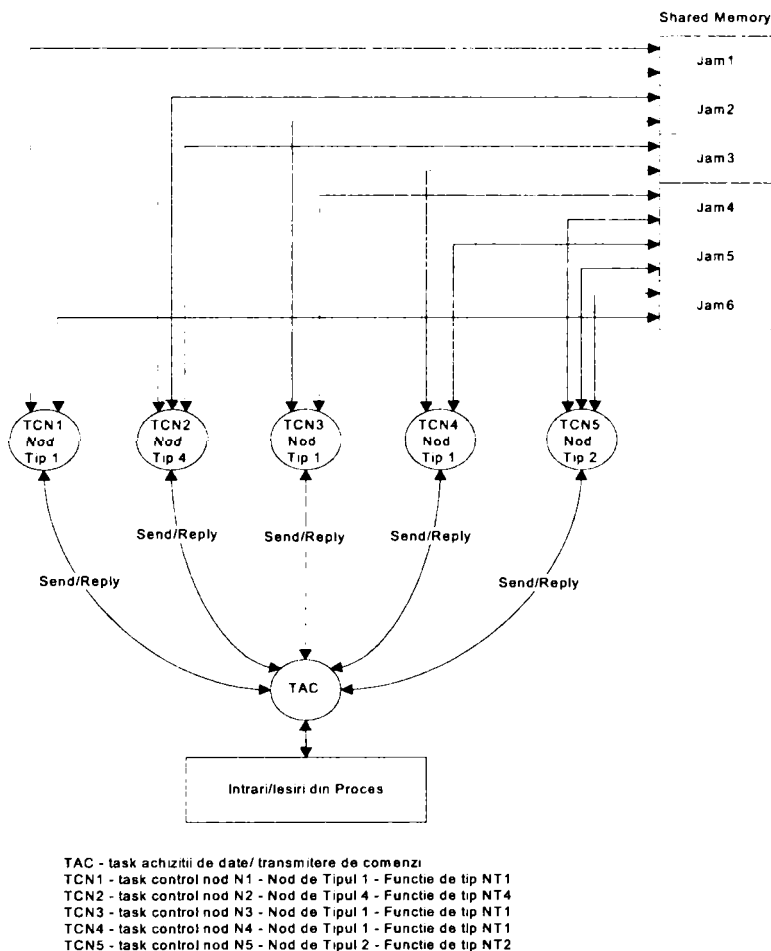


Figura 4.12. Modul de conectare a taskurilor si transferul informatiei

In cazul nodului 2, nod de tip 4, implementarea s-a realizat in taskul NT4, parametrizarea taskului fiind facuta prin intermediul liniei de comanda:

```
NT4 nume_nod jam_in jam_out1 jam_out2
```

unde:

- NT4 – reprezinta taskul corespunzator nodului de tip 4;
- *nume_nod* – este numele atasat nodului corespunzator pentru identificarea acestuia in sistem. Pentru nodul 2 numele atasat este *nod2*.
- *jam_in* – numele jamului de intrare, in acest caz *Jam1* .
- *jam_out1* – numele primului jam de iesire, in acest caz *Jam2* .

- *jam_out2* – numele celui de al doilea jam de iesire. In acest caz *Jam3* .

In cazul nodului 5 nod de tip 2, implementarea s-a realizat in taskul NT2, parametrizarea taskului fiind facuta prin intermediul liniei de comanda:

```
NT2 nume_nod jam_in1 jam_in2 jam_out
```

unde:

- NT2 – reprezinta taskul corespunzator nodului de tip 2;
- *nume_nod* – este numele atasat nodului corespunzator pentru identificarea acestuia in sistem. Pentru nodul 5 numele atasat este *nod5*.
- *jam_in1* – numele primului jam de intrare, in acest caz *Jam4* .
- *jam_in2* – numele celui de al doilea jam de intrare. In acest caz *Jam5*.
- *jam_out* – numele jamului de iesire, in cazul considerat *Jam6* .

Pentru achizitia de date, respectiv generarea comenzilor (citirea starilor sensorilor respectiv generarea comenzilor catre elementele de executie), s-a implementat un task separat denumit TAC. Aceasta solutie de implementare (utilizarea unui task specializat in achizitia de date respectiv generarea de comenzi) este viabila datorita faptului ca datele (starea sensorilor) sunt citite cu o anumita periodicitate ($T=20$ msec), asigurandu-se o citire simultana a tuturor sensorilor din sistem. O citire separata (fiecare task in parte) nu este utila deoarece in acest caz pot aparea desincronizari generate de timpul de executie al acestor sectiuni. Prin utilizarea taskului TAC aceste neajunsuri au fost eliminate, toate taskurile care controleaza nodurile primind informatii despre starea sensorilor in acelasi moment de timp.

Taskul TAC are rolul, de a supraveghea intrarile si de a transmite catre taskurile care controleaza nodurile valorile aferente cu o cadenta de 20 msec, caz in care se asigura citirea sensorilor si transmiterea starii lor catre taskul destinatie, prin mecanismul *Send-Reply*. In cazul receptionarii unui *Reply* in corpul mesajului sunt transmise comenzile care trebuiesc transferate elementelor de executie.

Structura modului de alocare a sensorilor este citita direct de catre TAC dintr-un fisier *sistem.ini* si este memorata intr-o zona de memorie alocata dinamic.

Structura fisierului *sistem.ini* corespunzator sistemului considerat este:

```
%Tip Nod, Nume Nod, Sensori
NT1,nod1,IN=I1.0,OUT=O1.0,FULL=I1.1;
NT4,nod2,REF=I2.0,ID=I2.1,IN=I2.2,OUT1=O2.0,OUT2=O2.1,FULL1=I2.3,FULL2=I
2.4;
NT1,nod3,IN=I3.0,OUT=O3.0,FULL=I3.1;
NT1,nod4,IN=I4.0,OUT=O4.0,FULL=I4.1;
NT2,nod5,IN1=I5.0,IN2=I5.1,OUT=O5.0,FULL=I5.2;
end_nod;

%Numar jamuri sistem
Nr_Jamuri = 6;
%Declarare jamuri: Nume Jam, Capacitate Maxima, Valoare initiala
Jam1,5,0;
Jam2,5,0;
Jam3,5,0;
Jam4,5,0;
Jam5,5,0;
Jam6,5,5;
end_jam;
End;
```

unde :

- I *oct.bit* – reprezinta intrarea I, corespunzatoare octetului *oct* bitul *bit* al magistralei INTERBUS utilizate [INTERBUS_05].
- O *oct.bit* – reprezinta iesirea O, corespunzatoare octetului *oct* bitul *bit* al magistralei INTERBUS utilizate [INTERBUS_05].

Referitor la modul de transfer al informatiei intre taskuri, se face precizarea ca intre taskurile care controleaza nodurile si taskul de achizitie si generare de comenzi se foloseste mecanismul *Send-Reply*, iar intre taskurile nodurilor se foloseste memoria partajata (jam-urile fiind implementate in shared memory).

Structura mesajelor *Send-Reply* are format fix tinand cont de numarul maxim de senzori. Structura unui mesaj Send este:

Tip_Nod	Nume_Nod	REF	IN1/ID	IN2	OUT1	OUT2	FULL1	FULL2
---------	----------	-----	--------	-----	------	------	-------	-------

In cazul nodurilor care au un singur senzor de intrare starea senzorului corespunzator este transmis prin intermediul campului IN1/ID, restul campurilor fiind ignorate la receptie. Acelasi lucru este valabil pentru senzorii de OUT si FULL, starea fiind transmisa prin campurile OUT1 respectiv FULL1.

Raspunsul de confirmare a taskurilor (*REPLY*) contine comenzile necesare elementelor de executie. Structura mesajului este:

Tip_Nod	Nume_Nod	CMD_Stoper1	CMD_Stoper2	CMD_Switch
---------	----------	-------------	-------------	------------

In cazul mesajului *REPLY*, care contine comenzile corespunzatoare elementelor de executie, in cazul existentei unui singur stoper, comanda este transmisa prin intermediul campului CMD_Stoper1. Campul CMD_Switch reprezinta comanda corespunzatoare a macazului (pentru nodurilor de tip 2 si 4).

Dupa cum s-a precizat anterior, transferul de date intre taskurile care controleaza nodurile se face prin intermediul unei zone SHM in care sunt implementate jamurile. Operatiile pe care taskurile le executa asupra datelor din SHM sunt de incrementare/decrementare a campului *JAM_count*. Responsabil cu crearea si initializarea zonei SHM care contine jamurile este taskul TAC. Conditii de creare a acestei zone SHM (numarul de jamuri) este transmisa taskului TAC tot prin intermediul fisierului *sistem.ini*. Modul de declarare a numarului si structurile corespunzatoare jamurilor din sistem este:

```
%Numar jamuri sistem
Nr_Jamuri = 6;
%Declarare jamuri: Nume Jam, Capacitate Maxima, Valoare initiala
Jam1,5,0;
Jam2,5,0;
Jam3,5,0;
Jam4,5,0;
Jam5,5,0;
Jam6,5,5;
end_jam;
```

Secventa de cod prin care se asigura crearea si initializarea zonei SHM este:

```

// Creare zona SHM cu numele jam_shm
fd = shm_open("jam_shm", O_RDWR | O_CREAT, 0777);
if (fd == -1) {
    cprintf("SHM Open failed\n");
    exit(1);
}
// Setare dimensiune jam_shm
if (ltrunc(fd, nr_jam*sizeof(Jam), SEEK_SET) == -1) {
    cprintf("ltrunc Error\n");
    exit(1);
}

// Mapare jam_shm
addr = mmap(0, nr_jam*sizeof(Jam), PROT_READ |
PROT_WRITE,MAP_SHARED, fd, 0);
if (addr == (void *) -1) {
    cprintf("mmap failed\n");
    exit(1);
}

//Initializare jam_shm
for(i=0;i<nr_jam;i++){
    strcpy(addr[i].Jam_ID, nume_jam[i]); //nume_jam[i] preluat din
memorie si obtinut dupa //procesarea fisierului
sistem.ini
    addr[i].Jam_Val = val_jam[i]; //val_jam[i] preluat din
memorie si obtinut dupa //procesarea fisierului
sistem.ini
    addr[i].Jam_Count = count_jam[i]; //count_jam[i] preluat din
memorie si obtinut dupa //procesarea fisierului
sistem.ini
}
//Inchide conexiune la jam_shm
close(fd);

```

Pentru ca intreg sistemul multitasking sa functioneze corect, fiecare task se „inregistreaza” in sistem sub un nume alocat (vezi lansarea in executie cu linie de comanda).

Primul task care se inregistreaza este TAC, el avand sarcina, de a crea zona SHM necesara. Secventa de cod corespunzatoare „inregistrarii” in sistem a taskului TAC este:

```

//atasare nume tac
id_tac = qnx_name_attach( 0, "tac" );
if( id_tac == -1 ) {
    printf("Attach TAC failed.\n" );
    return;
}

```

```

    }
//cautare procese
contor_procese:=0;
while(1){
    if(contor_procese == nr_jam){
        cprintf(„\n Toate procesele sunt pornite!");
        cprintf(„\n Incepe operatia de sincronizare a taskurilor!");
        break;
    }
//cautare proces task[contor_procese]
    for(;;){

pid_n[contor_procese]=qnx_name_locate(0,task[contor_procese],255,0);
        if(pid_n[contor_procese] != -1){
            cprintf("\nTaskul  %s este pornit pid:
%d",task[contor_procese],pid_n[contor_procese]);
            contor_procese++;
            break;
        }
        else{
            cprintf("\n Taskul  %s oprit",task[contor_procese]);
        }
    }
}

//trimitere mesaj de sincronizare
for(i=0;i<nr_jam;i++){
    sincro_noduri(pid_n[0],i+1);
}
cprintf("\n Sincronizare gata. Start transmisie date!");

```

Taskul TAC meoreaza intern (intr-o zona de memorie alocata dinamic), pentru fiecare nod in parte, toate informatiile legate de starile senzorilor si comenzile care trebuie transmise. Structura de date corespunzatoare este:

```

typedef struct{
    char    nod[10];
    int     tip_nod;
    short   ref;
    short   id;
    short   in1;
    short   in2;
    short   out1;
    short   out2;
    short   full1;
    short   full2;
    short   cmd_st1;
    short   cmd_st2;
    short   cmd_switch;
}Nod_Struct;

```

Secventa de cod prin care s-a implementat functia de sincronizare a nodurilor in taskul TAC este:

```
//functia sincro_noduri
void sincro_noduri(pid_t pid_nod,int nr_nod ){
    char msg_send_nod[255];
    char msg_rec_nod[255];
    char tmp_string[5];

    cprintf("\nTrimitere mesaj de sincronizare TAC - N%d...",nr_nod);
    itoa(nr_nod,tmp_string,10);
    strcpy(msg_send_nod,"Cerere Sincronizare TAC -N");
    strcat(msg_send_nod,tmp_string);

    Send(pid_nod,&msg_send_nod,&msg_rec_nod,sizeof(msg_send_nod),sizeof(msg
_rec_nod));
    cprintf("\n %s",msg_rec_nod);
    cprintf("\n Sincronizare gata Nod:N%d",nr_nod);
}
```

Dupa cum se observa din secventele de cod prezentate, toate taskurile corespunzatoare nodurilor trebuie „sa se afle in rulare”.

Conexiunea software dintre TAC si modulul INTERBUS se face prin intermediul unui driver specializat, transferul datelor realizandu-se prin intermediul unei zone SHM creata si gestionata de functii speciale [PhoenixWeb].

In cazul taskurilor de control, ale nodurilor, secventa prin care acestea se „inregistreaza” in sistem este identica. Secventa de cod pentru „inregistrare”, conectare la SHM si sincronizare este:

```
//verifica daca tac este pornit
pid_tac = qnx_name_locate(0,"tac",255,0);
while(pid_tac == -1){
    pid_tac = qnx_name_locate(0,"tac",255,0);
    cprintf("TAC nu este pornit!\n");
    cprintf("\nAsteapta pornire TAC...");
}

//atasare nume task – primit prin linia de comanda
id_nod=qnx_name_attach(0,argv[1]);
if(id_nod == -1){
    cprintf("Nume task nealocat!");
    exit(0);
}

// Conectare la jam_shm creata de TAC
fd = shm_open("jam_shm", O_RDWR , 0777);
if (fd == -1) {
    cprintf("jam_shm open failed\n");
    exit(1);
}
```



```

// Mapare la jam_shm
    addr = mmap(0, nr_jam*sizeof(Jam), PROT_READ |
PROT_WRITE,MAP_SHARED, fd, 0);
    if (addr == (void *) -1) {
        cprintf("mmap failed\n");
        exit(1);
    }

//Asteapta sincronizarea cu TAC
    Receive(pid_tac,&msg_rec_tac,sizeof(msg_rec_tac));
    cprintf("\n %s",msg_rec_tac);
    strcpy(msg_reply_tac,"Sincronizare TAC - NT1 gata!");
    Reply(pid_tac,&msg_reply_tac,sizeof(msg_reply_tac));

```

Modul de formare a mesajelor generate de TAC catre taskurile de control ale nodurilor, precum si preluarea comenzilor de la taskurile nodurilor este:

```

//transmisie date – in functia main
//formare mesaj
    for(;;){
        cprintf("\n Apasa X sau x pentru iesire din program...");
        comanda=getc();
        if(comanda == 'X' || comanda == 'x'){
            exit(0);
        }
        else{
            for(i=0;i<nr_nod;i++){
                send_data_nod(pid_n[i],&Noduri[i]);
            }
        }
    }

//functia pentru construirea si transmiterea mesajului
void send_data_nod(pid_t pid_nod,Nod_Struct *ValNod){
    char send_data[255];
    char rec_data[255];
    char tmp_string[10];

    if(ValNod->nod_tip == 1){
        strcpy(send_data,"NT1,");
        strcpy(tmp_string,ValNod->nod);
        strcat(send_data,tmp_string);
        strcat(send_data," ,IN=0,OUT=0,FULL=0");
        itoa(ValNod->in1,send_data[12],10);
        itoa(ValNod->out1,send_data[18],10);
        itoa(ValNod->full1,send_data[25],10);
    }
    if(ValNod->nod_tip == 2){
        strcpy(send_data,"NT2,");
    }

```

```

        strcpy(tmp_string,ValNod->nod);
        strcat(send_data,tmp_string);
        strcat(send_data,"IN1=0,IN2=0,OUT=0,FULL=0");
        itoa(ValNod->in1,send_data[13],10);
        itoa(ValNod->in2,send_data[19],10);
        itoa(ValNod->out1,send_data[25],10);
        itoa(ValNod->full1,send_data[32],10);
    }
    if(ValNod->nod_tip == 4){
        strcpy(send_data,"NT4,");
        strcpy(tmp_string,ValNod.nod);
        strcat(send_data,tmp_string);

strcat(send_data,"REF=0,ID=0,IN=0,OUT1=0,OUT2=0,FULL1=0,FULL2=0");
        itoa(ValNod.ref,send_data[13],10);
        itoa(ValNod.id,send_data[18],10);
        itoa(ValNod.in1,send_data[23],10);
        itoa(ValNod.out1,send_data[30],10);
        itoa(ValNod.out2,send_data[37],10);
        itoa(ValNod.full1,send_data[45],10);
        itoa(ValNod.full2,send_data[53],10);
    }
    Send(pid_nod,&send_data,&rec_data,sizeof(send_data),sizeof(rec_data));
//receptie prin REPLY
    if(ValNod->nod_tip == 1){
        ValNod->Cmd_st1=atoi(rec_data[21]);
    }

    if(ValNod->nod_tip == 2){
        ValNod->Cmd_st1=atoi(rec_data[21]);
        ValNod->Cmd_st2=atoi(rec_data[34]);
        ValNod->Cmd_switch=atoi(rec_data[47]);
    }
    if(ValNod->nod_tip == 4){
        ValNod->Cmd_st1=atoi(rec_data[21]);
        ValNod->Cmd_switch=atoi(rec_data[34]);
    }
}

```

4.2.3. Implementarea nodurilor

4.2.3.1. Taskul NT1 - Nodul de tip 1

Implementarea Nodului de tip 1 are la baza structura automatului stabilita in paragraful 2.4.2.1.1. In fiecare stare se controleaza conditiile de executie a unei tranzitii, generandu-se comenzile corespunzatoare de deschidere, respectiv inchidere a stoperului.

Deoarece toate nodurile prezentate in capitoul 2 au la baza nodul de tip 1, prezentarea ordinogramelor corespunzatoare implementarii starilor si efectuarii tranzitiilor se prezinta numai pentru acest tip de nod . Pentru restul de noduri se va

detalia numai partea care este diferita de nodul de tip 1. De asemenea secventele de cod corespunzatoare vor fi prezentate numai in cadrul acestui nod.

Secventa de cod prin care s-a implementat automatul este:

```
//variabile de conducere
int   Stare_Activa = 0;
short IN_Senzor;
short OUT_Senzor;
short FULL_Senzor;
short Reset = 0;

//variabile actualizate din jam_shm
int   OutJam_Val;
int   OutJam_Count;
int   InJam_Count;

//variabile de iesire
short Cmd_Stoper = 0;

//declaratii pentru timere
pid_t  proxy_timer1, proxy_timer2;
timer_t id_timer1, id_timer2;
struct itimerspec timer1, timer2;
struct sigevent event_timer1, event_timer2;

//variabile de sincronizare pentru noduri complexe
short tmp_busy_OUT = 0;
short tmp_busy_IN;

//variabila de codificare a erorilor
short error_Code=0;

//verifica starea activa
switch(Stare_Activa){
    case 1:
//Stare OPEN activa
        Stare_Open();
        break;
    case 2:
//Stare CLOSE activa
        tmp_busy_OUT=Stare_Close();
        break;
    case 3:
//Stare Error activa
        Stare_Error();
        break;
    default:
//Stare WAIT activa
        tmp_busy_OUT=Stare_Wait(tmp_busy_IN);
        break;
}
```

• Implementarea starii S0 – WAIT

Ordinograma dupa care a fost implementata starea WAIT este prezentata in figura 4.13.

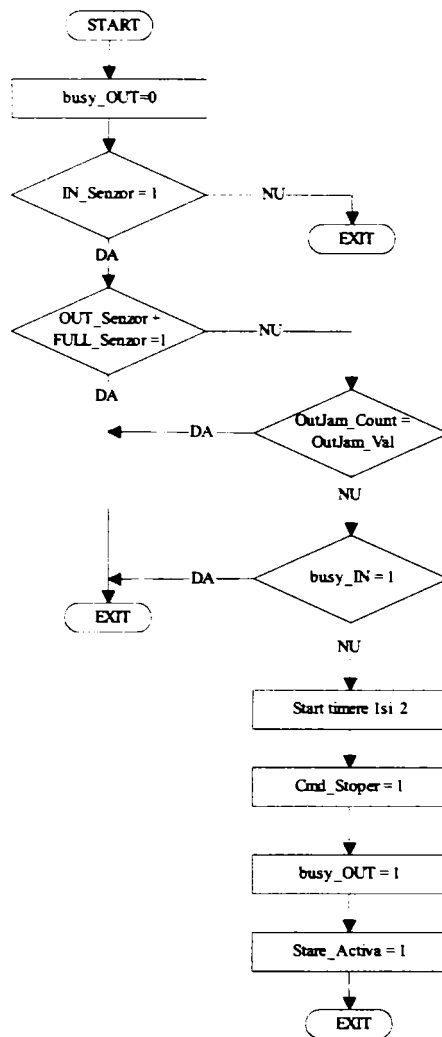


Figura 4.13. Ordinograma starii WAIT

Secventa de cod prin care s-a implementat starea WAIT este:

```

//starea Wait – functia primeste ca parametru busy_IN si genereaza busy_OUT
int Stare_Wait (int busy_IN){
//verifica IN_Senzor
  if ( IN_Senzor == 0 )
//daca este 0 iese
  return;
//verifica daca OUT_Senzor + FULL_Senzor sunt 1
  if ( OUT_Senzor == 1 || FULL_Senzor == 1 )
//daca este 1 iese
  
```

```

    return;
//verifica daca este spatiu in OutJam
    if ( OutJam_Val == OutJam_Count )
//daca este egalitate iese
    return;
//verifica stare fanion busy_IN
    if ( busy_IN == 1 )
//daca este 1 iese
    return;
//toate conditiile pentru efectuarea unei miscari sunt indeplinite
//creaza si porneste timerul 1 si 2 - expirarea timerelor se detecteaza prin proxy
//creare proxy pentru timer 1
    proxy_timer1 = qnx_proxy_attach(0,0,0,1);
    (if proxy_timer1 == -1){
        cprintf („Nu s-a creat proxy pentru timer 1!");
        return;
    }
//atasare proxy la timer 1
    event_timer1.sigev_signo = proxy_timer1;
//creare timer 1
    id_timer1=timer_create(CLOCK_ABSTIME,&event_timer1);
    if ( id_timer1 == -1){
        cprintf („Nu s-a creat timerul 1!");
        return;
    }
//setari valori timer 1 - expira dupa 3 min
    timer1.it_value.tv_spec = time(NULL) + 180;
    timer1.it_value.tv_nsec = 0L;
    timer1.it_interval.tv_sec = 0L;
    timer1.it_interval.tv_nsec = 0L;
    timer_settime(id_timer1,TIMER_ABSTIME,&timer1);
//creare proxy pentru timer 2
    proxy_timer2 = qnx_proxy_attach(0,0,0,1);
    (if proxy_timer2 == -1){
        cprintf („Nu s-a creat proxy pentru timer 2!");
        return;
    }
//atasare proxy la timer 2
    event_timer2.sigev_signo = proxy_timer2;
//creare timer 2
    id_timer2=timer_create(CLOCK_ABSTIME,&event_timer2);
    if ( id_timer2 == -1){
        cprintf („Nu s-a creat timerul 2!");
        return;
    }
//setari valori timer 2 - expira dupa 5 min
    timer2.it_value.tv_spec = time(NULL) + 300;
    timer2.it_value.tv_nsec = 0L;
    timer2.it_interval.tv_sec = 0L;
    timer2.it_interval.tv_nsec = 0L;
    timer_settime(id_timer2,TIMER_ABSTIME,&timer2);

```

```

//genereaza comanda de deschidere a stoperului
  Cmd_Stoper = 1;
//seteaza busy_OUT
  busy_OUT = 1;
//seteaza starea OPEN activa
  Stare_Activa = 1;
//iese din functie
  return(busy_OUT);
}

```

• Implementarea starii S1 - OPEN

Ordinograma dupa care a fost implementata starea OPEN este prezentata in figura 4.14.

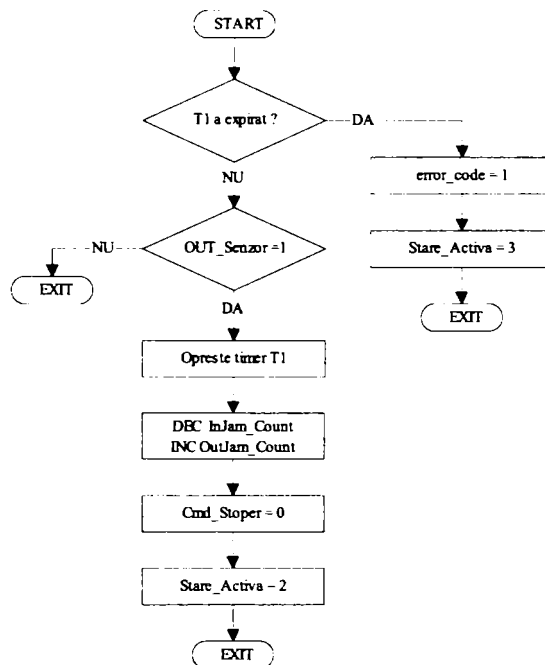


Figura 4.14. Ordinograma starii OPEN

Secventa de cod prin care s-a implementat starea OPEN este:

```

//starea OPEN
void Stare_Open (void){
//verifica daca timerul 1 a expirat
  if ( Creceive(proxy_timer1,0,0) == proxy_timer1 )
//daca este adevarat timer 1 a expirat si trece in starea de eroare
//seteaza codul de eroare
  error_Code = 1;
//seteaza starea Error activa
  Stare_Activa = 3;
//sterge timer 1

```

```

    timer_delete (id_timer1);
//iese din starea OPEN
    return;
}
//timerul 1 merge – verifica starea senzorului OUT
    if ( OUT_Senzor == 0 )
//daca este 0 iese
        return;
//daca este 1 – opreste timer 1
        timer_delete (id_timer1);
//decrementeza jamul de intrare
        InJam_Count--;
//incrementeaza jamul de iesire
        OutJam_Count++;
//inchide stoperul
        Cmd_Stoper = 0;
//seteaza starea CLOSE activa
        Stare_Activa = 2;
//iese din functie
        return;
}

```

• Implementarea starii S2 - CLOSE

Ordinograma dupa care a fost implementata starea CLOSE este prezentata in figura 4.15.

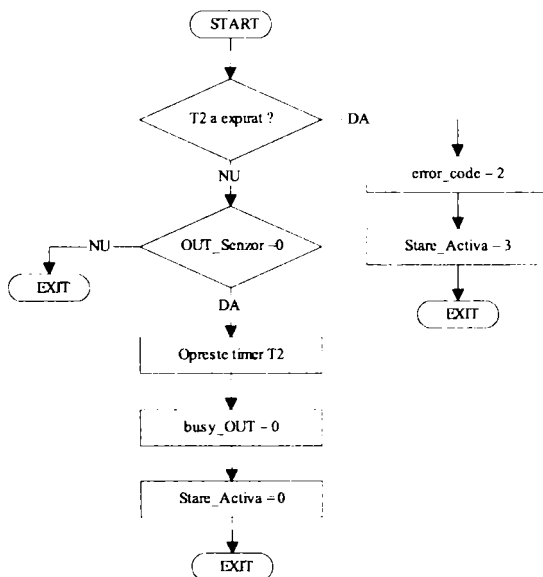


Figura 4.15. Ordinograma starii CLOSE

Secventa de cod prin care s-a implementat starea CLOSE este:

```

//starea CLOSE – transmite starea lui busy_OUT
int Stare_Close (void){

```

```

//verifica daca timerul 2 a expirat
  if ( Creceive(proxy_timer2,0,0) == proxy_timer2 )
//daca este adevarat timer 2 a expirat si trece in starea de eroare
//seteaza codul de eroare
  error_Code = 2;
//seteaza starea Error activa
  Stare_Activa = 3;
//sterge timer 2
  timer_delete (id_timer2);
//iese din starea OPEN
  return(1);
}
//timerul 2 merge - verifica starea senzorului OUT
  if ( OUT_Senzor == 1 )
//daca este 0 iese
  return(1);
//daca este 0 - opreste timer 2
  timer_delete (id_timer2);
//seteaza starea WAIT activa
  Stare_Activa = 0;
//iese din functie
  return (0);
}

```

• Implementarea starii S3 - Error

Ordinograma dupa care a fost implementata starea Error este prezentata in figura 4.16.

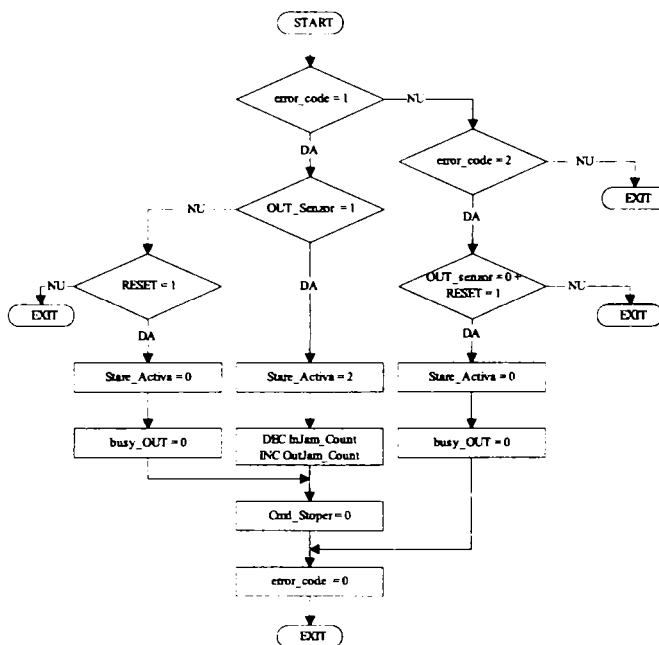


Figura 4.16. Ordinograma starii ERROR

Secventa de cod prin care s-a implementat starea Error este:

```

//starea Error – transmite stare busy_OUT
int Stare_Error (void){
//verifica codul de eroare
    if ( error_Code == 1){
//daca este 1 verifica daca senzorul OUT s-a activat
        if (OUT_Senzor == 1){
//daca da
//decrementeaza jamul de intrare
            InJam_Count--;
//incrementeaza jamul de iesire
            OutJam_Count++;
//inchide stoperul
            Cmd_Stoper = 0;
//seteaza starea CLOSE activa
            Stare_Activa = 2;
//iese din functie
            return(1);
        }
//daca este 0 verifica daca s-a dat reset
        if (Reset == 1){
//daca da
//sterge comanda de reset
            Reset = 0;
//decrementeaza jamul de intrare
            InJam_Count--;
//incrementeaza jamul de iesire
            OutJam_Count++;
//inchide stoperul
            Cmd_Stoper = 0;
//seteaza starea Wait activa
            Stare_Activa = 0;
//opreste timer 2
            timer_delete(id_timer2);
//iese din functie cu 0 – busy_OUT = 0;
            return(0);
        }
//daca nu este reset iese
        else
            return(1);
//verifica codul de eroare este 2
        if ( error_Code == 2){
//verifica starea senzorului OUT si a comenzi de reset
            if ( OUT_Senzor == 1 || Reset == 1){
//daca este adevarat sterge Reset
                Reset = 0;
//sterge timer 2
                timer_delete (id_timer2);
//seteaza starea WAIT activa
                Stare_Activa = 0;
            }
        }
    }
}

```

```

//iese din functie cu 0 - busy_OUT = 0
    return (0);
}
//daca nu iese
else
    return(0);
}
//daca nu iese
else
    return(0);
}

```

4.2.3.2. Taskul NT2 - Nodul de tip 2

Acest tip de nod este construit prin sincronizarea a doua noduri de tip 1 (vezi paragraful 2.4.2.2.1). Modul de implementare a starilor, fiind prezentat anterior, in continuare este prezentat numai modul in care se face sincronizarea celor doua intrari. Organigrama corespunzatoare este prezentata in figura 4.17.

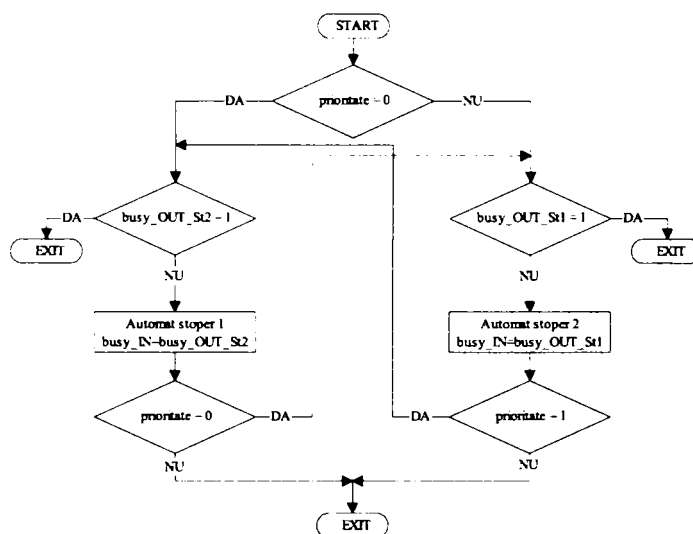


Figura 4.17. Ordinograma corespunzatoare sincronizarii intrarilor intr-un nod de tip 2

Avand in vedere ca implementarea unui nod cu 3 intrari si o iesire este similara cu cele prezentate, aceasta varianta nu a mai fost abordata la nivelul implementarii in QNX.

De asemenea codul corespunzator fiind similar cu cel prezentat in cazul nodului de tip 1, nu se mai prezinta.

4.2.3.3. Taskul NT4 - Nodul de tip 4

Diferenta fata de nodul de tipul 1 este data de starea suplimentara in care se face identificarea caruciorului pentru a se determina directia de deplasare. Organigrama starii S0 (SCANN) este prezentata in figura 4.18.

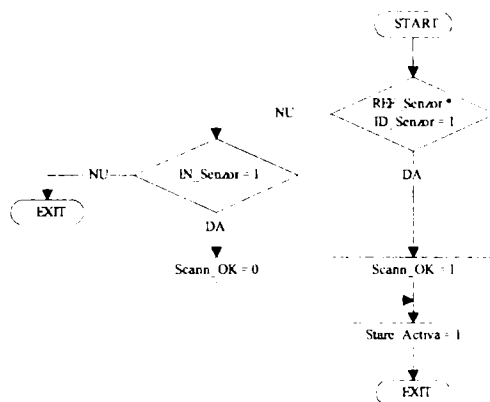


Figura 4.18. Organigrama corespunzatoare starii S0 a unui nod de tip 4

Secvența de cod prin care s-a implementat starea SCANN este:

```

//functia de scanare SCANN – returneaza valoarea lui Scann_OK
void Scann(void){
    short tmp_Scann_OK;

//initializare tmp_Scann_OK;
    tmp_Scann_OK = 0;
//verifica identitate
    if (REF_Senzor == 1 && ID_Senzor == 1){
//exista egalitate seteaza tmp_Scann_OK;
        tmp_Scann_OK = 1;
//trece in starea Wait
        Stare_Activa = 1;
//iese
        return(tmp_Scann_OK);
    }
//daca nu verifica IN_Senzor
    else{
        if(IN_Senzor == 1){
//seteaza starea Wait activa
            Stare_Activa = 1;
//iese
            return(tmp_Scann_OK);
        }
//daca nu este IN_Senzor iese
        else
            return(tmp_Scann_OK);
    }
}
  
```

4.3. Implementarea modelelor de tip rețele Petri cu ajutorul automatelor programabile (PLC) [Ung04a][Ung04b][Ung06a]

În modelarea SED utilizarea modelelor de tip automat a pierdut teren în favoarea modelării cu ajutorul rețelelor Petri, în ultimul timp au fost elaborate o

serie de metode de implementare avand ca suport hardware PLC-uri. In [RF02][KWFL02] se prezinta o metoda de implementare si verificare a modelelor de tip retele Petri utilizand diagramele secventiale. In [UJ96][UJ97] sunt prezentate o serie de metode de implementare a modelelor de tip retele Petri utilizand tehnica de programare tip scara - ladder LAD. In [FG98][Frey02][FL00a][FL00b][GBFP01][GG01][GMMP03][MF02] sunt prezentate metode de implementare a modelelor de tip retele Petri utilizand o tehnica bazata pe retele Petri interpretoare de semnale (**S**ignal **I**nterpreted **P**etri **N**ets - SPIN). Deoarece aceasta metoda este cea care ia in considerare in modul cel mai concret interfatarea modelelor de tip retele Petri cu modul de functionare al PLC-urilor, ea a fost aleasa pentru implementarea modelelor de tip retele Petri stabilite in capitolul 2.

Ca suport hardware pentru implementare s-a utilizat un PLC SIEMENS, de tip Simatic S7-414 [Berg00].

In continuare se prezinta modul de modelare a SED utilizand tehnica SPIN, precum si modul de implementare in limbajul STEP7, caracteristic PLC-urilor din familia SIEMENS. Exemplificarea se face numai pentru modelul de tip retea Petri corespunzator nodului de tip 1 (paragraful 2.4.2.1.2.1.), pentru celelalte tipuri de noduri procedandu-se analog.

4.3.1. Modelarea SED utilizand tehnica SPIN

Aceasta metoda se bazeaza pe faptul ca retea Petri utilizata are atasate corespunzator intrarile si iesirile fizice ale PLC-ului. Intrarile sunt atasate tranzitiilor, avand rol de validare suplimentara a acestora, iar iesirile (comenzile) sunt asignate pozitiilor in care trebuie generate (activate sau dezactivate). In figura 4.19 se prezinta retea Petri de tipul SPIN corespunzatoare nodului de tip 1.

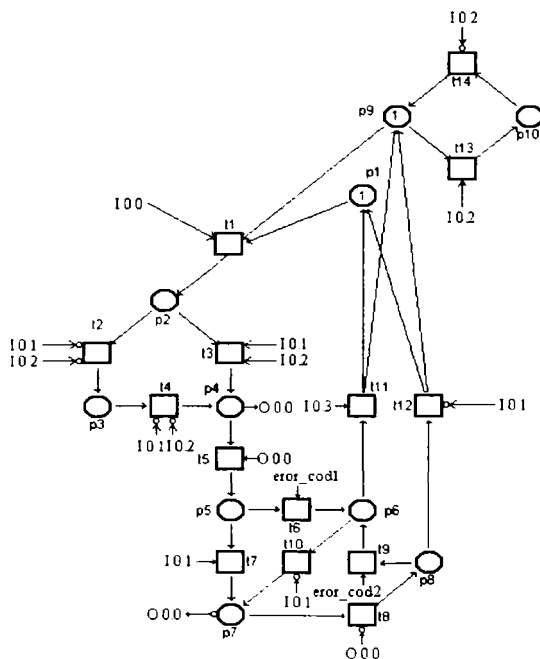


Figura 4.19. Reteaua Petri de tip SPIN corespunzatoare nodului de tip 1

Modul de alocare a intrarilor si iesirilor fizice la PLC sunt prezentate in tabelul 4.3.

Tabelul 4.3. Alocarea intrarilor/iesirilor fizice

Intrare/Iesire	Comentariu
I 0.0	Semnal de intrare corespunzator intrarii IN_Senzor
I 0.1	Semnal de intrare corespunzator intrarii OUT_Senzor
I 0.2	Semnal de intrare corespunzator intrarii FULL_Senzor
I 0.3	Semnal de intrare corespunzator comenzii de Reset
O 0.0	Semnal de iesire corespunzator comenzii stoperului

Observatie: in cadrul implementarii utilizand PLC-uri nu se mai considera situatia in care se verifica si capacitatile jamurilor. Aceasta conditie este verificata numai prin intermediul senzorului de FULL.

Dupa cum se observa in figura 4.19 tranzitile t2, t7,t11, t12, t13, t14 sunt validate suplimentar functie de valorile logice ale intrarilor corespunzatoare. In pozitile p4 si p7 sunt generate comenzile corespunzatoare pentru stoper, deschidere (p4), respectiv inchidere (p7).

4.3.2. Implementarea in STEP7 a modelului SPIN corespunzator nodului de tip 1

Mediul de dezvoltare STEP7 permite implementarea programelor de conducere prin mai multe metode: LAD (programare in logica ladder), STL (programare in lista de declaratii), SCL (programare prin limbaj de control structurat) etc. Abordarea implementarii programului corespunzator se va face prin metoda STL, metoda care prin asemanarea cu limbajele de asamblare asigura o mai mare flexibilitate in elaborarea codului [Berg00].

Secventa de cod prin care s-au declarat variabilele corespunzatoare modelul SPIN este:

```

FUNCTION_BLOCK "SPIN_Nod1"
TITLE =SPIN_Nod1
//Functie care implementeaza modelul de tip SPIN corespunzator nodului de tip 1
VERSION : 0.1

VAR_INPUT
  IN_Senzor      : BOOL ;      //senzorul de intrare
  OUT_Senzor     : BOOL ;      //senzorul de iesire
  FULL_Senzor   : BOOL ;      //senzorul de FULL
  Reset          : BOOL ;      //comanda de reset
END_VAR
VAR_OUTPUT
  Cmd_Stoper     : BOOL ;      //Comanda stoperului
  Nod_OK         : BOOL ;      //Variabila activata la revenire in starea initiala
END_VAR
VAR
  Contor_P1     : INT := 1;    //Contorul jetoanelor din pozitia p1

```

```

Contor_P2   : INT ; //Contorul jetoanelor din pozitia p2
Contor_P3   : INT ; //Contorul jetoanelor din pozitia p3
Contor_P4   : INT ; //Contorul jetoanelor din pozitia p4
Contor_P5   : INT ; //Contorul jetoanelor din pozitia p5
Contor_P6   : INT ; //Contorul jetoanelor din pozitia p6
Contor_P7   : INT ; //Contorul jetoanelor din pozitia p7
Contor_P8   : INT ; //Contorul jetoanelor din pozitia p8
Contor_P9   : INT := 1; //Contorul jetoanelor din pozitia p9
Contor_P10  : INT ; //Contorul jetoanelor din pozitia p10
Tranzitie_t1 : BOOL ; //Stare tranzitie t1
Tranzitie_t2 : BOOL ; //Stare tranzitie t2
Tranzitie_t3 : BOOL ; //Stare tranzitie t3
Tranzitie_t4 : BOOL ; //Stare tranzitie t4
Tranzitie_t5 : BOOL ; //Stare tranzitie t5
Tranzitie_t6 : BOOL ; //Stare tranzitie t6
Tranzitie_t7 : BOOL ; //Stare tranzitie t7
Tranzitie_t8 : BOOL ; //Stare tranzitie t8
Tranzitie_t9 : BOOL ; //Stare tranzitie t9
Tranzitie_t10 : BOOL ; //Stare tranzitie t10
Tranzitie_t11 : BOOL ; //Stare tranzitie t11
Tranzitie_t12 : BOOL ; //Stare tranzitie t12
Tranzitie_t13 : BOOL ; //Stare tranzitie t13
Tranzitie_t14 : BOOL ; //Stare tranzitie t14
eror_cod1   : BOOL ; //cod de eroare generat de timer 1
eror_cod2   : BOOL ; //cod de eroare generat de timer 2
Timer1      : S5TIME := S5T#3M; //constanta de timp timer 1
Timer2      : S5TIME := S5T#5M; //constanta de timp timer 1
FN_Timer1   : BOOL ; //detectie expirare timer 1
FN_Timer2   : BOOL ; //detectie expirare timer 2
END_VAR
VAR_TEMP
tmp_P1 : BOOL ;
tmp_P2 : BOOL ;
tmp_P3 : BOOL ;
tmp_P4 : BOOL ;
tmp_P5 : BOOL ;
tmp_P6 : BOOL ;
tmp_P7 : BOOL ;
tmp_P8 : BOOL ;
tmp_P9 : BOOL ;
tmp_P10 : BOOL ;
tmp_FN_Timer1 : BOOL ;
tmp_FN_Timer2 : BOOL ;
END_VAR

```

Modul de operare al programului se bazeaza pe regula de validare a unei tranzitii (capitolul 2). In continuare se prezinta codul program aferent verificarii si executiei tranzitiei t1.

```

NETWORK
TITLE =Verifica conditie tranzitie t1
//Daca tranzitia este validata:
//- sterge jetoanele din pozitile P1 si P9
//- transfera un jeton in pozitia P2
//verifica daca in pozitia P1 este jeton
  L  #Contor_P1;
  L  1;
  ==I ;
  =  #tmp_P1;
//verifica daca in pozitia P9 este jeton
  L  #Contor_P9;
  L  1;
  ==I ;
  =  #tmp_P9;

//verifica conditia de validare tranzitie t1
  A  #tmp_P1;
  A  #tmp_P9;
  A  #IN_Senzor;
//daca da seteaza t1 activa
  =  #Tranzitie_t1;

//verificare validare tranzitie t1 si executie
  A  #Tranzitie_t1;
//daca este zero salt la verificare urmatoare tranzitie
  JCN n001;
//tranzitia este validata
//sterge jetonul din P1
  L  #Contor_P1;
  L  -1;
  +I ;
  T  #Contor_P1;

//sterge jetonul din P9
  L  #Contor_P9;
  L  -1;
  +I ;
  T  #Contor_P9;

//transfera un jeton in P2
  L  #Contor_P2;
  L  1;
  +I ;
  T  #Contor_P2;

n001: NOP 0;

```

Codul program corespunzator generarii comenzilor este:

```

NETWORK
TITLE =Formare comenzi pentru stoper
//Daca pozitia P4 este activa seteaza Cmd_Stoper
//Daca pozitia P7 este activa reseteaza Cmd_Stoper
//verifica pozitia P4
  L  #Contor_P4;
  L  1;
  ==I ;
  S  #Cmd_Stoper;

//verifica pozitia p7
  L  #Contor_P7;
  L  1;
  ==I ;
  R  #Cmd_Stoper;

```

Formarea codurilor de eroare *eror_cod1* respectiv *eror_cod2*, se face tinand cont ca in pozitia P4, cand stoperul a fost deschis, se pornesc doua timere de control a miscarii (*Timer1* respectiv *Timer2*) care nu trebuie sa expire: primul pana jetonul ajunge in pozitia P7 iar al doilea pana jetonul ajunge in pozitia P8. Daca aceste conditii nu sunt indeplinite la expirarea lui *Timer1* se seteaza *eror_cod1*, iar la expirarea lui *Timer2* se seteaza *eror_cod2*. Daca operatiunile decurg normal la ajungerea jetonului in pozitia P7 *Timer1*, este oprit iar in P8 *Timer2* este oprit. In cazul activarii codurilor de eroare acestea sunt sterse in momentul in care pozitia P6 devine inactiva (jetonul paraseste pozitia). Secventa de cod prin care s-a implementat setarea codurilor de eroare este:

```

NETWORK
TITLE =Formare coduri de eroare
//In pozitia P4 start timer1 si timer2.
//Daca timer1 a expirat si nu s-a atins P7 eror_cod1 = TRUE
//Daca timer2 a expirat si nu s-a atins P1 eror_cod2 = TRUE
//verifica pozitia 4 activa
  L  #Contor_P4;
  L  1;
  ==I ;
  =  #tmp_P4;

//start timer1
  A  #tmp_P4;
  FR T 1;
  L  #Timer1;
  SE T 1;

//start timer2
  A  #tmp_P4;
  FR T 2;
  L  #Timer2;
  SE T 2;

//detectie expirare timer 1

```



```

A T 1;
FN #FN_Timer1;
= #tmp_FN_Timer1;

//detectie expirare timer 2
A T 2;
FN #FN_Timer2;
= #tmp_FN_Timer2;

//verificare eror_cod1
AN #OUT_Senzor;
A #tmp_FN_Timer1;
S #eror_cod1;

//verificare eror_cod2
AN #OUT_Senzor;
A #tmp_FN_Timer2;
S #error_cod2;

```

In cazul nodurilor de tip 2, 3 si 4 modul de implementare este similar, tinand cont ca structurile corespunzatoare sunt construite pe baza nodului de tip 1 si din acest motiv ele nu mai sunt prezentate.

4.3.3. Implementarea in STEP7 a modelului SPIN corespunzator unui STZA

Se considera STZA-ul din figura 2.151 a carui retea Petri validata este prezentata in figura 2.152. Modelul SPIN corespunzator acestui model este prezentat in figura 4.20.

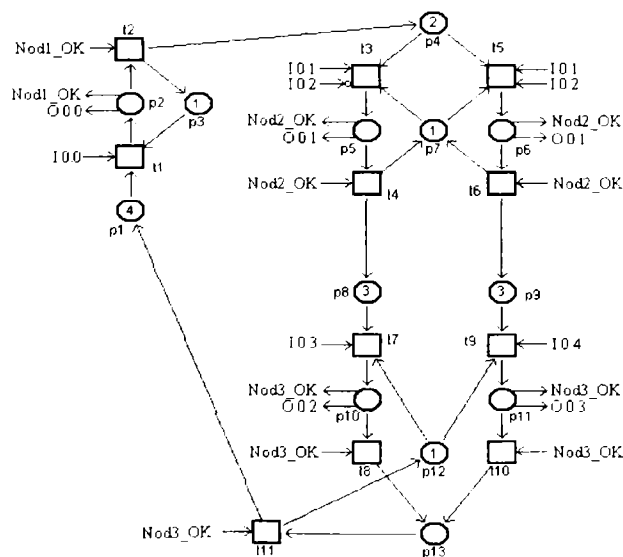


Figura 4.20. Modelul SPIN corespunzator STZA din figura 2.152

Modul de alocare a intrarilor si iesirilor fizice la PLC sunt prezentate in tabelul 4.4.

Tabelul 4.4. Alocarea intrarilor/iesirilor fizice

Intrare/Iesire	Comentariu
I 0.0	Semnal de intrare corespunzator lui IN_Senzor pentru nodul 1
I 0.1	Semnal de intrare corespunzator lui OUT_Senzor pentru nodul 1
I 0.2	Semnal de intrare corespunzator lui FULL_Senzor pentru nodul 1
I 0.3	Semnal de intrare corespunzator comenzii de Reset pentru nodul 1
I 0.4	Semnal de intrare corespunzator lui IN_Senzor pentru nodul 2
I 0.5	Semnal de intrare Scann_OK pentru nodul 2
I 0.6	Semnal de intrare corespunzator lui OUT1_Senzor pentru nodul 2
I 0.7	Semnal de intrare corespunzator lui OUT2_Senzor pentru nodul 2
I 1.0	Semnal de intrare corespunzator lui FULL1_Senzor pentru nodul 2
I 1.1	Semnal de intrare corespunzator lui FULL2_Senzor pentru nodul 2
I 1.2	Semnal de intrare corespunzator comenzii de reset pentru nodul 2
I 1.3	Semnal de intrare corespunzator lui IN1_Senzor pentru nodul 3
I 1.4	Semnal de intrare corespunzator lui IN2_Senzor pentru nodul 3
I 1.5	Semnal de intrare corespunzator lui OUT_Senzor pentru nodul 3
I 1.6	Semnal de intrare corespunzator lui FULL_Senzor pentru nodul 3
I 1.7	Semnal de intrare corespunzator comenzii de reset pentru nodul 3
O 0.0	Semnal de iesire corespunzator comenzii stoperului pentru nodul 1
O 0.1	Semnal de iesire corespunzator comenzii stoperului pentru nodul 2
O 0.2	Semnal de iesire corespunzator comenzii stoperului 1 pentru nodul 3
O 0.3	Semnal de iesire corespunzator comenzii stoperului 2 pentru nodul 3

In figura 4.20 nu au fost atasate toate intrarile deoarece ele opereaza strict asupra nodurilor de tip 1 utilizate pentru implementare. Variabilele *Nodx_OK* sunt generate de noduri asa cum s-a precizat in paragraful anterior. In cazul implementarii STZA se tine cont de jamuri, structura de date corespunzatoare fiind:

```

TYPE "Jam_Struct"
VERSION : 0.1

STRUCT
Contor      : INT ; //valoarea curenta
Cap_Max     : INT ; //capacitatea maxima
END_STRUCT ;
END_TYPE

```

Secventa de cod prin care s-au declarat variabilele corespunzatoare modelul SPIN considerat pentru STZA este:

```

FUNCTION_BLOCK "STZA"
TITLE =Functie care implementeaza STZA
VERSION : 0.1

```

```

VAR_INPUT
  IN_Senzor_Nod1      : BOOL ;      //Senzorul de intrare pentru nodul 1
  IN_Senzor_Nod2      : BOOL ;      //Senzorul de intrare pentru nodul 2
  IN1_Senzor_Nod3     : BOOL ;      //Senzorul de intrare directie 1 nod 3
  IN2_Senzor_Nod3     : BOOL ;      //Senzorul de intrare directie 2 nod 3
  Scann_OK            : BOOL ;      //Rezultat scanare nod 2
  OUT_Senzor_Nod1     : BOOL ;      //Senzorul de iesire pentru nodul 1
  OUT1_Senzor_Nod2    : BOOL ;      //Senzorul de iesire directie 1 pentru nodul 2
  OUT2_Senzor_Nod2    : BOOL ;      //Senzorul de iesire directie 2 pentru nodul 2
  OUT_Senzor_Nod3     : BOOL ;      //Senzorul de iesire pentru nodul 3
  FULL_Senzor_Nod1    : BOOL ;      //Senzorul de FULL pentru nodul 1
  FULL1_Senzor_Nod2   : BOOL ;      //Senzorul de FULL pentru directia 1 nodul 2
  FULL2_Senzor_Nod2   : BOOL ;      //Senzorul de FULL pentru directia 2 nodul 2
  FULL_Senzor_Nod3    : BOOL ;      //Senzorul de FULL pentru nodul 3
  Reset_Nod1          : BOOL ;      //Comanda de reset pentru nodul 1
  Reset_Nod2          : BOOL ;      //Comanda de reset pentru nodul 2
  Reset_Nod3          : BOOL ;      //Comanda de reset pentru nodul 3
END_VAR
VAR_OUTPUT
  Cmd_Stoper_Nod1     : BOOL ;      //Comanda stoper nod1
  Cmd_Stoper_Nod2     : BOOL ;      //Comanda stoper nod 2
  Cmd_Stoper_Dir1_Nod3 : BOOL ;      //Comanda stoper directie 1 nod3
  Cmd_Stoper_Dir2_Nod3 : BOOL ;      //Comanda stoper directie 2 nod3
END_VAR
VAR
  Nod1 : "SPIN_Nod1";
  Nod2_Dir1 : "SPIN_Nod1";
  Nod2_Dir2 : "SPIN_Nod1";
  Nod3_Dir1 : "SPIN_Nod1";
  Nod3_Dir2 : "SPIN_Nod1";
  P1 : "Jam_Struct";
  P4 : "Jam_Struct";
  P8 : "Jam_Struct";
  P9 : "Jam_Struct";
  Contor_P2 : INT ;
  Contor_P3 : INT := 1;
  Contor_P5 : INT ;
  Contor_P6 : INT ;
  Contor_P7 : INT := 1;
  Contor_P10 : INT ;
  Contor_P11 : INT ;
  Contor_P12 : INT := 1;
  Contor_P13 : INT ;
  Tranzitie_t1 : BOOL ;
  Tranzitie_t2 : BOOL ;
  Tranzitie_t3 : BOOL ;
  Tranzitie_t4 : BOOL ;
  Tranzitie_t5 : BOOL ;
  Tranzitie_t6 : BOOL ;
  Tranzitie_t7 : BOOL ;

```

```

Tranzitie_t8 : BOOL ;
Tranzitie_t9 : BOOL ;
Tranzitie_t10 : BOOL ;
Tranzitie_t11 : BOOL ;
Nod1_OK : BOOL ;
Nod2_OK : BOOL ;
Nod3_OK : BOOL ;
END_VAR
VAR_TEMP
tmp_P1 : BOOL ;
tmp_P2 : BOOL ;
tmp_P3 : BOOL ;
tmp_P4 : BOOL ;
tmp_P5 : BOOL ;
tmp_P6 : BOOL ;
tmp_P7 : BOOL ;
tmp_P8 : BOOL ;
tmp_P9 : BOOL ;
tmp_P10 : BOOL ;
tmp_P11 : BOOL ;
tmp_P12 : BOOL ;
tmp_P13 : BOOL ;
END_VAR

```

Implementarea nodurilor s-a realizat similar cu cele prezentate in cazul implementarii nodului de tip 1. In continuare se prezinta codul sursa corespunzator implementarii directiei 1 de miscare a nodului 2 (nod de tip 4).

```

NETWORK
TITLE =Verifica conditie tranzitie t3
//Daca tranzitia este validata:
//- sterge un jeton din pozitiile P4 si P7
//- transfera un jeton in pozitia P5

//verifica daca in pozitia P4 este cel putin un jeton
L   #P4.Contor;
L   0;
<>I ;
=   #tmp_P4;

//verifica daca in pozitia P5 este jeton
L   #Contor_P5;
L   1;
==I ;
=   #tmp_P5;

//verifica daca in pozitia P7 este jeton
L   #Contor_P7;
L   1;
==I ;
=   #tmp_P7;

```

```

//verifica conditia de validare tranzitie t3
A   #tmp_P4;
AN  #tmp_P5;
A   #tmp_P7;
A   #IN_Senzor_Nod2;
AN  #Scann_OK;
//daca da seteaza t1 activa
=   #Tranzitie_t3;

//verificare validare tranzitie t3 si executie
A   #Tranzitie_t3;
//daca este zero salt la verificare urmatoare tranzitie
JCN n003;
//tranzitia este validata
//sterge jetonul din P4
L   #P4.Contor;
L   -1;
+I  ;
T   #P4.Contor;

//sterge jetonul din P7
L   #Contor_P7;
L   -1;
+I  ;
T   #Contor_P7;

//transfera un jeton in P5
L   #Contor_P5;
L   1;
+I  ;
T   #Contor_P5;

n003: NOP 0;
NETWORK
TITLE =Verifica conditie tranzitie t4
//Daca tranzitia este validata:
//- sterge jetonul din pozitia P5
//- transfera un jeton in pozitia P7 si P8
//verifica daca in pozitia P8 este cel putin un loc liber
L   #P8.Contor;
L   #P8.Cap_Max;
<>I ;
=   #tmp_P8;

//verifica daca in pozitia P5 este jeton
L   #Contor_P5;
L   1;
==I ;
=   #tmp_P5;

```

```

//verifica daca in pozitia P7 este jeton
L   #Contor_P7;
L   1;
==I ;
=   #tmp_P7;

//verifica conditia de validare tranzitie t4
A   #tmp_P8;
A   #tmp_P5;
AN  #tmp_P7;
A   #Nod2_OK;
//daca da seteaza t4 activa
=   #Tranzitie_t4;

//verificare validare tranzitie t4 si executie
A   #Tranzitie_t4;
//daca este zero salt la verificare urmatoare tranzitie
JCN n004;
//tranzitia este validata
//sterge jetonul din P5
L   #Contor_P5;
L   -1;
+I  ;
T   #Contor_P5;
//sterge Nod2_OK
CLR ;
=   #Nod2_OK;
//transfera un jeton in P7
L   #Contor_P7;
L   1;
+I  ;
T   #Contor_P7;
//transfera un jeton in P8
L   #P8.Contor;
L   1;
+I  ;
T   #P8.Contor;
n004: NOP 0;

```

Secventa de cod elaborata pentru implementarea controlului miscarilor, exemplificata pentru nodul 2 (nod de tip 4) este prezentata in continuare.

```

NETWORK
TITLE =Apelare control Nod2

//verifica jetoanele din P5 - directia 1
L   #Contor_P5;
L   1;
<>I ;
JC  n013;

```

```

//daca e un jeton apeleaza functia de control
CALL #Nod1 (
  IN_Senzor      := #IN_Senzor_Nod2,
  OUT_Senzor     := #OUT1_Senzor_Nod2,
  FULL_Senzor    := #FULL1_Senzor_Nod2,
  Reset          := #Reset_Nod2,
  Cmd_Stoper     := #Cmd_Stoper_Nod2,
  Nod_OK         := #Nod2_OK);

n013: NOP 0;

//verifica jetoanele din P6 - directia 2
L #Contor_P2;
L 1;
<>I ;
JC n014;

//daca e un jeton apeleaza functia de control
CALL #Nod1 (
  IN_Senzor      := #IN_Senzor_Nod2,
  OUT_Senzor     := #OUT2_Senzor_Nod2,
  FULL_Senzor    := #FULL2_Senzor_Nod2,
  Reset          := #Reset_Nod2,
  Cmd_Stoper     := #Cmd_Stoper_Nod2,
  Nod_OK         := #Nod2_OK);

n014: NOP 0;

```

Structura programului principal corespunzator conducerii unui STZA pe baza modelelor de tip rețele Petri este:

```

CALL "STZA" , "DI_STZA" (
  IN_Senzor_Nod1      := I 0.0,
  IN_Senzor_Nod2      := I 0.4,
  IN1_Senzor_Nod3     := I 1.3,
  IN2_Senzor_Nod3     := I 1.4,
  Scann_OK            := I 0.5,
  OUT_Senzor_Nod1     := I 0.1,
  OUT1_Senzor_Nod2    := I 0.6,
  OUT2_Senzor_Nod2    := I 0.7,
  OUT_Senzor_Nod3     := I 1.5,
  FULL_Senzor_Nod1    := I 0.2,
  FULL1_Senzor_Nod2   := I 1.0,
  FULL2_Senzor_Nod2   := I 1.1,
  FULL_Senzor_Nod3    := I 1.6,
  Reset_Nod1          := I 0.3,
  Reset_Nod2          := I 1.2,
  Reset_Nod3          := I 1.7,
  Cmd_Stoper_Nod1     := Q 0.0,
  Cmd_Stoper_Nod2     := Q 0.1,
  Cmd_Stoper_Dir1_Nod3 := Q 0.2,

```

<code>Cmd_Stoper_Dir2_Nod3 := Q 0.3);</code>
--

Implementarea modelelor de tip rețele Petri s-a realizat având ca suport considerațiile legate de validarea execuției unei tranziții. Verificarile și testele efectuate au validat în totalitate modalitatea de implementare a modelelor de tip rețele Petri având ca suport hardware PLC-uri din familia Simatic S7. Cu toate că pentru teste s-a utilizat un PLC Simatic S7-414, programul a fost astfel conceput încât codul să fie portabil pe toate PLC-urile din familiile S7-300 și S7-400.

4.4. Concluzii

În cadrul acestui capitol s-a urmărit elaborarea unor metode de implementare a programelor de conducere a SED având ca suport teoretic modele de tip automat, respectiv modele de tip rețele Petri. Modelele utilizate în cadrul operației de implementare au fost în prealabil validate prin simulare în mediul Matlab.

Metodele de implementare depind în mare măsură de echipamentele hardware utilizate. În acest moment tendințele sunt caracterizate prin:

- utilizarea calculatoarelor de proces;
- utilizarea automatelor programabile.

În cadrul capitolului s-au elaborat, în consecință, două metodologii de implementare distincte: prima, bazată pe utilizarea unui calculator de proces ca suport hardware, pe care este instalat sistemul de operare în timp real QNX, programul de conducere fiind scris în limbajul WATCOM C, iar a doua bazată pe utilizarea unui PLC tip Simatic S7-414 programul de conducere fiind scris în limbajul STEP7.

În cazul implementării pe calculatorul de proces, modelul considerat a fost de tip automat. În cadrul procesului de implementare s-a ținut cont de capacitățile SOTR QNX, astfel încât programul nu este elaborat într-un singur task, ci s-a implementat un sistem multitasking, comunicatia dintre taskuri fiind asigurată prin mecanisme specifice sistemelor de operare în timp real (mesaje, proxy, memorie partajată). Pentru fiecare tip de nod, mai puțin nodul de tip 3, au fost elaborate taskuri independente parametrizabile, asigurându-se astfel individualizarea lor în sistem. Modul de comandă al stării senzorilor și generarea comenzilor a fost implementată separat într-un task special (TAC), asigurându-se astfel „izolarea” taskurilor de conducere ale nodurilor de sistemul fizic. Conexiunea dintre taskurile de control ale nodurilor și sistemul fizic s-a realizat prin implementarea unui mecanism de tipul *Send-Reply*, taskul TAC fiind „conducătorul” sistemului.

Taskurile elaborate pentru controlul nodurilor au caracter general, astfel încât indiferent de structura STZA-ului care se dorește a fi condus, acestea pot fi utilizate fără a efectua modificări interne (reprogramare). Această facilitate este asigurată prin parametrizarea taskurilor prin linia de comandă.

Comunicatia directă între taskurile de control ale nodurilor, prin mesaje sau proxy, a fost eliminată complet deoarece în această situație nu s-ar mai fi păstrat generalitatea taskurilor. Mecanismul utilizat pentru asigurarea comunicatiei directe între taskurile de control ale nodurilor a fost implementat prin utilizarea memoriei partajate, fiecare task având acces la zone bine stabilite, transmiterea acestor zone făcându-se prin linia de comandă în momentul lansării în execuție a taskului.

Rezultatele obținute în urma testării sistemului multitasking elaborat pentru implementarea modelelor de tip automat au validat și confirmat în totalitate soluția propusă.

In cazul implementarii avand casuport hardware un PLC de tip Simatic S7-414, modelele considerate au fost de tip retele Petri. Pentru implementarea acestor modele s-au elaborat modele echivalente de tip SPIN. Ideea de baza in cazul acestei metode de implementare a constat in elaborarea unei functii prin intermediul careia sa se asigura conducerea unui nod de tip 1. Aceasta functie a fost utilizata apoi pentru implementarea tuturor nodurilor din sistem.

Implementarea modelelor SPIN, atat pentru nodul de tip 1 cat si pentru un STZA considerat, s-a realizat prin verificarea conditiei de executie a unei tranzitii. Datorita acestui fapt functia prin care s-a implementat STZA-ul considerat nu are un caracter general, o astfel de implementare depinzand in totalitate de structura sistemului. In schimb datorita faptului ca modelul nodului de tip 1 sta la baza modelarii tuturor nodurilor complexe, functia scrisa pentru acest nod este de tip general, prin parametrizare asigurandu-se particularitatile fiecarui nod.

Pentru implementarea modelelor de tip retele Petri s-a utilizat metoda STL, ceea ce a oferit o mai mare flexibilitate in programare decat metoda LAD. In literatura de specialitate studziata , implementarea unor modele de tip retele Petri s-a realizat exclusiv prin metoda LAD.

Rezultatele obtinute in urma testarii programului elaborat pentru implementarea modelelor de tip retele Petri au validat si confirmat in totalitate solutia propusa.

Capitolul 5

PetriTim – aplicatie software pentru analiza si simularea retelelor Petri

Aplicatia PetriTim, conceputa si dezvoltata de catre autor, este destinata analizei structurale si comportamentale a retelelor Petri, precum si pentru simularea acestora.. Aceasta aplicatie a aparut ca o necesitate a studierii în mod combinat (grafic si algebric) a modelelor de tip retele Petri.

Ceea ce deosebeste aplicatia PetriTim de restul programelor existente este faptul ca in modul de operare pas cu pas validarea executiei tranzitiilor se realizeaza prin validare de catre utilizator si nu in mod automat (aleator), putandu-se testa direct diferite circuite ale retelelor Petri. Pe langa facilitatea mai sus mentionata aplicatia asigura generarea unui fisier text in care se salveaza sub forma algebrica structura retelei Petri desenata, si de asemenea se mai genereaza un fisier care contine matricile de incidenta. Intreg procesul de simulare a retelei Petri este salvat sub forma matriciala intr-un fisier separat.

Validarea aplicatiei PetriTim s-a realizat prin simularea modelelor stabilite pentru nodurile de baza (capitolul 2), modele care in prealabil au fost validate cu ajutorul mediului Matlab. Rezultatele obtinute in urma simularilor cu programul PetriTim au fost identice cu cele obtinute in cazul utilizarii mediului Matlab.

5.1. Specificatiile aplicatiei

Aplicatia are ca principal scop reprezentarea într-un mod grafic a unei retele Petri definita prin (P, T, F, W, M_0) . In acest sens, aplicatia permite construirea grafului prin utilizarea de obiecte grafice corespunzatoare elementelor fiecarei multimi din reprezentarea matematica a retelei Petri. Aceste obiecte sunt accesibile prin intermediul unui toolbar. Obiectele accesibile (necesare desenarii unei retele Petri) sunt: **Cursor**, **Place**, **Transition**, **Arc**, **Token**. Suprafata de desenare contine o retea de puncte (grid) distribuite pe linii și coloane echidistante, elementele grafice (pozitiile și tranzitiile) fiind centrate în cel mai apropiat punct al retelei fata de punctul în care au fost pozitionate.

Pozitiile **P** sunt plasate prin intermediul comenzii **Place**, ele fiind reprezentate prin cercuri, care pot avea de raze diferite, **Small** – reprezentare la scara redusa, **Normal** – reprezentare la scara normala, **Large** – reprezentare la scara extinsa, dimensiunea implicita fiind **Normal**.

Tranzitiile **T** sunt plasate prin intermediul comenzii **Transition**, ele fiind reprezentate prin suprafete dreptunghiulare negre, care pot avea dimensiuni diferite, **Small**, **Normal**, **Large**, dimensiunea implicita a unei tranzitii este **Normal** în pozitie orizontala.

Repozitionarea unuia dintre obiectele descrise mai sus se realizeaza prin interediul comenzii **Cursor**.

Trasarea unui arc de la o pozitie la o tranzitie sau de la o tranzitie la o pozitie se realizeaza prin intermediul comenzii **Arc**. Ponderea implicita a unui arc este 1, existand si posibilitatea de modificare a acesteia.

Adaugarea de jetoane într-o pozitie se realizeaza cu ajutorul comenzii **Token**. Un jeton este reprezentat prin intermediul unei buline, iar daca într-o pozitie se afla mai multe jetoane ele vor fi reprezentate corespunzator.

Aplicatia *PetriTim* ofera posibilitatea salvarii grafului rețelei Petri desenate într-un fisier cu extensia **.pnd**. Fisierul cuprinde multimea pozitiilor, a tranzitiilor, a arcelor, a ponderile acestora și marcajul initial. Un alt fisier ce poate fi generat este cel care cuprinde matricile de incidenta (fisier cu extensia **.pnm**). În el se regasesc matricea de incidenta de ieșire, matricea de incidenta de intrare, matricea de incidenta (diferenta celor doua) și matricea de incidenta transpusa. Cel de-al treilea fisier ce poate fi generat este cel referitor la ecuatia de stare (fisier cu extensia **.peq**). Acesta cuprinde marcajul initial, matricea de incidenta și transpusa acesteia, vectorul de control și starea urmatoare ca rezultat al ecuatiei de stare.

Pentru simularea unei rețele Petri, aplicatia *PetriTim* pune la dispozitie comenzile:

- **Step** – utilizata pentru simularea pas cu pas, tranzitiile validate sunt prezentate prin intermediul unui dreptunghi albastru utilizatorul avand posibilitatea de a alege „traseul” dorit. Din acest mod se iese prin apasarea butonului **Stop** sau **Reset**.
- **Run** – utilizata pentru simularea in mod continuu a rețelei Petri, tranzitiile fiind validate automat de aplicatie. Din acest mod se iese prin apasarea butonului **Stop** sau **Reset**.
- **Stop** – utilizata pentru oprirea simulării fara revenire in starea initiala.
- **Reset** – utilizata pentru aducerea rețelei Petri simulata in starea initiala.

Pentru fiecare din obiectele grafice (pozitii, tranzitii, arce) sunt prevazute meniuri pop-up care se deschid în momentul în care un obiect este activat pentru editare. Pentru pozitii exista posibilitatea alegerii dimensiunii acestora, a numelui, a capacitatii, a numarului de jetoane, precum și posibilitatea ștergerii acestora. Pentru tranzitii exista posibilitatea alegerii dimensiunii acestora, a numelui, a pozitiei (orizontala sau verticala), precum și posibilitatea ștergerii acestora. Pentru arce, exista posibilitatea alegerii ponderii acestora și a ștergerii lor.

Daca se dorește ștergerea unui obiect, din meniul pop-up corespunzator, se selecteaza optiunea Delete. La stergerea unei pozitii sau a unei tranzitii arcele corespunzatoare sunt sterse automat.

5.2. Interfata cu utilizatorul

Interfata cu utilizatorul, a aplicatiei, este una prietenoasa, existand o bara de meniu care contine diferite optiuni, doua toolbar-uri, mai multe meniuri de context, precum și o serie de ferestre de dialog care afișeaza sau permit setarea unor parametrii referitori la graful rețelei Petri. Fereastra principala a aplicatiei este prezentata în figura 5.1.

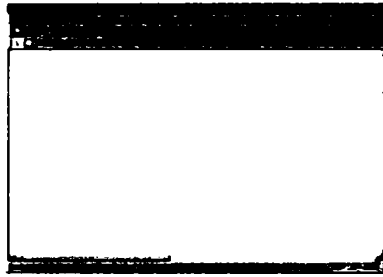


Figura 5.1. Aplicatia PetriTim – fereastra principala

5.3. Meniurile aplicatiei

Meniul **F**ile este prezentat în figura. 5.2 și are următoarele opțiuni:

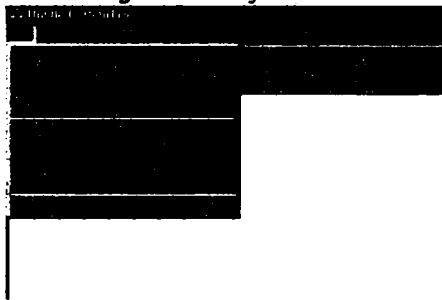


Figura 5.2. Meniul *File*

- **N**ew - realizeaza închiderea fișierului curent (daca este deschis vreunul) și crearea unui nou fișier pentru desenarea unui graf nou.
- **O**pen - deschide o fereastra de dialog în care utilizatorul poate alege un fișier deja creat care va fi încarcat (fișiere cu extensia **.pn**). Daca exista deja un fișier deschis, acesta va fi închis.
- **S**ave - optiune care permite salvarea fișierului; daca fișierul este nou creat și nu are un nume, se va deschide o fereastra de dialog în care se alege un nume pentru fișierul respectiv (la nume se adauga extensia **.pn**).
- **S**ave **A**s - deschide o fereastra de dialog în care utilizatorul poate alege un nume pentru fișierul ce urmeaza a fi salvat (la nume se adauga extensia **.pn**).
- **1 D:\Home...** - reprezinta ultimele fișiere deschise în cadrul aplicatiei.
- **E**xit - optiune care permite terminarea programului.

Meniul **V**iew este prezentat în figura 5.3 și are următoarea structura:



Figura 5.3. Meniul *View*

- **Toolbar** - permite afișarea/dispariția toolbar-ului principal.
- **Status Bar** - permite afișarea/dispariția barei de status de la baza ferestrei principale.
- **Paint** - opțiune care permite afișarea sau dispariția toolbar-ului cu elemente grafice de rețea Petri și cu butoane pentru simularea dinamicii acestora.

Meniul **Run** este prezentat în figura 5.4 și are următoarele opțiuni: **Step**, **Run**, **Stop**, **Reset**.

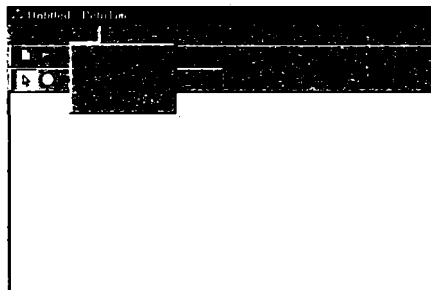


Figura 5.4. Meniul *Run*

Meniul **Generate** este prezentat în figura 5.5 și are următoarea structură:

- **PN description** - are ca efect crearea unui fișier care cuprinde descrierea rețelei Petri.

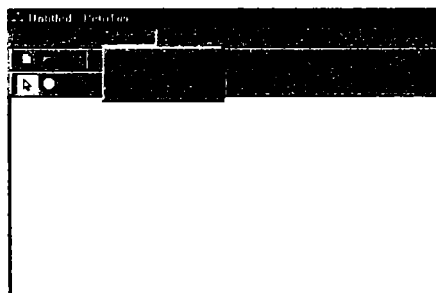


Figura 5.5. Meniul *Generate*

- **Incidence matrix** - are ca efect crearea unui fișier care cuprinde matricea de incidență de intrare, matricea de incidență de ieșire, matricea de incidență (calculată ca diferența a celor două) și matricea de incidență transpusă.

- **State equation** - opțiune care crează un fișier ce cuprinde desiererea ecuației de stare. Fișierul va conține marcajul initial, matricea de incidenta, matricea de incidenta transpusa, vectorul de control și starea urmatoare (marcajul urmator) a rețelei Petri, stare rezultata din calculul ecuației de stare.

Meniul **Help** are o singura opțiune și este prezentat în figura 5.6.

- **About Petri...** - afișează informații despre aplicația PetriTim.



Figura 5.6. Meniul *Help*

Pe lângă meniurile de baza, mai există o serie de meniuri pop-up, numite "meniuri de context" și care apar în momentul în care se activează un obiect grafic (poziție, tranziție, arc).

În cazul **poziției**, meniul corespunzător este prezentat în figura 5.7.

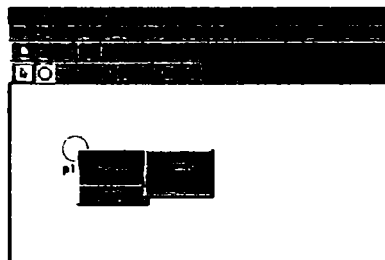


Figura 5.7. Meniul de context pentru poziții

În cazul **tranziției**, meniul corespunzător este prezentat în figura 5.8.

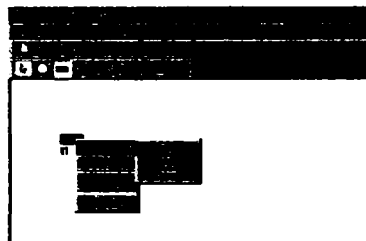


Figura 5.8. Meniul de context pentru tranziții

Meniul corespunzător unui **arc** este prezentat în figura 5.9.

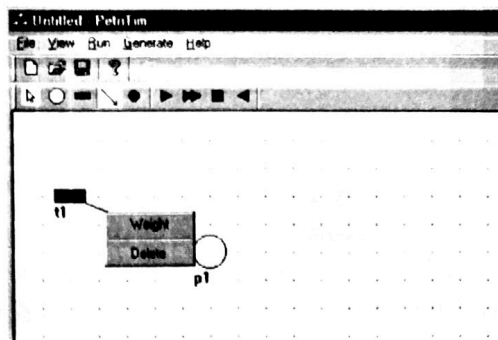


Figura 5.9. Meniul de context pentru arce

5.4. Toolbar-urile aplicației

În cadrul aplicației sunt implementate două toolbar-uri și un status bar care permite afișarea a diferite mesaje cu privire la butoanele și meniurile aplicației. Butoanele toolbar-ului principal al aplicației sunt prezentate în figura 5.10.

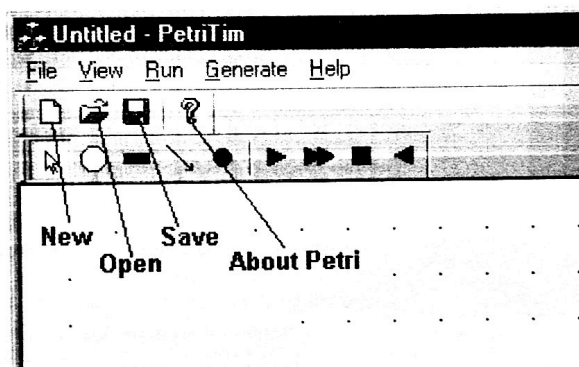


Figura 5.10. Toolbar-ul principal al aplicației PetriTim

Butoanele toolbar-ului numit "Paint" sunt prezentate în figura 5.11 și sunt împartite în două grupuri:

- grupul butoanelor de desenare – conține obiectele grafice necesare desenării rețelei Petri (*Cursor*, *Place*, *Transition*, *Arc*, *Token*).
- grupul butoanelor de simulare (*Step*, *Run*, *Stop*, *Reset*).

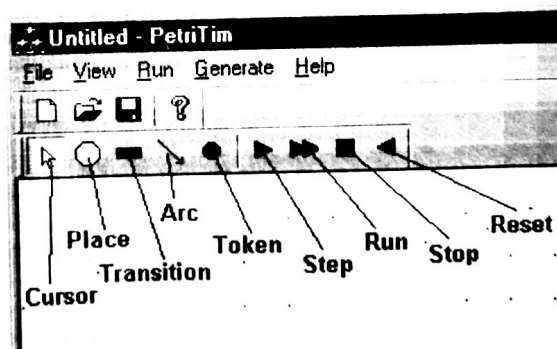


Figura 5.11. Toolbar-ul „paint” al aplicației PetriTim

5.5. Ferestre de dialog

Modificarea parametrilor corespunzatori unei pozitii se realizeaza cu ajutorul comenzii **Options**, fereastra de dialog corespunzatoare este prezentata în figura 5.12. Cu ajutorul acestei comenzi se pot schimba numele pozitiei, capacitatea și numarul de jetoane corespunzatoare marcajului initial.

În cazul unei tranzitii, prin intermediul optiunii **Name**, utilizatorul poate schimba numele tranzitiei respective. Fereastra de dialog corespunzatoare este prezentata în figura 5.13.a.

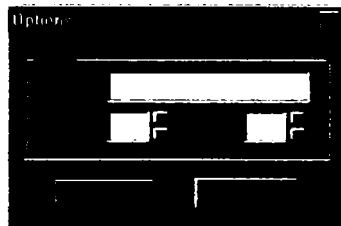
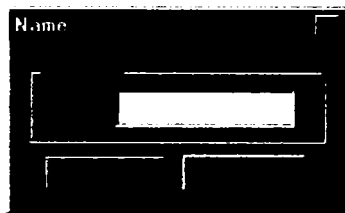
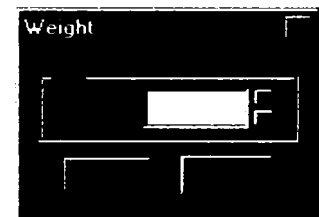


Figura 5.12. Fereastra de dialog pentru setarea optiunilor unei pozitii



a)



b)

Figura 5.13. Fereastra de dialog pentru setarea numelui unei tranzitii (a) și a ponderii unui arc (b)

În cazul arcelor, prin intermediul optiunii **Weight**, utilizatorul poate modifica ponderea arcului respectiv. In figura 5.13.b este prezentata fereastra corespunzatoare optiunii Weight..

5.6. Implementare

Programul a fost implementat utilizând mediul de dezvoltare Visual C++, si este bazat pe folosirea tehnicii orientata pe obiecte. Pentru implementare au fost definite mai multe clase: a obiectelor grafice (pozitie, tranzitie, arc), a grafului rețelei Petri, a operatiilor matriciale, a ferestrelor de dialog.

*Clasa **Cplace** – corespunzatoare implementarii unei pozitii*

Structura corespunzatoare acestei clase este:




```

UINT m_Tokens;
UINT m_Capacity;
CPlace(UINT x, UINT y, CString name);
CString m_Name;
UINT m_Y;
UINT m_X;
CPlace();
virtual ~CPlace();
BOOL operator==(CPlace place);
BOOL operator!=(CPlace place);
DECLARE_SERIAL(CPlace)
};

```

Membrii acestei clase sunt:

- **m_X** și **m_Y** - reprezinta coordonatele centrului pozitiei corespunzatoare din graful reprezentat (membri de tipul **UINT**).
- **m_Name** - reprezinta numele pozitiei și la creare, primește un nume format din litera *p* și un numar care reprezinta numarul pozitiei din graf (membru de tipul **CString**).
- **m_Capacity** - reprezinta capacitatea pozitiei respective (membru de tipul **UINT**).
- **m_Tokens** - reprezinta numarul de jetoane din pozitia respectiva (membru de tipul **UINT**).

Metodele acestei clase sunt:

- **CPlace()** - constructor fara argumente.
- **CPlace (UINT x, UINT y, CString name)** - un constructor care primește ca parametri coordonatele centrului pozitiei și numele acesteia și seteaza membrii corespunzatori cu aceste valori.
- **~CPlace()** - destructorul clasei **CPlace**.
- **operator==(CPlace place)** - reprezinta redefinirea operatorului ==, iar ca tip returnat, **BOOL**.
- **operator!=(CPlace place)** - reprezinta redefinirea operatorului !=, iar ca tip returnat, **BOOL**.
- **Serialize(CArchive &ar)**, functie care se apeleaza la salvarea / încărcarea informatiilor corespunzatoare pozitiei într-un / dintr-un fișier.

*Clasa **Ctransition** – corespunzatoare implementarii unei tranzitii*

Structura acestei clase este:

```

class CTransition : public CObject
{
    DECLARE_SERIAL(CTransition);
public:
    BOOL m_Valid;
    void Serialize(CArchive& ar);
    BOOL m_Horiz;
    CTransition(UINT x, UINT y, CString name, BOOL horiz);
    CString m_Name;
    UINT m_X;
    UINT m_Y;
    CTransition();

```

```

virtual ~CTransition();
BOOL operator==(CTransition transition);
BOOL operator!=(CTransition transition);
};

```

Membrii acestei clase sunt:

- **m_X** și **m_Y** - reprezintă coordonatele centrului tranziției corespunzătoare din graful reprezentat (membri de tipul **UINT**).
- **m_Name** - reprezintă numele tranziției și la crearea ei se da un nume format din litera *t* și un număr care reprezintă numărul tranziției din graful (membru de tipul **CString**).
- **m_Horiz** - reprezintă un membru a cărui valoare indică orientarea tranziției (orizontală sau verticală) graf (membru de tipul **BOOL**).

Metodele acestei clase sunt:

- **CTransition()** - constructor fără argumente.
- **CTransition (UINT x, UINT y, CString name, BOOL horiz)** - constructor care primește ca parametri coordonatele centrului tranziției, numele acesteia și orientarea ei. Membrii corespunzători vor fi setați cu aceste valori.
- **~CTransition()** - reprezintă destructorul clasei **CTransition**.
- **operator ==(CTransition transition)** - reprezintă redefinirea operatorului **==**, iar ca tip returnat, **BOOL**.
- **operator !=(CTransition transition)** - reprezintă redefinirea operatorului **!=**, iar ca tip returnat, **BOOL**.
- **Serialize(CArchive &ar)**, funcție care se apelează la salvarea / încărcarea informațiilor corespunzătoare tranziției într-un / dintr-un fișier.

*Clasa **CArc** - corespunzătoare implementării unui arc*

Structura acestei clase este:

```

class CArc : public CObject
{
    DECLARE_SERIAL(CArc);
public:
    void Serialize(CArchive& ar);
    CArc(CPlace* place, CTransition* transition, UINT sense, UINT weight);
    UINT m_Sense;
    UINT m_Weight;
    CTransition* m_pTransition;
    CPlace* m_pPlace;
    CArc();
    virtual ~CArc();
};

```

Membrii clasei sunt:

- **m_pPlace** - reprezintă un pointer la poziția corespunzătoare arcului (un arc leagă obligatoriu o poziție și o tranziție).
- **m_pTransition** - reprezintă un pointer la tranziția corespunzătoare arcului.
- **m_Sense** - reprezintă sensul arcului și ia următoarele valori:

- **PLACE_TRANSITION** daca arcul este orientat de la pozitie la tranzitie;
- **TRANSITION_PLACE** daca arcul e orientat invers (membru de tipul **UINT**).
- **m_Weight** - reprezinta ponderea arcului respectiv (membru de tipul **UINT**).

Metodele acestei clase sunt:

- **CArc()** - constructor fara argumente.
- **CArc (CPlace* place, CTransition* transition, UINT sense, UINT weight)** - constructor care primește ca parametri câte un pointer la pozitia și tranzitia corespunzatoare arcului, sensul acestuia și ponderea lui.
- **~CArc()** - reprezinta destructorul clasei CArc.
- **Serialize(CArchive &ar)** - functie care se apeleaza la salvarea / încărcarea informatiilor corespunzatoare arcului într-un / dintr-un fișier.

*Clasa **Cgraph** - corespunzatoare grafului rețelei Petri*

Aceasta clasa are urmatoarea structura:

```
class CGraph : public CObject
{
public:
    BOOL IsValid(CTransition* pTransition);
    void Serialize(CArchive& ar);
    BOOL IsSingleArc(CPlace* place, CTransition* transition);
    CArc* GetArc(CPlace* pPlace, CTransition* pTransition, UINT sense);
    CArc* IsArc(CPoint point);
    void RemoveArc(CArc* pArc);
    void RemoveTransition(CTransition* pTransition);
    void RemovePlace(CPlace* pPlace);
    int m_IS[MAX_PLACES];
    int m_R;
    int m_H;
    int m_W;
    void GetRect(CTransition* transition, CRect* rect);
    void GetRect(CPlace* place, CRect* rect);
    CPlace* IsPlace(CPoint point);
    CTransition* IsTransition(CPoint point);
    int AddArc(CArc* pArc);
    int AddTransition(CTransition* pTransition);
    void DrawGraph(CDC* pDC);
    BOOL IsValidArc(CPlace* place, CTransition* transition, UINT sense);
    BOOL IsValidTransition(CPoint point, CRect rect, CTransition* transition);
    BOOL IsValidPlace(CPoint point, CRect rect, CPlace* place);
    int AddPlace(CPlace* pPlace);
    CArray <CTransition*, CTransition*> m_Transitions;
    CArray <CPlace*, CPlace*> m_Places;
    CArray <CArc*, CArc*> m_Arcs;
    CGraph();
    virtual ~CGraph();
};
```

```
private:
    void DrawArc(CDC* pDC, CPoint a, CPoint b, double beta,UINT weight);
    DECLARE_SERIAL(CGraph)
};
```

Membrii acestei clase sunt:

- **m_Places** - reprezinta un tablou de pointeri la pozitiile din graful reprezentat.
- **m_Transitions** - reprezinta un tablou de pointeri la tranzitiile din graful reprezentat.
- **m_Arcs** - reprezinta un tablou de pointeri la arcele din graful reprezentat.
- **m_R** - reprezinta raza pozitiilor din graf; toate pozitiile au la un moment dat aceeași dimensiune (membru de tipul **int**).
- **m_W** și **m_H** - reprezinta jumătatea lungimii respectiv jumătatea latimii tranzitiilor (membri de tipul **int**).
- **m_IS** - reprezinta un tablou de întregi care are rol de a memora marcajul initial necesar la aducerea grafului la starea initiala ca urmare a optiunii **Reset**.

Metodele acestei clase sunt:

- **CGraph()** - constructor fara argumente, în care se fixeaza niște valori initiale pentru **m_R (Normal)**, **m_W (Normal)**, **m_H (Normal)**, iar marcajul initial va fi [0,0,...,0].
- **~CGraph()** - reprezinta destructorul clasei **CGraph**.
- **AddArc(CArc* pArc)** - metoda care adauga un arc la tabloul **m_Arcs** și returneaza indexul lui în tablou.
- **AddPlace(CPlace* pPlace)** - metoda care adauga o pozitie la tabloul **m_Places** și returneaza indexul ei în tablou.
- **AddTransition(CTransition* pTransition)** - metoda care adauga o tranzitie la tabloul **m_Transitions** și returneaza indexul ei în tablou.
- **DrawArc(CDC *pDC, CPoint a, CPoint b, double beta, UINT weight)** - functie care deseneaza un arc de la punctul **a** la punctul **b**.
- **DrawGraph(CDC* pDC)** - functie care deseneaza graful rețelei Petri. Un exemplu de graf desenat se poate observa în figura 5.14.
- **GetArc(CPlace *pPlace, CTransition *pTransition, UINT sense)** - aceasta functie returneaza un pointer la arcul ce unește pozitia și tranzitia trimise ca parametri și are sensul **sense**. Daca nu exista un astfel de arc, se returneaza **NULL**.

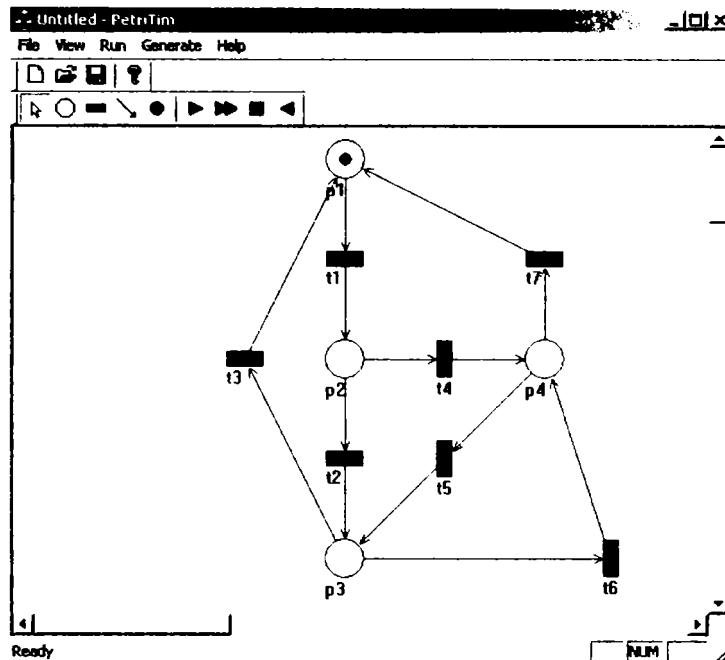


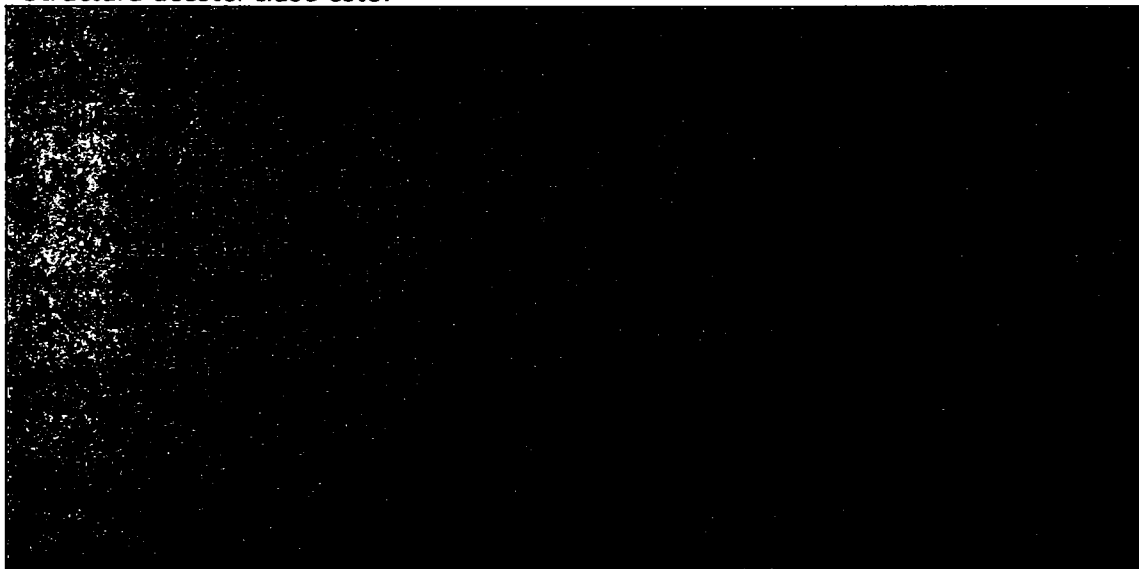
Figura 5.14. Un exemplu de graf desenat în aplicația PetriTim

- **GetRect(CPlace* pPlace, CRect* rect)** - funcție care returnează în variabila **rect** suprafața cea mai mică care cuprinde poziția **pPlace** și celelalte tranziții care sunt legate printr-un arc de această poziție. Este folosită de funcția **InvalidateRect(rect)** care va redesena suprafața respectivă.
- **GetRect(CTransition* pTransition, CRect* rect)** - funcție care returnează în variabila **rect** suprafața cea mai mică care cuprinde tranziția **pTransition** și celelalte poziții care sunt legate printr-un arc de această tranziție. Este folosită de funcția **InvalidateRect(rect)** care va redesena suprafața respectivă.
- **IsArc(CPoint point)** - funcție care determină dacă prin punctul **point** trece vreun arc. Dacă da, se va returna un pointer la acel arc, dacă nu, se va returna **NULL**.
- **IsPlace(CPoint point)** - funcție care verifică dacă în punctul **point** există sau nu o poziție. Dacă da, va returna un pointer la acea poziție, dacă nu, se returnează **NULL**.
- **IsTransition(CPoint point)** - funcție care determină dacă în punctul **point** există sau nu o tranziție. Dacă da, va returna un pointer la acea tranziție, dacă nu, se returnează **NULL**.
- **IsSingleArc(CPlace* place, CTransition* transition)** - funcție care determină dacă între poziția **place** și tranziția **transition** există un sau mai multe arce, tipul rezultat fiind **BOOL**.
- **IsValid(CTransition* pTransition)** - funcție care determină dacă tranziția **pTransition** este validată sau nu prin verificarea următoarelor condiții: numărul de jetoane al fiecărei poziții de intrare trebuie să fie mai mare sau egal cu ponderea arcului corespunzător, iar capacitatea fiecărei poziții de ieșire trebuie să fie mai mare sau egală cu suma jetoanelor acestora și a ponderii arcului corespunzătoare.

- **IsValidArc(CPlace* place, CTransition* transition, UINT sense)** - functie care determina daca intre tranzitia și pozitia transmise ca parametri nu exista deja un arc cu sensul **sense**, tipul returnat fiind **BOOL**.
- **IsValidPlace(CPoint point, CRect rect, CPlace* place)** - functie care determina daca în punctul **point** și în suprafata **rect** poate exista o pozitie. Când se creeaza o pozitie noua, parametrul **place** va fi **NULL**. Când se schimba locatia unei pozitii, acest parametru reprezinta chiar pointerul la pozitia respectiva.
- **IsValidTransition(CPoint point, CRect rect, CTransition* transition)** - functie care determina daca în punctul **point** și în suprafata **rect** poate exista o tranzitie. Când se creeaza o tranzitie noua, parametrul **transition** va fi **NULL**. Când se schimba locatia unei tranzitii, acest parametru reprezinta chiar pointerul la tranzitia respectiva.
- **RemoveArc(CArc* pArc)** - functie care sterge arcul **pArc** din tabloul **m_Arcs**.
- **RemovePlace(CPlace* pPlace)** - functie care sterge pozitia **pPlace** din tabloul **m_Places**. De asemenea, aceasta functie sterge și arcele care leaga aceasta pozitie de tranzitii.
- **RemoveTransition(CTransition* pTransition)** - functie care sterge tranzitia **pTransition** din tabloul **m_Transitions**. De asemenea, aceasta functie sterge și arcele care leaga aceasta tranzitie de pozitii.
- **Serialize(CArchive &ar)** - functie apelata la salvarea / încărcarea grafului rețelei Petri într-un / dintr-un fișier.

*Clasa **Cmatrix** - corespunzatoare operatiilor matriciale*

Structura acestei clase este:



Membrii acestei clase sunt:

- **m_uLines** - reprezinta numarul de linii ale matricii (membru de tipul **UINT**).
- **m_uCols** - reprezinta numarul de coloane ale matricii (membru de tipul **UINT**).

- **m_Matrix** - reprezinta un tablou bidimensional de întregi pentru memorarea valorilor elementelor matricii.

Metodele acestei clase sunt:

- **CMatrix()** - constructor fara argumente.
- **CMatrix(UINT uLines, UINT uCols)** - constructor care primește ca parametri numarul de linii și de coloane al matricii respective.
- **~CMatrix()** - destructorul clasei CMatrix.
- **SetElem(UINT uLine, UINT uCol, int nVal)** - functie care atribuie elementului din linia **uLine** și coloana **uCol** valoarea **nVal**.
- **GetElem(UINT uLine, UINT uCol)** - functie care returneaza valoarea elementului din linia **uLine** și coloana **uCol** (tipul **int**).
- **AddMatrix(CMatrix matrix)** - functie care realizeaza adunarea a doua matrici. Daca dimensiunile celor doua matrici nu coincid, functia va returna **false**, altfel ea returneaza **true**.
- **SubMatrix(CMatrix matrix)** - functie care realizeaza scaderea a doua matrici. Daca dimensiunile celor doua matrici nu coincid, functia va returna **false**, altfel ea returneaza **true**.
- **MulMatrix(CMatrix matrix)** - functie care realizeaza înmultirea a doua matrici. Daca numarul de coloane al obiectului pentru care se face apelul de functie nu coincide cu numarul de linii al matricii matrix, se va returna **false**, altfel se returneaza **true**.
- **TranspMatrix()** - functie care calculeaza transpusa unei matrici.

*Clasa **CPlaceOptDlg** – corespunzatoare unei ferestre de dialog pentru o pozitie*

Aceasta clasa are urmatoarea structura:

```
class CPlaceOptDlg : public CDialog
{
// Construction
public:
    CPlaceOptDlg(CWnd* pParent = NULL); // standard constructor

// Dialog Data
    enum { IDD = IDD_PLACE_OPT };
    CSpinButtonCtrl    m_CapSpin;
    CSpinButtonCtrl    m_TokSpin;
    CString m_Name;
    UINT    m_Tokens;
    UINT    m_Capacity;

// Overrides
// ClassWizard generated virtual function overrides
protected:
    virtual void DoDataExchange(CDataExchange* pDX);

// Implementation
protected:
// Generated message map functions
    virtual BOOL OnInitDialog();
    DECLARE_MESSAGE_MAP()
};
```

Membrii acestei clase sunt:

- **m_Name** - pentru câmpul "Name" și permite schimbarea numelui pozitiei (membru de tipul **CString**).
- **m_Capacity** - pentru câmpul "Capacity" și permite setarea capacitatii pozitiei (valoarea implicita a acestui câmp este 10, membru de tipul **UINT**).
- **m_Tokens** - pentru câmpul "Tokens" și permite setarea numarului de jetoane în pozitia respectiva (în intervalul cuprins între 0 și **Capacity**, membru de tipul **UINT**).
- **m_CapSpin** pentru controlul de tip spin asociat câmpului "Capacity".
- **m_TokSpin** pentru controlul de tip spin asociat câmpului "Tokens".

Metoda acestei clase este **OnInitDialog()**.

Clasa **CtransOptDlg** – corespunzatoare unei ferestre de dialog pentru o tranzitie

Aceasta clasa are urmatoarea structura:

```
class CTransOptDlg : public CDialog
{
// Construction
public:
    CTransOptDlg(CWnd* pParent = NULL); // standard constructor

// Dialog Data
    enum { IDD = IDD_TRANS_NAME };
    CString m_Name;

// Overrides
    // ClassWizard generated virtual function overrides
    protected:
    virtual void DoDataExchange(CDataExchange* pDX);

// Implementation
protected:
    // Generated message map functions
    // NOTE: the ClassWizard will add member functions here
    DECLARE_MESSAGE_MAP()
};
```

Aceasta clasa are un singur membru:

- **m_Name** care este o mapare pentru câmpul "Name" și care permite schimbarea numelui tranzitiei (membru de tipul **CString**).

Clasa **CarcOptDlg** – corespunzatoare unei ferestre de dialog pentru un arc

Aceasta clasa are urmatoarea structura:

```
class CArcOptDlg : public CDialog
{
// Construction
public:
    CArcOptDlg(CWnd* pParent = NULL); // standard constructor
```



```

// Dialog Data
enum { IDD = IDD_ARC_WEIGHT };
CSpinButtonCtrl      m_WeightSpin;
UINT   m_Weight;

// Overrides
// ClassWizard generated virtual function overrides
protected:
virtual void DoDataExchange(CDataExchange* pDX);

// Implementation
protected:
// Generated message map functions
virtual BOOL OnInitDialog();
DECLARE_MESSAGE_MAP()
};

```

Membrii acestei clase sunt:

- **m_Weight** - este o mapare pentru câmpul "Weight" și care permite setarea ponderii arcului respectiv (ponderea implicita pentru fiecare arc este 1, membru de tipul **UINT**).
- **m_WeightSpin** - reprezinta o mapare pentru controlul de tip spin asociat câmpului "Weight".

Metoda acestei clase este **OnInitDialog()**.

În plus, mai exista o serie de clase, generate în mod automat de catre Visual C++ la crearea unei aplicatii de tip SDI (Single Document Interface), asa cum este PetriTim: **CMainFrame**, **CPetriTimApp**, **CPetriTimDoc** și **CPetriTimView**. În ultima clasa (*CpetriTimView*) se gasesc functiile care intercepteaza diferite mesaje generate de alegerea unei optiuni de meniu sau de un click de mouse. În continuare se vor descrie o parte din aceste functii.

- **OnButtonArc()** - functie care se apeleaza la apasarea butonului **Arc** din toolbar-ul **Paint** și care atribuie membrului acestei clase, **m_PaintObj**, valoarea **ARC**. Acest buton permite desenarea de arce între pozitii și tranzitii.
- **OnButtonCursor()** - functie care se apeleaza la apasarea butonului **Cursor** din toolbar-ul **Paint** și care atribuie membrului acestei clase, **m_PaintObj**, valoarea **CURSOR**. Acest buton trebuie apasat în momentul în care se dorește mutarea unui obiect gata desenat.
- **OnButtonPlace()** - functie care se apeleaza la apasarea butonului **Place** din toolbar-ul **Paint** și care atribuie membrului acestei clase, **m_PaintObj**, valoarea **PLACE**. Acest buton permite desenarea de pozitii.
- **OnButtonTransition()** - functie care se apeleaza la apasarea butonului **Transition** din toolbar-ul **Paint** și care atribuie membrului acestei clase, **m_PaintObj**, valoarea **TRANSITION**. Acest buton permite desenarea de tranzitii.
- **OnButtonRun()** - functie care se apeleaza la apasarea butonului **Run** și creeaza un fir de executie **CreateThread(NULL, 0, FuncThread, this, 0, &dwId)**.
- **OnButtonStep()** - functie care se apeleaza la apasarea butonului **Step**. Acesta functie evidentiaza toate tranzitiile validate prin schimbarea culorii

tranzitiilor în albastru (un dreptunghi albastru). În acest caz, simularea se va face printr-un click pe tranzitia care se dorește a fi executată.

- **OnButtonReset()** - funcție care se apelează la apăsarea butonului **Reset** și oprește firul de execuție creat la apăsarea butonului **Run** sau oprește simularea pas cu pas inițiată la apăsarea butonului **Step**. După aceste operații, se reface marcajul inițial și se redesenează graful.
- **OnButtonStop()** - funcție care se apelează la apăsarea butonului **Stop** și oprește firul de execuție creat la apăsarea butonului **Run** (dacă a fost creat vreunul) sau oprește simularea pas cu pas inițiată la apăsarea butonului **Step**.
- **OnGeneratePnfile()** - funcție care se apelează la alegerea din meniul **Generate** a opțiunii **PN description**. Pe ecran va apărea o fereastră de dialog în care utilizatorului i se cere să introducă un nume pentru fișierul în care se va salva structura rețelei Petri. Acest fișier are următoarea structură:

```
%Fișierul descrie rețeaua Petri
%P - multimea pozițiilor
P = {p1,p2,p3,p4}
%T - multimea tranzitiilor
T = {t1,t2,t3,t4,t5,t6,t7}
%F - multimea arcelor
F = {(p1,t1),(p2,t2),(p2,t4),(p3,t3),(p3,t6),(p4,t5),(p4,t7),(t1,p2),(t2,p3),
(t3,p1),(t4,p4),(t5,p3),(t6,p4),(t7,p1)}
%w - funcția de ponderare a arcelor
w(p1,t1) = 1;w(p2,t2) = 1;w(p2,t4) = 1;w(p3,t3) = 1;w(p3,t6) = 1;
w(p4,t5) = 1;w(p4,t7) = 1;w(t1,p2) = 1;w(t2,p3) = 1;w(t3,p1) = 1;
w(t4,p4) = 1;w(t5,p3) = 1;w(t6,p4) = 1;w(t7,p1) = 1;
%M0 - marcajul inițial
M0 = [1,0,0,0];
end.
```

- **OnGenerateMatrix()** - funcție care se apelează la alegerea din meniul **Generate** a opțiunii **Incidence matrix**. Pe ecran va apărea o fereastră de dialog în care utilizatorului i se cere să introducă un nume pentru fișierul în care se vor salva matricile corespunzătoare rețelei Petri. Acest fișier are următoarea structură:

```
%Fișierul descrie matricile de incidență ale rețelei Petri
%Matricea de incidență de ieșire (A+)
|| 0 1 0 0 ||
|| 0 0 1 0 ||
|| 1 0 0 0 ||
|| 0 0 0 1 ||
|| 0 0 1 0 ||
|| 0 0 0 1 ||
|| 1 0 0 0 ||
%Matricea de incidență de intrare (A-)
|| 1 0 0 0 ||
|| 0 1 0 0 ||
|| 0 0 1 0 ||
```

```

|| 0 1 0 0 ||
|| 0 0 0 1 ||
|| 0 0 1 0 ||
|| 0 0 0 1 ||

```

%Matricea de incidenta A = (A+) - (A-)

```

|| -1 1 0 0 ||
|| 0 -1 1 0 ||
|| 1 0 -1 0 ||
|| 0 -1 0 1 ||
|| 0 0 1 -1 ||
|| 0 0 -1 1 ||
|| 1 0 0 -1 ||

```

%Matricea de incidenta transpusa At

```

|| -1 0 1 0 0 0 1 ||
|| 1 -1 0 -1 0 0 0 ||
|| 0 1 -1 0 1 -1 0 ||
|| 0 0 0 1 -1 1 -1 ||

```

end.

- **OnGenerateStateeq()** - functie care se apeleaza la alegerea din meniul **Generate** a optiunii **State equation**. Fişierul generat are urmatoarea structura:

%Fisierul descrie ecuația de stare a rețelei Petri	(continuare 1) %Vector de control	(continuare 2) %Starea urmatoare	(continuare 3) %Vector de control
%Marcajul initial M0 1 0 0 0	0 1 0 0 0 0 0	0 1 0 0	0 0 0 0 0 1 0
%Matricea de incidenta A = (A+) - (A-) -1 1 0 0 0 -1 1 0 1 0 -1 0 0 -1 0 1 0 0 1 -1 0 0 -1 1 1 0 0 -1	%Starea urmatoare 0 0 1 0	%Starea urmatoare 0 0 1 0 0 0	%Starea urmatoare 0 0 0 0 1
%Matricea de incidenta transpusa At -1 0 1 0 0 0 1 1 -1 0 -1 0 0 0 0 1 -1 0 1 -1 0 0 0 0 1 -1 1 -1	%Vector de control 0 0 1 0 0 0	%Starea urmatoare 0 0 0 1	%Vector de control 0 0 0 0 0 1
%Vector de control 1 0 0 0 0 0 0	%Starea urmatoare 1 0 0 0	%Starea urmatoare 0 0 1 0 0	%Starea urmatoare 1 0 0 0
%Starea urmatoare 0 1 0 0	%Vector de control 1 0 0 0 0 0	%Starea urmatoare 0 0 1 0	

- **DoStep(CTransition* pTransition)** - functie care executa un pas din simularea grafului rețelei Petri executând tranzitia **pTransition**, daca aceasta este validata. Dupa ce se initiaza simularea pas cu pas, se

evidentiaza tranzitiile validate, iar în momentul în care se activeaza una din ele, se apeleaza functia **DoStep** pentru a o executa

5.7. Modelarea nodurilor de baza utilizand PetriTim

Validarea aplicatiei PetriTim s-a realizat prin testarea modelelor de baza stabilite pentru nodurile definite in capitolul 2.

Validarea modelului de tip retea Petri cu ajutorul programului PetriTim s-a realizat in doua moduri:

- prin vizualizarea in mod grafic a functionarii in regim pas cu pas;
- prin urmarire directa si analiza fisierului *n1.peq*.

In urma simularii functionarii unui model, pe baza fisierului *n1.peq*, interpretand marcajul si vectorul de control se poate construi arborele de acoperire.

Pentru exemplificarea modului in care s-a efectuat verificarea corectitudinii modului de operare al aplicatiei PetriTim se considera modelul de tip retea Petri corespunzator nodului de tip 1.

5.7.1. Testare model nod de tip 1

In figura 5.16 se prezinta modelul de tip retea Petri a nodului de tip 1 in PetriTim.

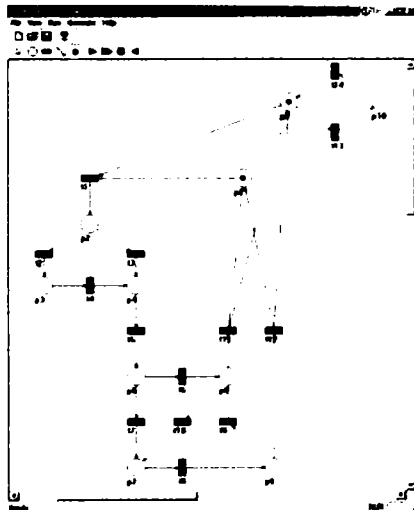


Figura. 5.16. Modelul corespunzator nodului de tip 1 in PetriTim

Fisierul corespunzator descrierii rețelei Petri are urmatoarea structura:

```

%Fisierul descrie rețeaua Petri
%P - multimea pozițiilor
P = {p1,p2,p3,p4,p5,p6,p7,p8,p9,p10}
%T - multimea tranzițiilor
T = {t1,t2,t3,t4,t5,t6,t7,t8,t9,t10,t11,t12,t13,t14}
%F - multimea arcelor
F={ (p1,t1),(p2,t2),(p2,t3),(p3,t4),(p4,t5),(p5,t6),(p5,t7),(p6,t10),(p6,t11),(p7,t8),
(p8,t9),(p8,t12),(p9,t1),(p9,t13),(p10,t14),
(t1,p2),(t2,p3),(t3,p4),(t4,p4),(t5,p5),(t6,p6),(t7,p7),(t8,p8),(t9,p6),(t10,p7),
(t11,p1),(t11,p9),(t12,p1),(t12,p9),(t13,p10),(t14,p9)}
%w - funcția de ponderare a arcelor
w(p1,t1) = 1; w(p2,t2) = 1; w(p2,t3) = 1; w(p3,t4) = 1;
w(p4,t5) = 1; w(p5,t6) = 1; w(p5,t7) = 1; w(p6,t10) = 1;w(p6,t11) = 1;
w(p7,t8) = 1;w(p8,t9) = 1;w(p8,t12) = 1;w(p9,t1) = 1;
w(p9,t13) = 1;w(p10,t14) = 1;w(t1,p2) = 1;w(t2,p3) = 1;w(t3,p4) = 1;
w(t4,p4) = 1;w(t5,p5) = 1;w(t6,p6) = 1;w(t7,p7) = 1;
w(t8,p8) = 1;w(t9,p6) = 1;w(t10,p7) = 1;w(t11,p1) = 1;w(t11,p9) = 1;
w(t12,p1) = 1;w(t12,p9) = 1;w(t13,p10) = 1;w(t14,p9) = 1;
%M0 - marcajul initial
M0 = [1,0,0,0,0,0,0,0,0,1,0];
end.

```

Comparand cele doua modele (cel stabilit si validat in capitolul 2 si cel generat de PetriTim) se constata ca ele sunt identice.

Matricile de incidenta generate de PetriTim sunt:

<pre> %Fisierul descrie matricile de incidenta ale rețelei Petri </pre>	
<pre> %Matricea de incidenta de iesire (A+) 0 1 0 0 0 0 0 0 0 0 0 0 1 0 0 0 0 0 0 0 0 0 0 1 0 0 0 0 0 0 0 0 0 1 0 0 0 0 0 0 0 0 0 0 1 0 0 0 0 0 0 0 0 0 0 1 0 0 0 0 0 0 0 0 0 0 1 0 0 0 0 0 0 0 0 0 0 1 0 0 0 0 0 0 0 0 0 1 0 0 0 0 0 0 0 0 0 1 0 0 0 0 0 0 0 0 0 1 0 0 1 0 0 0 0 0 0 0 1 0 1 0 0 0 0 0 0 0 1 0 0 0 0 0 0 0 0 0 0 1 0 0 0 0 0 0 0 0 1 0 </pre>	<pre> %Matricea de incidenta A = (A+) - (A-) -1 1 0 0 0 0 0 0 -1 0 0 -1 1 0 0 0 0 0 0 0 0 -1 0 1 0 0 0 0 0 0 0 0 -1 1 0 0 0 0 0 0 0 0 0 -1 1 0 0 0 0 0 0 0 0 0 -1 1 0 0 0 0 0 0 0 0 -1 1 0 0 0 0 0 0 0 0 -1 0 1 0 0 0 0 0 0 0 0 0 -1 1 0 0 0 0 0 0 0 0 1 0 -1 0 0 0 0 0 0 -1 1 0 0 0 1 0 0 0 0 -1 0 0 1 0 1 0 0 0 0 0 0 -1 1 0 0 0 0 0 0 0 0 0 -1 1 0 0 0 0 0 0 0 0 0 1 -1 </pre>
<pre> %Matricea de incidenta de intrare (A-) 1 0 0 0 0 0 0 0 1 0 0 1 0 0 0 0 0 0 0 0 0 1 0 0 0 0 0 0 0 0 0 0 1 0 0 0 0 0 0 0 0 0 0 1 0 0 0 0 0 0 </pre>	<pre> %Matricea de incidenta transpusa At -1 0 0 0 0 0 0 0 0 1 1 0 0 1 -1 -1 0 0 0 0 0 0 0 0 0 0 0 1 0 -1 0 0 0 0 0 0 0 0 0 0 0 1 1 -1 0 0 0 0 0 0 0 0 0 0 0 0 1 -1 -1 0 0 0 0 0 0 </pre>

Comparand aceste matrici cu cele obtinute prin modelarea in Matlab (paragraful 2.4.1.1) se observa ca matricile generate de PetriTim sunt identice cu cele obtinute in urma simulării modelului in Matlab.

In figura 5.17 se prezinta executia a patru pasi in timpul efectuării simulării rețelei.

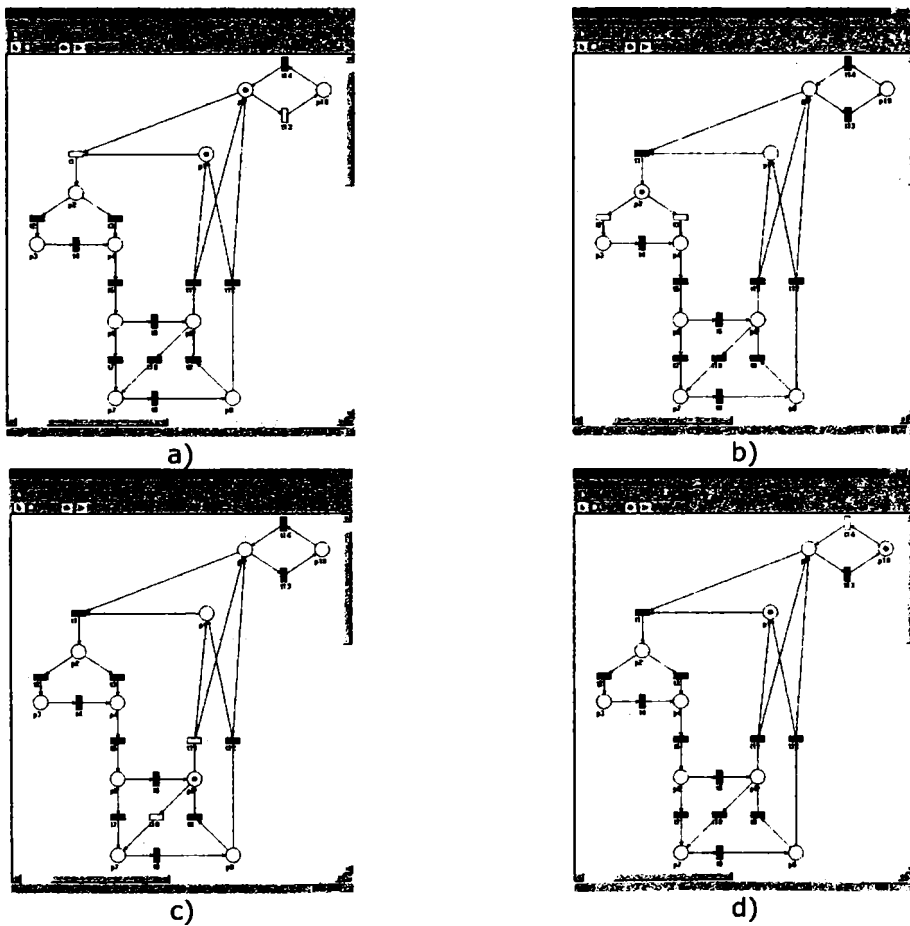


Figura 5.17. Executia pasilor in timpul simulării cu PetriTim

În figura 5.17 se poate observa cum tranzițiile care sunt validate la un moment dat sunt activate. Printr-un simplu click pe tranziția dorită aceasta este validată și executată.

Descrierea execuției rețelei, pe baza ecuației de stare, generată de PetriTim este (fișierul *n1.eq*):

<p>%Fișierul descrie ecuația de stare a rețelei Petri</p> <p>%Marcajul initial M0</p> <pre> 1 0 0 0 0 0 0 0 0 0 0 1 0 </pre>	<p>%Matricea de incidență A = (A+) - (A-)</p> <pre> -1 1 0 0 0 0 0 0 0 -1 0 0 -1 1 0 0 0 0 0 0 0 0 0 -1 0 1 0 0 0 0 0 0 0 0 0 -1 1 0 0 0 0 0 0 0 0 0 0 -1 1 0 0 0 0 0 0 0 0 0 0 -1 1 0 0 0 0 0 0 0 0 0 -1 0 1 0 0 0 0 0 0 0 0 0 0 -1 1 0 0 0 0 0 0 0 0 1 0 -1 0 0 0 0 0 0 0 0 -1 1 0 0 0 0 1 0 0 0 0 -1 0 0 1 0 0 1 0 0 0 0 0 0 -1 1 0 0 0 0 0 0 0 0 0 0 -1 1 1 0 0 0 0 0 0 0 0 0 1 -1 </pre>	<p>%Matricea de incidență transpusă At</p> <pre> -1 0 0 0 0 0 0 0 0 0 1 1 0 0 1 -1 -1 0 0 0 0 0 0 0 0 0 0 0 0 1 0 -1 0 0 0 0 0 0 0 0 0 0 0 0 1 1 -1 0 0 0 0 0 0 0 0 0 0 0 0 0 1 -1 -1 0 0 0 0 0 0 0 0 0 0 0 0 1 0 0 1 -1 -1 0 0 0 0 0 0 0 0 0 1 -1 0 1 0 0 0 0 0 0 0 0 0 0 0 1 -1 0 0 -1 0 0 -1 0 0 0 0 0 0 0 0 0 1 1 -1 1 0 0 0 0 0 0 0 0 0 0 0 0 1 -1 </pre>
<p>%Vector de control</p> <pre> 1 0 0 0 0 0 0 0 0 0 0 0 0 </pre> <p>%Starea următoare</p> <pre> 0 1 0 0 0 0 0 0 0 0 0 0 </pre>	<p>%Starea următoare</p> <pre> 0 0 0 1 0 0 0 0 0 0 0 </pre> <p>%Vector de control</p> <pre> 0 0 0 0 0 0 0 0 0 0 0 </pre>	<p>%Vector de control</p> <pre> 0 0 0 0 0 0 1 0 0 0 0 0 0 </pre> <p>%Starea următoare</p> <pre> 0 0 0 0 0 0 0 0 1 0 0 </pre>

<p>%Vector de control</p> <p> 0 1 0 0 0 0 0 0 0 0 0 0 0 0 0 0 </p> <p>%Starea urmatoare</p> <p> 0 0 1 0 0 0 0 0 0 0 </p> <p>%Vector de control</p> <p> 0 0 1 0 0 0 0 0 0 0 </p>	<p>%Starea urmatoare</p> <p> 0 0 0 0 1 0 0 0 0 0 </p> <p>%Vector de control</p> <p> 0 0 0 0 0 0 0 0 </p> <p>%Starea urmatoare</p> <p> 0 0 1 0 0 0 0 0 0 </p> <p>%Starea urmatoare</p> <p> 0 0 0 0 0 0 1 0 0 0 </p> <p>%Starea urmatoare</p> <p> 0 0 0 0 0 0 1 0 0 0 </p>	<p>%Vector de control</p> <p> 0 0 0 0 0 0 1 0 0 0 0 0 0 0 0 0 </p> <p>%Starea urmatoare</p> <p> 0 0 0 0 0 0 1 0 0 0 </p> <p>%Vector de control</p> <p> 0 0 0 0 0 0 0 0 0 0 1 0 0 0 </p>
<p>%Starea urmatoare</p> <p> 1 0 0 0 0 0 0 0 1 0 </p> <p>%Vector de control</p> <p> 0 0 </p>	<p>%Vector de control</p> <p> 1 0 0 0 0 0 0 0 0 0 0 0 0 </p>	<p>%Starea urmatoare</p> <p> 0 0 0 1 0 0 0 0 0 0 </p> <p>%Vector de control</p> <p> 0 0 </p>

<pre> 0 0 0 0 0 0 0 0 0 0 0 1 0 </pre>	<pre> %Starea urmatoare 0 1 0 0 0 0 0 0 0 0 0 0 0 </pre>	<pre> 0 0 0 1 0 0 0 0 0 0 0 0 0 </pre>
<pre> %Starea urmatoare 1 0 0 0 0 0 0 0 0 0 1 </pre>	<pre> %Vector de control 0 0 1 0 0 0 0 0 0 0 0 0 0 </pre>	<pre> %Starea urmatoare 0 0 0 0 0 1 0 0 0 0 0 </pre>
<pre> %Vector de control 0 0 0 0 0 0 0 0 0 0 0 0 0 1 </pre>	<pre> %Starea urmatoare 0 0 0 1 0 0 0 0 0 0 0 </pre>	<pre> %Vector de control 0 0 0 0 0 0 0 1 0 0 0 </pre>
<pre> %Starea urmatoare 1 0 0 0 0 0 0 0 0 1 0 </pre>	<pre> %Vector de control 0 0 0 1 0 0 0 0 0 0 0 0 0 </pre>	<pre> %Starea urmatoare 1 0 0 0 0 0 0 0 1 0 </pre>

Comparand marcajele atinse prin intermediul simulării cu PetriTim și marcajele obținute în urma simulării în Matlab se observă identitatea lor.

5.8. Concluzii

Aplicatia PetriTim, elaborata de catre autor, se prezinta ca un instrument extrem de util în studierea dinamicii retelelor Petri, prin posibilitatea vizualizarii sub o forma "animata" a functiei tranzitiilor de stare, a executarii tranzitiilor. Construirea grafului este facuta usor, prin selectarea obiectelor (pozitii, tranzitii, arce, jetoane). De asemenea, simularea tranzitiilor se face simplu, printr-o serie de comenzi sau optiuni din meniuri. Interfata utilizator este prietenoasa, furnizand mesaje și dialoguri cu utilizatorul în toate situatiile care pot sa apara.

O trasatura importanta a acestui program consta in posibilitatea generarii elementelor necesare analizei proprietatilor comportamentale (marcaj initial, vectori de stare, matrici de incidenta, ecuatiile de stare), pe baza lor putand fi abordate problemele legate de proprietatile structurale si comportamentale ale rețelei Petri analizate.

Validarea acestui program s-a realizat prin compararea rezultatelor obtinute in procesul de simulare a modelelor de tip retea Petri, prin utilizarea mediului Matlab si reespectiv PetriTim. Modelele utilizate, sunt cele care se refera la nodurile de tip 1, 2, 3 si 4 iar rezultatele obtinute cu PetriTim au fost identice cu cele obtinute in cazul utilizarii Matlab-ului, ceea ce face din PetriTim o aplicatie viabila in studiul rețelelor Petri.

Functionalitatea programului, multitudinea de procese tehnice ce pot fi studiate (calitativ) cu ajutorul lui PetriTim, alaturi de posibilitatile de îmbunatatire, fac din aceasta aplicatie un instrument deosebit de util in analiza si simularea rețelelor Petri.

Contributile autorului din cadrul capitolului, in intregime original, se regasesc in cadrul tuturor subiectelor abordate si sunt evidentiate in detaliu in cadrul ultimului capitol al tezei.

Capitolul 6

Concluzii finale si contributii originale. Perspective

Datorita cresterii complexitatii proceselor industriale, si dezvoltarii explozive a echipamentelor de calcul, s-au cautat noi solutii de conducere care sa poata opera astfel incat sa fie eliminate dificultatile legate de stabilirea modelului matematic. O alternativa, care se impune din ce in ce mai mult, sunt tehnicile de modelare a sistemelor de conducere industriale ca SED. Modul de abordare a conducerii SED, complet diferit de metodele clasice, asigura gestionarea fara probleme a tuturor resurselor unui sistem industrial, elimina complet utilizarea in modelare a ecuatiilor diferentiale sau a ecuatiilor discrete. Elementul timp, esential in cazul metodelor clasice, nu mai este relevant, elementele de baza in cazul SED sunt evenimentele, controlul acestora nefiind influentat de momentul aparitiei (timpul) ci numai de starea logica a acestora.

In cadrul lucrarii, modelarea si implementarea SED s-a realizat utilizand doua tehnici fundamentale: prima bazata pe utilizarea automatelor si a doua bazata pe utilizarea retelelor Petri.

Fiecare are avantajele si dezavantajele sale, ele putand fi sintetizate astfel:

<i>Model</i>	<i>Avantaje</i>	<i>Dezavantaje</i>
Automat	<ul style="list-style-type: none">-Modul simplu de realizare a structurii-Utilizarea exclusiva a evenimentelor externe	<ul style="list-style-type: none">-Constructia modelului in cazul sistemelor complexe se bazeaza pe extinderea topologiei-imposibilitatea de a utiliza submodele-Pentru fiecare stare trebuie elaborat un algoritm de conducere individual
Retea Petri	<ul style="list-style-type: none">-Modul simplu de constructie-In cazul sistemelor complexe extinderea nu se face pe baza topologiei retelei ci pe baza extinderii marcajelor-Rafinarea „adanca” a operatiilor interne ale modelului-Utilizarea evenimentelor externe fara extinderea topologiei-Posibilitatea utilizarii submodelelor	<ul style="list-style-type: none">- In cazul unei retele Petri de mari dimensiuni matricile de incidenta cresc, ceea ce creaza dezavantaje in verificarea proprietatilor retelei pe baza arborelui de acoperire, respectiv pe baza ecuatiei de stare.

Un alt element care diferentiaza alegerea tipului de model este dat de programele utilitare existente pe baza carora se efectueaza simularea si analiza modelelor. Daca in cazul automatelor solutiile sunt relativ reduse, in cazul reteleor

Petri se dispune în general de software-uri specializate. Mediul de simulare utilizat pentru validarea modelelor de tip rețele Petri considerate în lucrare este *Petri Nets Toolbox 2.0* (PNT) care rulează sub *Matlab*. A fost elaborat de asemenea un program aplicație original *PetriTim* (capitolul 5) care asigură generarea de fișiere, care conțin explicit operațiile realizate pe baza utilizării ecuației de stare, și care în modul de rulare pas cu pas oferă posibilitatea utilizatorului să aleagă tranzițiile care se execută.

Inexistența unor tool-uri performante pentru analiza și simularea modelelor de tip automat a fost rezolvată, în cadrul lucrării, prin transformarea acestor modele în modele de tip rețele Petri, care ulterior au fost simulate și validate cu ajutorul *PNT*-ului. Aceasta abordare s-a realizat astfel încât topologia rețelei Petri rezultată să fie tot de tipul mașina de stare, ceea ce a asigurat validarea rezultatelor.

Modul în care s-a efectuat modelarea SED are ca suport STZA.

Abordarea modelării STZA s-a realizat în mai mulți pași:

- au fost stabilite patru structuri de bază (elementare) denumite *noduri*, pentru care au fost elaborate și validate atât modele de tip automat cât și modele de tip rețele Petri. Pornind de la aceste modele de bază au fost determinate modele de tip general.
- s-a enunțat modul de definire a STZA, precum și proprietățile teoretice ale acestora;
- s-a elaborat două metodologii de modelare a STZA pornind de la structurile utilizate în modelarea cozilor de așteptare.

Problematika legată de conducerea SED se bazează, pe stabilirea unor modele viabile și impune utilizarea supervizoarelor ca metoda de conducere. În cadrul tezei (capitolul 3), aceasta problematikă, a fost abordată utilizând ambele metode de modelare, avându-se în vedere atât aspecte teoretice cât și aplicative ale sintezei supervizoarelor.

În cazul modelelor de tip automat au fost considerați doi algoritmi de sinteză. Validarea metodelor de sinteză și a supervizoarelor concepute s-a realizat printr-un studiu de caz care abordează sinteza unui supervisor pentru un SFFF.

În cazul modelelor de tip rețele Petri au fost considerate două metode de sinteză a supervizoarelor ambele validate prin intermediul unor studii de caz.

Implementarea modelelor validate (capitolul 4), s-a realizat considerând două soluții hardware distincte.

În cazul modelelor de tip automat, ca suport hardware s-a utilizat un calculator de proces pe care a fost instalat sistemul de operare în timp real QNX, dezvoltarea programului făcându-se în limbajul WATCOM C. Pornind de la modelele validate, au fost elaborate trei taskuri de ordin general: NT1 – task pentru nodul de tip 1, NT2 – task pentru nodul de tip 2 și NT4 – task pentru nodul de tip 4. Pentru interfatarea directă cu procesul s-a elaborat un task special denumit TAC. Modul de transfer al informațiilor s-a efectuat având la bază capacitățile SOTR QNX.

În cazul modelelor de tip rețele Petri, ca suport hardware s-a utilizat un automat programabil de tip Simatic S7-414, programarea făcându-se în limbajul STEP7. Implementarea s-a realizat ținând cont că toate modelele sunt construite pe baza nodului de tip 1. A fost elaborată o funcție de ordin general pentru implementarea rețelei Petri corespunzătoare nodului de tip 1. Datorită faptului că structurile STZA depind de aplicație este imposibilă realizarea unei funcții generale de conducere. Cu toate acestea, prin metoda de implementare propusă (utilizarea funcției nodului de tip 1), dezvoltarea unui program de conducere indiferent de structura STZA, nu mai ridică probleme deosebite.

Contribuțiile autorului, împartite în două categorii: teoretice și aplicative, sunt sintetizate în cele ce urmează.

Contribuții teoretice

Capitolul 2

- sintetizarea problematicei legate de modelarea SED cu ajutorul limbajelor și automatelor prin abordarea în mod unitar al: limbajelor formale, a automatelor, a modului de reprezentare a automatelor pe baza limbajelor, a blocajelor, a automatelor nedeterminate, a operațiilor cu automate, a modului de transformare a unui automat nedeterminist în automat determinist ;
- sintetizarea problematicei legate de modelarea SED cu ajutorul rețelelor Petri prin abordarea în mod unitar al: rețelelor Petri netemporizate, a modului de analiză a proprietăților comportamentale și structurale, a rețelelor Petri temporizate, a rețelelor Petri etichetate;
- modul de utilizare a submodelelor de tip rețele Petri în modelarea SED, contribuțiile originale constând în:
 - definiția subrețelei unei rețele Petri (definiția 2.17),
 - definiția execuției unei rețele Petri (definiția 2.18),
 - teorema 2.9 referitoare la modelele cu intervale de timp,
 - lema 2.1 referitoare la timpul minim de execuție a unei rețele Petri,
 - lema 2.2 referitoare la timpul maxim de execuție a unei rețele Petri;
- stabilirea structurilor de bază (elementare) corespunzătoare STZA:
 - nodul de tip 1 – „o” intrare „o” ieșire,
 - nodul de tip 2 – „două” intrări „o” ieșire,
 - nodul de tip 3 – „trei” intrări „o” ieșire,
 - nodul de tip 4 – „o” intrare „două” ieșiri;
- stabilirea, simularea și validarea modelelor de tip automat, respectiv rețea Petri netemporizată și rețea Petri temporizată P pentru nodurile de bază stabilite;
- analiza modelelor de tip automat prin transformare în model de tip rețea Petri cu păstrarea topologiei rețelei ca mașină de stare;
- stabilirea și validarea unor modele de tip general pentru:
 - un nod cu „n” intrări și „o” ieșire,
 - un nod cu „o” intrare și „m” ieșiri,
 - un nod cu „n” intrări și „m” ieșiri;
- elaborarea simbolisticii utilizate în reprezentarea nodurilor;
- definiția teoretică a STZA concretizată prin:
 - definiția 2.21 - sistem de transport cu zone de acumulare,
 - definiția 2.22. - operabilitate a unui STZA,
 - definiția 2.23. - validarea funcționării unui nod,
 - definiția 2.24. - pasul unui STZA,
 - propoziția 2.1. - condiția de operabilitate a unui STZA,
 - propoziția 2.2. - blocajul STZA, propoziția 2.3. - blocarea execuției unui pas;
- elaborarea a doi algoritmi (unul particular și unul general) legați de metodologia de modelare a STZA
 - algoritmul 2.3 – algoritm particular – bazat pe construirea grafului corespunzător STZA modelat, prin conectarea directă a nodurilor;

- algoritmul 2.4 – algoritm general - bazat pe construirea matricii de incidenta a STZA utilizand pozitii de sincronizare a nodurilor.

Capitolul 3

- sintetizarea intr-o abordare unitara a problematicilor legate de conducerea supervizata a SED;
- abordarea unitara a metodelor de sinteza al supervizoarelor bazate pe utilizarea modelelor de tip automat;
- formularea si sistematizarea metodelor de sinteza a supervizoarelor bazate pe utilizarea modelelor de tip retele Petri;
- elaborarea unui algoritm (algoritmul 3.3) pentru determinarea starilor non-blocante corespunzator unui supervizor implementat pe baza modelelor de tip automat;
- elaborarea unui algoritm (algoritmul 3.4) pentru determinarea starilor controlabile corespunzatoare unui supervizor implementat pe baza modelelor de tip automat;
- elaborarea unui algoritm (algoritmul 3.5) pentru sinteza supervizoarelor bazate pe modele de tip retele Petri prin compunere paralela.

Capitolul 4

- formularea principiilor generale de proiectare a programelor de conducere in timp real;
- elaborarea unei metodologii de implementare a modelelor de tip automat avand ca suport hardware un calculator de proces pe care este instalat un sistem de operare in timp real;
- conceperea unei metodologii de transformare a modelelor de tip retele Petri netemporizate in modele de tip SPIN;
- elaborarea unei metodologii de implementare a modelelor de tip SPIN avand ca suport hardware PLC-uri.

Contributii aplicative

Capitolul 2

- modelarea unui nod cu „doua” intrari si „doua” iesiri;
- elaborarea de modele pentru diferite noduri complexe: nod cu „5” intrari „0” iesire, nod cu „0” intrare si „3” iesiri, nod cu „5” intrari si „5” iesiri (utilizand nodurile de baza stabilite);
- modificarea modelului clasic de tip retea Petri a unei cozi de asteptare, corespunzatoare nodurilor de baza definite;
- modelarea STZA cu ajutorul retelelor Petri.

Capitolul 3

- sinteza unui supervizor pentru un SFFF avand la baza modele de tip automat;
- sinteza unui supervizor pentru un STZA avand la baza modele de tip retele Petri.

Capitolul 4

- elaborarea, testarea si validarea unei metode de implementare a unui STZA avand ca suport un calculator de proces pe care se afla instalat SOTR QNX si care se bazeaza pe modele de tip automat;

- elaborarea unor metode de comunicare intertaskuri pe baza mesajelor interprocese, respectiv a memoriei partajate;
- elaborarea unor taskuri în care sunt implementate nodurile de baza stabilite anterior (în limbajul WATCOM C);
- elaborarea și implementarea unor ordinograme corespunzătoare stărilor automatelor considerate: Wait, Open, Close, Error, Scann (în WATCOM C);
- elaborarea, testarea și validarea unei metode de implementare a unui STZA având ca suport hardware un PLC de tip Simatic S7-414 și care se bazează pe modele de tip rețele Petri;
- elaborarea (în limbajul STEP7) a unei funcții prin care s-a realizat implementarea modelului de tip rețea Petri corespunzător nodului de tip 1;
- elaborarea, testarea și validarea unei funcții care implementează un STZA, funcție particulară, care ține cont de structura STZA considerat și care are la baza modelele de tip rețele Petri derivate din modelul clasic al unei cozi de așteptare.

Capitolul 5

- realizarea unui produs program **PetriTim**, destinat analizei și simulării modelelor de tip rețele Petri;
- implementarea unui mecanism de validare a execuției unei tranziții în modul de lucru pas cu pas;
- implementarea unui mecanism de generare a unui fisier, care conține toate informațiile legate de execuția unei tranziții, informații cuprinse în ecuațiile de stare.

Perspective

Dinamica dezvoltării industriale, a apariției de noi echipamente hardware de conducere a proceselor industriale, implică în mod direct căutarea de noi și noi metode de modelare și conducere. Modelarea prin intermediul SED constituie o direcție care trebuie abordată și dezvoltată.

Dintre direcțiile posibile pe care poate evolua o cercetare viitoare se pot enumera:

- dezvoltarea unor metodologii de modelare utilizând sisteme cu evenimente distribuite;
- dezvoltarea unor metodologii (pachete software) pentru sinteza supervizoarelor;
- conducerea ierarhizată a proceselor industriale „văzute” ca SED.

Desigur aceste direcții sunt numai câteva idei, lista putând fi completată cu generozitate.

Bibliografie

- [Aalst94] W.M.P. van der Aalst. "Putting Petri nets to work in industry", Computers in Industry, 25(1):45-54, 1994.
<http://is.tm.tue.nl/staff/wvdaalst/publications/publications.htm>
- [Aalst96a] W.M.P. van der Aalst. "Petri net based scheduling." OR Spectrum, 18:219-229, 1996 <http://is.tm.tue.nl/staff/wvdaalst/publications/publications.htm>
- [Aalst96b] W.M.P. van der Aalst. "Three Good Reasons for Using a Petri-net-based Workflow Management System." In S. Navathe and T. Wakayama, editors, Proceedings of the International Working Conference on Information and Process Integration in Enterprises (IPIC'96), pages 179-201, Camebridge, Massachusetts, Nov 1996.
<http://is.tm.tue.nl/staff/wvdaalst/publications/publications.htm>
- [Aalst97] W.M.P. van der Aalst, „Parallel Computation of Reachable Dead States in a Free-choice Petri Net“, 1997, Department of Mathematics and Computing Science, Eindhoven University of Technology,
<http://is.tm.tue.nl/staff/wvdaalst/publications/publications.htm>
- [Aalst98] W.M.P. van der Aalst. "The Application of Petri Nets to Workflow Management." The Journal of Circuits, Systems and Computers, 8(1):21-66, 1998.<http://is.tm.tue.nl/staff/wvdaalst/publications/publications.htm>
- [AB03] Wil M. P. van der Aalst, Eike Best, „Applications and Theory of Petri Nets 2003“, 24th International Conference, ICATPN 2003, Eindhoven, The Netherlands, June 23-27, 2003, Proceedings. Lecture Notes in Computer Science 2679 Springer 2003, ISBN 3-540-40334-5
- [AI06] Aybar, A. Iftar, A., „Supervisory Controller Design for Timed Petri Nets“, IEEE/SMC International Conference on System of Systems Engineering 2006, April 24-26, 2006 pp: 59- 64
- [AO95] W.M.P. van der Aalst, M.A. Odijk. "Analysis of Railway Stations by means of Interval Timed Coloured Petri Nets." Real-Time Systems, 9(3):241-263, 1995.
<http://is.tm.tue.nl/staff/wvdaalst/publications/publications.htm>
- [BC04] Simona Bernardi, Javier Campos, „On Performance Bounds for Interval Time Petri Nets“, Proceedings of The Quantitative Evaluation of Systems, First International Conference on (QEST'04)pp. 50-59
- [BD03] Simona Bernardi, Susanna Donatelli, "Building Petri net scenarios for dependable automation systems", 10th IEEE International Workshop on Petri Nets and Performance Models (PNPM 2003), 02-05 September 2003 - Urbana-Champaign, IL, USA
- [Berg00] Hans Berger, „Automating with STEP7 in STL and SCL“, MCD Verlang, 2000.

- [BGM00] Fabio Balduzzi, Alessandro Giua, Giuseppe Menga, „First-Order Hybrid Petri Nets: A Model for Optimization and Control”, IEEE Transactions on Robotics and Automation, Vol. 16, No. 4, August 2000
- [BHR06] P. Bouyer, S. Haddan, P.A. Reynier, „Extended Time Automata and Time Petri Nets”, Research Report LSV-06-01, Ecole Normale Supérieure de Cachan, 2006.
- [BSV03] G. Bucci, L. Sassoli, E. Vicario, “A discrete time model for performance evaluation and correctness verification of real time systems”, 10th IEEE International Workshop on Petri Nets and Performance Models (PNPM 2003), 02–05 September 2003 - Urbana-Champaign, IL, USA
- [Cass02] Christos G. Cassandras, “From Discrete Event to Hybrid Systems”, 6th International Workshop on Discrete Event Systems (WODES 2002), 02–04 October 2002 — Zaragoza, SPAIN
- [Ciuf02] Calin Ciufudean, „Sisteme cu Evenimente Discrete pentru Modelarea Traficului Feroviar”, Editura MATRIXROM, Bucuresti 2002.
- [CL01] Christos G. Cassandras, Stephane Lafortune, “Introduction to Discrete Event Systems”, Kluwer Academic Publishers, 2001, Boston
- [CKLY95] J. Cortadella, M. Kishinevsky, L. Lavagno, and A. Yakovlev. „Synthesizing petri nets from state-based models”. In Proc. International Conf. Computer-Aided Design (ICCAD), 1995.
www.lsi.upc.edu/~jordicf/gavina/BIB/CONFERENCE.html
- [CKLY98] Jordi Cortadella, Michael Kishinevsky, Luciano Lavagno, Alexandre Yakovlev, “Deriving Petri Nets from Finite Transition Systems”, IEEE Transactions on Computers, Vol. 47, No. 8, August 1998
- [CP04] Christine Choppy, Laure Petrucci, „Towards a Methodology for Modeling with Petri Nets”, Proceedings Workshop on Practical Use of Coloured Petri Nets (CPN'2004), Aarhus, Denmark, pages 39 - 56, October 2004.
<http://www-lipn.univ-paris13.fr/~petrucci/PAPERS>
- [CR04a] Franck Cassez, Olivier Roux, „From Petri Nets to Timed Automata”, Published by Elsevier Science B.V., 2004
- [CR04b] Jordi Cortadella, Wolfgang Reisig, „Applications and Theory of Petri Nets 2004”, 25th International Conference, ICATPN 2004, Bologna, Italy, June 21-25, 2004, Proceedings. 3099 Springer 2004, ISBN 3-540-22236-7
- [CRL06] Campos-Rodriguez, R. Ramirez-Trevino, A. Lopez-Mellado, E., „Observability Analysis of Free-Choice Petri Net Models”, IEEE/SMC International Conference on System of Systems Engineering 2006, April 24-26, 2006, pp: 77- 82
- [Daro05a] Philippe Darondeau, „Distributed implementations of Ramadge-Wonham supervisory control with Petri nets”, Proceedings of the 44th IEEE Conference on Decision and Control, and the European Control Conference 2005 Seville, Spain, December 12-15, 2005

- [Daro05b] Philippe Darondeau, „Applications and Theory of Petri Nets 2005”, 26th International Conference, ICATPN 2005, Miami, USA, June 20-25, 2005, Proceedings. 3536 Springer 2005, ISBN 3-540-26301-2
- [DHPSV93] F. DiCesare, G. Harhalakis, J.M. Proth, M. Silva, F.B. Vernadat, „Practice of Petri Nets in Manufacturing”, Chapman and Hall, 1993.
- [DT06] Susanna Donatelli, P. S. Thiagarajan, „Petri Nets and Other Models of Concurrency”, ICATPN 2006, 27th International Conference on Applications and Theory of Petri Nets and Other Models of Concurrency, Turku, Finland, June 26-30, 2006, Proceedings. Lecture Notes in Computer Science 4024 Springer 2006, ISBN 3-540-34699-6
- [EL02] Javier Esparza, Charles Lakos, „Applications and Theory of Petri Nets 2002”, 23rd International Conference, ICATPN 2002, Adelaide, Australia, June 24-30, 2002, Proceedings. Lecture Notes in Computer Science 2360 Springer 2002, ISBN 3-540-43787-8
- [ERRW03] H. Ehrig, W. Reisig, G. Rozenberg, H. Weber, „Petri Net Technology for Communication-Based Systems”, Lecture Notes in Computer Science, vol. 2472, Springer-Verlag, 2003, ISBN: 3-540-20538-1.
- [FG98] A. Fanni, A. Giua, „ Discrete Event Representation of Qualitative Models Using Petri Nets”, IEEE Transaction on systems, man and cibernetics – Part B: Cybernetics, Vol. 28, No. 8, December 1998.
- [FGMS02] Angela Di Febbraro, Davide Giglio, Riccardo Minciardi, Simona Sacone, „Optimization of Manufacturing Systems Modelled by Timed Petri Nets”, 6th International Workshop on Discrete Event Systems (WODES 2002), 02–04 October 2002 — Zaragoza, SPAIN
- [FL00a] Georg Frey, Lothar Litz, „ Transparency analylis of Petri Net based logic controllers. A measure for software quality in automation”, Proceedings of the American Control Conference ACC 2000, Chicago, 28-30 Juni 2000
- [FL00b] Georg Frey, Lothar Litz, „Formal methods in PLC programming”, Proceedings of IEEE Conference on System Man and Cybernetics SMC 2000, Nashville, Oct. 8-11, 2000.
- [Frey02] G. Frey, „Software Quality in Logic Controller Programming”, Proceedings of the IEEE SMC 2002, Hammamet (Tunisia), Paper ID MP1A4, Oct. 2002
- [GB05] Gomes, L. Joao Paulo Barros, „Structuring and composability issues in Petri nets modeling”, IEEE Transactions on Industrial Informatics, May 2005 Volume: 1, Issue: 2, pp: 112- 123
- [GBFP01] Gaeta, R. Bobbio, A. Franceschinis, G. Portinale, L., „Dependability assesment of an industrial Programmable LogicController via Parametric Fault-Tree and High Level Petri net”, Proceedings of 9th International Workshop on Petri Nets and Performance Models, 2001. 09/11/2001 - 09/14/2001, Aachen, Germany

[GCS05] A. Giua, D. Corona, C. Seatzu, „State Estimation of lambda-free Labeled Petri Nets with Contact-Free Nondeterministic Transitions,” *Discrete Event Dynamic Systems*, Vol. 15, No. 1, pp. 85–108, March 2005.

[GG01] Gerald C. Gannod, Sunil Gupta, „An Automated Tool for Analyzing Petri Nets using SPIN”, *Proceedings of the 16th International Conference on Automated Software Engineering*, Nov. 2001, pp.404-407, IEEE

[GG06] Garcia, R.G. Gelle, E., „Applying and adapting the IEC 61346 standard to industrial automation applications”, *IEEE Transactions on Industrial Informatics*, Aug. 2006 Volume: 2, Issue: 3, pp: 185- 191

[Giua92] Alessandro Giua, „Petri Nets as Discrete Event Models for Supervisory Control”, A Thesis Submitted to the Graduate Faculty of Rensselaer Polytechnic Institute in Partial Fulfillment of the Requirement for the Degree of Doctor of Philosophy. Major Subject: Computer and Systems Engineering. Rensselaer Polytechnic Institute (Troy, New York) July 1992

[Glei03] Thomas Gleixner, „Real-Time Systems for Industrial Use: Requirements for the Future”, *Proceedings of the International Parallel and Distributed Processing Symposium*, 2003, IEEE.

[GM04] B. Gaudin, H. Marchand. „Modular Supervisory Control of a Class of Concurrent Discrete Event Systems”. *Workshop on Discrete Event Systems*, 2004.

[GM05a] B. Gaudin, H. Marchand. „Efficient Computation of Supervisors for loosely synchronous Discrete Event Systems: A State-Based Approach.” *IFAC World Congress*, 2005.

[GM05b] B. Gaudin, H. Marchand. „Safety Control of Hierarchical Synchronous Discrete Event Systems: A State-Based Approach.” *Mediterranean Conference on Control and Automation*, 2005.

[GMMP03] Maria del Mar Gallardo, Jesus Martinez, Pedro Merino, Ernesto Pimentel, „Abstract Model Checking and Refinement of Temporal Logic in SPIN”, *3rd International Conference on Application of Concurrency to System Design (ACSD 2003)*, 18–20 June 2003 — Guimaraes, PORTUGAL

[GS05] Alessandro Giua, Carla Seatzu, „Identification of free-labeled Petri nets via integer programming”, *Proceedings of the 44th IEEE Conference on Decision and Control, and the European Control Conference 2005 Seville*, Spain, December 12-15, 2005

[HF01] T. Hummel, W. Fengler, „Design of Embedded Control Systems Using Hybrid Petri Nets”, *The International Workshop on Discrete-Event System Design, DESDes'01*, June 27÷29, 2001; Przystok, Poland

[HKG97] L.E. Holloway, B.H. Krogh, A. Giua, „A survey of Petri net methods for controlled discrete event systems”, *Discrete Event Dynamic Systems: Theory and Applications*, 7, pag. 151-190, 1997, Kluwer Academic Publishers, Boston

- [HL97] Jeffrey W. Herrmann, Edward Lin, "Petri Nets: Tutorial and Applications", The 32th Annual Symposium of the Washington Operations Research -Management Science Council, Washington, D. C., November 5, 1997
- [HL04] Pao-Ann Hsiung, Shang-Wei Lin, „Automatic Synthesis and Verification of Real-Time Embedded Software”, EUC 2004, LNCS 3207, Springer-Verlag Berlin, 2004.
- [HLF02] Anders Hellgren, Bengt Lennartson, Martin Fabian, „Modelling and PLC-Based Implementation of Modular Supervisory Control”, 6th International Workshop on Discrete Event Systems (WODES 2002), 02–04 October 2002 — Zaragoza, SPAIN
- [HP97] W. Halang, C. Pereira, s.a. „Real-Time Computing Education: Responding to a Challenge of Next Century”, IFAC Real-Time Programming WRTP'97, Pergamon Press 1997.
- [Hsieh06] Fu-Shiung Hsieh, „Robustness analysis of Petri nets for assembly/disassembly processes with unreliable resources”, Automatica, July, 2006, Volume 42, Issue 7
- [IA02a] Marian V. Iordache and Panos J. Antsaklis, „Synthesis of Supervisors Enforcing Firing Vector Constraints in Petri Nets”, Technical Report of the ISIS Group at the University of Notre Dame ISIS-2002-002 February, 2002
- [IA02b] Marian V. Iordache, Panos J. Antsaklis, „Decentralized Control of Petri Nets”, Technical Report of the ISIS Group at the University of Notre Dame, ISIS-2002-005, October, 2002
- [IA02c] Marian V. Iordache and Panos J. Antsaklis, „Software Tools for the Supervisory Control of Petri Nets Based on Place Invariants”, Technical Report of the ISIS Group at the University of Notre Dame ISIS-2002-003 April, 2002
- [IA02d] Marian V. Iordache and Panos J. Antsaklis, „Decentralized Control of Petri Nets”, Technical Report of the ISIS Group at the University of Notre Dame ISIS-2002-005 October, 2002
- [IMA99] Marian V. Iordache John O. Moody Panos J. Antsaklis, „A Method for Deadlock Prevention in Discrete Event Systems Using Petri Nets”, Technical Report of the ISIS Group at the University of Notre Dame ISIS-99-006 July, 1999
- [IMA01] Marian V. Iordache John O. Moody Panos J. Antsaklis, „Automated Synthesis of Deadlock Prevention Supervisors Using Petri Nets”, Technical Report of the ISIS Group at the University of Notre Dame ISIS-2000-003 May, 2000, Revised in October 2000 and November 2001
- [IMA02] Marian V. Iordache John O. Moody Panos J. Antsaklis, „Automated Synthesis of Liveness Enforcing Supervisors Using Petri Nets”, Technical Report of the ISIS Group at the University of Notre Dame ISIS-00-004 October, 2000 Revised in January 2001 and May 2002
- [Iord03] Marian Valentin Iordache, „Methods for the supervisory control of concurrent systems based on Petri net abstractions”, A Dissertation Submitted to

the Graduate School of the University of Notre Dame in Partial Fulfillment of the Requirements for the Degree of Doctor of Philosophy Notre Dame, Indiana December 2003

[Jens96] Kurt Jensen, "An Introduction to the Practical Use of Coloured Petri Nets", Lecture Notes in Computer Sciences, Springer-Verlag 1996

[JJRS04] Jorge Julvez, Emilio Jimenez, Laura Recalde, Manuel Silva, "On Observability in Timed Continuous Petri Net Systems", Proceedings of The Quantitative Evaluation of Systems, First International Conference on (QEST'04), pp. 60-69

[JK96], R. Johnson, D. Kearney, "A tutorial on timed discrete event modelling and its applications to automation systems.", School of Electrical Engineering, University of South Australia, 1996,
www.cis.unisa.edu.au/~cisdak/ResearchPapers/ICCARVTimedDESNovember1996.ps

[JTMZ01] Eric Y.T. Juan, Jeffrey J.P. Tsai, Tadao Murata, Fellow, Yi Zhou, "Reduction Methods for Real-Time Systems Using Delay Time Petri Nets", IEEE Transactions on Software Engineering, Vol. 27, No. 5, May 2001

[KA98] Xenofon D. Koutsoukos, Panos J. Antsaklis, "Hybrid Control Systems Using Timed Petri Nets: Supervisory Control Design Based on Invariant Properties", National Science Foundation grant ECS95-31485. Department of Electrical Engineering University of Notre Dame Notre Dame, IN 46556 1998.

[KCJ98] Lars M. Kristensen, Soren Christensen, Kurt Jensen, "The practitioner's guide to coloured Petri Nets", Springer Verlag 1998

[Kemp04] Peter Kemper, "Petri Nets", Lecture for CL. Dipl. Informatik,
<http://www.iai.inf.tu-dresden.de/ms/ms.main.html>

[Khou04] Ahmed Khoumsi, "Supervisory Control for the Conformance of Real-Time Discrete Event Systems",
<http://www.gel.usherb.ca/khoumsi/Research/Public/WODES04.ps>

[Kind04] Ekkart Kindler, "Definition, Implementation and Application of a Standard Interchange Format for Petri Nets", Proceedings of the Workshop on the Definition, Implementation and Application of a Standard Interchange Format for Petri Nets Satellite event of the 25th International Conference on Application and Theory of Petri Nets 2004, Bologna, Italy, June 26, 2004

[KN06] A. Khatab, M. Noureldath, "Analytical approach to evaluate language measure parameters for discrete-event supervisory control", International Journal of Control, 2006, Volume 79, Issue 7

[Kout01] Maciej Koutny, "Application and Theory of Petri Nets 2001", 22nd International Conference, ICATPN 2001, Newcastle upon Tyne, UK, June 25-29, 2001, Proceedings. Lecture Notes in Computer Science 2075 Springer 2001, ISBN 3-540-42252-8

[KSH05] Christoph M. Kirsch, Marco A.A. Sanvido, Thomas A. Henzinger, „A Programmable Microkernel for RealTime Systems“, VEE'05, June 11-12, 2005, Chicago, Illinois, USA

[KT05] D. I. Kharitonov, G. V. Tarasov, „Towards Petri nets application in parallel program debugging“, The 6th Asian Computational Fluid Dynamics Conference Taiwan, October 24~October 27, 2005

[KW00] Ekkart Kindler, Michael Weber, „A Universal Module Concept for Petri Nets an implementation-oriented approach“, In: Informatik-Berichte 150, Humboldt-Universität zu Berlin
http://www.informatik.hu-berlin.de/top/pnml/download/modPNML_TB.ps

[KWFL02] S. Klein, X. Weng, G. Frey, J.J. Lesage, L. Litz, „Controller design for an FMS using signal interpreted Petri nets and SFC“, Proceedings of the American Control Conference 2002 (ACC2002), Anchorage, Alaska, pp.4141-4146, May 2002.

[LBW00] R.J. Leduc, B.A. Brandin, and W. Murray Wonham. „Hierarchical interface-based nonblocking verification“. Proceedings of the Canadian Conference on Electrical and Computer Engineering, May 2000.

[LBWL01] R.J. Leduc, B.A. Brandin, W. Murray Wonham, and M. Lawford. „Hierarchical interface-based supervisory control: Serial case“. Proceedings of 40th Conf. Decision Contr., Orlando, USA, December 2001.

[Led96] Ryan Leduc. „PLC implementation of a DES supervisor for a manufacturing testbed: An implementation perspective“. Master's thesis, Department of Electrical and Computer Engineering, University of Toronto, Toronto, Ont, 1996.

[Led02] R.J. Leduc. „Hierarchical Interface Based Supervisory Control.“ PhD thesis, Department of Electrical and Computer Engineering, University of Toronto, 2002.

[Letia98] Tiberiu S. Letia, Adina M. Astilean , „Sisteme cu Evenimente Discrete: modelare, analiza, sinteza si control“, Editura microInformatica, 1998, Cluj

[Letia00] T. Letia, „Sisteme de timp-real“, Editura Alabastra, Cluj-Napoca, ISBN: 973-9443-49-4, 2000.

[LJ06] Robert Lorenz, Gabriel Juhas. Towards Synthesis of Petri Nets from Scenarios, 26th International Conference On Application and Theory of Petri Nets and Other Models of Concurrency (Petri Nets), Turku, FINLAND, June 2006

[LKWDS06] Cong Liu, Alex Kondratyev, Yosinori Watanabe, Jorg Desel, Alberto Sangiovanni-Vincentelli. „Schedulability Analysis of Petri Nets Based on Structural Properties“, 26th International Conference On Application and Theory of Petri Nets and Other Models of Concurrency (Petri Nets), Turku, FINLAND, June 2006

[LLD06] Leduc, R.J.; Lawford, M.; Pengcheng Dai, „Hierarchical interface-based supervisory control of a flexible manufacturing system“, IEEE Transactions on Control Systems Technology, July 2006, Volume: 14, Issue: 4, pp: 654- 668

[LLW01] R. Leduc, M. Lawford, and W. Murray Wonham. „Hierarchical interface-based supervisory control: AIP example”. Proceedings of 39th Annual Allerton Conference on Comm., Contr., and Comp., Oct 2001.

[LM04] James J. Leifer, Robin Milner, „Transition systems, link graphs and Petri nets”, Technical Report Number 598 August 2004 Computer Laboratory UCAM-CL-TR-598 ISSN 1476-2986 Cambridge United Kingdom

[LWL01] R.J. Leduc, W. Murray Wonham, and M. Lawford. „Hierarchical interface-based supervisory control: Parallel case”. Proceedings of 39th Annual Allerton Conference on Comm., Contr., and Comp., Oct 2001.

[MA97] John O. Moody, Panos J. Antsaklis, „Petri Net Supervisors for DES in the Presence of Uncontrollable and Unobservable Transitions”, Technical Report of the ISI Group at the University of Notre Dame, ISIS-97-012, October, 1997,

[MF02] Mark Minas, Georg Frey, „Visual PLC-Programming using Signal Interpreted Petri Nets”, Proceedings of American Control Conference 2002 (ACC2002), Anchorage, Alaska, pp.5019-5024, May 2002.

[Micz01] Piotr Miczulski, „State Space Calculation Algorithm Of Hierarchical Petri Nets With Application Of Decision Diagrams”, The International Workshop on Discrete-Event System Design, DESDes'01, June 27÷29, 2001; Przytok near Zielona Góra, Poland

[MMP05], Mihaela Matcovschi, Cristian Mahulea, Octavian Patravanu, „Learning about Petri Nets Toolbox for use with Matlab”, Technical University „Gh. Asachi” of Iasi, 2005

[Mood99] John O. Moody, „Petri Net Supervisors for DES with Uncontrollable and Unobservable Transitions”, Technical Report of the ISIS Group at the University of Notre Dame ISIS-99-004, <http://www.nd.edu/isis/tech.html>, February, 1999

[Mur89] Tadao Murata, “Petri Nets: Properties, Analysis and Applications”, Proceedings of the IEEE Vol 77, No. 4, April 1989

[Pastr97] Octavian Pastravanu, „Sisteme cu evenimente discrete. Tehnici calitative bazate pe formalismul retelelor Petri”, Editura MatrixRom, 1997, Bucuresti

[PC95] Marco A. Pena, Jordi Cortadella, „Combining Process Algebras and Petri Nets for the Specification and Synthesis of Asynchronous Circuits”, UPC/DAC Report No. RR-95/48, Dec. 1995.

[Petri62] C.A. Petri, „Kommunikation mit Automaten”, Institut fur Instrumentelle Mathematik Bonn, Schriften des IIM Nr. 2

[PMM02] Octavian Pastravanu, Mihaela Matcovschi, Cristian Mahulea, „Aplicatii ale Retelelor Petri in Studiarea Sistemelor Cu Evenimente Discrete”, Editura Gh. ASACHI Iasi, 2002

- [PN2000], ***, „Petri Nets 2000. Introductory Tutorial Petri Nets”, 21st International Conference on Application and Theory of Petri Nets Aarhus, Denmark, June 26-30, 2000
- [Pomm03] F. Pommereau, „Petri nets as Executable Specifications of High-Level Timed Parallel Systems”, Technical Report TR-2003-09 Laboratory of Algorithms, Complexity and Logic University of Paris
- [PWX97] Jean-Marie Proth, Liming Wang, Xiaolan Xie, „Class of Petri Nets for Manufacturing System Integration”, IEEE Transactions on Robotics and Automation, Vol. 13, No. 3, June 1997
- [QC02] Max H. de Queiroz, Jose E. R. Cury, „Synthesis and Implementation of Local Modular Supervisory Control for a Manufacturing Cell”, 6th International Workshop on Discrete Event Systems (WODES 2002), 02–04 October 2002 — Zaragoza, SPAIN
- [QNX00] ***, „QNX. System Architecture”, QNX Software Systems Ltd., Ontario, 2000
- [RF02] Jean-Marc Roussel, Jean-Marc Faure, „An Algebraic Approach for PLC Programs Verification”, 6th International Workshop on Discrete Event Systems (WODES 2002), 02–04 October 2002 — Zaragoza, SPAIN
- [Rob97] Nicolae Robu, „Tehnici de modelare si metode de ordonantare in fabricatia integrata prin calculator”, Editura Orizonturi Universitare, Timisoara 1997
- [RW87b] P.J. Ramadge, W.M. Wonham. „Supervisory Control of a Class of Discrete Event Processes.” SIAM Journal of Control and Optimization, 25:206–230, 1987.
- [RW89] P.J. Ramadge, W.M. Wonham. „The Control of Discrete Event Systems.” Proceedings IEEE, Special Issue Discrete Event Dynamic Systems, 77:81–98, 1989.
- [Schm05] Klaus Schmidt, „Hierarchical Control of Decentralized Discrete Event Systems. Theory and Application”, PhD Thesis, Der Technischen Fakultät der Universität Erlangen-Nürnberg, 2005.
- [Stand04] ***, Software and system engineering - High-level Petri nets. Part 1: Concepts, definitions and graphical notation, International Standard ISO/IEC 15909-1 First edition 2004-12-01
- [Stand05] ***, Software and Systems Engineering – High-level Petri Nets Part 2: Transfer Format, International Standard ISO/IEC 15909-2 WD Version 0.9.0, June 23, 2005
- [TTV05] G. J Tsinarakis, N. C. Tsourveloudis, K. P. Valavanis, „Studying Multi-assembly Machine Production Systems with Hybrid Timed Petri Nets”, Proceedings of the 2005 IEEE International Conference on Automation Science and Engineering Edmonton, Canada, August 1 & 2, 2005
- [UJ96] M. Uzam, A.H. Jones, N. Ajlouni, „ Conversion of Petri Net Controllers for Manufacturing Systems into Ladder Logic Diagrams”, Proceedings of the 1996 IEEE

Conference on Emerging Technologies and Factory Automation – ETFA`96, Kauai Mariot, Kauai, Hawaii, USA, November 18-21, vol. 2 pp. 649-655.

[UJ97] M. Uzam, A.H. Jones, „ Real-Time implementation of Petri net controllers using programmable logic controllers”, 4th IFAC Workshop on Algorithms and Architectures for Real-Time Control – AARTC’97, Vilmoura, Portugal, April 9-11, 1997, pp.421-426.

[UM06] Dan Ungureanu-Anghel, Dan Lucian Mihaescu, „Supervisory control of a Flexible Manufacturing System used in Spinning Mills”, Proceedings of 3rd Romanian-Hungarian Joint Symposium on Applied Computational Intelligence, SACII 2006, Timisoara, Romania, May 25-26, 2006, pp. 561-570.

[UP06a] Dan Ungureanu-Anghel, Octavian Prostean, „Modeling the Basic Components of Suspended Transport Systems Using Sequential Automata”, Proceedings of the 7th International Conference on Technical Informatics – CONTI`06, Vol. 1 Automation and Applied Informatics, Timisoara, 8-9 June, 2006, pp.77 – 80.

[UP06b] Dan Ungureanu-Anghel, Octavian Prostean, „Modeling the Basic Components of Suspended Transport Systems with the Help of Untimed Petri Nets”, Proceedings of the 7th International Conference on Technical Informatics – CONTI`06, Vol. 1 Automation and Applied Informatics, Timisoara, 8-9 June, 2006, pp.71 – 76.

[Ung01] Dan Ungureanu-Anghel, “ Technical reports. Project No. 30186, Textilot-France. Automatic sorting system” Schonenberger Systeme GMBH, Landsberg am Lech, Germany, Dec. 2001

[Ung02] Dan Ungureanu-Anghel, “ Technical reports. Project No. 97190, Pearl-Germany. Automatic transport system for a full automatic warehouse” Schonenberger Systeme GMBH, Landsberg am Lech, Germany, Dec. 2002

[Ung03] Dan Ungureanu-Anghel, “ Technical reports. Project No. 94790, Wacker-Germany. Automatic transport system for a full automatic warehouse” Schonenberger Systeme GMBH, Landsberg am Lech, Germany, Sept. 2003

[Ung04a] Dan Ungureanu-Anghel, “ Technical reports. Project No. 99280, Albarakeh-Syria. Automatic transport system for spinning mills” Schonenberger Systeme GMBH, Landsberg am Lech, Germany, Nov. 2004

[Ung04b] Dan Ungureanu-Anghel, “ Technical reports. Project No. 99780, Oulabitek-Syria. Automatic transport system for spinning mills” Schonenberger Systeme GMBH, Landsberg am Lech, Germany, Nov. 2004

[Ung05] Dan Ungureanu-Anghel, “ Technical reports. Project No. 94435, Blanco-Germany. Automatic transport system for a full automatic warehouse” Schonenberger Systeme GMBH, Landsberg am Lech, Germany, Dec. 2004

[Ung06a] Dan Ungureanu-Anghel, “ Technical reports. Project No. 30531, Sogetiss-Morocco. Automatic transport system for spinning mills” Schonenberger Systeme GMBH, Landsberg am Lech, Germany, Jul. 2005

[Ung06b] Dan Ungureanu-Anghel, "Modelling the basic components of automatic transport systems with accumulation areas using sequential automata converted in Petri nets", SCIENTIFIC BULLETIN of "Politehnica" University of Timisoara, ROMANIA, Transactions on AUTOMATIC CONTROL and COMPUTER SCIENCE, Vol. 51 (65), No. 3, 2006

[Ung06c] Dan Ungureanu-Anghel, „Two general untimed Petri net models for the basic components of automatic transport systems with accumulation areas”, SCIENTIFIC BULLETIN of "Politehnica" University of Timisoara, ROMANIA, Transactions on AUTOMATIC CONTROL and COMPUTER SCIENCE, Vol. 51 (65), No. 4, 2006

[Ung07a] Dan Ungureanu-Anghel, "A general untimed Petri net model for a node with „n” inputs and „m” outputs component of automatic transport systems with accumulation areas”, SCIENTIFIC BULLETIN of "Politehnica" University of Timisoara, ROMANIA, Transactions on AUTOMATIC CONTROL and COMPUTER SCIENCE, Vol. 52 (65), No. 1, 2007

[UP07b] Dan Ungureanu-Anghel, Octavian Prostean, "An Untimed Petri Net Model for an Automatic Transport System with Accumulation Areas", Proceedings of 4th International Symposium on Applied Computational Intelligence and Informatics, SACI 2007, Timisoara, Romania, May 17-18, 2007, pp. 279-284.

[Vahi04], Arash Vahidi, „Efficient Analysis of DES. Supervisor Synthesis with Binary Decision Diagrams”, PhD Thesis 2004, Department of Signals and Systems Chalmers University of Technology, Goteborg, Sweden

[WATC00] ***, „WATCOM C. User Manual”, QNX Software Systems Ltd., Ontario, 2000

[Wonh02] W. Murray Wonham. „Notes on Control of Discrete-Event Systems”. Department of Electrical and Computer Engineering, University of Toronto, 2002. <http://odin.control.toronto.edu/DES/>.

[WR87] W.M. Wonham, P.J. Ramadge. „On the Supremal Controllable Sublanguage of a Given Language.” SIAM Journal of Control and Optimization, 25:637–659, 1987.

[WR88] W.M. Wonham, P.J. Ramadge. „Modular Supervisory Control of Discrete Event Systems.” Mathematics of Control, Signals and Systems, 1(1):13–30, 1988.

[XTPS02] Hao Xia, Anastasios Trontis, Yan Pang, Michael P. Spathopoulos, „Supervisory Eventuality Synthesis”, 6th International Workshop on Discrete Event Systems (WODES 2002), 02–04 October 2002 — Zaragoza, SPAIN

[YGG03] Haobo Yu, A. Gerstlauer, D. Gajski, „RTOS Scheduling in Transaction Level Models”, CODES_ISSS `03, October 1-3, 2003, Newport Beach California, USA.